

UNIVERSIDAD COMPLUTENSE DE MADRID

FACULTAD DE ODONTOLOGÍA

Departamento de Medicina y Cirugía Bucofacial



TESIS DOCTORAL

**Comportamiento clínico-radiológico de implantes
tratados mediante doble ataque químico y térmico.
Estudio comparativo entre diferentes procedimientos
de carga**

TESIS DOCTORAL

MEMORIA PARA OPTAR AL GRADO DE DOCTOR

PRESENTADA POR

Agustín Galparsoro Catalán

Directores:

**José María Martínez González
Cristina Barona Dorado**

Madrid, 2011

ISBN: 978-84-694-6247-8

© Agustín Galparsoro Catalán, 2011



DEPARTAMENTO DE MEDICINA Y CIRUGÍA BUCOFACIAL
FACULTAD DE ODONTOLOGÍA
UNIVERSIDAD COMPLUTENSE DE MADRID

COMPORTAMIENTO CLÍNICO-RADIOLÓGICO
DE IMPLANTES TRATADOS MEDIANTE
DOBLE ATAQUE QUÍMICO Y TÉRMICO.
ESTUDIO COMPARATIVO ENTRE
DIFERENTES PROCEDIMIENTOS DE CARGA.

AGUSTÍN GALPARSORO CATALÁN

2011



DEPARTAMENTO DE MEDICINA Y CIRUGÍA BUCOFACIAL
FACULTAD DE ODONTOLOGÍA
UNIVERSIDAD COMPLUTENSE DE MADRID

COMPORTAMIENTO CLÍNICO-RADIOLÓGICO
DE IMPLANTES TRATADOS MEDIANTE
DOBLE ATAQUE QUÍMICO Y TÉRMICO.
ESTUDIO COMPARATIVO ENTRE
DIFERENTES PROCEDIMIENTOS DE CARGA.

DIRECTORES:

Prof. Dr. JOSE MARÍA MARTÍNEZ GONZÁLEZ

Prof. Dra. CRISTINA BARONA DORADO

AUTOR:

AGUSTÍN GALPARSORO CATALÁN

2011

A Virginia.

A mis padres.

AGRADECIMIENTOS

Al Prof. Martínez-González, por haber confiado en mi para la realización de esta tesis y haberme impulsado a realizarla. Gracias también por marcarme el camino que debo seguir en el campo profesional.

A la Dra. Barona Dorado, por su paciencia y tiempo dedicados, así como el apoyo y la ilusión demostrados para que este trabajo llegara a su fin.

Al Dr. Pedro Cuesta, del Centro de Procesado de Datos de la Universidad Complutense, por sus consejos en el tratamiento estadístico de los resultados.

A todos mis amigos y compañeros, que durante estos años han estado pendientes de esta tesis.

A mis hermanos, Iñigo y Juan, por su apoyo informático y su cariño haciéndome fácil lo que en un principio era imposible.

A mis padres, que me lo han dado todo, y me han inculcado los valores profesionales y personales. Por haber estado siempre a mi lado.

A Virginia, por el tiempo que te he robado. Por impulsarme siempre a seguir adelante y confiar en mi de forma incondicional.

ÍNDICE

| | |
|--|-----|
| I.- Antecedentes y Justificación..... | 1 |
| II.- Hipótesis de trabajo..... | 9 |
| III.- Introducción..... | 19 |
| III.1.- Evolución en el tratamiento de las superficies de los implantes..... | 21 |
| III.2.- Comportamiento de las superficies de implantes actuales..... | 34 |
| IV.- Materiales y metodología..... | 71 |
| V.- Análisis de los resultados..... | 87 |
| V.1.- Resultados globales del estudio..... | 89 |
| V.1.1.- Resultados globales..... | 90 |
| V.1.2.- Resultados implantes cargados de forma inmediata..... | 102 |
| V.1.3.- Resultados implantes cargados precozmente..... | 109 |
| V.1.4.- Resultados implantes que precisaron cirugía previa..... | 118 |
| V.2.- Correlaciones..... | 126 |
| V.2.1.- Correlaciones generales entre las distintas variables..... | 126 |
| V.2.2.- Correlaciones entre las variables según la carga..... | 132 |
| V.2.3.- Correlaciones con respecto a las pérdidas absolutas..... | 142 |
| VI.- Discusión..... | 147 |
| VII.- Conclusiones..... | 165 |
| VIII.- Bibliografía..... | 169 |
| Anexo.- Tratamiento estadístico..... | 213 |

I.-ANTECEDENTES Y JUSTIFICACIÓN

Los implantes dentales como los conocemos en la actualidad tienen su origen en los estudios biológicos que comenzaron en 1965 en la Universidad de Goteborg (Suecia), desarrollados por Bränemark y cols., en los que pretendía determinar la respuesta ósea ante distintos tipos de trauma en situaciones clínicas habituales¹⁻³. Para ello, fabricaron unas cámaras ópticas de titanio que introdujeron en las tibias de los animales de experimentación de forma que pudieran observar “in vivo” la regeneración ósea. Cuando fueron a retirar las cámaras observaron que estaban fuertemente unidas al hueso. A partir de ahí, desarrollaron estudios de cicatrización tanto en el hueso como en los tejidos blandos bucales con el fin de crear un sustituto para la raíz de los dientes que estuviera anclado en los maxilares⁴. De estos estudios surgió el concepto de osteointegración que definieron como “la unión directa estructural y funcional entre el hueso vivo y la superficie del implante sometido a carga sin interposición de tejido fibroso”. Bränemark aplicó posteriormente este descubrimiento a un revolucionario sistema de implantes⁵.

Con el tiempo se observó que el titanio era el material idóneo para el uso implantológico, por su estabilidad a la corrosión y por sus características físico-químicas⁶.

El tratamiento mediante implantes osteointegrados ha continuado evolucionando hasta la actualidad en distintos campos.

En un principio, las rehabilitaciones se realizaban en sectores anteriores, procurando evitar cargas excesivas. Tras observar resultados satisfactorios en estudios a largo plazo, se extendieron a zonas posteriores, apoyándose en el desarrollo de implantes de mayor diámetro, que soportan mayores cargas⁷.

Otra de las líneas de investigación a la que se debe buena parte del desarrollo de las modernas técnicas avanzadas en implantología son los biomateriales⁸, que han permitido colocar los implantes no sólo donde había hueso, sino también en rebordes alveolares atróficos con escasa altura y/o anchura de hueso, respondiendo así a las nuevas exigencias estéticas y funcionales de las prótesis implantosoportadas⁹.

Asimismo, ha resultado clave la evolución de las técnicas radiográficas, que, añadidas a las tradicionales radiografías periapicales y ortopantomografías, han conseguido mejorar la planificación. Así, la tomografía axial computerizada aplicada a la implantología o distintas técnicas que consiguen modelos tridimensionales de ambos maxilares, aportan una ayuda inestimable al cirujano¹⁰.

Por otra parte, la evolución lógica de la Implantología tiende a una reducción en la duración del tratamiento. De los periodos de espera tradicionales, seis meses en el maxilar y tres meses en la mandíbula, se ha evolucionado a la carga precoz, en la que los

implantes son cargados transcurridas de seis a ocho semanas, o la carga inmediata, evidenciándose resultados similares en todos ellos¹¹.

Gran parte de este avance se debe atribuir a un mejor conocimiento de los aspectos biológicos en la interfase hueso-implante, y, por supuesto, al desarrollo de las nuevas superficies implantarias^{12,13}.

Desde la utilización del titanio liso o pulido como elemento fundamental para la osteointegración, se han ido desarrollando tratamientos que han conseguido que en la actualidad las formas pulidas tradicionales se sustituyan por superficies rugosas¹⁴. Desde el punto de vista biológico y biomecánico, se mejoran las condiciones de la adhesión celular y la aposición ósea favoreciendo cicatrizaciones más rápidas y aplicaciones sobre tejidos óseos de menor densidad¹⁵.

La rugosidad sobre los implantes se puede producir de diversas formas y así, en el momento actual, se dividen fundamentalmente entre superficies de adición y sustracción^{16,17}.

Sobre estos últimos, valgan como ejemplo las superficies implantarias que adquieren su rugosidad por la acción de diferentes ácidos como clorhídrico, sulfúrico, fluorhídrico y nítrico¹⁸.

La fuerza de anclaje entre hueso e implante es un factor determinante para el éxito implantológico. Una unión biomecánica deficiente entre ambos desembocará irremediablemente en el fracaso del tratamiento¹⁹.

Como demuestran numerosos estudios las fuerzas de unión entre hueso e implante aumentan con implantes de superficie rugosa.²⁰⁻²⁵ Como consecuencia de este hecho, se consigue además de aumentar los porcentajes de éxito del tratamiento, una osteointegración más rápida²⁶.

Estas ventajas se evidencian especialmente en aquellos casos en los que los implantes soportan mayores cargas oclusales y en huesos de menor densidad, circunstancias en las que la osteointegración está más comprometida^{27,28}.

Dada la importancia de las superficies implantarias y puesto que es aceptado que las superficies rugosas son las más adecuadas para permitir acortar los tiempos de tratamiento, entendemos justificado estudiar nuevas superficies de estas características.

II.-HIPÓTESIS DE TRABAJO. OBJETIVOS

En la sociedad actual, tanto la estética como la rapidez de los tratamientos tienen una importancia capital. La tendencia en este momento en lo referente a la implantología pasa por disminuir el tiempo entre el momento en el que el paciente queda desdentado y aquel en el que recupera la estética y la función del conjunto del aparato estomatognático²⁹. Esta tendencia se ve favorecida por la alta predecibilidad del tratamiento implantológico³⁰.

Los tratamientos y recubrimientos de superficie de los implantes han sido modificados en los últimos años con el objetivo de adaptarse y mejorar los nuevos procedimientos clínicos (carga inmediata, inserción de implantes en huesos de baja densidad...) y son el resultado del desarrollo tecnológico aplicado en esta área por la industria³¹.

Sin duda, la obtención de nuevos tratamientos de superficie, y en especial los llamados de sustracción, han ayudado a disminuir de forma notable los tiempos del tratamiento¹⁴.

Entre los mencionados tratamientos de sustracción se encuentran entre otros la oxidación anódica, el grabado ácido, el granallado o la combinación entre ellas.

Bahat y cols.⁷ en el año 2000, estudiaron los resultados de la superficie Ti Unite[®] (Nobel Biocare[®]) obtenida por oxidación anódica, entre cinco y doce años en 202 pacientes a los que les

fueron colocados 660 implantes. Los resultados fueron de un 94,4% de éxito a los 5-6 años y un 93,4% a los doce años.

Henry y cols.³² estudiaron el mismo sistema durante cinco años en 107 implantes colocados en 92 pacientes. De los colocados en el maxilar, el 96,6% tuvieron éxito, frente a un 100% de los mandibulares, evaluados en la postcarga.

Tras tres años de estudio, y tras evaluar el comportamiento de la superficie TiOBlast[®] (Astra[®]) en 53 implantes colocados en 47 pacientes, Cooper y cols.³³ en 2001 tuvieron éxito en el 96,2% de los mismos. La citada superficie se obtiene mediante granallado sin grabado con óxido de titanio.

Otra de las superficies que se encuentran entre las de sustracción es la llamada Osseotite[®] (3i[®]) obtenida mediante grabado ácido. Ésta fue estudiada en 2002 por Testori y cols.²⁰ en 175 pacientes y 282 implantes a lo largo de tres años. Los resultados finales obtenidos fueron del 97,5% en la mandíbula y del 98,4% en el maxilar. Los resultados mejoran si los tomamos tras la carga protésica, arrojando un 98,9% de supervivencia en la mandíbula frente a un 100% en el maxilar.

En cuanto a las superficies obtenidas tras la suma de granallado y grabado ácido, entre las que se encuentra la SLA[®]

(Straumann[®]), Bergkvist y cols.³⁴ reflejaron un 96,6% de éxito tras tres años en 146 implantes colocados en 25 pacientes.

Eckert y cols.³⁵ en 2005, compararon entre otras las cuatro superficies anteriores en estudios que fueran superiores a cinco años de seguimiento, concluyendo, además de que los tratamientos mediante implantes dentales son altamente predecibles, que no existen diferencias significativas entre las citadas superficies implantarias. En cuanto a los resultados individuales, la superficie TioBlast[®] de Astra[®], obtuvo un éxito del 99% en un total de 773 fijaciones. En el caso de la superficie TiUnite[®] de Nobel[®], obtuvo un 96% de supervivencia tras el seguimiento de 2142 implantes. La superficie Osseotite[®] de 3i[®], por su parte, aportó al estudio 632 implantes de los que el 98% tuvieron éxito. Por último, en el caso de la superficie SLA[®] (Straumann[®]), el éxito fue del 95% tras haber estudiado 2359 implantes.

En el caso de Avantblast[®], se trata de una superficie de diseño trifásico mediante un triple tratamiento escalonado, para obtener una micro morfología biomimética, dirigida a optimizar todas las fases biológicas, iniciales, intermedias y finales, tras la inserción del implante en tejido óseo, creando el entorno ideal para conseguir la máxima estabilidad secundaria y la formación de nuevo hueso.

Este triple tratamiento se realiza en tres fases:

- Primera fase de naturaleza mecánica mediante una técnica de impacto particular contra la superficie.

- Una segunda fase de tratamiento químico mediante la inmersión en un medio ácido combinado (ácidos sulfhídrico y fluohídrico).

- Y una tercera fase térmica para estabilizar y homegenizar la capa de óxido de titanio de la superficie.

Rodríguez Ríos y García Saban³⁶ en un artículo publicado en 2005 compararon in vitro, mediante la microscopía electrónica, las características físico-químicas de la superficie de implantes dentales de titanio sometidos a diversos tratamientos de superficie: mecanizado, grabado ácido y doble ataque químico (Avantblast[®]), concluyendo que la rugosidad superficial de los implantes dentales de titanio y el espesor de la capa de óxido de titanio se pueden incrementar mediante un adecuado tratamiento superficial de ataque químico. En concreto, el tratamiento de superficie Avantblast[®], además de producir una rugosidad superficial de rango micrométrico, triplica el espesor de la capa de óxido de titanio respecto a la capa natural de óxido, reduciendo la presencia de impurezas en la superficie.

Posteriormente Martínez González y cols.³⁷, estudiaron en animales de experimentación, la composición, las características

superficiales y la respuesta al torque de desinserción de la superficie Avantblast[®], concluyendo que la citada superficie presenta características de rugosidad óptimas, y que los valores de torque de desinserción obtenidos en el presente estudio apuntan la posibilidad de su aplicación clínica en procedimientos de carga precoz o inmediata.

En el año 2006, Boronat y cols.³⁸ estudiaron la estabilidad mediante frecuencia de resonancia de 133 implantes de superficie Avantblast[®] (Defcon[®]) en pacientes, obteniendo resultados favorables. La estabilidad de los implantes tuvo relación directa con la fuerza aplicada durante la inserción del mismo, y fue mayor en zonas de mayor densidad ósea.

Martínez González y cols.³⁹ obtuvieron un porcentaje de supervivencia del 100% tras realizar un seguimiento de dos años a 80 implantes con superficie Avantblast[®] cargados de forma inmediata, concluyendo de forma general que la rehabilitación mediante sobredentaduras inferiores sea una opción predecible de resultados excelentes.

En otro estudio de similares características, los mismos autores, esta vez sobre 290 fijaciones cargadas de forma precoz y controlados durante dos años, obtuvieron resultados favorables (98,56% de éxito).¹¹

Puesto que distintos autores avalan las superficies de sustracción en periodos de tiempo prolongados, y la superficie Avantblast[®] obtiene resultados equiparables al resto de superficies de similares características a corto plazo, sería lógico pensar que tras estudiar su comportamiento a lo largo de mayores espacios de tiempo, los resultados clínico-radiológicos serían, así mismo, favorables.

Así, los objetivos que pretende alcanzar la presente investigación son:

1.- Cuantificar el porcentaje de supervivencia de la superficie Avantblast[®] en pacientes rehabilitados mediante carga inmediata y carga precoz.

2.- Establecer si existen diferencias entre ambos procedimientos.

3.- Valorar los porcentajes de supervivencia de los implantes en pacientes tratados con cirugía regenerativa previa.

4.- Determinar qué técnicas regenerativas resultan más predecibles y equiparables resultados a los protocolos convencionales.

III.- INTRODUCCIÓN

**1.-Evolución en el
tratamiento de las
superficies de los
implantes**

La elección del implante tiene una importancia decisiva sobre los resultados de la técnica³⁵. Las investigaciones se dirigen hacia la modificación del tratamiento de las superficies del implante para permitir una osteointegración más rápida.

A continuación, daremos cuenta del material fundamental en implantología, el titanio, y de los distintos tratamientos a los que se ve sometido de cara a mejorar la estabilidad y pronóstico del implante⁴⁰.

1.1.- SUPERFICIES LISAS

1.1.1.-EL TITANIO

El titanio comercialmente puro se utiliza para la fabricación de implantes dentales, prótesis y accesorios de la sistemática quirúrgica implantológica.

Este titanio comercialmente puro presenta cuatro grados según las normas ASTM (American Standard for Testing of Materials). Estos cuatro grados de titanio se diferencian entre sí por los porcentajes máximos de nitrógeno, carbono, hidrógeno, hierro y oxígeno como elementos intersticiales⁴¹.

La presencia de estos elementos intersticiales produce un descenso en la resistencia a la corrosión, pero, a su vez, hace aumentar de manera considerable las propiedades mecánicas⁴².

Además de determinar el grado de titanio más adecuado para su aplicación en implantología, debemos determinar qué estructura es la más adecuada: si la microestructura formada por granos equiaxiales de fase alfa o la obtenida por calentamiento a temperaturas superiores a 882 °C (región de fase beta), con posterior enfriamiento rápido, para dar lugar a estructuras martensíticas alfa⁴³.

A partir de medir los resultados mecánicos y de corrosión obtenidos, se llegó a la conclusión de que el titanio óptimo se conseguía a partir de combinar titanio de grado 3 (0,05 de Nitrógeno, 0,10 de Carbono, 0,0125 de Hidrógeno, 0,30 de Hierro y 0,35 de Oxígeno como valores máximos) con una microestructura de granos equiaxiales de fase beta maclados⁴⁴.

La consecuencia de la citada combinación es un titanio con buenas propiedades mecánicas, al que si además añadimos un proceso de pasivación (método que explicaremos más adelante), mejorará en lo referente a resistencia a la corrosión del material⁴⁵.

Con esto, pretendemos incidir en la importancia de la microestructura en las propiedades del material.

1.2.- SUPERFICIES DE ADICIÓN

1.2.1.-SUPERFICIE DE SINTERIZACIÓN DE ESFERAS:

Una de las maneras de dar rugosidad al implante dental es sinterizar esferas del mismo material que el implante sobre el sustrato.

Estas esferas consiguen una superficie rugosa que el tejido óseo puede colonizar produciendo una excelente fijación.

Como contrapartida puede presentar algunos inconvenientes en lo referente a la resistencia mecánica⁴⁶.

1.2.2.- APATITA:

Se trata de modificar la superficie del metal, aumentando su unión al hueso receptor, utilizando la bioactividad de la apatita.

En este caso se pueden incorporar fármacos en el recubrimiento así como proteínas que pueden favorecer la formación de hueso⁴⁷.

La apatita es un fosfato de calcio con la misma composición química que la fase mineral del hueso, lo que implica que el cuerpo pueda aceptarlo como una sustancia propia. La consecuencia es que además de evitar reacciones inflamatorias importantes, una vez

implantada, el tejido óseo crece sobre ella, comportándose como lo que se denomina un material bioactivo. Otra ventaja de este material es que puede ser reabsorbible en el cuerpo si se encuentra en forma amorfa⁴⁸.

La capa de apatita crece sobre la superficie del titanio, uniéndose mediante enlaces químicos, con lo que se incrementa de manera significativa la estabilidad de la capa aposicionada, lo que implica que se evitarán problemas de colonización bacteriana en los espacios de la interfaz y se obtienen capas homogéneas y de espesor controlado⁴⁹.

El depósito de apatita se puede realizar sobre el metal rugoso (previamente arenado o atacado mediante ácido)⁵⁰.

Con esto se busca combinar los dos procedimientos, de cara a conseguir una mayor fijación a corto plazo (bioactividad) y a largo plazo (rugosidad)⁵¹.

En resumen, la presencia de apatita trata de conseguir que la superficie de titanio pase a ser bioactiva, gracias a la formación de un gel denso y amorfo de titanato de sodio, inducida por un tratamiento químico y térmico. En este momento, si el titanio se implanta in vivo, ya es capaz de formar enlace químico directo con el hueso ordenado. Si se deposita una capa de apatita in vitro antes de la implantación, el tejido humano no ha de realizar las primeras etapas de enlace con el implante⁵².

1.2.3.-SUPERFICIES TRATADAS MEDIANTE ARENADO (SANDBLASTED):

El arenado consiste en proyectar partículas de gran dureza a alta velocidad sobre la superficie del implante, provocando la deformación plástica de la superficie del implante de forma que quede rugosa⁵³.

Este método además de dar rugosidad superficial, limpia la superficie de contaminantes, corrige defectos superficiales, y debido al aumento de la tensión compresiva de las primeras capas del sustrato, aumenta la vida de fatiga del implante y aumenta su resistencia a la corrosión-fatiga⁵⁴.

Los implantes tratados con óxido de aluminio (Al_2O_3) de tamaño medio permiten una óptima adherencia celular, estadísticamente significativa respecto al resto de tratamientos. Además, presenta altas concentraciones de osteocalcina, lo cual indica que además de haber muchas células sobre la superficie, se desarrollan adecuadamente y con rapidez⁵⁵.

De todo lo anteriormente expuesto, podría deducirse que este tratamiento es el más adecuado para mejorar la osteointegración, ya que obtenemos una rugosidad óptima.

Por otra parte, los implantes tratados con óxido de titanio consiguen muy poca rugosidad, por lo que la respuesta a nivel

celular no es la adecuada. Los implantes arenados con Csi también obtienen buenos resultados ante los osteoblastos pero en menor grado que los granallados con óxido de aluminio⁵⁶.

1.2.4.-SUPERFICIES DE HIDROXIAPATITA OBTENIDAS MEDIANTE PLASMA SPRAY:

Se basa en la inyección de polvo de hidroxapatita en un plasma o chorro de gas ionizado a diez mil grados centígrados. El chorro de gas lanza las partículas de polvo hacia el implante, donde se depositan. Estas partículas se funden en la superficie resolidificándose, y uniéndose a las otras partículas, formando el recubrimiento⁵⁷.

Es necesario un granallado previo para mejorar la adherencia⁵⁸.

Como inconvenientes presenta la falta de adhesión del recubrimiento cerámico sobre el metal, las fuerzas de adhesión son débiles y se crean espacios de vacío entre el sustrato metálico y el recubrimiento bioactivo⁵⁹.

Estos espacios podrían ser colonizados por bacterias que penetran en el interior del recubrimiento del implante pudiendo dar lugar a periimplantitis, circunstancia que obliga a retirar el implante⁶⁰.

Aunque fue una de las técnicas más frecuentemente utilizadas, presenta además del inconveniente ya mencionado, otros como las grietas producidas por el choque térmico en el proceso de deposición del recubrimiento desde altas temperaturas a temperatura ambiente, así como la falta de cristalinidad del fosfato de calcio depositado debido a la elevada velocidad de enfriamiento en el proceso de solidificación⁶¹.

1.2.5.-SUPERFICIES RECUBIERTAS DE TITANIO MEDIANTE PLASMA SPRAY:

El recubrimiento en este caso es el mismo Titanio que forma el propio implante⁶².

Como el anterior, también presenta problemas de falta de unión entre el implante y el recubrimiento, aunque los espacios vacíos no son tan grandes como en el caso de la hidroxiapatita. Asimismo, se provocan grietas por el choque térmico⁶³.

Otro de los inconvenientes es la presencia de esferas de Titanio en la superficie, que en ocasiones pueden desprenderse del sustrato⁶⁴.

1.3.- SUPERFICIES DE SUSTRACCIÓN

1.3.1.-SUPERFICIES DE TITANIO PASIVADAS: SUSTRACCIÓN

Las aleaciones de Titanio utilizadas en implantes dentales son resistentes a la corrosión y compatibles con el cuerpo humano debido a la película de óxido de titanio que se forma espontáneamente en la superficie⁶⁵.

Con el fin de minimizar la corrosión de los implantes y la liberación de iones metálicos al medio fisiológico es posible hacer crecer la capa de óxido de titanio de manera controlada para así tener una capa tenaz, homogénea y estable mediante la citada técnica de pasivación⁶⁶.

Este proceso de pasivación tiene unas propiedades beneficiosas para los implantes ⁶⁷, como son:

1. Limpieza de residuos tanto orgánicos como inorgánicos de la superficie del biomaterial.
2. Mejora de la resistencia a la corrosión del implante.
3. Disminución de la liberación de iones del titanio al medio fisiológico.

4. Aumento de la dureza superficial así como de la resistencia al desgaste.

De los estudios realizados, se concluyó que la mejor disolución para producir una capa de pasivado homogénea y estable, no apreciándose en ningún momento grietas que pudieran indicar fragilidad, era la disolución de ácido nítrico con ácido fluorhídrico, con la que se obtiene además una capa de anodinado que mejora notablemente la resistencia a la corrosión⁶⁸.

1.3.2.-SUPERFICIES DE IMPLANTES ATACADAS MEDIANTE ÁCIDOS:

Otro de los métodos para conseguir superficies rugosas consiste en atacar el titanio comercialmente puro mediante ácidos.

En estos ataques, no podemos controlar la rugosidad, ya que esta depende exclusivamente de la estructura del titanio y de la agresividad del ataque, lo cual implica que no podemos realizar procesos de optimización de la rugosidad⁶⁹.

Uno de los problemas que pueden surgir es la formación de los hidruros de titanio, debido a la incorporación de grupos hidrógenos provenientes del ácido en el titanio⁷⁰.

El citado hidruro provoca la fragilidad en el implante, aumentando en gran medida el riesgo de fractura⁷¹.

1.3.3.-ABLACIÓN LÁSER:

La radiación láser es la fuente de energía para evaporar hidroxiapatita y depositar capas delgadas en el sustrato metálico⁷².

En este caso, se puede controlar la composición química, el grosor de la capa y la cristalinidad a través de la energía de la fuente láser⁷³.

Se forma una nube de plasma en una zona próxima a la superficie del sustrato que permite la colisión de partículas, reduciendo la velocidad de deposición, lo que permite una mejor homogeneización y cristalinidad de la capa. Asimismo, la unión entre el recubrimiento y el sustrato es mejor que en el caso del plasma spray aunque el proceso de recubrimiento sea más lento⁷⁴.

1.3.4.-LA SUPERFICIE AVANTBLAST®

Puesto que en la presente investigación nos centramos en el comportamiento de la superficie Avantblast®, consideramos oportuno dedicar un apartado específico a la misma con el fin de conocer sus particularidades.

Se trata de una superficie de diseño trifásico mediante un triple tratamiento escalonado, para obtener una micro morfología

biomimética²⁹, dirigida a optimizar todas las fases biológicas⁷⁵, iniciales, intermedias y finales, tras la inserción del implante en tejido óseo, creando el entorno ideal para conseguir la máxima estabilidad secundaria y la formación de nuevo hueso⁷⁶.

Este triple tratamiento se realiza en tres fases⁷⁷:

- Primera fase de naturaleza mecánica mediante una técnica de impacto particular contra la superficie.

- Una segunda fase de tratamiento químico mediante la inmersión en un medio ácido combinado (ácidos sulfhídrico y fluohídrico).

- Y una tercera fase térmica para estabilizar y homegenizar la capa de óxido de titanio de la superficie.

En definitiva, esta superficie trata de imitar la morfología del hueso esponjoso de cara a optimizar el proceso de osteointegración, al que luego nos referiremos, y consecuentemente el anclaje al hueso y el posterior éxito clínico.

2.-

**Comportamiento
clínico y radiográfico
de las superficies de
implantes actuales.**

El éxito a largo plazo de los implantes dentales oseointegrados en la rehabilitación de pacientes edéntulos parcial o totalmente está ampliamente documentado en la literatura⁷⁸.

Las actuales líneas de investigación de la implantología tratan de reducir los tiempos de carga de las fijaciones, así como conseguir aumentar el lecho óseo donde previamente sería imposible colocar los implantes⁷⁹.

2.1.-CARGA CONVENCIONAL

Tradicionalmente se pensaba que tras la inserción de los implantes dentales la osteointegración precisaba de un periodo de cicatrización de al menos tres meses en la mandíbula y de cinco a seis meses en el maxilar. La razón para decantarse por la carga diferida era que en la carga inmediata se producía una encapsulación del tejido fibroso en lugar de una aposición ósea directa⁸⁰.

Las superficies de sustracción obtienen altos porcentajes de éxito en carga convencional.

La afirmación anterior se encuentra ampliamente avalada en la literatura.

Así, Heckmann y colaboradores⁸¹, en un estudio prospectivo longitudinal de diez años de duración, realizado sobre 23 pacientes a los que se les colocaron 46 implantes ITI[®], cuya superficie es de sustracción, en mandíbulas severamente reabsorbidas, concluyeron tras no fracasar ningún implante, mantener una estabilidad notable a lo largo del estudio y mantener en los valores medios del estudio la mucosa periimplantaria en un estado de salud, que la carga convencional utilizando sobredentaduras sobre dos implantes supone una garantía para el éxito del tratamiento.

En la misma línea se pronunciaron Bahat y cols.⁸² tras los resultados obtenidos en un estudio de carga convencional publicado en 1993, sobre 732 implantes Nobel[®] con superficie de sustracción, insertados en la zona posterior maxilar, en los que el porcentaje de éxito fue del 95,2%.

El mismo autor, en 2000⁷, y siguiendo la línea de la anterior cita, presentó un estudio en que realizaba un seguimiento de 660 implantes en 202 pacientes a lo largo de entre 5 y 12 años, todos ellos Branemark y emplazados también en zonas posteriores maxilares. Bahat era consciente de las singulares condiciones de la zona a la que hace referencia el estudio: fuerzas superiores y densidades óseas pobres. 13 de los implantes (2%) fracasaron en el periodo de precarga, 12 entre la carga y el primer año de estudio, y otros 10 a partir de entonces, 2 como resultado de fracturas de las

fijaciones a los tres y a los cuatro años. La tasa de éxito acumulada fue del 94,4% entre los 5 y 6 años y del 93,4% a los 10 años. Para Bahat, la cantidad y densidad óseas tienen una influencia relativa en el éxito del tratamiento, siendo particularmente importante la técnica quirúrgica.

Ericsson y cols.⁸³ evaluaron la técnica quirúrgica en un total de 61 implantes en 11 pacientes, con un seguimiento de 5 años, comparando procedimientos quirúrgicos sumergidos o no sumergidos. El protocolo seguía un sistema que dieron en llamar “de boca partida”. En el cuadrante izquierdo mandibular el procedimiento quirúrgico fue mediante implantes no sumergidos, de un solo paso, mientras que en el cuadrante derecho fue en dos pasos. Al finalizar el estudio todos los implantes se encontraban en servicio y clínicamente estables, así como el nivel óseo marginal, independientemente de la técnica quirúrgica empleada. El estudio incide en la importancia del diagnóstico y de la destreza del cirujano, más allá de la técnica elegida.

Farzad y cols.⁸⁴ analizaron el mismo tipo de implantes durante 4 años sobre una muestra de 34 pacientes y 105 implantes. El estudio fue prospectivo. 28 implantes fueron insertados en una posición anterior al foramen mentoniano, los 77 restantes por detrás del mismo. Todas las prótesis eran fijas implantosoportadas, y se asentaban sobre dos o tres implantes. Los puentes se levantaron

tras un periodo de entre dos y seis años para analizar mediante resonador de frecuencias la estabilidad de las fijaciones. Se perdió un implante, el resto obtuvieron resultados notables, especialmente buenos en las prótesis soportadas sobre tres implantes. No se observaron diferencias entre las posiciones de premolares o molares ni entre la longitud o anchura de los implantes. Los pacientes se mostraron satisfechos a lo largo de la duración del estudio y apenas se observaron incidencias, de forma que proponían el tratamiento mediante prótesis fija sobre implantes con superficie de sustracción como predecible y eficaz.

Por su parte, Lekholm y cols.⁸⁵ estudiaron en 1994 la osteointegración de implantes colocados en arcadas parcialmente edéntulas, a lo largo de cinco años. Participaron en el estudio 159 pacientes, con edades comprendidas entre los 17 y los 70 años, a los que se les insertaron implantes Branemark. El estudio fue prospectivo e iba enfocado al éxito de los implantes y la estabilidad de las prótesis. El nivel de hueso marginal en torno a los implantes se determinó a partir de radiografías intraorales. Inicialmente, se colocaron 558 implantes, 220 en maxilar por 338 en mandíbula. Durante el periodo de seguimiento, 27 pacientes se dieron de baja o fueron excluidos por disconformidad con el protocolo, lo que implica que al final del protocolo no se analizaron 32 prótesis fijas, un 16% del total de prótesis, ni 116 implantes, 80 retirados y 36 fracasados, que suponen un 14% y un 6% del total de implantes

respectivamente. Por lo que las tasas de éxito, con el resto de implantes fueron del 92% en el maxilar por un 94% en la mandíbula, resultados que se corresponde con un 94% de estabilidad de las prótesis. La pérdida ósea marginal no excedió en ningún caso el milímetro a lo largo de los cinco años de estudio. De los 17 implantes perdidos en el maxilar, 9 fracasaron en la precarga y 8 en la postcarga. En el caso de la mandíbula de los 19 fracasos, 11 fueron en la precarga por 8 en el periodo postcarga. El problema más repetido a lo largo del estudio fue la parestesia del labio inferior, sufrida por cinco pacientes tras cuatro años, de los que tan sólo dos la seguían percibiendo a la finalización del estudio. Los autores concluyen que la técnica a través de implantes Branemark se revela como un excelente tratamiento a los cinco años de la colocación de los mismos. No se observaron contratiempos importantes significativos y todos los pacientes consiguieron mantener una correcta higiene. Así, las prótesis implantosoportadas se muestran como un buen tratamiento alternativo a las prótesis fijas convencionales en pacientes parcialmente edéntulos.

Jemt y cols.⁸⁶ también publicaron un estudio longitudinal, prospectivo y de 5 años de duración. Un total de 30 pacientes recibieron 117 implantes Branemark en el maxilar por otros 103 a los que se les colocaron 393 en la mandíbula. Según el protocolo, todas las fijaciones maxilares debían ser cargadas, mientras que sólo dos de los cuatro implantes mandibulares soportaron las

sobredentaduras, mientras que los restantes se reservaban sin exponer al medio oral, para ser utilizados en caso de fracaso de algunos de los implantes cargados previamente. 35 pacientes (26,3%), portadores de 127 implantes (24,9%) fueron retirados del estudio. Seis pacientes tratados en el maxilar perdieron todos los implantes por lo que terminaron llevando prótesis completas. Las tasas de éxito acumulado para las fijaciones y las sobredentaduras soportadas por dos implantes en la mandíbula fue del 94,5% y del 100% respectivamente. De los anteriores, el 79% de las fijaciones se perdieron en el primer año de función. En el caso de los implantes y las sobredentaduras maxilares soportadas por un número óptimo de fijaciones, las tasas de éxito fueron del 72,4% y del 77,9% respectivamente. Se revela como una evidencia el hecho de que un lecho óseo adecuado en el momento de la cirugía contribuye a aumentar las tasas de éxito en la mandíbula. Las pérdidas óseas más importantes fueron de 0,8 mm. en el maxilar y 0,5 mm. en la mandíbula. Las conclusiones más importantes extraídas de este estudio son: siguiendo el protocolo de este artículo, cuando se insertan cuatro implantes pero sólo se cargan dos en la mandíbula, es posible mantener las sobredentaduras en función en el 100% de los casos, y además que el alto índice de fracasos en el maxilar a la pobre densidad ósea y a que las situaciones de reabsorción ósea severa se dan más frecuentemente en el maxilar.

En el caso de los implantes unitarios, Henry y cols.³², analizaron durante 5 años el comportamiento de 107 fijaciones Branemark en 92 pacientes. El estudio se centró en el éxito de los implantes y en la función de las coronas. El nivel óseo marginal en torno a los implantes se medía a través de radiografías intraorales. Se perdieron antes del primer control anual tres implantes, que suponen un 2,8% del total, de los que uno fracasó en la precarga. Además, durante el periodo de seguimiento, 17 pacientes fueron excluidos o se dieron de baja del estudio por divergencias con el protocolo. A partir de aquí, un total de 86 implantes fueron clínica y radiológicamente evaluados a lo largo de los 5 años ya mencionados, en los que se registró una tasa de éxito del 96,6% (71 implantes) en el maxilar y un 100% (15 implantes) en la mandíbula. La pérdida ósea marginal no excedió en ningún caso ni en ningún momento el milímetro. De forma que concluyeron, que a la luz de los resultados, las restauraciones unitarias implantosoportadas son seguras y altamente predecibles.

Otro tema tratado con frecuencia en la literatura, es el del uso de implantes de plataforma ancha en distintas situaciones en las que se antojan necesarios.

Así, por ejemplo, Mordenfeld y cols.⁸⁷ examinaron retrospectivamente el resultado de 78 implantes Mk-II de plataforma ancha en regiones posteriores de la mandíbula y/o el maxilar.

Participaron 52 pacientes, 34 mujeres y 18 hombres con una edad media de 55 años, entre 19 y 81 años. 23 de las fijaciones se insertaron en el maxilar por 55 en la mandíbula. Fracasaron ocho implantes; cinco mujeres perdieron un implante en el maxilar y entre dos hombres perdieron tres implantes en la mandíbula. Por lo que el porcentaje de éxito fue del 89,8%. Para los autores, los resultados son engañosos, puesto que a pesar de que la tasa de éxito no es alta, consideran que se debe tener en cuenta que los implantes anchos habitualmente se utilizan en situaciones desfavorables, como densidades o cantidades óseas pobres, o fuerzas oclusales superiores a lo normal. Tras la anterior reflexión, el artículo concluye que los implantes anchos son un tratamiento alternativo aceptable.

En el mismo sentido, Bahat y Handelsman⁸⁸, en un estudio publicado en 1996 compararon fijaciones de plataforma ancha con el uso de implantes dobles que soportaban una corona entre los dos. De cara a reducir el riesgo de fracaso en el tratamiento mediante implantes dentales en zonas posteriores, y soportar el aumento de fuerzas oclusales, los autores proponen aumentar la base de las soluciones protésicas bien sea a través de implantes de plataforma más ancha o insertando dos implantes en un mismo lugar. En este artículo, se colocaron 38 implantes en la mandíbula y 21 en el maxilar, todos ellos Nobelpharma de 5 mm. de plataforma. Los implantes se dejaron al descubierto cargados con coronas ceramometálicas, con un seguimiento medio de 16 meses tras la

carga. Dos implantes en un mismo paciente fracasaron y fueron reemplazados satisfactoriamente a los 14 meses.

En otros 20 casos, se colocaron parejas de implantes de 5mm. de plataforma y tras un seguimiento de 14 meses todos los implantes se mantuvieron con éxito.

En otras 34 zonas edéntulas, se emparejaron un implante de plataforma ancha con otro de 3,75mm. o de 4mm. Tras un periodo de carga de 13 meses, un implante de 5mm. de anchura y 8mm. de longitud se reemplazó de forma satisfactoria tras haber fracasado, y también en este grupo se perdió una fijación de 4mm. de anchura y 10mm. de longitud que no fue reemplazado. El porcentaje de fracaso de este último grupo fue del 3%.

Y por último, otro grupo en el que se describieron 149 espacios edéntulos en la mandíbula y 13 en el maxilar recibió parejas de implantes de 3,75mm. y 4mm. Todas estas parejas de implantes quedaron al descubierto durante el periodo de cicatrización. Tras un seguimiento de 37 meses en la postcarga, fracasaron cinco implantes en cuatro pacientes, con una tasa de fracaso del 1,2%.

El fracaso total de todos los implantes de 5 mm. recogidos en el estudio en cualquiera de las circunstancias antes descritas fue del 2,3%, y en el caso de todos los implantes “dobles” del 1,6%.

También en lo referente a los implantes anchos se pronunciaron Ivanoff y cols.⁸⁹ en 1999. En este caso presentaron un artículo enfocado a la supervivencia de las fijaciones y a la pérdida ósea marginal en relación al diámetro de los implantes. Participaron 67 pacientes entre los 16 y los 86 años de edad en este estudio retrospectivo de entre 3 y 5 años. Se colocaron un total de 299 implantes Branemark en 16 y 51 arcadas total y parcialmente edéntulas respectivamente. De los implantes 141 eran de 3,75mm., 61 de 4 mm. y 97 de 5mm. Fracasaron 7 implantes de 3,75mm. (5%), 2 de 4mm. (3%) y 17 de 5mm. (18%), siendo este último el porcentaje más alto con creces. Los porcentajes menos favorables respondieron a espacios mandibulares tras cinco años que incluían fijaciones de 4mm. y de 5mm., 84,8% y 73% de éxito. La pérdida ósea marginal disminuía en el quinto año de estudio. No obstante, no pudieron demostrar relación entre los fracasos implantarios y la pérdida ósea marginal o la cantidad y densidad óseas. Se apunta como razón para explicar el bajo rendimiento de los implantes de plataforma ancha la baja densidad ósea y el hecho de que estas fijaciones se utilizan frecuentemente como implantes de rescate o cuando los de medidas estándar no son válidos.

Retomando el uso de sobredentaduras, Behneke y cols.⁹⁰, presentaron un artículo en 2002. En este caso a lo largo de cinco años y con implantes ITI (Straumann). Se incluyeron 100 pacientes con mandíbulas totalmente edéntulas tratadas con sobredentaduras

retenidas en un total de 340 implantes. Los pacientes acudían a revisiones anuales durante cinco años para evaluar el éxito de los implantes y las reacciones periimplantarias de los tejidos duros y blandos. A lo largo de la duración del estudio, 51 implantes causaron baja y fracasaron 4 implantes, todos en el periodo de precarga, lo que implica una tasa de éxito del 98,8% de éxito tras cinco años de seguimiento. La pérdida ósea marginal media entre la colocación de los implantes y el tratamiento protésico fue de 0,5mm., seguido de un descenso anual de 0,1mm. hasta el final del estudio.

Los autores consideraron que la tasa de éxito de las fijaciones y las pérdidas óseas marginales son satisfactorias si se comparaban con otros artículos similares en la literatura, por lo que concluyeron que el tratamiento con implantes ITI no sumergidos en la rehabilitación de pacientes edéntulos totales en la arcada inferior se revela como predecible y exitoso a medio plazo.

Resultan especialmente interesantes, artículos como los de Weng y cols.⁹¹ o Davarpanah y cols.⁹², tanto por la amplitud de la muestra como por su seguimiento.

En el primero de ellos⁹¹, se analizaron prospectivamente los resultados sobre 1179 implantes 3i en 493 pacientes durante 6 años, según unos criterios de éxito predeterminados. Estos criterios eran cinco:

- No presentar movilidad al comprobarlos individualmente, y sin estar ferulizados a otras fijaciones.
- Ausencia de radiotransparencia periimplantaria.
- Ausencia de signos o síntomas persistentes o irreversibles de dolor, alteración de la sensibilidad o infección atribuibles a los implantes.
- Pérdidas marginales óseas inferiores a los 0,2 mm. por año tras el primer año de función.
- Satisfacción por parte tanto del paciente como del investigador en cuanto a la función y la estética del tratamiento.

La media de edad fue de 45,1 años. Las fijaciones se colocaron según un protocolo quirúrgico de dos pasos con un periodo mínimo de integración de cuatro meses en la mandíbula por seis en el maxilar. El número total de restauraciones fue de 633 prótesis, la mayoría de las cuales fueron fijas parciales en zonas posteriores de maxilar o mandíbula o unitarios en la premaxila. 104 implantes (8,8%) no cumplieron los criterios de éxito y fueron considerados fracasos, y 222 fijaciones (18,8%) dejaron de ser controlados durante el periodo de seguimiento. La mayoría de los fracasos debieron ser retirados. Las razones de los fracasos fueron: movilidad (84 casos), radiolucidez (20 casos), dolor persistente (20

casos), signos continuos de infección (14 casos), invasión del canal del nervio dentario (1 casos), y/o otros (11 casos).

El 60% de los implantes fracasados fueron cortos (≤ 10 mm. de longitud), siendo su tasa de éxito acumulada como grupo a los seis años del 89,0%, mientras que para los implantes de mayor longitud ($p < 0.05$) fue del 93,1%. El 33% del total de los fracasos se produjo en zonas posteriores maxilares, con un porcentaje de éxito acumulado a los cinco años del 87,4%.

Concluyendo los autores, que, teniendo en cuenta las diferencias en los resultados según las zonas de implantación de las fijaciones, dimensiones del lecho reducidas y densidades óseas pobres tienen un gran impacto en el éxito del tratamiento del edentulismo mediante implantes con superficies de sustracción.

En el caso del segundo estudio citado⁹², se evalúan 1583 implantes 3i (superficies de sustracción) para el tratamiento de pacientes edéntulos en un periodo entre 1 y 5 años. 528 pacientes fueron incluidos en el estudio, con una media de edad de 53,6 años. Se establecieron controles clínicos y radiológicos anuales hasta los cinco años del estudio.

Del total de las fijaciones, 707 fueron colocados en el maxilar por 876 en la mandíbula. 1162 implantes se insertaron en sectores posteriores. 48 implantes no completaron el seguimiento, y 55 fracasaron. La indicación protésica más habitual fue fija de tramos

cortos, 440 casos, seguido de 172 prótesis unitarias, 56 de tramos largos y 4 sobredentaduras.

Los controles radiográficos tras 6, 12 y 24 meses mostraron, respectivamente, pérdidas óseas crestales de $0,04 \pm 1,3$ mm., $0,12 \pm 1,6$ mm., y $0,2 \pm 1,7$ mm. La tasa de supervivencia acumulada fue del 96,5% a los cinco años de la inserción del implante, con 97,2% y un 95,8% de supervivencia en el maxilar y la mandíbula respectivamente. La citada tasa de éxito fue similar en segmentos anteriores (96,7%) y posteriores (96,5%). Se registraron 55 fracasos en el estudio, 47 en la precarga por 8 en la postcarga. Por lo que los autores concluyeron que el presente artículo ofrece evidencias de altas tasas de éxito para los implantes 3i con superficies de sustracción.

2.2.-CARGA INMEDIATA.

El momento idóneo para someter a carga los implantes depende del tiempo que tarde en producirse la osteointegración. En este tiempo de espera puede influir el tipo de implante, la superficie del mismo, la calidad del hueso, la utilización de injertos óseos y otros parámetros como pueda ser la salud general del paciente⁹³.

Cada vez es mayor la demanda de rapidez en la finalización del tratamiento protésico de cara a restablecer función y estética, por lo que queda claro que es necesario profundizar en los resultados que nos proporciona la carga inmediata⁹⁴.

La carga inmediata presenta una serie de ventajas⁹⁵:

- 1.- Reducción del número de actos quirúrgicos.
- 2.- Preservación de tejido óseo.
- 3.- Mayor superficie de contacto hueso-implante.
- 4.- Devolución de función y estética de forma inmediata.
- 5.- Mejora del perfil psicológico de paciente.

Schnitman y cols.⁹⁶ presentaron en 1997 un estudio en el que analizaron a lo largo de diez años, el comportamiento de 63 implantes Nobel Biocare en diez pacientes, que eran rehabilitados mediante prótesis fijas implantosoportadas.

Todos los implantes tenían una anchura de 3,75mm., y las longitudes eran variables.

Del total de implantes, 28 recibieron carga de forma inmediata a su colocación, soportando prótesis fijas, mientras que los otros 35 se mantuvieron sumergidos sin carga durante tres meses, tras los cuales recibieron cargas a través de prótesis fijas como en el grupo anterior.

Los implantes de carga inmediata incluían 10 prótesis, que a los tres meses, periodo de cicatrización para el grupo de carga convencional, se consideraron exitosas. Al final del estudio, de esos 28 implantes cargados inmediatamente, cuatro fracasaron. Los citados fracasos se produjeron siempre en fijaciones distales de la restauración. Tres de ellos se perdieron en el periodo entre el tercer y sexto mes y uno en el segundo año de estudio.

Por el contrario, los 35 implantes que se sumergieron tras su inserción se mostraron hasta el final del estudio osteointegrados y en función.

Los resultados del total de los implantes del estudio, al finalizar el mismo arrojaron un índice de supervivencia del 93,4%. Por grupos, el índice de supervivencia de las fijaciones de carga inmediata fue del 84,7%, mientras que el de las de carga convencional fue del 100%.

El análisis estadístico de los implantes sumergidos vs. los de carga inmediata demuestran tasas de fracaso significativamente mayores en los segundos ($p=0.022$).

Este hecho demuestra, que aunque las fijaciones cargadas de forma inmediata pueden ser exitosas a corto plazo para soportar prótesis fijas, el pronóstico a largo plazo, se debe mantener cierta cautela en la carga inmediata en zonas distales a los incisivos.

Hoy en día existen múltiples artículos que rebaten las tesis de Schnitman.

En 2006³⁹, se analizó el comportamiento de 80 implantes de carga inmediata en 20 pacientes desdentados inferiores, rehabilitados con sobredentaduras.

Todas las prótesis se asentaban sobre cuatro fijaciones de trece milímetros de longitud.

Se realizaron controles radiográficos, mostrando a lo largo de todo el estudio ausencia de fracaso implantológico.

En cuanto a las pérdidas óseas cervicales, durante el primer año, no existieron en un alto porcentaje (65%), mientras que en un 10% se produjo la reabsorción de la mitad cervical y en el 35% restante sobre las tres cuartas partes cervicales. El comportamiento durante el segundo año fue compatible a los patrones estándar, observándose pérdidas que oscilaron entre 0,5 y 1,5 milímetros.

De forma que los autores concluyeron que la rehabilitación mediante sobredentaduras inferiores, debería contemplarse como una indicación prioritaria, planteándose la sustitución de los tratamientos implantológicos con periodos de reposo convencionales y/o precoces.

Los mismos autores en 2005, estudiaron el comportamiento clínico y radiológico de 290 implantes Defcon® cargados de forma inmediata durante dos años¹¹.

Se trató de un estudio observacional prospectivo en el que participaron 56 pacientes con un rango de edad entre 28 y 81 años. La selección de éstos se hizo previo estudio radiológico de proyecciones panorámica y tomográfica para realizar posteriormente el tratamiento implantológico con carga protésica y control evolutivo clínico (15 días, 1, 3, 6, 12, 18 y 24 meses) y radiológico (12 y 24 meses).

Los resultados arrojaron un 98,56% de éxito, por lo que los autores concluyeron que la carga inmediata puede y debe ser aplicada, siempre tras una minuciosa planificación y selección de los casos.

En la misma línea se posicionaron Salvi y cols.⁹⁷, tras mantener un seguimiento durante un año de 67 implantes ITI en 27 pacientes, con el fin de evaluar el comportamiento de los citados implantes con parámetros clínicos y radiográficos.

Todas las fijaciones tuvieron un diámetro de 4,1mm. y una longitud que varió entre 8, 10 ó 12, y fueron colocados bilateralmente en áreas de premolares y molares de acuerdo con el protocolo de una sola cirugía.

Una semana después en el grupo de estudio y cinco en el grupo control tras la colocación de los implantes se ajustaban los aditamentos protésicos. No se prepararon prótesis provisionales. A la semana, se cementaron las coronas de metal-porcelana.

Un año después, la supervivencia de los implantes fue del 100% y no existieron diferencias significativas entre los dos grupos del estudio en cuanto a la pérdida de hueso crestal se refiere (0,57mm. \pm 0,49mm. en el grupo control por 0,72 mm. \pm 0,50 mm. en el grupo estudio).

Por lo que la conclusión fue clara: la carga de los implantes de titanio de superficie SLA a las dos semanas no compromete la osteointegración en los sectores posteriores mandibulares.

Romeo y cols.⁹⁸ compararon a lo largo de dos años los resultados para carga inmediata y convencional de sobredentaduras implantosoportadas sobre fijaciones ITI.

Se trató de un estudio prospectivo. Se dividieron aleatoriamente a veinte pacientes en dos grupos. El primero de ellos era el grupo de estudio, y recibían cuatro implantes ITI en la zona

interforaminal. En el mismo momento de la cirugía se atornillaban los aditamentos protésicos y dos días después de la intervención se conectaba a la barra que soportaba la sobredentadura. El grupo dos (grupo control) recibía, en la misma zona, el mismo número y tipo de implantes, pero siguiendo el protocolo de carga convencional, los aditamentos protésicos no se conectaban hasta los 3-4 meses. El periodo mínimo de seguimiento fue de dos años, con controles a las dos semanas y a 1, 3 y 6 meses y a año. La evaluación constaba de controles clínicos y radiológicos. Tan sólo fracasó un implante de todo el estudio, perteneciente al grupo control. Fue en la postcarga debido a periimplantitis. No existen diferencias significativas entre los dos grupos.

Así, los autores concluyeron que la carga inmediata en implantes que soportan una sobredentadura inferior, proporciona los mismos resultados que la técnica tradicional en lo referente a la osteointegración y a las tasas de supervivencia a corto plazo. Además, proporciona un recorte en los tiempos de tratamiento, lo que se traduce en una mayor satisfacción de los pacientes.

En la misma línea se pronunciaron en 2002 Cooper y cols.⁹⁹ tras estudiar 54 implantes Astra Tech en diez pacientes. La conclusión a la que llegaron fue que tras someter al paciente de forma simultánea a la extracción, inserción de la fijación y carga de la misma, no observaron en los resultados riesgo adicional de

fracaso, mientras que los pacientes agradecían la simplificación del tratamiento.

En este caso, se procedía a la extracción e inserción del implante, entre cuatro y seis en cada paciente en la zona anterior mandibular. Las citadas fijaciones se cargaban inicialmente mediante una prótesis provisional de resina acrílica, habiéndose asegurado previamente de la estabilidad primaria de los implantes, teniendo en cuenta para ello la ausencia de movilidad lateral o axial y cierta resistencia a la rotación.

Se citó a los pacientes para controles tras 1, 3 y 12 semanas. En la última revisión se tomaron impresiones para la prótesis fija atornillada definitiva.

Tras un periodo de 18 meses, los 54 implantes habían sobrevivido y se consideró que el 100% eran satisfactorios tras controles de movilidad y radiográficos que evidenciaban osteointegración. No se observaron complicaciones quirúrgicas.

Las ventajas de la inmediata reposición mediante implantes dentales de los dientes tras la exodoncia incluye el mantenimiento de la dimensión vertical y el aumento de la salud de los tejidos blandos.

Como queda claro a lo largo de este repaso a la bibliografía, numerosos autores han documentado el éxito clínico en el

tratamiento mediante implantes dentales cargados de forma inmediata cuando se observan protocolos tanto quirúrgicos como protésicos reglados.

Este es el caso de un estudio sobre 186 implantes ITI insertados en 27 pacientes, publicado por Ganeles y cols.¹⁰⁰ en 2001, en el que se aplicaban técnicas de carga inmediata para colocar prótesis fijas mandibulares en pacientes edéntulos o que tuvieran dientes que no podían ser restaurados.

A cada paciente se le colocaron entre 5 y 8 implantes. A los 25 meses, momento de finalización del estudio, el 99,5% (185/186) de las fijaciones estaban clínica y radiológicamente integradas. Las prótesis cementadas y atornilladas mostraron resultados similares.

Los autores indicaron tras los datos obtenidos en su estudio, que la carga inmediata mediante prótesis fija, habiendo usado técnicas quirúrgicas y protésicas adecuadas, se considera una técnica predecible para la rehabilitación de mandíbulas completamente edéntulas.

El desarrollo de la carga inmediata, aporta comodidad y rapidez en el tratamiento. Por lo que todos los estudios relacionados con esta técnica se encaminan a tratar de igualar o incluso mejorar los resultados de la carga convencional. Así, Wolfinger y cols.¹⁰¹, y Chiapasco y cols.¹⁰², publicaron en 2003 y 2001 respectivamente estudios en los que compararon carga inmediata y convencional.

En el primero de ellos¹⁰¹, se incluyeron 144 implantes Branemark colocados en 24 pacientes cuya mandíbula era totalmente edéntula. A éstos se les rehabilitaba mediante prótesis de resina que no se quitaba en tres meses.

Del total de los implantes, 104 se colocaron en zonas anteriores (70 de ellos postextracción, y 34 sobre lechos cicatrizados) y 40 en posteriores (12 postextracción y 28 en zonas previamente cicatrizadas). Fracasaron cinco fijaciones en total, 4 en zonas posteriores por 1 en las anteriores. Es digno de reseñar el alto fracaso en las zonas posteriores, esos 4 fracasos suponen un 10% de los 40 colocados en estas zonas, mientras que el fracaso en la zona anterior supone tan sólo un 0,96% de los 104 implantes anteriores. Todos los fallos se dieron en 4 de los 24 pacientes: 1 fracaso anterior en un paciente, 1 fracaso posterior en dos pacientes y dos fracasos posteriores en otro paciente. El único fracaso anterior se produjo en un implante postextracción, los dos pacientes que padecieron un fracaso en implantes posteriores, los tuvieron en lechos óseos cicatrizados, y en lo que respecta al paciente con dos fracasos posteriores, uno de ellos fue postextracción y el otro tras un periodo de cicatrización.

Por lo que, en definitiva, la tasa de supervivencia de las prótesis fue del 100%, y de las fijaciones del 97%, dando cuenta de la predictibilidad de la carga inmediata en estas circunstancias.

En el caso de la publicación de Chiapasco y cols.¹⁰² antes mencionada, la comparativa entre carga inmediata y convencional se aborda en el marco de las sobredentaduras. En este estudio se incluyeron veinte pacientes, que fueron divididos en dos grupos: el grupo de estudio que recibió 40 implantes Branemark, cuatro por paciente, situados entre los dos agujeros mentonianos. Los pilares se atornillaron en el momento de la inserción de los implantes, y se les acopló la barra que los ferulizaba, cargándose de forma inmediata a la sobredentadura. En el grupo control, los otros diez pacientes recibieron el mismo tipo y número de implantes en la misma zona, pero los implantes quedaban sumergidos hasta la segunda fase del tratamiento. Entre cuatro y ocho meses después, los pilares se atornillaron a los implantes y se llevó a cabo el mismo protocolo protésico que en el grupo de estudio.

Se evaluó la reabsorción ósea peiimplantaria con radiografías panorámicas tomadas a los 12 y 24 meses del inicio de la carga protésica. No se observaron diferencias entre los dos grupos de estudio.

La tasa de éxito fue del 97,5% en ambos grupos, por lo que los autores concluyeron que la carga inmediata en sobredentaduras implantosoportadas no mostró ningún efecto negativo en la osteointegración. Además, el protocolo de carga inmediata reduce la

duración del tratamiento, aumentando la satisfacción de los pacientes.

Otra división de la carga inmediata ampliamente reflejada en la literatura es la de los implantes unitarios. De acuerdo con el protocolo estándar, el periodo de cicatrización libre de carga es uno de los requisitos esenciales para la integración del implante. Con el tiempo, se ha fomentado un progresivo acortamiento del periodo de cicatrización para implantes unitarios y se propone la carga inmediata, sobre todo para la zona antero superior.

Chausu y cols.¹⁰³ aportan resultados en este ámbito, comparando la carga inmediata en prótesis unitarias implantosoportadas postextracción o tras un periodo de cicatrización del lecho que acogerá posteriormente las fijaciones. El estudio incluyó 26 pacientes, de entre 18 y 70 años, que precisaban 28 coronas ceramometálicas unitarias implantosoportadas. Se colocaron 19 implantes inmediatamente después de la extracción del diente a reponer, y 9 tras dejar entre 3 y 6 meses tras la exodoncia.

Se prepararon y ajustaron coronas de resina provisionales. A los tres meses, se cambiaban éstas por coronas ceramometálicas. Las tasas de supervivencia fueron del 82,4% y del 100% para los implantes inmediatos y no inmediatos respectivamente.

El seguimiento fue desde los 6 a los 24 meses tras la colocación del implante, con 13 y 16,4 meses de media en los inmediatos y no inmediatos respectivamente.

La pérdida ósea marginal radiográfica, seis meses después de la colocación de los implantes, no superó la unión implante-pilar.

Los autores son conscientes de las limitaciones del estudio por el escaso número de pacientes. No obstante, concluyen que mientras la carga inmediata de prótesis unitarias implantosoportadas insertadas tras un periodo de cicatrización postextracción se revela como un tratamiento alternativo a la carga convencional, en el caso de los implantes inmediatos postextracción el clínico asume un riesgo de fracaso de aproximadamente el 20%.

Mejores resultados obtuvieron en estudios relacionados con implantes unitarios cargados de forma inmediata Lorenzoni y cols.¹⁰⁴ y Andersen y cols.¹⁰⁵ en 2003 y 2002 respectivamente.

En el caso de Lorenzoni¹⁰⁴, se evaluaron los resultados clínicos, tras un seguimiento de doce meses, de implantes insertados en la zona incisal del maxilar y cargados de forma inmediata.

Se incluyeron 9 pacientes. Los implantes autorroscantes se insertaron con un torque de inserción de 45 Ncm., de modo que los autores se aseguraban de la estabilidad primaria de las fijaciones.

Todos los implantes se restauraron inmediatamente con coronas provisionales no ferulizadas de resina acrílica y se proporcionó a los pacientes férulas oclusales. Se llevaron a cabo controles regulares en intervalos mensuales, y se tomaron radiografías periapicales tras la colocación del implante y a los 6 y 12 meses tras la inserción. En el momento de la colocación de las estructuras definitivas y 6 meses más tarde se evaluó el índice de supervivencia, la estabilidad clínica (Periotest) y los defectos óseos marginales radiográficos.

Se colocaron 12 implantes autorroscantes de 3,8, 4,5 y 5,5 mm. de diámetro y 13 y 15 mm. de longitud en la región incisal maxilar. Los valores del Periotest a los 6 meses de la inserción de las fijaciones se encontraron dentro del rango publicado para los implantes sumergidos tradicionalmente. Las pérdidas óseas marginales a los 6 y 12 meses fue de 0,45 y 0,75 mm respectivamente. Ningún implante fracasó hasta la finalización del estudio dando como resultado una tasa de supervivencia del 100%.

Estos resultados se mostraron prometedores para este tipo de tratamientos.

En el caso del segundo artículo, la intención de los autores fue evaluar el índice de éxito de implantes unitarios ITI cargados de forma inmediata en la zona anterior del maxilar. Se incluyeron ocho pacientes a los que se les colocaron otras tantas fijaciones y fueron evaluados a lo largo de cinco años. Se fabricaron coronas

provisionales de resina tras tomar impresiones nada más colocar el implante, y se conectaban una semana después. Estas coronas se ajustaron para impedir contactos oclusales directos. A los seis meses los provisionales se sustituyeron por coronas de porcelana definitivas. Los controles se llevaron a cabo con regularidad a lo largo del estudio.

No se perdió ninguna fijación y el nivel de hueso marginal medio para los ocho implantes se incrementó en 0,53mm. desde la colocación hasta el final del periodo de investigación. Además, la satisfacción de los pacientes, basada en entrevistas, fue alta.

Tras estos resultados, los autores apuestan por la carga inmediata como tratamiento de elección siempre que las circunstancias lo permitan¹⁰⁵.

2.3.-IMPLANTES SOBRE INJERTOS ÓSEOS.

Además de reducir los tiempos de tratamiento, otro de los objetivos principales a los que se encaminan las investigaciones en torno a los implantes dentales es a hacer posible insertar fijaciones en lechos óseos donde antes hubiera sido imposible.

En 2006 Calvo y cols.¹⁰⁶ publicaron un artículo cuyo objetivo fue evaluar la eficacia de la técnica de ensanchamiento alveolar posterior y elevación del reborde alveolar del maxilar superior mediante el uso de osteotomos compresivos especialmente diseñados para implantes 3i.

En el estudio se incluyeron 24 pacientes que presentaban un déficit óseo en anchura y altura del maxilar superior. Se colocaron 48 fijaciones con diámetros de 4mm. (44) y 5mm. (4) y longitudes entre 11,5mm. y 13mm. La cresta alveolar inicial tenía una anchura que variaba de 1,5mm. a 5mm. y una altura que oscilaba entre 5mm. y 13mm.

En los 48 sitios tratados donde se colocaron implantes inmediatos se obtuvo un aumento de altura ósea de 6,75mm. \pm 1,25mm. En lo referente al ensanchamiento alveolar de los 48 lechos implantados la media fue de 3,2mm. \pm 0,15mm.

Por lo que concluyeron que la técnica de ensanchamiento y elevación alveolar del maxilar superior con osteotomos compresivos permite obtener un porcentaje de éxito de un 100% a los 9 meses de seguimiento de los implantes y prótesis colocadas. Es un procedimiento quirúrgico con alta predictibilidad y además permite la colocación de los

implantes en el mismo acto quirúrgico reduciendo el número de cirugías, devolviendo la estética y función del paciente perdidas.

En muchas ocasiones, no queda más remedio que recurrir a injertos óseos para disponer de lechos con una extensión mínima donde poder insertar las fijaciones.

A este respecto Chen y cols.¹⁰⁷ publicaron en 2005 un estudio prospectivo en el que compararon la eficacia de la combinación de membranas con injertos de hueso autógeno en implantes inmediatos. 62 pacientes recibieron un implante inmediato para sustituir un diente unitario en un lugar de la zona anterior o premolar del maxilar.

Cada implante recibió de forma aleatoria uno de los cinco tratamientos de aumento y se sumergieron con injertos de tejido conectivo. Esos cinco tratamientos fueron los siguientes: Grupo 1: membrana de ePTFE únicamente. Grupo 2: membrana reabsorbible de copolímero poliláctico/poliglicólico. Grupo 3: membrana reabsorbible e injerto de hueso autógeno. Grupo 4: injerto de hueso autógeno únicamente y Grupo 5: sin membrana ni injerto como grupo control.

Se midieron en cada paciente los siguientes parámetros: altura del defecto vertical, anchura del defecto horizontal y profundidad del defecto horizontal.

Las comparaciones entre los grupos no mostraron diferencias significativas en la reducción de la altura del defecto vertical (media de 75,4%) y de profundidad del defecto horizontal (media del 77%). Sí se

observaron diferencias significativas entre los grupos para la reducción de la anchura del defecto horizontal (rango 34,1-67,3%) con los grupos tratados con membrana 1, 2 y 3 donde se produjeron las mayores reducciones. En presencia de dehiscencias de la cortical vestibular, la reducción de la anchura del defecto horizontal del 66,6% se logró con el uso de membranas por tan sólo un 37,7% sin membranas. No obstante, se produjo una reabsorción en la cortical vestibular cuando existía dehiscencia de más del 50%, independientemente del tratamiento de aumento aplicado.

El seno maxilar supone el principal accidente anatómico a salvar en pacientes que necesitan rehabilitación de los sectores posteriores del maxilar, por lo que la elevación del mismo es un tema ampliamente tratado en la bibliografía.

McDermott y cols.¹⁰⁸ en 2006 trataron de cuantificar el riesgo que suponía *per se* la elevación de seno en relación al éxito de los implantes. Así, publicaron un estudio retrospectivo en pacientes que tenían al menos un implante en el sector posterior del maxilar. Combinaron la variable de necesidad o no de elevación sinusal, bien fuera mediante ventana lateral o mediante osteotomos y el fracaso de la fijación.

Participaron 318 pacientes a los que se les insertaron 762 implantes posteriores maxilares.

La tasa de éxito a los 5 años del estudio para implantes colocados en maxilares a los que se les aplicaron injertos y a los que no fue del 87,9% y del 88% respectivamente ($p=0.08$). Por lo que concluyeron que la

elevación sinusal no puede considerarse como un factor de riesgo de forma independiente. También fueron analizados otros factores como el tabaco, la rehabilitación de molares o los implantes inmediatos, que sí se revelaron como factores de riesgo para el éxito de los implantes por sí mismos.

Hallman y cols.¹⁰⁹ también realizaron un estudio en 2002 relacionado con la técnica de elevación sinusal. En este caso evaluaron clínica e histológicamente la integración de implantes dentales en función del biomaterial empleado.

Participaron 21 pacientes a los que se les practicaron 36 elevaciones sinusales. Estos pacientes se dividieron en tres grupos. Para el primero de ellos se empleó hueso autógeno particulado de la rama mandibular, hidroxiapatita bovina con membrana de recubrimiento para el segundo grupo, y para el tercero una mezcla de ambos en proporción de 80:20 para la hidroxiapatita y el hueso autógeno.

Los injertos se dejaron cicatrizar entre 6 y 9 meses previos a la inserción de los microimplantes para el control histológico y los implantes convencionales para la rehabilitación protésica. Después de otros seis meses de cicatrización, se conectaron los aditamentos protésicos y se retiraron los microimplantes para el análisis histológico y morfométrico en torno a los mismos. Los implantes convencionales se evaluaron clínicamente tras un año de carga.

No existieron diferencias histológicas significativas entre los grupos.

Tras el año de carga, 6 de los 33 implantes colocados en el primer grupo, el de injertos autógenos, 2 de las 43 fijaciones en el grupo de hidroxiapatita bovina con membrana y 2 de los 35 implantes del grupos de la mezcla se perdieron.

Por lo que las tasas de supervivencia para los grupos 1, 2 y 3 fueron del 82,4%, 96% y del 94,4% respectivamente.

Tras los resultados obtenidos en el estudio anterior, resulta obligado plantearse hasta qué punto los fracasos responden a las técnicas de regeneración ósea o a la complicada situación de partida de los casos tratados.

Así, Becktor y cols.¹¹⁰ compararon la supervivencia de implantes en maxilares edéntulos aplicando o no injertos.

El estudio fue retrospectivo y se formaron dos grupos: el grupo con injertos, en el que se incluyeron 64 pacientes con 437 implantes, y el grupo sin injertos, que estaba formado por 118 pacientes con 683 implantes.

La tasa de supervivencia de los implantes fue del 75,1% para el primer grupo y del 84% para el segundo tras un seguimiento de entre 5 y 6 años, lo que representa una diferencia significativa.

El fracaso de los implantes se relaciona con el volumen del lecho óseo original. En la región premolar, donde se usó una técnica de regeneración por medio de inlays, la tasa de supervivencia de los implantes para el grupo de los injertos fue similar al del grupo sin injertos.

El grupo con injertos tuvo significativamente más fracasos en la región incisiva, pero no en las regiones canina, premolar o molar.

La mayoría de los fracasos se produjeron en la precarga. La sobrecarga oclusal durante el periodo de cicatrización pudo ser el factor causante.

La tasa de supervivencia en conjunto, como ya hemos indicado, fue inferior en el grupo de los injertos tras un seguimiento de 5-6 años. El análisis reveló que el volumen del lecho óseo en las regiones anteriores al inicio del estudio está directamente relacionada con las tasas de supervivencia de los implantes en los dos grupos: a mayor volumen inicial, mayores tasas de éxito.

IV.- MATERIALES Y METODOLOGÍA

a) DISEÑO DEL ESTUDIO

Las principales características del presente trabajo están definidas como un estudio longitudinal, retrospectivo y observacional. La muestra fue de 919 implantes sobre un total de 193 pacientes.

b) MATERIALES

b.1) Recursos humanos:

Se seleccionaron 193 historias clínicas de pacientes procedentes de los Servicios de Implantología de la Facultad de Odontología de la Universidad Complutense de Madrid, del Hospital Universitario de Madrid y de las consultas externas asociadas al mismo.

Los criterios de selección fueron los siguientes:

Criterios de inclusión:

- Pacientes de ambos sexos.
- Edad: mayores de 18 años.
- Pacientes ASA I ó ASA II.
- Pacientes rehabilitados con implantes DEFCON TSA[®], con superficie Avantblast[®], ya fueran desdentados totales o parciales.

b.2) Material radiológico.

Los controles tras la colocación de los implantes se llevaron a cabo por medio de radiografías periapicales, tomadas según la técnica del paralelismo mediante el método Rinn, que evita la distorsión de las imágenes.

Todos los estudios radiográficos de los pacientes seleccionados para el estudio se llevaron a cabo en el Centro de Radiodiagnóstico Bucofacial Dr. Ortega.

Las radiografías periapicales se realizaron con el equipo HELIODENT VARIO comercializado por Sirona, cuyas características principales son:

| EQUIPO HELIODENT VARIO® | |
|-----------------------------|------------|
| Tensión de trabajo | 70,00 kV |
| Intensidad de trabajo | 7,00 mA |
| Filtración total | 2,00 mm Al |
| Conos disponibles | 1 |
| Distancia foco piel | 20 cm |
| Tamaño del campo | 6 cm |

Tabla 1. Características técnicas del equipo Heliodent Vario®

b.3) Material para mediciones en las radiografías:

Regla milimetrada, lupa de 5 aumentos.

b.4) Hoja de recogida de datos:

Para recoger los datos se diseñó una ficha específica, cuyo anverso y reverso podemos observar en las figuras 1 y 2 respectivamente.

c) METODOLOGÍA

c.1) Selección de los pacientes:

El estudio fue de carácter longitudinal retrospectivo. El grupo de pacientes seleccionados fue de 193 personas rehabilitadas mediante implantes DEFCON[®] con superficie Avantblast[®], y comprendían ambos sexos, y edades entre 37 y 81 años, no descartándose ningún paciente por este motivo.

Las condiciones de selección de pacientes venían dadas por los criterios de inclusión ya descritos, puesto que lo que hemos querido estudiar es la superficie Avantblast[®] en las circunstancias individuales de cada paciente y analizar los resultados en función de las diferentes variables.

c.2) Recogida de datos:

Se anotaron los datos de filiación de las historias médicas de los pacientes. Todos los términos referentes al control postoperatorio se anotaron en las fichas ya mencionadas.

Además en el anverso de la hoja de recogida de datos se reflejaba el tipo de implante utilizado, junto a su diámetro y longitud, así como su posición y los tramos desdentados a reponer.

De modo general se establecieron tres tipos de procedimientos:

- Carga inmediata.
- Carga precoz.
- Cirugía previa: en el caso de que fueran necesarios injertos óseos, elevaciones sinusales, etc.

El tipo de prótesis se reflejó en la ficha de control, así como las condiciones concretas de las mismas.

En el reverso de la ficha se anotó todo lo referente a los controles clínicos y radiológicos que se estudiaron a lo largo del tiempo.

En el caso de los controles radiológicos se ordenaron los implantes numerándolos en orden ascendente a partir de la nomenclatura establecida por la FDI.

- Controles clínicos:

En cuanto a los controles clínicos, se tomaron en cuenta datos referentes a la presencia de complicaciones, ya fuera en relación al implante o la prótesis que soportaban.

De forma que dividimos entre complicaciones generales y protésicas.

Entre las primeras se anotaron la presencia o ausencia de mucositis, periimplantitis y dolor.

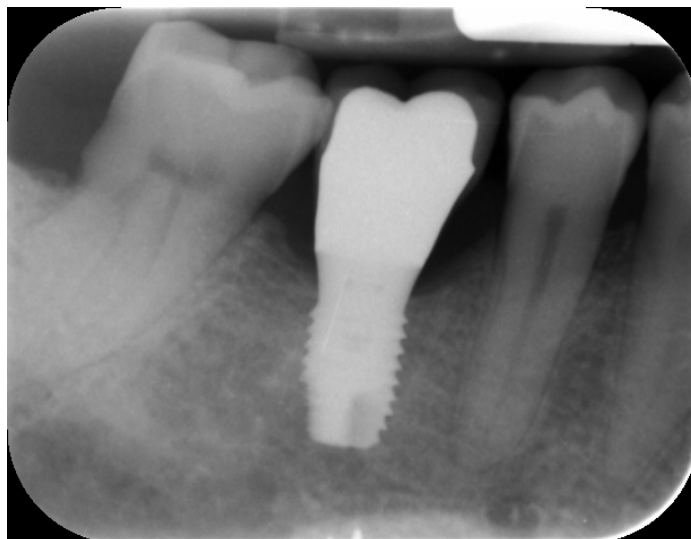
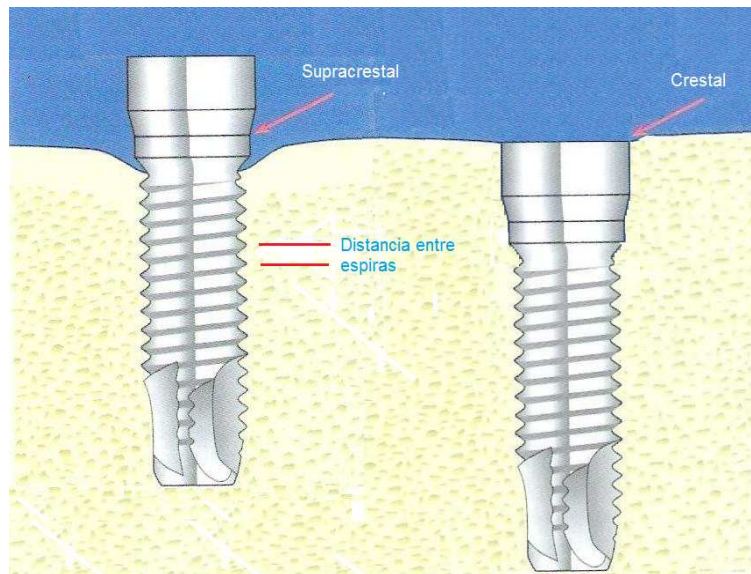
Entre las segundas, las complicaciones protésicas, se tuvieron en cuenta variables como la movilidad de la prótesis, el aflojamiento de tornillos, fracturas de porcelana, de la sobredentadura de resina o de los caballitos que la soportan.

Estos controles habían sido realizados a los 12, 36 y 60 meses de la colocación de los implantes.

- Controles radiológicos:

Se evaluó la pérdida ósea marginal a lo largo de los controles en función de la distancia desde el nivel de hueso tras la colocación del implante al que tomamos en cada una de las revisiones, tomando como unidad el número de espiras perdidas, teniendo en cuenta que en los implantes Defcon TSA[®] la distancia entre espiras es de 0,8 mm. Las mediciones se llevaron a cabo en mesial y distal de cada uno de los implantes.

A continuación, se hallaron las medias entre los valores obtenidos en mesial y distal.



c.3) Criterios de éxito:

Tomamos como criterios de éxito de los implantes los propuestos por Buser¹¹¹ en 1999, que se resumen en cuatro puntos:

- 1.- Ausencia clínicamente detectable de movilidad del implante.
- 2.- Ausencia de dolor o cualquier sensación subjetiva.
- 3.- Ausencia o recurrencia de infección peri-implantaria.
- 4.- Ausencia de radiolucidez alrededor del implante después de 3, 6 y 12 meses de carga.

c.4) Tratamiento estadístico de los resultados:

El análisis y procesamiento de los datos se llevó a cabo en el Centro de Proceso de Datos de la Universidad Complutense de Madrid, por el Servicio Informático de Apoyo a la Docencia e Investigación.

El Análisis Estadístico utilizado en nuestro trabajo de investigación se dividió en:

- Análisis univariante: se describen las características de una única variable. También se llama Estadística Descriptiva^{113,114}.

Los datos numéricos, especialmente en las variables cuantitativas, obtenidos de muestras o poblaciones son poco

manejables, por ello se trata de resumir todo este conjunto de datos en unos pocos valores que representen esa muestra o población.

Al conjunto de mediciones y sus resultados se le denomina serie. El cálculo estadístico de una serie nos facilitará medidas de centralización (media), indicándonos el valor más representativo de la serie y medidas de dispersión (desviación estándar) que nos indican el grado en que los datos numéricos tienden a extenderse o distribuirse alrededor de la media.

Los índices descriptivos utilizados para las **variables cuantitativas** en nuestro trabajo fueron las siguientes:

Media: también denominada media aritmética promedio es un índice de centralización cuyo cálculo es la suma del valor de todos los datos dividido por el número de los mismos. La importancia de la media es su fiabilidad puesto que en su cálculo intervienen todos los valores de la distribución, siendo por ello muy estable a las fluctuaciones del azar.

Desviación estándar (DE): o desviación típica (standard deviation) es un índice de dispersión complementario de la media.

Rango: el rango es la diferencia entre el dato mayor y el menor en una muestra o población y es muy sensible a los valores extremos y a los grandes tamaños muestrales. En la práctica se deja

sin operar y suele ponerse el dato menor y el mayor separados por un guión.

Las variables cualitativas se representan por porcentajes de cada una de sus categorías, pero no con medias. El otro componente importante es el tamaño de la muestra (frecuencia de aparición de un determinado dato a estudiar).

- Análisis bivariante: la mayoría de los fenómenos biológicos dependen de muchos factores diferentes. Esta interdependencia se puede estudiar a través de modelos matemáticos y estadísticos en el análisis multivariante, que ayudan a comprender la influencia de diferentes factores y a explorar las variaciones que se observan en los datos. Para el análisis bivariante nos ayudamos de test estadísticos con variables cualitativas, denominados test de frecuencias o de proporciones o test de variables categóricas. Como ya hemos comentado, estas variables se representan por porcentajes de cada una de sus categorías.

Estos test se aplican ordenando los datos en unas tablas denominadas tablas de contingencia, en las que cada casilla o celdilla contiene el valor de una categoría y en los márgenes los totales sumados de las filas o de las columnas y un gran total que representa el número completo de todos los sujetos o unidades experimentales que participan. Las tablas de contingencia se describen como 2x1 (dos columnas y una fila), 2x2 (dos columnas y

dos filas) o FxC (varias filas y varias columnas), según el número de muestras o grupos y celdillas^{115,116}.

En nuestro estudio, para el análisis bivalente, nos hemos ayudado del test de *Chi-cuadrado*. El test de *Chi-cuadrado* también denominado de Ji-cuadrado o de χ^2 fue introducido en 1900 por Karl Pearson y con la vital modificación de los grados de libertad establecida en 1922 por Ronald Aylmer Fisher es una de las pruebas más utilizadas en la bioestadística de las ciencias de la salud. El test de Chi-cuadrado es un test para diseños paralelos de muestras independientes.¹¹⁷ En nuestro caso, una vez hallado su valor de significación (p), consideramos los valores estadísticamente significativos para $p < 0.05$.

Se aplicó el test de Duncan cuando pretendíamos comprobar si existían diferencias significativas entre las medias de dos o más grupos de valores.

Para detectar si existen diferencias significativas entre las medias de las pérdidas de espiras con respecto al resto de variables estudiadas y la interacción entre ellas se realizaron ANOVAS. Previamente se verificaron los supuestos y tras el análisis general de medias que proporciona la F del ANOVA, se realizaron las pruebas post hoc oportunas para un análisis más detallado.

Las variables introducidas en este trabajo de investigación fueron las siguientes:

- Número de implantes contabilizados en el estudio o en el apartado correspondiente.
- Edad.
- Sexo del paciente.
- Carga de los implantes: inmediata, precoz o con cirugía previa.
- Localización del implante: maxilar o mandíbula.
- Diámetro del implante.
- Longitud del implante:
- Inserción del implante respecto a la cresta ósea: crestal o supracrestal.
- Tipo de prótesis que soportó el implante.
- Complicaciones.
- Pérdida ósea a lo largo del tiempo, en torno a los implantes contabilizado en número de espiras.
- Supervivencia de los implantes.
- Estudio de los implantes perdidos.
- En el caso del grupo de implantes que precisó cirugía previa, también se tuvo en consideración el tipo de cirugía previa.

IV.- Materiales y metodología

| DATOS DE FILIACIÓN: | | | | | | | | | | | | | |
|---|--|--|--|--|--|--|---|--|--|--|--|--|--|
| Nombre: Edad: Sexo: | | | | | | | | | | | | | |
| CIRUGÍA | | | | | | | Fecha: | | | | | | |
| Dehiscencia cortical: Biomaterial: Membrana: Cresta: <input type="checkbox"/> Supracrestal: <input type="checkbox"/> Observaciones: | | | | | | | <u>Complicaciones postoperatorias:</u> - - - | | | | | | |
| | | | | | | | | | | | | | |
| | | | | | | | | | | | | | |
| | | | | | | | | | | | | | |
| | | | | | | | | | | | | | |
| PRÓTESIS | | | | | | | Fecha: | | | | | | |
| TIPO DE CARGA: | | | | | | | | | | | | | |
| Prótesis removible: | | | | | | | | | | | | | |
| Sobredentadura mandibular: | | | | | | | Sobredentadura maxilar: | | | | | | |
| Carga inmediata / precoz: Carga convencional: Nº Implantes: Barra: Nº tramos: | | | | | | | Carga inmediata / precoz: Carga convencional: Nº Implantes: Barra: Nº tramos: | | | | | | |
| Prótesis fija: | | | | | | | | | | | | | |
| Unitarios/puentes: | | | | | | | Cementada/Atornillada: | | | | | | |
| Diente(s) a reponer: | | | | | | | Carga precoz/inmediata: | | | | | | |

Figura 1.- Hoja de recogida de datos (anverso)

| CONTROLES CLÍNICOS: | | | |
|----------------------------|----------|----------|----------|
| | 12 meses | 36 meses | 60 meses |
| Dolor: | | | |
| Mucositis: | | | |
| Periimplantitis: | | | |
| Movilidad: | | | |
| Aflojamiento de tornillos: | | | |
| Fractura porcelana: | | | |
| Fractura sobredentaduras: | | | |
| Fractura de caballitos: | | | |
| | | | |

| CONTROLES RADIOLÓGICOS: | | | |
|-------------------------|------------------------|----------|----------|
| | Pérdida ósea marginal: | | |
| | 12 meses | 36 meses | 60 meses |
| 1 | | | |
| 2 | | | |
| 3 | | | |
| 4 | | | |
| 5 | | | |
| 6 | | | |
| 7 | | | |
| 8 | | | |
| 9 | | | |
| 10 | | | |
| 11 | | | |
| 12 | | | |
| 13 | | | |
| 14 | | | |

Figura 2.- Hoja de recogida de datos (reverso)

V.- ANÁLISIS DE RESULTADOS

Los resultados obtenidos en este estudio se clasificaron en los siguientes apartados con el fin de hacer más clara la interpretación de los mismos.

1) Analítica descriptiva.

1.1) Resultados globales.

1.2) Carga inmediata.

1.3) Carga precoz.

1.4) Cirugía previa.

2) Correlaciones.

1) RESULTADOS GLOBALES DEL ESTUDIO:

En los diferentes apartados que engloban la analítica descriptiva se desarrollan los resultados obtenidos para las variables estudiadas: número de implantes, edad, sexo, tipo de carga de los implantes, localización del implante (maxilar/mandíbula), tipo de implante, diámetro de la fijación y su longitud, pérdida de implantes, inserción de las fijaciones respecto a la cresta ósea, pérdida de ósea a lo largo de los diferentes controles del estudio (1, 3 y 5 años), supervivencia de los implantes y por último complicaciones clínicas.

1.1) RESULTADOS GLOBALES:

- 1.1.1.-Número de implantes: el número total de implantes utilizados en el presente estudio fue de 919. En el primer control se contabilizaron 901 implantes (98,04%), en el segundo control, a los tres años de haber colocado los implantes, se estudiaron 743 (80,85%) y en el último control, a los cinco años, se contabilizaron 486 implantes (52,88%) (Figura 3).

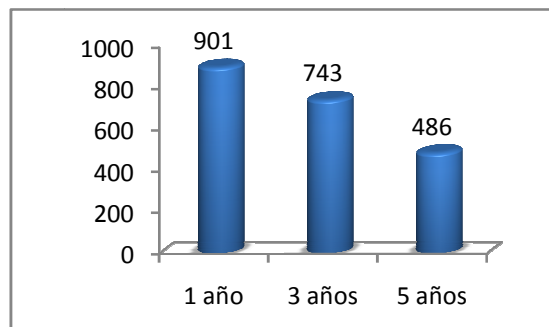


Figura 3.- Número de implantes incluidos a lo largo del estudio.

- 1.1.2.-Edad: la media de edad de los pacientes que participaron fue de 63,9 años, con un intervalo de edad entre los 37 y los 81 años.

- 1.1.3.-Sexo: de los 193 pacientes incluidos en el estudio, 128, un 66,32%, fueron mujeres, mientras que los 65 restantes, un 33,68%, fueron hombres, estableciéndose una ratio de 1,96:1. (Figura 4).

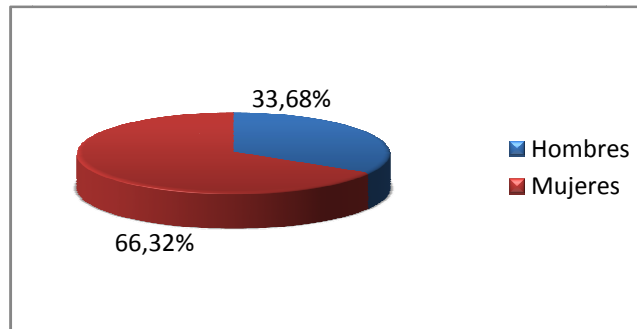


Figura 4.- Distribución por sexo. Resultados globales.

- 1.1.4.- Carga de los implantes: de los 919 implantes incluidos en el estudio, 279 fueron cargados de forma inmediata, 499 de forma precoz y el resto, 141, precisaron cirugía previa a su colocación. (Figura 5).

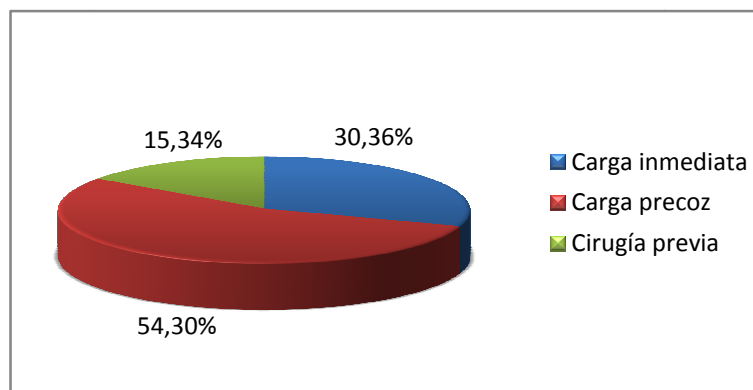


Figura 5.-Distribución por carga de los implantes. Resultados globales.

- 1.1.5.-Localización del implante: de todos los implantes utilizados en el estudio, 428 fueron colocados en el maxilar mientras que los 491 restantes lo hicieron en la mandíbula. (Figura 6).

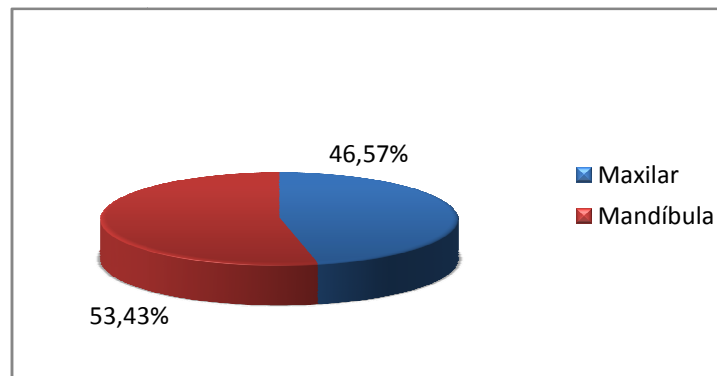


Figura 6. Localización del implante. Resultados globales.

- 1.1.6.-Diámetro del implante: la distribución en este apartado fue la siguiente: 575 implantes, correspondieron a implantes de 3,6 mm. de diámetro. 298, a los de 4,7 mm. y los 46 restantes a los de 5,5 mm. (Figura 7).

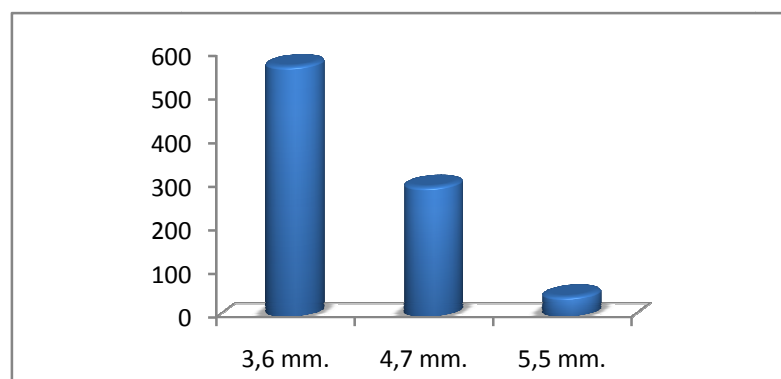


Figura 7.- Diámetro del implante. Resultados globales.

- 1.1.7.-Longitud de los implantes: del total de los implantes, 30 fueron de 8,5mm., otros 183 implantes, fueron de 10 mm., frente a 204 implantes de 11,5 mm. La mayoría de los implantes, 446, fueron de 13 mm., y los 56 implantes restantes, fueron de 14,5 mm. (Figura 8).

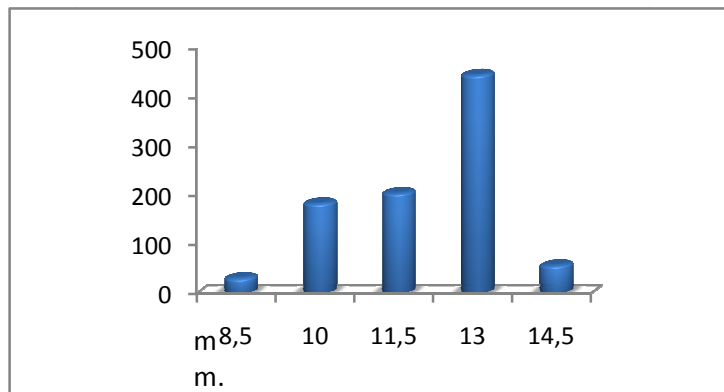


Figura 8.- Longitud de los implantes. Resultados globales.

- 1.1.8.-Inserción de los implantes respecto a la cresta ósea: 719 implantes se colocaron de forma crestal, mientras que los 200 restantes se insertaron supracrestalmente. (Figura 9).

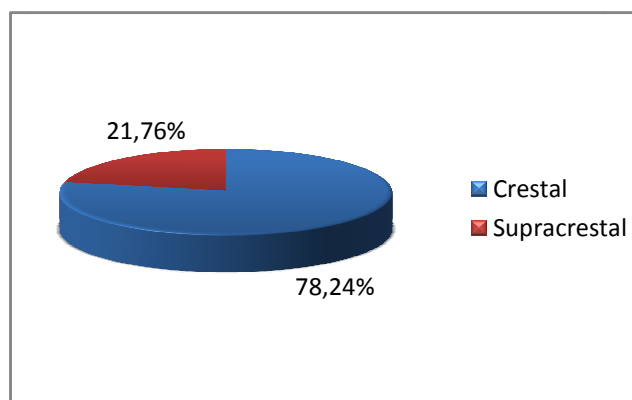


Figura 9.- Distribución según la inserción de los implantes en la cresta ósea.

- 1.1.9.- Tipo de prótesis: de todos los implantes incluidos en el estudio, 674 implantes fueron cargados con prótesis fija. Los 255 restantes fueron cargados con sobredentaduras. (Figura 10).

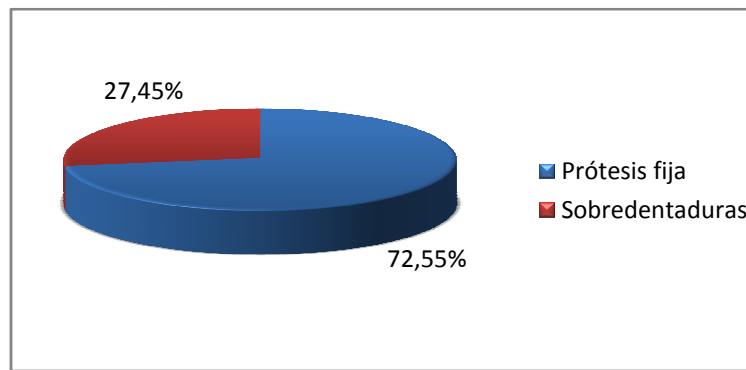


Figura 10.- Distribución según el tipo de prótesis. Resultados globales.

De los 674 implantes cargados con prótesis fija, 90 (13,9%), soportaban coronas unitarias, mientras que los 584 implantes restantes (86,1%) recibían puentes.

Dentro de las prótesis fijas, el 97,4 % pertenecían a prótesis atornilladas, mientras que en el 2,6% las prótesis eran cementadas.

En el caso de las sobredentaduras, en un 62,3% de los casos, eran retenidas por cuatro implantes, por lo que constaban de tres tramos de barra, en un 22,7% de los casos tenían de cuatro tramos de barra y seis implantes.

| | Sobredentaduras | Coronas Unitarias | Puente |
|------------------|------------------------|--------------------------|---------------|
| Maxilar | 25 | 48 | 87 |
| Mandíbula | 32 | 42 | 92 |

Tabla 4

1.1.10.- Complicaciones: 839 de los implantes incluidos en el estudio no sufrieron complicaciones, 28 experimentaron complicaciones protésicas, 31 complicaciones quirúrgicas y los 13 restantes complicaciones periimplantarias. (Figura 11).

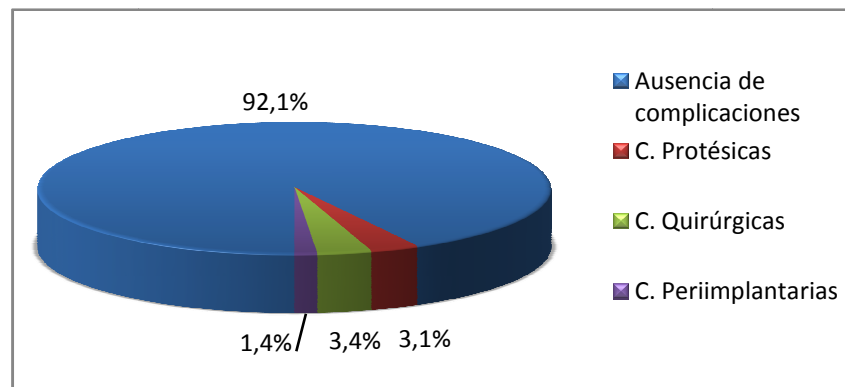


Figura 11.- Complicaciones. Resultados globales.

Dentro de las complicaciones clínicas encontramos: parestesias en 8 casos, falta de estabilidad del implante en 7 casos, presencia de cálculo en 11 casos, mucositis en 2 casos y dolor en 3 casos.

Las complicaciones protésicas se manifestaron como 28 casos de aflojamiento de tornillos. Las complicaciones periimplantarias se desglosan en 3 casos de fenestración, 1 de absceso periimplantario, y nueve casos de exposición del implante.

- 1.1.11.-Pérdida ósea: en el primer control, un año después de colocar los implantes, se contabilizaron 919 implantes, de los cuales, en 812 (88,36 %) y 807 (87,81%), no se registró pérdida ósea alguna en los controles mesial y distal respectivamente.

En el segundo control, a los tres años de colocar los implantes, se contabilizaron 743 fijaciones, de las cuales, tanto en los controles de la zona mesial y distal, más del 83% de los implantes no experimentaron pérdida ósea.

Finalmente, en el tercer control, a los cinco años, y tras contabilizar 486 implantes, en más del 80% de ellos no se registraron pérdidas óseas en ninguno de los controles.

- 1.1.12.-Supervivencia de los implantes: Del total de los implantes, 17 se perdieron durante el periodo postcarga. Los 902 implantes restantes, se mantuvieron durante todo el estudio. Por lo que la supervivencia de los implantes fue del 98,15% (Figura 12). De los 17 implantes perdidos, tres se perdieron antes del primer control, nueve entre el primer y segundo control y los cinco restantes entre el segundo y tercer control.

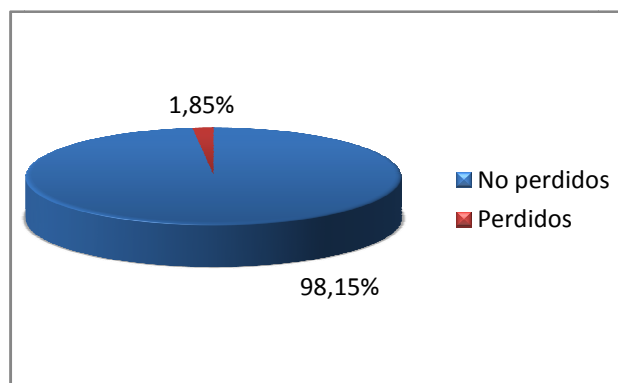


Figura 12.- Supervivencia de los implantes. Resultados globales.

- 1.1.13.- Estudio de los implantes perdidos:

La distribución de las pérdidas según el diámetro de las fijaciones fue la siguiente: 8 pérdidas, se produjeron en implantes de 3,6 mm., 9 pérdidas, en los de 4,7mm., mientras que no se produjo ninguna pérdida en implantes de 5,5mm.(Figura 13).

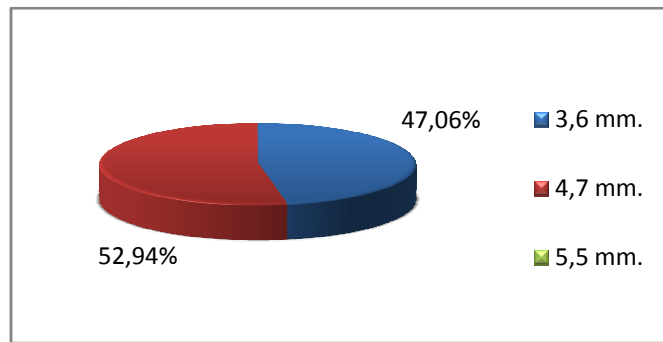


Figura 13.- Pérdidas de los implantes según el diámetro. Resultados globales.

Y en cuanto a la longitud de los implantes fracasados, 3 medían 10 mm., 5 eran de 11,5 mm., y los 9 restantes medían 13 mm. (Figura 14).

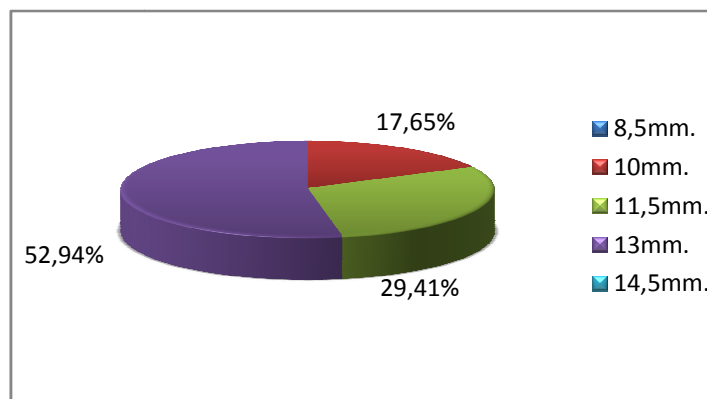


Figura 14.- Pérdida de los implantes según la longitud. Resultados globales.

Con respecto al sexo de los pacientes, de los implantes perdidos a lo largo del estudio, ocho fracasos tuvieron lugar en mujeres, mientras que los nueve implantes perdidos restantes fueron colocados en hombres (Figura 15).

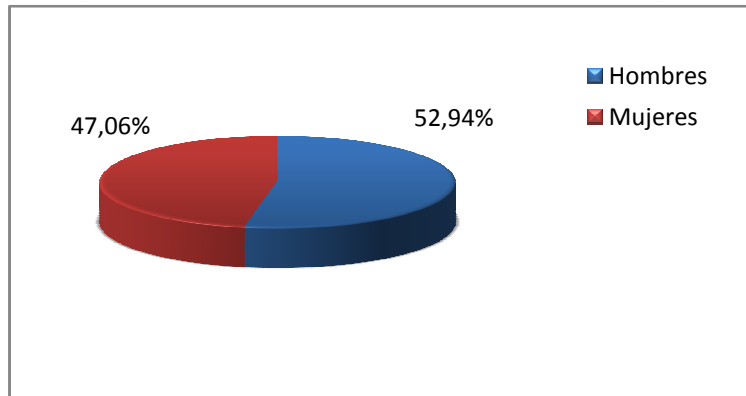


Figura 15.- Pérdida de implantes en función del sexo. Resultados globales.

Por implantes, la tasa de fracaso en mujeres fue del 1,24% mientras que en hombres se elevó hasta el 3,3%.

Asimismo, cuatro de los implantes perdidos estaban alojados en la mandíbula, los otros trece en el maxilar (Figura 16).

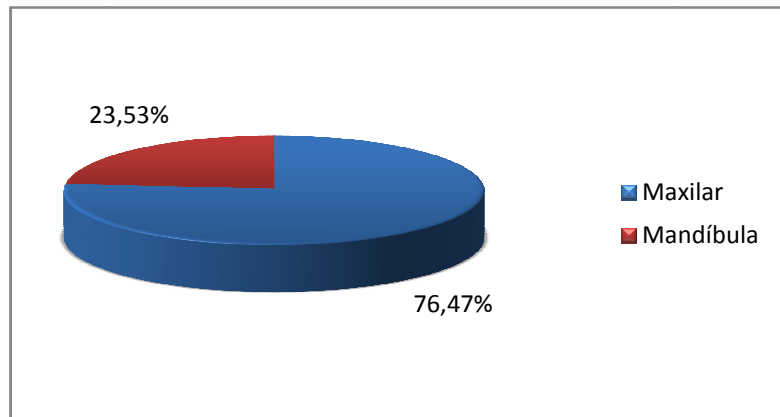


Figura 16.- Pérdida de implantes en función de su localización. Resultados globales.

En relación al número de implantes localizados en cada arcada, se perdieron el 2,67% de los implantes alojados en el maxilar mientras que en la mandíbula la tasa de fracaso fue del 0,93%.

En relación a la situación de los implantes con respecto a la cresta ósea, de los 17 implantes perdidos, 2 habían sido insertados de forma supracrestal, mientras que los 15 restantes se insertaron de forma crestal (Figura 17).

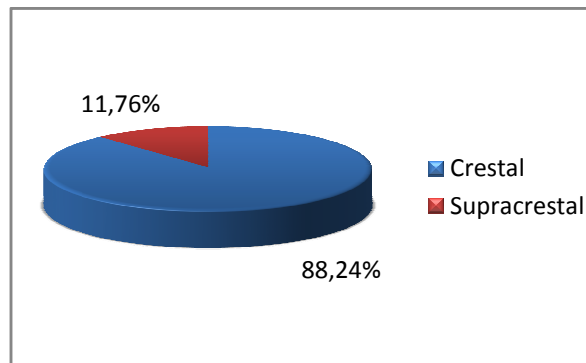


Figura 17.- Pérdida de implantes según su inserción. Resultados globales.

Si tomamos como criterio el tipo de carga a la que se sometió al implante, observamos que la mayoría de los implantes perdidos, 11, se correspondía con los que se habían sometido a carga precoz, mientras que tanto de los implantes cargados de forma inmediata como de los que precisaron cirugía previa se perdieron tres (Figura 18).

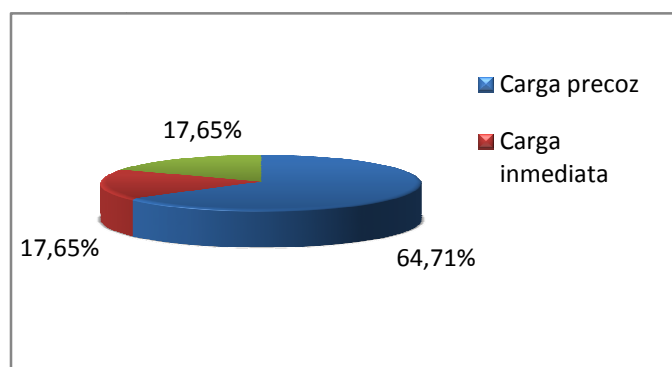


Figura 18.- Pérdida de implantes en función de la cirugía. Resultados globales.

En el caso del tipo de prótesis que soportaban los implantes, diez de los implantes perdidos recibían cargas de sobredentaduras, mientras que los siete restantes soportaban prótesis fijas, de las cuales cinco eran pilares de puentes y dos eran unitarios (Figura 19).

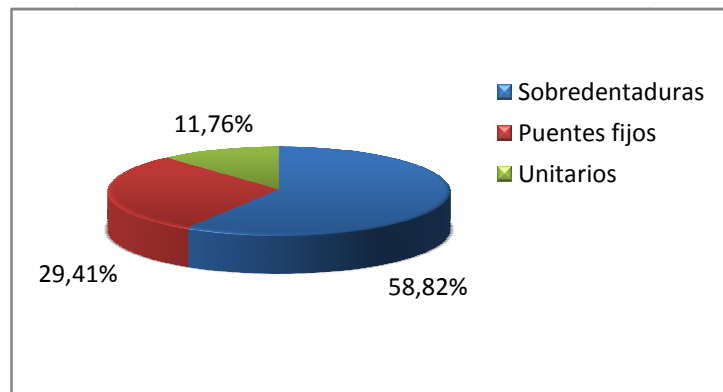


Figura 19.- Pérdida de implantes según el tipo de prótesis. Resultados globales.

1.2.) RESULTADOS PARA LOS IMPLANTES CARGADOS DE FORMA INMEDIATA:

- 1.2.1.-Número de implantes: el número de implantes que se colocaron de forma inmediata fue de 268. (Figura 20). En el primer control se contabilizaron 267 implantes (99,63%), en el segundo 248 (92,54%), y en el tercero y último se incluyeron 115 implantes (42,91%).

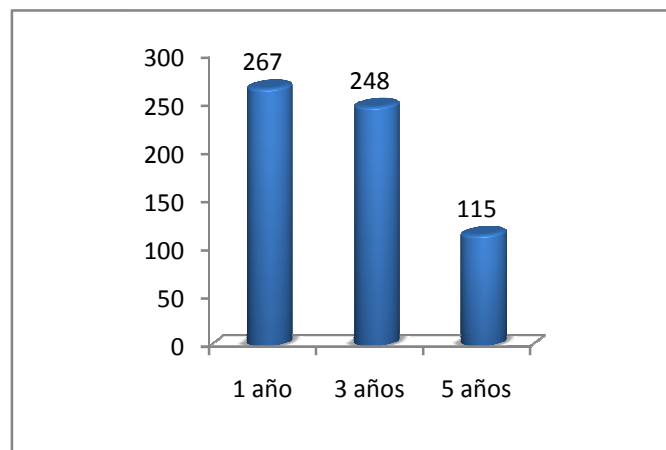


Figura 20.- Número de implantes cargados de forma inmediata.

- 1.2.2.-Edad: la media de edad de los pacientes a los que se les insertaron implantes cargados inmediatamente fue de 64,38 años, con un rango de edad entre los 46 y los 81 años.

- 1.2.3.-Sexo: de los 84 pacientes incluidos en el apartado de carga inmediata, 53 fueron mujeres, mientras que los 31 restantes fueron hombres, estableciéndose un ratio de 1,7:1. (Figura 21).

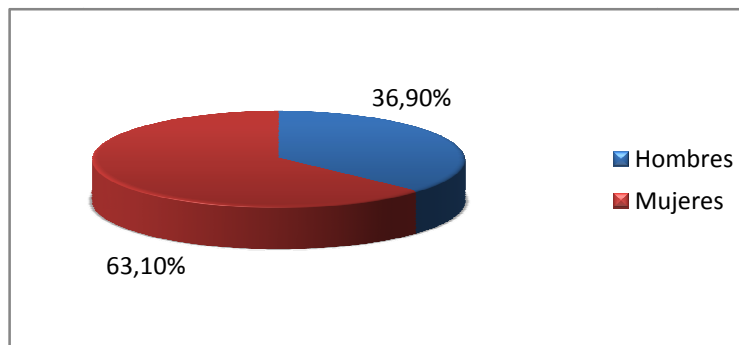


Figura 21.- Distribución por sexo. Carga inmediata

- 1.2.4.-Localización del implante: de todos los implantes utilizados en el apartado de carga inmediata, 90 fueron insertados en el maxilar mientras que los 178 restantes lo hicieron en la mandíbula, lo que supone un 33,58 % y un 66,42 % respectivamente. (Figura 22).

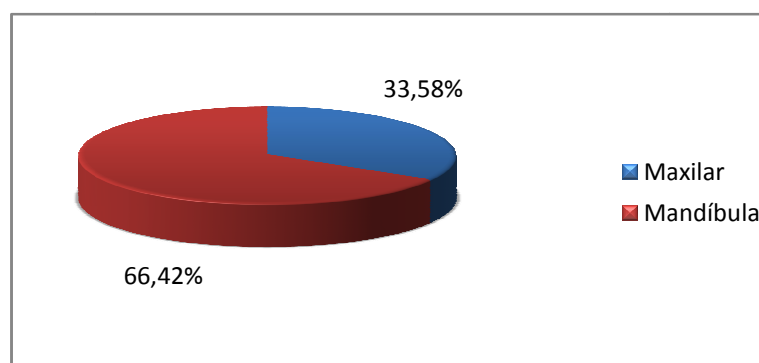


Figura 22.- Localización del implante. Carga inmediata

- 1.2.5.-Diámetro del implante: La distribución de los diámetros en los implantes cargados inmediatamente fue la siguiente: el 71,64%, (192 implantes) fueron de 3,6mm. El 23,51%, 63 implantes de 4,7mm. y el 4,85% restante, 13 implantes, de 5,5mm. (Figura 23).

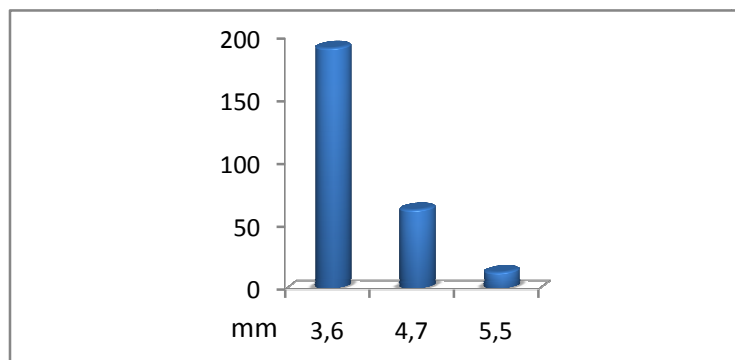


Figura 23.- Diámetro del implante. Carga inmediata

- 1.2.6.-Longitud de los implantes: del total de los implantes cargados inmediatamente, 42 (15,67%), fueron de 10 mm. Otros 57 implantes, un 21,27% fueron de 11,5 mm., frente a 160, un 59,7% de 13 mm. Los 9 restantes, un 3,36% fueron de 14,5 mm. No se colocaron fijaciones de 8,5 mm. (Figura 24).

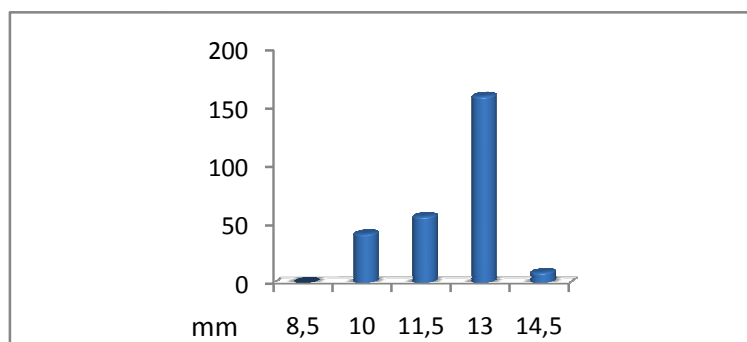


Figura 24.- Longitud de los implantes. Carga inmediata

- 1.2.7.-Tipo de prótesis: de los 268 implantes que se cargaron de forma inmediata, 114 fueron cargados con prótesis fija. Los 154 restantes fueron cargados con sobredentaduras. (Figura 25).

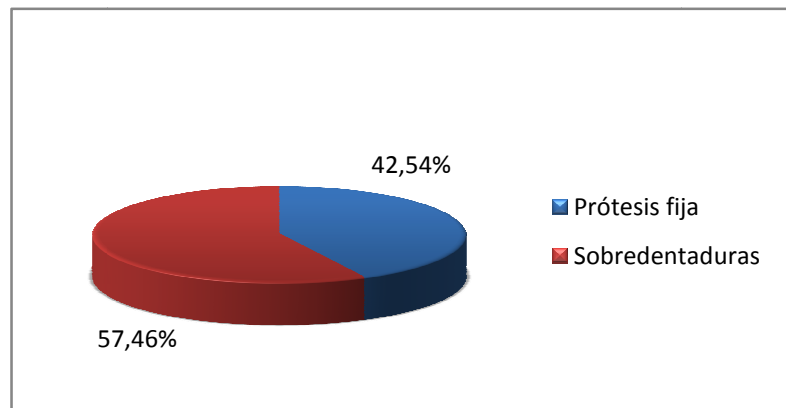


Figura 25.- Tipo de prótesis. Carga inmediata

De los 114 implantes cargados de forma inmediata con prótesis fija, 46, un 40,35 % soportaban coronas unitarias, mientras que las 68 fijaciones restantes (59,65%) recibían puentes fijos.

Dentro de las prótesis fijas, el 93,4% de las fijaciones recibían prótesis atornilladas.

| | Sobredentaduras | Coronas Unitarias | Puente fijo |
|------------------|------------------------|--------------------------|--------------------|
| Maxilar | 9 | 32 | 10 |
| Mandíbula | 31 | 14 | 7 |

Tabla 5

1.2.8.-Inserción de los implantes respecto a la cresta ósea:

203 implantes se colocaron de forma crestal. Los 65 implantes restantes se insertaron supracrestalmente. (Figura 26).

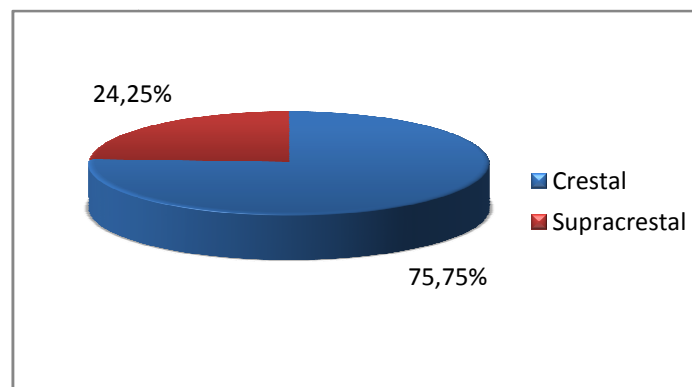


Figura 26.- Inserción de los implantes. Carga inmediata

- 1.2.9.-Pérdida ósea: en el primer control, un año después de colocar los implantes, se registraron 261 implantes, de los cuales, no experimentaron pérdida ósea 249 implantes en el control mesial, y 247 implantes en el control de la zona distal, lo que supone un 95,4% y un 94,6% respectivamente.

En el segundo control, a los tres años, fueron contabilizados 210 implantes, de los cuales, tanto en los controles de la zona mesial como distal, el 90% de los implantes no perdieron ninguna espira de hueso.

Finalmente, en el tercer control, a los cinco años, y tras contabilizar 115 implantes, el 86,1% de ellos no sufrieron pérdida ósea ni en mesial ni en distal.

- 1.2.10.-Supervivencia de los implantes: Del total de los implantes cargados de forma inmediata se perdieron 3. Los 265 implantes restantes se mantuvieron funcionales a lo largo del estudio. Lo que implica una tasa de supervivencia del 98,88% (Figura 27). De los tres implantes perdidos, dos se perdieron entre el segundo y el tercer control, y el otro entre el primer y segundo control.

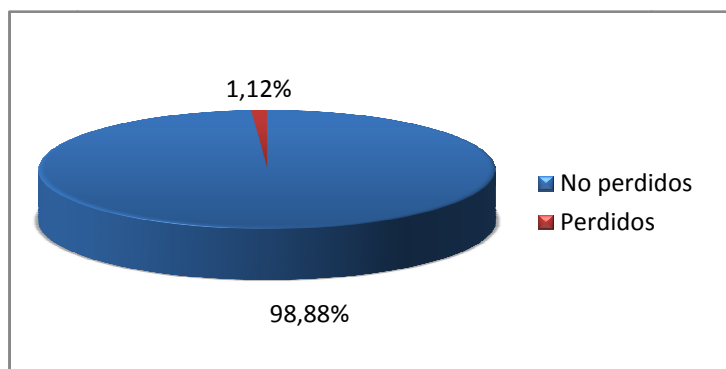


Figura 27. Supervivencia de los implantes. Carga inmediata

- 1.2.11.- Estudio de los implantes perdidos cargados de forma inmediata: entre los implantes cargados de forma inmediata se produjeron tres pérdidas, en dos pacientes distintos.

Dos de las fijaciones eran de 4,7 mm., y el otro de 3,6 mm. de diámetro, todos ellos medían 13 mm.

Con respecto al sexo, los dos pacientes que perdieron implantes fueron hombres.

Todos los implantes estaban alojados en la mandíbula e insertados crestalmente.

Con respecto a la prótesis que soportaban, en el paciente que perdió dos implantes, se trataba de un puente fijo, en el tercer caso estaba incluido en una sobredentadura inferior.

1.3) RESULTADOS PARA LOS IMPLANTES CARGADOS DE FORMA PRECOZ:

- 1.3.1.-Número de implantes: el número de implantes cargados de forma precoz fue de 510. (Figura 28). En el primer control contabilizamos 499 implantes (97,84%), en el segundo 406 (79,61%) y en el tercero y último 282 (55,29%).

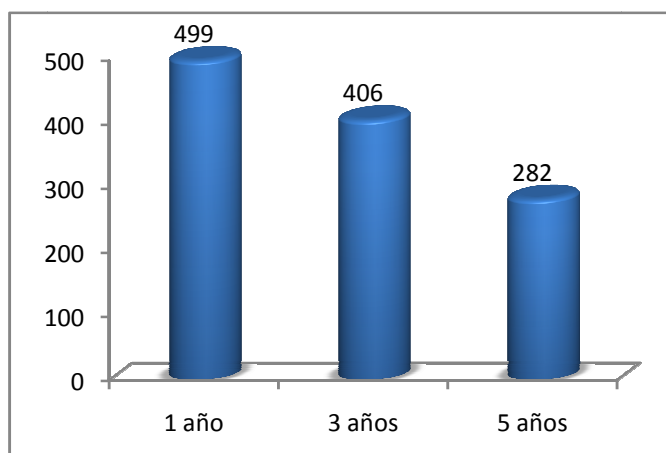


Figura 28.- Número de implantes cargados de forma precoz.

- 1.3.2.-Edad: la media de edad de los pacientes que recibieron implantes cargados de forma precoz fue de 65,53 años, con un rango de edad entre los 48 y los 81 años.

- 1.3.3.-Sexo: de los 104 pacientes de este grupo, 69, fueron mujeres, mientras que los 35 restantes, fueron hombres, estableciéndose un ratio de 2:1. (Figura 29).

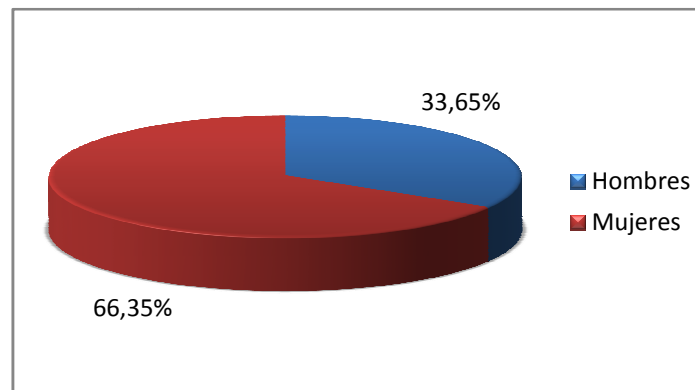


Figura 29. Distribución por sexo. Carga precoz

- 1.3.4.-Localización del implante: de los 510 implantes cargados de forma precoz, 257 fueron alojados en el maxilar mientras que los 253 restantes lo hicieron en la mandíbula. (Figura 30).

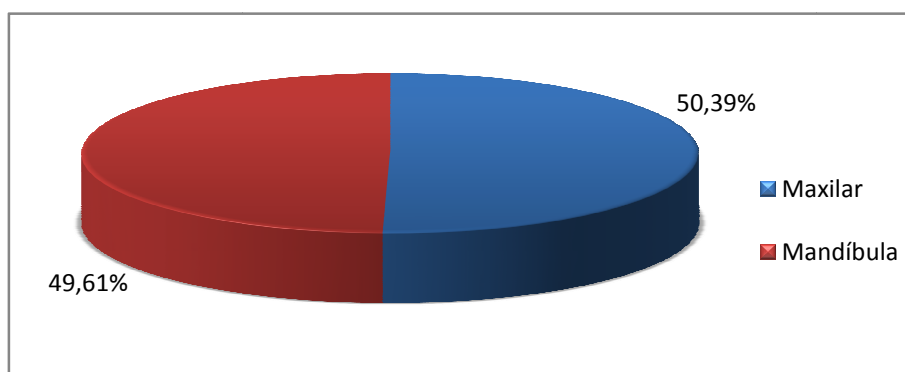


Figura 30. Localización del implante. Carga precoz

- 1.3.5.-Diámetro del implante: La distribución de los implantes cargados de forma precoz fue la siguiente: el 56,67%, 289 implantes, correspondieron a implantes de 3,6mm. de diámetro. El 37,25%, 190, a los de 4,7 mm. y el 6,08% restante, a los de 5,5 mm. (Figura 31).

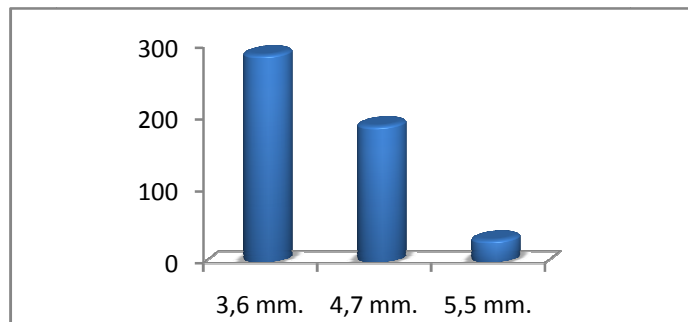


Figura 31. Diámetro del implante. Carga precoz

- 1.3.6.-Longitud de los implantes: de los implantes cargados de forma precoz, 27 (5,29%) fueron de 8,5mm. Otros 99 implantes, un 19,42%, fueron de 10 mm., y 119 (23,33%) de 11,5 mm. La mayoría de los implantes, 231, que representan un 45,29% fueron de 13 mm., y el 6,67% restante, 34 implantes, fueron de 14,5 mm. (Figura 32).

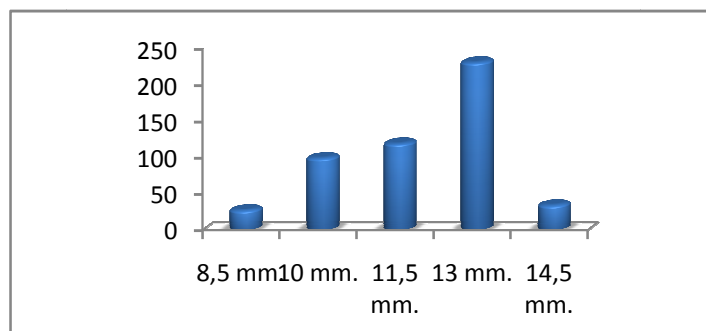


Figura 32. Longitud de los implantes. Carga precoz

- 1.3.7.- Tipo de prótesis: de todos los implantes incluidos en el estudio que fueron cargados de forma precoz, 436 fueron cargados con prótesis fija. Los 74 restantes fueron cargados con sobredentaduras. (Figura 33).

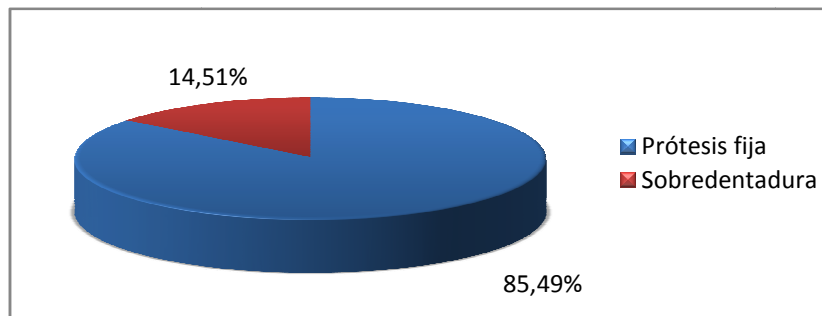


Figura 33.- Distribución según el tipo de prótesis. Carga precoz.

De los 436 implantes cargados con prótesis fija, 28, un 6,42% soportaban coronas unitarias, mientras que los 408 implantes restantes (93,58%) recibían puentes fijos.

De los implantes que recibieron prótesis fijas de forma precoz, el 3,9% correspondían a prótesis cementadas, mientras que en el 96,1% eran atornilladas.

| | Sobredentaduras | Coronas unitarias | Puente fijo |
|------------------|------------------------|--------------------------|--------------------|
| Maxilar | 12 | 16 | 61 |
| Mandíbula | 0 | 12 | 68 |

Tabla 6

1.3.8.-Inserción de los implantes respecto a la cresta ósea:

388 implantes se colocaron de forma crestal. Los 122 implantes restantes se insertaron supracrestalmente. (Figura 34).

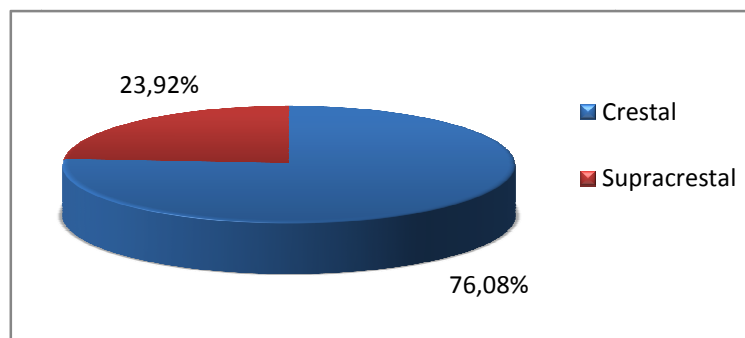


Figura 34. Inserción de los implantes. Carga precoz

1.3.9.-Pérdida ósea: en el primer control, un año después de colocar los implantes, se registraron 499, de los cuales, tanto en los controles de la zona mesial como distal, más del 89,2% no experimentaron pérdida ósea.

En el segundo control, a los tres años de colocar los implantes, se contabilizaron 406, de los cuales, no perdieron ninguna

espira de hueso 351 implantes en la zona mesial, ni 349 en el control de la zona distal, lo que supone un 86,5% y un 86,0% respectivamente. Finalmente, en el tercer control, a los cinco años, y tras contabilizar 282 implantes cargados de forma precoz, en más del 85% no se observó pérdida ósea.

- 1.3.9.-Supervivencia de los implantes: Del total de los implantes cargados precozmente (510), 11 se perdieron durante el periodo postcarga, de los cuales, tres se perdieron antes del primer control, seis entre el primer y segundo control, y los dos restantes entre el segundo y tercer control. Los 499 implantes restantes se mantuvieron con éxito a lo largo del estudio, por lo que la tasa de supervivencia fue del 97,84% (Figura 35).

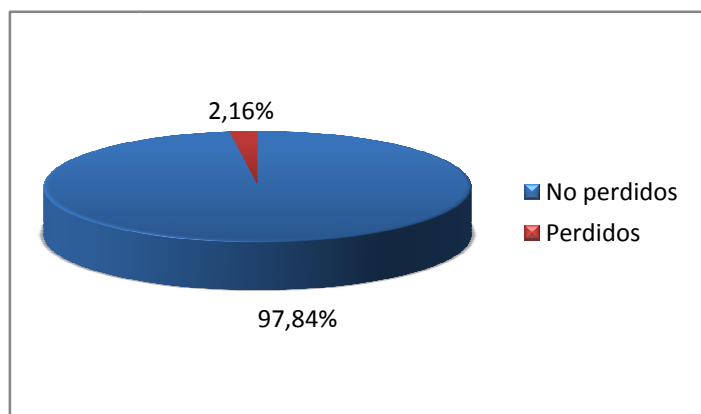


Figura 35. Supervivencia de los implantes. Carga precoz

- 1.3.10.-Estudio de los implantes perdidos: la distribución de las pérdidas de los implantes cargados de forma precoz según su diámetro fue la siguiente: se perdieron 5 y 6 implantes de 3,6 mm. y

4,7 mm. respectivamente. No se perdió ningún implante de 5,5 mm. cargado de forma precoz. (Figura 36).

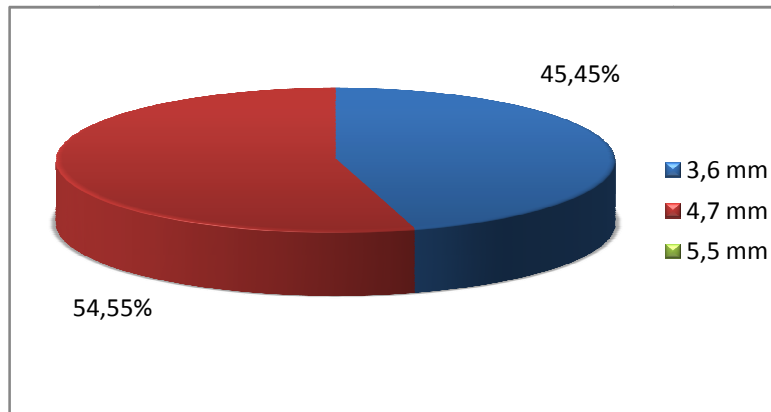


Figura 36.- Pérdida de los implantes según el diámetro. Carga precoz.

Y en cuanto a la longitud de los implantes cargados de forma precoz que fracasaron, 1 medía 10mm., 4 eran de 11,5 mm., y los 6 restantes medían 13mm. (Figura 37).

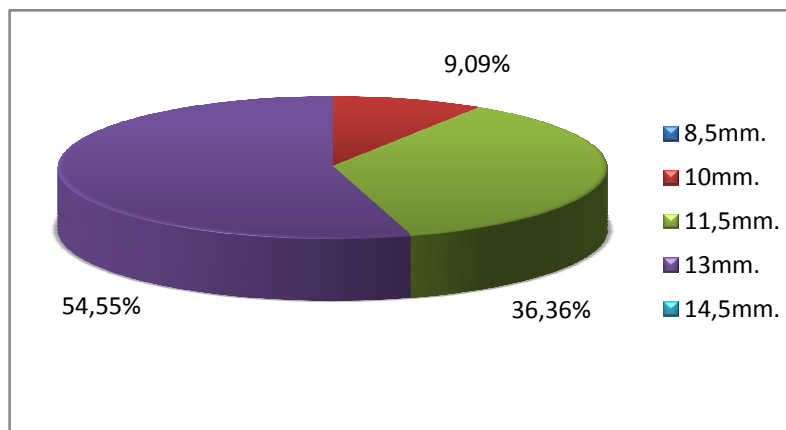


Figura 37.- Pérdida de implantes según la longitud. Carga precoz

Con respecto al sexo de los pacientes, de los implantes cargados de forma precoz perdido a lo largo del estudio, cinco

fracasos tuvieron lugar en mujeres, mientras que los seis restantes fueron colocados en hombres (Figura 38).

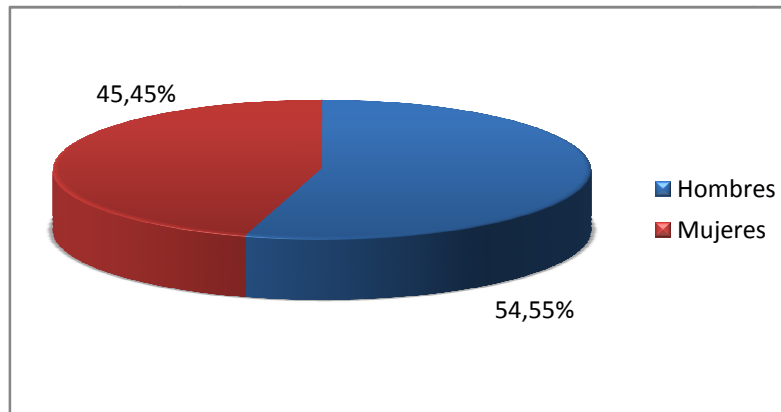


Figura 38.- Pérdida de implantes en función del sexo. Carga precoz.

Con respecto a la localización de los implantes perdidos cargados precozmente, diez se perdieron en el maxilar y uno en la mandíbula (Figura 39).

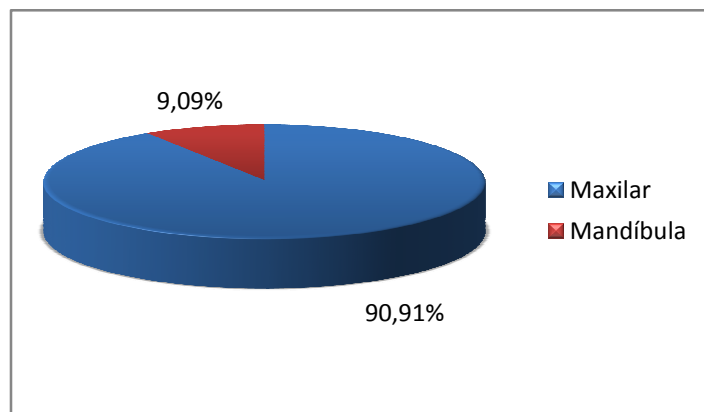


Figura 39.- Pérdida de implantes en función de su localización. Carga precoz.

En relación a la situación de los implantes con respecto a la cresta ósea, de los 11 implantes perdidos, 2 habían sido insertados

de forma supracrestal, mientras que los 9 restantes se insertaron de forma crestal (Figura 40).

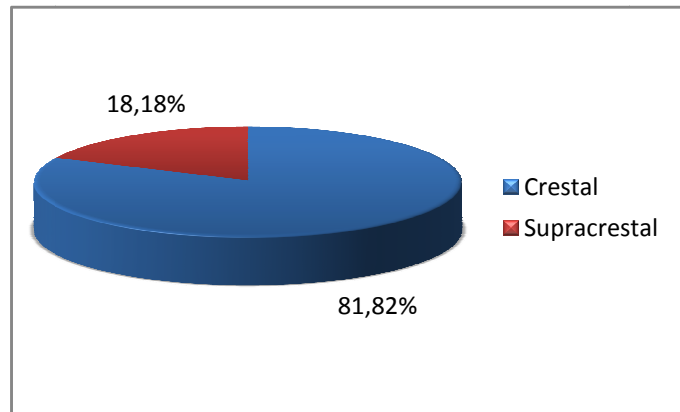


Figura 40.- Pérdida de implantes según su inserción en la cresta. Carga precoz.

En el caso del tipo de prótesis que soportaban los implantes, siete de los implantes perdidos recibían cargas de sobredentaduras, mientras que los cuatro restantes soportaban prótesis fijas, todos ellos eran pilares de puentes (Figura 41).

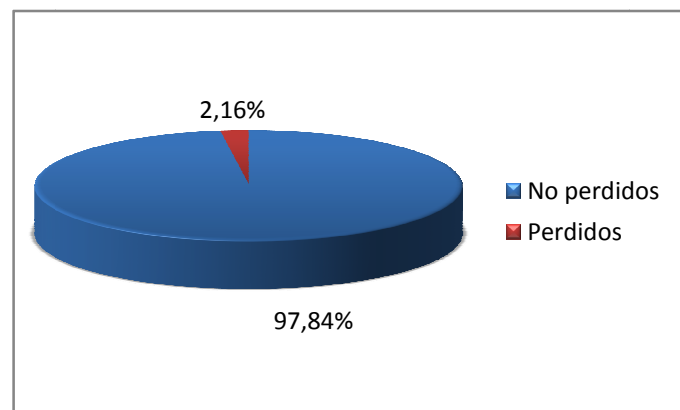


Figura 41.- Pérdida de implantes según el tipo de prótesis. Carga precoz

1.4) RESULTADOS PARA LOS IMPLANTES QUE PRECISARON CIRUGÍA PREVIA:

- 1.4.1.-Número de implantes: el número total de implantes que precisaron cirugía previa utilizados en el presente estudio fue de 141 (figura 42). En el primer control contabilizamos 141 implantes (100%), en el segundo 127 (90,07%) y en el tercero 89 (63,12%).

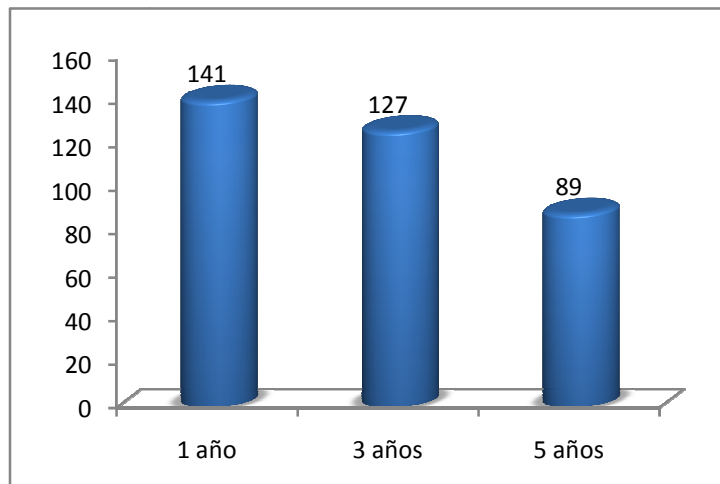


Figura 42.- Número de implantes que precisaron cirugía previa incluidos en el estudio.

- 1.4.2.-Edad: la media de edad de los pacientes que se sometieron a cirugía previa a la colocación de los implantes fue de 50,5 años, con un intervalo de entre 37 y 64 años.

- 1.4.3.-Sexo: de los 30 pacientes correspondientes al grupo de pacientes que se sometió a cirugía previa a la colocación de los implantes, 24, fueron mujeres por 6 que fueron hombres, dando como resultado un ratio de 4:1. (figura 43).

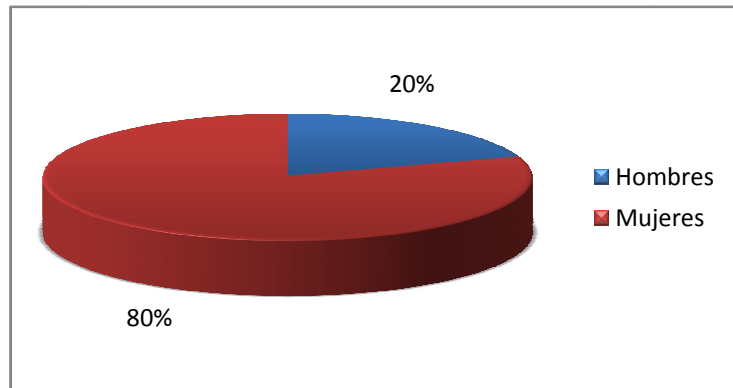


Figura 43. Distribución por sexo. Cirugía previa.

- 1.4.4.-Distribución de los implantes según el tipo de cirugía: se realizó según las siguientes categorías: dentro de los implantes colocados en el maxilar se subdividieron entre elevación sinusal y onlays. Los primeros constaban de relleno con biomaterial, 21 implantes, con biomaterial y hueso, 17 implantes y relleno con hueso, 20 implantes. En lo referente a los onlays, 15 implantes se colocaron sobre onlays laterales y otros tantos sobre onlays verticales. (figura 44). En cuanto a los implantes insertados en la mandíbula, seis se colocaron tras distracción ósea, 15 tras injerto en forma de onlay lateral, 26 implantes seguidamente a onlays verticales y seis tras haber sometido al paciente a lateralización del nervio dentario. (figura 45).

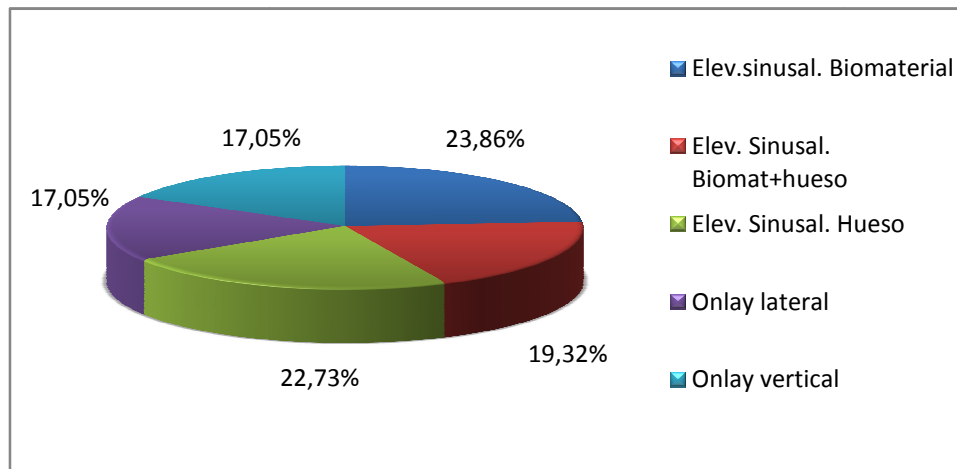


Figura 44. Distribución según el tipo de cirugía. Maxilar. Cirugía previa.

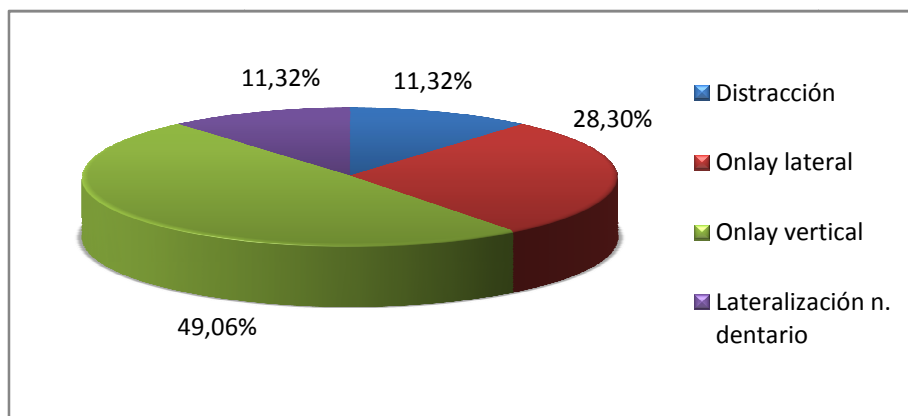


Figura 45. Distribución según el tipo de cirugía. Mandíbula. Cirugía previa.

- 1.4.5.-Localización del implante: de todos los implantes utilizados en pacientes pertenecientes al grupo de cirugía previa, 81 fueron alojados en el maxilar mientras que los 60 restantes, lo hicieron en la mandíbula. (Figura 46).

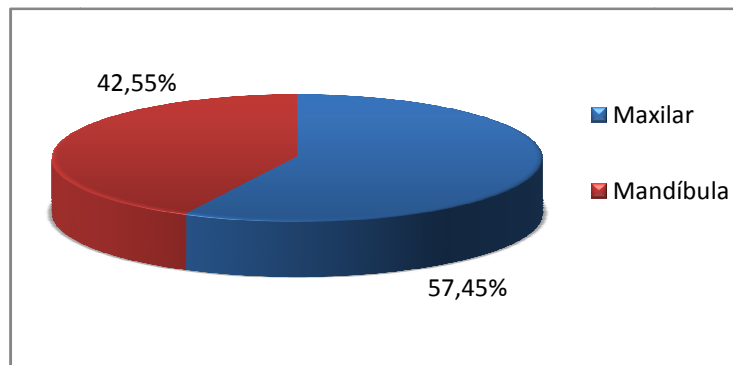


Figura 46. Localización del implante. Cirugía previa.

- 1.4.6.-Diámetro del implante: La distribución en este apartado fue la siguiente: 94 implantes, corresponden a implantes de 3,6 mm. de diámetro. 45 implantes a los de 4,7 mm. y los 2 implantes restantes, a los de 5,5 mm. (Figura 47).

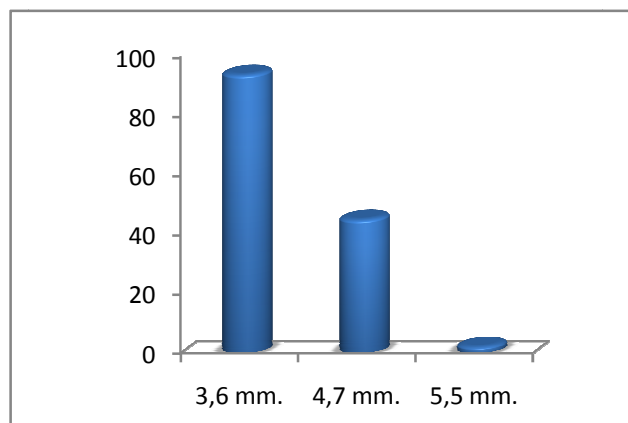


Figura 47. Diámetro del implante. Cirugía previa.

- 1.4.7.-Longitud de los implantes: del total de los implantes que precisaron cirugía previa, 3 fueron de 8,5mm. Otros 42, fueron de 10 mm. frente a 28 implantes de 11,5 mm. La mayoría de los implantes, 55, fueron de 13mm., los 13 implantes restantes, fueron de 14,5 mm. (Figura 48).

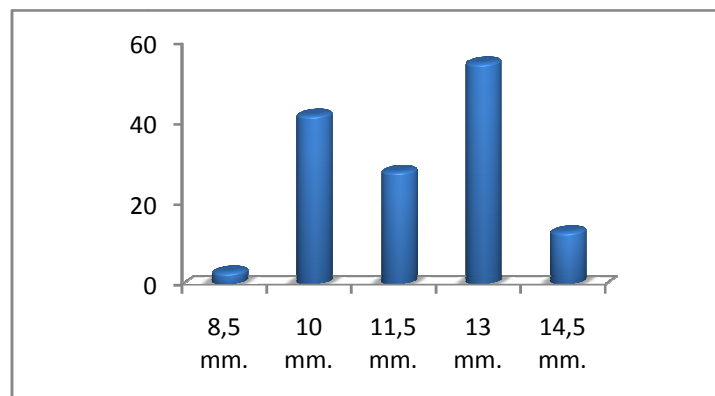


Figura 48. Longitud de los implantes. Cirugía previa.

- 1.4.8.-Inserción de los implantes respecto a la cresta ósea: 128 implantes se colocaron de forma crestal, los 13 se insertaron supracrestalmente. (Figura 49).

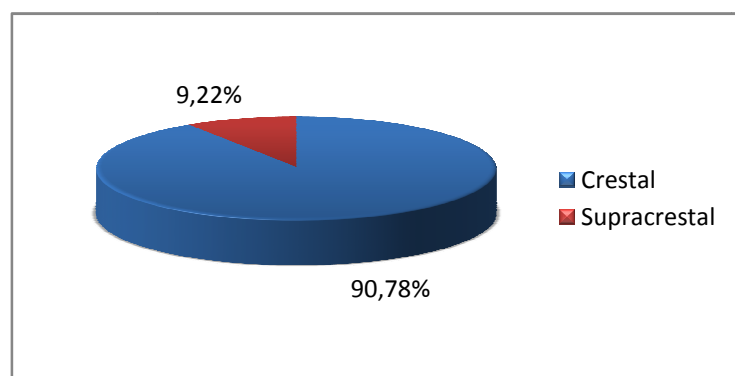


Figura 49. Inserción de los implantes. Cirugía previa.

- 1.4.9.- Tipo de prótesis: de todos los implantes que precisaron cirugía previa incluidos en el estudio, 113 fueron cargados con prótesis fija. Los 27 restantes fueron cargados con sobredentaduras (Figura 50).

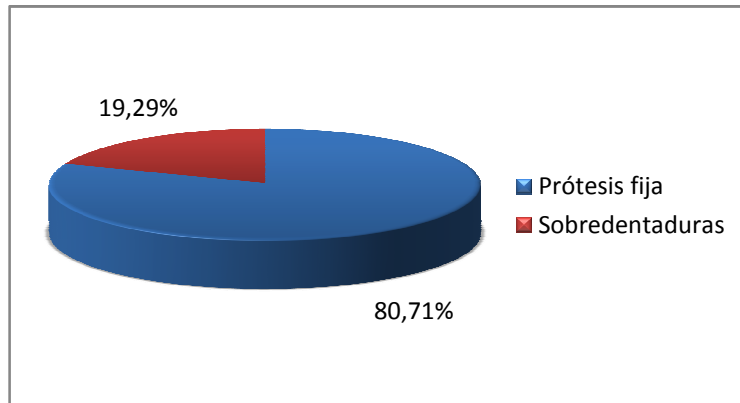


Figura 50.- Distribución según el tipo de prótesis. Cirugía previa.

De los 113 implantes cargados con prótesis fija, 16, un 14,16% soportaban coronas unitarias, mientras que los 97 implantes restantes (85,84%) recibían puentes fijos.

Todas las prótesis fijas colocadas sobre implantes que precisaron cirugía previa fueron atornilladas.

| | Sobredentaduras | Coronas unitarias | Puente fijo |
|------------------|------------------------|--------------------------|--------------------|
| Maxilar | 4 | 9 | 16 |
| Mandíbula | 1 | 7 | 17 |

Tabla 7

- 1.4.10.-Pérdida ósea: en el primer control, un año después de colocar los implantes, se registraron 141 implantes, de los cuales no experimentaron pérdida ósea 118 implantes en el control mesial, y 115 implantes en el control de la zona distal, lo que supone un 83,7% y un 81,6% respectivamente.

En el segundo control, a los tres años de colocar los implantes, se contabilizaron 127 implantes, de las cuales, tanto en los controles de la zona mesial como distal, en más del 62% de los implantes no se registraron pérdidas óseas.

Finalmente, en el tercer control, a los cinco años, y tras contabilizar 89 implantes, el 58,4% y el 60,7%, en mesial y distal respectivamente, no habían perdido ninguna espira de hueso.

- 1.4.11.-Supervivencia de los implantes: del total de los implantes que precisaron cirugía previa a su inserción, tres, se perdieron durante el periodo postcarga. De los que dos se perdieron entre el primer y segundo control y el otro entre el segundo y tercer control. Los 138 implantes restantes implicaron una supervivencia del 97,87%. (Figura 51).

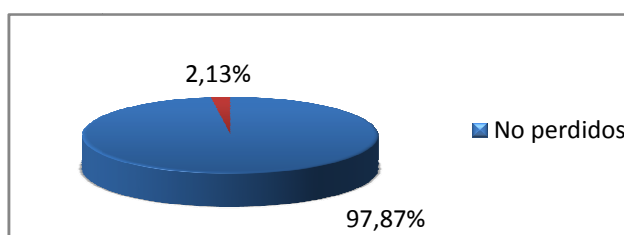


Figura 51. Supervivencia de los implantes. Cirugía previa.

- 1.4.12 Estudio de los implantes perdidos: se perdieron tres implantes en el periodo postcarga, tras haber precisado cirugía previa a su colocación.

Dos de ellos se perdieron en la misma paciente, y soportaban una sobredentadura maxilar. Los dos se colocaron de forma crestal. El primero de ellos se situó en el lugar del primer molar superior derecho, era de 3,6 mm. de diámetro y 11,5 mm. de longitud y preciso elevación sinusal e injerto óseo previa a su colocación. El segundo se insertó en el lugar del primer premolar superior izquierdo y era también de 3,6mm. de diámetro pero 10mm. de longitud. Se realizó un onlay lateral antes de su colocación.

El tercer implante que se perdió, se situó en la zona del primer molar superior derecho, su diámetro era 4,7 mm. y la longitud de 10mm., se colocó de forma crestal y para soportar un puente fijo atornillado. Precisó de un injerto óseo antes de su colocación.

2) CORRELACIONES:

2.1) CORRELACIONES GENERALES ENTRE LAS DISTINTAS VARIABLES:

2.1.1.- Pérdida ósea en función del sexo :

Confrontando los datos de pérdida ósea con el sexo de los pacientes, éstas fueron mayores en los tres controles en mujeres, aunque esta diferencia sólo es significativa en el segundo control ($p=0,01$), en el que la pérdida media para las mujeres fue de 0,267 espiras por 0,131 en los hombres(figura 52).

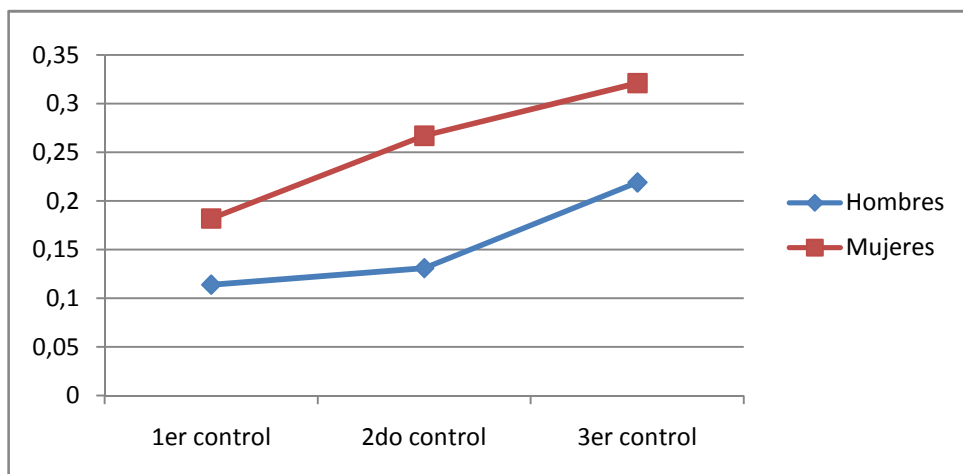


Figura 52.- Pérdida ósea en función del sexo.

2.1.2.- Pérdida ósea en función de la localización del implante:

En el caso de las pérdidas óseas en función de la localización del implante, éstas siempre son significativamente mayores en el maxilar con respecto a la mandíbula, obteniendo según el test ANOVA $p=0,046$, $p=0,047$ y $p=0,000$ en el primer, segundo y tercer control respectivamente (figura 53).

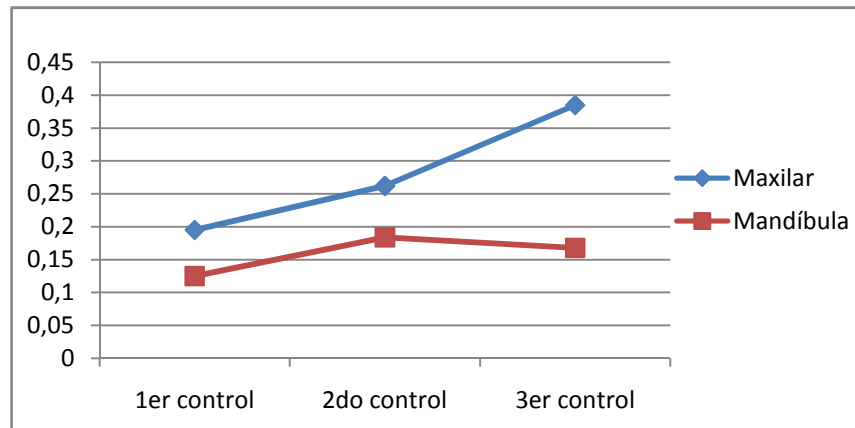


Figura 53.- Pérdida ósea en función de la localización del implante.

2.1.3.- Pérdida ósea en función del diámetro del implante:

Los implantes de 3,6 mm. de diámetro pierden menos espiras en el primer control. Este resultado es significativo según el test ANOVA ($p= 0,07$). A partir de aquí, en el segundo y tercer controles los implantes de 5,5 mm. experimentan menores pérdidas que los de 4,7 mm. y 3,6 mm., aunque estas diferencias no son significativas (figura 54).

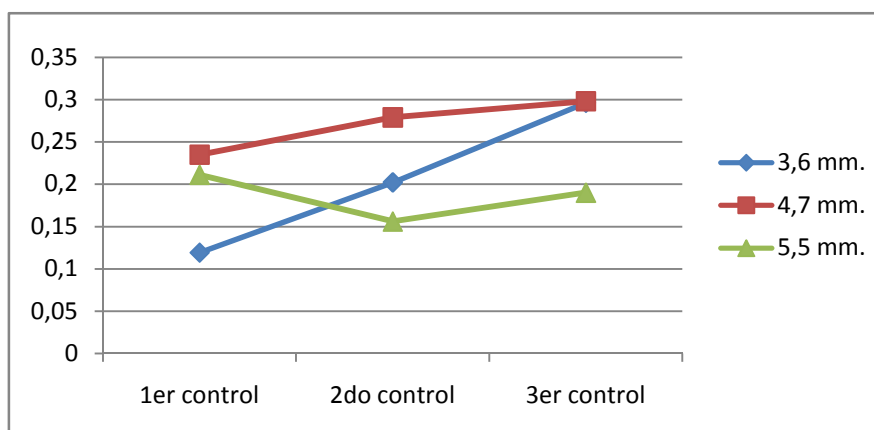


Figura 54.- Pérdida ósea en función del diámetro del implante.

2.1.4.- Pérdida ósea en función de la carga del implante:

Tras analizar los datos de pérdidas óseas en función de la carga que recibían los implantes, se observa que en los tres controles las diferencias entre los grupos carga inmediata, carga precoz e implantes que precisaron cirugía previa fueron significativas. Tras las pruebas post hoc, aplicando el test de Duncan observamos que mientras en el primer control es significativa la menor pérdida de implantes de carga inmediata con respecto a los otros dos grupos, en el segundo y tercer controles lo significativo es el aumento de pérdida de ósea en el grupo de implantes de cirugía previa con respecto a los grupos de carga inmediata y de carga precoz entre los que no hubo diferencias significativas (figura 55).

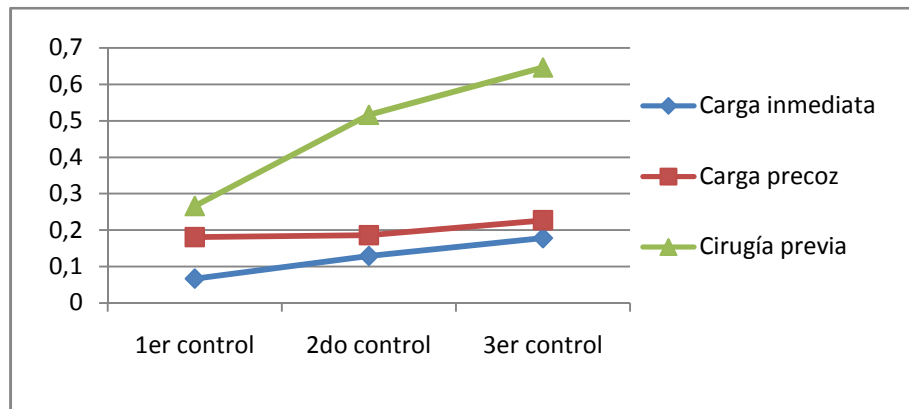


Figura 55.- Pérdida ósea en función del tipo de carga.

2.1.5.- Pérdida ósea en función del tipo de prótesis:

Según el tipo de prótesis que cargó los implantes, las diferencias entre prótesis fija y sobredentadura tan sólo fueron significativas en el segundo control, donde los implantes cargados con sobredentaduras sufrieron menos pérdidas. En el tercer control la situación se revierte y los implantes cargados con prótesis fijas tuvieron menos pérdidas, aunque la importancia de este dato es relativa puesto que esa diferencia no es significativa ($p= 0,111$) (figura 56).

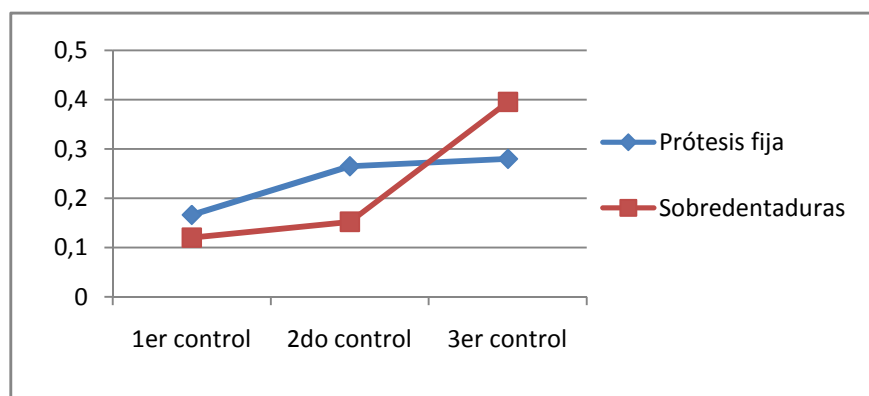


Figura 56.- Pérdida ósea en función del tipo de prótesis.

Dentro de los implantes que recibieron prótesis fija, los que soportaban coronas unitarias en los tres controles sufrieron menos pérdidas que los que recibían puentes. Ésta diferencia sólo es significativa en el segundo control (figura 57).

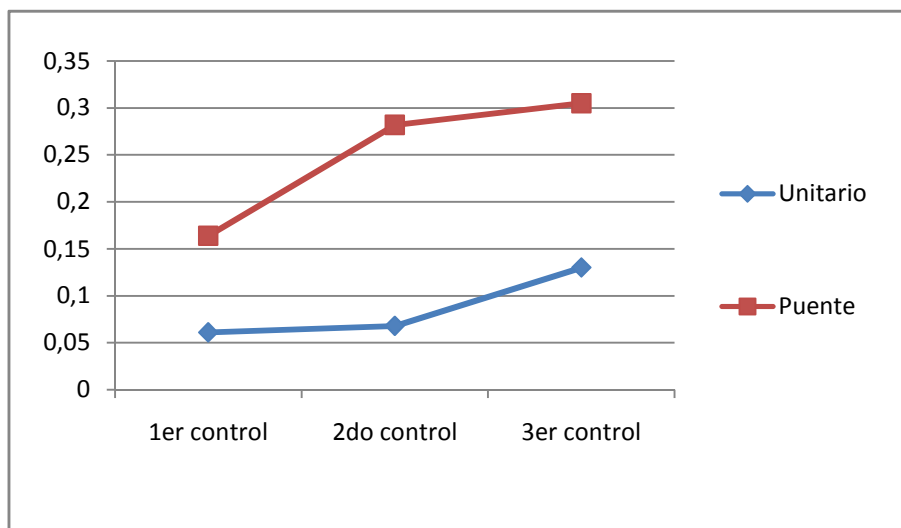


Figura 57.- Pérdida ósea según el tipo de prótesis fija

No existieron diferencias significativas entre los implantes que recibieron prótesis fijas atornilladas o cementadas.

2.1.6.- Complicaciones:

Dentro de las complicaciones que sufrieron el total de los implantes, es significativo que los que sufrieron complicaciones clínicas, tienen pérdidas mucho mayores en el tercer control.

2.1.7.- Cirugía previa:

De entre los implantes colocados en pacientes que precisaron someterse a cirugía previa, la mayor pérdida en el primer control se produjo en aquellos implantes que tuvieron que someterse a distracción ósea previa a la colocación de los mismos.

En el segundo control son significativas las diferencias dividiendo las pérdidas en tres grupos según el test de Duncan. Siendo los grupos, de menor a mayor pérdida ósea, elevación + biomaterial + hueso, onlay lateral, onlay vertical e injerto óseo por un lado, lateralización del nervio dentario por otro, y en el tercer grupo, elevación sinusal + hueso, membrana + hueso y distracción ósea.

En el tercer control no existen diferencias significativas entre los nueve grupos (figura 58).

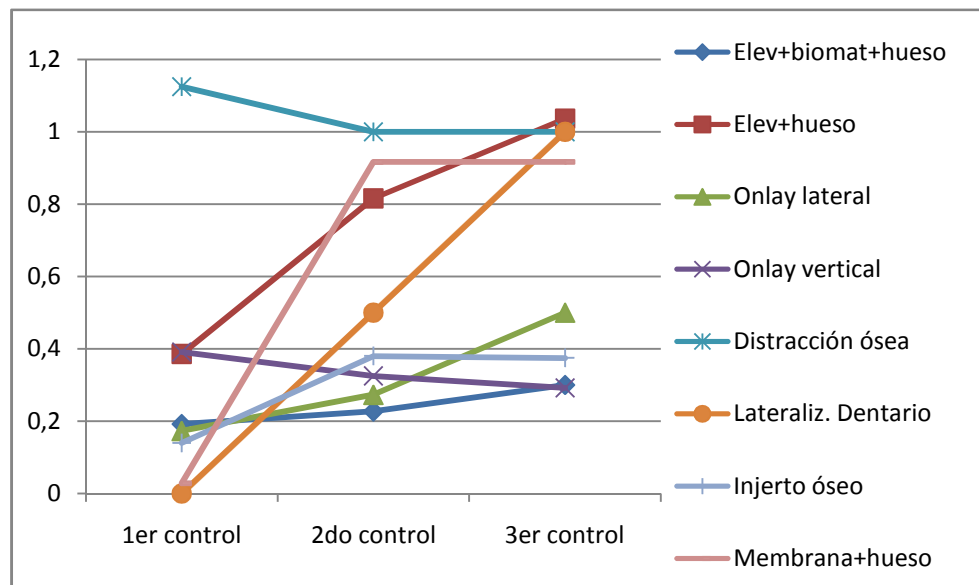


Figura 58.- Pérdida ósea en función del tipo de cirugía previa

2.2.) CORRELACIONES ENTRE LAS VARIABLES EN FUNCIÓN DEL TIPO DE CARGA DE LOS IMPLANTES:

2.2.1.- Sexo:

- **Carga inmediata:** tras aplicar el test ANOVA a los implantes cargados de forma inmediata, divididos en función del sexo de los pacientes, observamos que en los tres controles los hombres perdían menos espiras que las mujeres, aunque esta diferencia tan sólo es significativa en el tercer control ($p=0,027$) (figura 59).

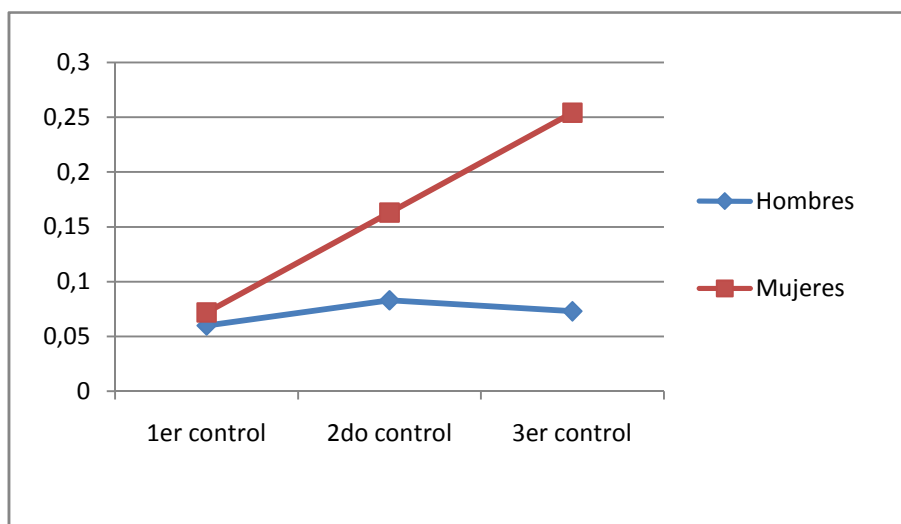


Figura 59.- Pérdida ósea en función del sexo. Carga inmediata

- **Carga precoz:** no existen diferencias significativas con respecto al sexo en los implantes cargados de forma precoz.

- **Cirugía previa:** en los tres controles las pérdidas de espiras fueron superiores en las mujeres que en los hombres, siendo significativa la diferencia en el segundo control ($p=0,024$) (figura 60).

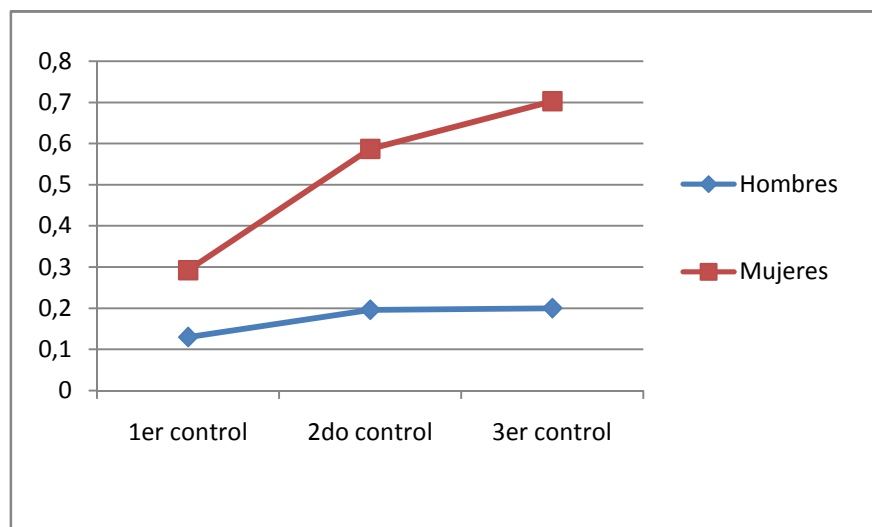


Figura 60.- Pérdida ósea en función del sexo. Cirugía previa

2.2.2.- Localización del implante:

- **Carga inmediata:** no se observaron diferencias significativas entre los implantes cargados de forma inmediata en maxilar o mandíbula.

- **Carga precoz:** las diferencias entre las pérdidas de espiras para maxilar y mandíbula en carga precoz son significativas en el primer y tercer controles ($p=0,05$ y $p=0,021$ respectivamente), siendo mayor en maxilar que en mandíbula en todos los casos (figura 61).

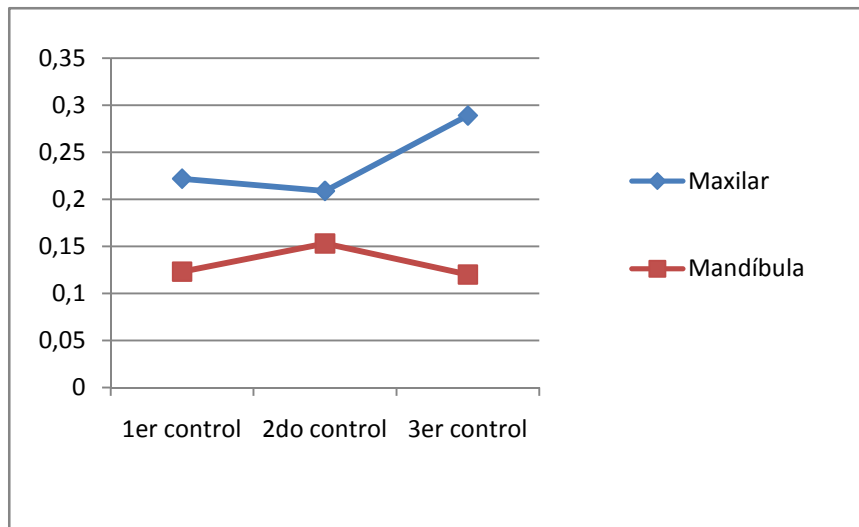


Figura 61.- Pérdida ósea en función de la localización del implante. Carga precoz.

- **Cirugía previa:** las pérdidas en los implantes sometidos a cirugía previa son mayores en el maxilar que en la mandíbula salvo en el primer control donde pierde más altura ósea la mandíbula que el maxilar. No obstante, sólo es significativa la mayor pérdida en maxilar que en mandíbula en el tercer control ($p=0,017$) (figura 62).

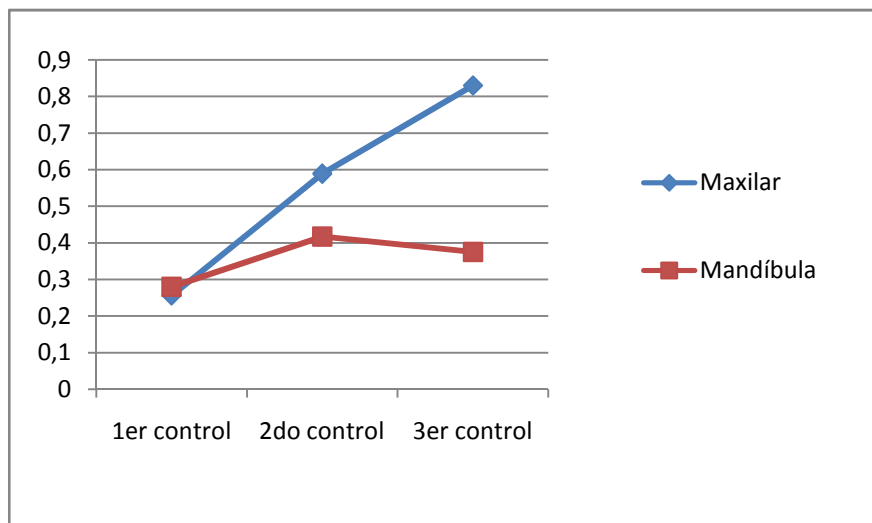


Figura 62.- Pérdida ósea en función de la localización del implante. Cirugía previa.

2.2.3.- Diámetro del implante:

- **Carga inmediata:** según las pruebas ANOVA de chi cuadrado los implantes de 3,6 mm. sufren pérdidas significativamente menores en el primer control que los de 4,7 y 5,5 mm ($p=0,023$). Sin embargo al aplicar la prueba post hoc de subconjuntos homogéneos no se considera una diferencia significativa ($p=0,162$) (figura 63).

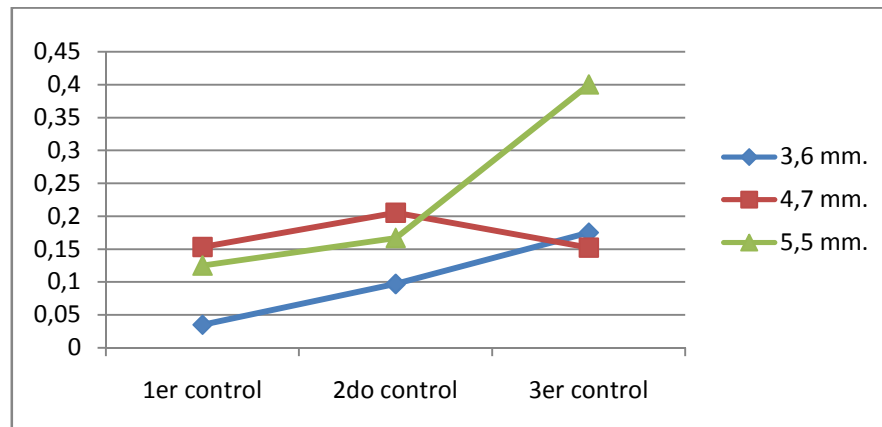


Figura 63.- Pérdida ósea en función del diámetro del implante. Carga inmediata.

- **Carga precoz:** como en el caso de la carga inmediata los implantes de 3,6 mm. pierden menos espiras que el resto en el primer control de forma significativa ($p= 0,023$) según las pruebas ANOVA, aunque esta misma diferencia no es significativa para las pruebas post hoc de subconjuntos homogéneos ($p= 0,157$) (figura 64).

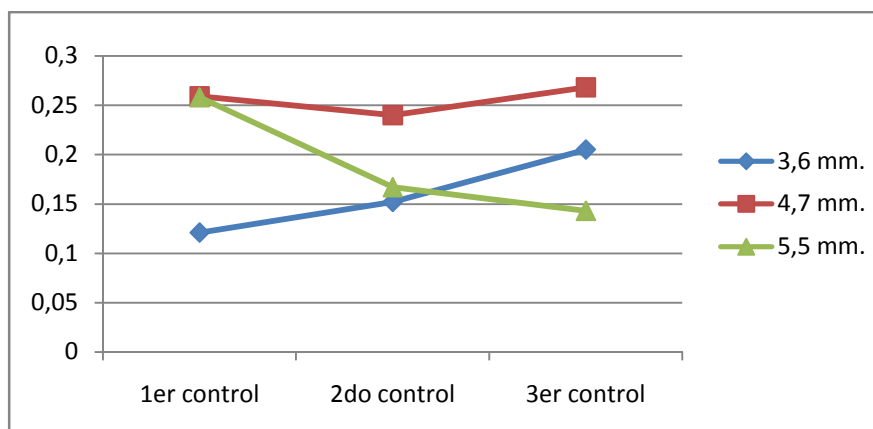


Figura 64.- Pérdida ósea en función del diámetro del implante. Carga precoz

- **Cirugía previa:** se observaron diferencias significativas en la pérdida de espiras para los distintos diámetros de los implantes cargados de forma precoz.

2.2.4.- Longitud del implante:

- **Carga inmediata:** resulta significativa la mayor pérdida ósea en el primer control para los implantes de 8,5mm. tanto en las pruebas ANOVA de chi cuadrado ($p=0,061$) como en las de subconjuntos homogéneos (figura 65).

No se aprecian diferencias significativas entre el resto de las longitudes en el resto de controles.

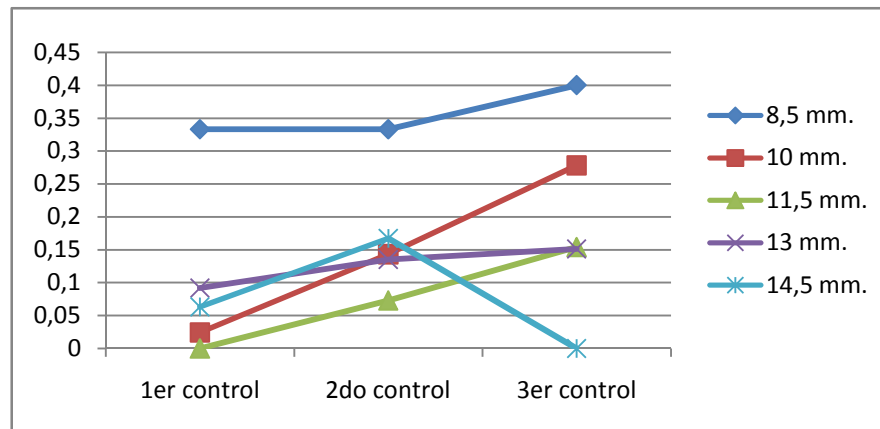


Figura 65.- Pérdida ósea en función de la longitud del implante. Carga inmediata

- **Carga precoz:** no observamos diferencias significativas entre los implantes de distinta longitud cargados de forma precoz (figura 66).

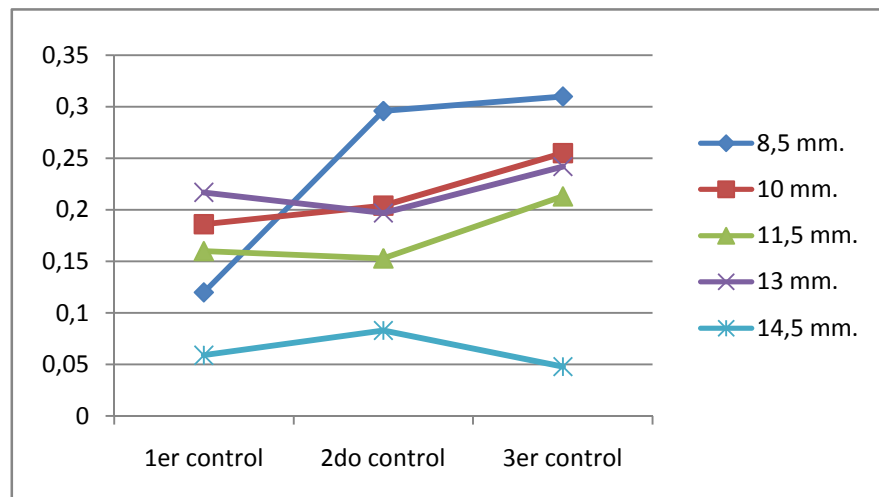


Figura 66.- Pérdida ósea en función de la longitud del implante. Carga precoz.

- **Cirugía previa:** tampoco se observaron diferencias significativas en los implantes que precisaron cirugía previa (figura 67).

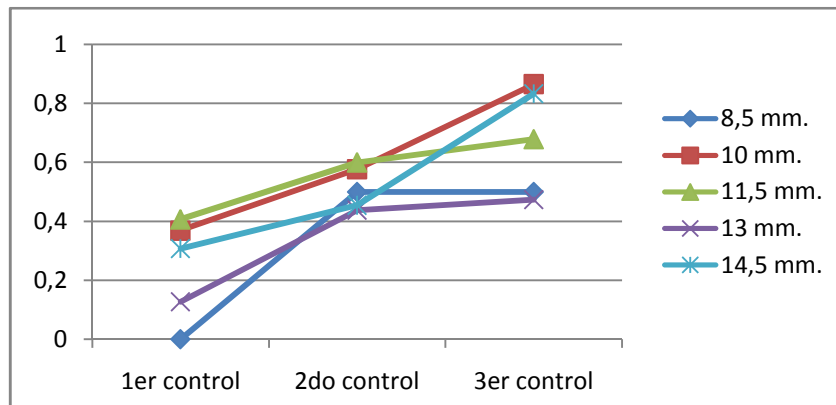


Figura 67.- Pérdida ósea en función de la longitud del implante. Cirugía previa

2.2.5.- Tipo de prótesis:

- **Carga inmediata:** se evidenciaron diferencias significativas entre las pérdidas de los implantes que soportaron sobredentaduras y prótesis fija.

En los tres controles, los implantes que soportaban sobredentaduras sufrieron pérdidas óseas menores que los que soportaron prótesis fija, y en todos los controles las diferencias fueron significativas (figura 68).

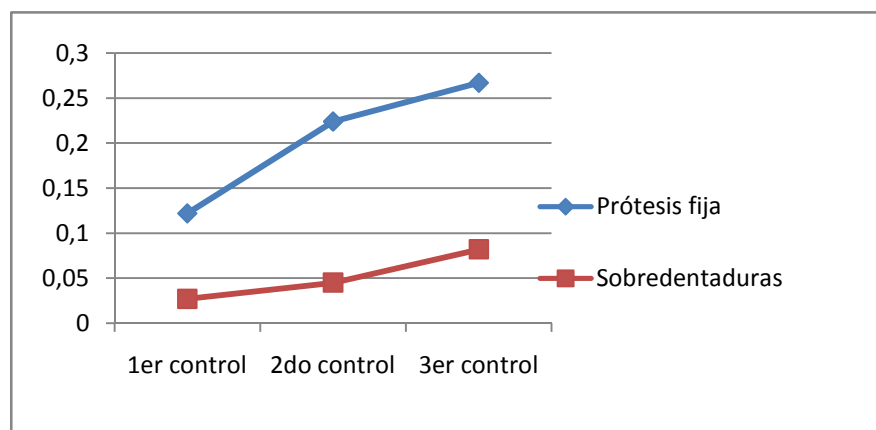


Figura 68.- Pérdida ósea en función del tipo de prótesis. Carga inmediata.

- **Carga precoz:** no existieron diferencias significativas en la carga precoz en función del tipo de prótesis en los dos primeros controles, pero sí en el tercero ($p=0,01$), donde los implantes cargados con sobredentaduras sufrieron pérdidas superiores a las sufridas en los que soportaron prótesis fija (figura 69).

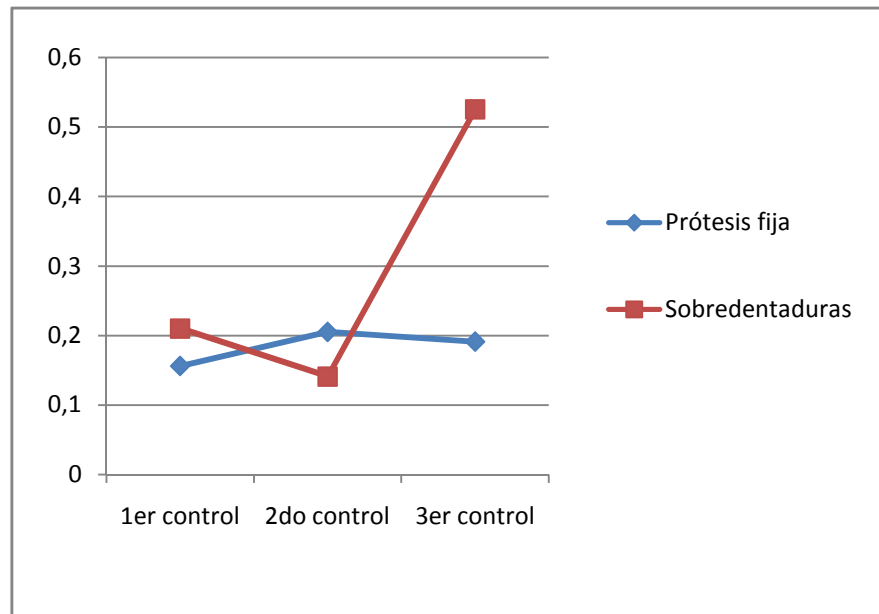


Figura 69.- Pérdida ósea en función del tipo de prótesis. Carga precoz.

- **Cirugía previa:** en los implantes sometidos a cirugía previa, los que soportaron sobredentaduras sufrieron pérdidas mayores que los que soportaron prótesis fija, siendo cercano a una diferencia significativa en el tercer control ($p=0,09$) (figura 70).

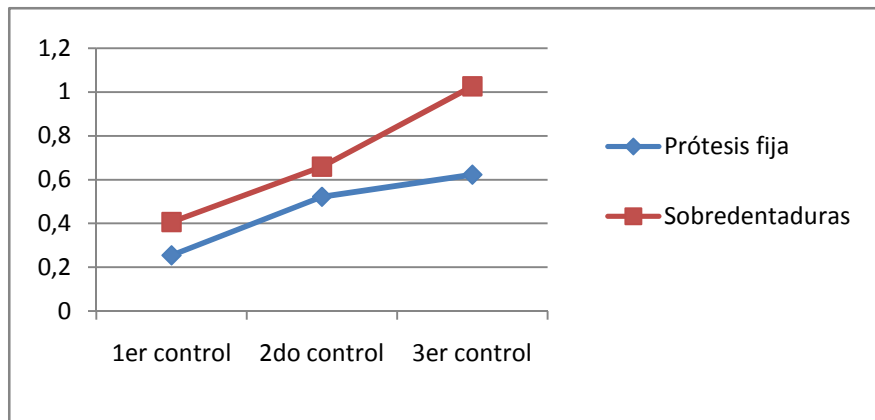


Figura 70.- Pérdida ósea en función del tipo de prótesis. Cirugía previa.

2.1.6.- Complicaciones:

- **Carga inmediata:** existen diferencias significativas en los tres controles de los implantes que se sometieron a carga inmediata, de forma que los que sufrieron complicaciones clínicas experimentaron pérdidas significativamente mayores que el resto. Este dato está avalado tanto por las pruebas ANOVA de chi cuadrado como por las de subconjuntos homogéneos (figura 71).

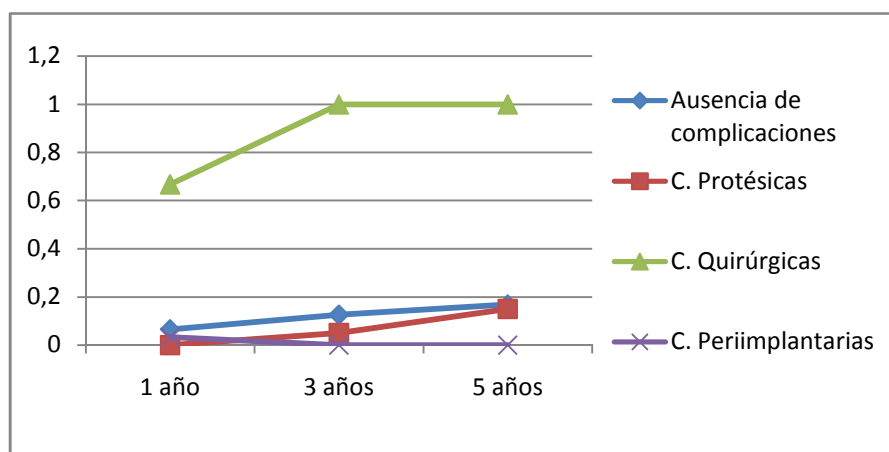


Figura 71.- Pérdida ósea en función de las complicaciones. Carga inmediata

- **Carga precoz:** no existieron diferencias significativas entre los implantes que se sometieron a carga precoz en función de las complicaciones (figura 72).

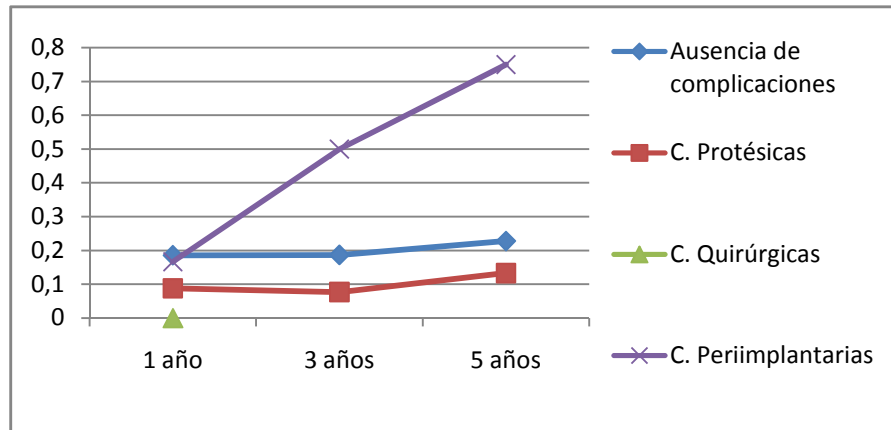


Figura 72.- Pérdida ósea en función de las complicaciones. Carga precoz

- **Cirugía previa:** tampoco existieron diferencias significativas en las fijaciones que precisaron cirugía previa en función de las complicaciones (figura 73).

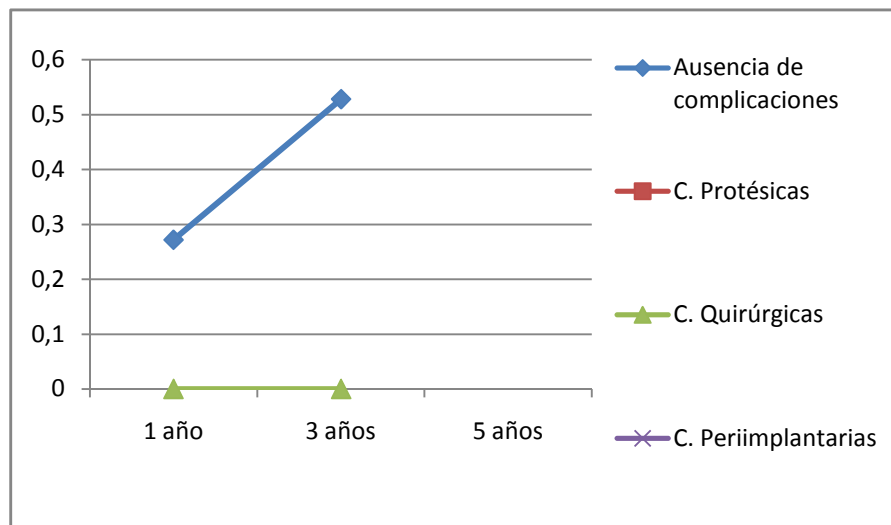


Figura 73.- Pérdida de implantes en función de las complicaciones. Cirugía previa

2.3) CORRELACIONES CON RESPECTO A PÉRDIDAS ÓSEAS

ABSOLUTAS:

En lo referente a los valores absolutos de pérdida ósea para cada uno de los implantes, y en cada uno de estos, en su parte mesial y distal, es importante reseñar que la gran mayoría de ellos no sufren ninguna pérdida.

En el primer control el 90,1% y el 89,6% de los implantes no sufren pérdida ósea en torno a ninguna espira en mesial y distal respectivamente.

En el segundo control más del 83% de los implantes no sufre pérdidas óseas ni en mesial ni en distal.

En el tercer control los porcentajes de implantes que no pierden hueso en torno al implante se mantienen entre el 80,5% en mesial y el 81,3% en distal. (Figura 74).

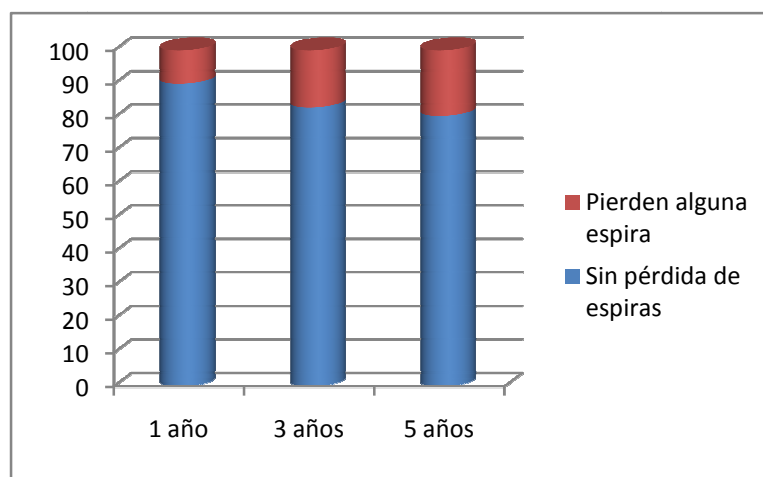


Figura 74.- Pérdida de espiras en mesial a lo largo del estudio.

En las pérdidas absolutas en función de la carga que sufrieron los implantes, es importante reseñar que en la gran mayoría de los casos no existen pérdidas óseas, y aunque el citado porcentaje va disminuyendo, este dato se mantiene incluso en el tercer control, donde el 86,1%, 85,1% y el 58,4% de los que se sometieron a carga inmediata, precoz y los que precisaron cirugía previa respectivamente, no sufrieron pérdidas óseas.

Tomamos como referencia las medidas de pérdida ósea tomadas en la zona mesial de los implantes, teniendo en cuenta que los valores son prácticamente idénticos a los de las medidas en distal.

De los implantes cargados de forma inmediata, el 95,4%, el 90% y el 86,1% de los implantes no sufrieron ningún tipo de pérdida ósea en el primer, segundo y tercer control respectivamente.

En el caso de los implantes cargados de forma precoz, el 89,2%, el 86,5% y el 85,1% de los implantes no sufrieron ninguna pérdida ósea en el primer, segundo y tercer control respectivamente.

Y por último, en el caso de los implantes que precisaron cirugía previa a su inserción, los valores, aunque disminuyen, continúan siendo importantes. El 83,7%, el 63,8% y el 58,4% no perdieron nada de hueso en torno al implante en el primer, segundo y tercer control respectivamente (figura 75).

V.- Análisis de resultados

Correlaciones en función del tipo de carga

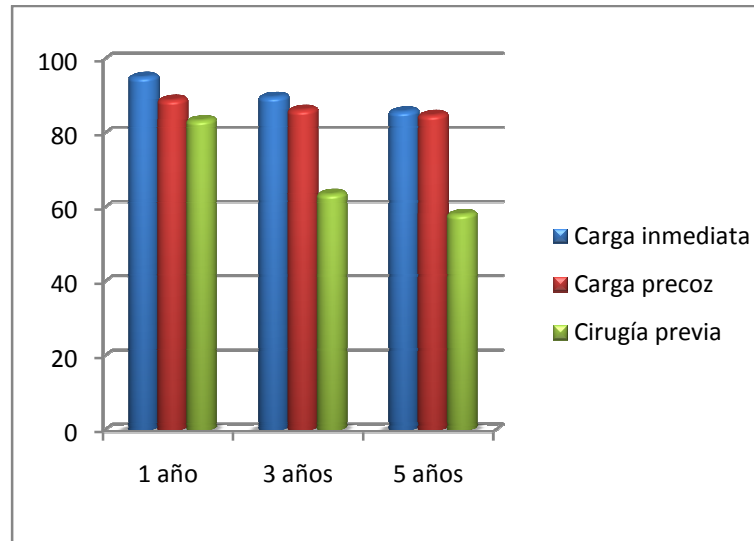


Figura 75.- Porcentaje de implantes que no perdieron ninguna espira.

VI.- DISCUSIÓN

Existe un amplio consenso entre los autores acerca de la idea de que la rehabilitación de espacios edéntulos a través de implantes es un excelente tratamiento, siendo una buena alternativa a las prótesis fijas convencionales^{93, 118-124}.

En este sentido, Turkyilmaz y cols.¹²⁵, concluyeron en 2008 que la rehabilitación mediante implantes dentales es un tratamiento altamente predecible, tras estudiar 300 implantes durante tres años en pacientes completamente desdentados rehabilitados con prótesis implantosoportadas, y observar que la tasa de éxito fue del 93,3%.

Según nuestros resultados, y siguiendo con los criterios de éxito de Buser¹¹¹, enumerados en el apartado de materiales y metodología, tras cinco años de carga, la tasa de éxito fue del 98,15%, confirmando la afirmación anterior.

Por su parte, Lekholm y cols.⁸⁵ estudiaron la osteointegración de implantes Branemark, con tasas de éxito del 92% en el maxilar y del 94% en la mandíbula, resultados que se corresponde con un 94% de estabilidad de las prótesis. La pérdida ósea marginal no excedió en ningún caso el milímetro a lo largo de los cinco años de estudio.

En nuestro caso, las tasas de éxito fueron del 97,33 % en el maxilar y del 99,07% en la mandíbula. La existió pérdida ósea marginal en el 81,3% de los implantes tras los cinco años que duró el estudio.

El éxito de los tratamientos implantológicos depende de factores tales como la técnica quirúrgica del cirujano, un lecho óseo adecuado o la superficie del implante utilizado.^{83,89,126}

Ericsson y cols.⁸³ determinaron la importancia de la técnica quirúrgica, incidiendo en la importancia del diagnóstico y en la destreza del cirujano, más allá de la técnica elegida.

Se revela como una evidencia el hecho de que un lecho óseo adecuado en el momento de la cirugía contribuye a aumentar las tasas de éxito^{89, 127-131}.

Y una de las líneas de investigación más trabajada en la Implantología en los últimos años consiste en la búsqueda de nuevas superficies de implantes que consigan aumentar el porcentaje de éxito de los implantes y reducir los tiempos de carga tras su inserción^{126, 132-142}.

Balshe y cols.¹³⁹ en un artículo publicado en 2009 compararon implantes con superficies rugosa y lisa. Tras estudiar 2182 implantes, en 593 pacientes, de superficie lisa y 2425 implantes de superficie rugosa en 905 pacientes, durante cinco años, no se observaron diferencias significativas salvo en el caso de lechos óseos de baja densidad o implantes cortos en los que la estabilidad primaria estaba comprometida. En los citados casos los implantes de superficie lisa obtenían resultados significativamente peores que los de superficie rugosa.

CARGA PRECOZ

Existe un amplio consenso en torno a las altas tasas de éxito que obtienen las superficies de sustracción al rehabilitar pacientes completamente edéntulos a través de sobredentaduras cargadas de forma precoz ¹⁴³⁻¹⁴⁸.

A este respecto, Slot y cols. ¹⁴³ publicaron en 2010 un estudio en el que concluyeron, tras realizar un metaanálisis sobre 147 artículos, que las sobredentaduras maxilares soportadas por 4 ó 6 implantes cargadas de forma precoz son un tratamiento altamente satisfactorio.

En el mismo sentido se pronunciaron Rentsch-Kollar y cols. ¹⁴⁶ en 2010. Incluyeron en el estudio a 147 pacientes portadores de 314 implantes, que siguieron durante 10 años. En este caso las sobredentaduras eran mandibulares.

La mayoría de los artículos consultados arrojan tasas de éxito entre el 92% y el 98,8% ^{93,98,99}, con pérdidas óseas en torno a los implantes de 0,5mm. al cargar las prótesis y de 0,1mm. anuales durante los cinco primeros años.

En el caso de Romeo y cols. ⁹⁸, en un estudio publicado en 2002, tras estudiar implantes cargados de forma precoz durante dos años, que soportaban sobredentaduras, obtuvieron una tasa de éxito del 97,5%.

En nuestro caso, estudiamos 15 sobredentaduras cargadas de forma precoz, retenidas por 74 implantes. De éstos, siete se perdieron a lo largo del estudio, lo que implica un porcentaje de éxito del 90,54%. Este porcentaje es el más bajo de todos los grupos de nuestro estudio, y a pesar de esta circunstancia se aproxima a los resultados que aparecen como aceptables en la literatura.

Con respecto a la pérdida ósea a lo largo del seguimiento del estudio, en nuestro caso fue mínima, puesto que la media de pérdida ósea en torno al implante a los cinco años de haber sido colocado fue de 0,5 espiras, siendo en el primer control de 0,2 espiras. Teniendo en cuenta que la distancia entre espiras es de 0,8 mm., la pérdida ósea a lo largo del estudio fue de 0,24 mm.

Diversos autores estudiaron la supervivencia de implantes anchos^{87-89,149}, obteniendo peores resultados que en los de anchura inferior. Otros sin embargo, defienden los implantes de plataforma ancha tras una cuidadosa planificación y selección de casos, tras conseguir un porcentaje de éxito del 98,5%¹⁵⁰⁻¹⁵³. En este sentido se pronuncia un estudio de especial relevancia, en lo que a este trabajo se refiere, publicado en 2009 acerca del seguimiento durante tres años de 67 implantes de superficie Avantblast® de plataforma ancha, colocados en 49 pacientes entre 54 y 69 años. Fracasó un implante en la precarga y ninguno en las postcarga, por lo que tras tasas de supervivencia del 98,5% y del 100% en la precarga y

la postcarga respectivamente, concluyeron que los implantes de plataforma ancha se pueden utilizar tras un minucioso estudio.¹⁵⁰

Aunque en nuestro estudio realizamos el seguimiento a 36 implantes de plataforma ancha y la tasa de éxito fue del 100%, los autores afirman que la mayor tasa de fracaso en implantes de plataforma ancha se debe a que se utilizan frecuentemente en situaciones desfavorables, como densidades o cantidades óseas pobres, fuerzas oclusales superiores a lo normal, como implantes de rescate (aquellos que se colocan en el lugar donde ya había fracasado otro implante previamente) o cuando los de medidas estándar no son válidas¹⁵⁴⁻¹⁵⁷.

CARGA INMEDIATA

Ya centrados en la carga inmediata, la primera reflexión se centra en las ventajas que presenta con respecto a la carga precoz^{95,158-162}, como son: reducción del número de actos quirúrgicos, preservación de tejido óseo, mayor superficie de contacto hueso-implante, devolución de función y estética de forma inmediata, y mejora del perfil psicológico de paciente.

La mayoría de los artículos de la bibliografía, y una vez evidenciadas las ventajas de la carga inmediata con respecto a la precoz, están encaminados a tratar de igualar o incluso mejorar los resultados de la carga convencional^{98,163-168}.

Según nuestros resultados, la carga inmediata resulta altamente satisfactoria. De los 269 implantes de estas características incluidos en nuestro estudio, se perdieron tres, obteniendo un porcentaje de éxito del 98,88%.

En lo referente a las pérdidas óseas marginales en torno a los implantes cargados de forma inmediata, son reveladores los datos que indican que la mayoría de los implantes no experimentaron ningún tipo de pérdida.

Otros estudios como el presentado en 2009 por Degidi y cols.¹⁶⁹ cuestionan la carga inmediata, recomendando cortos periodos de cicatrización para conseguir mejores resultados clínicos. Llegaron a esta conclusión tras estudiar 550 implantes durante cinco años, dividiéndolos en un grupo en los que eran cargados de forma inmediata y otro grupo control en el que la carga era diferida. No obtienen diferencias estadísticamente significativas entre los dos grupos, aunque, mientras en el grupo control el porcentaje de éxito fue del 100%, en el grupo de la carga inmediata fue del 98,8%.

CARGA INMEDIATA. PRÓTESIS FIJA

Centrándose en las prótesis fijas, numerosos estudios avalan la carga inmediata ¹⁷⁰⁻¹⁷⁴, como es el caso del estudio publicado por

Wolfinger y cols.¹⁰¹ en el que estudió 144 implantes Branemark cargados de forma inmediata, obteniendo un porcentaje de éxito del 97%.

Para conseguir altos porcentajes de éxito en el tratamiento a través de prótesis fija cargada de forma inmediata es imprescindible conseguir una buena estabilidad primaria^{100,175-180}.

A esta conclusión llegaron Li y cols.¹⁷⁶ tras un estudio prospectivo de 690 implantes Branemark controlados durante seis años. Al finalizar el primer año de seguimiento la pérdida ósea marginal media en torno a los implantes fue de 0,07mm., y el porcentaje de éxito del 98,7%, no observando diferencias significativas entre ambos maxilares, ni entre distintos diámetros o posiciones de los implantes. Sí resultó significativo el hecho de que en todos los implantes perdidos el torque de inserción fue bajo, y la estabilidad primaria estuvo comprometida.

En el caso de Ganeles y cols.¹⁰⁰ en 2001, consiguieron un porcentaje del 99,55% de supervivencia en un estudio a 25 meses de 186 implantes cargados de forma inmediata que soportaban prótesis fijas.

CARGA INMEDIATA. CORONAS UNITARIAS

En lo referente a coronas unitarias implantosoportadas cargadas de forma inmediata, la mayoría de los autores apuestan por la carga inmediata como tratamiento de elección siempre que las circunstancias lo permitan,^{104,105,181,182} mientras otros recomiendan tomar todas las

precauciones posibles en el estudio de los casos puesto que en las coronas unitarias la carga inmediata supone un riesgo añadido ¹⁸³⁻¹⁸⁶.

En el caso de los autores que recomiendan la carga inmediata se encuentran Palatella y cols.¹⁸¹, tras realizar un estudio en 2008 a lo largo de dos años en 16 pacientes a los que se les colocaron coronas unitarias cargadas de forma inmediata.

Mientras que entre los que toman la carga inmediata en las coronas unitarias como un riesgo añadido, se sitúan Degidi y cols. Tomaron una muestra de 155 pacientes a los que se les colocaron 550 implantes, todos ellos unitarios. Los dividieron en dos grupos, en el primero de ellos cargaban los implantes de forma inmediata y en el segundo dejaban un periodo de reposo antes de cargar los implantes. Tras cinco años de seguimiento obtuvieron unas tasas de éxito del 98,8% y del 100% en los cargados de forma inmediata y precoz respectivamente.

CARGA INMEDIATA Y PRECOZ. CORONAS UNITARIAS.

En 2008, Donati y cols.¹⁶⁸ publicaron un artículo en el que compararon las cargas inmediata y precoz en coronas unitarias implantosoportadas. Tras incluir 151 implantes y observar pérdidas óseas marginales bajas y no obtener diferencias estadísticamente significativas entre los dos grupos concluyeron que la carga inmediata es un tratamiento válido para rehabilitar espacios edéntulos unitarios.

CARGA INMEDIATO Y PRECOZ. SOBREDENTADURAS

Siguiendo con la tendencia ya apuntada que existe en la bibliografía de comparar carga inmediata con carga convencional, Chiapasco y cols.¹⁰² en un estudio acerca de sobredentaduras mandibulares con grupo de carga inmediata y otro control de carga diferida no obtuvieron diferencias significativas ni en la pérdida ósea en torno a los implantes ni en el porcentaje de éxito de los implantes (97,5%) a los dos años de las cirugías.

Estudios con un número amplio de muestras y un largo periodo de seguimiento como el publicado en 2009 por Turkyilmaz¹⁶³, muestran con claridad mejores resultados en las sobredentaduras cargadas de forma inmediata con respecto a las cargadas de forma precoz.

Según nuestros resultados, las pérdidas óseas en torno a los implantes son menores en aquellos que soportaban sobredentaduras de forma inmediata que los que lo hacía de forma precoz. Dichas diferencias se hacen patentes desde el primer control llegando a ser de importantes en el tercero de ellos. Mientras que los implantes que soportaban sobredentaduras cargadas de forma inmediata sufrieron pérdidas de 0,082 espiras de media, en los que soportaban sobredentaduras cargadas precozmente fueron de 0,525.

En relación a las pérdidas de implantes, se perdió un implante de los 154 que portaban sobredentaduras cargadas de forma inmediata, que implica una tasa de supervivencia del 99,35% al finalizar el estudio. En el caso de los implantes que soportaron sobredentaduras cargadas de forma precoz se perdieron siete de 74 implantes, con una tasa de supervivencia del 90,54%.

Podemos concluir por tanto que la rehabilitación mediante sobredentaduras inferiores de forma inmediata, debería contemplarse como una indicación prioritaria, planteándose la sustitución de los tratamientos implantológicos con periodos de reposo convencionales y/o precoces^{29,98,187-190}.

Así lo corroboran Alfada y cols.¹⁸⁷ en un trabajo publicado en 2009, en el que compararon la carga inmediata y precoz en sobredentaduras mandibulares. Formaron dos grupos, el primero control, con 111 implantes cargados de forma precoz, y el segundo experimental, en el que se incluyeron 140 implantes que se cargaron de forma inmediata. Tras cinco años de seguimiento, el 98% de los implantes tuvieron éxito, sin existir diferencias significativas en los resultados obtenidos en ambos grupos.

CIRUGÍA PREVIA

En lo referente a los implantes que precisaron cirugía previa, se acepta la premisa de que las tasas de éxito descienden, puesto que las

condiciones en las que se insertan los implantes son más complicadas^{163,191-195}. Como contrapunto, es evidente que se consigue rehabilitar zonas mediante implantes, hecho que resultaría imposible sin acometer las citadas cirugías previas a su inserción¹⁹⁶⁻²⁰⁰.

Estas afirmaciones no se corresponden con nuestros resultados, puesto que mientras para los implantes que precisaron cirugía previa a su inserción, el porcentaje de éxito fue del 97,87%, en el caso de los que se cargaron de forma precoz e inmediata fue del 97,8% y del 98,92% respectivamente.

No obstante, los implantes en los que se realizó una cirugía previa sufrieron pérdidas óseas marginales significativamente mayores que en los otros dos grupos.

En la bibliografía encontramos diversidad de artículos que se encargan de estudiar implantes que necesitaron cirugía previa a su inserción.

Boronat y cols.¹⁹¹ en 2010 afirmaron que la colocación de injertos óseos e implantes de forma simultánea, tras una selección correcta de los pacientes, acorta los tiempos de tratamiento sin aumentar las complicaciones o disminuir las tasas de éxito. Llegaron a estas conclusiones tras estudiar durante un año 39 injertos (17 maxilares y 22 mandibulares) y 129 implantes (73 de los cuales estaban alojados en los injertos ya mencionados). Durante el año del estudio se expusieron los injertos en 8 lugares. Seis de ellos mostraron reepitelización espontánea

tras aplicar clorhexidina, los dos restantes se infectaron y debieron retirarse. Al término del estudio se perdieron tres implantes colocados en injertos, lo que supone una tasa de éxito del 95,9%, con una pérdida ósea de 0,64 mm. de media.

En zonas posteriores del maxilar superior es necesario frecuentemente el aumento de la altura ósea, debido a la reabsorción postextracción^{201,202} unida a que la citada zona anatómica incluye la presencia del seno maxilar¹⁸³.

Así, McDermott y cols.¹⁰⁸ en 2006 trataron de cuantificar el riesgo que suponía *per se* la elevación de seno en relación al éxito de los implantes. Por lo que concluyeron que la elevación sinusal no puede considerarse como un factor de riesgo de forma independiente, tras analizar 762 implantes en 318 pacientes, con tasas de éxito a los cinco años de su colocación en maxilares a los que se les aplicaron injertos y a los que no del 87,9% y del 88% respectivamente.

En el caso de Hallman y cols.¹⁰⁹, también realizaron un estudio en 2002 relacionado con la técnica de elevación sinusal, obteniendo una tasa de éxito del 90,99%.

Resultan interesantes estudios como los de Becktor y cols.¹¹⁰, en los que se comparó la supervivencia de implantes en maxilares edéntulos aplicando o no injertos. El fracaso de los implantes se relacionó directamente con el volumen del lecho óseo original. Además de la

anterior afirmación y tras estudiar 1120 implantes en 182 pacientes a lo largo de un periodo de 5-6 años, concluyeron que aunque la tasa de supervivencia en la fase preprotésica fue mayor en el grupo de los pacientes cuyos implantes no precisaron injertos (84% frente al 75,1%), no existieron diferencias estadísticamente significativas con respecto a la tasa de supervivencia tras la colocación de las prótesis. Además, los pacientes pertenecientes al grupo que se habían sometido a injertos óseos y habían perdido implantes, tras volver a insertárselos, portaron más prótesis fijas que los que no habían precisado injertos óseos (87,5% vs. 85,3%). Por último, también concluyeron que los implantes colocados en injertos óseos padecieron significativamente más fracasos en la región incisiva, pero no en las zonas canina, premolar o molar.

La tasa de supervivencia de los implantes fue del 75,1% para el primer grupo y del 84% para el segundo tras un seguimiento de entre 5 y 6 años, lo que representa una diferencia significativa.

Otro de los contratiempos que se pueden presentar a la hora de la rehabilitación mediante implantes dentales, es contar con crestas alveolares atróficas, necesitando aumentar la anchura de la cresta ósea mediante onlays de hueso autólogo²⁰³⁻²⁰⁵.

No obstante, existen varias técnicas que pueden aumentar la cantidad de hueso vertical y horizontalmente, sin estar claro cuál de ellas es la más eficiente. Esposito y cols.²⁰⁶ consideran los implantes cortos como una alternativa mejor que los injertos óseos verticales en

mandíbulas reabsorbidas puesto que estos últimos habitualmente presentan complicaciones. Otros autores como Raja, sin embargo, consideran que en muchos casos los injertos óseos son inevitables, puesto que ni siquiera existe espacio para colocar los implantes más cortos disponibles en el mercado.²⁰⁴

VII.- CONCLUSIONES

- 1.- El porcentaje de supervivencia de los implantes de superficie Avantblast en pacientes rehabilitados con prótesis cargadas de forma inmediata fue del 98,88%.
- 2.- El porcentaje de supervivencia de los implantes de superficie Avantblast en pacientes rehabilitados con prótesis cargadas precozmente fue del 97,84%.
- 3.- Los implantes cargados precozmente sufrieron mayores pérdidas óseas en el primer control, sin ser una diferencia significativa al final del estudio. Del mismo modo, el número de implantes que no perdieron hueso en el primer control fue significativamente menor en los cargados de forma inmediata.
- 4.- El porcentaje de supervivencia de los implantes de superficie Avantblast en pacientes que precisaron cirugía previa a su rehabilitación protésica fue del 97,87%.
- 5.- Los implantes colocados en el maxilar sufrieron pérdidas significativamente mayores que los colocados en la mandíbula.
- 6.- Los implantes que sufrieron complicaciones clínicas experimentaron pérdidas significativamente mayores que los que no sufrieron complicaciones o éstas fueron protésicas.
- 7.- Los implantes que precisaron cirugía previa a su inserción sufrieron pérdidas óseas significativamente mayores a lo largo del estudio, siendo las técnicas más predecibles de este grupo el onlay lateral, el injerto de hueso autólogo, la elevación sinusal con relleno de biomaterial y hueso autólogo y el onlay vertical.

VIII.- BIBLIOGRAFÍA

1.- Albrektsson T, Sennerby L. Update in dental implants. J Clin Periodontol. 1991; 18: 174-81.

2.- Burns C. Prospective clinical evaluation of mandibular implant overdentures: part 1 –retention, stability and tissue response-. J Prost Dent. 1995; 73; 4: 365-9.

3.- Schroeder A, Sutter F, Krekeler G. Implantología oral. 1993. Madrid. Ed. Panamericana.

4.- Bascones A. Tratado de Odontología. 1999. Madrid. Ed. Smithkline Beecham.

5.- Balshi TJ, Garver DG. Osseointegration: the efficacy of the transitional denture. Int J Oral Maxillofac Implants. 1986; 1: 113-8.

6.- Subramani K, Jung RE, Molenberg A, Hammerle CH. Biofilm on dental implants: a review of the literature. Int J Oral Maxillofac Implants. 2009; 24: 616-26.

7.- Bahat O. Branemark system implants in the posterior maxilla: clinical study of 660 implants followed for 5 to 12 years. Int J Oral Maxillofac Implants. 2000; 15: 646-53.

8.- Chiapasco M, Casentini P, Zaniboni M. Bone augmentation procedures in implant dentistry. *Int J Oral Maxillofac Implants.* 2009; 24 237-59.

9.- Jensen SS, Terheyden H. Bone augmentation procedures in localized defects in the alveolar ridge: clinical results with different bone grafts and bone-substitute materials. *Int J Oral Maxillofac Implants.* 2009;24: 218-36.

10.- Dreiseidler T, Mischkowski RA, Neugebauer J, Ritter L, Zöller JE. Comparison of cone-beam imaging with orthopantomography and computerized tomography for assessment in presurgical implant dentistry. *Int J Oral Maxillofac Implants.* 2009; 24: 216-25.

11.- Martínez JM, Barona C, Cano J, Flórez M, Cantero M. Comportamiento clínico y radiológico de 290 implantes con superficie tratada mediante un primer grabado de ácido fluorhídrico y un segundo de ácido fluorhídrico con ácido nítrico: valoración a los dos años de carga precoz. *Med Oral Patol Oral Cir Bucal.* 2005; 10: 355-61.

12.- Wang RF, Kang B, Lang LA, Razzoog ME. The dynamic natures of implant loading. *J Prosthet Dent.* 2009; 101: 359-71.

13.- Buser D, Nydegger T, Hirt HP, Cochran DL, Nolte LP. Removal torque values of titanium implants in the maxilla of miniature pigs. *Int J Oral Maxillofac Impl.* 1998; 13: 611-9.

14.- Sykaras N, Lacopino AM, Marker VA, Triplett RG, Woody RD. Implant materials. Designs, and surface topographies: their effect on osseointegration. A literature review. *Int J Oral Maxillofac Imp.* 2000; 15: 675-90.

15.- Lazzara RJ, Testori T, Trisi P, Weinstein RL. A human histologic analysis of osseotite and machined surfaces using implants with 2 opposing surfaces. *Int J Perio Rest Dent.* 1999; 19: 117-29.

16.- Karabuda C, Sandall P, Yalcin S, Steflik DE, Parr GR. Histologic and histomorphometric comparison of immediately placed hydroxiapatite coated and titanium plasma sprayed implants: a pilot study in dogs. *Int J Oral Maxillofac Imp.* 1999; 14: 510-5.

17.- Deporter D, Pilliar RM, Todescan R, Watson P, Pharoah M. Managing the posterior mandible of partially edentulous patients with short, porous-surfaced dental implants: early data from a clinical trial. *Int J Oral Maxillofac Imp.* 2001; 16: 653-8.

18.- Lim YJ, Oshida Y, Andres CJ, Barco MT. Surface characterizations of variously treated titanium materials. *Int J Oral Maxillofac Imp.* 2001; 16: 333-42.

19.- Balshe AA, Assad DA, Eckert SE, Koka S, Weaver AL. A retrospective study of the survival of smooth- and rough-surface dental implants. *Int J Oral Maxillofac Implants.* 2009; 24:1113-8.

20.-Testori T, Del Fabbro M, Feldman S, et al. A multicenter prospective evaluation of 2-month loaded Osseotite implants placed in the posterior jaws: 3-year follow-up results. *Clin Oral Impl Res.* 2002; 13: 154-61.

21.- Hansson S, Norton M. The relation between surface roughness and interfacial shear strength for bone-anchored implants. A mathematical model. *J Biomech.* 1999; 32: 829-36.

22.- Wennerberg A, Albrektsson T. On implant surfaces: a review of current knowledge and opinions. *Int J Oral Maxillofac Implants.* 2010; 25: 63-74.

23.- Tabassum A, Meijer GJ, Wolke JG, Jansen JA. Influence of surgical technique and surface roughness on the primary stability of an implant in

artificial bone with different cortical thickness: a laboratory study. Clin Oral Implants Res. 2010; 21: 213-20.

24.- Ivanoff CJ, Hallgren C, Widmark G, Sennerby L, Wennerberg A. Histologic evaluation of the bone integration of TiO₂ blasted and turned titanium microimplants in humans. Clin Oral Impl Res. 2001; 12: 128-34.

25.- Block MS, Gardiner D, Kent JN, Misiek DJ, Finger IM, Guerra L. Hydroxiapatite-coated cylindrical implants in the posterior mandible: 10-year observations. Int J Oral Maxillofac Imp. 1996; 11: 626-33.

26.- Davies JE. Mechanism of endosseous integration. Int J Prosth. 1998; 11: 391-401.

27.- Rocuzzo M, Aglietta M, Cordaro L. Implant loading protocols for partially edentulous maxillary posterior sites. Int J Oral Maxillofac Implants. 2009; 24: 147-57.

28.- Alsaadi G, Quirynen M, Michiels K, Jacobs R, van Steenberghe D. A biomechanical assessment of the relation between the oral implant stability at insertion and subjective bone quality assessment. J Clin Periodontol. 2007; 34: 359-66.

29.- Martínez-González JM, Barona C, Cano J, Flórez M, Cantero M. Carga inmediata definitiva mandibular mediante rehabilitación implantosoportada. Evolución a los 18 meses. Gaceta Dental. 2005; 159: 82-7.

30.- Degidi M, Piatelli A. Immediate functional and non-functional loading of dental implants: a 2 to 60 month follow-up study of 646 titanium implants. J Periodontol. 2003; 74: 225-41.

31.- Cano J, Martínez-González JM, Gonzalo JC, Cantero M, Barona C. Superficies de los implantes: estado actual. Quintessence (ed. esp.) 2004; 17 (5): 301-8.

32.- Henry P, Laney W, Jemt T. Osseointegrated implants for single-tooth replacement: a prospective 5-year multicenter study. Int J Oral Maxillofac Implants. 1996; 11: 450-5.

33.- Cooper L, Felton D, Kugelberg C. A multicenter 12-month evaluation of single-tooth implants restored 3 weeks after 1-stage surgery. Int J Oral Maxillofac Implants. 2001; 16: 182-92.

34.- Bergkvist G, Sahlholm S, Nilner K, et al. Implant-supported fixed prostheses en the edentulous maxilla. A 2-year clinical and radiological follow-
176

up of treatment with non-submerged ITI implants. Clin Oral Implant Res. 2004; 15: 351-8.

35.- Eckert S, Choi Y, Sánchez A, Koka S. Comparison of dental implant systems: quality of clinical evidence and prediction of 5-year survival. Int J Oral Maxillofac Implants. 2005; 20: 406-15.

36.- Rodríguez-Ríus D, García-Saban FJ. Caracterización físico-química de la superficie de 9 implantes dentales con 3 distintos tratamientos de superficie. Med Oral Patol Oral Cir Bucal. 2005; 10: 58-65.

37.- Martínez-González JM, García-Sabán F, Ferrándiz-Bernal J, Gonzalo-Lafuente JC, Cano-Sánchez J, Barona-Dorado C. Removal torque and physico-chemical characteristics of dental implants etched with hydrofluoric and nitric acid. An experimental study in Beagle dogs. Med Oral Patol Oral Cir Bucal. 2006; 11: 281-5.

38.- Boronat-López A, Peñarrocha-Diago M, Martínez-Cortissoz O, Minués-Martínez I. Resonance frequency análisis after the placement of 133 dental implants. Med Oral Patol Oral Cir Bucal. 2006; 11: 178-81.

39.- Martínez-González JM, Barona-Dorado C, Cano-Sánchez J, Fernández-Cáliz F, Sánchez-Turrión A. Evaluation of 80 implants subjected to immediate loading in edentulous mandibles after two years of follow-up. *Med Oral Patol Oral Cir Bucal*. 2006; 11: 103-8.

40.- Esposito M, Grusovin M, Coulthard P, Thomsen P, Worthington H. A 5-year follow-up comparative analysis of the efficacy of various osseointegrated dental implant systems: a systematic review of randomized controlled clinical trials. *J Oral Maxillofac Implants*. 2005; 20: 557-68.

41.- Branemark PI. Osseointegration and its experimental background. *J Prosthet Dent*. 1983; 50: 399-410.

42.- Sagara M, Akagawa Y, Nikai H, Tsuru H. The effects of early occlusal loading on one-stage titanium implants in beagle dogs: a pilot study. *J Prosthet Dent*. 1993; 69: 281-8.

43.- Werner S, Huck O, Frisch B, Vautier D, Elkaim R, Voegel JC, Brunel G, Tenenbaum H. The effect of microstructured surfaces and laminin-derived peptide coatings on soft tissue interactions with titanium dental implants. *Biomaterials*. 2009; 30: 2291-301.

44.- Brunski JB, Puleo DA, Nanci A. Biomaterials and biomechanics of oral and maxillofac implants: current status and future developments. *Int J Oral Maxillofac Implants*. 2000; 15: 15-46.

45.- Hoshaw SJ, Brunski JB, Cochran GVB. Mechanical loading of Branemark implants affects interfacial bone modeling and remodelling. *Int J Oral Maxillofac Implants*. 1994; 9: 345-60.

46.- Wennerberg A, Albrektsson T. Suggested guidelines for the topographic evaluation of implant surfaces. *Int J Oral Maxillofac Implants*. 2000; 15: 331-44.

47.- Lum LB, Beirne OR, Curtis DA. Histological evaluation of Ha-coated vs uncoated titanium blade implants in delayed and immediately loaded applications. *Int J Oral Maxillofac Implants*. 1991; 6: 456-62.

48.- Abu-Hammad OA, Harrison A, Williams D. The effect of hidroxyapatite stress distributor in a dental implant on compressive stress levels in surrounding bone. *Int J Oral Maxillofac Implants*. 2000; 15: 559-64.

49.- Lim YJ, Oshida Y, Andrés CJ, Barco MT. Surface characterizations of variously treated titanium materials. *Int J Oral Maxillofac Implants*. 2001; 16: 333-42.

50.- Yang GL, He FM, Hu JA, Wang XX, Zhao SF. Biomechanical comparison of biomimetically and electrochemically deposited hydroxyapatite-coated porous titanium implants. *J Oral Maxillofac Surg.* 2010; 68: 420-7.

51.- Buser D, Nydegger T, Hirt HP, Cochran DL, Nolte LP. Removal torque values of titanium implants in the maxilla of miniature pigs. *Int J Oral Maxillofac Implants.* 1998; 13: 611-9.

52.- Sykaras N, Lacopino AM, Marker VA, Triplet RG, Woody RD. Implant materials. Designs, and surface topographies: their effect on osseointegration. A literature review. *Int J Oral Maxillofac Implants.* 2000; 15: 675-90.

53.- Cooper LF. A role for surface topography in creating and maintaining bone at titanium endosseous implants. *J Prosth Dent.* 2000; 84: 522-34.

54.- Ivanoff CJ, Hallgren C, Widmark G, Sennerby L, Wennerberg A. Histologic evaluation of the bone integration of TiO₂ blasted and turned titanium microimplants in humans. *Clin Oral Imp Res.* 2001; 12: 128-34.

55.- Gil FJ, Valero J, Padrós A. Optimización del comportamiento biológico y mecánico mediante tratamientos superficiales de proyección de partículas abrasivas sobre implantes dentales. *Gaceta Dental* 2001; 117: 44-52.

56.- Hansson S, Norton M. The relation between surface roughness and interfacial shear strength for bone anchored implants. A mathematical model. *J Biomechanics*. 1999; 32: 829-36.

57.- Burgess AV, Story BJ, Wagner WR, LeGeros JP. Highly crystalline MP1 hidroxiapatite coating (I): in vitro characterizations and comparison to other plasma-sprayed hidroxiapatite coatings. *Clin Oral Imp Res*. 1999; 10: 245-56.

58.- Block MS, Gardiner D, Kent JN, Misiek DJ, Finger IM, Guerra L. Hydroxiapatite-coated cylindrical implants in the posterior mandible: 10-year observations. *Int J Oral Maxillofac Implants*. 1996; 11: 626-33.

59.- Savarino L, Cenni E, Stea S, Donati ME, Pagganeto G, Moroni A. et al. X-ray diffraction on newly formed bone close to alumina or hidroxiapatite coated femoral stem. *Biomaterials*. 1993; 14: 900-5.

60.- O'Mahony A, MacNeill SR, Cobb CM. Rasgos del diseño que pueden influir en la retención de placa bacteriana. Análisis retrospectivo de implantes fracasados. Quintessence. 2000; 14 (1): 27-35.

61.- Clemens J, Klein C, Sackers R, Dhert W, De Groot K, Rozing P. Healing of gaps around calcium phosphate-coated implants in trabecular bone of the goat. J Biomed Mater Res. 1997; 36: 55-64.

62.- Vidigal GM Jr, Groisman M, de Sena LA, Soares Gde A. Surface characterization of dental implants coated with hydroxyapatite by plasma spray and biomimetic process. Implant Dent. 2009; 18: 353-61.

63.- Karabuda C, Sandall P, Yalcin S, Steflid DE, Parr GR. Histologic and histomorphometric comparison of immediately placed hidroxiapatite coated and titanium plasma sprayed implants: a pilot study in dogs. Int J Oral Maxillofac Implants. 1999; 14: 510-5.

64.- Leimola-Virtanen R, Peltola J, Oksala E, Helenius H, Aponen R. ITI titanium plasma-sprayed screw implants in the treatment of edentulous mandibles: a follow-up study of 39 patients. Int J Oral Maxillofac Implants. 1995; 10: 373-8.

65.- Adell R, Ericsson B, Lekholm U, Branemark P, Jemt T. A long-term follow-up study of osseointegrated implants in the treatment of totally edentulous jaws. *Int J Oral Maxillofac Implants*. 1990; 5: 347-59.

66.- Sánchez A, Bermejo A. Revisión de los constituyentes implantológicos en función de sus relaciones titulares. *Quintessence*. 2001; 14: 68-75.

67.- Bernard J, Belser U, Martinet J, Borgis S. Osseointegration of Branemark fixtures using a single-step operating technique. *Clin Oral Implant Res*. 1995; 6: 122-9.

68.- Sennerby L, Thomsen P, Ericsson LE. A morphometric and biometric comparison of titanium implants inserted in rabbit cortical and cancellous bone. *Int J Oral Maxillofac Implants*. 1989; 4: 327-32.

69.- Khang W, Feldman S, Hawley CE, Gunsolley J. A multi-center study comparing dual acid-etched and machined-surfaced implants in various bone qualities. *J Periodontol*. 2001; 72: 1384-90.

70.- Roccuzzo M, Bunino M, Prioglio F, Bianchi SD. Early loading of sandblasted and acid-etched (SLA) implants: a prospective split-mouth comparative study. One year results. *Clin Oral Impl Res*. 2001; 12: 572-8.

71.- Orsini G, Assenza B, Scarano A, Piatelli M, Piatelli A. Surface analysis of machined versus sandblasted and acid-etched titanium implants. *Int J Oral Maxillofac Implants*. 2000; 15: 779-84.

72.- Paiva J, Givan DA, Broome JC, Lemons JE, McCracken MS. Comparison of the passivity between cast alloy and laser-welded titanium overdenture bars. *J Prosthodont*. 2009; 18: 656-62.

73.- Kilpady DV, Lemons JE, Liu J, Raikar GN, Weimer JJ, Vohra Y. Cleaning and heat-treatment effects of unalloyed titanium implant surfaces. *Int J Oral Maxillofac Implants*. 2000; 15: 219-30.

74.- Li J. Behaviour of titanium and titania-based ceramics in vitro and in vivo. *Biomaterials*. 1993; 14: 229-32.

75.- Peñarrocha M, Carrillo C, Boronat A, Martí E. Early loading of 642 Defcon implants: 1-year follow-up. *J Oral Maxillofac Surg*. 2007; 65: 2317-20.

76.- Boronat López A, Balaguer Martínez J, Lamas Pelayo J, Carrillo García C, Peñarrocha Diago M. Resonance frequency analysis of dental

implant stability during the healing period. *Med Oral Patol Oral Cir Bucal*. 2008; 13: 244-7.

77.- Martínez- González JM, Barona C, Flórez M, Donado A, Suárez JM. Implantes con grabado ácido y pasivado químico: estudio preliminar sobre carga precoz. *Av Perio Imp*. 2001; 13: 9-15.

78.- Friberg B, Jemt T, Lekholm U. Early failures in 4641 consecutively placed Branemark dental implants: a study from stage I surgery to the connection of completed prostheses. *Int J Oral Maxillofac Implants*. 1991; 6: 142-6.

79.- Bischof M, Nedir R, Szmukler-Moncler S, Bernard JP, Samson J. Implant stability measurement of delayed and immediately loaded implants during healing. *Clin Oral Implants Res*. 2004; 15: 529-39.

80.- Meyer U, Wiesmann HP, Fillies T, Joos U. Early tissue reaction at the interface of immediately loaded dental implants. *Int J Oral Maxillofac Implants*. 2003; 18: 489-99.

81.- Heckmann S, Schrott A, Grae. F, Wichmann M, Weber HP. Mandibular two-implant telescopic overdentures. 10-year clinical and radiographical results. *Clin Oral Impl Res*. 2004; 15: 560-9.

82.- Bahat O. Treatment planning and placement of implants in the posterior maxillae: report of 732 consecutive Nobelpharma implants. *Int J Oral Maxillofac Implants*. 1993; 8: 151-61.

83.- Ericsson I, Randow K, Nilner K, Petersson A. Some clinical and radiographical features of submerged and non-submerged titanium implants. A 5-year follow-up study. *Clin Oral Impl Res*. 1997; 8: 422-6.

84.- Farzad I, Payam A, Andersson R, Lars O, Gunnarson L, Sten M, Sharma P, Prem H. Implant stability, tissue conditions, and patient self-evaluation after treatment with osseointegrated implants in the posterior mandible. *Clin Imp Dent Relat Res*. 2004; 6: 1523-32.

85.- Lekholm U, van Steenberghe D, Herrmann I, Bolender C, Folmer T, Gunne J, Henry P, Higuchi K, Laney W, Linden U. Osseointegrated implants in the treatment of partially edentulous jaws: a prospective 5-year multicenter study. *Int J Oral Maxillofac Implants*. 1994; 9: 627-35.

86.- Jemt T, Chai J, Harnett J, Heath M, Hutton J et al. A 5-year prospective multicenter follow-up report on overdentures supported by osseointegrated implants. *Int J Oral Maxillofac Implants*. 1996; 11: 291-8.

87.- Mordenfeld M, Johansson A, Hedin M, Billström C, Fyrberg K. A retrospective clinical study of wide-diameter implants used in posterior edentulous areas. *Int J Oral Maxillofac Implants.* 2004; 19: 387-92.

88.- Bahat O, Handelsman M. Use of wide implants and double implants in the posterior jaw: a clinical report. *Int J Oral Maxillofac Implants.* 1996; 11: 379-86.

89.- Ivanoff C, Gröndahl K, Sennerby L, Bergström C, Lekholm U. Influence of variations in implant diameters: a 3 to 5 year retrospective clinical report. *Int J Oral Maxillofac Implants.* 1999; 14: 173-80.

90.- Behneke A, Behneke N, d'Hoedt B. A 5-year longitudinal study of the clinical effectiveness of ITI Solid-screw implants in the treatment of mandibular edentulism. *Int J Oral Maxillofac Implants.* 2002; 17: 799-810.

91.- Weng D, Jacobson Z, Tarnow D, Hürzeler M, Faehn O, Sanavi F, Barkvoll P, Stach R. A prospective multicenter clinical trial of 3i machined-surface implants: results after 6 year of follow-up. *Int J Oral Maxillofac Implants.* 2003; 18: 417-23.

92.- Davarpanah M, Martínez H, Etienne D, Zabalegui I, Mattout P, Chiche F, Michel JF. A prospective multicenter evaluation of 1583 3i implants: 1- to 5- year data. *Int J Oral Maxillofac Implants.* 2002; 17: 820-8.

93.- Tarnow D, Emtiaz S, Classi A. Immediate loading of threaded implants at stage 1 surgery in edentulous arches: ten consecutive case reports with 1- to 5-year data. *Int J Oral Maxillofac Implants.* 1997; 12: 319-24.

94.- Engquist B, Astrand P, Anzén B, Dahlgren S, Engquist E, Feldmann H, Karlsson U, Nord PG, Sahlholm S, Svärdröm P. Simplified methods of implant treatment in the edentulous lower jaw: a 3-year follow-up report of a controlled prospective study of one-stage versus two-stage surgery and early loading. *Clin Implant Dent Relat Res.* 2005; 7: 95-104.

95.- Attard N, Zarb G. Immediate early implant loading protocols: a literature review of clinical studies. *J Prosthet Dent.* 2005; 94: 242-58.

96.- Schnitman P, Wöhrle P, Rubenstein J, DaSilva J, Wang N. Ten years results for Branemark implants immediately loaded with fixed prostheses at implant placement. *Int J Oral Maxillofac Implants.* 1997; 12: 495-503.

97.- Salvi G, Gallina G, Lang N. Early loading (2 or 6 weeks) of sandblasted and acid-etched (SLA) ITI implants in the posterior mandible. A 1-year randomized controlled clinical trial. *Clin Oral Imp Res.* 2004; 15: 142-9.

98.- Romeo E, Chiapasco M, Lazza A, Casentini P, Ghisolfi M, Dorio M, Vogel G. Implant-retained mandibular overdentures with ITI implants. A comparison of 2-year results between delayed and immediate loading. Clin Oral Imp Res. 2002; 13: 495-501.

99.- Cooper L, Rahman A, Moriarty J, Chafee N, Sacco D. Immediate mandibular rehabilitation with endosseous implants: simultaneous extraction, implant placement, and loading. Int J Oral Maxillofac Implants. 2002; 17: 517-25.

100.- Ganeles J, Rosenberg M, Holt R, Reichman L. Immediate loading of implants with fixed restorations in the completely edentulous mandible: report of 27 patients from a private practice. Int J Oral Maxillofac Implants. 2001; 16: 418-26.

101.- Wolfinger G, Balshi T, Rangert B. Immediate functional loading Branemark system implants in edentulous mandibles: clinical report of the results of developmental and simplified protocols. Int J Oral Maxillofac Implants. 2003; 18: 250-7.

102.- Chiapasco M, Abati S, Romeo E, Vogel G. Implant-retained mandibular overdentures with Branemark system MKII implants: a prospective comparative study between delayed and immediate loading. Int J Oral Maxillofac Implants. 2001; 16: 537-46.

103.- Chaushu G, Chaushu S, Tzohar A, Dayan D. Immediate loading of single-tooth implants: immediate versus non-immediate implantation. A clinical report. *Int J Oral Maxillofac Implants.* 2001; 16: 267-72.

104.- Lorenzoni M, Pertl C, Zhang K, Wimmer G, Wegscheider W. Immediate loading of single-tooth implants in the anterior maxilla. Preliminary results after one year. *Clin Oral Imp Res.* 2003; 14: 180-7.

105.- Andersen E, Haanaes HR, Knutsen BM. Immediate loading of single-tooth ITI implants in the anterior maxilla: a prospective 5-year pilot study. *Clin Oral Impl Res.* 2002; 13: 281-7.

106 - Calvo JL, Saez R, Pardo G. Compressive osteotomes for expansion and maxilla sinus floor lifting. *Med Oral Patol Oral Cir Bucal.* 2006; 11: 352-5.

107.- Chen S, Darby I, Adams G, Reynolds E. A prospective clinical study of bone augmentation techniques at immediate implants. *Clin Oral Impl Res.* 2005; 16: 176-84.

108.- McDermott N, Chuang S, Woo V, Dodson T. Maxillary sinus augmentation as a factor for implant failure. *Int J Oral Maxillofac Implants*. 2006; 21: 366-74.

109.- Hallman M, Sennerby L, Lundgren S. A clinical and histologic evaluation of implant integration in the posterior maxilla after sinus augmentation with autogenous bone, bovine hydroxyapatite, or a 20:80 mixture. *Int J Oral Maxillofac Implants*. 2002; 17: 635-43.

110.- Becktor J, Isaksson S, Sennerby L. Survival analysis of endosseous implants in grafted and nongrafted edentulous maxillae. *Int J Oral Maxillofac Implants*. 2004; 19: 107-15.

111.- Buser D, Mericske-Stern R, Dula K. Clinical experience with one-stage, non-submerged dental implants. *Avd Dent Res* 1999; 13: 153-9.

112.- Calatayud J, Martín G. *Bioestadística en la investigación odontológica*. Editorial PUES S.L. Madrid, 2002.

113.- Ferrán Aranaz M, *SPSS para Windows. Programación y análisis estadístico*. Editorial Mc Graw Hill. 1996.

114.- Sánchez M, Frutos G, Cuesta PL. Estadística y matemáticas aplicadas. Editorial Síntesis. 1996.

115.- SPSS. SPSS Statistics 17.0 Command Syntax Reference. SPSS Inc. 2007.

116.- Everitt BS. The analysis of contingency table. Editorial Chapman & Hall. Second Edition. 1992.

117.- De la Horra Navarro J. Estadística aplicada. Editorial Díaz de Santos. 1995.

118.- Lambert FE, Weber HP, Susarla SM, Belver UC, Gallucci GO. Descriptive analysis of implant and prosthodontic survival rates with fixed implant- supported rehabilitations in the edentulous maxilla. J Periodontol. 2009; 80: 1220-30.

119.- Krennmair G, Seemann R, Schmidinger S, Ewers R, Piehslinger E. Clinical outcome of root-shaped dental implants of various diameters: 5-year results. Int J Oral Maxillofac Implants. 2010; 25: 357-66.

120.- Créton M, Cune M, Verhoeven W, Muradin M, Wismeijer D, Meijer G. Implant treatment in patients with severe hypodontia: a retrospective evaluation. *J Oral Maxillofac Surg.* 2010; 68: 530-8.

121.- Romanos GE, Nentwig GH. Immediate functional loading in the maxilla using implants with platform switching: five-year results. *Int J Oral Maxillofac Implants.* 2009; 24: 1106-12.

122.- Salama H, Rose LF, Salama M, Betts NJ. Immediate loading of bilaterally splinted titanium root form implants in fixed prosthodontics: A technique re-examined. Two case reports. *Int J Periodontics Restorative Dent.* 1994; 15: 345-61.

123.- Chiapasco M, Gatti C, Rossi E, Haefliger W, Markwalder TH. Implant-retained mandibular overdentures with immediate loading. A retrospective multicenter study on 226 consecutive cases. *Clin Oral Implant Res.* 1997; 8: 48-57.

124.- Tarnow DP, Emtiaz S, Classi A. Immediate loading of threaded implants at stage 1 surgery in edentulous arches: Ten consecutive case reports with 1 to 5 years data. *Int J Oral Maxillofac Implants.* 1997; 12: 319-24.

125.- Turkyilmaz I, McGlumphy EA. Influence of bone density on implant stability parameters and implant success: a retrospective clinical study. BMC Oral Health. 2008; 24: 32-7.

126.- Horiuchi K, Uchida H, Yamamoto K, Sugimura M. Immediate loading of Brånemark system implants following placement in edentulous patients: a clinical report. Int J Oral Maxillofac Implants 2000; 15 : 824-30.

127.- Cortes AR, Cortes DN. Nontraumatic bone expansion for immediate dental implant placement: an analysis of 21 cases. Implant Dent. 2010; 19: 92-7.

128.- Torres-Lagares D, Bonilla-Mejías C, García-Calderón M, Gallego-Romero D, Serrera-Figallo MA, Gutiérrez-Pérez JL. Prospective assessment of post-extraction gingival closure with bone substitute and calcium sulphate. Med Oral Patol Oral Cir Bucal. 2010; 11: 217-223.

129.- Chao YL, Chen HH, Mei CC, Tu YK, Lu HK. Meta-regression analysis of the initial bone height for predicting implant survival rates of two sinus elevation procedures. J Clin Periodontol. 2010; 30: 302-6.

130.- Crespi R, Capparè P, Gherlone E. Immediate loading of dental implants placed in periodontally infected and noninfected sites in humans. Four years follow-up clinical study. *J Periodontol.* 2010; 6: 181-4.

131.- Kim S, Oh KC, Han DH, Heo SJ, Ryu IC, Kwon JH, Han CH. Influence of transmucosal designs of three one-piece implant systems on early tissue responses: a histometric study in beagle dogs. *Int J Oral Maxillofac Implants.* 2010; 25: 309-14.

132.- Calvo MP, Muller E, Garg AK. Immediate loading of titanium hexed screw-type implants in the edentulous patient: case report. *Implant Dent* 2000; 9: 351-7.

133.- Gatti C, Haefliger W, Chiapasco M. Implant-retained mandibular overdentures with immediate loading: a prospective study of ITI implants. *Int J Oral Maxillofac Implants* 2000; 15: 383-8.

134. Jo HY, Hobo PK, Hobo S. Freestanding and multiunit immediate loading of the expandable implant: an up-to-40-month prospective survival study. *J Prosthet Dent* 2001; 85: 148-55.

135.- Lee SY, Piao CM, Koak JY, Kim SK, Kim YS, Ku Y, Rhyu IC, Han CH, Heo SJ. A 3-year prospective radiographic evaluation of marginal bone level around different implant systems. *J Oral Rehabil.* 2010; 9: 312-23.

136.- Oliva J, Oliva X, Oliva JD. Five-year Success Rate of 831 Consecutively Placed Zirconia Dental Implants in Humans: A Comparison of Three Different Rough Surfaces. *Int J Oral Maxillofac Implants.* 2010; 25: 336-44.

137.- Shibli JA, Piattelli A, Iezzi G, Cardoso LA, Onuma T, de Carvalho PS, Susana D, Ferrari DS, Mangano C, Zenóbio EG. Effect of smoking on early bone healing around oxidized surfaces: a prospective, controlled study in human jaws. *J Periodontol.* 2010; 81: 575-83.

138.- Stadlinger B, Hennig M, Eckelt U, Kuhlisch E, Mai R. Comparison of zirconia and titanium implants after a short healing period. A pilot study in minipigs. *Int J Oral Maxillofac Surg.* 2010; 19: 129-32.

139.- Balshe AA, Assad DA, Eckert SE, Koka S, Weaver AL. A retrospective study of the survival of smooth- and rough-surface dental implants. *Int J Oral Maxillofac Implants.* 2009; 24: 1113-8.

140.- Neugebauer J, Weinländer M, Lekovic V, von Berg KH, Zoeller JE. Mechanical stability of immediately loaded implants with various surfaces and designs: a pilot study in dogs. *Int J Oral Maxillofac Implants*. 2009; 24: 1083-92.

141.- Klinger A, Tadir A, Halabi A, Shapira L. The Effect of Surface Processing of Titanium Implants on the Behavior of Human Osteoblast-Like Saos-2 Cells. *Clin Implant Dent Relat Res*. 2010; 11: 711-9.

142.- Yang GL, He FM, Hu JA, Wang XX, Zhao SF. Biomechanical comparison of biomimetically and electrochemically deposited hydroxyapatite-coated porous titanium implants. *J Oral Maxillofac Surg*. 2010; 68: 420-7.

143.- Slot W, Raghoobar GM, Vissink A, Huddleston Slater JJ, Meijer HJ. A systematic review of implant-supported maxillary overdentures after a mean observation period of at least 1 year. *J Clin Periodontol*. 2010; 37: 98-110.

144.- Cehreli MC, Karasoy D, Kokat AM, Akca K, Eckert S. A systematic review of marginal bone loss around implants retaining or supporting overdentures. *Int J Oral Maxillofac Implants*. 2010; 25: 266-77.

145.- Ma S, Payne AG. Marginal bone loss with mandibular two-implant overdentures using different loading protocols: a systematic literature review. *Int J Prosthodont.* 2010; 23: 117-26.

146.- Rentsch-Kollar A, Huber S, Mericske-Stern R. Mandibular implant overdentures followed for over 10 years: patient compliance and prosthetic maintenance. *Int J Prosthodont.* 2010; 23: 91-8.

147.- Akca K, Cehreli MC, Uysal S. Marginal bone loss and prosthetic maintenance of bar-retained implant-supported overdentures: a prospective study. *Int J Oral Maxillofac Implants.* 2010; 25: 137-45.

148.- Gallucci GO, Morton D, Weber HP. Loading protocols for dental implants in edentulous patients. *Int J Oral Maxillofac Implants.* 2009; 24: 132-46.

149.- Vigolo P, Givani A. Platform-switched restorations on wide-diameter implants: a 5-year clinical prospective study. *Int J Oral Maxillofac Implants.* 2009; 24: 103-9.

150.- Barona-Dorado C, Martínez-Rodríguez N, Torres-Lear F, Martínez-González JM. Observational study of 67 wide platform implants treated with avantblast surface. Results at three year. Med Oral Patol Oral Cir Bucal. 2009; 14: 183-7.

151.- Mordenfeld MH, Johansson A, Hedin M, Billström C, Fyrberg KA. A retrospective clinical study of wide-diameter implants used in posterior edentulous areas. Int J Oral Maxillofac Implants. 2004; 19: 387-92.

152.- Calandriello R, Tomatis M, Vallone R, Rangert B, Gottlow J. Immediate occlusal loading of single lower molars using Brånemark System Wide-Platform TiUnite implants: an interim report of a prospective open-ended clinical multicenter study. Clin Implant Dent Relat Res. 2003; 5: 74-80.

153.- Aparicio C, Orozco P. Use of 5-mm-diameter implants: Periotest values related to a clinical and radiographic evaluation. Clin Oral Implants Res. 1998; 9: 398-406.

154.- Anitua E, Tapia R, Luzuriaga F, Orive G. Influence of implant length, diameter, and geometry on stress distribution: a finite element analysis. Int J Periodontics Restorative Dent. 2010; 30: 89-95.

155.- Olate S, Lyrio MC, de Moraes M, Mazzonetto R, Moreira RW. Influence of diameter and length of implant on early dental implant failure. J Oral Maxillofac Surg. 2010; 68: 414-9.

156.- Calandriello R, Tomatis M. Immediate occlusal loading of single lower molars using Brånemark system® wide platform TiUnite implants: A 5-Year follow-up report of a prospective clinical multicenter study. Clin Implant Dent Relat Res. 2009; 5: 598-604.

157.- Yu W, Jang YJ, Kyung HM. Combined influence of implant diameter and alveolar ridge width on crestal bone stress: a quantitative approach. Int J Oral Maxillofac Implants. 2009; 24: 88-95.

158.- Schwarz S, Gabbert O, Hassel AJ, Schmitter M, Séché C, Rammelsberg P. Early loading of implants with fixed dental prostheses in edentulous mandibles: 4.5-year clinical results from a prospective study. Clin Oral Implants Res. 2010; 13: 312-17.

159.- Irinakis T, Wiebe C. Clinical evaluation of the NobelActive implant system: a case series of 107 consecutively placed implants and a review of the implant features. J Oral Implantol. 2009; 35: 283-8.

160.- Melo AC, de Freitas MC, Bernardes SR, de Mattias Sartori IA, Bassi AP, Thomé G. A prospective follow-up study of 44 mandibular immediately loaded implants using resonance frequency analysis: preliminary 1-year results. *Implant Dent.* 2009; 18: 530-8.

161.- Grütter L, Belser UC. Implant loading protocols for the partially edentulous esthetic zone. *Int J Oral Maxillofac Implants.* 2009; 24: 169-79.

162.- Cordaro L, Torsello F, Roccuzzo M. Implant loading protocols for the partially edentulous posterior mandible. *Int J Oral Maxillofac Implants.* 2009; 24: 158-68.

163.- Turkyilmaz I, Tözüm TF, Tumer C. Early versus Delayed Loading of Mandibular Implant-Supported Overdentures: 5-Year Results. *Clin Implant Dent Relat Res.* 2009; 5: 585-9.

164.- Li W, Chow J, Hui E, Lee PK, Chow R. Retrospective study on immediate functional loading of edentulous maxillas and mandibles with 690 implants, up to 71 months of follow-up. *J Oral Maxillofac Surg.* 2009; 67: 2653-62.

165.- Degidi M, Perrotti V, Strocchi R, Piattelli A, Lezzi G. Is insertion torque correlated to bone-implant contact percentage in the early healing period? A histological and histomorphometrical evaluation of 17 human-retrieved dental implants. *Clin Oral Implant Res.* 2009; 20: 778-81.

166.- Degidi M, lezzi G, Perrotti V, Piattelli A. Comparative analysis of immediate functional loading and immediate nonfunctional loading to traditional healing periods: a 5-year follow-up of 550 dental implants. *Clin Implant Dent Relat Res.* 2009; 11: 257-66.

167.- Atieh MA, Atieh AH, Payne AG, Duncan WJ. Immediate loading with single implant crowns: a systematic review and meta-analysis. *Int J Prosthodont.* 2009; 22: 378- 87.

168.- Donati M, La Scala V, Billi M, Di Dino B, Torrisi P, Berglundh T. Immediate functional loading of implants in single tooth replacement: a prospective clinical multicenter study. *Clin Oral Implants Res.* 2008; 19: 740-8.

169.- Degidi M, Nardi D, Piattelli A. Immediate versus one-stage restoration of small-diameter implants for a single missing maxillary lateral incisor: a 3-year randomized clinical trial. *J Periodontol.* 2009; 80: 1393-8.

170.- Pieri F, Aldini NN, Fini M, Marchetti C, Corinaldesi G. Immediate functional loading of dental implants supporting a bar-retained maxillary overdenture: preliminary 12-month results. *J Periodontol.* 2009; 80: 1883-93.

171.- Dierens M, Collaert B, Deschepper E, Browaeys H, Klinge B, De Bruyn H. Patient-centered outcome of immediately loaded implants in the rehabilitation of fully edentulous jaws. *Clin Oral Implant Res.* 2009; 20: 1070-7.

172.- Fazel A, Aalai S, Rismanchian M. Effect of macro-design of immediately loaded implants on micromotion and stress distribution in surrounding bone using finite element analysis. *Implant Dent.* 2009; 18: 345-52.

173.- Mijiritsky E, Mardinger O, Mazor Z, Chaushu G. Immediate provisionalization of single-tooth implants in fresh-extraction sites at the maxillary esthetic zone: up to 6 years of follow-up. *Implant Dent.* 2009; 18: 326-33.

174.- Atieh MA, Atieh AH, Payne AG, Duncan WJ. Immediate loading with single implant crowns: a systematic review and meta-analysis. *Int J Prosthodont.* 2009; 22: 378-87.

175.- Roccuzzo M, Aglietta M, Cordaro L. Implant loading protocols for partially edentulous maxillary posterior sites. *Int J Oral Maxillofac Implants.* 2009; 24: 147-57.

176.- Li W, Chow J, Hui E, Lee PK, Chow R. Retrospective study on immediate functional loading of edentulous maxillas and mandibles with 690 implants, up to 71 months of follow-up. *J Oral Maxillofac Surg.* 2009; 67: 2653-62.

177.- Neugebauer J, Scheer M, Mischkowski RA, An SH, Karapetian VE, Toutenburg H, Zoeller JE. Comparison of torque measurements and clinical handling of various surgical motors. *Int J Oral Maxillofac Implants.* 2009; 24: 469-76.

178.- Trisi P, Perfetti G, Baldoni E, Berardi D, Colagiovanni M, Scogna G. Implant micromotion is related to peak insertion torque and bone density. *Clin Oral Implants Res.* 2009; 20: 467-71.

179.- Pieri F, Aldini NN, Fini M, Corinaldesi G. Immediate occlusal loading of immediately placed implants supporting fixed restorations in completely edentulous arches: a 1-year prospective pilot study. *J Periodontol.* 2009; 80: 411-21.

180.- Andrés-García R, Vives NG, Climent FH, Palacín AF, Santos VR, Climent MH, Bullón P. In vitro evaluation of the influence of the cortical bone on the primary stability of two implant systems. *Med Oral Patol Oral Cir Bucal*. 2009; 14: 93-7.

181.- Palattella P, Torsello F, Cordaro L. Two-year prospective clinical comparison of immediate replacement vs. immediate restoration of single tooth in the esthetic zone. *Clin Oral Implants Res*. 2008; 19: 1148-53.

182.- Crespi R, Capparé P, Gherlone E, Romanos GE. Immediate versus delayed loading of dental implants placed in fresh extraction sockets in the maxillary esthetic zone: a clinical comparative study. *Int J Oral Maxillofac Implants*. 2008; 23: 753-8.

183.- Crespi R, Capparé P, Gherlone E. Radiographic evaluation of marginal bone levels around platform-switched and non-platform-switched implants used in an immediate loading protocol. *Int J Oral Maxillofac Implants*. 2009; 24: 920-6.

184.- Degidi M, Iezzi G, Perrotti V, Piattelli A. Comparative analysis of immediate functional loading and immediate nonfunctional loading to traditional healing periods: a 5-year follow-up of 550 dental implants. *Clin Implant Dent Relat Res*. 2009; 11: 257-66.

185.- Schincaglia GP, Marzola R, Giovanni GF, Chiara CS, Scotti R. Replacement of mandibular molars with single-unit restorations supported by wide-body implants: immediate versus delayed loading. A randomized controlled study. *Int J Oral Maxillofac Implants*. 2008; 23: 474-80.

186.- den Hartog L, Raghoobar GM, Stellingsma K, Meijer HJ. Immediate loading and customized restoration of a single implant in the maxillary esthetic zone: a clinical report. *J Prosthet Dent*. 2009; 102: 211-5.

187.- Alfadda SA, Attard NJ, David LA. Five-year clinical results of immediately loaded dental implants using mandibular overdentures. *Int J Prosthodont*. 2009; 22: 368-73.

188.- Stephan G, Vidot F, Noharet R, Mariani P. Implant-retained mandibular overdentures: a comparative pilot study of immediate loading versus delayed loading after two years. *J Prosthet Dent*. 2008; 99: 167-72.

189.- Assad AS, Hassan SA, Shawky YM, Badawy MM. Clinical and radiographic evaluation of implant-retained mandibular overdentures with immediate loading. *Implant Dent*. 2007; 16: 212-23.

190.- Liddel G, Henry P. The immediately loaded single implant-retained mandibular overdenture: a 36-month prospective study. *Int J Prosthodont.* 2010; 23: 13-21.

191.- Boronat A, Carrillo C, Peñarocha M, Peñarocha M. Dental implants placed simultaneously with bone grafts in horizontal defects: a clinical retrospective study with 37 patients. *Int J Oral Maxillofac Implants.* 2010; 25: 189-96.

192.- Esposito M, Grusovin MG, Rees J, Karasoulos D, Felice P, Alissa R, Worthington HV, Coulthard P. Interventions for replacing missing teeth: augmentation procedures of the maxillary sinus. *Cochrane Database Syst Rev.* 2010 Mar 17; 3: CD008397.

193.- Kluppel LE, Santos SE, Olate S, Freire Filho FW, Moreira RW, de Moraes M. Implant migration into maxillary sinus: description of two asymptomatic cases. *J Oral Maxillofac Surg.* 2010; 14: 63-6.

194.- Kahnberg KE, Wallström M, Rasmusson L. Local Sinus Lift for Single-Tooth Implant. I. Clinical and Radiographic Follow-Up. *Clin Implant Dent Relat Res.* 2009; 9: 598-604.

195.- Raja SV. Management of the posterior maxilla with sinus lift: review of techniques. *J Oral Maxillofac Surg.* 2009; 67: 1730-4.

196.- Parrish LC, Miyamoto T, Fong N, Mattson JS, Cerutis DR. Non-bioabsorbable vs. bioabsorbable membrane: assessment of their clinical efficacy in guided tissue regeneration technique. A systematic review. *J Oral Sci.* 2009; 51: 383-400.

197.- Kim SG, Park JS, Lim SC. Placement of implant after bone graft using J block allograft. *Implant Dent.* 2010; 19: 21-8.

198.- Barboza EP, Stutz B, Ferreira VF, Carvalho W. Guided bone regeneration using nonexpanded polytetrafluoroethylene membranes in preparation for dental implant placements--a report of 420 cases. *Implant Dent.* 2010; 19: 2-7.

199.- Uckan S, Deniz K, Dayangac E, Araz K, Ozdemir BH. Early Implant Survival in Posterior Maxilla With or Without beta-Tricalcium Phosphate Sinus Floor Graft. *J Oral Maxillofac Surg.* 2010; 10: 84-8.

200.- Hu X, Lin Y, Metzmacher AR, Zhang Y. Sinus membrane lift using a water balloon followed by bone grafting and implant placement: a 28-case report. *Int J Prosthodont.* 2009; 22: 243-7.

201.- Boronat A, Carrillo C, Penarrocha M, Pennarrocha M. Dental implants placed simultaneously with bone grafts in horizontal defects: a clinical retrospective study with 37 patients. *Int J Oral Maxillofac Implants.* 2010; 25: 189-96.

202.- Zheng L, Tang T, Deng F, Zhao Z. The influence of extraction on the stability of implanted titanium microscrews: a biomechanical and histomorphometric study. *Int J Oral Maxillofac Implants.* 2009; 24: 267-74.

203.- Kahnberg KE, Wallström M, Rasmusson L. Local Sinus Lift for Single-Tooth Implant. I. Clinical and Radiographic Follow-Up. *Clin Implant Dent Relat Res.* 2009; 9: 403-9.

204.- Raja SV. Management of the posterior maxilla with sinus lift: review of techniques. *J Oral Maxillofac Surg.* 2009; 67: 1730-4.

205.- Sbordone L, Toti P, Menchini-Fabris G, Sbordone C, Guidetti F. Implant survival in maxillary and mandibular osseous onlay grafts and native bone: a 3-year clinical and computerized tomographic follow-up. *Int J Oral Maxillofac Implants.* 2009; 24: 695-703.

206.- Esposito M, Grusovin MG, Felice P, Karatzopoulos G, Worthington HV, Coulthard P. Interventions for replacing missing teeth: horizontal and vertical bone augmentation techniques for dental implant treatment. Cochrane Database Syst Rev. 2009 Oct 7; (4): CD003607.

IX.- ANEXO ESTADÍSTICO

Frecuencias

Sexo

| | | Frecuencia | Porcentaje | Porcentaje válido | Porcentaje acumulado |
|---------|----------|------------|------------|-------------------|----------------------|
| Válidos | 1 HOMBRE | 273 | 29,7 | 29,7 | 29,7 |
| | 2 MUJER | 646 | 70,3 | 70,3 | 100,0 |
| | Total | 919 | 100,0 | 100,0 | |

Arcada

| | | Frecuencia | Porcentaje | Porcentaje válido | Porcentaje acumulado |
|----------|-------------|------------|------------|-------------------|----------------------|
| Válidos | 1 MAXILAR | 485 | 52,8 | 52,9 | 52,9 |
| | 2 MANDIBULA | 432 | 47,0 | 47,1 | 100,0 |
| | Total | 917 | 99,8 | 100,0 | |
| Perdidos | Sistema | 2 | ,2 | | |
| Total | | 919 | 100,0 | | |

Diente

| | Frecuencia | Porcentaje | Porcentaje válido | Porcentaje acumulado |
|------------|------------|------------|-------------------|----------------------|
| Válidos 11 | 24 | 2,6 | 2,6 | 2,6 |
| 12 | 22 | 2,4 | 2,4 | 5,0 |
| 13 | 25 | 2,7 | 2,7 | 7,8 |
| 14 | 49 | 5,3 | 5,4 | 13,1 |
| 15 | 50 | 5,4 | 5,5 | 18,6 |
| 16 | 38 | 4,1 | 4,2 | 22,7 |
| 17 | 13 | 1,4 | 1,4 | 24,2 |
| 21 | 19 | 2,1 | 2,1 | 26,2 |
| 22 | 32 | 3,5 | 3,5 | 29,7 |
| 23 | 28 | 3,0 | 3,1 | 32,8 |
| 24 | 55 | 6,0 | 6,0 | 38,8 |
| 25 | 61 | 6,6 | 6,7 | 45,5 |
| 26 | 44 | 4,8 | 4,8 | 50,3 |
| 27 | 22 | 2,4 | 2,4 | 52,7 |
| 31 | 10 | 1,1 | 1,1 | 53,8 |
| 32 | 33 | 3,6 | 3,6 | 57,4 |
| 33 | 4 | ,4 | ,4 | 57,8 |
| 34 | 54 | 5,9 | 5,9 | 63,7 |
| 35 | 36 | 3,9 | 3,9 | 67,7 |
| 36 | 56 | 6,1 | 6,1 | 73,8 |
| 37 | 33 | 3,6 | 3,6 | 77,4 |
| 38 | 1 | ,1 | ,1 | 77,5 |
| 41 | 13 | 1,4 | 1,4 | 78,9 |
| 42 | 29 | 3,2 | 3,2 | 82,1 |
| 43 | 6 | ,7 | ,7 | 82,7 |
| 44 | 45 | 4,9 | 4,9 | 87,7 |
| 45 | 32 | 3,5 | 3,5 | 91,1 |
| 46 | 47 | 5,1 | 5,1 | 96,3 |

| | | | | |
|-----------------|-----|-------|-------|-------|
| 47 | 33 | 3,6 | 3,6 | 99,9 |
| 48 | 1 | ,1 | ,1 | 100,0 |
| Total | 915 | 99,6 | 100,0 | |
| Perdido Sistema | 4 | ,4 | | |
| Total | 919 | 100,0 | | |

Tipo IOI

| | | Frecuencia | Porcentaje | Porcentaje válido | Porcentaje acumulado |
|---------|-------|------------|------------|-------------------|----------------------|
| Válidos | 1 TSA | 892 | 97,1 | 97,1 | 97,1 |
| | 2 TSH | 27 | 2,9 | 2,9 | 100,0 |
| | Total | 919 | 100,0 | 100,0 | |

Serie

| | | Frecuencia | Porcentaje | Porcentaje válido | Porcentaje acumulado |
|---------|-------|------------|------------|-------------------|----------------------|
| Válidos | 2 | 25 | 2,7 | 2,7 | 2,7 |
| | 3 | 549 | 59,7 | 59,7 | 62,5 |
| | 4 | 299 | 32,5 | 32,5 | 95,0 |
| | 5 | 46 | 5,0 | 5,0 | 100,0 |
| | Total | 919 | 100,0 | 100,0 | |

Longitud

| | | Frecuencia | Porcentaje | Porcentaje válido | Porcentaje acumulado |
|---------|------|------------|------------|-------------------|----------------------|
| Válidos | 8,5 | 37 | 4,0 | 4,0 | 4,0 |
| | 10,0 | 182 | 19,8 | 19,8 | 23,8 |
| | 11,3 | 1 | ,1 | ,1 | 23,9 |
| | 11,5 | 200 | 21,8 | 21,8 | 45,7 |
| | 13,0 | 444 | 48,3 | 48,3 | 94,0 |
| | 14,5 | 50 | 5,4 | 5,4 | 99,5 |
| | 16,0 | 5 | ,5 | ,5 | 100,0 |

IX.- Anexo estadístico

| | | | | |
|-------|-----|-------|-------|--|
| Total | 919 | 100,0 | 100,0 | |
|-------|-----|-------|-------|--|

Pérdida IOI

| | | Frecuencia | Porcentaje | Porcentaje válido | Porcentaje acumulado |
|---------|-------|------------|------------|-------------------|----------------------|
| Válidos | 1 NO | 902 | 98,2 | 98,2 | 98,2 |
| | 2 SI | 17 | 1,8 | 1,8 | 100,0 |
| | Total | 919 | 100,0 | 100,0 | |

Crestal/Supra

| | | Frecuencia | Porcentaje | Porcentaje válido | Porcentaje acumulado |
|---------|----------------|------------|------------|-------------------|----------------------|
| Válidos | 1 CRESTAL | 727 | 79,1 | 79,1 | 79,1 |
| | 2 SUPRACRESTAL | 192 | 20,9 | 20,9 | 100,0 |
| | Total | 919 | 100,0 | 100,0 | |

Carga

| | | Frecuencia | Porcentaje | Porcentaje válido | Porcentaje acumulado |
|---------|--------------|------------|------------|-------------------|----------------------|
| Válidos | 1 INMEDIATA | 268 | 29,2 | 29,2 | 29,2 |
| | 2 PRECOZ | 510 | 55,5 | 55,5 | 84,7 |
| | 3 CIR_PREVIA | 141 | 15,3 | 15,3 | 100,0 |
| | Total | 919 | 100,0 | 100,0 | |

Prótesis

| | | Frecuencia | Porcentaje | Porcentaje válido | Porcentaje acumulado |
|---------|------------------|------------|------------|-------------------|----------------------|
| Válidos | 1 FIJA | 631 | 68,7 | 71,2 | 71,2 |
| | 2 SOBREDENTADURA | 255 | 27,7 | 28,8 | 100,0 |

| | | | | | |
|----------|---------|-----|-------|-------|--|
| | Total | 886 | 96,4 | 100,0 | |
| Perdidos | Sistema | 33 | 3,6 | | |
| Total | | 919 | 100,0 | | |

Ajuste prót.

| | | Frecuencia | Porcentaje | Porcentaje válido | Porcentaje acumulado |
|----------|---------|------------|------------|-------------------|----------------------|
| Válidos | 1 BUENO | 363 | 39,5 | 90,5 | 90,5 |
| | 2 MALO | 38 | 4,1 | 9,5 | 100,0 |
| | Total | 401 | 43,6 | 100,0 | |
| Perdidos | Sistema | 518 | 56,4 | | |
| Total | | 919 | 100,0 | | |

Unitario/Puente

| | | Frecuencia | Porcentaje | Porcentaje válido | Porcentaje acumulado |
|----------|------------|------------|------------|-------------------|----------------------|
| Válidos | 1 UNITARIO | 51 | 5,5 | 8,5 | 8,5 |
| | 2 PUENTE | 547 | 59,5 | 91,5 | 100,0 |
| | Total | 598 | 65,1 | 100,0 | |
| Perdidos | Sistema | 321 | 34,9 | | |
| Total | | 919 | 100,0 | | |

Atorn/Cem

| | | Frecuencia | Porcentaje | Porcentaje válido | Porcentaje acumulado |
|---------|---------------|------------|------------|-------------------|----------------------|
| Válidos | 1 ATORNILLADA | 555 | 60,4 | 95,9 | 95,9 |
| | 2 CEMENTADA | 24 | 2,6 | 4,1 | 100,0 |
| | Total | 579 | 63,0 | 100,0 | |

IX.- Anexo estadístico

| | | | | | |
|----------|---------|-----|-------|--|--|
| Perdidos | Sistema | 340 | 37,0 | | |
| Total | | 919 | 100,0 | | |

Nº IOI

| | | Frecuencia | Porcentaje | Porcentaje válido | Porcentaje acumulado |
|----------|---------|------------|------------|-------------------|----------------------|
| Válidos | 1 | 1 | ,1 | ,4 | ,4 |
| | 2 | 2 | ,2 | ,8 | 1,2 |
| | 3 | 3 | ,3 | 1,2 | 2,4 |
| | 4 | 154 | 16,8 | 62,3 | 64,8 |
| | 5 | 16 | 1,7 | 6,5 | 71,3 |
| | 6 | 56 | 6,1 | 22,7 | 93,9 |
| | 7 | 7 | ,8 | 2,8 | 96,8 |
| | 8 | 8 | ,9 | 3,2 | 100,0 |
| | Total | 247 | 26,9 | 100,0 | |
| Perdidos | Sistema | 672 | 73,1 | | |
| Total | | 919 | 100,0 | | |

Tramos barra

| | | Frecuencia | Porcentaje | Porcentaje válido | Porcentaje acumulado |
|---------|-------|------------|------------|-------------------|----------------------|
| Válidos | 2 | 7 | ,8 | 2,9 | 2,9 |
| | 3 | 145 | 15,8 | 60,9 | 63,9 |
| | 4 | 10 | 1,1 | 4,2 | 68,1 |
| | 5 | 61 | 6,6 | 25,6 | 93,7 |
| | 7 | 15 | 1,6 | 6,3 | 100,0 |
| | Total | 238 | 25,9 | 100,0 | |

| | | | | | |
|----------|---------|-----|-------|--|--|
| Perdidos | Sistema | 681 | 74,1 | | |
| Total | | 919 | 100,0 | | |

C.Clinicos

| | | Frecuencia | Porcentaje | Porcentaje válido | Porcentaje acumulado |
|----------|----------------------|------------|------------|-------------------|----------------------|
| Válidos | 0 | 11 | 1,2 | 7,2 | 7,2 |
| | 1 ELEVA+BIOMAT | 2 | ,2 | 1,3 | 8,6 |
| | 2 ELEVA+BIOMAT+HUESO | 11 | 1,2 | 7,2 | 15,8 |
| | 3 ELEVA+HUESO | 22 | 2,4 | 14,5 | 30,3 |
| | 4 ONLAY LATERAI | 26 | 2,8 | 17,1 | 47,4 |
| | 5 ONLAY VERTICAL | 23 | 2,5 | 15,1 | 62,5 |
| | 6 DISTRACCION OSEA | 8 | ,9 | 5,3 | 67,8 |
| | 7 LATERAL NERVIO | 6 | ,7 | 3,9 | 71,7 |
| | 8 INJERTO OSEO | 25 | 2,7 | 16,4 | 88,2 |
| | 9 MEMBRANA+HUESO | 18 | 2,0 | 11,8 | 100,0 |
| | Total | 152 | 16,5 | 100,0 | |
| Perdidos | Sistema | 767 | 83,5 | | |
| Total | | 919 | 100,0 | | |

Complicaciones

| | | Frecuencia | Porcentaje | Porcentaje válido | Porcentaje acumulado |
|---------|---------------------|------------|------------|-------------------|----------------------|
| Válidos | 0 AUSENCIA COMPLI | 862 | 93,8 | 93,8 | 93,8 |
| | 1 COMPLI PROTESICAS | 28 | 3,0 | 3,0 | 96,8 |
| | 2 COMPLI CLINICAS | 8 | ,9 | ,9 | 97,7 |

IX.- Anexo estadístico

| | | | | |
|------------------|-----|-------|-------|-------|
| 3 COMPLI PERIMPL | 21 | 2,3 | 2,3 | 100,0 |
| Total | 919 | 100,0 | 100,0 | |

OPG/Peri

| | | Frecuencia | Porcentaje | Porcentaje válido | Porcentaje acumulado |
|----------|---------------|------------|------------|-------------------|----------------------|
| Válidos | 1 PANORA+PERI | 706 | 76,8 | 83,1 | 83,1 |
| | 2 PANORAMICAS | 117 | 12,7 | 13,8 | 96,8 |
| | 3 PERIAPICAL | 27 | 2,9 | 3,2 | 100,0 |
| | Total | 850 | 92,5 | 100,0 | |
| Perdidos | Sistema | 69 | 7,5 | | |
| Total | | 919 | 100,0 | | |

PE_1CM

| | | Frecuencia | Porcentaje | Porcentaje válido | Porcentaje acumulado |
|----------|---------|------------|------------|-------------------|----------------------|
| Válidos | 0 | 812 | 88,4 | 90,1 | 90,1 |
| | 1 | 51 | 5,5 | 5,7 | 95,8 |
| | 2 | 22 | 2,4 | 2,4 | 98,2 |
| | 3 | 14 | 1,5 | 1,6 | 99,8 |
| | 4 | 2 | ,2 | ,2 | 100,0 |
| | Total | 901 | 98,0 | 100,0 | |
| Perdidos | Sistema | 18 | 2,0 | | |
| Total | | 919 | 100,0 | | |

PE_1CD

| | | Frecuencia | Porcentaje | Porcentaje válido | Porcentaje acumulado |
|---------|---|------------|------------|-------------------|----------------------|
| Válidos | 0 | 807 | 87,8 | 89,6 | 89,6 |
| | 1 | 60 | 6,5 | 6,7 | 96,2 |
| | 2 | 19 | 2,1 | 2,1 | 98,3 |

IX.- Anexo estadístico

| | | | | | |
|----------|---------|-----|-------|-------|-------|
| | 3 | 12 | 1,3 | 1,3 | 99,7 |
| | 4 | 3 | ,3 | ,3 | 100,0 |
| | Total | 901 | 98,0 | 100,0 | |
| Perdidos | Sistema | 18 | 2,0 | | |
| Total | | 919 | 100,0 | | |

PE_2CM

| | | Frecuencia | Porcentaje | Porcentaje válido | Porcentaje acumulado |
|----------|---------|------------|------------|-------------------|----------------------|
| Válidos | 0 | 621 | 67,6 | 83,6 | 83,6 |
| | 1 | 87 | 9,5 | 11,7 | 95,3 |
| | 2 | 28 | 3,0 | 3,8 | 99,1 |
| | 3 | 6 | ,7 | ,8 | 99,9 |
| | 4 | 1 | ,1 | ,1 | 100,0 |
| | Total | 743 | 80,8 | 100,0 | |
| Perdidos | Sistema | 176 | 19,2 | | |
| Total | | 919 | 100,0 | | |

IX.- Anexo estadístico

PE_2CD

| | | Frecuencia | Porcentaje | Porcentaje válido | Porcentaje acumulado |
|----------|---------|------------|------------|-------------------|----------------------|
| Válidos | 0 | 618 | 67,2 | 83,2 | 83,2 |
| | 1 | 86 | 9,4 | 11,6 | 94,8 |
| | 2 | 32 | 3,5 | 4,3 | 99,1 |
| | 3 | 7 | ,8 | ,9 | 100,0 |
| | Total | 743 | 80,8 | 100,0 | |
| Perdidos | Sistema | 176 | 19,2 | | |
| Total | | 919 | 100,0 | | |

PE_3CM

| | | Frecuencia | Porcentaje | Porcentaje válido | Porcentaje acumulado |
|----------|---------|------------|------------|-------------------|----------------------|
| Válidos | 0 | 391 | 42,5 | 80,5 | 80,5 |
| | 1 | 57 | 6,2 | 11,7 | 92,2 |
| | 2 | 27 | 2,9 | 5,6 | 97,7 |
| | 3 | 9 | 1,0 | 1,9 | 99,6 |
| | 4 | 2 | ,2 | ,4 | 100,0 |
| | Total | 486 | 52,9 | 100,0 | |
| Perdidos | Sistema | 433 | 47,1 | | |
| Total | | 919 | 100,0 | | |

PE_3CD

| | | Frecuencia | Porcentaje | Porcentaje válido | Porcentaje acumulado |
|----------|---------|------------|------------|-------------------|----------------------|
| Válidos | 0 | 395 | 43,0 | 81,3 | 81,3 |
| | 1 | 57 | 6,2 | 11,7 | 93,0 |
| | 2 | 23 | 2,5 | 4,7 | 97,7 |
| | 3 | 9 | 1,0 | 1,9 | 99,6 |
| | 4 | 2 | ,2 | ,4 | 100,0 |
| | Total | 486 | 52,9 | 100,0 | |
| Perdidos | Sistema | 433 | 47,1 | | |
| Total | | 919 | 100,0 | | |

IX.- Anexo estadístico

Tablas de contingencia

Carga * PE_1CM

Tabla de contingencia

| | | | PE_1CM | | | | Total |
|-------|--------------|-------------------|--------|-------|------|------|--------|
| | | | 0 | 1 | 2 | 3 | |
| Carga | 1 INMEDIATA | Recuento | 249 | 10 | 1 | 1 | 261 |
| | | % dentro de Carga | 95,4% | 3,8% | ,4% | ,4% | 100,0% |
| | 2 PRECOZ | Recuento | 445 | 26 | 17 | 11 | 499 |
| | | % dentro de Carga | 89,2% | 5,2% | 3,4% | 2,2% | 100,0% |
| | 3 CIR_PREVIA | Recuento | 118 | 15 | 4 | 4 | 141 |
| | | % dentro de Carga | 83,7% | 10,6% | 2,8% | 2,8% | 100,0% |
| Total | | Recuento | 812 | 51 | 22 | 16 | 901 |
| | | % dentro de Carga | 90,1% | 5,7% | 2,4% | 1,8% | 100,0% |

Pruebas de chi-cuadrado

| | Valor | gl | Sig. asintótica (bilateral) |
|------------------------------|---------------------|----|-----------------------------|
| Chi-cuadrado de Pearson | 20,182 ^a | 6 | ,003 |
| Razón de verosimilitudes | 22,579 | 6 | ,001 |
| Asociación lineal por lineal | 13,655 | 1 | ,000 |
| N de casos válidos | 901 | | |

Carga * PE_1CD

Tabla de contingencia

| | | | PE_1CD | | | | Total |
|-------|--------------|-------------------|--------|-------|------|------|--------|
| | | | 0 | 1 | 2 | 3 | |
| Carga | 1 INMEDIATA | Recuento | 247 | 9 | 4 | 1 | 261 |
| | | % dentro de Carga | 94,6% | 3,4% | 1,5% | ,4% | 100,0% |
| | 2 PRECOZ | Recuento | 445 | 32 | 13 | 9 | 499 |
| | | % dentro de Carga | 89,2% | 6,4% | 2,6% | 1,8% | 100,0% |
| | 3 CIR_PREVIA | Recuento | 115 | 19 | 2 | 5 | 141 |
| | | % dentro de Carga | 81,6% | 13,5% | 1,4% | 3,5% | 100,0% |
| Total | | Recuento | 807 | 60 | 19 | 15 | 901 |
| | | % dentro de Carga | 89,6% | 6,7% | 2,1% | 1,7% | 100,0% |

Pruebas de chi-cuadrado

| | Valor | gl | Sig. asintótica (bilateral) |
|------------------------------|---------------------|----|-----------------------------|
| Chi-cuadrado de Pearson | 22,633 ^a | 6 | ,001 |
| Razón de verosimilitudes | 21,730 | 6 | ,001 |
| Asociación lineal por lineal | 12,886 | 1 | ,000 |
| N de casos válidos | 901 | | |

Carga * PE_2CM

Tabla de contingencia

| | | | PE_2CM | | | | Total |
|-------|--------------|-------------------|--------|-------|------|------|--------|
| | | | 0 | 1 | 2 | 3 | |
| Carga | 1 INMEDIATA | Recuento | 189 | 16 | 4 | 1 | 210 |
| | | % dentro de Carga | 90,0% | 7,6% | 1,9% | ,5% | 100,0% |
| | 2 PRECOZ | Recuento | 351 | 40 | 13 | 2 | 406 |
| | | % dentro de Carga | 86,5% | 9,9% | 3,2% | ,5% | 100,0% |
| | 3 CIR_PREVIA | Recuento | 81 | 31 | 11 | 4 | 127 |
| | | % dentro de Carga | 63,8% | 24,4% | 8,7% | 3,1% | 100,0% |
| Total | | Recuento | 621 | 87 | 28 | 7 | 743 |
| | | % dentro de Carga | 83,6% | 11,7% | 3,8% | ,9% | 100,0% |

Pruebas de chi-cuadrado

| | Valor | gl | Sig. asintótica (bilateral) |
|------------------------------|---------------------|----|-----------------------------|
| Chi-cuadrado de Pearson | 47,357 ^a | 6 | ,000 |
| Razón de verosimilitudes | 40,189 | 6 | ,000 |
| Asociación lineal por lineal | 31,805 | 1 | ,000 |
| N de casos válidos | 743 | | |

Carga * PE_2CD

Tabla de contingencia

| | | | PE_2CD | | | | Total |
|-------|--------------|-------------------|--------|-------|------|------|--------|
| | | | 0 | 1 | 2 | 3 | |
| Carga | 1 INMEDIATA | Recuento | 190 | 14 | 5 | 1 | 210 |
| | | % dentro de Carga | 90,5% | 6,7% | 2,4% | ,5% | 100,0% |
| | 2 PRECOZ | Recuento | 349 | 38 | 16 | 3 | 406 |
| | | % dentro de Carga | 86,0% | 9,4% | 3,9% | ,7% | 100,0% |
| | 3 CIR_PREVIA | Recuento | 79 | 34 | 11 | 3 | 127 |
| | | % dentro de Carga | 62,2% | 26,8% | 8,7% | 2,4% | 100,0% |
| Total | | Recuento | 618 | 86 | 32 | 7 | 743 |
| | | % dentro de Carga | 83,2% | 11,6% | 4,3% | ,9% | 100,0% |

Pruebas de chi-cuadrado

| | Valor | gl | Sig. asintótica (bilateral) |
|------------------------------|---------------------|----|-----------------------------|
| Chi-cuadrado de Pearson | 50,777 ^a | 6 | ,000 |
| Razón de verosimilitudes | 43,769 | 6 | ,000 |
| Asociación lineal por lineal | 31,065 | 1 | ,000 |
| N de casos válidos | 743 | | |

IX.- Anexo estadístico

Carga * PE_3CM

Tabla de contingencia

| | | | PE_3CM | | | | Total |
|-------|--------------|-------------------|--------|-------|-------|------|--------|
| | | | 0 | 1 | 2 | 3 | |
| Carga | 1 INMEDIATA | Recuento | 99 | 12 | 4 | 0 | 115 |
| | | % dentro de Carga | 86,1% | 10,4% | 3,5% | ,0% | 100,0% |
| | 2 PRECOZ | Recuento | 240 | 26 | 10 | 6 | 282 |
| | | % dentro de Carga | 85,1% | 9,2% | 3,5% | 2,1% | 100,0% |
| | 3 CIR_PREVIA | Recuento | 52 | 19 | 13 | 5 | 89 |
| | | % dentro de Carga | 58,4% | 21,3% | 14,6% | 5,6% | 100,0% |
| Total | | Recuento | 391 | 57 | 27 | 11 | 486 |
| | | % dentro de Carga | 80,5% | 11,7% | 5,6% | 2,3% | 100,0% |

Pruebas de chi-cuadrado

| | Valor | gl | Sig. asintótica (bilateral) |
|------------------------------|---------------------|----|-----------------------------|
| Chi-cuadrado de Pearson | 38,397 ^a | 6 | ,000 |
| Razón de verosimilitudes | 35,325 | 6 | ,000 |
| Asociación lineal por lineal | 24,612 | 1 | ,000 |
| N de casos válidos | 486 | | |

Carga * PE_3CD

Tabla de contingencia

| | | | PE_3CD | | | | Total |
|-------|--------------|-------------------|--------|-------|-------|------|--------|
| | | | 0 | 1 | 2 | 3 | |
| Carga | 1 INMEDIATA | Recuento | 99 | 11 | 5 | 0 | 115 |
| | | % dentro de Carga | 86,1% | 9,6% | 4,3% | ,0% | 100,0% |
| | 2 PRECOZ | Recuento | 242 | 26 | 6 | 8 | 282 |
| | | % dentro de Carga | 85,8% | 9,2% | 2,1% | 2,8% | 100,0% |
| | 3 CIR_PREVIA | Recuento | 54 | 20 | 12 | 3 | 89 |
| | | % dentro de Carga | 60,7% | 22,5% | 13,5% | 3,4% | 100,0% |
| Total | | Recuento | 395 | 57 | 23 | 11 | 486 |
| | | % dentro de Carga | 81,3% | 11,7% | 4,7% | 2,3% | 100,0% |

Pruebas de chi-cuadrado

| | Valor | gl | Sig. asintótica (bilateral) |
|------------------------------|---------------------|----|-----------------------------|
| Chi-cuadrado de Pearson | 38,395 ^a | 6 | ,000 |
| Razón de verosimilitudes | 35,823 | 6 | ,000 |
| Asociación lineal por lineal | 17,589 | 1 | ,000 |
| N de casos válidos | 486 | | |

Tablas de contingencia

Resumen del procesamiento de los casos

| | Casos | | | | | |
|---------------------------|---------|------------|----------|------------|-------|------------|
| | Válidos | | Perdidos | | Total | |
| | N | Porcentaje | N | Porcentaje | N | Porcentaje |
| Sexo * PE_1CM * Carga | 901 | 98,0% | 18 | 2,0% | 919 | 100,0% |
| Sexo * PE_1CD * Carga | 901 | 98,0% | 18 | 2,0% | 919 | 100,0% |
| Sexo * PE_2CM * Carga | 743 | 80,8% | 176 | 19,2% | 919 | 100,0% |
| Sexo * PE_2CD * Carga | 743 | 80,8% | 176 | 19,2% | 919 | 100,0% |
| Sexo * PE_3CM * Carga | 486 | 52,9% | 433 | 47,1% | 919 | 100,0% |
| Sexo * PE_3CD * Carga | 486 | 52,9% | 433 | 47,1% | 919 | 100,0% |
| Arcada * PE_1CM * Carga | 899 | 97,8% | 20 | 2,2% | 919 | 100,0% |
| Arcada * PE_1CD * Carga | 899 | 97,8% | 20 | 2,2% | 919 | 100,0% |
| Arcada * PE_2CM * Carga | 741 | 80,6% | 178 | 19,4% | 919 | 100,0% |
| Arcada * PE_2CD * Carga | 741 | 80,6% | 178 | 19,4% | 919 | 100,0% |
| Arcada * PE_3CM * Carga | 486 | 52,9% | 433 | 47,1% | 919 | 100,0% |
| Arcada * PE_3CD * Carga | 486 | 52,9% | 433 | 47,1% | 919 | 100,0% |
| Tipo IOI * PE_1CM * Carga | 901 | 98,0% | 18 | 2,0% | 919 | 100,0% |
| Tipo IOI * PE_1CD * Carga | 901 | 98,0% | 18 | 2,0% | 919 | 100,0% |
| Tipo IOI * PE_2CM * Carga | 743 | 80,8% | 176 | 19,2% | 919 | 100,0% |
| Tipo IOI * PE_2CD * Carga | 743 | 80,8% | 176 | 19,2% | 919 | 100,0% |
| Tipo IOI * PE_3CM * Carga | 486 | 52,9% | 433 | 47,1% | 919 | 100,0% |
| Tipo IOI * PE_3CD * Carga | 486 | 52,9% | 433 | 47,1% | 919 | 100,0% |
| Serie * PE_1CM * Carga | 901 | 98,0% | 18 | 2,0% | 919 | 100,0% |
| Serie * PE_1CD * Carga | 901 | 98,0% | 18 | 2,0% | 919 | 100,0% |
| Serie * PE_2CM * Carga | 743 | 80,8% | 176 | 19,2% | 919 | 100,0% |

| | | | | | | |
|----------------------------------|-----|-------|-----|-------|-----|--------|
| Serie * PE_2CD * Carga | 743 | 80,8% | 176 | 19,2% | 919 | 100,0% |
| Serie * PE_3CM * Carga | 486 | 52,9% | 433 | 47,1% | 919 | 100,0% |
| Serie * PE_3CD * Carga | 486 | 52,9% | 433 | 47,1% | 919 | 100,0% |
| Longitud * PE_1CM * Carga | 901 | 98,0% | 18 | 2,0% | 919 | 100,0% |
| Longitud * PE_1CD * Carga | 901 | 98,0% | 18 | 2,0% | 919 | 100,0% |
| Longitud * PE_2CM * Carga | 743 | 80,8% | 176 | 19,2% | 919 | 100,0% |
| Longitud * PE_2CD * Carga | 743 | 80,8% | 176 | 19,2% | 919 | 100,0% |
| Longitud * PE_3CM * Carga | 486 | 52,9% | 433 | 47,1% | 919 | 100,0% |
| Longitud * PE_3CD * Carga | 486 | 52,9% | 433 | 47,1% | 919 | 100,0% |
| Crestal/Supra * PE_1CM * Carga | 901 | 98,0% | 18 | 2,0% | 919 | 100,0% |
| Crestal/Supra * PE_1CD * Carga | 901 | 98,0% | 18 | 2,0% | 919 | 100,0% |
| Crestal/Supra * PE_2CM * Carga | 743 | 80,8% | 176 | 19,2% | 919 | 100,0% |
| Crestal/Supra * PE_2CD * Carga | 743 | 80,8% | 176 | 19,2% | 919 | 100,0% |
| Crestal/Supra * PE_3CM * Carga | 486 | 52,9% | 433 | 47,1% | 919 | 100,0% |
| Crestal/Supra * PE_3CD * Carga | 486 | 52,9% | 433 | 47,1% | 919 | 100,0% |
| Protesis * PE_1CM * Carga | 868 | 94,5% | 51 | 5,5% | 919 | 100,0% |
| Protesis * PE_1CD * Carga | 868 | 94,5% | 51 | 5,5% | 919 | 100,0% |
| Protesis * PE_2CM * Carga | 716 | 77,9% | 203 | 22,1% | 919 | 100,0% |
| Protesis * PE_2CD * Carga | 716 | 77,9% | 203 | 22,1% | 919 | 100,0% |
| Protesis * PE_3CM * Carga | 460 | 50,1% | 459 | 49,9% | 919 | 100,0% |
| Protesis * PE_3CD * Carga | 460 | 50,1% | 459 | 49,9% | 919 | 100,0% |
| Ajuste prót. * PE_1CM * Carga | 398 | 43,3% | 521 | 56,7% | 919 | 100,0% |
| Ajuste prót. * PE_1CD * Carga | 398 | 43,3% | 521 | 56,7% | 919 | 100,0% |
| Ajuste prót. * PE_2CM * Carga | 358 | 39,0% | 561 | 61,0% | 919 | 100,0% |
| Ajuste prót. * PE_2CD * Carga | 358 | 39,0% | 561 | 61,0% | 919 | 100,0% |
| Ajuste prót. * PE_3CM * Carga | 229 | 24,9% | 690 | 75,1% | 919 | 100,0% |
| Ajuste prót. * PE_3CD * Carga | 229 | 24,9% | 690 | 75,1% | 919 | 100,0% |
| Unitario/Puente * PE_1CM * Carga | 589 | 64,1% | 330 | 35,9% | 919 | 100,0% |

IX.- Anexo estadístico

| | | | | | | |
|----------------------------------|-----|-------|-----|-------|-----|--------|
| Unitario/Puente * PE_1CD * Carga | 589 | 64,1% | 330 | 35,9% | 919 | 100,0% |
| Unitario/Puente * PE_2CM * Carga | 487 | 53,0% | 432 | 47,0% | 919 | 100,0% |
| Unitario/Puente * PE_2CD * Carga | 487 | 53,0% | 432 | 47,0% | 919 | 100,0% |
| Unitario/Puente * PE_3CM * Carga | 325 | 35,4% | 594 | 64,6% | 919 | 100,0% |
| Unitario/Puente * PE_3CD * Carga | 325 | 35,4% | 594 | 64,6% | 919 | 100,0% |
| Atorn/Cem * PE_1CM * Carga | 571 | 62,1% | 348 | 37,9% | 919 | 100,0% |
| Atorn/Cem * PE_1CD * Carga | 571 | 62,1% | 348 | 37,9% | 919 | 100,0% |
| Atorn/Cem * PE_2CM * Carga | 474 | 51,6% | 445 | 48,4% | 919 | 100,0% |
| Atorn/Cem * PE_2CD * Carga | 474 | 51,6% | 445 | 48,4% | 919 | 100,0% |
| Atorn/Cem * PE_3CM * Carga | 312 | 33,9% | 607 | 66,1% | 919 | 100,0% |
| Atorn/Cem * PE_3CD * Carga | 312 | 33,9% | 607 | 66,1% | 919 | 100,0% |
| C_Clínicos * PE_1CM * Carga | 141 | 15,3% | 778 | 84,7% | 919 | 100,0% |
| C_Clínicos * PE_1CD * Carga | 141 | 15,3% | 778 | 84,7% | 919 | 100,0% |
| C_Clínicos * PE_2CM * Carga | 127 | 13,8% | 792 | 86,2% | 919 | 100,0% |
| C_Clínicos * PE_2CD * Carga | 127 | 13,8% | 792 | 86,2% | 919 | 100,0% |
| C_Clínicos * PE_3CM * Carga | 89 | 9,7% | 830 | 90,3% | 919 | 100,0% |
| C_Clínicos * PE_3CD * Carga | 89 | 9,7% | 830 | 90,3% | 919 | 100,0% |
| Complicaciones * PE_1CM * Carga | 901 | 98,0% | 18 | 2,0% | 919 | 100,0% |
| Complicaciones * PE_1CD * Carga | 901 | 98,0% | 18 | 2,0% | 919 | 100,0% |
| Complicaciones * PE_2CM * Carga | 743 | 80,8% | 176 | 19,2% | 919 | 100,0% |
| Complicaciones * PE_2CD * Carga | 743 | 80,8% | 176 | 19,2% | 919 | 100,0% |
| Complicaciones * PE_3CM * Carga | 486 | 52,9% | 433 | 47,1% | 919 | 100,0% |
| Complicaciones * PE_3CD * Carga | 486 | 52,9% | 433 | 47,1% | 919 | 100,0% |
| OPG/Peri * PE_1CM * Carga | 838 | 91,2% | 81 | 8,8% | 919 | 100,0% |
| OPG/Peri * PE_1CD * Carga | 838 | 91,2% | 81 | 8,8% | 919 | 100,0% |
| OPG/Peri * PE_2CM * Carga | 713 | 77,6% | 206 | 22,4% | 919 | 100,0% |
| OPG/Peri * PE_2CD * Carga | 713 | 77,6% | 206 | 22,4% | 919 | 100,0% |
| OPG/Peri * PE_3CM * Carga | 468 | 50,9% | 451 | 49,1% | 919 | 100,0% |

| | | | | | | |
|---------------------------|-----|-------|-----|-------|-----|--------|
| OPG/Peri * PE_3CD * Carga | 468 | 50,9% | 451 | 49,1% | 919 | 100,0% |
|---------------------------|-----|-------|-----|-------|-----|--------|

Sexo * PE_1CM * Carga

Tabla de contingencia

| Carga | | | | PE_1CM | | | | Total |
|--------------|-------|----------|------------------|--------|-------|------|------|--------|
| | | | | 0 | 1 | 2 | 3 | |
| 1 INMEDIATA | Sexo | 1 HOMBRE | Recuento | 103 | 3 | 1 | 1 | 108 |
| | | | % dentro de Sexo | 95,4% | 2,8% | ,9% | ,9% | 100,0% |
| | | 2 MUJER | Recuento | 146 | 7 | 0 | 0 | 153 |
| | | | % dentro de Sexo | 95,4% | 4,6% | ,0% | ,0% | 100,0% |
| | Total | | Recuento | 249 | 10 | 1 | 1 | 261 |
| | | | % dentro de Sexo | 95,4% | 3,8% | ,4% | ,4% | 100,0% |
| 2 PRECOZ | Sexo | 1 HOMBRE | Recuento | 130 | 5 | 4 | 3 | 142 |
| | | | % dentro de Sexo | 91,5% | 3,5% | 2,8% | 2,1% | 100,0% |
| | | 2 MUJER | Recuento | 315 | 21 | 13 | 8 | 357 |
| | | | % dentro de Sexo | 88,2% | 5,9% | 3,6% | 2,2% | 100,0% |
| | Total | | Recuento | 445 | 26 | 17 | 11 | 499 |
| | | | % dentro de Sexo | 89,2% | 5,2% | 3,4% | 2,2% | 100,0% |
| 3 CIR_PREVIA | Sexo | 1 HOMBRE | Recuento | 22 | 0 | 1 | 0 | 23 |
| | | | % dentro de Sexo | 95,7% | ,0% | 4,3% | ,0% | 100,0% |
| | | 2 MUJER | Recuento | 96 | 15 | 3 | 4 | 118 |
| | | | % dentro de Sexo | 81,4% | 12,7% | 2,5% | 3,4% | 100,0% |
| | Total | | Recuento | 118 | 15 | 4 | 4 | 141 |
| | | | % dentro de Sexo | 83,7% | 10,6% | 2,8% | 2,8% | 100,0% |

Pruebas de chi-cuadrado

| Carga | | Valor | gl | Sig. asintótica (bilateral) |
|--------------|------------------------------|--------------------|----|-----------------------------|
| 1 INMEDIATA | Chi-cuadrado de Pearson | 3,367 ^a | 3 | ,338 |
| | Razón de verosimilitudes | 4,084 | 3 | ,253 |
| | Asociación lineal por lineal | ,596 | 1 | ,440 |
| | N de casos válidos | 261 | | |
| 2 PRECOZ | Chi-cuadrado de Pearson | 1,423 ^b | 3 | ,700 |
| | Razón de verosimilitudes | 1,518 | 3 | ,678 |
| | Asociación lineal por lineal | ,556 | 1 | ,456 |
| | N de casos válidos | 499 | | |
| 3 CIR_PREVIA | Chi-cuadrado de Pearson | 4,395 ^c | 3 | ,222 |
| | Razón de verosimilitudes | 7,416 | 3 | ,060 |
| | Asociación lineal por lineal | 1,716 | 1 | ,190 |
| | N de casos válidos | 141 | | |

Sexo * PE_1CD * Carga (Tabla de contingencia)

| Carga | | | | PE_1CD | | | | Total |
|--------------|---------|------------------|------------------|--------|-------|------|--------|--------|
| | | | | 0 | 1 | 2 | 3 | |
| 1 INMEDIATA | Sexo | 1 HOMBRE | Recuento | 106 | 0 | 1 | 1 | 108 |
| | | | % dentro de Sexo | 98,1% | ,0% | ,9% | ,9% | 100,0% |
| | 2 MUJER | Recuento | 141 | 9 | 3 | 0 | 153 | |
| | | % dentro de Sexo | 92,2% | 5,9% | 2,0% | ,0% | 100,0% | |
| | Total | Recuento | 247 | 9 | 4 | 1 | 261 | |
| | | % dentro de Sexo | 94,6% | 3,4% | 1,5% | ,4% | 100,0% | |
| 2 PRECOZ | Sexo | 1 HOMBRE | Recuento | 132 | 5 | 1 | 4 | 142 |
| | | | % dentro de Sexo | 93,0% | 3,5% | ,7% | 2,8% | 100,0% |
| | 2 MUJER | Recuento | 313 | 27 | 12 | 5 | 357 | |
| | | % dentro de Sexo | 87,7% | 7,6% | 3,4% | 1,4% | 100,0% | |
| | Total | Recuento | 445 | 32 | 13 | 9 | 499 | |
| | | % dentro de Sexo | 89,2% | 6,4% | 2,6% | 1,8% | 100,0% | |
| 3 CIR_PREVIA | Sexo | 1 HOMBRE | Recuento | 19 | 4 | 0 | 0 | 23 |
| | | | % dentro de Sexo | 82,6% | 17,4% | ,0% | ,0% | 100,0% |
| | 2 MUJER | Recuento | 96 | 15 | 2 | 5 | 118 | |
| | | % dentro de Sexo | 81,4% | 12,7% | 1,7% | 4,2% | 100,0% | |
| | Total | Recuento | 115 | 19 | 2 | 5 | 141 | |
| | | % dentro de Sexo | 81,6% | 13,5% | 1,4% | 3,5% | 100,0% | |

Pruebas de chi-cuadrado

| Carga | | Valor | gl | Sig. asintótica (bilateral) |
|--------------|------------------------------|--------------------|----|-----------------------------|
| 1 INMEDIATA | Chi-cuadrado de Pearson | 8,452 ^a | 3 | ,038 |
| | Razón de verosimilitudes | 12,088 | 3 | ,007 |
| | Asociación lineal por lineal | 1,357 | 1 | ,244 |
| | N de casos válidos | 261 | | |
| 2 PRECOZ | Chi-cuadrado de Pearson | 6,789 ^b | 3 | ,079 |
| | Razón de verosimilitudes | 7,766 | 3 | ,051 |
| | Asociación lineal por lineal | ,877 | 1 | ,349 |
| | N de casos válidos | 499 | | |
| 3 CIR_PREVIA | Chi-cuadrado de Pearson | 1,681 ^c | 3 | ,641 |
| | Razón de verosimilitudes | 2,788 | 3 | ,425 |
| | Asociación lineal por lineal | ,569 | 1 | ,451 |
| | N de casos válidos | 141 | | |

Sexo * PE_2CM * Carga

Tabla de contingencia

| Carga | | | | PE_2CM | | | | Total |
|--------------|---------|------------------|------------------|--------|------|------|--------|--------|
| | | | | 0 | 1 | 2 | 3 | |
| 1 INMEDIATA | Sexo | 1 HOMBRE | Recuento | 85 | 3 | 1 | 1 | 90 |
| | | | % dentro de Sexo | 94,4% | 3,3% | 1,1% | 1,1% | 100,0% |
| | 2 MUJER | Recuento | 104 | 13 | 3 | 0 | 120 | |
| | | % dentro de Sexo | 86,7% | 10,8% | 2,5% | ,0% | 100,0% | |
| | Total | Recuento | 189 | 16 | 4 | 1 | 210 | |
| | | % dentro de Sexo | 90,0% | 7,6% | 1,9% | ,5% | 100,0% | |
| 2 PRECOZ | Sexo | 1 HOMBRE | Recuento | 96 | 11 | 5 | 0 | 112 |
| | | | % dentro de Sexo | 85,7% | 9,8% | 4,5% | ,0% | 100,0% |
| | 2 MUJER | Recuento | 255 | 29 | 8 | 2 | 294 | |
| | | % dentro de Sexo | 86,7% | 9,9% | 2,7% | ,7% | 100,0% | |
| | Total | Recuento | 351 | 40 | 13 | 2 | 406 | |
| | | % dentro de Sexo | 86,5% | 9,9% | 3,2% | ,5% | 100,0% | |
| 3 CIR_PREVIA | Sexo | 1 HOMBRE | Recuento | 21 | 1 | 1 | 0 | 23 |
| | | | % dentro de Sexo | 91,3% | 4,3% | 4,3% | ,0% | 100,0% |
| | 2 MUJER | Recuento | 60 | 30 | 10 | 4 | 104 | |
| | | % dentro de Sexo | 57,7% | 28,8% | 9,6% | 3,8% | 100,0% | |
| | Total | Recuento | 81 | 31 | 11 | 4 | 127 | |
| | | % dentro de Sexo | 63,8% | 24,4% | 8,7% | 3,1% | 100,0% | |

Pruebas de chi-cuadrado

| Carga | | Valor | gl | Sig. asintótica (bilateral) |
|--------------|------------------------------|--------------------|----|-----------------------------|
| 1 INMEDIATA | Chi-cuadrado de Pearson | 5,997 ^a | 3 | ,112 |
| | Razón de verosimilitudes | 6,784 | 3 | ,079 |
| | Asociación lineal por lineal | 1,381 | 1 | ,240 |
| | N de casos válidos | 210 | | |
| 2 PRECOZ | Chi-cuadrado de Pearson | 1,542 ^b | 3 | ,673 |
| | Razón de verosimilitudes | 2,021 | 3 | ,568 |
| | Asociación lineal por lineal | ,067 | 1 | ,796 |
| | N de casos válidos | 406 | | |
| 3 CIR_PREVIA | Chi-cuadrado de Pearson | 9,455 ^c | 3 | ,024 |
| | Razón de verosimilitudes | 11,911 | 3 | ,008 |
| | Asociación lineal por lineal | 6,622 | 1 | ,010 |
| | N de casos válidos | 127 | | |

Sexo * PE_2CD * Carga

Tabla de contingencia

| Carga | | | | PE_2CD | | | | Total |
|--------------|-------|----------|------------------|--------|-------|------|------|--------|
| | | | | 0 | 1 | 2 | 3 | |
| 1 INMEDIATA | Sexo | 1 HOMBRE | Recuento | 87 | 0 | 2 | 1 | 90 |
| | | | % dentro de Sexo | 96,7% | ,0% | 2,2% | 1,1% | 100,0% |
| | | 2 MUJER | Recuento | 103 | 14 | 3 | 0 | 120 |
| | | | % dentro de Sexo | 85,8% | 11,7% | 2,5% | ,0% | 100,0% |
| | Total | | Recuento | 190 | 14 | 5 | 1 | 210 |
| | | | % dentro de Sexo | 90,5% | 6,7% | 2,4% | ,5% | 100,0% |
| 2 PRECOZ | Sexo | 1 HOMBRE | Recuento | 101 | 8 | 3 | 0 | 112 |
| | | | % dentro de Sexo | 90,2% | 7,1% | 2,7% | ,0% | 100,0% |
| | | 2 MUJER | Recuento | 248 | 30 | 13 | 3 | 294 |
| | | | % dentro de Sexo | 84,4% | 10,2% | 4,4% | 1,0% | 100,0% |
| | Total | | Recuento | 349 | 38 | 16 | 3 | 406 |
| | | | % dentro de Sexo | 86,0% | 9,4% | 3,9% | ,7% | 100,0% |
| 3 CIR_PREVIA | Sexo | 1 HOMBRE | Recuento | 18 | 4 | 1 | 0 | 23 |
| | | | % dentro de Sexo | 78,3% | 17,4% | 4,3% | ,0% | 100,0% |
| | | 2 MUJER | Recuento | 61 | 30 | 10 | 3 | 104 |
| | | | % dentro de Sexo | 58,7% | 28,8% | 9,6% | 2,9% | 100,0% |
| | Total | | Recuento | 79 | 34 | 11 | 3 | 127 |
| | | | % dentro de Sexo | 62,2% | 26,8% | 8,7% | 2,4% | 100,0% |

Pruebas de chi-cuadrado

| Carga | | Valor | gl | Sig. asintótica (bilateral) |
|--------------|------------------------------|---------------------|----|-----------------------------|
| 1 INMEDIATA | Chi-cuadrado de Pearson | 12,517 ^a | 3 | ,006 |
| | Razón de verosimilitudes | 18,044 | 3 | ,000 |
| | Asociación lineal por lineal | 2,148 | 1 | ,143 |
| | N de casos válidos | 210 | | |
| 2 PRECOZ | Chi-cuadrado de Pearson | 2,900 ^b | 3 | ,407 |
| | Razón de verosimilitudes | 3,789 | 3 | ,285 |
| | Asociación lineal por lineal | 2,669 | 1 | ,102 |
| | N de casos válidos | 406 | | |
| 3 CIR_PREVIA | Chi-cuadrado de Pearson | 3,354 ^c | 3 | ,340 |
| | Razón de verosimilitudes | 4,032 | 3 | ,258 |
| | Asociación lineal por lineal | 3,107 | 1 | ,078 |
| | N de casos válidos | 127 | | |

IX.- Anexo estadístico

Sexo * PE_3CM * Carga (Tabla de contingencia)

| Carga | | | | PE_3CM | | | | Total |
|--------------|-------|----------|------------------|--------|-------|-------|------|--------|
| | | | | 0 | 1 | 2 | 3 | |
| 1 INMEDIATA | Sexo | 1 HOMBRE | Recuento | 45 | 3 | 0 | | 48 |
| | | | % dentro de Sexo | 93,8% | 6,3% | ,0% | | 100,0% |
| | | 2 MUJER | Recuento | 54 | 9 | 4 | | 67 |
| | | | % dentro de Sexo | 80,6% | 13,4% | 6,0% | | 100,0% |
| | Total | | Recuento | 99 | 12 | 4 | | 115 |
| | | | % dentro de Sexo | 86,1% | 10,4% | 3,5% | | 100,0% |
| 2 PRECOZ | Sexo | 1 HOMBRE | Recuento | 67 | 5 | 6 | 3 | 81 |
| | | | % dentro de Sexo | 82,7% | 6,2% | 7,4% | 3,7% | 100,0% |
| | | 2 MUJER | Recuento | 173 | 21 | 4 | 3 | 201 |
| | | | % dentro de Sexo | 86,1% | 10,4% | 2,0% | 1,5% | 100,0% |
| | Total | | Recuento | 240 | 26 | 10 | 6 | 282 |
| | | | % dentro de Sexo | 85,1% | 9,2% | 3,5% | 2,1% | 100,0% |
| 3 CIR_PREVIA | Sexo | 1 HOMBRE | Recuento | 9 | 0 | 1 | 0 | 10 |
| | | | % dentro de Sexo | 90,0% | ,0% | 10,0% | ,0% | 100,0% |
| | | 2 MUJER | Recuento | 43 | 19 | 12 | 5 | 79 |
| | | | % dentro de Sexo | 54,4% | 24,1% | 15,2% | 6,3% | 100,0% |
| | Total | | Recuento | 52 | 19 | 13 | 5 | 89 |
| | | | % dentro de Sexo | 58,4% | 21,3% | 14,6% | 5,6% | 100,0% |

Pruebas de chi-cuadrado

| Carga | | Valor | gl | Sig. asintótica (bilateral) |
|--------------|------------------------------|--------------------|----|-----------------------------|
| 1 INMEDIATA | Chi-cuadrado de Pearson | 4,810 ^a | 2 | ,090 |
| | Razón de verosimilitudes | 6,350 | 2 | ,042 |
| | Asociación lineal por lineal | 4,754 | 1 | ,029 |
| | N de casos válidos | 115 | | |
| 2 PRECOZ | Chi-cuadrado de Pearson | 7,325 ^b | 3 | ,062 |
| | Razón de verosimilitudes | 6,733 | 3 | ,081 |
| | Asociación lineal por lineal | 2,677 | 1 | ,102 |
| | N de casos válidos | 282 | | |
| 3 CIR_PREVIA | Chi-cuadrado de Pearson | 5,124 ^c | 3 | ,163 |
| | Razón de verosimilitudes | 7,586 | 3 | ,055 |
| | Asociación lineal por lineal | 2,950 | 1 | ,086 |
| | N de casos válidos | 89 | | |

IX.- Anexo estadístico

Sexo * PE_3CD * Carga (Tabla de contingencia)

| Carga | | | | PE_3CD | | | | Total |
|--------------|-------|----------|------------------|--------|-------|-------|------|--------|
| | | | | 0 | 1 | 2 | 3 | |
| 1 INMEDIATA | Sexo | 1 HOMBRE | Recuento | 45 | 2 | 1 | | 48 |
| | | | % dentro de Sexo | 93,8% | 4,2% | 2,1% | | 100,0% |
| | | 2 MUJER | Recuento | 54 | 9 | 4 | | 67 |
| | | | % dentro de Sexo | 80,6% | 13,4% | 6,0% | | 100,0% |
| | Total | | Recuento | 99 | 11 | 5 | | 115 |
| | | | % dentro de Sexo | 86,1% | 9,6% | 4,3% | | 100,0% |
| 2 PRECOZ | Sexo | 1 HOMBRE | Recuento | 71 | 3 | 2 | 5 | 81 |
| | | | % dentro de Sexo | 87,7% | 3,7% | 2,5% | 6,2% | 100,0% |
| | | 2 MUJER | Recuento | 171 | 23 | 4 | 3 | 201 |
| | | | % dentro de Sexo | 85,1% | 11,4% | 2,0% | 1,5% | 100,0% |
| | Total | | Recuento | 242 | 26 | 6 | 8 | 282 |
| | | | % dentro de Sexo | 85,8% | 9,2% | 2,1% | 2,8% | 100,0% |
| 3 CIR_PREVIA | Sexo | 1 HOMBRE | Recuento | 9 | 0 | 1 | 0 | 10 |
| | | | % dentro de Sexo | 90,0% | ,0% | 10,0% | ,0% | 100,0% |
| | | 2 MUJER | Recuento | 45 | 20 | 11 | 3 | 79 |
| | | | % dentro de Sexo | 57,0% | 25,3% | 13,9% | 3,8% | 100,0% |
| | Total | | Recuento | 54 | 20 | 12 | 3 | 89 |
| | | | % dentro de Sexo | 60,7% | 22,5% | 13,5% | 3,4% | 100,0% |

Pruebas de chi-cuadrado

| Carga | | Valor | gl | Sig. asintótica (bilateral) |
|--------------|------------------------------|--------------------|----|-----------------------------|
| 1 INMEDIATA | Chi-cuadrado de Pearson | 4,044 ^a | 2 | ,132 |
| | Razón de verosimilitudes | 4,411 | 2 | ,110 |
| | Asociación lineal por lineal | 3,408 | 1 | ,065 |
| | N de casos válidos | 115 | | |
| 2 PRECOZ | Chi-cuadrado de Pearson | 8,316 ^b | 3 | ,040 |
| | Razón de verosimilitudes | 8,490 | 3 | ,037 |
| | Asociación lineal por lineal | ,789 | 1 | ,374 |
| | N de casos válidos | 282 | | |
| 3 CIR_PREVIA | Chi-cuadrado de Pearson | 4,610 ^c | 3 | ,203 |
| | Razón de verosimilitudes | 7,008 | 3 | ,072 |
| | Asociación lineal por lineal | 2,445 | 1 | ,118 |
| | N de casos válidos | 89 | | |

Arcada * PE_1CM * Carga

Tabla de contingencia

| Carga | | | | PE_1CM | | | | Total | |
|--------------|--------|-------------|--------------------|--------------------|-------|-------|------|--------|--------|
| | | | | 0 | 1 | 2 | 3 | | |
| 1 INMEDIATA | Arcada | 1 MAXILAR | Recuento | 94 | 4 | 0 | 0 | 98 | |
| | | | % dentro de Arcada | 95,9% | 4,1% | ,0% | ,0% | 100,0% | |
| | | 2 MANDIBULA | Recuento | 153 | 6 | 1 | 1 | 161 | |
| | | | % dentro de Arcada | 95,0% | 3,7% | ,6% | ,6% | 100,0% | |
| | Total | | | Recuento | 247 | 10 | 1 | 1 | 259 |
| | | | | % dentro de Arcada | 95,4% | 3,9% | ,4% | ,4% | 100,0% |
| 2 PRECOZ | Arcada | 1 MAXILAR | Recuento | 255 | 19 | 13 | 8 | 295 | |
| | | | % dentro de Arcada | 86,4% | 6,4% | 4,4% | 2,7% | 100,0% | |
| | | 2 MANDIBULA | Recuento | 190 | 7 | 4 | 3 | 204 | |
| | | | % dentro de Arcada | 93,1% | 3,4% | 2,0% | 1,5% | 100,0% | |
| | Total | | | Recuento | 445 | 26 | 17 | 11 | 499 |
| | | | | % dentro de Arcada | 89,2% | 5,2% | 3,4% | 2,2% | 100,0% |
| 3 CIR_PREVIA | Arcada | 1 MAXILAR | Recuento | 71 | 6 | 2 | 3 | 82 | |
| | | | % dentro de Arcada | 86,6% | 7,3% | 2,4% | 3,7% | 100,0% | |
| | | 2 MANDIBULA | Recuento | 47 | 9 | 2 | 1 | 59 | |
| | | | % dentro de Arcada | 79,7% | 15,3% | 3,4% | 1,7% | 100,0% | |
| | Total | | | Recuento | 118 | 15 | 4 | 4 | 141 |
| | | | | % dentro de Arcada | 83,7% | 10,6% | 2,8% | 2,8% | 100,0% |

Pruebas de chi-cuadrado

| Carga | | Valor | gl | Sig. asintótica (bilateral) |
|--------------|------------------------------|--------------------|----|-----------------------------|
| 1 INMEDIATA | Chi-cuadrado de Pearson | 1,242 ^a | 3 | ,743 |
| | Razón de verosimilitudes | 1,926 | 3 | ,588 |
| | Asociación lineal por lineal | ,537 | 1 | ,464 |
| | N de casos válidos | 259 | | |
| 2 PRECOZ | Chi-cuadrado de Pearson | 5,663 ^b | 3 | ,129 |
| | Razón de verosimilitudes | 5,969 | 3 | ,113 |
| | Asociación lineal por lineal | 4,620 | 1 | ,032 |
| | N de casos válidos | 499 | | |
| 3 CIR_PREVIA | Chi-cuadrado de Pearson | 2,804 ^c | 3 | ,423 |
| | Razón de verosimilitudes | 2,798 | 3 | ,424 |
| | Asociación lineal por lineal | ,128 | 1 | ,720 |
| | N de casos válidos | 141 | | |

Arcada * PE_1CD * Carga

Tabla de contingencia

| Carga | | | | PE_1CD | | | | Total | |
|--------------|--------|-------------|--------------------|--------------------|-------|-------|------|--------|--------|
| | | | | 0 | 1 | 2 | 3 | | |
| 1 INMEDIATA | Arcada | 1 MAXILAR | Recuento | 92 | 4 | 2 | 0 | 98 | |
| | | | % dentro de Arcada | 93,9% | 4,1% | 2,0% | ,0% | 100,0% | |
| | | 2 MANDIBULA | Recuento | 153 | 5 | 2 | 1 | 161 | |
| | | | % dentro de Arcada | 95,0% | 3,1% | 1,2% | ,6% | 100,0% | |
| | Total | | | Recuento | 245 | 9 | 4 | 1 | 259 |
| | | | | % dentro de Arcada | 94,6% | 3,5% | 1,5% | ,4% | 100,0% |
| 2 PRECOZ | Arcada | 1 MAXILAR | Recuento | 257 | 21 | 11 | 6 | 295 | |
| | | | % dentro de Arcada | 87,1% | 7,1% | 3,7% | 2,0% | 100,0% | |
| | | 2 MANDIBULA | Recuento | 188 | 11 | 2 | 3 | 204 | |
| | | | % dentro de Arcada | 92,2% | 5,4% | 1,0% | 1,5% | 100,0% | |
| | Total | | | Recuento | 445 | 32 | 13 | 9 | 499 |
| | | | | % dentro de Arcada | 89,2% | 6,4% | 2,6% | 1,8% | 100,0% |
| 3 CIR_PREVIA | Arcada | 1 MAXILAR | Recuento | 67 | 11 | 1 | 3 | 82 | |
| | | | % dentro de Arcada | 81,7% | 13,4% | 1,2% | 3,7% | 100,0% | |
| | | 2 MANDIBULA | Recuento | 48 | 8 | 1 | 2 | 59 | |
| | | | % dentro de Arcada | 81,4% | 13,6% | 1,7% | 3,4% | 100,0% | |
| | Total | | | Recuento | 115 | 19 | 2 | 5 | 141 |
| | | | | % dentro de Arcada | 81,6% | 13,5% | 1,4% | 3,5% | 100,0% |

IX.- Anexo estadístico

Pruebas de chi-cuadrado

| Carga | | Valor | gl | Sig. asintótica (bilateral) |
|--------------|------------------------------|--------------------|----|-----------------------------|
| 1 INMEDIATA | Chi-cuadrado de Pearson | 1,036 ^a | 3 | ,793 |
| | Razón de verosimilitudes | 1,367 | 3 | ,713 |
| | Asociación lineal por lineal | ,024 | 1 | ,876 |
| | N de casos válidos | 259 | | |
| 2 PRECOZ | Chi-cuadrado de Pearson | 4,613 ^b | 3 | ,202 |
| | Razón de verosimilitudes | 5,111 | 3 | ,164 |
| | Asociación lineal por lineal | 3,170 | 1 | ,075 |
| | N de casos válidos | 499 | | |
| 3 CIR_PREVIA | Chi-cuadrado de Pearson | ,063 ^c | 3 | ,996 |
| | Razón de verosimilitudes | ,062 | 3 | ,996 |
| | Asociación lineal por lineal | ,001 | 1 | ,980 |
| | N de casos válidos | 141 | | |

Arcada * PE_2CM * Carga

Tabla de contingencia

| Carga | | | | PE_2CM | | | | Total | |
|--------------|--------|-------------|--------------------|--------------------|-------|-------|------|--------|--------|
| | | | | 0 | 1 | 2 | 3 | | |
| 1 INMEDIATA | Arcada | 1 MAXILAR | Recuento | 83 | 6 | 3 | 0 | 92 | |
| | | | % dentro de Arcada | 90,2% | 6,5% | 3,3% | ,0% | 100,0% | |
| | | 2 MANDIBULA | Recuento | 104 | 10 | 1 | 1 | 116 | |
| | | | % dentro de Arcada | 89,7% | 8,6% | ,9% | ,9% | 100,0% | |
| | Total | | | Recuento | 187 | 16 | 4 | 1 | 208 |
| | | | | % dentro de Arcada | 89,9% | 7,7% | 1,9% | ,5% | 100,0% |
| 2 PRECOZ | Arcada | 1 MAXILAR | Recuento | 205 | 22 | 11 | 1 | 239 | |
| | | | % dentro de Arcada | 85,8% | 9,2% | 4,6% | ,4% | 100,0% | |
| | | 2 MANDIBULA | Recuento | 146 | 18 | 2 | 1 | 167 | |
| | | | % dentro de Arcada | 87,4% | 10,8% | 1,2% | ,6% | 100,0% | |
| | Total | | | Recuento | 351 | 40 | 13 | 2 | 406 |
| | | | | % dentro de Arcada | 86,5% | 9,9% | 3,2% | ,5% | 100,0% |
| 3 CIR_PREVIA | Arcada | 1 MAXILAR | Recuento | 47 | 15 | 7 | 4 | 73 | |
| | | | % dentro de Arcada | 64,4% | 20,5% | 9,6% | 5,5% | 100,0% | |
| | | 2 MANDIBULA | Recuento | 34 | 16 | 4 | 0 | 54 | |
| | | | % dentro de Arcada | 63,0% | 29,6% | 7,4% | ,0% | 100,0% | |
| | Total | | | Recuento | 81 | 31 | 11 | 4 | 127 |
| | | | | % dentro de Arcada | 63,8% | 24,4% | 8,7% | 3,1% | 100,0% |

Pruebas de chi-cuadrado

| Carga | | Valor | gl | Sig. asintótica (bilateral) |
|--------------|------------------------------|--------------------|----|--------------------------------|
| 1 INMEDIATA | Chi-cuadrado de Pearson | 2,624 ^a | 3 | ,453 |
| | Razón de verosimilitudes | 3,031 | 3 | ,387 |
| | Asociación lineal por lineal | ,000 | 1 | ,985 |
| | N de casos válidos | 208 | | |
| 2 PRECOZ | Chi-cuadrado de Pearson | 3,902 ^b | 3 | ,272 |
| | Razón de verosimilitudes | 4,388 | 3 | ,222 |
| | Asociación lineal por lineal | ,903 | 1 | ,342 |
| | N de casos válidos | 406 | | |
| 3 CIR_PREVIA | Chi-cuadrado de Pearson | 4,188 ^c | 3 | ,242 |
| | Razón de verosimilitudes | 5,648 | 3 | ,130 |
| | Asociación lineal por lineal | ,691 | 1 | ,406 |
| | N de casos válidos | 127 | | |

Arcada * PE_2CD * Carga

Tabla de contingencia

| Carga | | | | PE_2CD | | | | Total | |
|--------------|--------|-------------|--------------------|--------------------|-------|-------|------|--------|--------|
| | | | | 0 | 1 | 2 | 3 | | |
| 1 INMEDIATA | Arcada | 1 MAXILAR | Recuento | 82 | 6 | 4 | 0 | 92 | |
| | | | % dentro de Arcada | 89,1% | 6,5% | 4,3% | ,0% | 100,0% | |
| | | 2 MANDIBULA | Recuento | 106 | 8 | 1 | 1 | 116 | |
| | | | % dentro de Arcada | 91,4% | 6,9% | ,9% | ,9% | 100,0% | |
| | Total | | | Recuento | 188 | 14 | 5 | 1 | 208 |
| | | | | % dentro de Arcada | 90,4% | 6,7% | 2,4% | ,5% | 100,0% |
| 2 PRECOZ | Arcada | 1 MAXILAR | Recuento | 204 | 20 | 12 | 3 | 239 | |
| | | | % dentro de Arcada | 85,4% | 8,4% | 5,0% | 1,3% | 100,0% | |
| | | 2 MANDIBULA | Recuento | 145 | 18 | 4 | 0 | 167 | |
| | | | % dentro de Arcada | 86,8% | 10,8% | 2,4% | ,0% | 100,0% | |
| | Total | | | Recuento | 349 | 38 | 16 | 3 | 406 |
| | | | | % dentro de Arcada | 86,0% | 9,4% | 3,9% | ,7% | 100,0% |
| 3 CIR_PREVIA | Arcada | 1 MAXILAR | Recuento | 44 | 17 | 9 | 3 | 73 | |
| | | | % dentro de Arcada | 60,3% | 23,3% | 12,3% | 4,1% | 100,0% | |
| | | 2 MANDIBULA | Recuento | 35 | 17 | 2 | 0 | 54 | |
| | | | % dentro de Arcada | 64,8% | 31,5% | 3,7% | ,0% | 100,0% | |
| | Total | | | Recuento | 79 | 34 | 11 | 3 | 127 |
| | | | | % dentro de Arcada | 62,2% | 26,8% | 8,7% | 2,4% | 100,0% |

Pruebas de chi-cuadrado

| Carga | | Valor | gl | Sig. asintótica (bilateral) |
|--------------|------------------------------|--------------------|----|-----------------------------|
| 1 INMEDIATA | Chi-cuadrado de Pearson | 3,426 ^a | 3 | ,330 |
| | Razón de verosimilitudes | 3,897 | 3 | ,273 |
| | Asociación lineal por lineal | ,433 | 1 | ,511 |
| | N de casos válidos | 208 | | |
| 2 PRECOZ | Chi-cuadrado de Pearson | 4,451 ^b | 3 | ,217 |
| | Razón de verosimilitudes | 5,636 | 3 | ,131 |
| | Asociación lineal por lineal | 1,529 | 1 | ,216 |
| | N de casos válidos | 406 | | |
| 3 CIR_PREVIA | Chi-cuadrado de Pearson | 5,766 ^c | 3 | ,124 |
| | Razón de verosimilitudes | 7,151 | 3 | ,067 |
| | Asociación lineal por lineal | 2,493 | 1 | ,114 |
| | N de casos válidos | 127 | | |

Arcada * PE_3CM * Carga

Tabla de contingencia

| Carga | | | | PE_3CM | | | | Total | |
|--------------|----------|-------------|--------------------|--------------------|-------|-------|-------|--------|--------|
| | | | | 0 | 1 | 2 | 3 | | |
| 1 INMEDIATA | Arcada | 1 MAXILAR | Recuento | 40 | 4 | 3 | | 47 | |
| | | | % dentro de Arcada | 85,1% | 8,5% | 6,4% | | 100,0% | |
| | | 2 MANDIBULA | Recuento | 59 | 8 | 1 | | 68 | |
| | | | % dentro de Arcada | 86,8% | 11,8% | 1,5% | | 100,0% | |
| | Total | | Recuento | 99 | 12 | 4 | | 115 | |
| | | | % dentro de Arcada | 86,1% | 10,4% | 3,5% | | 100,0% | |
| | 2 PRECOZ | Arcada | 1 MAXILAR | Recuento | 146 | 18 | 8 | 6 | 178 |
| | | | | % dentro de Arcada | 82,0% | 10,1% | 4,5% | 3,4% | 100,0% |
| | | 2 MANDIBULA | Recuento | 94 | 8 | 2 | 0 | 104 | |
| | | | % dentro de Arcada | 90,4% | 7,7% | 1,9% | ,0% | 100,0% | |
| Total | | | Recuento | 240 | 26 | 10 | 6 | 282 | |
| | | | % dentro de Arcada | 85,1% | 9,2% | 3,5% | 2,1% | 100,0% | |
| 3 CIR_PREVIA | | Arcada | 1 MAXILAR | Recuento | 27 | 12 | 9 | 5 | 53 |
| | | | | % dentro de Arcada | 50,9% | 22,6% | 17,0% | 9,4% | 100,0% |
| | | 2 MANDIBULA | Recuento | 25 | 7 | 4 | 0 | 36 | |
| | | | % dentro de Arcada | 69,4% | 19,4% | 11,1% | ,0% | 100,0% | |
| | Total | | Recuento | 52 | 19 | 13 | 5 | 89 | |
| | | | % dentro de Arcada | 58,4% | 21,3% | 14,6% | 5,6% | 100,0% | |

Pruebas de chi-cuadrado

| Carga | | Valor | gl | Sig. asintótica (bilateral) |
|--------------|------------------------------|--------------------|----|-----------------------------|
| 1 INMEDIATA | Chi-cuadrado de Pearson | 2,219 ^a | 2 | ,330 |
| | Razón de verosimilitudes | 2,218 | 2 | ,330 |
| | Asociación lineal por lineal | ,558 | 1 | ,455 |
| | N de casos válidos | 115 | | |
| 2 PRECOZ | Chi-cuadrado de Pearson | 5,686 ^b | 3 | ,128 |
| | Razón de verosimilitudes | 7,829 | 3 | ,050 |
| | Asociación lineal por lineal | 5,464 | 1 | ,019 |
| | N de casos válidos | 282 | | |
| 3 CIR_PREVIA | Chi-cuadrado de Pearson | 5,261 ^c | 3 | ,154 |
| | Razón de verosimilitudes | 7,046 | 3 | ,070 |
| | Asociación lineal por lineal | 4,669 | 1 | ,031 |
| | N de casos válidos | 89 | | |

Arcada * PE_3CD * Carga

Tabla de contingencia

| Carga | | | | PE_3CD | | | | Total | |
|--------------|--------|-------------|--------------------|--------------------|-------|-------|-------|--------|--------|
| | | | | 0 | 1 | 2 | 3 | | |
| 1 INMEDIATA | Arcada | 1 MAXILAR | Recuento | 39 | 3 | 5 | | 47 | |
| | | | % dentro de Arcada | 83,0% | 6,4% | 10,6% | | 100,0% | |
| | | 2 MANDIBULA | Recuento | 60 | 8 | 0 | | 68 | |
| | | | % dentro de Arcada | 88,2% | 11,8% | ,0% | | 100,0% | |
| | Total | | | Recuento | 99 | 11 | 5 | | 115 |
| | | | | % dentro de Arcada | 86,1% | 9,6% | 4,3% | | 100,0% |
| 2 PRECOZ | Arcada | 1 MAXILAR | Recuento | 150 | 15 | 5 | 8 | 178 | |
| | | | % dentro de Arcada | 84,3% | 8,4% | 2,8% | 4,5% | 100,0% | |
| | | 2 MANDIBULA | Recuento | 92 | 11 | 1 | 0 | 104 | |
| | | | % dentro de Arcada | 88,5% | 10,6% | 1,0% | ,0% | 100,0% | |
| | Total | | | Recuento | 242 | 26 | 6 | 8 | 282 |
| | | | | % dentro de Arcada | 85,8% | 9,2% | 2,1% | 2,8% | 100,0% |
| 3 CIR_PREVIA | Arcada | 1 MAXILAR | Recuento | 28 | 12 | 10 | 3 | 53 | |
| | | | % dentro de Arcada | 52,8% | 22,6% | 18,9% | 5,7% | 100,0% | |
| | | 2 MANDIBULA | Recuento | 26 | 8 | 2 | 0 | 36 | |
| | | | % dentro de Arcada | 72,2% | 22,2% | 5,6% | ,0% | 100,0% | |
| | Total | | | Recuento | 54 | 20 | 12 | 3 | 89 |
| | | | | % dentro de Arcada | 60,7% | 22,5% | 13,5% | 3,4% | 100,0% |

Pruebas de chi-cuadrado

| Carga | | Valor | gl | Sig. asintótica (bilateral) |
|--------------|------------------------------|--------------------|----|-----------------------------|
| 1 INMEDIATA | Chi-cuadrado de Pearson | 8,165 ^a | 2 | ,017 |
| | Razón de verosimilitudes | 9,922 | 2 | ,007 |
| | Asociación lineal por lineal | 2,947 | 1 | ,086 |
| | N de casos válidos | 115 | | |
| 2 PRECOZ | Chi-cuadrado de Pearson | 6,191 ^b | 3 | ,103 |
| | Razón de verosimilitudes | 9,009 | 3 | ,029 |
| | Asociación lineal por lineal | 3,844 | 1 | ,050 |
| | N de casos válidos | 282 | | |
| 3 CIR_PREVIA | Chi-cuadrado de Pearson | 6,186 ^c | 3 | ,103 |
| | Razón de verosimilitudes | 7,593 | 3 | ,055 |
| | Asociación lineal por lineal | 5,764 | 1 | ,016 |
| | N de casos válidos | 89 | | |

Tipo IOI * PE_1CM * Carga

Tabla de contingencia

| Carga | | | | PE_1CM | | | | Total | |
|--------------|----------|----------|----------------------|----------------------|-------|-------|------|--------|--------|
| | | | | 0 | 1 | 2 | 3 | | |
| 1 INMEDIATA | Tipo IOI | 1 TSA | Recuento | 242 | 9 | 1 | 1 | 253 | |
| | | | % dentro de Tipo IOI | 95,7% | 3,6% | ,4% | ,4% | 100,0% | |
| | | 2 TSH | Recuento | 7 | 1 | 0 | 0 | 8 | |
| | | | % dentro de Tipo IOI | 87,5% | 12,5% | ,0% | ,0% | 100,0% | |
| | Total | | Recuento | 249 | 10 | 1 | 1 | 261 | |
| | | | % dentro de Tipo IOI | 95,4% | 3,8% | ,4% | ,4% | 100,0% | |
| | 2 PRECOZ | Tipo IOI | 1 TSA | Recuento | 433 | 26 | 16 | 11 | 486 |
| | | | | % dentro de Tipo IOI | 89,1% | 5,3% | 3,3% | 2,3% | 100,0% |
| | | 2 TSH | Recuento | 12 | 0 | 1 | 0 | 13 | |
| | | | % dentro de Tipo IOI | 92,3% | ,0% | 7,7% | ,0% | 100,0% | |
| Total | | | Recuento | 445 | 26 | 17 | 11 | 499 | |
| | | | % dentro de Tipo IOI | 89,2% | 5,2% | 3,4% | 2,2% | 100,0% | |
| 3 CIR_PREVIA | | Tipo IOI | 1 TSA | Recuento | 112 | 15 | 4 | 4 | 135 |
| | | | | % dentro de Tipo IOI | 83,0% | 11,1% | 3,0% | 3,0% | 100,0% |
| | | 2 TSH | Recuento | 6 | 0 | 0 | 0 | 6 | |
| | | | % dentro de Tipo IOI | 100,0% | ,0% | ,0% | ,0% | 100,0% | |
| | Total | | Recuento | 118 | 15 | 4 | 4 | 141 | |
| | | | % dentro de Tipo IOI | 83,7% | 10,6% | 2,8% | 2,8% | 100,0% | |

Pruebas de chi-cuadrado

| Carga | | Valor | gl | Sig. asintótica (bilateral) |
|--------------|------------------------------|--------------------|----|-----------------------------|
| 1 INMEDIATA | Chi-cuadrado de Pearson | 1,736 ^a | 3 | ,629 |
| | Razón de verosimilitudes | 1,209 | 3 | ,751 |
| | Asociación lineal por lineal | ,442 | 1 | ,506 |
| | N de casos válidos | 261 | | |
| 2 PRECOZ | Chi-cuadrado de Pearson | 1,724 ^b | 3 | ,632 |
| | Razón de verosimilitudes | 2,502 | 3 | ,475 |
| | Asociación lineal por lineal | ,040 | 1 | ,841 |
| | N de casos válidos | 499 | | |
| 3 CIR_PREVIA | Chi-cuadrado de Pearson | 1,221 ^c | 3 | ,748 |
| | Razón de verosimilitudes | 2,188 | 3 | ,534 |
| | Asociación lineal por lineal | ,927 | 1 | ,336 |
| | N de casos válidos | 141 | | |

Tipo IOI * PE_1CD * Carga

Tabla de contingencia

| Carga | | | | PE_1CD | | | | Total | |
|--------------|----------|----------------------|----------------------|----------------------|-------|-------|------|--------|--------|
| | | | | 0 | 1 | 2 | 3 | | |
| 1 INMEDIATA | Tipo IOI | 1 TSA | Recuento | 239 | 9 | 4 | 1 | 253 | |
| | | | % dentro de Tipo IOI | 94,5% | 3,6% | 1,6% | ,4% | 100,0% | |
| | | 2 TSH | Recuento | 8 | 0 | 0 | 0 | 8 | |
| | | | % dentro de Tipo IOI | 100,0% | ,0% | ,0% | ,0% | 100,0% | |
| | Total | Recuento | | 247 | 9 | 4 | 1 | 261 | |
| | | % dentro de Tipo IOI | | 94,6% | 3,4% | 1,5% | ,4% | 100,0% | |
| | 2 PRECOZ | Tipo IOI | 1 TSA | Recuento | 433 | 31 | 13 | 9 | 486 |
| | | | | % dentro de Tipo IOI | 89,1% | 6,4% | 2,7% | 1,9% | 100,0% |
| | | 2 TSH | Recuento | 12 | 1 | 0 | 0 | 13 | |
| | | | % dentro de Tipo IOI | 92,3% | 7,7% | ,0% | ,0% | 100,0% | |
| Total | | Recuento | | 445 | 32 | 13 | 9 | 499 | |
| | | % dentro de Tipo IOI | | 89,2% | 6,4% | 2,6% | 1,8% | 100,0% | |
| 3 CIR_PREVIA | | Tipo IOI | 1 TSA | Recuento | 109 | 19 | 2 | 5 | 135 |
| | | | | % dentro de Tipo IOI | 80,7% | 14,1% | 1,5% | 3,7% | 100,0% |
| | | 2 TSH | Recuento | 6 | 0 | 0 | 0 | 6 | |
| | | | % dentro de Tipo IOI | 100,0% | ,0% | ,0% | ,0% | 100,0% | |
| | Total | Recuento | | 115 | 19 | 2 | 5 | 141 | |
| | | % dentro de Tipo IOI | | 81,6% | 13,5% | 1,4% | 3,5% | 100,0% | |

Pruebas de chi-cuadrado

| Carga | | Valor | gl | Sig. asintótica (bilateral) |
|--------------|------------------------------|--------------------|----|-----------------------------|
| 1 INMEDIATA | Chi-cuadrado de Pearson | ,468 ^a | 3 | ,926 |
| | Razón de verosimilitudes | ,896 | 3 | ,826 |
| | Asociación lineal por lineal | ,388 | 1 | ,533 |
| | N de casos válidos | 261 | | |
| 2 PRECOZ | Chi-cuadrado de Pearson | ,637 ^b | 3 | ,888 |
| | Razón de verosimilitudes | 1,208 | 3 | ,751 |
| | Asociación lineal por lineal | ,385 | 1 | ,535 |
| | N de casos válidos | 499 | | |
| 3 CIR_PREVIA | Chi-cuadrado de Pearson | 1,417 ^c | 3 | ,702 |
| | Razón de verosimilitudes | 2,506 | 3 | ,474 |
| | Asociación lineal por lineal | 1,032 | 1 | ,310 |
| | N de casos válidos | 141 | | |

Tipo IOI * PE_2CM * Carga

Tabla de contingencia

| Carga | | | | PE_2CM | | | | Total |
|--------------|----------|-------|----------------------|--------|-------|-------|------|--------|
| | | | | 0 | 1 | 2 | 3 | |
| 1 INMEDIATA | Tipo IOI | 1 TSA | Recuento | 183 | 16 | 4 | 1 | 204 |
| | | | % dentro de Tipo IOI | 89,7% | 7,8% | 2,0% | ,5% | 100,0% |
| | 2 TSH | | Recuento | 6 | 0 | 0 | 0 | 6 |
| | | | % dentro de Tipo IOI | 100,0% | ,0% | ,0% | ,0% | 100,0% |
| | Total | | Recuento | 189 | 16 | 4 | 1 | 210 |
| | | | % dentro de Tipo IOI | 90,0% | 7,6% | 1,9% | ,5% | 100,0% |
| 2 PRECOZ | Tipo IOI | 1 TSA | Recuento | 344 | 40 | 12 | 2 | 398 |
| | | | % dentro de Tipo IOI | 86,4% | 10,1% | 3,0% | ,5% | 100,0% |
| | 2 TSH | | Recuento | 7 | 0 | 1 | 0 | 8 |
| | | | % dentro de Tipo IOI | 87,5% | ,0% | 12,5% | ,0% | 100,0% |
| | Total | | Recuento | 351 | 40 | 13 | 2 | 406 |
| | | | % dentro de Tipo IOI | 86,5% | 9,9% | 3,2% | ,5% | 100,0% |
| 3 CIR_PREVIA | Tipo IOI | 1 TSA | Recuento | 77 | 31 | 11 | 4 | 123 |
| | | | % dentro de Tipo IOI | 62,6% | 25,2% | 8,9% | 3,3% | 100,0% |
| | 2 TSH | | Recuento | 4 | 0 | 0 | 0 | 4 |
| | | | % dentro de Tipo IOI | 100,0% | ,0% | ,0% | ,0% | 100,0% |
| | Total | | Recuento | 81 | 31 | 11 | 4 | 127 |
| | | | % dentro de Tipo IOI | 63,8% | 24,4% | 8,7% | 3,1% | 100,0% |

Pruebas de chi-cuadrado

| Carga | | Valor | gl | Sig. asintótica (bilateral) |
|--------------|------------------------------|--------------------|----|-----------------------------|
| 1 INMEDIATA | Chi-cuadrado de Pearson | ,686 ^a | 3 | ,876 |
| | Razón de verosimilitudes | 1,284 | 3 | ,733 |
| | Asociación lineal por lineal | ,569 | 1 | ,451 |
| | N de casos válidos | 210 | | |
| 2 PRECOZ | Chi-cuadrado de Pearson | 3,049 ^b | 3 | ,384 |
| | Razón de verosimilitudes | 2,953 | 3 | ,399 |
| | Asociación lineal por lineal | ,179 | 1 | ,672 |
| | N de casos válidos | 406 | | |
| 3 CIR_PREVIA | Chi-cuadrado de Pearson | 2,345 ^c | 3 | ,504 |
| | Razón de verosimilitudes | 3,671 | 3 | ,299 |
| | Asociación lineal por lineal | 1,754 | 1 | ,185 |
| | N de casos válidos | 127 | | |

Tipo IOI * PE_2CD * Carga

Tabla de contingencia

| Carga | | | | PE_2CD | | | | Total | |
|--------------|----------|----------------------|----------------------|----------------------|-------|-------|------|--------|--------|
| | | | | 0 | 1 | 2 | 3 | | |
| 1 INMEDIATA | Tipo IOI | 1 TSA | Recuento | 184 | 14 | 5 | 1 | 204 | |
| | | | % dentro de Tipo IOI | 90,2% | 6,9% | 2,5% | ,5% | 100,0% | |
| | | 2 TSH | Recuento | 6 | 0 | 0 | 0 | 6 | |
| | | | % dentro de Tipo IOI | 100,0% | ,0% | ,0% | ,0% | 100,0% | |
| | Total | Recuento | | 190 | 14 | 5 | 1 | 210 | |
| | | % dentro de Tipo IOI | | 90,5% | 6,7% | 2,4% | ,5% | 100,0% | |
| | 2 PRECOZ | Tipo IOI | 1 TSA | Recuento | 342 | 37 | 16 | 3 | 398 |
| | | | | % dentro de Tipo IOI | 85,9% | 9,3% | 4,0% | ,8% | 100,0% |
| | | 2 TSH | Recuento | 7 | 1 | 0 | 0 | 8 | |
| | | | % dentro de Tipo IOI | 87,5% | 12,5% | ,0% | ,0% | 100,0% | |
| Total | | Recuento | | 349 | 38 | 16 | 3 | 406 | |
| | | % dentro de Tipo IOI | | 86,0% | 9,4% | 3,9% | ,7% | 100,0% | |
| 3 CIR_PREVIA | | Tipo IOI | 1 TSA | Recuento | 75 | 34 | 11 | 3 | 123 |
| | | | | % dentro de Tipo IOI | 61,0% | 27,6% | 8,9% | 2,4% | 100,0% |
| | | 2 TSH | Recuento | 4 | 0 | 0 | 0 | 4 | |
| | | | % dentro de Tipo IOI | 100,0% | ,0% | ,0% | ,0% | 100,0% | |
| | Total | Recuento | | 79 | 34 | 11 | 3 | 127 | |
| | | % dentro de Tipo IOI | | 62,2% | 26,8% | 8,7% | 2,4% | 100,0% | |

Pruebas de chi-cuadrado

| Carga | | Valor | gl | Sig. asintótica (bilateral) |
|--------------|------------------------------|--------------------|----|-----------------------------|
| 1 INMEDIATA | Chi-cuadrado de Pearson | ,650 ^a | 3 | ,885 |
| | Razón de verosimilitudes | 1,219 | 3 | ,748 |
| | Asociación lineal por lineal | ,540 | 1 | ,462 |
| | N de casos válidos | 210 | | |
| 2 PRECOZ | Chi-cuadrado de Pearson | ,470 ^b | 3 | ,925 |
| | Razón de verosimilitudes | ,836 | 3 | ,841 |
| | Asociación lineal por lineal | ,141 | 1 | ,707 |
| | N de casos válidos | 406 | | |
| 3 CIR_PREVIA | Chi-cuadrado de Pearson | 2,509 ^c | 3 | ,474 |
| | Razón de verosimilitudes | 3,877 | 3 | ,275 |
| | Asociación lineal por lineal | 1,900 | 1 | ,168 |
| | N de casos válidos | 127 | | |

Tipo IOI * PE_3CM * Carga

Tabla de contingencia

| Carga | | | | PE_3CM | | | | Total | |
|--------------|----------|----------|----------------------|----------------------|-------|-------|------|--------|--------|
| | | | | 0 | 1 | 2 | 3 | | |
| 1 INMEDIATA | Tipo IOI | 1 TSA | Recuento | 99 | 12 | 4 | | 115 | |
| | | | % dentro de Tipo IOI | 86,1% | 10,4% | 3,5% | | 100,0% | |
| | Total | | Recuento | 99 | 12 | 4 | | 115 | |
| | | | % dentro de Tipo IOI | 86,1% | 10,4% | 3,5% | | 100,0% | |
| | 2 PRECOZ | Tipo IOI | 1 TSA | Recuento | 234 | 26 | 9 | 6 | 275 |
| | | | | % dentro de Tipo IOI | 85,1% | 9,5% | 3,3% | 2,2% | 100,0% |
| 2 TSH | | | Recuento | 6 | 0 | 1 | 0 | 7 | |
| | | | % dentro de Tipo IOI | 85,7% | ,0% | 14,3% | ,0% | 100,0% | |
| Total | | | Recuento | 240 | 26 | 10 | 6 | 282 | |
| | | | % dentro de Tipo IOI | 85,1% | 9,2% | 3,5% | 2,1% | 100,0% | |
| 3 CIR_PREVIA | Tipo IOI | 1 TSA | Recuento | 48 | 19 | 13 | 5 | 85 | |
| | | | % dentro de Tipo IOI | 56,5% | 22,4% | 15,3% | 5,9% | 100,0% | |
| | 2 TSH | | Recuento | 4 | 0 | 0 | 0 | 4 | |
| | | | % dentro de Tipo IOI | 100,0% | ,0% | ,0% | ,0% | 100,0% | |
| | Total | | Recuento | 52 | 19 | 13 | 5 | 89 | |
| | | | % dentro de Tipo IOI | 58,4% | 21,3% | 14,6% | 5,6% | 100,0% | |

Pruebas de chi-cuadrado

| Carga | | Valor | gl | Sig. asintótica (bilateral) |
|--------------|------------------------------|--------------------|----|-----------------------------|
| 1 INMEDIATA | Chi-cuadrado de Pearson | . ^a | | |
| | N de casos válidos | 115 | | |
| 2 PRECOZ | Chi-cuadrado de Pearson | 3,150 ^b | 3 | ,369 |
| | Razón de verosimilitudes | 2,952 | 3 | ,399 |
| | Asociación lineal por lineal | ,066 | 1 | ,797 |
| | N de casos válidos | 282 | | |
| 3 CIR_PREVIA | Chi-cuadrado de Pearson | 2,980 ^c | 3 | ,395 |
| | Razón de verosimilitudes | 4,433 | 3 | ,218 |
| | Asociación lineal por lineal | 2,217 | 1 | ,136 |
| | N de casos válidos | 89 | | |

Tipo IOI * PE_3CD * Carga

Tabla de contingencia

| Carga | | | | PE_3CD | | | | Total | |
|--------------|----------|----------|----------------------|----------------------|-------|-------|------|--------|--------|
| | | | | 0 | 1 | 2 | 3 | | |
| 1 INMEDIATA | Tipo IOI | 1 TSA | Recuento | 99 | 11 | 5 | | 115 | |
| | | | % dentro de Tipo IOI | 86,1% | 9,6% | 4,3% | | 100,0% | |
| | Total | | Recuento | 99 | 11 | 5 | | 115 | |
| | | | % dentro de Tipo IOI | 86,1% | 9,6% | 4,3% | | 100,0% | |
| | 2 PRECOZ | Tipo IOI | 1 TSA | Recuento | 236 | 25 | 6 | 8 | 275 |
| | | | | % dentro de Tipo IOI | 85,8% | 9,1% | 2,2% | 2,9% | 100,0% |
| 2 TSH | | | Recuento | 6 | 1 | 0 | 0 | 7 | |
| | | | % dentro de Tipo IOI | 85,7% | 14,3% | ,0% | ,0% | 100,0% | |
| Total | | | Recuento | 242 | 26 | 6 | 8 | 282 | |
| | | | % dentro de Tipo IOI | 85,8% | 9,2% | 2,1% | 2,8% | 100,0% | |
| 3 CIR_PREVIA | Tipo IOI | 1 TSA | Recuento | 50 | 20 | 12 | 3 | 85 | |
| | | | % dentro de Tipo IOI | 58,8% | 23,5% | 14,1% | 3,5% | 100,0% | |
| | 2 TSH | | Recuento | 4 | 0 | 0 | 0 | 4 | |
| | | | % dentro de Tipo IOI | 100,0% | ,0% | ,0% | ,0% | 100,0% | |
| | Total | | Recuento | 54 | 20 | 12 | 3 | 89 | |
| | | | % dentro de Tipo IOI | 60,7% | 22,5% | 13,5% | 3,4% | 100,0% | |

Pruebas de chi-cuadrado

| Carga | | Valor | gl | Sig. asintótica (bilateral) |
|--------------|------------------------------|--------------------|----|-----------------------------|
| 1 INMEDIATA | Chi-cuadrado de Pearson | . ^a | | |
| | N de casos válidos | 115 | | |
| 2 PRECOZ | Chi-cuadrado de Pearson | ,556 ^b | 3 | ,906 |
| | Razón de verosimilitudes | ,875 | 3 | ,831 |
| | Asociación lineal por lineal | ,110 | 1 | ,740 |
| | N de casos válidos | 282 | | |
| 3 CIR_PREVIA | Chi-cuadrado de Pearson | 2,715 ^c | 3 | ,438 |
| | Razón de verosimilitudes | 4,119 | 3 | ,249 |
| | Asociación lineal por lineal | 2,060 | 1 | ,151 |
| | N de casos válidos | 89 | | |

IX.- Anexo estadístico

Serie * PE_1CM * Carga Tabla de contingencia

| Carga | | | | PE_1CM | | | | Total | |
|--------------|----------|-------------------|-------------------|-------------------|-------|------|--------|--------|--------|
| | | | | 0 | 1 | 2 | 3 | | |
| 1 INMEDIATA | Serie | 3 | Recuento | 182 | 5 | 0 | 0 | 187 | |
| | | | % dentro de Serie | 97,3% | 2,7% | ,0% | ,0% | 100,0% | |
| | 4 | Recuento | 56 | 4 | 1 | 1 | 62 | | |
| | | % dentro de Serie | 90,3% | 6,5% | 1,6% | 1,6% | 100,0% | | |
| | 5 | Recuento | 11 | 1 | 0 | 0 | 12 | | |
| | | % dentro de Serie | 91,7% | 8,3% | ,0% | ,0% | 100,0% | | |
| | Total | Recuento | 249 | 10 | 1 | 1 | 261 | | |
| | | % dentro de Serie | 95,4% | 3,8% | ,4% | ,4% | 100,0% | | |
| | 2 PRECOZ | Serie | 3 | Recuento | 258 | 13 | 6 | 4 | 281 |
| | | | | % dentro de Serie | 91,8% | 4,6% | 2,1% | 1,4% | 100,0% |
| | | 4 | Recuento | 162 | 11 | 8 | 6 | 187 | |
| | | | % dentro de Serie | 86,6% | 5,9% | 4,3% | 3,2% | 100,0% | |
| 5 | | Recuento | 25 | 2 | 3 | 1 | 31 | | |
| | | % dentro de Serie | 80,6% | 6,5% | 9,7% | 3,2% | 100,0% | | |
| Total | | Recuento | 445 | 26 | 17 | 11 | 499 | | |
| | | % dentro de Serie | 89,2% | 5,2% | 3,4% | 2,2% | 100,0% | | |
| 3 CIR_PREVIA | | Serie | 3 | Recuento | 79 | 9 | 2 | 4 | 94 |
| | | | | % dentro de Serie | 84,0% | 9,6% | 2,1% | 4,3% | 100,0% |
| | | 4 | Recuento | 37 | 6 | 2 | 0 | 45 | |
| | | | % dentro de Serie | 82,2% | 13,3% | 4,4% | ,0% | 100,0% | |
| | 5 | Recuento | 2 | 0 | 0 | 0 | 2 | | |
| | | % dentro de Serie | 100,0% | ,0% | ,0% | ,0% | 100,0% | | |
| | Total | Recuento | 118 | 15 | 4 | 4 | 141 | | |
| | | % dentro de Serie | 83,7% | 10,6% | 2,8% | 2,8% | 100,0% | | |

Pruebas de chi-cuadrado

| Carga | | Valor | gl | Sig. asintótica (bilateral) |
|--------------|------------------------------|--------------------|----|-----------------------------|
| 1 INMEDIATA | Chi-cuadrado de Pearson | 9,077 ^a | 6 | ,169 |
| | Razón de verosimilitudes | 8,136 | 6 | ,228 |
| | Asociación lineal por lineal | 5,277 | 1 | ,022 |
| | N de casos válidos | 261 | | |
| 2 PRECOZ | Chi-cuadrado de Pearson | 8,154 ^b | 6 | ,227 |
| | Razón de verosimilitudes | 7,116 | 6 | ,310 |
| | Asociación lineal por lineal | 6,438 | 1 | ,011 |
| | N de casos válidos | 499 | | |
| 3 CIR_PREVIA | Chi-cuadrado de Pearson | 3,330 ^c | 6 | ,766 |
| | Razón de verosimilitudes | 4,775 | 6 | ,573 |
| | Asociación lineal por lineal | ,312 | 1 | ,576 |
| | N de casos válidos | 141 | | |

IX.- Anexo estadístico

Serie * PE_1CD * Carga. Tabla de contingencia

| Carga | | | | PE_1CD | | | | Total | |
|--------------|----------|-------------------|-------------------|-------------------|-------|------|--------|--------|--------|
| | | | | 0 | 1 | 2 | 3 | | |
| 1 INMEDIATA | Serie | 3 | Recuento | 181 | 4 | 2 | 0 | 187 | |
| | | | % dentro de Serie | 96,8% | 2,1% | 1,1% | ,0% | 100,0% | |
| | 4 | Recuento | 56 | 3 | 2 | 1 | 62 | | |
| | | % dentro de Serie | 90,3% | 4,8% | 3,2% | 1,6% | 100,0% | | |
| | 5 | Recuento | 10 | 2 | 0 | 0 | 12 | | |
| | | % dentro de Serie | 83,3% | 16,7% | ,0% | ,0% | 100,0% | | |
| | Total | Recuento | 247 | 9 | 4 | 1 | 261 | | |
| | | % dentro de Serie | 94,6% | 3,4% | 1,5% | ,4% | 100,0% | | |
| | 2 PRECOZ | Serie | 3 | Recuento | 258 | 18 | 2 | 3 | 281 |
| | | | | % dentro de Serie | 91,8% | 6,4% | ,7% | 1,1% | 100,0% |
| | | 4 | Recuento | 160 | 11 | 10 | 6 | 187 | |
| | | | % dentro de Serie | 85,6% | 5,9% | 5,3% | 3,2% | 100,0% | |
| 5 | | Recuento | 27 | 3 | 1 | 0 | 31 | | |
| | | % dentro de Serie | 87,1% | 9,7% | 3,2% | ,0% | 100,0% | | |
| Total | | Recuento | 445 | 32 | 13 | 9 | 499 | | |
| | | % dentro de Serie | 89,2% | 6,4% | 2,6% | 1,8% | 100,0% | | |
| 3 CIR_PREVIA | | Serie | 3 | Recuento | 80 | 7 | 2 | 5 | 94 |
| | | | | % dentro de Serie | 85,1% | 7,4% | 2,1% | 5,3% | 100,0% |
| | | 4 | Recuento | 33 | 12 | 0 | 0 | 45 | |
| | | | % dentro de Serie | 73,3% | 26,7% | ,0% | ,0% | 100,0% | |
| | 5 | Recuento | 2 | 0 | 0 | 0 | 2 | | |
| | | % dentro de Serie | 100,0% | ,0% | ,0% | ,0% | 100,0% | | |
| | Total | Recuento | 115 | 19 | 2 | 5 | 141 | | |

IX.- Anexo estadístico

Serie * PE_1CD * Carga. Tabla de contingencia

| Carga | | | | PE_1CD | | | | Total | |
|--------------|----------|-------------------|-------------------|-------------------|-------|------|--------|--------|--------|
| | | | | 0 | 1 | 2 | 3 | | |
| 1 INMEDIATA | Serie | 3 | Recuento | 181 | 4 | 2 | 0 | 187 | |
| | | | % dentro de Serie | 96,8% | 2,1% | 1,1% | ,0% | 100,0% | |
| | 4 | Recuento | 56 | 3 | 2 | 1 | 62 | | |
| | | % dentro de Serie | 90,3% | 4,8% | 3,2% | 1,6% | 100,0% | | |
| | 5 | Recuento | 10 | 2 | 0 | 0 | 12 | | |
| | | % dentro de Serie | 83,3% | 16,7% | ,0% | ,0% | 100,0% | | |
| | Total | Recuento | 247 | 9 | 4 | 1 | 261 | | |
| | | % dentro de Serie | 94,6% | 3,4% | 1,5% | ,4% | 100,0% | | |
| | 2 PRECOZ | Serie | 3 | Recuento | 258 | 18 | 2 | 3 | 281 |
| | | | | % dentro de Serie | 91,8% | 6,4% | ,7% | 1,1% | 100,0% |
| | | 4 | Recuento | 160 | 11 | 10 | 6 | 187 | |
| | | | % dentro de Serie | 85,6% | 5,9% | 5,3% | 3,2% | 100,0% | |
| 5 | | Recuento | 27 | 3 | 1 | 0 | 31 | | |
| | | % dentro de Serie | 87,1% | 9,7% | 3,2% | ,0% | 100,0% | | |
| Total | | Recuento | 445 | 32 | 13 | 9 | 499 | | |
| | | % dentro de Serie | 89,2% | 6,4% | 2,6% | 1,8% | 100,0% | | |
| 3 CIR_PREVIA | | Serie | 3 | Recuento | 80 | 7 | 2 | 5 | 94 |
| | | | | % dentro de Serie | 85,1% | 7,4% | 2,1% | 5,3% | 100,0% |
| | | 4 | Recuento | 33 | 12 | 0 | 0 | 45 | |
| | | | % dentro de Serie | 73,3% | 26,7% | ,0% | ,0% | 100,0% | |
| | 5 | Recuento | 2 | 0 | 0 | 0 | 2 | | |
| | | % dentro de Serie | 100,0% | ,0% | ,0% | ,0% | 100,0% | | |
| | Total | Recuento | 115 | 19 | 2 | 5 | 141 | | |
| | | % dentro de Serie | 81,6% | 13,5% | 1,4% | 3,5% | 100,0% | | |

Pruebas de chi-cuadrado

| Carga | | Valor | gl | Sig. asintótica (bilateral) |
|--------------|------------------------------|---------------------|----|-----------------------------|
| 1 INMEDIATA | Chi-cuadrado de Pearson | 12,548 ^a | 6 | ,051 |
| | Razón de verosimilitudes | 9,311 | 6 | ,157 |
| | Asociación lineal por lineal | 5,384 | 1 | ,020 |
| | N de casos válidos | 261 | | |
| 2 PRECOZ | Chi-cuadrado de Pearson | 13,866 ^b | 6 | ,031 |
| | Razón de verosimilitudes | 14,426 | 6 | ,025 |
| | Asociación lineal por lineal | 4,873 | 1 | ,027 |
| | N de casos válidos | 499 | | |
| 3 CIR_PREVIA | Chi-cuadrado de Pearson | 12,718 ^c | 6 | ,048 |
| | Razón de verosimilitudes | 14,362 | 6 | ,026 |
| | Asociación lineal por lineal | ,092 | 1 | ,762 |
| | N de casos válidos | 141 | | |

IX.- Anexo estadístico

Serie * PE_2CM * Carga Tabla de contingencia

| Carga | | | | | PE_2CM | | | | Total | |
|--------------|----------|-------|-------------------|-------------------|--------|-------|-------|------|--------|--------|
| | | | | | 0 | 1 | 2 | 3 | | |
| 1 INMEDIATA | Serie | 3 | Recuento | | 134 | 9 | 2 | 0 | 145 | |
| | | | % dentro de Serie | | 92,4% | 6,2% | 1,4% | ,0% | 100,0% | |
| | | 4 | Recuento | | 48 | 5 | 2 | 1 | 56 | |
| | | | % dentro de Serie | | 85,7% | 8,9% | 3,6% | 1,8% | 100,0% | |
| | | 5 | Recuento | | 7 | 2 | 0 | 0 | 9 | |
| | | | % dentro de Serie | | 77,8% | 22,2% | ,0% | ,0% | 100,0% | |
| | Total | | Recuento | | 189 | 16 | 4 | 1 | 210 | |
| | | | % dentro de Serie | | 90,0% | 7,6% | 1,9% | ,5% | 100,0% | |
| | 2 PRECOZ | Serie | 3 | Recuento | | 207 | 19 | 7 | 0 | 233 |
| | | | | % dentro de Serie | | 88,8% | 8,2% | 3,0% | ,0% | 100,0% |
| | | 4 | Recuento | | 127 | 17 | 6 | 2 | 152 | |
| | | | % dentro de Serie | | 83,6% | 11,2% | 3,9% | 1,3% | 100,0% | |
| | | 5 | Recuento | | 17 | 4 | 0 | 0 | 21 | |
| | | | % dentro de Serie | | 81,0% | 19,0% | ,0% | ,0% | 100,0% | |
| Total | | | Recuento | | 351 | 40 | 13 | 2 | 406 | |
| | | | % dentro de Serie | | 86,5% | 9,9% | 3,2% | ,5% | 100,0% | |
| 3 CIR_PREVIA | | Serie | 3 | Recuento | | 53 | 19 | 7 | 3 | 82 |
| | | | | % dentro de Serie | | 64,6% | 23,2% | 8,5% | 3,7% | 100,0% |
| | | 4 | Recuento | | 26 | 12 | 4 | 1 | 43 | |
| | | | % dentro de Serie | | 60,5% | 27,9% | 9,3% | 2,3% | 100,0% | |
| | | 5 | Recuento | | 2 | 0 | 0 | 0 | 2 | |
| | | | % dentro de Serie | | 100,0% | ,0% | ,0% | ,0% | 100,0% | |
| | Total | | Recuento | | 81 | 31 | 11 | 4 | 127 | |
| | | | % dentro de Serie | | | | | | | |

IX.- Anexo estadístico

Serie * PE_2CM * Carga Tabla de contingencia

| Carga | | | | | PE_2CM | | | | Total | |
|--------------|----------|-------------------|-------------------|-------------------|--------|-------|-------|--------|--------|--------|
| | | | | | 0 | 1 | 2 | 3 | | |
| 1 INMEDIATA | Serie | 3 | Recuento | | 134 | 9 | 2 | 0 | 145 | |
| | | | % dentro de Serie | | 92,4% | 6,2% | 1,4% | ,0% | 100,0% | |
| | 4 | Recuento | | 48 | 5 | 2 | 1 | 56 | | |
| | | % dentro de Serie | | 85,7% | 8,9% | 3,6% | 1,8% | 100,0% | | |
| | 5 | Recuento | | 7 | 2 | 0 | 0 | 9 | | |
| | | % dentro de Serie | | 77,8% | 22,2% | ,0% | ,0% | 100,0% | | |
| | Total | Recuento | | 189 | 16 | 4 | 1 | 210 | | |
| | | % dentro de Serie | | 90,0% | 7,6% | 1,9% | ,5% | 100,0% | | |
| | 2 PRECOZ | Serie | 3 | Recuento | | 207 | 19 | 7 | 0 | 233 |
| | | | | % dentro de Serie | | 88,8% | 8,2% | 3,0% | ,0% | 100,0% |
| 4 | | Recuento | | 127 | 17 | 6 | 2 | 152 | | |
| | | % dentro de Serie | | 83,6% | 11,2% | 3,9% | 1,3% | 100,0% | | |
| 5 | | Recuento | | 17 | 4 | 0 | 0 | 21 | | |
| | | % dentro de Serie | | 81,0% | 19,0% | ,0% | ,0% | 100,0% | | |
| Total | | Recuento | | 351 | 40 | 13 | 2 | 406 | | |
| | | % dentro de Serie | | 86,5% | 9,9% | 3,2% | ,5% | 100,0% | | |
| 3 CIR_PREVIA | | Serie | 3 | Recuento | | 53 | 19 | 7 | 3 | 82 |
| | | | | % dentro de Serie | | 64,6% | 23,2% | 8,5% | 3,7% | 100,0% |
| | 4 | Recuento | | 26 | 12 | 4 | 1 | 43 | | |
| | | % dentro de Serie | | 60,5% | 27,9% | 9,3% | 2,3% | 100,0% | | |
| | 5 | Recuento | | 2 | 0 | 0 | 0 | 2 | | |
| | | % dentro de Serie | | 100,0% | ,0% | ,0% | ,0% | 100,0% | | |
| | Total | Recuento | | 81 | 31 | 11 | 4 | 127 | | |
| | | % dentro de Serie | | 63,8% | 24,4% | 8,7% | 3,1% | 100,0% | | |

Pruebas de chi-cuadrado

| Carga | | Valor | gl | Sig. asintótica (bilateral) |
|--------------|------------------------------|--------------------|----|-----------------------------|
| 1 INMEDIATA | Chi-cuadrado de Pearson | 7,330 ^a | 6 | ,291 |
| | Razón de verosimilitudes | 6,411 | 6 | ,379 |
| | Asociación lineal por lineal | 3,554 | 1 | ,059 |
| | N de casos válidos | 210 | | |
| 2 PRECOZ | Chi-cuadrado de Pearson | 7,439 ^b | 6 | ,282 |
| | Razón de verosimilitudes | 8,325 | 6 | ,215 |
| | Asociación lineal por lineal | 2,148 | 1 | ,143 |
| | N de casos válidos | 406 | | |
| 3 CIR_PREVIA | Chi-cuadrado de Pearson | 1,668 ^c | 6 | ,948 |
| | Razón de verosimilitudes | 2,330 | 6 | ,887 |
| | Asociación lineal por lineal | ,054 | 1 | ,817 |
| | N de casos válidos | 127 | | |

IX.- Anexo estadístico

Serie * PE_2CD * Carga Tabla de contingencia

| Carga | | | | PE_2CD | | | | Total | |
|--------------|----------|-------------------|-------------------|-------------------|-------|-------|--------|--------|--------|
| | | | | 0 | 1 | 2 | 3 | | |
| 1 INMEDIATA | Serie | 3 | Recuento | 133 | 9 | 3 | 0 | 145 | |
| | | | % dentro de Serie | 91,7% | 6,2% | 2,1% | ,0% | 100,0% | |
| | 4 | Recuento | 49 | 4 | 2 | 1 | 56 | | |
| | | % dentro de Serie | 87,5% | 7,1% | 3,6% | 1,8% | 100,0% | | |
| | 5 | Recuento | 8 | 1 | 0 | 0 | 9 | | |
| | | % dentro de Serie | 88,9% | 11,1% | ,0% | ,0% | 100,0% | | |
| | Total | Recuento | 190 | 14 | 5 | 1 | 210 | | |
| | | % dentro de Serie | 90,5% | 6,7% | 2,4% | ,5% | 100,0% | | |
| | 2 PRECOZ | Serie | 3 | Recuento | 203 | 22 | 8 | 0 | 233 |
| | | | | % dentro de Serie | 87,1% | 9,4% | 3,4% | ,0% | 100,0% |
| 4 | | Recuento | 127 | 15 | 7 | 3 | 152 | | |
| | | % dentro de Serie | 83,6% | 9,9% | 4,6% | 2,0% | 100,0% | | |
| 5 | | Recuento | 19 | 1 | 1 | 0 | 21 | | |
| | | % dentro de Serie | 90,5% | 4,8% | 4,8% | ,0% | 100,0% | | |
| Total | | Recuento | 349 | 38 | 16 | 3 | 406 | | |
| | | % dentro de Serie | 86,0% | 9,4% | 3,9% | ,7% | 100,0% | | |
| 3 CIR_PREVIA | | Serie | 3 | Recuento | 53 | 17 | 9 | 3 | 82 |
| | | | | % dentro de Serie | 64,6% | 20,7% | 11,0% | 3,7% | 100,0% |
| | 4 | Recuento | 24 | 17 | 2 | 0 | 43 | | |
| | | % dentro de Serie | 55,8% | 39,5% | 4,7% | ,0% | 100,0% | | |
| | 5 | Recuento | 2 | 0 | 0 | 0 | 2 | | |
| | | % dentro de Serie | 100,0% | ,0% | ,0% | ,0% | 100,0% | | |
| | Total | Recuento | 79 | 34 | 11 | 3 | 127 | | |
| | | % dentro de Serie | 62,2% | 26,8% | 8,7% | 2,4% | 100,0% | | |

Pruebas de chi-cuadrado

| Carga | | Valor | gl | Sig. asintótica (bilateral) |
|--------------|------------------------------|--------------------|----|-----------------------------|
| 1 INMEDIATA | Chi-cuadrado de Pearson | 3,771 ^a | 6 | ,708 |
| | Razón de verosimilitudes | 3,793 | 6 | ,705 |
| | Asociación lineal por lineal | ,974 | 1 | ,324 |
| | N de casos válidos | 210 | | |
| 2 PRECOZ | Chi-cuadrado de Pearson | 6,079 ^b | 6 | ,414 |
| | Razón de verosimilitudes | 7,061 | 6 | ,315 |
| | Asociación lineal por lineal | ,972 | 1 | ,324 |
| | N de casos válidos | 406 | | |
| 3 CIR_PREVIA | Chi-cuadrado de Pearson | 8,214 ^c | 6 | ,223 |
| | Razón de verosimilitudes | 9,718 | 6 | ,137 |
| | Asociación lineal por lineal | ,488 | 1 | ,485 |
| | N de casos válidos | 127 | | |

Serie * PE_3CM * Carga Tabla de contingencia

| Carga | PE_3CM | | | | Total | | | |
|--------------|----------|-------------------|-------------------|-------|-------|-------|--------|--------|
| | 0 | 1 | 2 | 3 | | | | |
| 1 INMEDIATA | Serie 3 | Recuento | 68 | 6 | 3 | | 77 | |
| | | % dentro de Serie | 88,3% | 7,8% | 3,9% | | 100,0% | |
| | 4 | Recuento | 28 | 4 | 1 | | 33 | |
| | | % dentro de Serie | 84,8% | 12,1% | 3,0% | | 100,0% | |
| | 5 | Recuento | 3 | 2 | 0 | | 5 | |
| | | % dentro de Serie | 60,0% | 40,0% | ,0% | | 100,0% | |
| | Total | Recuento | 99 | 12 | 4 | | 115 | |
| | | % dentro de Serie | 86,1% | 10,4% | 3,5% | | 100,0% | |
| | 2 PRECOZ | Serie 3 | Recuento | 133 | 15 | 4 | 2 | 154 |
| | | | % dentro de Serie | 86,4% | 9,7% | 2,6% | 1,3% | 100,0% |
| 4 | | Recuento | 96 | 8 | 6 | 4 | 114 | |
| | | % dentro de Serie | 84,2% | 7,0% | 5,3% | 3,5% | 100,0% | |
| 5 | | Recuento | 11 | 3 | 0 | 0 | 14 | |
| | | % dentro de Serie | 78,6% | 21,4% | ,0% | ,0% | 100,0% | |
| Total | | Recuento | 240 | 26 | 10 | 6 | 282 | |
| | | % dentro de Serie | 85,1% | 9,2% | 3,5% | 2,1% | 100,0% | |
| 3 CIR_PREVIA | | Serie 3 | Recuento | 37 | 13 | 9 | 4 | 63 |
| | | | % dentro de Serie | 58,7% | 20,6% | 14,3% | 6,3% | 100,0% |
| | 4 | Recuento | 13 | 6 | 4 | 1 | 24 | |
| | | % dentro de Serie | 54,2% | 25,0% | 16,7% | 4,2% | 100,0% | |
| | 5 | Recuento | 2 | 0 | 0 | 0 | 2 | |
| | | % dentro de Serie | 100,0% | ,0% | ,0% | ,0% | 100,0% | |
| | Total | Recuento | 52 | 19 | 13 | 5 | 89 | |
| | | | | | | | | |

IX.- Anexo estadístico

Serie * PE_3CM * Carga Tabla de contingencia

| Carga | PE_3CM | | | | Total | | | |
|--------------|----------|-------------------|-------------------|-------|-------|-------|--------|--------|
| | 0 | 1 | 2 | 3 | | | | |
| 1 INMEDIATA | Serie 3 | Recuento | 68 | 6 | 3 | | 77 | |
| | | % dentro de Serie | 88,3% | 7,8% | 3,9% | | 100,0% | |
| | 4 | Recuento | 28 | 4 | 1 | | 33 | |
| | | % dentro de Serie | 84,8% | 12,1% | 3,0% | | 100,0% | |
| | 5 | Recuento | 3 | 2 | 0 | | 5 | |
| | | % dentro de Serie | 60,0% | 40,0% | ,0% | | 100,0% | |
| | Total | Recuento | 99 | 12 | 4 | | 115 | |
| | | % dentro de Serie | 86,1% | 10,4% | 3,5% | | 100,0% | |
| | 2 PRECOZ | Serie 3 | Recuento | 133 | 15 | 4 | 2 | 154 |
| | | | % dentro de Serie | 86,4% | 9,7% | 2,6% | 1,3% | 100,0% |
| | | 4 | Recuento | 96 | 8 | 6 | 4 | 114 |
| | | | % dentro de Serie | 84,2% | 7,0% | 5,3% | 3,5% | 100,0% |
| 5 | | Recuento | 11 | 3 | 0 | 0 | 14 | |
| | | % dentro de Serie | 78,6% | 21,4% | ,0% | ,0% | 100,0% | |
| Total | | Recuento | 240 | 26 | 10 | 6 | 282 | |
| | | % dentro de Serie | 85,1% | 9,2% | 3,5% | 2,1% | 100,0% | |
| 3 CIR_PREVIA | | Serie 3 | Recuento | 37 | 13 | 9 | 4 | 63 |
| | | | % dentro de Serie | 58,7% | 20,6% | 14,3% | 6,3% | 100,0% |
| | | 4 | Recuento | 13 | 6 | 4 | 1 | 24 |
| | | | % dentro de Serie | 54,2% | 25,0% | 16,7% | 4,2% | 100,0% |
| | 5 | Recuento | 2 | 0 | 0 | 0 | 2 | |
| | | % dentro de Serie | 100,0% | ,0% | ,0% | ,0% | 100,0% | |
| | Total | Recuento | 52 | 19 | 13 | 5 | 89 | |
| | | % dentro de Serie | 58,4% | 21,3% | 14,6% | 5,6% | 100,0% | |

Pruebas de chi-cuadrado

| Carga | | Valor | gl | Sig. asintótica (bilateral) |
|--------------|------------------------------|--------------------|----|-----------------------------|
| 1 INMEDIATA | Chi-cuadrado de Pearson | 5,471 ^a | 4 | ,242 |
| | Razón de verosimilitudes | 3,967 | 4 | ,411 |
| | Asociación lineal por lineal | ,801 | 1 | ,371 |
| | N de casos válidos | 115 | | |
| 2 PRECOZ | Chi-cuadrado de Pearson | 6,670 ^b | 6 | ,352 |
| | Razón de verosimilitudes | 6,727 | 6 | ,347 |
| | Asociación lineal por lineal | ,901 | 1 | ,342 |
| | N de casos válidos | 282 | | |
| 3 CIR_PREVIA | Chi-cuadrado de Pearson | 1,888 ^c | 6 | ,930 |
| | Razón de verosimilitudes | 2,612 | 6 | ,856 |
| | Asociación lineal por lineal | ,177 | 1 | ,674 |
| | N de casos válidos | 89 | | |

IX.- Anexo estadístico

Serie * PE_3CD * Carga Tabla de contingencia

| Carga | PE_3CD | | | | Total | | | |
|--------------|----------|-------------------|-------------------|-------|-------|-------|--------|--------|
| | 0 | 1 | 2 | 3 | | | | |
| 1 INMEDIATA | Serie 3 | Recuento | 66 | 7 | 4 | | 77 | |
| | | % dentro de Serie | 85,7% | 9,1% | 5,2% | | 100,0% | |
| | 4 | Recuento | 30 | 2 | 1 | | 33 | |
| | | % dentro de Serie | 90,9% | 6,1% | 3,0% | | 100,0% | |
| | 5 | Recuento | 3 | 2 | 0 | | 5 | |
| | | % dentro de Serie | 60,0% | 40,0% | ,0% | | 100,0% | |
| | Total | Recuento | 99 | 11 | 5 | | 115 | |
| | | % dentro de Serie | 86,1% | 9,6% | 4,3% | | 100,0% | |
| | 2 PRECOZ | Serie 3 | Recuento | 131 | 18 | 1 | 4 | 154 |
| | | | % dentro de Serie | 85,1% | 11,7% | ,6% | 2,6% | 100,0% |
| | | 4 | Recuento | 98 | 7 | 5 | 4 | 114 |
| | | | % dentro de Serie | 86,0% | 6,1% | 4,4% | 3,5% | 100,0% |
| 5 | | Recuento | 13 | 1 | 0 | 0 | 14 | |
| | | % dentro de Serie | 92,9% | 7,1% | ,0% | ,0% | 100,0% | |
| Total | | Recuento | 242 | 26 | 6 | 8 | 282 | |
| | | % dentro de Serie | 85,8% | 9,2% | 2,1% | 2,8% | 100,0% | |
| 3 CIR_PREVIA | | Serie 3 | Recuento | 38 | 13 | 9 | 3 | 63 |
| | | | % dentro de Serie | 60,3% | 20,6% | 14,3% | 4,8% | 100,0% |
| | | 4 | Recuento | 14 | 7 | 3 | 0 | 24 |
| | | | % dentro de Serie | 58,3% | 29,2% | 12,5% | ,0% | 100,0% |
| | 5 | Recuento | 2 | 0 | 0 | 0 | 2 | |
| | | % dentro de Serie | 100,0% | ,0% | ,0% | ,0% | 100,0% | |
| | Total | Recuento | 54 | 20 | 12 | 3 | 89 | |
| | | | | | | | | |

IX.- Anexo estadístico

Serie * PE_3CD * Carga Tabla de contingencia

| Carga | | | | | PE_3CD | | | | Total | |
|--------------|----------|-------------------|-------------------|-------------------|--------|-------|-------|--------|--------|--------|
| | | | | | 0 | 1 | 2 | 3 | | |
| 1 INMEDIATA | Serie | 3 | Recuento | | 66 | 7 | 4 | | 77 | |
| | | | % dentro de Serie | | 85,7% | 9,1% | 5,2% | | 100,0% | |
| | 4 | Recuento | | 30 | 2 | 1 | | 33 | | |
| | | % dentro de Serie | | 90,9% | 6,1% | 3,0% | | 100,0% | | |
| | 5 | Recuento | | 3 | 2 | 0 | | 5 | | |
| | | % dentro de Serie | | 60,0% | 40,0% | ,0% | | 100,0% | | |
| | Total | Recuento | | 99 | 11 | 5 | | 115 | | |
| | | % dentro de Serie | | 86,1% | 9,6% | 4,3% | | 100,0% | | |
| | 2 PRECOZ | Serie | 3 | Recuento | | 131 | 18 | 1 | 4 | 154 |
| | | | | % dentro de Serie | | 85,1% | 11,7% | ,6% | 2,6% | 100,0% |
| | | 4 | Recuento | | 98 | 7 | 5 | 4 | 114 | |
| | | | % dentro de Serie | | 86,0% | 6,1% | 4,4% | 3,5% | 100,0% | |
| 5 | | Recuento | | 13 | 1 | 0 | 0 | 14 | | |
| | | % dentro de Serie | | 92,9% | 7,1% | ,0% | ,0% | 100,0% | | |
| Total | | Recuento | | 242 | 26 | 6 | 8 | 282 | | |
| | | % dentro de Serie | | 85,8% | 9,2% | 2,1% | 2,8% | 100,0% | | |
| 3 CIR_PREVIA | | Serie | 3 | Recuento | | 38 | 13 | 9 | 3 | 63 |
| | | | | % dentro de Serie | | 60,3% | 20,6% | 14,3% | 4,8% | 100,0% |
| | | 4 | Recuento | | 14 | 7 | 3 | 0 | 24 | |
| | | | % dentro de Serie | | 58,3% | 29,2% | 12,5% | ,0% | 100,0% | |
| | 5 | Recuento | | 2 | 0 | 0 | 0 | 2 | | |
| | | % dentro de Serie | | 100,0% | ,0% | ,0% | ,0% | 100,0% | | |
| | Total | Recuento | | 54 | 20 | 12 | 3 | 89 | | |
| | | % dentro de Serie | | 60,7% | 22,5% | 13,5% | 3,4% | 100,0% | | |

Pruebas de chi-cuadrado

| Carga | | Valor | gl | Sig. asintótica (bilateral) |
|--------------|------------------------------|--------------------|----|-----------------------------|
| 1 INMEDIATA | Chi-cuadrado de Pearson | 6,246 ^a | 4 | ,182 |
| | Razón de verosimilitudes | 4,419 | 4 | ,352 |
| | Asociación lineal por lineal | ,002 | 1 | ,960 |
| | N de casos válidos | 115 | | |
| 2 PRECOZ | Chi-cuadrado de Pearson | 7,569 ^b | 6 | ,271 |
| | Razón de verosimilitudes | 8,283 | 6 | ,218 |
| | Asociación lineal por lineal | ,001 | 1 | ,972 |
| | N de casos válidos | 282 | | |
| 3 CIR_PREVIA | Chi-cuadrado de Pearson | 3,111 ^c | 6 | ,795 |
| | Razón de verosimilitudes | 4,542 | 6 | ,604 |
| | Asociación lineal por lineal | ,807 | 1 | ,369 |
| | N de casos válidos | 89 | | |

Longitud * PE_1CM * Carga Tabla de contingencia

| Carga | | | | PE_1CM | | | | Total |
|-------------|----------|----------------------|----------------------|--------|-------|------|--------|--------|
| | | | | 0 | 1 | 2 | 3 | |
| 1 INMEDIATA | Longitud | 8,5 | Recuento | 4 | 2 | 0 | 0 | 6 |
| | | | % dentro de Longitud | 66,7% | 33,3% | ,0% | ,0% | 100,0% |
| | 10,0 | Recuento | 40 | 1 | 0 | 0 | 41 | |
| | | % dentro de Longitud | 97,6% | 2,4% | ,0% | ,0% | 100,0% | |
| | 11,5 | Recuento | 53 | 0 | 0 | 0 | 53 | |
| | | % dentro de Longitud | 100,0% | ,0% | ,0% | ,0% | 100,0% | |
| | 13,0 | Recuento | 144 | 7 | 1 | 1 | 153 | |
| | | % dentro de Longitud | 94,1% | 4,6% | ,7% | ,7% | 100,0% | |
| | 14,5 | Recuento | 8 | 0 | 0 | 0 | 8 | |
| | | % dentro de Longitud | 100,0% | ,0% | ,0% | ,0% | 100,0% | |
| | Total | | Recuento | 249 | 10 | 1 | 1 | 261 |
| | | | % dentro de Longitud | 95,4% | 3,8% | ,4% | ,4% | 100,0% |
| 2 PRECOZ | Longitud | 8,5 | Recuento | 22 | 3 | 0 | 0 | 25 |
| | | | % dentro de Longitud | 88,0% | 12,0% | ,0% | ,0% | 100,0% |
| | 10,0 | Recuento | 86 | 5 | 4 | 2 | 97 | |
| | | % dentro de Longitud | 88,7% | 5,2% | 4,1% | 2,1% | 100,0% | |
| | 11,5 | Recuento | 109 | 5 | 2 | 3 | 119 | |
| | | % dentro de Longitud | 91,6% | 4,2% | 1,7% | 2,5% | 100,0% | |
| | 13,0 | Recuento | 196 | 12 | 10 | 6 | 224 | |
| | | % dentro de Longitud | 87,5% | 5,4% | 4,5% | 2,7% | 100,0% | |
| | 14,5 | Recuento | 32 | 1 | 1 | 0 | 34 | |
| | | % dentro de Longitud | 94,1% | 2,9% | 2,9% | ,0% | 100,0% | |

IX.- Anexo estadístico

| | | | | | | | | | |
|--------------|----------|----------------------|----------------------|----------------------|-------|-------|--------|--------|--------|
| Total | | | Recuento | 445 | 26 | 17 | 11 | 499 | |
| | | | % dentro de Longitud | 89,2% | 5,2% | 3,4% | 2,2% | 100,0% | |
| 3 CIR_PREVIA | Longitud | 8,5 | Recuento | 4 | 0 | 0 | 0 | 4 | |
| | | | % dentro de Longitud | 100,0% | ,0% | ,0% | ,0% | 100,0% | |
| | 10,0 | Recuento | 32 | 7 | 1 | 2 | 42 | | |
| | | % dentro de Longitud | 76,2% | 16,7% | 2,4% | 4,8% | 100,0% | | |
| | 11,5 | Recuento | 22 | 3 | 0 | 2 | 27 | | |
| | | % dentro de Longitud | 81,5% | 11,1% | ,0% | 7,4% | 100,0% | | |
| | 13,0 | Recuento | 49 | 5 | 1 | 0 | 55 | | |
| | | % dentro de Longitud | 89,1% | 9,1% | 1,8% | ,0% | 100,0% | | |
| | 14,5 | Recuento | 11 | 0 | 2 | 0 | 13 | | |
| | | % dentro de Longitud | 84,6% | ,0% | 15,4% | ,0% | 100,0% | | |
| | Total | | | Recuento | 118 | 15 | 4 | 4 | 141 |
| | | | | % dentro de Longitud | 83,7% | 10,6% | 2,8% | 2,8% | 100,0% |

Pruebas de chi-cuadrado

| Carga | | Valor | gl | Sig. asintótica (bilateral) |
|--------------|------------------------------|---------------------|----|-----------------------------|
| 1 INMEDIATA | Chi-cuadrado de Pearson | 18,508 ^a | 12 | ,101 |
| | Razón de verosimilitudes | 13,131 | 12 | ,360 |
| | Asociación lineal por lineal | ,007 | 1 | ,935 |
| | N de casos válidos | 261 | | |
| 2 PRECOZ | Chi-cuadrado de Pearson | 7,427 ^b | 12 | ,828 |
| | Razón de verosimilitudes | 9,205 | 12 | ,685 |
| | Asociación lineal por lineal | ,087 | 1 | ,768 |
| | N de casos válidos | 499 | | |
| 3 CIR_PREVIA | Chi-cuadrado de Pearson | 16,897 ^c | 12 | ,154 |
| | Razón de verosimilitudes | 17,023 | 12 | ,149 |
| | Asociación lineal por lineal | ,899 | 1 | ,343 |

N de casos válidos

141

Longitud * PE_1CD * Carga Tabla de contingencia

| Carga | | | | | PE_1CD | | | | Total |
|-------------|----------|-----|----------------------|--------|--------|------|------|--------|-------|
| | | | | | 0 | 1 | 2 | 3 | |
| 1 INMEDIATA | Longitud | 8,5 | Recuento | 4 | 2 | 0 | 0 | 6 | |
| | | | % dentro de Longitud | 66,7% | 33,3% | ,0% | ,0% | 100,0% | |
| | 10,0 | | Recuento | 40 | 1 | 0 | 0 | 41 | |
| | | | % dentro de Longitud | 97,6% | 2,4% | ,0% | ,0% | 100,0% | |
| | 11,5 | | Recuento | 53 | 0 | 0 | 0 | 53 | |
| | | | % dentro de Longitud | 100,0% | ,0% | ,0% | ,0% | 100,0% | |
| | 13,0 | | Recuento | 143 | 5 | 4 | 1 | 153 | |
| | | | % dentro de Longitud | 93,5% | 3,3% | 2,6% | ,7% | 100,0% | |
| | 14,5 | | Recuento | 7 | 1 | 0 | 0 | 8 | |
| | | | % dentro de Longitud | 87,5% | 12,5% | ,0% | ,0% | 100,0% | |
| Total | | | Recuento | 247 | 9 | 4 | 1 | 261 | |
| | | | % dentro de Longitud | 94,6% | 3,4% | 1,5% | ,4% | 100,0% | |
| 2 PRECOZ | Longitud | 8,5 | Recuento | 22 | 3 | 0 | 0 | 25 | |
| | | | % dentro de Longitud | 88,0% | 12,0% | ,0% | ,0% | 100,0% | |
| | 10,0 | | Recuento | 86 | 6 | 4 | 1 | 97 | |
| | | | % dentro de Longitud | 88,7% | 6,2% | 4,1% | 1,0% | 100,0% | |
| | 11,5 | | Recuento | 108 | 6 | 1 | 4 | 119 | |
| | | | % dentro de Longitud | 90,8% | 5,0% | ,8% | 3,4% | 100,0% | |
| | 13,0 | | Recuento | 196 | 16 | 8 | 4 | 224 | |
| | | | % dentro de Longitud | 87,5% | 7,1% | 3,6% | 1,8% | 100,0% | |
| | 14,5 | | Recuento | 33 | 1 | 0 | 0 | 34 | |
| | | | | | | | | | |

IX.- Anexo estadístico

| | | | | | | | | |
|--------------|----------|------|----------------------|--------|-------|------|------|--------|
| | | | % dentro de Longitud | 97,1% | 2,9% | ,0% | ,0% | 100,0% |
| | Total | | Recuento | 445 | 32 | 13 | 9 | 499 |
| | | | % dentro de Longitud | 89,2% | 6,4% | 2,6% | 1,8% | 100,0% |
| 3 CIR_PREVIA | Longitud | 8,5 | Recuento | 4 | 0 | 0 | 0 | 4 |
| | | | % dentro de Longitud | 100,0% | ,0% | ,0% | ,0% | 100,0% |
| | | 10,0 | Recuento | 32 | 7 | 1 | 2 | 42 |
| | | | % dentro de Longitud | 76,2% | 16,7% | 2,4% | 4,8% | 100,0% |
| | | 11,5 | Recuento | 19 | 6 | 0 | 2 | 27 |
| | | | % dentro de Longitud | 70,4% | 22,2% | ,0% | 7,4% | 100,0% |
| | | 13,0 | Recuento | 49 | 5 | 1 | 0 | 55 |
| | | | % dentro de Longitud | 89,1% | 9,1% | 1,8% | ,0% | 100,0% |
| | | 14,5 | Recuento | 11 | 1 | 0 | 1 | 13 |
| | | | % dentro de Longitud | 84,6% | 7,7% | ,0% | 7,7% | 100,0% |
| | Total | | Recuento | 115 | 19 | 2 | 5 | 141 |
| | | | % dentro de Longitud | 81,6% | 13,5% | 1,4% | 3,5% | 100,0% |

Pruebas de chi-cuadrado

| Carga | | Valor | gl | Sig. asintótica (bilateral) |
|--------------|------------------------------|---------------------|----|-----------------------------|
| 1 INMEDIATA | Chi-cuadrado de Pearson | 23,693 ^a | 12 | ,022 |
| | Razón de verosimilitudes | 16,577 | 12 | ,166 |
| | Asociación lineal por lineal | ,682 | 1 | ,409 |
| | N de casos válidos | 261 | | |
| 2 PRECOZ | Chi-cuadrado de Pearson | 10,354 ^b | 12 | ,585 |
| | Razón de verosimilitudes | 12,913 | 12 | ,375 |
| | Asociación lineal por lineal | ,019 | 1 | ,892 |
| | N de casos válidos | 499 | | |
| 3 CIR_PREVIA | Chi-cuadrado de Pearson | 9,617 ^c | 12 | ,650 |
| | Razón de verosimilitudes | 12,257 | 12 | ,425 |

| | | | |
|------------------------------|-------|---|------|
| Asociación lineal por lineal | 1,000 | 1 | ,317 |
| N de casos válidos | 141 | | |

Longitud * PE_2CM * Carga Tabla de contingencia

| Carga | | | | | PE_2CM | | | |
|-------------|----------|------|----------------------|-------|--------|------|------|--------|
| | | | | | 0 | 1 | 2 | 3 |
| 1 INMEDIATA | Longitud | 8,5 | Recuento | 4 | 2 | 0 | 0 | 6 |
| | | | % dentro de Longitud | 66,7% | 33,3% | ,0% | ,0% | 100,0% |
| | | 10,0 | Recuento | 23 | 5 | 0 | 0 | 28 |
| | | | % dentro de Longitud | 82,1% | 17,9% | ,0% | ,0% | 100,0% |
| | | 11,5 | Recuento | 45 | 2 | 1 | 0 | 48 |
| | | | % dentro de Longitud | 93,8% | 4,2% | 2,1% | ,0% | 100,0% |
| | | 13,0 | Recuento | 112 | 6 | 3 | 1 | 122 |
| | | | % dentro de Longitud | 91,8% | 4,9% | 2,5% | ,8% | 100,0% |
| | | 14,5 | Recuento | 5 | 1 | 0 | 0 | 6 |
| | | | % dentro de Longitud | 83,3% | 16,7% | ,0% | ,0% | 100,0% |
| | Total | | Recuento | 189 | 16 | 4 | 1 | 210 |
| | | | % dentro de Longitud | 90,0% | 7,6% | 1,9% | ,5% | 100,0% |
| 2 PRECOZ | Longitud | 8,5 | Recuento | 21 | 5 | 1 | 0 | 27 |
| | | | % dentro de Longitud | 77,8% | 18,5% | 3,7% | ,0% | 100,0% |
| | | 10,0 | Recuento | 64 | 11 | 1 | 0 | 76 |
| | | | % dentro de Longitud | 84,2% | 14,5% | 1,3% | ,0% | 100,0% |
| | | 11,5 | Recuento | 87 | 7 | 3 | 1 | 98 |
| | | | % dentro de Longitud | 88,8% | 7,1% | 3,1% | 1,0% | 100,0% |
| | | 13,0 | Recuento | 151 | 16 | 7 | 1 | 175 |
| | | | % dentro de Longitud | 86,3% | 9,1% | 4,0% | ,6% | 100,0% |
| | | 14,5 | Recuento | 28 | 1 | 1 | 0 | 30 |
| | | | | | | | | |

IX.- Anexo estadístico

| | | | | | | | | |
|--------------|----------|------|----------------------|-------|-------|-------|------|--------|
| | | | % dentro de Longitud | 93,3% | 3,3% | 3,3% | ,0% | 100,0% |
| | Total | | Recuento | 351 | 40 | 13 | 2 | 406 |
| | | | % dentro de Longitud | 86,5% | 9,9% | 3,2% | ,5% | 100,0% |
| 3 CIR_PREVIA | Longitud | 8,5 | Recuento | 3 | 0 | 1 | 0 | 4 |
| | | | % dentro de Longitud | 75,0% | ,0% | 25,0% | ,0% | 100,0% |
| | | 10,0 | Recuento | 22 | 12 | 3 | 2 | 39 |
| | | | % dentro de Longitud | 56,4% | 30,8% | 7,7% | 5,1% | 100,0% |
| | | 11,5 | Recuento | 14 | 8 | 2 | 1 | 25 |
| | | | % dentro de Longitud | 56,0% | 32,0% | 8,0% | 4,0% | 100,0% |
| | | 13,0 | Recuento | 34 | 9 | 4 | 1 | 48 |
| | | | % dentro de Longitud | 70,8% | 18,8% | 8,3% | 2,1% | 100,0% |
| | | 14,5 | Recuento | 8 | 2 | 1 | 0 | 11 |
| | | | % dentro de Longitud | 72,7% | 18,2% | 9,1% | ,0% | 100,0% |
| | Total | | Recuento | 81 | 31 | 11 | 4 | 127 |
| | | | % dentro de Longitud | 63,8% | 24,4% | 8,7% | 3,1% | 100,0% |

Pruebas de chi-cuadrado

| Carga | | Valor | gl | Sig. asintótica (bilateral) |
|--------------|------------------------------|---------------------|----|-----------------------------|
| 1 INMEDIATA | Chi-cuadrado de Pearson | 14,015 ^a | 12 | ,300 |
| | Razón de verosimilitudes | 11,863 | 12 | ,457 |
| | Asociación lineal por lineal | ,596 | 1 | ,440 |
| | N de casos válidos | 210 | | |
| 2 PRECOZ | Chi-cuadrado de Pearson | 8,777 ^b | 12 | ,722 |
| | Razón de verosimilitudes | 9,413 | 12 | ,667 |
| | Asociación lineal por lineal | ,404 | 1 | ,525 |
| | N de casos válidos | 406 | | |
| 3 CIR_PREVIA | Chi-cuadrado de Pearson | 6,662 ^c | 12 | ,879 |

| | | | |
|------------------------------|-------|----|------|
| Razón de verosimilitudes | 7,604 | 12 | ,815 |
| Asociación lineal por lineal | 1,573 | 1 | ,210 |
| N de casos válidos | 127 | | |

Longitud * PE_2CD * Carga Tabla de contingencia

| Carga | | | | PE_2CD | | | | Total | |
|-------------|----------|----------------------|----------------------|----------------------|-------|-------|--------|--------|--------|
| | | | | 0 | 1 | 2 | 3 | | |
| 1 INMEDIATA | Longitud | 8,5 | Recuento | 4 | 2 | 0 | 0 | 6 | |
| | | | % dentro de Longitud | 66,7% | 33,3% | ,0% | ,0% | 100,0% | |
| | 10,0 | Recuento | 25 | 3 | 0 | 0 | 28 | | |
| | | % dentro de Longitud | 89,3% | 10,7% | ,0% | ,0% | 100,0% | | |
| | 11,5 | Recuento | 46 | 1 | 1 | 0 | 48 | | |
| | | % dentro de Longitud | 95,8% | 2,1% | 2,1% | ,0% | 100,0% | | |
| | 13,0 | Recuento | 110 | 7 | 4 | 1 | 122 | | |
| | | % dentro de Longitud | 90,2% | 5,7% | 3,3% | ,8% | 100,0% | | |
| | 14,5 | Recuento | 5 | 1 | 0 | 0 | 6 | | |
| | | % dentro de Longitud | 83,3% | 16,7% | ,0% | ,0% | 100,0% | | |
| | Total | | Recuento | 190 | 14 | 5 | 1 | 210 | |
| | | | % dentro de Longitud | 90,5% | 6,7% | 2,4% | ,5% | 100,0% | |
| | 2 PRECOZ | Longitud | 8,5 | Recuento | 19 | 7 | 1 | 0 | 27 |
| | | | | % dentro de Longitud | 70,4% | 25,9% | 3,7% | ,0% | 100,0% |
| 10,0 | | Recuento | 63 | 9 | 3 | 1 | 76 | | |
| | | % dentro de Longitud | 82,9% | 11,8% | 3,9% | 1,3% | 100,0% | | |
| 11,5 | | Recuento | 90 | 4 | 2 | 2 | 98 | | |
| | | % dentro de Longitud | 91,8% | 4,1% | 2,0% | 2,0% | 100,0% | | |
| 13,0 | | Recuento | 149 | 16 | 10 | 0 | 175 | | |
| | | % dentro de Longitud | 85,1% | 9,1% | 5,7% | ,0% | 100,0% | | |

IX.- Anexo estadístico

| | | | | | | | | |
|--------------|----------|------|----------------------|-------|-------|-------|------|--------|
| | | 14,5 | Recuento | 28 | 2 | 0 | 0 | 30 |
| | | | % dentro de Longitud | 93,3% | 6,7% | ,0% | ,0% | 100,0% |
| | Total | | Recuento | 349 | 38 | 16 | 3 | 406 |
| | | | % dentro de Longitud | 86,0% | 9,4% | 3,9% | ,7% | 100,0% |
| 3 CIR_PREVIA | Longitud | 8,5 | Recuento | 3 | 0 | 1 | 0 | 4 |
| | | | % dentro de Longitud | 75,0% | ,0% | 25,0% | ,0% | 100,0% |
| | | 10,0 | Recuento | 22 | 15 | 1 | 1 | 39 |
| | | | % dentro de Longitud | 56,4% | 38,5% | 2,6% | 2,6% | 100,0% |
| | | 11,5 | Recuento | 13 | 10 | 1 | 1 | 25 |
| | | | % dentro de Longitud | 52,0% | 40,0% | 4,0% | 4,0% | 100,0% |
| | | 13,0 | Recuento | 33 | 9 | 5 | 1 | 48 |
| | | | % dentro de Longitud | 68,8% | 18,8% | 10,4% | 2,1% | 100,0% |
| | | 14,5 | Recuento | 8 | 0 | 3 | 0 | 11 |
| | | | % dentro de Longitud | 72,7% | ,0% | 27,3% | ,0% | 100,0% |
| | Total | | Recuento | 79 | 34 | 11 | 3 | 127 |
| | | | % dentro de Longitud | 62,2% | 26,8% | 8,7% | 2,4% | 100,0% |

Pruebas de chi-cuadrado

| Carga | | Valor | gl | Sig. asintótica (bilateral) |
|--------------|------------------------------|---------------------|----|-----------------------------|
| 1 INMEDIATA | Chi-cuadrado de Pearson | 12,331 ^a | 12 | ,419 |
| | Razón de verosimilitudes | 10,672 | 12 | ,557 |
| | Asociación lineal por lineal | ,028 | 1 | ,866 |
| | N de casos válidos | 210 | | |
| 2 PRECOZ | Chi-cuadrado de Pearson | 20,804 ^b | 12 | ,053 |
| | Razón de verosimilitudes | 21,136 | 12 | ,048 |
| | Asociación lineal por lineal | 2,130 | 1 | ,144 |
| | N de casos válidos | 406 | | |
| 3 CIR_PREVIA | Chi-cuadrado de Pearson | 18,819 ^c | 12 | ,093 |

| | | | |
|------------------------------|--------|----|------|
| Razón de verosimilitudes | 21,588 | 12 | ,042 |
| Asociación lineal por lineal | ,039 | 1 | ,844 |
| N de casos válidos | 127 | | |

Longitud * PE_3CM * Carga Tabla de contingencia

| Carga | | | | PE_3CM | | | | Total |
|-------------|----------|----------------------|----------------------|--------|-------|------|--------|--------|
| | | | | 0 | 1 | 2 | 3 | |
| 1 INMEDIATA | Longitud | 8,5 | Recuento | 3 | 2 | 0 | | 5 |
| | | | % dentro de Longitud | 60,0% | 40,0% | ,0% | | 100,0% |
| | 10,0 | Recuento | 12 | 6 | 0 | | 18 | |
| | | % dentro de Longitud | 66,7% | 33,3% | ,0% | | 100,0% | |
| | 11,5 | Recuento | 23 | 2 | 1 | | 26 | |
| | | % dentro de Longitud | 88,5% | 7,7% | 3,8% | | 100,0% | |
| | 13,0 | Recuento | 58 | 2 | 3 | | 63 | |
| | | % dentro de Longitud | 92,1% | 3,2% | 4,8% | | 100,0% | |
| | 14,5 | Recuento | 3 | 0 | 0 | | 3 | |
| | | % dentro de Longitud | 100,0% | ,0% | ,0% | | 100,0% | |
| | Total | Recuento | 99 | 12 | 4 | | 115 | |
| | | % dentro de Longitud | 86,1% | 10,4% | 3,5% | | 100,0% | |
| 2 PRECOZ | Longitud | 8,5 | Recuento | 16 | 4 | 1 | 0 | 21 |
| | | | % dentro de Longitud | 76,2% | 19,0% | 4,8% | ,0% | 100,0% |
| | 10,0 | Recuento | 39 | 6 | 1 | 1 | 47 | |
| | | % dentro de Longitud | 83,0% | 12,8% | 2,1% | 2,1% | 100,0% | |
| | 11,5 | Recuento | 66 | 4 | 2 | 3 | 75 | |
| | | % dentro de Longitud | 88,0% | 5,3% | 2,7% | 4,0% | 100,0% | |
| | 13,0 | Recuento | 99 | 11 | 6 | 2 | 118 | |
| | | | | | | | | |

IX.- Anexo estadístico

| | | | | | | | | |
|--------------|----------|-----|----------------------|-------|-------|-------|-------|--------|
| | | | % dentro de Longitud | 83,9% | 9,3% | 5,1% | 1,7% | 100,0% |
| | 14,5 | | Recuento | 20 | 1 | 0 | 0 | 21 |
| | | | % dentro de Longitud | 95,2% | 4,8% | ,0% | ,0% | 100,0% |
| | Total | | Recuento | 240 | 26 | 10 | 6 | 282 |
| | | | % dentro de Longitud | 85,1% | 9,2% | 3,5% | 2,1% | 100,0% |
| 3 CIR_PREVIA | Longitud | 8,5 | Recuento | 3 | 0 | 1 | 0 | 4 |
| | | | % dentro de Longitud | 75,0% | ,0% | 25,0% | ,0% | 100,0% |
| | 10,0 | | Recuento | 12 | 6 | 5 | 3 | 26 |
| | | | % dentro de Longitud | 46,2% | 23,1% | 19,2% | 11,5% | 100,0% |
| | 11,5 | | Recuento | 7 | 4 | 2 | 1 | 14 |
| | | | % dentro de Longitud | 50,0% | 28,6% | 14,3% | 7,1% | 100,0% |
| | 13,0 | | Recuento | 27 | 7 | 4 | 1 | 39 |
| | | | % dentro de Longitud | 69,2% | 17,9% | 10,3% | 2,6% | 100,0% |
| | 14,5 | | Recuento | 3 | 2 | 1 | 0 | 6 |
| | | | % dentro de Longitud | 50,0% | 33,3% | 16,7% | ,0% | 100,0% |
| | Total | | Recuento | 52 | 19 | 13 | 5 | 89 |
| | | | % dentro de Longitud | 58,4% | 21,3% | 14,6% | 5,6% | 100,0% |

Pruebas de chi-cuadrado

| Carga | | Valor | gl | Sig. asintótica (bilateral) |
|-------------|------------------------------|---------------------|----|-----------------------------|
| 1 INMEDIATA | Chi-cuadrado de Pearson | 19,659 ^a | 8 | ,012 |
| | Razón de verosimilitudes | 17,053 | 8 | ,030 |
| | Asociación lineal por lineal | 3,939 | 1 | ,047 |
| | N de casos válidos | 115 | | |
| 2 PRECOZ | Chi-cuadrado de Pearson | 9,376 ^b | 12 | ,671 |
| | Razón de verosimilitudes | 10,448 | 12 | ,577 |
| | Asociación lineal por lineal | ,557 | 1 | ,456 |
| | N de casos válidos | 282 | | |

| | | | | |
|--------------|------------------------------|--------------------|----|------|
| 3 CIR_PREVIA | Chi-cuadrado de Pearson | 7,817 ^c | 12 | ,799 |
| | Razón de verosimilitudes | 8,907 | 12 | ,711 |
| | Asociación lineal por lineal | 2,394 | 1 | ,122 |
| | N de casos válidos | 89 | | |

Longitud * PE_3CD * Carga Tabla de contingencia

| Carga | | | | PE_3CD | | | | Total |
|-------------|----------|----------------------|----------------------|--------|-------|------|--------|--------|
| | | | | 0 | 1 | 2 | 3 | |
| 1 INMEDIATA | Longitud | 8,5 | Recuento | 3 | 2 | 0 | | 5 |
| | | | % dentro de Longitud | 60,0% | 40,0% | ,0% | | 100,0% |
| | 10,0 | Recuento | 14 | 4 | 0 | | 18 | |
| | | % dentro de Longitud | 77,8% | 22,2% | ,0% | | 100,0% | |
| | 11,5 | Recuento | 23 | 2 | 1 | | 26 | |
| | | % dentro de Longitud | 88,5% | 7,7% | 3,8% | | 100,0% | |
| | 13,0 | Recuento | 56 | 3 | 4 | | 63 | |
| | | % dentro de Longitud | 88,9% | 4,8% | 6,3% | | 100,0% | |
| | 14,5 | Recuento | 3 | 0 | 0 | | 3 | |
| | | % dentro de Longitud | 100,0% | ,0% | ,0% | | 100,0% | |
| | Total | | Recuento | 99 | 11 | 5 | | 115 |
| | | | % dentro de Longitud | 86,1% | 9,6% | 4,3% | | 100,0% |
| 2 PRECOZ | Longitud | 8,5 | Recuento | 14 | 7 | 0 | 0 | 21 |
| | | | % dentro de Longitud | 66,7% | 33,3% | ,0% | ,0% | 100,0% |
| | 10,0 | Recuento | 38 | 6 | 2 | 1 | 47 | |
| | | % dentro de Longitud | 80,9% | 12,8% | 4,3% | 2,1% | 100,0% | |
| | 11,5 | Recuento | 68 | 2 | 2 | 3 | 75 | |
| | | % dentro de Longitud | 90,7% | 2,7% | 2,7% | 4,0% | 100,0% | |

IX.- Anexo estadístico

| | | | | | | | | |
|--------------|----------|------|----------------------|-------|-------|-------|------|--------|
| | | 13,0 | Recuento | 102 | 10 | 2 | 4 | 118 |
| | | | % dentro de Longitud | 86,4% | 8,5% | 1,7% | 3,4% | 100,0% |
| | | 14,5 | Recuento | 20 | 1 | 0 | 0 | 21 |
| | | | % dentro de Longitud | 95,2% | 4,8% | ,0% | ,0% | 100,0% |
| | Total | | Recuento | 242 | 26 | 6 | 8 | 282 |
| | | | % dentro de Longitud | 85,8% | 9,2% | 2,1% | 2,8% | 100,0% |
| 3 CIR_PREVIA | Longitud | 8,5 | Recuento | 3 | 0 | 1 | 0 | 4 |
| | | | % dentro de Longitud | 75,0% | ,0% | 25,0% | ,0% | 100,0% |
| | | 10,0 | Recuento | 13 | 9 | 3 | 1 | 26 |
| | | | % dentro de Longitud | 50,0% | 34,6% | 11,5% | 3,8% | 100,0% |
| | | 11,5 | Recuento | 9 | 3 | 1 | 1 | 14 |
| | | | % dentro de Longitud | 64,3% | 21,4% | 7,1% | 7,1% | 100,0% |
| | | 13,0 | Recuento | 26 | 8 | 4 | 1 | 39 |
| | | | % dentro de Longitud | 66,7% | 20,5% | 10,3% | 2,6% | 100,0% |
| | | 14,5 | Recuento | 3 | 0 | 3 | 0 | 6 |
| | | | % dentro de Longitud | 50,0% | ,0% | 50,0% | ,0% | 100,0% |
| | Total | | Recuento | 54 | 20 | 12 | 3 | 89 |
| | | | % dentro de Longitud | 60,7% | 22,5% | 13,5% | 3,4% | 100,0% |

Pruebas de chi-cuadrado

| Carga | | Valor | gl | Sig. asintótica (bilateral) |
|-------------|------------------------------|---------------------|----|-----------------------------|
| 1 INMEDIATA | Chi-cuadrado de Pearson | 12,166 ^a | 8 | ,144 |
| | Razón de verosimilitudes | 10,924 | 8 | ,206 |
| | Asociación lineal por lineal | ,859 | 1 | ,354 |
| | N de casos válidos | 115 | | |
| 2 PRECOZ | Chi-cuadrado de Pearson | 23,222 ^b | 12 | ,026 |
| | Razón de verosimilitudes | 21,133 | 12 | ,048 |

| | | | | |
|--------------|------------------------------|---------------------|----|------|
| | Asociación lineal por lineal | 1,756 | 1 | ,185 |
| | N de casos válidos | 282 | | |
| 3 CIR_PREVIA | Chi-cuadrado de Pearson | 13,164 ^c | 12 | ,357 |
| | Razón de verosimilitudes | 12,974 | 12 | ,371 |
| | Asociación lineal por lineal | ,017 | 1 | ,896 |
| | N de casos válidos | 89 | | |

Crestal/Supra * PE_1CM * Carga

Tabla de contingencia

| Carga | | | | PE_1CM | | | | Total |
|--------------|---------------|----------------|---------------------------|--------|-------|------|------|--------|
| | | | | 0 | 1 | 2 | 3 | |
| 1 INMEDIATA | Crestal/Supra | 1 CRESTAL | Recuento | 197 | 6 | 1 | 1 | 205 |
| | | | % dentro de Crestal/Supra | 96,1% | 2,9% | ,5% | ,5% | 100,0% |
| | | 2 SUPRACRESTAL | Recuento | 52 | 4 | 0 | 0 | 56 |
| | | | % dentro de Crestal/Supra | 92,9% | 7,1% | ,0% | ,0% | 100,0% |
| | Total | | Recuento | 249 | 10 | 1 | 1 | 261 |
| | | | % dentro de Crestal/Supra | 95,4% | 3,8% | ,4% | ,4% | 100,0% |
| 2 PRECOZ | Crestal/Supra | 1 CRESTAL | Recuento | 344 | 21 | 12 | 9 | 386 |
| | | | % dentro de Crestal/Supra | 89,1% | 5,4% | 3,1% | 2,3% | 100,0% |
| | | 2 SUPRACRESTAL | Recuento | 101 | 5 | 5 | 2 | 113 |
| | | | % dentro de Crestal/Supra | 89,4% | 4,4% | 4,4% | 1,8% | 100,0% |
| | Total | | Recuento | 445 | 26 | 17 | 11 | 499 |
| | | | % dentro de Crestal/Supra | 89,2% | 5,2% | 3,4% | 2,2% | 100,0% |
| 3 CIR_PREVIA | Crestal/Supra | 1 CRESTAL | Recuento | 105 | 15 | 4 | 4 | 128 |
| | | | % dentro de Crestal/Supra | 82,0% | 11,7% | 3,1% | 3,1% | 100,0% |

IX.- Anexo estadístico

| | | | | | | |
|----------------|---------------------------|--------|-------|------|------|--------|
| 2 SUPRACRESTAL | Recuento | 13 | 0 | 0 | 0 | 13 |
| | % dentro de Crestal/Supra | 100,0% | ,0% | ,0% | ,0% | 100,0% |
| Total | Recuento | 118 | 15 | 4 | 4 | 141 |
| | % dentro de Crestal/Supra | 83,7% | 10,6% | 2,8% | 2,8% | 100,0% |

Pruebas de chi-cuadrado

| Carga | | Valor | gl | Sig. asintótica (bilateral) |
|--------------|------------------------------|--------------------|----|-----------------------------|
| 1 INMEDIATA | Chi-cuadrado de Pearson | 2,635 ^a | 3 | ,451 |
| | Razón de verosimilitudes | 2,766 | 3 | ,429 |
| | Asociación lineal por lineal | ,163 | 1 | ,686 |
| | N de casos válidos | 261 | | |
| 2 PRECOZ | Chi-cuadrado de Pearson | ,743 ^b | 3 | ,863 |
| | Razón de verosimilitudes | ,730 | 3 | ,866 |
| | Asociación lineal por lineal | ,000 | 1 | ,991 |
| | N de casos válidos | 499 | | |
| 3 CIR_PREVIA | Chi-cuadrado de Pearson | 2,791 ^c | 3 | ,425 |
| | Razón de verosimilitudes | 4,881 | 3 | ,181 |
| | Asociación lineal por lineal | 2,118 | 1 | ,146 |
| | N de casos válidos | 141 | | |

Crestal/Supra * PE_1CD * Carga

Tabla de contingencia

| Carga | | | | PE_1CD | | | | Total | |
|--------------|---------------|----------------|---------------------------|---------------------------|-------|-------|------|--------|--------|
| | | | | 0 | 1 | 2 | 3 | | |
| 1 INMEDIATA | Crestal/Supra | 1 CRESTAL | Recuento | 196 | 6 | 2 | 1 | 205 | |
| | | | % dentro de Crestal/Supra | 95,6% | 2,9% | 1,0% | ,5% | 100,0% | |
| | | 2 SUPRACRESTAL | Recuento | 51 | 3 | 2 | 0 | 56 | |
| | | | % dentro de Crestal/Supra | 91,1% | 5,4% | 3,6% | ,0% | 100,0% | |
| | Total | | | Recuento | 247 | 9 | 4 | 1 | 261 |
| | | | | % dentro de Crestal/Supra | 94,6% | 3,4% | 1,5% | ,4% | 100,0% |
| 2 PRECOZ | Crestal/Supra | 1 CRESTAL | Recuento | 348 | 21 | 8 | 9 | 386 | |
| | | | % dentro de Crestal/Supra | 90,2% | 5,4% | 2,1% | 2,3% | 100,0% | |
| | | 2 SUPRACRESTAL | Recuento | 97 | 11 | 5 | 0 | 113 | |
| | | | % dentro de Crestal/Supra | 85,8% | 9,7% | 4,4% | ,0% | 100,0% | |
| | Total | | | Recuento | 445 | 32 | 13 | 9 | 499 |
| | | | | % dentro de Crestal/Supra | 89,2% | 6,4% | 2,6% | 1,8% | 100,0% |
| 3 CIR_PREVIA | Crestal/Supra | 1 CRESTAL | Recuento | 105 | 16 | 2 | 5 | 128 | |
| | | | % dentro de Crestal/Supra | 82,0% | 12,5% | 1,6% | 3,9% | 100,0% | |
| | | 2 SUPRACRESTAL | Recuento | 10 | 3 | 0 | 0 | 13 | |
| | | | % dentro de Crestal/Supra | 76,9% | 23,1% | ,0% | ,0% | 100,0% | |
| | Total | | | Recuento | 115 | 19 | 2 | 5 | 141 |
| | | | | % dentro de Crestal/Supra | 81,6% | 13,5% | 1,4% | 3,5% | 100,0% |

Pruebas de chi-cuadrado

| Carga | | Valor | gl | Sig. asintótica (bilateral) |
|--------------|------------------------------|--------------------|----|-----------------------------|
| 1 INMEDIATA | Chi-cuadrado de Pearson | 3,056 ^a | 3 | ,383 |
| | Razón de verosimilitudes | 2,833 | 3 | ,418 |
| | Asociación lineal por lineal | 1,336 | 1 | ,248 |
| | N de casos válidos | 261 | | |
| 2 PRECOZ | Chi-cuadrado de Pearson | 7,187 ^b | 3 | ,066 |
| | Razón de verosimilitudes | 8,719 | 3 | ,033 |
| | Asociación lineal por lineal | ,116 | 1 | ,733 |
| | N de casos válidos | 499 | | |
| 3 CIR_PREVIA | Chi-cuadrado de Pearson | 1,728 ^c | 3 | ,631 |
| | Razón de verosimilitudes | 2,217 | 3 | ,529 |
| | Asociación lineal por lineal | ,049 | 1 | ,825 |
| | N de casos válidos | 141 | | |

Crestal/Supra * PE_2CM * Carga

Tabla de contingencia

| Carga | | | | PE_2CM | | | | Total | |
|--------------|---------------|----------------|---------------------------|---------------------------|-------|------|------|--------|--------|
| | | | | 0 | 1 | 2 | 3 | | |
| 1 INMEDIATA | Crestal/Supra | 1 CRESTAL | Recuento | 169 | 15 | 4 | 1 | 189 | |
| | | | % dentro de Crestal/Supra | 89,4% | 7,9% | 2,1% | ,5% | 100,0% | |
| | | 2 SUPRACRESTAL | Recuento | 20 | 1 | 0 | 0 | 21 | |
| | | | % dentro de Crestal/Supra | 95,2% | 4,8% | ,0% | ,0% | 100,0% | |
| | Total | | | Recuento | 189 | 16 | 4 | 1 | 210 |
| | | | | % dentro de Crestal/Supra | 90,0% | 7,6% | 1,9% | ,5% | 100,0% |
| 2 PRECOZ | Crestal/Supra | 1 CRESTAL | Recuento | 293 | 32 | 11 | 1 | 337 | |
| | | | % dentro de Crestal/Supra | 86,9% | 9,5% | 3,3% | ,3% | 100,0% | |
| | | 2 SUPRACRESTAL | Recuento | 58 | 8 | 2 | 1 | 69 | |
| | | | % dentro de Crestal/Supra | 84,1% | 11,6% | 2,9% | 1,4% | 100,0% | |
| | Total | | | Recuento | 351 | 40 | 13 | 2 | 406 |
| | | | | % dentro de Crestal/Supra | 86,5% | 9,9% | 3,2% | ,5% | 100,0% |
| 3 CIR_PREVIA | Crestal/Supra | 1 CRESTAL | Recuento | 74 | 31 | 11 | 4 | 120 | |
| | | | % dentro de Crestal/Supra | 61,7% | 25,8% | 9,2% | 3,3% | 100,0% | |
| | | 2 SUPRACRESTAL | Recuento | 7 | 0 | 0 | 0 | 7 | |
| | | | % dentro de Crestal/Supra | 100,0% | ,0% | ,0% | ,0% | 100,0% | |

IX.- Anexo estadístico

| | | | | | | |
|-------|---------------------------|-------|-------|------|------|--------|
| Total | Recuento | 81 | 31 | 11 | 4 | 127 |
| | % dentro de Crestal/Supra | 63,8% | 24,4% | 8,7% | 3,1% | 100,0% |

Pruebas de chi-cuadrado

| Carga | | Valor | gl | Sig. asintótica (bilateral) |
|--------------|------------------------------|--------------------|----|-----------------------------|
| 1 INMEDIATA | Chi-cuadrado de Pearson | ,877 ^a | 3 | ,831 |
| | Razón de verosimilitudes | 1,408 | 3 | ,704 |
| | Asociación lineal por lineal | ,852 | 1 | ,356 |
| | N de casos válidos | 210 | | |
| 2 PRECOZ | Chi-cuadrado de Pearson | 1,880 ^b | 3 | ,598 |
| | Razón de verosimilitudes | 1,470 | 3 | ,689 |
| | Asociación lineal por lineal | ,555 | 1 | ,456 |
| | N de casos válidos | 406 | | |
| 3 CIR_PREVIA | Chi-cuadrado de Pearson | 4,207 ^c | 3 | ,240 |
| | Razón de verosimilitudes | 6,526 | 3 | ,089 |
| | Asociación lineal por lineal | 3,146 | 1 | ,076 |
| | N de casos válidos | 127 | | |

Crestal/Supra * PE_2CD * Carga

Tabla de contingencia

| Carga | | | | PE_2CD | | | | Total | |
|--------------|---------------|----------------|---------------------------|---------------------------|-------|-------|------|--------|--------|
| | | | | 0 | 1 | 2 | 3 | | |
| 1 INMEDIATA | Crestal/Supra | 1 CRESTAL | Recuento | 169 | 14 | 5 | 1 | 189 | |
| | | | % dentro de Crestal/Supra | 89,4% | 7,4% | 2,6% | ,5% | 100,0% | |
| | | 2 SUPRACRESTAL | Recuento | 21 | 0 | 0 | 0 | 21 | |
| | | | % dentro de Crestal/Supra | 100,0% | ,0% | ,0% | ,0% | 100,0% | |
| | Total | | | Recuento | 190 | 14 | 5 | 1 | 210 |
| | | | | % dentro de Crestal/Supra | 90,5% | 6,7% | 2,4% | ,5% | 100,0% |
| 2 PRECOZ | Crestal/Supra | 1 CRESTAL | Recuento | 292 | 29 | 13 | 3 | 337 | |
| | | | % dentro de Crestal/Supra | 86,6% | 8,6% | 3,9% | ,9% | 100,0% | |
| | | 2 SUPRACRESTAL | Recuento | 57 | 9 | 3 | 0 | 69 | |
| | | | % dentro de Crestal/Supra | 82,6% | 13,0% | 4,3% | ,0% | 100,0% | |
| | Total | | | Recuento | 349 | 38 | 16 | 3 | 406 |
| | | | | % dentro de Crestal/Supra | 86,0% | 9,4% | 3,9% | ,7% | 100,0% |
| 3 CIR_PREVIA | Crestal/Supra | 1 CRESTAL | Recuento | 75 | 31 | 11 | 3 | 120 | |
| | | | % dentro de Crestal/Supra | 62,5% | 25,8% | 9,2% | 2,5% | 100,0% | |
| | | 2 SUPRACRESTAL | Recuento | 4 | 3 | 0 | 0 | 7 | |
| | | | % dentro de Crestal/Supra | 57,1% | 42,9% | ,0% | ,0% | 100,0% | |
| | Total | | | Recuento | 79 | 34 | 11 | 3 | 127 |
| | | | | % dentro de Crestal/Supra | 62,2% | 26,8% | 8,7% | 2,4% | 100,0% |

Pruebas de chi-cuadrado

| Carga | | Valor | gl | Sig. asintótica (bilateral) |
|--------------|------------------------------|--------------------|----|-----------------------------|
| 1 INMEDIATA | Chi-cuadrado de Pearson | 2,456 ^a | 3 | ,483 |
| | Razón de verosimilitudes | 4,441 | 3 | ,218 |
| | Asociación lineal por lineal | 2,039 | 1 | ,153 |
| | N de casos válidos | 210 | | |
| 2 PRECOZ | Chi-cuadrado de Pearson | 1,963 ^b | 3 | ,580 |
| | Razón de verosimilitudes | 2,362 | 3 | ,501 |
| | Asociación lineal por lineal | ,154 | 1 | ,695 |
| | N de casos válidos | 406 | | |
| 3 CIR_PREVIA | Chi-cuadrado de Pearson | 1,563 ^c | 3 | ,668 |
| | Razón de verosimilitudes | 2,230 | 3 | ,526 |
| | Asociación lineal por lineal | ,090 | 1 | ,764 |
| | N de casos válidos | 127 | | |

Crestal/Supra * PE_3CM * Carga

Tabla de contingencia

| Carga | | | | PE_3CM | | | | Total | |
|--------------|---------------|----------------|---------------------------|---------------------------|-------|-------|-------|--------|--------|
| | | | | 0 | 1 | 2 | 3 | | |
| 1 INMEDIATA | Crestal/Supra | 1 CRESTAL | Recuento | 93 | 11 | 4 | | 108 | |
| | | | % dentro de Crestal/Supra | 86,1% | 10,2% | 3,7% | | 100,0% | |
| | | 2 SUPRACRESTAL | Recuento | 6 | 1 | 0 | | 7 | |
| | | | % dentro de Crestal/Supra | 85,7% | 14,3% | ,0% | | 100,0% | |
| | Total | | | Recuento | 99 | 12 | 4 | | 115 |
| | | | | % dentro de Crestal/Supra | 86,1% | 10,4% | 3,5% | | 100,0% |
| 2 PRECOZ | Crestal/Supra | 1 CRESTAL | Recuento | 226 | 23 | 9 | 6 | 264 | |
| | | | % dentro de Crestal/Supra | 85,6% | 8,7% | 3,4% | 2,3% | 100,0% | |
| | | 2 SUPRACRESTAL | Recuento | 14 | 3 | 1 | 0 | 18 | |
| | | | % dentro de Crestal/Supra | 77,8% | 16,7% | 5,6% | ,0% | 100,0% | |
| | Total | | | Recuento | 240 | 26 | 10 | 6 | 282 |
| | | | | % dentro de Crestal/Supra | 85,1% | 9,2% | 3,5% | 2,1% | 100,0% |
| 3 CIR_PREVIA | Crestal/Supra | 1 CRESTAL | Recuento | 52 | 19 | 13 | 5 | 89 | |
| | | | % dentro de Crestal/Supra | 58,4% | 21,3% | 14,6% | 5,6% | 100,0% | |
| | Total | | | Recuento | 52 | 19 | 13 | 5 | 89 |
| | | | | % dentro de Crestal/Supra | 58,4% | 21,3% | 14,6% | 5,6% | 100,0% |

Pruebas de chi-cuadrado

| Carga | | Valor | gl | Sig. asintótica (bilateral) |
|--------------|------------------------------|--------------------|----|-----------------------------|
| 1 INMEDIATA | Chi-cuadrado de Pearson | ,365 ^a | 2 | ,833 |
| | Razón de verosimilitudes | ,598 | 2 | ,742 |
| | Asociación lineal por lineal | ,033 | 1 | ,855 |
| | N de casos válidos | 115 | | |
| 2 PRECOZ | Chi-cuadrado de Pearson | 1,906 ^b | 3 | ,592 |
| | Razón de verosimilitudes | 2,052 | 3 | ,562 |
| | Asociación lineal por lineal | ,132 | 1 | ,716 |
| | N de casos válidos | 282 | | |
| 3 CIR_PREVIA | Chi-cuadrado de Pearson | ^c | | |
| | N de casos válidos | 89 | | |

Crestal/Supra * PE_3CD * Carga

Tabla de contingencia

| Carga | | | | PE_3CD | | | | Total | |
|--------------|---------------|----------------|---------------------------|---------------------------|-------|-------|-------|--------|--------|
| | | | | 0 | 1 | 2 | 3 | | |
| 1 INMEDIATA | Crestal/Supra | 1 CRESTAL | Recuento | 94 | 10 | 4 | | 108 | |
| | | | % dentro de Crestal/Supra | 87,0% | 9,3% | 3,7% | | 100,0% | |
| | | 2 SUPRACRESTAL | Recuento | 5 | 1 | 1 | | 7 | |
| | | | % dentro de Crestal/Supra | 71,4% | 14,3% | 14,3% | | 100,0% | |
| | Total | | | Recuento | 99 | 11 | 5 | | 115 |
| | | | | % dentro de Crestal/Supra | 86,1% | 9,6% | 4,3% | | 100,0% |
| 2 PRECOZ | Crestal/Supra | 1 CRESTAL | Recuento | 227 | 24 | 5 | 8 | 264 | |
| | | | % dentro de Crestal/Supra | 86,0% | 9,1% | 1,9% | 3,0% | 100,0% | |
| | | 2 SUPRACRESTAL | Recuento | 15 | 2 | 1 | 0 | 18 | |
| | | | % dentro de Crestal/Supra | 83,3% | 11,1% | 5,6% | ,0% | 100,0% | |
| | Total | | | Recuento | 242 | 26 | 6 | 8 | 282 |
| | | | | % dentro de Crestal/Supra | 85,8% | 9,2% | 2,1% | 2,8% | 100,0% |
| 3 CIR_PREVIA | Crestal/Supra | 1 CRESTAL | Recuento | 54 | 20 | 12 | 3 | 89 | |
| | | | % dentro de Crestal/Supra | 60,7% | 22,5% | 13,5% | 3,4% | 100,0% | |
| | Total | | | Recuento | 54 | 20 | 12 | 3 | 89 |
| | | | | % dentro de Crestal/Supra | 60,7% | 22,5% | 13,5% | 3,4% | 100,0% |

IX.- Anexo estadístico

Pruebas de chi-cuadrado

| Carga | | Valor | gl | Sig. asintótica (bilateral) |
|--------------|------------------------------|--------------------|----|-----------------------------|
| 1 INMEDIATA | Chi-cuadrado de Pearson | 2,053 ^a | 2 | ,358 |
| | Razón de verosimilitudes | 1,445 | 2 | ,485 |
| | Asociación lineal por lineal | 1,892 | 1 | ,169 |
| | N de casos válidos | 115 | | |
| 2 PRECOZ | Chi-cuadrado de Pearson | 1,696 ^b | 3 | ,638 |
| | Razón de verosimilitudes | 1,895 | 3 | ,594 |
| | Asociación lineal por lineal | ,000 | 1 | ,987 |
| | N de casos válidos | 282 | | |
| 3 CIR_PREVIA | Chi-cuadrado de Pearson | ^c | | |
| | N de casos válidos | 89 | | |

Protesis * PE_1CM * Carga

Tabla de contingencia

| Carga | | | | PE_1CM | | | | Total | |
|--------------|----------|------------------|----------------------|----------------------|-------|-------|-------|--------|--------|
| | | | | 0 | 1 | 2 | 3 | | |
| 1 INMEDIATA | Protesis | 1 FIJA | Recuento | 102 | 7 | 1 | 1 | 111 | |
| | | | % dentro de Protesis | 91,9% | 6,3% | ,9% | ,9% | 100,0% | |
| | | 2 SOBREDENTADURA | Recuento | 147 | 3 | 0 | 0 | 150 | |
| | | | % dentro de Protesis | 98,0% | 2,0% | ,0% | ,0% | 100,0% | |
| | Total | | | Recuento | 249 | 10 | 1 | 1 | 261 |
| | | | | % dentro de Protesis | 95,4% | 3,8% | ,4% | ,4% | 100,0% |
| 2 PRECOZ | Protesis | 1 FIJA | Recuento | 366 | 20 | 15 | 6 | 407 | |
| | | | % dentro de Protesis | 89,9% | 4,9% | 3,7% | 1,5% | 100,0% | |
| | | 2 SOBREDENTADURA | Recuento | 62 | 3 | 2 | 2 | 69 | |
| | | | % dentro de Protesis | 89,9% | 4,3% | 2,9% | 2,9% | 100,0% | |
| | Total | | | Recuento | 428 | 23 | 17 | 8 | 476 |
| | | | | % dentro de Protesis | 89,9% | 4,8% | 3,6% | 1,7% | 100,0% |
| 3 CIR_PREVIA | Protesis | 1 FIJA | Recuento | 85 | 14 | 4 | 1 | 104 | |
| | | | % dentro de Protesis | 81,7% | 13,5% | 3,8% | 1,0% | 100,0% | |
| | | 2 SOBREDENTADURA | Recuento | 23 | 1 | 0 | 3 | 27 | |
| | | | % dentro de Protesis | 85,2% | 3,7% | ,0% | 11,1% | 100,0% | |
| | Total | | | Recuento | 108 | 15 | 4 | 4 | 131 |
| | | | | % dentro de Protesis | 82,4% | 11,5% | 3,1% | 3,1% | 100,0% |

Pruebas de chi-cuadrado

| Carga | | Valor | gl | Sig. asintótica (bilateral) |
|--------------|------------------------------|---------------------|----|-----------------------------|
| 1 INMEDIATA | Chi-cuadrado de Pearson | 6,040 ^a | 3 | ,110 |
| | Razón de verosimilitudes | 6,746 | 3 | ,080 |
| | Asociación lineal por lineal | 5,816 | 1 | ,016 |
| | N de casos válidos | 261 | | |
| 2 PRECOZ | Chi-cuadrado de Pearson | ,854 ^b | 3 | ,837 |
| | Razón de verosimilitudes | ,756 | 3 | ,860 |
| | Asociación lineal por lineal | ,085 | 1 | ,770 |
| | N de casos válidos | 476 | | |
| 3 CIR_PREVIA | Chi-cuadrado de Pearson | 10,083 ^c | 3 | ,018 |
| | Razón de verosimilitudes | 9,590 | 3 | ,022 |
| | Asociación lineal por lineal | ,817 | 1 | ,366 |
| | N de casos válidos | 131 | | |

Protesis * PE_1CD * Carga

Tabla de contingencia

| Carga | | | | PE_1CD | | | | Total |
|--------------|------------------|----------------------|----------------------|--------|-------|-------|--------|--------|
| | | | | 0 | 1 | 2 | 3 | |
| 1 INMEDIATA | Protesis | 1 FIJA | Recuento | 101 | 6 | 3 | 1 | 111 |
| | | | % dentro de Protesis | 91,0% | 5,4% | 2,7% | ,9% | 100,0% |
| | 2 SOBREDENTADURA | Recuento | 146 | 3 | 1 | 0 | 150 | |
| | | % dentro de Protesis | 97,3% | 2,0% | ,7% | ,0% | 100,0% | |
| | Total | Recuento | 247 | 9 | 4 | 1 | 261 | |
| | | % dentro de Protesis | 94,6% | 3,4% | 1,5% | ,4% | 100,0% | |
| 2 PRECOZ | Protesis | 1 FIJA | Recuento | 367 | 27 | 9 | 4 | 407 |
| | | | % dentro de Protesis | 90,2% | 6,6% | 2,2% | 1,0% | 100,0% |
| | 2 SOBREDENTADURA | Recuento | 61 | 3 | 2 | 3 | 69 | |
| | | % dentro de Protesis | 88,4% | 4,3% | 2,9% | 4,3% | 100,0% | |
| | Total | Recuento | 428 | 30 | 11 | 7 | 476 | |
| | | % dentro de Protesis | 89,9% | 6,3% | 2,3% | 1,5% | 100,0% | |
| 3 CIR_PREVIA | Protesis | 1 FIJA | Recuento | 82 | 19 | 1 | 2 | 104 |
| | | | % dentro de Protesis | 78,8% | 18,3% | 1,0% | 1,9% | 100,0% |
| | 2 SOBREDENTADURA | Recuento | 23 | 0 | 1 | 3 | 27 | |
| | | % dentro de Protesis | 85,2% | ,0% | 3,7% | 11,1% | 100,0% | |
| | Total | Recuento | 105 | 19 | 2 | 5 | 131 | |
| | | % dentro de Protesis | 80,2% | 14,5% | 1,5% | 3,8% | 100,0% | |

IX.- Anexo estadístico

Pruebas de chi-cuadrado

| Carga | | Valor | gl | Sig. asintótica (bilateral) |
|--------------|------------------------------|---------------------|----|-----------------------------|
| 1 INMEDIATA | Chi-cuadrado de Pearson | 5,493 ^a | 3 | ,139 |
| | Razón de verosimilitudes | 5,847 | 3 | ,119 |
| | Asociación lineal por lineal | 5,294 | 1 | ,021 |
| | N de casos válidos | 261 | | |
| 2 PRECOZ | Chi-cuadrado de Pearson | 5,173 ^b | 3 | ,160 |
| | Razón de verosimilitudes | 3,953 | 3 | ,267 |
| | Asociación lineal por lineal | 1,879 | 1 | ,170 |
| | N de casos válidos | 476 | | |
| 3 CIR_PREVIA | Chi-cuadrado de Pearson | 10,837 ^c | 3 | ,013 |
| | Razón de verosimilitudes | 13,394 | 3 | ,004 |
| | Asociación lineal por lineal | ,998 | 1 | ,318 |
| | N de casos válidos | 131 | | |

Protesis * PE_2CM * Carga

Tabla de contingencia

| Carga | | | | PE_2CM | | | | Total | |
|--------------|----------|------------------|----------------------|----------------------|-------|-------|-------|--------|--------|
| | | | | 0 | 1 | 2 | 3 | | |
| 1 INMEDIATA | Protesis | 1 FIJA | Recuento | 82 | 11 | 4 | 1 | 98 | |
| | | | % dentro de Protesis | 83,7% | 11,2% | 4,1% | 1,0% | 100,0% | |
| | | 2 SOBREDENTADURA | Recuento | 107 | 5 | 0 | 0 | 112 | |
| | | | % dentro de Protesis | 95,5% | 4,5% | ,0% | ,0% | 100,0% | |
| | Total | | | Recuento | 189 | 16 | 4 | 1 | 210 |
| | | | | % dentro de Protesis | 90,0% | 7,6% | 1,9% | ,5% | 100,0% |
| 2 PRECOZ | Protesis | 1 FIJA | Recuento | 276 | 35 | 12 | 2 | 325 | |
| | | | % dentro de Protesis | 84,9% | 10,8% | 3,7% | ,6% | 100,0% | |
| | | 2 SOBREDENTADURA | Recuento | 58 | 5 | 1 | 0 | 64 | |
| | | | % dentro de Protesis | 90,6% | 7,8% | 1,6% | ,0% | 100,0% | |
| | Total | | | Recuento | 334 | 40 | 13 | 2 | 389 |
| | | | | % dentro de Protesis | 85,9% | 10,3% | 3,3% | ,5% | 100,0% |
| 3 CIR_PREVIA | Protesis | 1 FIJA | Recuento | 54 | 29 | 8 | 1 | 92 | |
| | | | % dentro de Protesis | 58,7% | 31,5% | 8,7% | 1,1% | 100,0% | |
| | | 2 SOBREDENTADURA | Recuento | 18 | 1 | 3 | 3 | 25 | |
| | | | % dentro de Protesis | 72,0% | 4,0% | 12,0% | 12,0% | 100,0% | |
| | Total | | | Recuento | 72 | 30 | 11 | 4 | 117 |
| | | | | % dentro de Protesis | 61,5% | 25,6% | 9,4% | 3,4% | 100,0% |

IX.- Anexo estadístico

Pruebas de chi-cuadrado

| Carga | | Valor | gl | Sig. asintótica (bilateral) |
|--------------|------------------------------|---------------------|----|-----------------------------|
| 1 INMEDIATA | Chi-cuadrado de Pearson | 9,667 ^a | 3 | ,022 |
| | Razón de verosimilitudes | 11,620 | 3 | ,009 |
| | Asociación lineal por lineal | 9,415 | 1 | ,002 |
| | N de casos válidos | 210 | | |
| 2 PRECOZ | Chi-cuadrado de Pearson | 1,777 ^b | 3 | ,620 |
| | Razón de verosimilitudes | 2,279 | 3 | ,517 |
| | Asociación lineal por lineal | 1,763 | 1 | ,184 |
| | N de casos válidos | 389 | | |
| 3 CIR_PREVIA | Chi-cuadrado de Pearson | 13,449 ^c | 3 | ,004 |
| | Razón de verosimilitudes | 14,261 | 3 | ,003 |
| | Asociación lineal por lineal | ,425 | 1 | ,514 |
| | N de casos válidos | 117 | | |

IX.- Anexo estadístico

Protesis * PE_2CD * Carga

Tabla de contingencia

| Carga | | | | PE_2CD | | | | Total | |
|--------------|----------|------------------|----------------------|----------------------|-------|-------|-------|--------|--------|
| | | | | 0 | 1 | 2 | 3 | | |
| 1 INMEDIATA | Protesis | 1 FIJA | Recuento | 83 | 9 | 5 | 1 | 98 | |
| | | | % dentro de Protesis | 84,7% | 9,2% | 5,1% | 1,0% | 100,0% | |
| | | 2 SOBREDENTADURA | Recuento | 107 | 5 | 0 | 0 | 112 | |
| | | | % dentro de Protesis | 95,5% | 4,5% | ,0% | ,0% | 100,0% | |
| | Total | | | Recuento | 190 | 14 | 5 | 1 | 210 |
| | | | | % dentro de Protesis | 90,5% | 6,7% | 2,4% | ,5% | 100,0% |
| | 2 PRECOZ | Protesis | 1 FIJA | Recuento | 276 | 33 | 13 | 3 | 325 |
| | | | | % dentro de Protesis | 84,9% | 10,2% | 4,0% | ,9% | 100,0% |
| | | 2 SOBREDENTADURA | Recuento | 56 | 5 | 3 | 0 | 64 | |
| | | | % dentro de Protesis | 87,5% | 7,8% | 4,7% | ,0% | 100,0% | |
| Total | | | | Recuento | 332 | 38 | 16 | 3 | 389 |
| | | | | % dentro de Protesis | 85,3% | 9,8% | 4,1% | ,8% | 100,0% |
| 3 CIR_PREVIA | | Protesis | 1 FIJA | Recuento | 52 | 32 | 8 | 0 | 92 |
| | | | | % dentro de Protesis | 56,5% | 34,8% | 8,7% | ,0% | 100,0% |
| | | 2 SOBREDENTADURA | Recuento | 18 | 1 | 3 | 3 | 25 | |
| | | | % dentro de Protesis | 72,0% | 4,0% | 12,0% | 12,0% | 100,0% | |
| | Total | | | Recuento | 70 | 33 | 11 | 3 | 117 |
| | | | | % dentro de Protesis | 59,8% | 28,2% | 9,4% | 2,6% | 100,0% |

Pruebas de chi-cuadrado

| Carga | | Valor | gl | Sig. asintótica (bilateral) |
|--------------|------------------------------|---------------------|----|-----------------------------|
| 1 INMEDIATA | Chi-cuadrado de Pearson | 9,282 ^a | 3 | ,026 |
| | Razón de verosimilitudes | 11,582 | 3 | ,009 |
| | Asociación lineal por lineal | 8,939 | 1 | ,003 |
| | N de casos válidos | 210 | | |
| 2 PRECOZ | Chi-cuadrado de Pearson | ,994 ^b | 3 | ,803 |
| | Razón de verosimilitudes | 1,497 | 3 | ,683 |
| | Asociación lineal por lineal | ,256 | 1 | ,613 |
| | N de casos válidos | 389 | | |
| 3 CIR_PREVIA | Chi-cuadrado de Pearson | 18,660 ^c | 3 | ,000 |
| | Razón de verosimilitudes | 19,736 | 3 | ,000 |
| | Asociación lineal por lineal | ,462 | 1 | ,497 |
| | N de casos válidos | 117 | | |

Protesis * PE_3CM * Carga Tabla de contingencia

| Carga | | | | PE_3CM | | | | Total |
|--------------|------------------|----------------------|----------------------|--------|-------|-------|--------|--------|
| | | | | 0 | 1 | 2 | 3 | |
| 1 INMEDIATA | Protesis | 1 FIJA | Recuento | 48 | 9 | 3 | | 60 |
| | | | % dentro de Protesis | 80,0% | 15,0% | 5,0% | | 100,0% |
| | 2 SOBREDENTADURA | Recuento | 51 | 3 | 1 | | 55 | |
| | | % dentro de Protesis | 92,7% | 5,5% | 1,8% | | 100,0% | |
| | Total | Recuento | 99 | 12 | 4 | | 115 | |
| | | % dentro de Protesis | 86,1% | 10,4% | 3,5% | | 100,0% | |
| 2 PRECOZ | Protesis | 1 FIJA | Recuento | 193 | 21 | 8 | 3 | 225 |
| | | | % dentro de Protesis | 85,8% | 9,3% | 3,6% | 1,3% | 100,0% |
| | 2 SOBREDENTADURA | Recuento | 30 | 5 | 2 | 3 | 40 | |
| | | % dentro de Protesis | 75,0% | 12,5% | 5,0% | 7,5% | 100,0% | |
| | Total | Recuento | 223 | 26 | 10 | 6 | 265 | |
| | | % dentro de Protesis | 84,2% | 9,8% | 3,8% | 2,3% | 100,0% | |
| 3 CIR_PREVIA | Protesis | 1 FIJA | Recuento | 33 | 18 | 9 | 1 | 61 |
| | | | % dentro de Protesis | 54,1% | 29,5% | 14,8% | 1,6% | 100,0% |
| | 2 SOBREDENTADURA | Recuento | 10 | 1 | 4 | 4 | 19 | |
| | | % dentro de Protesis | 52,6% | 5,3% | 21,1% | 21,1% | 100,0% | |
| | Total | Recuento | 43 | 19 | 13 | 5 | 80 | |
| | | % dentro de Protesis | 53,8% | 23,8% | 16,3% | 6,3% | 100,0% | |

IX.- Anexo estadístico

Pruebas de chi-cuadrado

| Carga | | Valor | gl | Sig. asintótica (bilateral) |
|--------------|------------------------------|---------------------|----|-----------------------------|
| 1 INMEDIATA | Chi-cuadrado de Pearson | 3,881 ^a | 2 | ,144 |
| | Razón de verosimilitudes | 4,059 | 2 | ,131 |
| | Asociación lineal por lineal | 3,376 | 1 | ,066 |
| | N de casos válidos | 115 | | |
| 2 PRECOZ | Chi-cuadrado de Pearson | 6,708 ^b | 3 | ,082 |
| | Razón de verosimilitudes | 4,990 | 3 | ,173 |
| | Asociación lineal por lineal | 5,171 | 1 | ,023 |
| | N de casos válidos | 265 | | |
| 3 CIR_PREVIA | Chi-cuadrado de Pearson | 12,681 ^c | 3 | ,005 |
| | Razón de verosimilitudes | 12,179 | 3 | ,007 |
| | Asociación lineal por lineal | 3,499 | 1 | ,061 |
| | N de casos válidos | 80 | | |

Protesis * PE_3CD * Carga

Tabla de contingencia

| Carga | | | | PE_3CD | | | | Total |
|--------------|------------------|----------------------|----------------------|--------|-------|-------|--------|--------|
| | | | | 0 | 1 | 2 | 3 | |
| 1 INMEDIATA | Protesis | 1 FIJA | Recuento | 48 | 7 | 5 | | 60 |
| | | | % dentro de Protesis | 80,0% | 11,7% | 8,3% | | 100,0% |
| | 2 SOBREDENTADURA | Recuento | 51 | 4 | 0 | | 55 | |
| | | % dentro de Protesis | 92,7% | 7,3% | ,0% | | 100,0% | |
| | Total | Recuento | 99 | 11 | 5 | | 115 | |
| | | % dentro de Protesis | 86,1% | 9,6% | 4,3% | | 100,0% | |
| 2 PRECOZ | Protesis | 1 FIJA | Recuento | 195 | 23 | 4 | 3 | 225 |
| | | | % dentro de Protesis | 86,7% | 10,2% | 1,8% | 1,3% | 100,0% |
| | 2 SOBREDENTADURA | Recuento | 30 | 3 | 2 | 5 | 40 | |
| | | % dentro de Protesis | 75,0% | 7,5% | 5,0% | 12,5% | 100,0% | |
| | Total | Recuento | 225 | 26 | 6 | 8 | 265 | |
| | | % dentro de Protesis | 84,9% | 9,8% | 2,3% | 3,0% | 100,0% | |
| 3 CIR_PREVIA | Protesis | 1 FIJA | Recuento | 34 | 18 | 9 | 0 | 61 |
| | | | % dentro de Protesis | 55,7% | 29,5% | 14,8% | ,0% | 100,0% |
| | 2 SOBREDENTADURA | Recuento | 11 | 2 | 3 | 3 | 19 | |
| | | % dentro de Protesis | 57,9% | 10,5% | 15,8% | 15,8% | 100,0% | |
| | Total | Recuento | 45 | 20 | 12 | 3 | 80 | |
| | | % dentro de Protesis | 56,3% | 25,0% | 15,0% | 3,8% | 100,0% | |

Pruebas de chi-cuadrado

| Carga | | Valor | gl | Sig. asintótica (bilateral) |
|--------------|------------------------------|---------------------|----|-----------------------------|
| 1 INMEDIATA | Chi-cuadrado de Pearson | 5,702 ^a | 2 | ,058 |
| | Razón de verosimilitudes | 7,634 | 2 | ,022 |
| | Asociación lineal por lineal | 5,341 | 1 | ,021 |
| | N de casos válidos | 115 | | |
| 2 PRECOZ | Chi-cuadrado de Pearson | 16,386 ^b | 3 | ,001 |
| | Razón de verosimilitudes | 11,378 | 3 | ,010 |
| | Asociación lineal por lineal | 11,556 | 1 | ,001 |
| | N de casos válidos | 265 | | |
| 3 CIR_PREVIA | Chi-cuadrado de Pearson | 11,742 ^c | 3 | ,008 |
| | Razón de verosimilitudes | 11,156 | 3 | ,011 |
| | Asociación lineal por lineal | 1,773 | 1 | ,183 |
| | N de casos válidos | 80 | | |

Ajuste prót. * PE_1CM * Carga (Tabla de contingencia)

| Carga | | | | PE_1CM | | | | Total | |
|--------------|--------------|---------|--------------------------|--------------------------|-------|------|------|--------|--------|
| | | | | 0 | 1 | 2 | 3 | | |
| 1 INMEDIATA | Ajuste prót. | 1 BUENO | Recuento | 120 | 0 | | | 120 | |
| | | | % dentro de Ajuste prót. | 100,0% | ,0% | | | 100,0% | |
| | | 2 MALO | Recuento | 5 | 2 | | | 7 | |
| | | | % dentro de Ajuste prót. | 71,4% | 28,6% | | | 100,0% | |
| | Total | | | Recuento | 125 | 2 | | | 127 |
| | | | | % dentro de Ajuste prót. | 98,4% | 1,6% | | | 100,0% |
| 2 PRECOZ | Ajuste prót. | 1 BUENO | Recuento | 141 | 6 | 9 | 4 | 160 | |
| | | | % dentro de Ajuste prót. | 88,1% | 3,8% | 5,6% | 2,5% | 100,0% | |
| | | 2 MALO | Recuento | 27 | 0 | 1 | 0 | 28 | |
| | | | % dentro de Ajuste prót. | 96,4% | ,0% | 3,6% | ,0% | 100,0% | |
| | Total | | | Recuento | 168 | 6 | 10 | 4 | 188 |
| | | | | % dentro de Ajuste prót. | 89,4% | 3,2% | 5,3% | 2,1% | 100,0% |
| 3 CIR_PREVIA | Ajuste prót. | 1 BUENO | Recuento | 70 | 5 | 2 | 3 | 80 | |
| | | | % dentro de Ajuste prót. | 87,5% | 6,3% | 2,5% | 3,8% | 100,0% | |
| | | 2 MALO | Recuento | 3 | 0 | 0 | 0 | 3 | |
| | | | % dentro de Ajuste prót. | 100,0% | ,0% | ,0% | ,0% | 100,0% | |
| | Total | | | Recuento | 73 | 5 | 2 | 3 | 83 |
| | | | | % dentro de Ajuste prót. | 88,0% | 6,0% | 2,4% | 3,6% | 100,0% |

IX.- Anexo estadístico

Pruebas de chi-cuadrado

| Carga | | Valor | gl | Sig. asintótica (bilateral) | Sig. exacta (bilateral) | Sig. exacta (unilateral) |
|--------------|---|---------------------|----|-----------------------------|-------------------------|--------------------------|
| 1 INMEDIATA | Chi-cuadrado de Pearson | 34,834 ^a | 1 | ,000 | | |
| | Corrección por continuidad ^b | 18,840 | 1 | ,000 | | |
| | Razón de verosimilitudes | 12,197 | 1 | ,000 | | |
| | Estadístico exacto de Fisher | | | | ,003 | ,003 |
| | Asociación lineal por lineal | 34,560 | 1 | ,000 | | |
| | N de casos válidos | 127 | | | | |
| 2 PRECOZ | Chi-cuadrado de Pearson | 2,123 ^c | 3 | ,547 | | |
| | Razón de verosimilitudes | 3,615 | 3 | ,306 | | |
| | Asociación lineal por lineal | 1,414 | 1 | ,234 | | |
| | N de casos válidos | 188 | | | | |
| 3 CIR_PREVIA | Chi-cuadrado de Pearson | ,426 ^d | 3 | ,935 | | |
| | Razón de verosimilitudes | ,786 | 3 | ,853 | | |
| | Asociación lineal por lineal | ,333 | 1 | ,564 | | |
| | N de casos válidos | 83 | | | | |

Ajuste prót. * PE_1CD * Carga

Tabla de contingencia

| Carga | | | | PE_1CD | | | | Total |
|--------------|--------------|--------------------------|--------------------------|--------|------|------|--------|--------|
| | | | | 0 | 1 | 2 | 3 | |
| 1 INMEDIATA | Ajuste prót. | 1 BUENO | Recuento | 119 | 0 | 1 | | 120 |
| | | | % dentro de Ajuste prót. | 99,2% | ,0% | ,8% | | 100,0% |
| | 2 MALO | Recuento | 5 | 2 | 0 | | 7 | |
| | | % dentro de Ajuste prót. | 71,4% | 28,6% | ,0% | | 100,0% | |
| | Total | Recuento | 124 | 2 | 1 | | 127 | |
| | | % dentro de Ajuste prót. | 97,6% | 1,6% | ,8% | | 100,0% | |
| 2 PRECOZ | Ajuste prót. | 1 BUENO | Recuento | 142 | 7 | 6 | 5 | 160 |
| | | | % dentro de Ajuste prót. | 88,8% | 4,4% | 3,8% | 3,1% | 100,0% |
| | 2 MALO | Recuento | 28 | 0 | 0 | 0 | 28 | |
| | | % dentro de Ajuste prót. | 100,0% | ,0% | ,0% | ,0% | 100,0% | |
| | Total | Recuento | 170 | 7 | 6 | 5 | 188 | |
| | | % dentro de Ajuste prót. | 90,4% | 3,7% | 3,2% | 2,7% | 100,0% | |
| 3 CIR_PREVIA | Ajuste prót. | 1 BUENO | Recuento | 69 | 5 | 2 | 4 | 80 |
| | | | % dentro de Ajuste prót. | 86,3% | 6,3% | 2,5% | 5,0% | 100,0% |
| | 2 MALO | Recuento | 3 | 0 | 0 | 0 | 3 | |
| | | % dentro de Ajuste prót. | 100,0% | ,0% | ,0% | ,0% | 100,0% | |
| | Total | Recuento | 72 | 5 | 2 | 4 | 83 | |
| | | % dentro de Ajuste prót. | 86,7% | 6,0% | 2,4% | 4,8% | 100,0% | |

Pruebas de chi-cuadrado

| Carga | | Valor | gl | Sig. asintótica (bilateral) |
|--------------|------------------------------|---------------------|----|-----------------------------|
| 1 INMEDIATA | Chi-cuadrado de Pearson | 34,865 ^a | 2 | ,000 |
| | Razón de verosimilitudes | 12,279 | 2 | ,002 |
| | Asociación lineal por lineal | 10,270 | 1 | ,001 |
| | N de casos válidos | 127 | | |
| 2 PRECOZ | Chi-cuadrado de Pearson | 3,484 ^b | 3 | ,323 |
| | Razón de verosimilitudes | 6,130 | 3 | ,105 |
| | Asociación lineal por lineal | 2,881 | 1 | ,090 |
| | N de casos válidos | 188 | | |
| 3 CIR_PREVIA | Chi-cuadrado de Pearson | ,476 ^c | 3 | ,924 |
| | Razón de verosimilitudes | ,870 | 3 | ,833 |
| | Asociación lineal por lineal | ,374 | 1 | ,541 |
| | N de casos válidos | 83 | | |

Ajuste prót. * PE_2CM * Carga

Tabla de contingencia

| Carga | | | | PE_2CM | | | | Total |
|--------------|--------------|---------|--------------------------|--------|-------|-------|------|--------|
| | | | | 0 | 1 | 2 | 3 | |
| 1 INMEDIATA | Ajuste prót. | 1 BUENO | Recuento | 104 | 7 | 1 | | 112 |
| | | | % dentro de Ajuste prót. | 92,9% | 6,3% | ,9% | | 100,0% |
| | | 2 MALO | Recuento | 2 | 3 | 1 | | 6 |
| | | | % dentro de Ajuste prót. | 33,3% | 50,0% | 16,7% | | 100,0% |
| | Total | | Recuento | 106 | 10 | 2 | | 118 |
| | | | % dentro de Ajuste prót. | 89,8% | 8,5% | 1,7% | | 100,0% |
| 2 PRECOZ | Ajuste prót. | 1 BUENO | Recuento | 117 | 14 | 5 | | 136 |
| | | | % dentro de Ajuste prót. | 86,0% | 10,3% | 3,7% | | 100,0% |
| | | 2 MALO | Recuento | 20 | 2 | 3 | | 25 |
| | | | % dentro de Ajuste prót. | 80,0% | 8,0% | 12,0% | | 100,0% |
| | Total | | Recuento | 137 | 16 | 8 | | 161 |
| | | | % dentro de Ajuste prót. | 85,1% | 9,9% | 5,0% | | 100,0% |
| 3 CIR_PREVIA | Ajuste prót. | 1 BUENO | Recuento | 45 | 21 | 6 | 4 | 76 |
| | | | % dentro de Ajuste prót. | 59,2% | 27,6% | 7,9% | 5,3% | 100,0% |
| | | 2 MALO | Recuento | 2 | 0 | 1 | 0 | 3 |
| | | | % dentro de Ajuste prót. | 66,7% | ,0% | 33,3% | ,0% | 100,0% |
| | Total | | Recuento | 47 | 21 | 7 | 4 | 79 |
| | | | % dentro de Ajuste prót. | 59,5% | 26,6% | 8,9% | 5,1% | 100,0% |

Pruebas de chi-cuadrado

| Carga | | Valor | gl | Sig. asintótica (bilateral) |
|--------------|------------------------------|---------------------|----|-----------------------------|
| 1 INMEDIATA | Chi-cuadrado de Pearson | 23,469 ^a | 2 | ,000 |
| | Razón de verosimilitudes | 12,604 | 2 | ,002 |
| | Asociación lineal por lineal | 23,121 | 1 | ,000 |
| | N de casos válidos | 118 | | |
| 2 PRECOZ | Chi-cuadrado de Pearson | 3,147 ^b | 2 | ,207 |
| | Razón de verosimilitudes | 2,488 | 2 | ,288 |
| | Asociación lineal por lineal | 1,672 | 1 | ,196 |
| | N de casos válidos | 161 | | |
| 3 CIR_PREVIA | Chi-cuadrado de Pearson | 3,122 ^c | 3 | ,373 |
| | Razón de verosimilitudes | 3,226 | 3 | ,358 |
| | Asociación lineal por lineal | ,022 | 1 | ,882 |
| | N de casos válidos | 79 | | |

Ajuste prót. * PE_2CD * Carga

Tabla de contingencia

| Carga | | | | PE_2CD | | | | Total | |
|--------------|--------------|---------|--------------------------|--------------------------|-------|-------|-------|--------|--------|
| | | | | 0 | 1 | 2 | 3 | | |
| 1 INMEDIATA | Ajuste prót. | 1 BUENO | Recuento | 104 | 7 | 1 | | 112 | |
| | | | % dentro de Ajuste prót. | 92,9% | 6,3% | ,9% | | 100,0% | |
| | | 2 MALO | Recuento | 1 | 3 | 2 | | 6 | |
| | | | % dentro de Ajuste prót. | 16,7% | 50,0% | 33,3% | | 100,0% | |
| | Total | | | Recuento | 105 | 10 | 3 | | 118 |
| | | | | % dentro de Ajuste prót. | 89,0% | 8,5% | 2,5% | | 100,0% |
| 2 PRECOZ | Ajuste prót. | 1 BUENO | Recuento | 113 | 14 | 7 | 2 | 136 | |
| | | | % dentro de Ajuste prót. | 83,1% | 10,3% | 5,1% | 1,5% | 100,0% | |
| | | 2 MALO | Recuento | 23 | 1 | 1 | 0 | 25 | |
| | | | % dentro de Ajuste prót. | 92,0% | 4,0% | 4,0% | ,0% | 100,0% | |
| | Total | | | Recuento | 136 | 15 | 8 | 2 | 161 |
| | | | | % dentro de Ajuste prót. | 84,5% | 9,3% | 5,0% | 1,2% | 100,0% |
| 3 CIR_PREVIA | Ajuste prót. | 1 BUENO | Recuento | 46 | 19 | 8 | 3 | 76 | |
| | | | % dentro de Ajuste prót. | 60,5% | 25,0% | 10,5% | 3,9% | 100,0% | |
| | | 2 MALO | Recuento | 2 | 1 | 0 | 0 | 3 | |
| | | | % dentro de Ajuste prót. | 66,7% | 33,3% | ,0% | ,0% | 100,0% | |
| | Total | | | Recuento | 48 | 20 | 8 | 3 | 79 |
| | | | | % dentro de Ajuste prót. | 60,8% | 25,3% | 10,1% | 3,8% | 100,0% |

Pruebas de chi-cuadrado

| Carga | | Valor | gl | Sig. asintótica (bilateral) |
|--------------|------------------------------|---------------------|----|-----------------------------|
| 1 INMEDIATA | Chi-cuadrado de Pearson | 40,151 ^a | 2 | ,000 |
| | Razón de verosimilitudes | 20,102 | 2 | ,000 |
| | Asociación lineal por lineal | 39,650 | 1 | ,000 |
| | N de casos válidos | 118 | | |
| 2 PRECOZ | Chi-cuadrado de Pearson | 1,520 ^b | 3 | ,678 |
| | Razón de verosimilitudes | 2,030 | 3 | ,566 |
| | Asociación lineal por lineal | 1,011 | 1 | ,315 |
| | N de casos válidos | 161 | | |
| 3 CIR_PREVIA | Chi-cuadrado de Pearson | ,531 ^c | 3 | ,912 |
| | Razón de verosimilitudes | ,941 | 3 | ,815 |
| | Asociación lineal por lineal | ,254 | 1 | ,614 |
| | N de casos válidos | 79 | | |

Ajuste prót. * PE_3CM * Carga

Tabla de contingencia

| Carga | | | | PE_3CM | | | | Total | |
|--------------|--------------|---------|--------------------------|--------------------------|-------|--------|-------|--------|--------|
| | | | | 0 | 1 | 2 | 3 | | |
| 1 INMEDIATA | Ajuste prót. | 1 BUENO | Recuento | 62 | 5 | 2 | | 69 | |
| | | | % dentro de Ajuste prót. | 89,9% | 7,2% | 2,9% | | 100,0% | |
| | | 2 MALO | Recuento | 1 | 1 | 1 | | 3 | |
| | | | % dentro de Ajuste prót. | 33,3% | 33,3% | 33,3% | | 100,0% | |
| | Total | | | Recuento | 63 | 6 | 3 | | 72 |
| | | | | % dentro de Ajuste prót. | 87,5% | 8,3% | 4,2% | | 100,0% |
| 2 PRECOZ | Ajuste prót. | 1 BUENO | Recuento | 74 | 9 | 6 | 5 | 94 | |
| | | | % dentro de Ajuste prót. | 78,7% | 9,6% | 6,4% | 5,3% | 100,0% | |
| | | 2 MALO | Recuento | 9 | 2 | 2 | 0 | 13 | |
| | | | % dentro de Ajuste prót. | 69,2% | 15,4% | 15,4% | ,0% | 100,0% | |
| | Total | | | Recuento | 83 | 11 | 8 | 5 | 107 |
| | | | | % dentro de Ajuste prót. | 77,6% | 10,3% | 7,5% | 4,7% | 100,0% |
| 3 CIR_PREVIA | Ajuste prót. | 1 BUENO | Recuento | 26 | 10 | 8 | 5 | 49 | |
| | | | % dentro de Ajuste prót. | 53,1% | 20,4% | 16,3% | 10,2% | 100,0% | |
| | | 2 MALO | Recuento | 0 | 0 | 1 | 0 | 1 | |
| | | | % dentro de Ajuste prót. | ,0% | ,0% | 100,0% | ,0% | 100,0% | |
| | Total | | | Recuento | 26 | 10 | 9 | 5 | 50 |
| | | | | % dentro de Ajuste prót. | 52,0% | 20,0% | 18,0% | 10,0% | 100,0% |

Pruebas de chi-cuadrado

| Carga | | Valor | gl | Sig. asintótica (bilateral) |
|--------------|------------------------------|--------------------|----|-----------------------------|
| 1 INMEDIATA | Chi-cuadrado de Pearson | 9,789 ^a | 2 | ,007 |
| | Razón de verosimilitudes | 5,445 | 2 | ,066 |
| | Asociación lineal por lineal | 9,647 | 1 | ,002 |
| | N de casos válidos | 72 | | |
| 2 PRECOZ | Chi-cuadrado de Pearson | 2,437 ^b | 3 | ,487 |
| | Razón de verosimilitudes | 2,753 | 3 | ,431 |
| | Asociación lineal por lineal | ,104 | 1 | ,747 |
| | N de casos válidos | 107 | | |
| 3 CIR_PREVIA | Chi-cuadrado de Pearson | 4,649 ^c | 3 | ,199 |
| | Razón de verosimilitudes | 3,525 | 3 | ,318 |
| | Asociación lineal por lineal | 1,203 | 1 | ,273 |
| | N de casos válidos | 50 | | |

Ajuste prót. * PE_3CD * Carga

bla de contingencia

| Carga | PE_3CD | | | | Total | | | |
|--------------|--------------|---------|--------------------------|-------|--------|-------|------|--------|
| | 0 | 1 | 2 | 3 | | | | |
| 1 INMEDIATA | Ajuste prót. | 1 BUENO | Recuento | 62 | 5 | 2 | | 69 |
| | | | % dentro de Ajuste prót. | 89,9% | 7,2% | 2,9% | | 100,0% |
| | | 2 MALO | Recuento | 0 | 1 | 2 | | 3 |
| | | | % dentro de Ajuste prót. | ,0% | 33,3% | 66,7% | | 100,0% |
| | | Total | Recuento | 62 | 6 | 4 | | 72 |
| | | | % dentro de Ajuste prót. | 86,1% | 8,3% | 5,6% | | 100,0% |
| 2 PRECOZ | Ajuste prót. | 1 BUENO | Recuento | 74 | 10 | 3 | 7 | 94 |
| | | | % dentro de Ajuste prót. | 78,7% | 10,6% | 3,2% | 7,4% | 100,0% |
| | | 2 MALO | Recuento | 11 | 1 | 1 | 0 | 13 |
| | | | % dentro de Ajuste prót. | 84,6% | 7,7% | 7,7% | ,0% | 100,0% |
| | | Total | Recuento | 85 | 11 | 4 | 7 | 107 |
| | | | % dentro de Ajuste prót. | 79,4% | 10,3% | 3,7% | 6,5% | 100,0% |
| 3 CIR_PREVIA | Ajuste prót. | 1 BUENO | Recuento | 28 | 9 | 9 | 3 | 49 |
| | | | % dentro de Ajuste prót. | 57,1% | 18,4% | 18,4% | 6,1% | 100,0% |
| | | 2 MALO | Recuento | 0 | 1 | 0 | 0 | 1 |
| | | | % dentro de Ajuste prót. | ,0% | 100,0% | ,0% | ,0% | 100,0% |
| | | Total | Recuento | 28 | 10 | 9 | 3 | 50 |
| | | | % dentro de Ajuste prót. | 56,0% | 20,0% | 18,0% | 6,0% | 100,0% |

IX.- Anexo estadístico

Pruebas de chi-cuadrado

| Carga | | Valor | gl | Sig. asintótica (bilateral) |
|--------------|------------------------------|---------------------|----|-----------------------------|
| 1 INMEDIATA | Chi-cuadrado de Pearson | 26,087 ^a | 2 | ,000 |
| | Razón de verosimilitudes | 13,990 | 2 | ,001 |
| | Asociación lineal por lineal | 24,989 | 1 | ,000 |
| | N de casos válidos | 72 | | |
| 2 PRECOZ | Chi-cuadrado de Pearson | 1,733 ^b | 3 | ,630 |
| | Razón de verosimilitudes | 2,461 | 3 | ,482 |
| | Asociación lineal por lineal | ,428 | 1 | ,513 |
| | N de casos válidos | 107 | | |
| 3 CIR_PREVIA | Chi-cuadrado de Pearson | 4,082 ^c | 3 | ,253 |
| | Razón de verosimilitudes | 3,302 | 3 | ,347 |
| | Asociación lineal por lineal | ,074 | 1 | ,785 |
| | N de casos válidos | 50 | | |

Unitario/Puente * PE_1CM * Carga (Tabla de contingencia)

| Carga | | | | PE_1CM | | | | Total | |
|--------------|-----------------|------------|-----------------------------|-----------------------------|-------|-------|------|--------|--------|
| | | | | 0 | 1 | 2 | 3 | | |
| 1 INMEDIATA | Unitario/Puente | 1 UNITARIO | Recuento | 21 | 1 | | | 22 | |
| | | | % dentro de Unitario/Puente | 95,5% | 4,5% | | | 100,0% | |
| | | 2 PUENTE | Recuento | 77 | 6 | | | 83 | |
| | | | % dentro de Unitario/Puente | 92,8% | 7,2% | | | 100,0% | |
| | Total | | | Recuento | 98 | 7 | | | 105 |
| | | | | % dentro de Unitario/Puente | 93,3% | 6,7% | | | 100,0% |
| 2 PRECOZ | Unitario/Puente | 1 UNITARIO | Recuento | 22 | 1 | 0 | 0 | 23 | |
| | | | % dentro de Unitario/Puente | 95,7% | 4,3% | ,0% | ,0% | 100,0% | |
| | | 2 PUENTE | Recuento | 320 | 19 | 14 | 5 | 358 | |
| | | | % dentro de Unitario/Puente | 89,4% | 5,3% | 3,9% | 1,4% | 100,0% | |
| | Total | | | Recuento | 342 | 20 | 14 | 5 | 381 |
| | | | | % dentro de Unitario/Puente | 89,8% | 5,2% | 3,7% | 1,3% | 100,0% |
| 3 CIR_PREVIA | Unitario/Puente | 1 UNITARIO | Recuento | 4 | 0 | 0 | 0 | 4 | |
| | | | % dentro de Unitario/Puente | 100,0% | ,0% | ,0% | ,0% | 100,0% | |
| | | 2 PUENTE | Recuento | 81 | 14 | 3 | 1 | 99 | |
| | | | % dentro de Unitario/Puente | 81,8% | 14,1% | 3,0% | 1,0% | 100,0% | |
| | Total | | | Recuento | 85 | 14 | 3 | 1 | 103 |
| | | | | % dentro de Unitario/Puente | 82,5% | 13,6% | 2,9% | 1,0% | 100,0% |

IX.- Anexo estadístico

Pruebas de chi-cuadrado

| Carga | | Valor | gl | Sig. asintótica (bilateral) | Sig. exacta (bilateral) | Sig. exacta (unilateral) |
|--------------|---|--------------------|----|-----------------------------|-------------------------|--------------------------|
| 1 INMEDIATA | Chi-cuadrado de Pearson | ,201 ^a | 1 | ,654 | | |
| | Corrección por continuidad ^b | ,000 | 1 | 1,000 | | |
| | Razón de verosimilitudes | ,219 | 1 | ,640 | | |
| | Estadístico exacto de Fisher | | | | 1,000 | ,547 |
| | Asociación lineal por lineal | ,199 | 1 | ,655 | | |
| | N de casos válidos | 105 | | | | |
| 2 PRECOZ | Chi-cuadrado de Pearson | 1,353 ^c | 3 | ,717 | | |
| | Razón de verosimilitudes | 2,499 | 3 | ,475 | | |
| | Asociación lineal por lineal | 1,249 | 1 | ,264 | | |
| | N de casos válidos | 381 | | | | |
| 3 CIR_PREVIA | Chi-cuadrado de Pearson | ,881 ^d | 3 | ,830 | | |
| | Razón de verosimilitudes | 1,570 | 3 | ,666 | | |
| | Asociación lineal por lineal | ,709 | 1 | ,400 | | |
| | N de casos válidos | 103 | | | | |

IX.- Anexo estadístico

Unitario/Puente * PE_1CD * Carga (Tabla de contingencia)

| Carga | | | | PE_1CD | | | | Total | |
|--------------|-----------------|------------|-----------------------------|-----------------------------|-------|-------|------|--------|--------|
| | | | | 0 | 1 | 2 | 3 | | |
| 1 INMEDIATA | Unitario/Puente | 1 UNITARIO | Recuento | 19 | 2 | 1 | | 22 | |
| | | | % dentro de Unitario/Puente | 86,4% | 9,1% | 4,5% | | 100,0% | |
| | | 2 PUENTE | Recuento | 78 | 4 | 1 | | 83 | |
| | | | % dentro de Unitario/Puente | 94,0% | 4,8% | 1,2% | | 100,0% | |
| | Total | | | Recuento | 97 | 6 | 2 | | 105 |
| | | | | % dentro de Unitario/Puente | 92,4% | 5,7% | 1,9% | | 100,0% |
| 2 PRECOZ | Unitario/Puente | 1 UNITARIO | Recuento | 23 | 0 | 0 | 0 | 23 | |
| | | | % dentro de Unitario/Puente | 100,0% | ,0% | ,0% | ,0% | 100,0% | |
| | | 2 PUENTE | Recuento | 320 | 26 | 9 | 3 | 358 | |
| | | | % dentro de Unitario/Puente | 89,4% | 7,3% | 2,5% | ,8% | 100,0% | |
| | Total | | | Recuento | 343 | 26 | 9 | 3 | 381 |
| | | | | % dentro de Unitario/Puente | 90,0% | 6,8% | 2,4% | ,8% | 100,0% |
| 3 CIR_PREVIA | Unitario/Puente | 1 UNITARIO | Recuento | 4 | 0 | 0 | 0 | 4 | |
| | | | % dentro de Unitario/Puente | 100,0% | ,0% | ,0% | ,0% | 100,0% | |
| | | 2 PUENTE | Recuento | 78 | 18 | 1 | 2 | 99 | |
| | | | % dentro de Unitario/Puente | 78,8% | 18,2% | 1,0% | 2,0% | 100,0% | |
| | Total | | | Recuento | 82 | 18 | 1 | 2 | 103 |
| | | | | % dentro de Unitario/Puente | 79,6% | 17,5% | 1,0% | 1,9% | 100,0% |

IX.- Anexo estadístico

Pruebas de chi-cuadrado

| Carga | | Valor | gl | Sig. asintótica (bilateral) |
|--------------|------------------------------|--------------------|----|-----------------------------|
| 1 INMEDIATA | Chi-cuadrado de Pearson | 1,683 ^a | 2 | ,431 |
| | Razón de verosimilitudes | 1,429 | 2 | ,489 |
| | Asociación lineal por lineal | 1,663 | 1 | ,197 |
| | N de casos válidos | 105 | | |
| 2 PRECOZ | Chi-cuadrado de Pearson | 2,712 ^b | 3 | ,438 |
| | Razón de verosimilitudes | 4,994 | 3 | ,172 |
| | Asociación lineal por lineal | 2,205 | 1 | ,138 |
| | N de casos válidos | 381 | | |
| 3 CIR_PREVIA | Chi-cuadrado de Pearson | 1,066 ^c | 3 | ,785 |
| | Razón de verosimilitudes | 1,865 | 3 | ,601 |
| | Asociación lineal por lineal | ,809 | 1 | ,368 |
| | N de casos válidos | 103 | | |

Unitario/Puente * PE_2CM * Carga

Tabla de contingencia

| Carga | | | | PE_2CM | | | | Total | |
|--------------|-----------------|------------|-----------------------------|-----------------------------|-------|-------|------|--------|--------|
| | | | | 0 | 1 | 2 | 3 | | |
| 1 INMEDIATA | Unitario/Puente | 1 UNITARIO | Recuento | 14 | 1 | 0 | | 15 | |
| | | | % dentro de Unitario/Puente | 93,3% | 6,7% | ,0% | | 100,0% | |
| | | 2 PUENTE | Recuento | 66 | 10 | 3 | | 79 | |
| | | | % dentro de Unitario/Puente | 83,5% | 12,7% | 3,8% | | 100,0% | |
| | Total | | | Recuento | 80 | 11 | 3 | | 94 |
| | | | | % dentro de Unitario/Puente | 85,1% | 11,7% | 3,2% | | 100,0% |
| 2 PRECOZ | Unitario/Puente | 1 UNITARIO | Recuento | 17 | 1 | 0 | 0 | 18 | |
| | | | % dentro de Unitario/Puente | 94,4% | 5,6% | ,0% | ,0% | 100,0% | |
| | | 2 PUENTE | Recuento | 236 | 34 | 12 | 2 | 284 | |
| | | | % dentro de Unitario/Puente | 83,1% | 12,0% | 4,2% | ,7% | 100,0% | |
| | Total | | | Recuento | 253 | 35 | 12 | 2 | 302 |
| | | | | % dentro de Unitario/Puente | 83,8% | 11,6% | 4,0% | ,7% | 100,0% |
| 3 CIR_PREVIA | Unitario/Puente | 1 UNITARIO | Recuento | 3 | 1 | 0 | 0 | 4 | |
| | | | % dentro de Unitario/Puente | 75,0% | 25,0% | ,0% | ,0% | 100,0% | |
| | | 2 PUENTE | Recuento | 51 | 28 | 7 | 1 | 87 | |
| | | | % dentro de Unitario/Puente | 58,6% | 32,2% | 8,0% | 1,1% | 100,0% | |
| | Total | | | Recuento | 54 | 29 | 7 | 1 | 91 |
| | | | | % dentro de Unitario/Puente | 59,3% | 31,9% | 7,7% | 1,1% | 100,0% |

IX.- Anexo estadístico

Pruebas de chi-cuadrado

| Carga | | Valor | gl | Sig. asintótica (bilateral) |
|--------------|------------------------------|--------------------|----|-----------------------------|
| 1 INMEDIATA | Chi-cuadrado de Pearson | 1,098 ^a | 2 | ,577 |
| | Razón de verosimilitudes | 1,627 | 2 | ,443 |
| | Asociación lineal por lineal | 1,086 | 1 | ,297 |
| | N de casos válidos | 94 | | |
| 2 PRECOZ | Chi-cuadrado de Pearson | 1,749 ^b | 3 | ,626 |
| | Razón de verosimilitudes | 2,708 | 3 | ,439 |
| | Asociación lineal por lineal | 1,688 | 1 | ,194 |
| | N de casos válidos | 302 | | |
| 3 CIR_PREVIA | Chi-cuadrado de Pearson | ,603 ^c | 3 | ,896 |
| | Razón de verosimilitudes | ,946 | 3 | ,814 |
| | Asociación lineal por lineal | ,575 | 1 | ,448 |
| | N de casos válidos | 91 | | |

IX.- Anexo estadístico

Unitario/Puente * PE_2CD * Carga (Tabla de contingencia)

| Carga | | | | PE_2CD | | | | Total |
|--------------|-----------------|-----------------------------|-----------------------------|--------|-------|------|--------|--------|
| | | | | 0 | 1 | 2 | 3 | |
| 1 INMEDIATA | Unitario/Puente | 1 UNITARIO | Recuento | 14 | 1 | 0 | | 15 |
| | | | % dentro de Unitario/Puente | 93,3% | 6,7% | ,0% | | 100,0% |
| | 2 PUENTE | Recuento | 67 | 8 | 4 | | 79 | |
| | | % dentro de Unitario/Puente | 84,8% | 10,1% | 5,1% | | 100,0% | |
| | Total | Recuento | 81 | 9 | 4 | | 94 | |
| | | % dentro de Unitario/Puente | 86,2% | 9,6% | 4,3% | | 100,0% | |
| 2 PRECOZ | Unitario/Puente | 1 UNITARIO | Recuento | 18 | 0 | 0 | 0 | 18 |
| | | | % dentro de Unitario/Puente | 100,0% | ,0% | ,0% | ,0% | 100,0% |
| | 2 PUENTE | Recuento | 235 | 33 | 13 | 3 | 284 | |
| | | % dentro de Unitario/Puente | 82,7% | 11,6% | 4,6% | 1,1% | 100,0% | |
| | Total | Recuento | 253 | 33 | 13 | 3 | 302 | |
| | | % dentro de Unitario/Puente | 83,8% | 10,9% | 4,3% | 1,0% | 100,0% | |
| 3 CIR_PREVIA | Unitario/Puente | 1 UNITARIO | Recuento | 3 | 1 | 0 | | 4 |
| | | | % dentro de Unitario/Puente | 75,0% | 25,0% | ,0% | | 100,0% |
| | 2 PUENTE | Recuento | 49 | 31 | 7 | | 87 | |
| | | % dentro de Unitario/Puente | 56,3% | 35,6% | 8,0% | | 100,0% | |
| | Total | Recuento | 52 | 32 | 7 | | 91 | |
| | | % dentro de Unitario/Puente | 57,1% | 35,2% | 7,7% | | 100,0% | |

Pruebas de chi-cuadrado

| Carga | | Valor | gl | Sig. asintótica (bilateral) |
|--------------|------------------------------|--------------------|----|-----------------------------|
| 1 INMEDIATA | Chi-cuadrado de Pearson | 1,023 ^a | 2 | ,599 |
| | Razón de verosimilitudes | 1,668 | 2 | ,434 |
| | Asociación lineal por lineal | ,987 | 1 | ,320 |
| | N de casos válidos | 94 | | |
| 2 PRECOZ | Chi-cuadrado de Pearson | 3,707 ^b | 3 | ,295 |
| | Razón de verosimilitudes | 6,591 | 3 | ,086 |
| | Asociación lineal por lineal | 3,021 | 1 | ,082 |
| | N de casos válidos | 302 | | |
| 3 CIR_PREVIA | Chi-cuadrado de Pearson | ,678 ^c | 2 | ,712 |
| | Razón de verosimilitudes | ,979 | 2 | ,613 |
| | Asociación lineal por lineal | ,669 | 1 | ,413 |
| | N de casos válidos | 91 | | |

Unitario/Puente * PE_3CM * Carga (Tabla de contingencia)

| Carga | | | | PE_3CM | | | | Total | |
|--------------|-----------------|------------|-----------------------------|-----------------------------|-------|-------|-------|--------|--------|
| | | | | 0 | 1 | 2 | 3 | | |
| 1 INMEDIATA | Unitario/Puente | 1 UNITARIO | Recuento | 11 | 1 | 0 | | 12 | |
| | | | % dentro de Unitario/Puente | 91,7% | 8,3% | ,0% | | 100,0% | |
| | | 2 PUENTE | Recuento | 36 | 8 | 3 | | 47 | |
| | | | % dentro de Unitario/Puente | 76,6% | 17,0% | 6,4% | | 100,0% | |
| | Total | | | Recuento | 47 | 9 | 3 | | 59 |
| | | | | % dentro de Unitario/Puente | 79,7% | 15,3% | 5,1% | | 100,0% |
| 2 PRECOZ | Unitario/Puente | 1 UNITARIO | Recuento | 7 | 0 | 0 | 0 | 7 | |
| | | | % dentro de Unitario/Puente | 100,0% | ,0% | ,0% | ,0% | 100,0% | |
| | | 2 PUENTE | Recuento | 167 | 21 | 8 | 3 | 199 | |
| | | | % dentro de Unitario/Puente | 83,9% | 10,6% | 4,0% | 1,5% | 100,0% | |
| | Total | | | Recuento | 174 | 21 | 8 | 3 | 206 |
| | | | | % dentro de Unitario/Puente | 84,5% | 10,2% | 3,9% | 1,5% | 100,0% |
| 3 CIR_PREVIA | Unitario/Puente | 1 UNITARIO | Recuento | 3 | 1 | 0 | 0 | 4 | |
| | | | % dentro de Unitario/Puente | 75,0% | 25,0% | ,0% | ,0% | 100,0% | |
| | | 2 PUENTE | Recuento | 30 | 17 | 8 | 1 | 56 | |
| | | | % dentro de Unitario/Puente | 53,6% | 30,4% | 14,3% | 1,8% | 100,0% | |
| | Total | | | Recuento | 33 | 18 | 8 | 1 | 60 |
| | | | | % dentro de Unitario/Puente | 55,0% | 30,0% | 13,3% | 1,7% | 100,0% |

IX.- Anexo estadístico

Pruebas de chi-cuadrado

| Carga | | Valor | gl | Sig. asintótica (bilateral) |
|--------------|------------------------------|--------------------|----|-----------------------------|
| 1 INMEDIATA | Chi-cuadrado de Pearson | 1,512 ^a | 2 | ,470 |
| | Razón de verosimilitudes | 2,172 | 2 | ,338 |
| | Asociación lineal por lineal | 1,485 | 1 | ,223 |
| | N de casos válidos | 59 | | |
| 2 PRECOZ | Chi-cuadrado de Pearson | 1,333 ^b | 3 | ,721 |
| | Razón de verosimilitudes | 2,408 | 3 | ,492 |
| | Asociación lineal por lineal | 1,062 | 1 | ,303 |
| | N de casos válidos | 206 | | |
| 3 CIR_PREVIA | Chi-cuadrado de Pearson | ,990 ^c | 3 | ,804 |
| | Razón de verosimilitudes | 1,561 | 3 | ,668 |
| | Asociación lineal por lineal | ,940 | 1 | ,332 |
| | N de casos válidos | 60 | | |

Unitario/Puente * PE_3CD * Carga

Tabla de contingencia

| Carga | | | | PE_3CD | | | | Total | |
|--------------|-----------------|------------|-----------------------------|-----------------------------|-------|-------|-------|--------|--------|
| | | | | 0 | 1 | 2 | 3 | | |
| 1 INMEDIATA | Unitario/Puente | 1 UNITARIO | Recuento | 10 | 1 | 1 | | 12 | |
| | | | % dentro de Unitario/Puente | 83,3% | 8,3% | 8,3% | | 100,0% | |
| | | 2 PUENTE | Recuento | 37 | 6 | 4 | | 47 | |
| | | | % dentro de Unitario/Puente | 78,7% | 12,8% | 8,5% | | 100,0% | |
| | Total | | | Recuento | 47 | 7 | 5 | | 59 |
| | | | | % dentro de Unitario/Puente | 79,7% | 11,9% | 8,5% | | 100,0% |
| 2 PRECOZ | Unitario/Puente | 1 UNITARIO | Recuento | 7 | 0 | 0 | 0 | 7 | |
| | | | % dentro de Unitario/Puente | 100,0% | ,0% | ,0% | ,0% | 100,0% | |
| | | 2 PUENTE | Recuento | 169 | 23 | 4 | 3 | 199 | |
| | | | % dentro de Unitario/Puente | 84,9% | 11,6% | 2,0% | 1,5% | 100,0% | |
| | Total | | | Recuento | 176 | 23 | 4 | 3 | 206 |
| | | | | % dentro de Unitario/Puente | 85,4% | 11,2% | 1,9% | 1,5% | 100,0% |
| 3 CIR_PREVIA | Unitario/Puente | 1 UNITARIO | Recuento | 3 | 1 | 0 | | 4 | |
| | | | % dentro de Unitario/Puente | 75,0% | 25,0% | ,0% | | 100,0% | |
| | | 2 PUENTE | Recuento | 31 | 17 | 8 | | 56 | |
| | | | % dentro de Unitario/Puente | 55,4% | 30,4% | 14,3% | | 100,0% | |
| | Total | | | Recuento | 34 | 18 | 8 | | 60 |
| | | | | % dentro de Unitario/Puente | 56,7% | 30,0% | 13,3% | | 100,0% |

Pruebas de chi-cuadrado

| Carga | | Valor | gl | Sig. asintótica (bilateral) |
|--------------|------------------------------|--------------------|----|-----------------------------|
| 1 INMEDIATA | Chi-cuadrado de Pearson | ,184 ^a | 2 | ,912 |
| | Razón de verosimilitudes | ,198 | 2 | ,906 |
| | Asociación lineal por lineal | ,057 | 1 | ,811 |
| | N de casos válidos | 59 | | |
| 2 PRECOZ | Chi-cuadrado de Pearson | 1,235 ^b | 3 | ,745 |
| | Razón de verosimilitudes | 2,245 | 3 | ,523 |
| | Asociación lineal por lineal | ,962 | 1 | ,327 |
| | N de casos válidos | 206 | | |
| 3 CIR_PREVIA | Chi-cuadrado de Pearson | ,861 ^c | 2 | ,650 |
| | Razón de verosimilitudes | 1,374 | 2 | ,503 |
| | Asociación lineal por lineal | ,825 | 1 | ,364 |
| | N de casos válidos | 60 | | |

Atorn/Cem * PE_1CM * Carga

Tabla de contingencia

| Carga | | | | PE_1CM | | | | Total | |
|--------------|-----------|---------------|-----------------------|-----------------------|-------|-------|------|--------|--------|
| | | | | 0 | 1 | 2 | 3 | | |
| 1 INMEDIATA | Atorn/Cem | 1 ATORNILLADA | Recuento | 90 | 6 | | | 96 | |
| | | | % dentro de Atorn/Cem | 93,8% | 6,3% | | | 100,0% | |
| | | 2 CEMENTADA | Recuento | 6 | 1 | | | 7 | |
| | | | % dentro de Atorn/Cem | 85,7% | 14,3% | | | 100,0% | |
| | Total | | | Recuento | 96 | 7 | | | 103 |
| | | | | % dentro de Atorn/Cem | 93,2% | 6,8% | | | 100,0% |
| 2 PRECOZ | Atorn/Cem | 1 ATORNILLADA | Recuento | 309 | 20 | 14 | 5 | 348 | |
| | | | % dentro de Atorn/Cem | 88,8% | 5,7% | 4,0% | 1,4% | 100,0% | |
| | | 2 CEMENTADA | Recuento | 17 | 0 | 0 | 0 | 17 | |
| | | | % dentro de Atorn/Cem | 100,0% | ,0% | ,0% | ,0% | 100,0% | |
| | Total | | | Recuento | 326 | 20 | 14 | 5 | 365 |
| | | | | % dentro de Atorn/Cem | 89,3% | 5,5% | 3,8% | 1,4% | 100,0% |
| 3 CIR_PREVIA | Atorn/Cem | 1 ATORNILLADA | Recuento | 85 | 14 | 3 | 1 | 103 | |
| | | | % dentro de Atorn/Cem | 82,5% | 13,6% | 2,9% | 1,0% | 100,0% | |
| | Total | | | Recuento | 85 | 14 | 3 | 1 | 103 |
| | | | | % dentro de Atorn/Cem | 82,5% | 13,6% | 2,9% | 1,0% | 100,0% |

IX.- Anexo estadístico

Pruebas de chi-cuadrado

| Carga | | Valor | gl | Sig. asintótica (bilateral) | Sig. exacta (bilateral) | Sig. exacta (unilateral) |
|--------------|---|--------------------|----|-----------------------------|-------------------------|--------------------------|
| 1 INMEDIATA | Chi-cuadrado de Pearson | ,665 ^a | 1 | ,415 | | |
| | Corrección por continuidad ^b | ,001 | 1 | ,970 | | |
| | Razón de verosimilitudes | ,527 | 1 | ,468 | | |
| | Estadístico exacto de Fisher | | | | ,398 | ,398 |
| | Asociación lineal por lineal | ,659 | 1 | ,417 | | |
| | N de casos válidos | 103 | | | | |
| 2 PRECOZ | Chi-cuadrado de Pearson | 2,133 ^c | 3 | ,545 | | |
| | Razón de verosimilitudes | 3,940 | 3 | ,268 | | |
| | Asociación lineal por lineal | 1,756 | 1 | ,185 | | |
| | N de casos válidos | 365 | | | | |
| 3 CIR_PREVIA | Chi-cuadrado de Pearson | , ^d | | | | |
| | N de casos válidos | 103 | | | | |

Atorn/Cem * PE_1CD * Carga

Tabla de contingencia

| Carga | | | | PE_1CD | | | | Total | |
|--------------|-----------|---------------|-----------------------|-----------------------|-------|-------|------|--------|--------|
| | | | | 0 | 1 | 2 | 3 | | |
| 1 INMEDIATA | Atorn/Cem | 1 ATORNILLADA | Recuento | 90 | 5 | 1 | | 96 | |
| | | | % dentro de Atorn/Cem | 93,8% | 5,2% | 1,0% | | 100,0% | |
| | | 2 CEMENTADA | Recuento | 5 | 1 | 1 | | 7 | |
| | | | % dentro de Atorn/Cem | 71,4% | 14,3% | 14,3% | | 100,0% | |
| | Total | | | Recuento | 95 | 6 | 2 | | 103 |
| | | | | % dentro de Atorn/Cem | 92,2% | 5,8% | 1,9% | | 100,0% |
| | 2 PRECOZ | Atorn/Cem | 1 ATORNILLADA | Recuento | 310 | 26 | 9 | 3 | 348 |
| | | | | % dentro de Atorn/Cem | 89,1% | 7,5% | 2,6% | ,9% | 100,0% |
| | | 2 CEMENTADA | Recuento | 17 | 0 | 0 | 0 | 17 | |
| | | | % dentro de Atorn/Cem | 100,0% | ,0% | ,0% | ,0% | 100,0% | |
| Total | | | | Recuento | 327 | 26 | 9 | 3 | 365 |
| | | | | % dentro de Atorn/Cem | 89,6% | 7,1% | 2,5% | ,8% | 100,0% |
| 3 CIR_PREVIA | | Atorn/Cem | 1 ATORNILLADA | Recuento | 82 | 18 | 1 | 2 | 103 |
| | | | | % dentro de Atorn/Cem | 79,6% | 17,5% | 1,0% | 1,9% | 100,0% |
| | Total | | | Recuento | 82 | 18 | 1 | 2 | 103 |
| | | | | % dentro de Atorn/Cem | 79,6% | 17,5% | 1,0% | 1,9% | 100,0% |

IX.- Anexo estadístico

Pruebas de chi-cuadrado

| Carga | | Valor | gl | Sig. asintótica (bilateral) |
|--------------|------------------------------|--------------------|----|-----------------------------|
| 1 INMEDIATA | Chi-cuadrado de Pearson | 7,169 ^a | 2 | ,028 |
| | Razón de verosimilitudes | 3,801 | 2 | ,150 |
| | Asociación lineal por lineal | 6,461 | 1 | ,011 |
| | N de casos válidos | 103 | | |
| 2 PRECOZ | Chi-cuadrado de Pearson | 2,072 ^b | 3 | ,558 |
| | Razón de verosimilitudes | 3,833 | 3 | ,280 |
| | Asociación lineal por lineal | 1,683 | 1 | ,195 |
| | N de casos válidos | 365 | | |
| 3 CIR_PREVIA | Chi-cuadrado de Pearson | . ^c | | |
| | N de casos válidos | 103 | | |

Atorn/Cem * PE_2CM * Carga

Tabla de contingencia

| Carga | | | | PE_2CM | | | | | |
|--------------|-----------|---------------|-----------------------|-----------------------|-------|-------|------|--------|--------|
| | | | | 0 | 1 | 2 | 3 | Total | |
| 1 INMEDIATA | Atorn/Cem | 1 ATORNILLADA | Recuento | 75 | 10 | 2 | | 87 | |
| | | | % dentro de Atorn/Cem | 86,2% | 11,5% | 2,3% | | 100,0% | |
| | | 2 CEMENTADA | Recuento | 5 | 1 | 1 | | 7 | |
| | | | % dentro de Atorn/Cem | 71,4% | 14,3% | 14,3% | | 100,0% | |
| | Total | | | Recuento | 80 | 11 | 3 | | 94 |
| | | | | % dentro de Atorn/Cem | 85,1% | 11,7% | 3,2% | | 100,0% |
| 2 PRECOZ | Atorn/Cem | 1 ATORNILLADA | Recuento | 231 | 34 | 12 | 2 | 279 | |
| | | | % dentro de Atorn/Cem | 82,8% | 12,2% | 4,3% | ,7% | 100,0% | |
| | | 2 CEMENTADA | Recuento | 9 | 1 | 0 | 0 | 10 | |
| | | | % dentro de Atorn/Cem | 90,0% | 10,0% | ,0% | ,0% | 100,0% | |
| | Total | | | Recuento | 240 | 35 | 12 | 2 | 289 |
| | | | | % dentro de Atorn/Cem | 83,0% | 12,1% | 4,2% | ,7% | 100,0% |
| 3 CIR_PREVIA | Atorn/Cem | 1 ATORNILLADA | Recuento | 54 | 29 | 7 | 1 | 91 | |
| | | | % dentro de Atorn/Cem | 59,3% | 31,9% | 7,7% | 1,1% | 100,0% | |
| | Total | | | Recuento | 54 | 29 | 7 | 1 | 91 |
| | | | | % dentro de Atorn/Cem | 59,3% | 31,9% | 7,7% | 1,1% | 100,0% |

Pruebas de chi-cuadrado

| Carga | | Valor | gl | Sig. asintótica (bilateral) |
|--------------|------------------------------|--------------------|----|-----------------------------|
| 1 INMEDIATA | Chi-cuadrado de Pearson | 3,126 ^a | 2 | ,209 |
| | Razón de verosimilitudes | 1,901 | 2 | ,387 |
| | Asociación lineal por lineal | 2,166 | 1 | ,141 |
| | N de casos válidos | 94 | | |
| 2 PRECOZ | Chi-cuadrado de Pearson | ,600 ^b | 3 | ,896 |
| | Razón de verosimilitudes | 1,085 | 3 | ,781 |
| | Asociación lineal por lineal | ,539 | 1 | ,463 |
| | N de casos válidos | 289 | | |
| 3 CIR_PREVIA | Chi-cuadrado de Pearson | , ^c | | |
| | N de casos válidos | 91 | | |

IX.- Anexo estadístico

Atorn/Cem * PE_2CD * Carga Tabla de contingencia

| Carga | | | | PE_2CD | | | | | |
|--------------|-----------|---------------|-----------------------|-----------------------|-------|-------|------|--------|--------|
| | | | | 0 | 1 | 2 | 3 | Total | |
| 1 INMEDIATA | Atorn/Cem | 1 ATORNILLADA | Recuento | 77 | 7 | 3 | | 87 | |
| | | | % dentro de Atorn/Cem | 88,5% | 8,0% | 3,4% | | 100,0% | |
| | | 2 CEMENTADA | Recuento | 4 | 2 | 1 | | 7 | |
| | | | % dentro de Atorn/Cem | 57,1% | 28,6% | 14,3% | | 100,0% | |
| | Total | | | Recuento | 81 | 9 | 4 | | 94 |
| | | | | % dentro de Atorn/Cem | 86,2% | 9,6% | 4,3% | | 100,0% |
| 2 PRECOZ | Atorn/Cem | 1 ATORNILLADA | Recuento | 232 | 31 | 13 | 3 | 279 | |
| | | | % dentro de Atorn/Cem | 83,2% | 11,1% | 4,7% | 1,1% | 100,0% | |
| | | 2 CEMENTADA | Recuento | 8 | 2 | 0 | 0 | 10 | |
| | | | % dentro de Atorn/Cem | 80,0% | 20,0% | ,0% | ,0% | 100,0% | |
| | Total | | | Recuento | 240 | 33 | 13 | 3 | 289 |
| | | | | % dentro de Atorn/Cem | 83,0% | 11,4% | 4,5% | 1,0% | 100,0% |
| 3 CIR_PREVIA | Atorn/Cem | 1 ATORNILLADA | Recuento | 52 | 32 | 7 | | 91 | |
| | | | % dentro de Atorn/Cem | 57,1% | 35,2% | 7,7% | | 100,0% | |
| | Total | | | Recuento | 52 | 32 | 7 | | 91 |
| | | | | % dentro de Atorn/Cem | 57,1% | 35,2% | 7,7% | | 100,0% |

Pruebas de chi-cuadrado

| Carga | | Valor | gl | Sig. asintótica (bilateral) |
|--------------|------------------------------|--------------------|----|-----------------------------|
| 1 INMEDIATA | Chi-cuadrado de Pearson | 5,378 ^a | 2 | ,068 |
| | Razón de verosimilitudes | 3,931 | 2 | ,140 |
| | Asociación lineal por lineal | 4,894 | 1 | ,027 |
| | N de casos válidos | 94 | | |
| 2 PRECOZ | Chi-cuadrado de Pearson | 1,253 ^b | 3 | ,740 |
| | Razón de verosimilitudes | 1,688 | 3 | ,640 |
| | Asociación lineal por lineal | ,039 | 1 | ,844 |
| | N de casos válidos | 289 | | |
| 3 CIR_PREVIA | Chi-cuadrado de Pearson | . ^c | | |
| | N de casos válidos | 91 | | |

Atorn/Cem * PE_3CM * Carga

Tabla de contingencia

| Carga | | | | PE_3CM | | | | Total | |
|--------------|-----------|---------------|-----------------------|-----------------------|-------|-------|-------|--------|--------|
| | | | | 0 | 1 | 2 | 3 | | |
| 1 INMEDIATA | Atorn/Cem | 1 ATORNILLADA | Recuento | 47 | 8 | 2 | | 57 | |
| | | | % dentro de Atorn/Cem | 82,5% | 14,0% | 3,5% | | 100,0% | |
| | | 2 CEMENTADA | Recuento | 0 | 1 | 1 | | 2 | |
| | | | % dentro de Atorn/Cem | ,0% | 50,0% | 50,0% | | 100,0% | |
| | Total | | | Recuento | 47 | 9 | 3 | | 59 |
| | | | | % dentro de Atorn/Cem | 79,7% | 15,3% | 5,1% | | 100,0% |
| 2 PRECOZ | Atorn/Cem | 1 ATORNILLADA | Recuento | 155 | 21 | 7 | 3 | 186 | |
| | | | % dentro de Atorn/Cem | 83,3% | 11,3% | 3,8% | 1,6% | 100,0% | |
| | | 2 CEMENTADA | Recuento | 6 | 0 | 1 | 0 | 7 | |
| | | | % dentro de Atorn/Cem | 85,7% | ,0% | 14,3% | ,0% | 100,0% | |
| | Total | | | Recuento | 161 | 21 | 8 | 3 | 193 |
| | | | | % dentro de Atorn/Cem | 83,4% | 10,9% | 4,1% | 1,6% | 100,0% |
| 3 CIR_PREVIA | Atorn/Cem | 1 ATORNILLADA | Recuento | 33 | 18 | 8 | 1 | 60 | |
| | | | % dentro de Atorn/Cem | 55,0% | 30,0% | 13,3% | 1,7% | 100,0% | |
| | Total | | | Recuento | 33 | 18 | 8 | 1 | 60 |
| | | | | % dentro de Atorn/Cem | 55,0% | 30,0% | 13,3% | 1,7% | 100,0% |

Pruebas de chi-cuadrado

| Carga | | Valor | gl | Sig. asintótica (bilateral) |
|--------------|------------------------------|---------------------|----|-----------------------------|
| 1 INMEDIATA | Chi-cuadrado de Pearson | 11,501 ^a | 2 | ,003 |
| | Razón de verosimilitudes | 7,371 | 2 | ,025 |
| | Asociación lineal por lineal | 10,842 | 1 | ,001 |
| | N de casos válidos | 59 | | |
| 2 PRECOZ | Chi-cuadrado de Pearson | 2,710 ^b | 3 | ,439 |
| | Razón de verosimilitudes | 2,900 | 3 | ,407 |
| | Asociación lineal por lineal | ,045 | 1 | ,831 |
| | N de casos válidos | 193 | | |
| 3 CIR_PREVIA | Chi-cuadrado de Pearson | . ^c | | |
| | N de casos válidos | 60 | | |

Atorn/Cem * PE_3CD * Carga

Tabla de contingencia

| Carga | | | | PE_3CD | | | | Total | |
|--------------|-----------|---------------|-----------------------|-----------------------|-------|-------|------|--------|--------|
| | | | | 0 | 1 | 2 | 3 | | |
| 1 INMEDIATA | Atorn/Cem | 1 ATORNILLADA | Recuento | 47 | 6 | 4 | | 57 | |
| | | | % dentro de Atorn/Cem | 82,5% | 10,5% | 7,0% | | 100,0% | |
| | | 2 CEMENTADA | Recuento | 0 | 1 | 1 | | 2 | |
| | | | % dentro de Atorn/Cem | ,0% | 50,0% | 50,0% | | 100,0% | |
| | Total | | | Recuento | 47 | 7 | 5 | | 59 |
| | | | | % dentro de Atorn/Cem | 79,7% | 11,9% | 8,5% | | 100,0% |
| 2 PRECOZ | Atorn/Cem | 1 ATORNILLADA | Recuento | 157 | 22 | 4 | 3 | 186 | |
| | | | % dentro de Atorn/Cem | 84,4% | 11,8% | 2,2% | 1,6% | 100,0% | |
| | | 2 CEMENTADA | Recuento | 6 | 1 | 0 | 0 | 7 | |
| | | | % dentro de Atorn/Cem | 85,7% | 14,3% | ,0% | ,0% | 100,0% | |
| | Total | | | Recuento | 163 | 23 | 4 | 3 | 193 |
| | | | | % dentro de Atorn/Cem | 84,5% | 11,9% | 2,1% | 1,6% | 100,0% |
| 3 CIR_PREVIA | Atorn/Cem | 1 ATORNILLADA | Recuento | 34 | 18 | 8 | | 60 | |
| | | | % dentro de Atorn/Cem | 56,7% | 30,0% | 13,3% | | 100,0% | |
| | Total | | | Recuento | 34 | 18 | 8 | | 60 |
| | | | % dentro de Atorn/Cem | 56,7% | 30,0% | 13,3% | | 100,0% | |

IX.- Anexo estadístico

Pruebas de chi-cuadrado

| Carga | | Valor | gl | Sig. asintótica (bilateral) |
|--------------|------------------------------|--------------------|----|-----------------------------|
| 1 INMEDIATA | Chi-cuadrado de Pearson | 8,399 ^a | 2 | ,015 |
| | Razón de verosimilitudes | 6,723 | 2 | ,035 |
| | Asociación lineal por lineal | 7,978 | 1 | ,005 |
| | N de casos válidos | 59 | | |
| 2 PRECOZ | Chi-cuadrado de Pearson | ,299 ^b | 3 | ,960 |
| | Razón de verosimilitudes | ,551 | 3 | ,908 |
| | Asociación lineal por lineal | ,100 | 1 | ,752 |
| | N de casos válidos | 193 | | |
| 3 CIR_PREVIA | Chi-cuadrado de Pearson | . ^c | | |
| | N de casos válidos | 60 | | |

C_Clínicos * PE_1CM * Carga

Tabla de contingencia

| Carga | | | | PE_1CM | | | | Total |
|--------------|------------|----------------------|------------------------|--------|-------|-------|-------|--------|
| | | | | 0 | 1 | 2 | 3 | |
| 3 CIR_PREVIA | C_Clínicos | 2 ELEVA+BIOMAT+HUESO | Recuento | 12 | 1 | 0 | 0 | 13 |
| | | | % dentro de C_Clínicos | 92,3% | 7,7% | ,0% | ,0% | 100,0% |
| | | 3 ELEVA+HUESO | Recuento | 17 | 3 | 1 | 1 | 22 |
| | | | % dentro de C_Clínicos | 77,3% | 13,6% | 4,5% | 4,5% | 100,0% |
| | | 4 ONLAY LATERAL | Recuento | 24 | 1 | 0 | 1 | 26 |
| | | | % dentro de C_Clínicos | 92,3% | 3,8% | ,0% | 3,8% | 100,0% |
| | | 5 ONLAY VERTICAL | Recuento | 17 | 4 | 1 | 1 | 23 |
| | | | % dentro de C_Clínicos | 73,9% | 17,4% | 4,3% | 4,3% | 100,0% |
| | | 6 DISTRACCION OSEA | Recuento | 3 | 3 | 1 | 1 | 8 |
| | | | % dentro de C_Clínicos | 37,5% | 37,5% | 12,5% | 12,5% | 100,0% |
| | | 7 LATERAL NERVIO | Recuento | 6 | 0 | 0 | 0 | 6 |
| | | | % dentro de C_Clínicos | 100,0% | ,0% | ,0% | ,0% | 100,0% |
| | | 8 INJERTO OSEO | Recuento | 22 | 2 | 1 | 0 | 25 |
| | | | % dentro de C_Clínicos | 88,0% | 8,0% | 4,0% | ,0% | 100,0% |
| | | 9 MEMBRANA+HUESO | Recuento | 17 | 1 | 0 | 0 | 18 |
| | | | % dentro de C_Clínicos | 94,4% | 5,6% | ,0% | ,0% | 100,0% |
| Total | | | Recuento | 118 | 15 | 4 | 4 | 141 |
| | | | % dentro de C_Clínicos | 83,7% | 10,6% | 2,8% | 2,8% | 100,0% |

IX.- Anexo estadístico

Pruebas de chi-cuadrado

| Carga | | Valor | gl | Sig. asintótica (bilateral) |
|--------------|------------------------------|---------------------|----|-----------------------------|
| 3 CIR_PREVIA | Chi-cuadrado de Pearson | 22,170 ^a | 21 | ,390 |
| | Razón de verosimilitudes | 22,446 | 21 | ,374 |
| | Asociación lineal por lineal | ,573 | 1 | ,449 |
| | N de casos válidos | 141 | | |

C_Clinicos * P_1CD * Carga Tabla de contingencia

| Carga | | | | PE_1CD | | | | Total |
|--------------|------------|----------------------|------------------------|--------|-------|------|-------|--------|
| | | | | 0 | 1 | 2 | 3 | |
| 3 CIR_PREVIA | C_Clinicos | 2 ELEVA+BIOMAT+HUESO | Recuento | 9 | 4 | 0 | 0 | 13 |
| | | | % dentro de C_Clinicos | 69,2% | 30,8% | ,0% | ,0% | 100,0% |
| | | 3 ELEVA+HUESO | Recuento | 15 | 6 | 0 | 1 | 22 |
| | | | % dentro de C_Clinicos | 68,2% | 27,3% | ,0% | 4,5% | 100,0% |
| | | 4 ONLAY LATERAL | Recuento | 24 | 0 | 1 | 1 | 26 |
| | | | % dentro de C_Clinicos | 92,3% | ,0% | 3,8% | 3,8% | 100,0% |
| | | 5 ONLAY VERTICAL | Recuento | 18 | 3 | 1 | 1 | 23 |
| | | | % dentro de C_Clinicos | 78,3% | 13,0% | 4,3% | 4,3% | 100,0% |
| | | 6 DISTRACCION OSEA | Recuento | 3 | 3 | 0 | 2 | 8 |
| | | | % dentro de C_Clinicos | 37,5% | 37,5% | ,0% | 25,0% | 100,0% |
| | | 7 LATERAL NERVIO | Recuento | 6 | 0 | 0 | 0 | 6 |
| | | | % dentro de C_Clinicos | 100,0% | ,0% | ,0% | ,0% | 100,0% |
| | | 8 INJERTO OSEO | Recuento | 22 | 3 | 0 | 0 | 25 |
| | | | % dentro de C_Clinicos | 88,0% | 12,0% | ,0% | ,0% | 100,0% |
| | | 9 MEMBRANA+HUESO | Recuento | 18 | 0 | 0 | 0 | 18 |
| | | | % dentro de C_Clinicos | 100,0% | ,0% | ,0% | ,0% | 100,0% |
| Total | | | Recuento | 115 | 19 | 2 | 5 | 141 |

Pruebas de chi-cuadrado

| Carga | Valor | gl | Sig. asintótica (bilateral) | | | | | |
|--------------|------------------------------|---------------------|-----------------------------|-------|-------|------|------|--------|
| 3 CIR_PREVIA | Chi-cuadrado de Pearson | 22,170 ^a | 21 | ,390 | | | | |
| | Razón de verosimilitudes | 22,446 | 21 | ,374 | | | | |
| | Asociación lineal por lineal | ,573 | 1 | ,449 | | | | |
| | | | % dentro de C_Clinicos | 81,6% | 13,5% | 1,4% | 3,5% | 100,0% |

Pruebas de chi-cuadrado

| Carga | Valor | gl | Sig. asintótica (bilateral) | |
|--------------|------------------------------|---------------------|-----------------------------|------|
| 3 CIR_PREVIA | Chi-cuadrado de Pearson | 36,826 ^a | 21 | ,018 |
| | Razón de verosimilitudes | 38,025 | 21 | ,013 |
| | Asociación lineal por lineal | 3,209 | 1 | ,073 |
| | N de casos válidos | 141 | | |

C_Clinicos * PE_2CM * Carga Tabla de contingencia

| Carga | PE_2CM | | | | Total | |
|--|------------------------|-------|--------|-------|-------|--------|
| | 0 | 1 | 2 | 3 | | |
| 3 CIR_PREVIA C_Clinicos 2 ELEVA+BIOMAT+HUESO | Recuento | 10 | 1 | 0 | 0 | 11 |
| | % dentro de C_Clinicos | 90,9% | 9,1% | ,0% | ,0% | 100,0% |
| 3 ELEVA+HUESO | Recuento | 9 | 7 | 2 | 1 | 19 |
| | % dentro de C_Clinicos | 47,4% | 36,8% | 10,5% | 5,3% | 100,0% |
| 4 ONLAY LATERAL | Recuento | 19 | 1 | 1 | 1 | 22 |
| | % dentro de C_Clinicos | 86,4% | 4,5% | 4,5% | 4,5% | 100,0% |
| 5 ONLAY VERTICAL | Recuento | 15 | 3 | 2 | 0 | 20 |
| | % dentro de C_Clinicos | 75,0% | 15,0% | 10,0% | ,0% | 100,0% |
| 6 DISTRACCION OSEA | Recuento | 0 | 6 | 0 | 0 | 6 |
| | % dentro de C_Clinicos | ,0% | 100,0% | ,0% | ,0% | 100,0% |
| 7 LATERAL NERVIO | Recuento | 3 | 3 | 0 | 0 | 6 |

IX.- Anexo estadístico

| | % dentro de C_Clinicos | 50,0% | 50,0% | ,0% | ,0% | 100,0% |
|------------------|------------------------|-------|-------|-------|------|--------|
| 8 INJERTO OSEO | Recuento | 18 | 4 | 2 | 1 | 25 |
| | % dentro de C_Clinicos | 72,0% | 16,0% | 8,0% | 4,0% | 100,0% |
| 9 MEMBRANA+HUESO | Recuento | 7 | 6 | 4 | 1 | 18 |
| | % dentro de C_Clinicos | 38,9% | 33,3% | 22,2% | 5,6% | 100,0% |
| Total | Recuento | 81 | 31 | 11 | 4 | 127 |
| | % dentro de C_Clinicos | 63,8% | 24,4% | 8,7% | 3,1% | 100,0% |

Pruebas de chi-cuadrado

| Carga | Valor | gl | Sig. asintótica (bilateral) | |
|--------------|------------------------------|---------------------|-----------------------------|------|
| 3 CIR_PREVIA | Chi-cuadrado de Pearson | 42,276 ^a | 21 | ,004 |
| | Razón de verosimilitudes | 43,841 | 21 | ,002 |
| | Asociación lineal por lineal | 3,553 | 1 | ,059 |
| | N de casos válidos | 127 | | |

C_Clinicos * PE_2CD * Carga Tabla de contingencia

| Carga | PE_2CD | | | | Total | |
|--|------------------------|-------|--------|-------|-------|--------|
| | 0 | 1 | 2 | 3 | | |
| 3 CIR_PREVIA C_Clinicos 2 ELEVA+BIOMAT+HUESO | Recuento | 7 | 4 | 0 | 0 | 11 |
| | % dentro de C_Clinicos | 63,6% | 36,4% | ,0% | ,0% | 100,0% |
| 3 ELEVA+HUESO | Recuento | 8 | 6 | 4 | 1 | 19 |
| | % dentro de C_Clinicos | 42,1% | 31,6% | 21,1% | 5,3% | 100,0% |
| 4 ONLAY LATERAL | Recuento | 20 | 0 | 1 | 1 | 22 |
| | % dentro de C_Clinicos | 90,9% | ,0% | 4,5% | 4,5% | 100,0% |
| 5 ONLAY VERTICAL | Recuento | 15 | 4 | 1 | 0 | 20 |
| | % dentro de C_Clinicos | 75,0% | 20,0% | 5,0% | ,0% | 100,0% |
| 6 DISTRACCION OSEA | Recuento | 0 | 6 | 0 | 0 | 6 |
| | % dentro de C_Clinicos | ,0% | 100,0% | ,0% | ,0% | 100,0% |

IX.- Anexo estadístico

| | | | | | | |
|------------------|------------------------|-------|-------|-------|------|--------|
| 7 LATERAL NERVIO | Recuento | 3 | 3 | 0 | 0 | 6 |
| | % dentro de C_Clínicos | 50,0% | 50,0% | ,0% | ,0% | 100,0% |
| 8 INJERTO OSEO | Recuento | 18 | 6 | 1 | 0 | 25 |
| | % dentro de C_Clínicos | 72,0% | 24,0% | 4,0% | ,0% | 100,0% |
| 9 MEMBRANA+HUESO | Recuento | 8 | 5 | 4 | 1 | 18 |
| | % dentro de C_Clínicos | 44,4% | 27,8% | 22,2% | 5,6% | 100,0% |
| Total | Recuento | 79 | 34 | 11 | 3 | 127 |
| | % dentro de C_Clínicos | 62,2% | 26,8% | 8,7% | 2,4% | 100,0% |

ruebas de chi-cuadrado

| Carga | | Valor | gl | Sig. asintótica (bilateral) |
|--------------|------------------------------|---------------------|----|-----------------------------|
| 3 CIR_PREVIA | Chi-cuadrado de Pearson | 43,986 ^a | 21 | ,002 |
| | Razón de verosimilitudes | 49,487 | 21 | ,000 |
| | Asociación lineal por lineal | ,371 | 1 | ,543 |
| | N de casos válidos | 127 | | |

C_Clínicos * PE_3CM * Carga Tabla de contingencia

| Carga | PE_3CM | | | | Total | | |
|-------------------------|------------------------|------------------------|-------|-------|-------|--------|--------|
| | 0 | 1 | 2 | 3 | | | |
| 3 CIR_PREVIA C_Clínicos | 2 ELEVA+BIOMAT+HUESO | Recuento | 4 | 1 | 0 | 0 | 5 |
| | | % dentro de C_Clínicos | 80,0% | 20,0% | ,0% | ,0% | 100,0% |
| 3 ELEVA+HUESO | Recuento | 5 | 5 | 3 | 1 | 14 | |
| | % dentro de C_Clínicos | 35,7% | 35,7% | 21,4% | 7,1% | 100,0% | |
| 4 ONLAY LATERAL | Recuento | 16 | 1 | 3 | 2 | 22 | |
| | % dentro de C_Clínicos | 72,7% | 4,5% | 13,6% | 9,1% | 100,0% | |
| 5 ONLAY VERTICAL | Recuento | 10 | 0 | 2 | 0 | 12 | |
| | % dentro de C_Clínicos | 83,3% | ,0% | 16,7% | ,0% | 100,0% | |
| 6 DISTRACCION OSEA | Recuento | 0 | 3 | 0 | 0 | 3 | |
| | | | | | | | |

IX.- Anexo estadístico

| | % dentro de C_Clinicos | ,0% | 100,0% | ,0% | ,0% | 100,0% |
|------------------|------------------------|-------|--------|-------|------|--------|
| 7 LATERAL NERVIO | Recuento | 0 | 3 | 0 | 0 | 3 |
| | % dentro de C_Clinicos | ,0% | 100,0% | ,0% | ,0% | 100,0% |
| 8 INJERTO OSEO | Recuento | 10 | 0 | 1 | 1 | 12 |
| | % dentro de C_Clinicos | 83,3% | ,0% | 8,3% | 8,3% | 100,0% |
| 9 MEMBRANA+HUESO | Recuento | 7 | 6 | 4 | 1 | 18 |
| | % dentro de C_Clinicos | 38,9% | 33,3% | 22,2% | 5,6% | 100,0% |
| Total | Recuento | 52 | 19 | 13 | 5 | 89 |
| | % dentro de C_Clinicos | 58,4% | 21,3% | 14,6% | 5,6% | 100,0% |

Pruebas de chi-cuadrado

| Carga | | Valor | gl | Sig. asintótica (bilateral) |
|--------------|------------------------------|---------------------|----|-----------------------------|
| 3 CIR_PREVIA | Chi-cuadrado de Pearson | 42,742 ^a | 21 | ,003 |
| | Razón de verosimilitudes | 46,722 | 21 | ,001 |
| | Asociación lineal por lineal | ,387 | 1 | ,534 |
| | N de casos válidos | 89 | | |

C_Clinicos * PE_3CD * Carga Tabla de contingencia

| Carga | PE_3CD | | | | Total | | |
|-------------------------|------------------------|------------------------|-------|-------|-------|--------|--------|
| | 0 | 1 | 2 | 3 | | | |
| 3 CIR_PREVIA C_Clinicos | 2 ELEVA+BIOMAT+HUESO | Recuento | 3 | 2 | 0 | 0 | 5 |
| | | % dentro de C_Clinicos | 60,0% | 40,0% | ,0% | ,0% | 100,0% |
| 3 ELEVA+HUESO | Recuento | 5 | 4 | 4 | 1 | 14 | |
| | % dentro de C_Clinicos | 35,7% | 28,6% | 28,6% | 7,1% | 100,0% | |
| 4 ONLAY LATERAL | Recuento | 18 | 1 | 2 | 1 | 22 | |
| | % dentro de C_Clinicos | 81,8% | 4,5% | 9,1% | 4,5% | 100,0% | |
| 5 ONLAY VERTICAL | Recuento | 10 | 1 | 1 | 0 | 12 | |
| | % dentro de C_Clinicos | 83,3% | 8,3% | 8,3% | ,0% | 100,0% | |

| | | | | | | |
|--------------------|------------------------|-------|--------|-------|------|--------|
| 6 DISTRACCION OSEA | Recuento | 0 | 3 | 0 | 0 | 3 |
| | % dentro de C_Clinicos | ,0% | 100,0% | ,0% | ,0% | 100,0% |
| 7 LATERAL NERVIO | Recuento | 0 | 3 | 0 | 0 | 3 |
| | % dentro de C_Clinicos | ,0% | 100,0% | ,0% | ,0% | 100,0% |
| 8 INJERTO OSEO | Recuento | 10 | 1 | 1 | 0 | 12 |
| | % dentro de C_Clinicos | 83,3% | 8,3% | 8,3% | ,0% | 100,0% |
| 9 MEMBRANA+HUESO | Recuento | 8 | 5 | 4 | 1 | 18 |
| | % dentro de C_Clinicos | 44,4% | 27,8% | 22,2% | 5,6% | 100,0% |
| Total | Recuento | 54 | 20 | 12 | 3 | 89 |
| | % dentro de C_Clinicos | 60,7% | 22,5% | 13,5% | 3,4% | 100,0% |

Pruebas de chi-cuadrado

| Carga | | Valor | gl | Sig. asintótica (bilateral) |
|--------------|------------------------------|---------------------|----|-----------------------------|
| 3 CIR_PREVIA | Chi-cuadrado de Pearson | 39,751 ^a | 21 | ,008 |
| | Razón de verosimilitudes | 39,810 | 21 | ,008 |
| | Asociación lineal por lineal | ,136 | 1 | ,712 |
| | N de casos válidos | 89 | | |

Complicaciones * PE_1CM * Carga

Pruebas de chi-cuadrado

| Carga | | Valor | gl | Sig. asintótica (bilateral) |
|-------------|------------------------------|--------------------|----|-----------------------------|
| 1 INMEDIATA | Chi-cuadrado de Pearson | 8,380 ^a | 9 | ,496 |
| | Razón de verosimilitudes | 5,369 | 9 | ,801 |
| | Asociación lineal por lineal | ,200 | 1 | ,654 |

IX.- Anexo estadístico

| | | | | |
|--------------|------------------------------|--------------------|---|------|
| | N de casos válidos | 261 | | |
| 2 PRECOZ | Chi-cuadrado de Pearson | 3,762 ^b | 9 | ,926 |
| | Razón de verosimilitudes | 4,958 | 9 | ,838 |
| | Asociación lineal por lineal | ,192 | 1 | ,661 |
| | N de casos válidos | 499 | | |
| 3 CIR_PREVIA | Chi-cuadrado de Pearson | ,597 ^c | 3 | ,897 |
| | Razón de verosimilitudes | 1,081 | 3 | ,782 |
| | Asociación lineal por lineal | ,453 | 1 | ,501 |
| | N de casos válidos | 141 | | |

Complicaciones * PE_1CD * Carga Tabla de contingencia

| Carga | | | | PE_1CD | | | | Total |
|-------------|---------------------|-------------------|----------------------------|--------|-------|-------|------|--------|
| | | | | 0 | 1 | 2 | 3 | |
| 1 INMEDIATA | Complicaciones | 0 AUSENCIA COMPLI | Recuento | 221 | 7 | 3 | 1 | 232 |
| | | | % dentro de Complicaciones | 95,3% | 3,0% | 1,3% | ,4% | 100,0% |
| | 1 COMPLI PROTESICAS | | Recuento | 11 | 0 | 0 | 0 | 11 |
| | | | % dentro de Complicaciones | 100,0% | ,0% | ,0% | ,0% | 100,0% |
| | 2 COMPLI CLINICAS | | Recuento | 1 | 1 | 1 | 0 | 3 |
| | | | % dentro de Complicaciones | 33,3% | 33,3% | 33,3% | ,0% | 100,0% |
| | 3 COMPLI PERIIMPL | | Recuento | 14 | 1 | 0 | 0 | 15 |
| | | | % dentro de Complicaciones | 93,3% | 6,7% | ,0% | ,0% | 100,0% |
| | Total | | Recuento | 247 | 9 | 4 | 1 | 261 |
| | | | % dentro de Complicaciones | 94,6% | 3,4% | 1,5% | ,4% | 100,0% |
| 2 PRECOZ | Complicaciones | 0 AUSENCIA COMPLI | Recuento | 422 | 30 | 13 | 9 | 474 |
| | | | % dentro de Complicaciones | 89,0% | 6,3% | 2,7% | 1,9% | 100,0% |
| | 1 COMPLI PROTESICAS | | Recuento | 16 | 1 | 0 | 0 | 17 |

IX.- Anexo estadístico

| | | | | | | | | |
|--------------|-------------------|----------------------------|----------------------------|-------|-------|------|--------|--------|
| | | % dentro de Complicaciones | 94,1% | 5,9% | ,0% | ,0% | 100,0% | |
| | 2 COMPLI CLINICAS | Recuento | 2 | 0 | 0 | 0 | 2 | |
| | | % dentro de Complicaciones | 100,0% | ,0% | ,0% | ,0% | 100,0% | |
| | 3 COMPLI PERIIMPL | Recuento | 5 | 1 | 0 | 0 | 6 | |
| | | % dentro de Complicaciones | 83,3% | 16,7% | ,0% | ,0% | 100,0% | |
| | Total | Recuento | 445 | 32 | 13 | 9 | 499 | |
| | | % dentro de Complicaciones | 89,2% | 6,4% | 2,6% | 1,8% | 100,0% | |
| 3 CIR_PREVIA | Complicaciones | 0 AUSENCIA COMPLI | Recuento | 112 | 19 | 2 | 5 | 138 |
| | | | % dentro de Complicaciones | 81,2% | 13,8% | 1,4% | 3,6% | 100,0% |
| | 2 COMPLI CLINICAS | Recuento | 3 | 0 | 0 | 0 | 3 | |
| | | % dentro de Complicaciones | 100,0% | ,0% | ,0% | ,0% | 100,0% | |
| | Total | Recuento | 115 | 19 | 2 | 5 | 141 | |
| | | % dentro de Complicaciones | 81,6% | 13,5% | 1,4% | 3,5% | 100,0% | |

Pruebas de chi-cuadrado

| Carga | | Valor | gl | Sig. asintótica (bilateral) |
|-------------|------------------------------|---------------------|----|-----------------------------|
| 1 INMEDIATA | Chi-cuadrado de Pearson | 30,368 ^a | 9 | ,000 |
| | Razón de verosimilitudes | 10,998 | 9 | ,276 |
| | Asociación lineal por lineal | 1,009 | 1 | ,315 |
| | N de casos válidos | 261 | | |
| 2 PRECOZ | Chi-cuadrado de Pearson | 2,382 ^b | 9 | ,984 |

IX.- Anexo estadístico

| | | | | |
|--------------|------------------------------|-------------------|---|------|
| | Razón de verosimilitudes | 3,306 | 9 | ,951 |
| | Asociación lineal por lineal | ,304 | 1 | ,581 |
| | N de casos válidos | 499 | | |
| 3 CIR_PREVIA | Chi-cuadrado de Pearson | ,693 ^c | 3 | ,875 |
| | Razón de verosimilitudes | 1,238 | 3 | ,744 |
| | Asociación lineal por lineal | ,505 | 1 | ,477 |
| | N de casos válidos | 141 | | |

Complicaciones * PE_2CM * Carga Tabla de contingencia

| Carga | PE_2CM | | | | Total | | | |
|-------------|----------------|---------------------|----------------------------|--------|-------|-------|-----|--------|
| | 0 | 1 | 2 | 3 | | | | |
| 1 INMEDIATA | Complicaciones | 0 AUSENCIA COMPLI | Recuento | 169 | 14 | 3 | 1 | 187 |
| | | | % dentro de Complicaciones | 90,4% | 7,5% | 1,6% | ,5% | 100,0% |
| | | 1 COMPLI PROTESICAS | Recuento | 9 | 1 | 0 | 0 | 10 |
| | | | % dentro de Complicaciones | 90,0% | 10,0% | ,0% | ,0% | 100,0% |
| | | 2 COMPLI CLINICAS | Recuento | 1 | 1 | 1 | 0 | 3 |
| | | | % dentro de Complicaciones | 33,3% | 33,3% | 33,3% | ,0% | 100,0% |
| | | 3 COMPLI PERIIMPL | Recuento | 10 | 0 | 0 | 0 | 10 |
| | | | % dentro de Complicaciones | 100,0% | ,0% | ,0% | ,0% | 100,0% |
| | Total | | Recuento | 189 | 16 | 4 | 1 | 210 |
| | | | % dentro de Complicaciones | 90,0% | 7,6% | 1,9% | ,5% | 100,0% |
| 2 PRECOZ | Complicaciones | 0 AUSENCIA COMPLI | Recuento | 337 | 38 | 13 | 2 | 390 |
| | | | % dentro de Complicaciones | 86,4% | 9,7% | 3,3% | ,5% | 100,0% |

IX.- Anexo estadístico

| | | | | | | | | |
|--------------|----------------|---------------------|----------------------------|--------|-------|------|------|--------|
| | | 1 COMPLI PROTESICAS | Recuento | 12 | 1 | 0 | 0 | 13 |
| | | | % dentro de Complicaciones | 92,3% | 7,7% | ,0% | ,0% | 100,0% |
| | | 3 COMPLI PERIIMPL | Recuento | 2 | 1 | 0 | 0 | 3 |
| | | | % dentro de Complicaciones | 66,7% | 33,3% | ,0% | ,0% | 100,0% |
| | Total | | Recuento | 351 | 40 | 13 | 2 | 406 |
| | | | % dentro de Complicaciones | 86,5% | 9,9% | 3,2% | ,5% | 100,0% |
| 3 CIR_PREVIA | Complicaciones | 0 AUSENCIA COMPLI | Recuento | 78 | 31 | 11 | 4 | 124 |
| | | | % dentro de Complicaciones | 62,9% | 25,0% | 8,9% | 3,2% | 100,0% |
| | | 2 COMPLI CLINICAS | Recuento | 3 | 0 | 0 | 0 | 3 |
| | | | % dentro de Complicaciones | 100,0% | ,0% | ,0% | ,0% | 100,0% |
| | Total | | Recuento | 81 | 31 | 11 | 4 | 127 |
| | | | % dentro de Complicaciones | 63,8% | 24,4% | 8,7% | 3,1% | 100,0% |

Pruebas de chi-cuadrado

| Carga | | Valor | gl | Sig. asintótica (bilateral) |
|-------------|------------------------------|---------------------|----|-----------------------------|
| 1 INMEDIATA | Chi-cuadrado de Pearson | 20,778 ^a | 9 | ,014 |
| | Razón de verosimilitudes | 9,455 | 9 | ,396 |
| | Asociación lineal por lineal | ,064 | 1 | ,800 |
| | N de casos válidos | 210 | | |
| 2 PRECOZ | Chi-cuadrado de Pearson | 2,548 ^b | 6 | ,863 |
| | Razón de verosimilitudes | 2,504 | 6 | ,868 |

IX.- Anexo estadístico

| | | | | |
|--------------|------------------------------|--------------------|---|------|
| | Asociación lineal por lineal | ,001 | 1 | ,974 |
| | N de casos válidos | 406 | | |
| 3 CIR_PREVIA | Chi-cuadrado de Pearson | 1,745 ^c | 3 | ,627 |
| | Razón de verosimilitudes | 2,740 | 3 | ,434 |
| | Asociación lineal por lineal | 1,305 | 1 | ,253 |
| | N de casos válidos | 127 | | |

Complicaciones * PE_2CD * Carga Tabla de contingencia

| Carga | | | | PE_2CD | | | | Total |
|-------------|----------------|---------------------|----------------------------|--------|-------|-------|-----|--------|
| | | | | 0 | 1 | 2 | 3 | |
| 1 INMEDIATA | Complicaciones | 0 AUSENCIA COMPLI | Recuento | 169 | 13 | 4 | 1 | 187 |
| | | | % dentro de Complicaciones | 90,4% | 7,0% | 2,1% | ,5% | 100,0% |
| | | 1 COMPLI PROTESICAS | Recuento | 10 | 0 | 0 | 0 | 10 |
| | | | % dentro de Complicaciones | 100,0% | ,0% | ,0% | ,0% | 100,0% |
| | | 2 COMPLI CLINICAS | Recuento | 1 | 1 | 1 | 0 | 3 |
| | | | % dentro de Complicaciones | 33,3% | 33,3% | 33,3% | ,0% | 100,0% |
| | | 3 COMPLI PERIIMPL | Recuento | 10 | 0 | 0 | 0 | 10 |
| | | | % dentro de Complicaciones | 100,0% | ,0% | ,0% | ,0% | 100,0% |
| Total | | | Recuento | 190 | 14 | 5 | 1 | 210 |
| | | | % dentro de Complicaciones | 90,5% | 6,7% | 2,4% | ,5% | 100,0% |

IX.- Anexo estadístico

| | | | | | | | | | |
|----------|----------------|---------------------|----------------------------|----------------------------|--------|-------|-------|--------|--------|
| 2 PRECOZ | Complicaciones | 0 AUSENCIA COMPLI | Recuento | 335 | 37 | 15 | 3 | 390 | |
| | | | % dentro de Complicaciones | 85,9% | 9,5% | 3,8% | ,8% | 100,0% | |
| | | 1 COMPLI PROTESICAS | | Recuento | 12 | 1 | 0 | 0 | 13 |
| | | | | % dentro de Complicaciones | 92,3% | 7,7% | ,0% | ,0% | 100,0% |
| | | 3 COMPLI PERIIMPL | | Recuento | 2 | 0 | 1 | 0 | 3 |
| | | | | % dentro de Complicaciones | 66,7% | ,0% | 33,3% | ,0% | 100,0% |
| | Total | | | Recuento | 349 | 38 | 16 | 3 | 406 |
| | | | | % dentro de Complicaciones | 86,0% | 9,4% | 3,9% | ,7% | 100,0% |
| | 3 CIR_PREVIA | Complicaciones | 0 AUSENCIA COMPLI | Recuento | 76 | 34 | 11 | 3 | 124 |
| | | | | % dentro de Complicaciones | 61,3% | 27,4% | 8,9% | 2,4% | 100,0% |
| | | 2 COMPLI CLINICAS | | Recuento | 3 | 0 | 0 | 0 | 3 |
| | | | | % dentro de Complicaciones | 100,0% | ,0% | ,0% | ,0% | 100,0% |
| Total | | | | Recuento | 79 | 34 | 11 | 3 | 127 |
| | | | | % dentro de Complicaciones | 62,2% | 26,8% | 8,7% | 2,4% | 100,0% |

Pruebas de chi-cuadrado

| Carga | | Valor | gl | Sig. asintótica (bilateral) |
|-------------|------------------------------|---------------------|----|-----------------------------|
| 1 INMEDIATA | Chi-cuadrado de Pearson | 18,556 ^a | 9 | ,029 |
| | Razón de verosimilitudes | 10,587 | 9 | ,305 |
| | Asociación lineal por lineal | ,000 | 1 | ,984 |
| | N de casos válidos | 210 | | |
| 2 PRECOZ | Chi-cuadrado de Pearson | 7,738 ^b | 6 | ,258 |
| | Razón de verosimilitudes | 4,592 | 6 | ,597 |
| | Asociación lineal por lineal | ,679 | 1 | ,410 |

IX.- Anexo estadístico

| | | | | |
|--------------|------------------------------|--------------------|---|------|
| | N de casos válidos | 406 | | |
| 3 CIR_PREVIA | Chi-cuadrado de Pearson | 1,867 ^c | 3 | ,600 |
| | Razón de verosimilitudes | 2,892 | 3 | ,409 |
| | Asociación lineal por lineal | 1,414 | 1 | ,234 |
| | N de casos válidos | 127 | | |

Complicaciones * PE_3CM * Carga

Tabla de contingencia

| Carga | | | | PE_3CM | | | | Total |
|-------------|----------------|---------------------|----------------------------|--------|-------|-------|---|--------|
| | | | | 0 | 1 | 2 | 3 | |
| 1 INMEDIATA | Complicaciones | 0 AUSENCIA COMPLI | Recuento | 83 | 9 | 3 | | 95 |
| | | | % dentro de Complicaciones | 87,4% | 9,5% | 3,2% | | 100,0% |
| | | 1 COMPLI PROTESICAS | Recuento | 8 | 2 | 0 | | 10 |
| | | | % dentro de Complicaciones | 80,0% | 20,0% | ,0% | | 100,0% |
| | | 2 COMPLI CLINICAS | Recuento | 1 | 1 | 1 | | 3 |
| | | | % dentro de Complicaciones | 33,3% | 33,3% | 33,3% | | 100,0% |
| | | 3 COMPLI PERIIMPL | Recuento | 7 | 0 | 0 | | 7 |

IX.- Anexo estadístico

| | | | | | | | | |
|--------------|----------------|---------------------|----------------------------|--------|-------|-------|------|--------|
| | | | % dentro de Complicaciones | 100,0% | ,0% | ,0% | | 100,0% |
| | Total | | Recuento | 99 | 12 | 4 | | 115 |
| | | | % dentro de Complicaciones | 86,1% | 10,4% | 3,5% | | 100,0% |
| 2 PRECOZ | Complicaciones | 0 AUSENCIA COMPLI | Recuento | 226 | 24 | 9 | 6 | 265 |
| | | | % dentro de Complicaciones | 85,3% | 9,1% | 3,4% | 2,3% | 100,0% |
| | | 1 COMPLI PROTESICAS | Recuento | 13 | 1 | 1 | 0 | 15 |
| | | | % dentro de Complicaciones | 86,7% | 6,7% | 6,7% | ,0% | 100,0% |
| | | 3 COMPLI PERIIMPL | Recuento | 1 | 1 | 0 | 0 | 2 |
| | | | % dentro de Complicaciones | 50,0% | 50,0% | ,0% | ,0% | 100,0% |
| | Total | | Recuento | 240 | 26 | 10 | 6 | 282 |
| | | | % dentro de Complicaciones | 85,1% | 9,2% | 3,5% | 2,1% | 100,0% |
| 3 CIR_PREVIA | Complicaciones | 0 AUSENCIA COMPLI | Recuento | 52 | 19 | 13 | 5 | 89 |
| | | | % dentro de Complicaciones | 58,4% | 21,3% | 14,6% | 5,6% | 100,0% |
| | Total | | Recuento | 52 | 19 | 13 | 5 | 89 |
| | | | % dentro de Complicaciones | 58,4% | 21,3% | 14,6% | 5,6% | 100,0% |

Pruebas de chi-cuadrado

| Carga | | Valor | gl | Sig. asintótica (bilateral) |
|-------------|--------------------------|---------------------|----|-----------------------------|
| 1 INMEDIATA | Chi-cuadrado de Pearson | 12,694 ^a | 6 | ,048 |
| | Razón de verosimilitudes | 8,605 | 6 | ,197 |

IX.- Anexo estadístico

| | | | | |
|--------------|------------------------------|--------------------|---|------|
| | Asociación lineal por lineal | ,156 | 1 | ,693 |
| | N de casos válidos | 115 | | |
| 2 PRECOZ | Chi-cuadrado de Pearson | 4,901 ^b | 6 | ,557 |
| | Razón de verosimilitudes | 3,452 | 6 | ,750 |
| | Asociación lineal por lineal | ,129 | 1 | ,719 |
| | N de casos válidos | 282 | | |
| 3 CIR_PREVIA | Chi-cuadrado de Pearson | ^c | | |
| | N de casos válidos | 89 | | |

Complicaciones * PE_3CD * Carga

Tabla de contingencia

| Carga | PE_3CD | | | | Total | | | |
|-------------|----------------|---------------------|----------------------------|-------|-------|------|--|--------|
| | 0 | 1 | 2 | 3 | | | | |
| 1 INMEDIATA | Complicaciones | 0 AUSENCIA COMPLI | Recuento | 82 | 9 | 4 | | 95 |
| | | | % dentro de Complicaciones | 86,3% | 9,5% | 4,2% | | 100,0% |
| | | 1 COMPLI PROTESICAS | Recuento | 9 | 1 | 0 | | 10 |
| | | | % dentro de Complicaciones | 90,0% | 10,0% | ,0% | | 100,0% |
| | | 2 COMPLI CLINICAS | Recuento | 1 | 1 | 1 | | 3 |

IX.- Anexo estadístico

| | | | | | | | | |
|--------------|----------------|---------------------|----------------------------|--------|-------|-------|------|--------|
| | | | % dentro de Complicaciones | 33,3% | 33,3% | 33,3% | | 100,0% |
| | | 3 COMPLI PERIIMPL | Recuento | 7 | 0 | 0 | | 7 |
| | | | % dentro de Complicaciones | 100,0% | ,0% | ,0% | | 100,0% |
| | Total | | Recuento | 99 | 11 | 5 | | 115 |
| | | | % dentro de Complicaciones | 86,1% | 9,6% | 4,3% | | 100,0% |
| 2 PRECOZ | Complicaciones | 0 AUSENCIA COMPLI | Recuento | 227 | 25 | 5 | 8 | 265 |
| | | | % dentro de Complicaciones | 85,7% | 9,4% | 1,9% | 3,0% | 100,0% |
| | | 1 COMPLI PROTESICAS | Recuento | 14 | 1 | 0 | 0 | 15 |
| | | | % dentro de Complicaciones | 93,3% | 6,7% | ,0% | ,0% | 100,0% |
| | | 3 COMPLI PERIIMPL | Recuento | 1 | 0 | 1 | 0 | 2 |
| | | | % dentro de Complicaciones | 50,0% | ,0% | 50,0% | ,0% | 100,0% |
| | Total | | Recuento | 242 | 26 | 6 | 8 | 282 |
| | | | % dentro de Complicaciones | 85,8% | 9,2% | 2,1% | 2,8% | 100,0% |
| 3 CIR_PREVIA | Complicaciones | 0 AUSENCIA COMPLI | Recuento | 54 | 20 | 12 | 3 | 89 |
| | | | % dentro de Complicaciones | 60,7% | 22,5% | 13,5% | 3,4% | 100,0% |
| | Total | | Recuento | 54 | 20 | 12 | 3 | 89 |
| | | | % dentro de Complicaciones | 60,7% | 22,5% | 13,5% | 3,4% | 100,0% |

Pruebas de chi-cuadrado

| Carga | Valor | gl | Sig. asintótica (bilateral) |
|-------|-------|----|-----------------------------|
|-------|-------|----|-----------------------------|

IX.- Anexo estadístico

| | | | | |
|--------------|------------------------------|---------------------|---|------|
| 1 INMEDIATA | Chi-cuadrado de Pearson | 10,130 ^a | 6 | ,119 |
| | Razón de verosimilitudes | 7,665 | 6 | ,264 |
| | Asociación lineal por lineal | ,003 | 1 | ,953 |
| | N de casos válidos | 115 | | |
| 2 PRECOZ | Chi-cuadrado de Pearson | 23,149 ^b | 6 | ,001 |
| | Razón de verosimilitudes | 7,056 | 6 | ,316 |
| | Asociación lineal por lineal | ,468 | 1 | ,494 |
| | N de casos válidos | 282 | | |
| 3 CIR_PREVIA | Chi-cuadrado de Pearson | ^c | | |
| | N de casos válidos | 89 | | |

OPG/Peri * PE_1CM * Carga Tabla de contingencia

| Carga | | | | PE_1CM | | | | Total |
|-------------|---------------|----------------------|----------------------|--------|------|------|--------|--------|
| | | | | 0 | 1 | 2 | 3 | |
| 1 INMEDIATA | OPG/Peri | 1 PANORA+PERI | Recuento | 196 | 6 | 0 | 0 | 202 |
| | | | % dentro de OPG/Peri | 97,0% | 3,0% | ,0% | ,0% | 100,0% |
| | 2 PANORAMICAS | Recuento | 37 | 2 | 1 | 1 | 41 | |
| | | % dentro de OPG/Peri | 90,2% | 4,9% | 2,4% | 2,4% | 100,0% | |
| | 3 PERIAPICAL | Recuento | 4 | 1 | 0 | 0 | 5 | |

IX.- Anexo estadístico

| | | | | | | | | |
|--------------|----------|---------------|----------------------|--------|-------|------|------|--------|
| | | | % dentro de OPG/Peri | 80,0% | 20,0% | ,0% | ,0% | 100,0% |
| | Total | | Recuento | 237 | 9 | 1 | 1 | 248 |
| | | | % dentro de OPG/Peri | 95,6% | 3,6% | ,4% | ,4% | 100,0% |
| 2 PRECOZ | OPG/Peri | 1 PANORA+PERI | Recuento | 338 | 20 | 13 | 7 | 378 |
| | | | % dentro de OPG/Peri | 89,4% | 5,3% | 3,4% | 1,9% | 100,0% |
| | | 2 PANORAMICAS | Recuento | 52 | 3 | 2 | 3 | 60 |
| | | | % dentro de OPG/Peri | 86,7% | 5,0% | 3,3% | 5,0% | 100,0% |
| | | 3 PERIAPICAL | Recuento | 15 | 3 | 1 | 0 | 19 |
| | | | % dentro de OPG/Peri | 78,9% | 15,8% | 5,3% | ,0% | 100,0% |
| | Total | | Recuento | 405 | 26 | 16 | 10 | 457 |
| | | | % dentro de OPG/Peri | 88,6% | 5,7% | 3,5% | 2,2% | 100,0% |
| 3 CIR_PREVIA | OPG/Peri | 1 PANORA+PERI | Recuento | 100 | 7 | 3 | 4 | 114 |
| | | | % dentro de OPG/Peri | 87,7% | 6,1% | 2,6% | 3,5% | 100,0% |
| | | 2 PANORAMICAS | Recuento | 15 | 1 | 0 | 0 | 16 |
| | | | % dentro de OPG/Peri | 93,8% | 6,3% | ,0% | ,0% | 100,0% |
| | | 3 PERIAPICAL | Recuento | 3 | 0 | 0 | 0 | 3 |
| | | | % dentro de OPG/Peri | 100,0% | ,0% | ,0% | ,0% | 100,0% |
| | Total | | Recuento | 118 | 8 | 3 | 4 | 133 |
| | | | % dentro de OPG/Peri | 88,7% | 6,0% | 2,3% | 3,0% | 100,0% |

Pruebas de chi-cuadrado

| Carga | Valor | gl | Sig. asintótica (bilateral) |
|-------|-------|----|-----------------------------|
|-------|-------|----|-----------------------------|

IX.- Anexo estadístico

| | | | | |
|--------------|------------------------------|---------------------|---|------|
| 1 INMEDIATA | Chi-cuadrado de Pearson | 14,501 ^a | 6 | ,025 |
| | Razón de verosimilitudes | 9,696 | 6 | ,138 |
| | Asociación lineal por lineal | 8,638 | 1 | ,003 |
| | N de casos válidos | 248 | | |
| 2 PRECOZ | Chi-cuadrado de Pearson | 6,772 ^b | 6 | ,342 |
| | Razón de verosimilitudes | 5,485 | 6 | ,483 |
| | Asociación lineal por lineal | 1,236 | 1 | ,266 |
| | N de casos válidos | 457 | | |
| 3 CIR_PREVIA | Chi-cuadrado de Pearson | 1,453 ^c | 6 | ,963 |
| | Razón de verosimilitudes | 2,622 | 6 | ,855 |
| | Asociación lineal por lineal | 1,159 | 1 | ,282 |
| | N de casos válidos | 133 | | |

OPG/Peri * PE_1CD * Carga Tabla de contingencia

| Carga | | | | PE_1CD | | | | Total |
|-------------|----------|---------------|----------------------|--------|------|-----|-----|--------|
| | | | | 0 | 1 | 2 | 3 | |
| 1 INMEDIATA | OPG/Peri | 1 PANORA+PERI | Recuento | 196 | 5 | 1 | 0 | 202 |
| | | | % dentro de OPG/Peri | 97,0% | 2,5% | ,5% | ,0% | 100,0% |
| | | 2 PANORAMICAS | Recuento | 36 | 1 | 3 | 1 | 41 |

IX.- Anexo estadístico

| | | | | | | | | |
|--------------|----------|---------------|----------------------|--------|--------|------|------|--------|
| | | | % dentro de OPG/Peri | 87,8% | 2,4% | 7,3% | 2,4% | 100,0% |
| | | 3 PERIAPICAL | Recuento | 5 | 0 | 0 | 0 | 5 |
| | | | % dentro de OPG/Peri | 100,0% | ,0% | ,0% | ,0% | 100,0% |
| | Total | | Recuento | 237 | 6 | 4 | 1 | 248 |
| | | | % dentro de OPG/Peri | 95,6% | 2,4% | 1,6% | ,4% | 100,0% |
| 2 PRECOZ | OPG/Peri | 1 PANORA+PERI | Recuento | 339 | 21 | 11 | 7 | 378 |
| | | | % dentro de OPG/Peri | 89,7% | 5,6% | 2,9% | 1,9% | 100,0% |
| | | 2 PANORAMICAS | Recuento | 52 | 5 | 2 | 1 | 60 |
| | | | % dentro de OPG/Peri | 86,7% | 8,3% | 3,3% | 1,7% | 100,0% |
| | | 3 PERIAPICAL | Recuento | 15 | 4 | 0 | 0 | 19 |
| | | | % dentro de OPG/Peri | 78,9% | 21,1% | ,0% | ,0% | 100,0% |
| | Total | | Recuento | 406 | 30 | 13 | 8 | 457 |
| | | | % dentro de OPG/Peri | 88,8% | 6,6% | 2,8% | 1,8% | 100,0% |
| 3 CIR_PREVIA | OPG/Peri | 1 PANORA+PERI | Recuento | 99 | 9 | 1 | 5 | 114 |
| | | | % dentro de OPG/Peri | 86,8% | 7,9% | ,9% | 4,4% | 100,0% |
| | | 2 PANORAMICAS | Recuento | 16 | 0 | 0 | 0 | 16 |
| | | | % dentro de OPG/Peri | 100,0% | ,0% | ,0% | ,0% | 100,0% |
| | | 3 PERIAPICAL | Recuento | 0 | 3 | 0 | 0 | 3 |
| | | | % dentro de OPG/Peri | ,0% | 100,0% | ,0% | ,0% | 100,0% |
| | Total | | Recuento | 115 | 12 | 1 | 5 | 133 |
| | | | % dentro de OPG/Peri | 86,5% | 9,0% | ,8% | 3,8% | 100,0% |

Pruebas de chi-cuadrado

| Carga | | Valor | gl | Sig. asintótica (bilateral) |
|--------------|------------------------------|---------------------|----|-----------------------------|
| 1 INMEDIATA | Chi-cuadrado de Pearson | 15,403 ^a | 6 | ,017 |
| | Razón de verosimilitudes | 10,876 | 6 | ,092 |
| | Asociación lineal por lineal | 6,933 | 1 | ,008 |
| | N de casos válidos | 248 | | |
| 2 PRECOZ | Chi-cuadrado de Pearson | 8,173 ^b | 6 | ,226 |
| | Razón de verosimilitudes | 6,803 | 6 | ,339 |
| | Asociación lineal por lineal | ,229 | 1 | ,632 |
| | N de casos válidos | 457 | | |
| 3 CIR_PREVIA | Chi-cuadrado de Pearson | 33,060 ^c | 6 | ,000 |
| | Razón de verosimilitudes | 19,391 | 6 | ,004 |
| | Asociación lineal por lineal | ,143 | 1 | ,705 |
| | N de casos válidos | 133 | | |

IX.- Anexo estadístico

OPG/Peri * PE_2CM * Carga Tabla de contingencia

| Carga | | | | PE_2CM | | | | Total | |
|-------------|--------------|---------------|----------------------|----------------------|-------|-------|------|--------|--------|
| | | | | 0 | 1 | 2 | 3 | | |
| 1 INMEDIATA | OPG/Peri | 1 PANORA+PERI | Recuento | 156 | 14 | 3 | 0 | 173 | |
| | | | % dentro de OPG/Peri | 90,2% | 8,1% | 1,7% | ,0% | 100,0% | |
| | | 2 PANORAMICAS | Recuento | 29 | 2 | 1 | 1 | 33 | |
| | | | % dentro de OPG/Peri | 87,9% | 6,1% | 3,0% | 3,0% | 100,0% | |
| | Total | | | Recuento | 185 | 16 | 4 | 1 | 206 |
| | | | | % dentro de OPG/Peri | 89,8% | 7,8% | 1,9% | ,5% | 100,0% |
| 2 PRECOZ | OPG/Peri | 1 PANORA+PERI | Recuento | 286 | 34 | 9 | 2 | 331 | |
| | | | % dentro de OPG/Peri | 86,4% | 10,3% | 2,7% | ,6% | 100,0% | |
| | | 2 PANORAMICAS | Recuento | 41 | 4 | 3 | 0 | 48 | |
| | | | % dentro de OPG/Peri | 85,4% | 8,3% | 6,3% | ,0% | 100,0% | |
| | | 3 PERIAPICAL | Recuento | 6 | 1 | 1 | 0 | 8 | |
| | | | % dentro de OPG/Peri | 75,0% | 12,5% | 12,5% | ,0% | 100,0% | |
| | Total | | | Recuento | 333 | 39 | 13 | 2 | 387 |
| | | | | % dentro de OPG/Peri | 86,0% | 10,1% | 3,4% | ,5% | 100,0% |
| | 3 CIR_PREVIA | OPG/Peri | 1 PANORA+PERI | Recuento | 66 | 23 | 8 | 4 | 101 |
| | | | | % dentro de OPG/Peri | 65,3% | 22,8% | 7,9% | 4,0% | 100,0% |
| | | | 2 PANORAMICAS | Recuento | 12 | 3 | 1 | 0 | 16 |
| | | | | % dentro de OPG/Peri | 75,0% | 18,8% | 6,3% | ,0% | 100,0% |
| | | 3 PERIAPICAL | Recuento | 3 | 0 | 0 | 0 | 3 | |
| | | | % dentro de OPG/Peri | 100,0% | ,0% | ,0% | ,0% | 100,0% | |
| Total | | | | Recuento | 81 | 26 | 9 | 4 | 120 |
| | | | | % dentro de OPG/Peri | 67,5% | 21,7% | 7,5% | 3,3% | 100,0% |

Pruebas de chi-cuadrado

| Carga | | Valor | gl | Sig. asintótica (bilateral) |
|--------------|------------------------------|--------------------|----|-----------------------------|
| 1 INMEDIATA | Chi-cuadrado de Pearson | 5,646 ^a | 3 | ,130 |
| | Razón de verosimilitudes | 4,048 | 3 | ,256 |
| | Asociación lineal por lineal | 1,413 | 1 | ,235 |
| | N de casos válidos | 206 | | |
| 2 PRECOZ | Chi-cuadrado de Pearson | 4,251 ^b | 6 | ,643 |
| | Razón de verosimilitudes | 3,509 | 6 | ,743 |
| | Asociación lineal por lineal | 1,051 | 1 | ,305 |
| | N de casos válidos | 387 | | |
| 3 CIR_PREVIA | Chi-cuadrado de Pearson | 2,477 ^c | 6 | ,871 |
| | Razón de verosimilitudes | 3,917 | 6 | ,688 |
| | Asociación lineal por lineal | 1,916 | 1 | ,166 |
| | N de casos válidos | 120 | | |

OPG/Peri * PE_2CD * Carga. Tabla de contingencia

| Carga | | | | PE_2CD | | | | Total | |
|--------------|----------|---------------|----------------------|----------------------|--------|------|------|--------|--------|
| | | | | 0 | 1 | 2 | 3 | | |
| 1 INMEDIATA | OPG/Peri | 1 PANORA+PERI | Recuento | 158 | 11 | 4 | 0 | 173 | |
| | | | % dentro de OPG/Peri | 91,3% | 6,4% | 2,3% | ,0% | 100,0% | |
| | | 2 PANORAMICAS | Recuento | 29 | 2 | 1 | 1 | 33 | |
| | | | % dentro de OPG/Peri | 87,9% | 6,1% | 3,0% | 3,0% | 100,0% | |
| | Total | | Recuento | 187 | 13 | 5 | 1 | 206 | |
| | | | % dentro de OPG/Peri | 90,8% | 6,3% | 2,4% | ,5% | 100,0% | |
| | 2 PRECOZ | OPG/Peri | 1 PANORA+PERI | Recuento | 284 | 30 | 14 | 3 | 331 |
| | | | | % dentro de OPG/Peri | 85,8% | 9,1% | 4,2% | ,9% | 100,0% |
| | | 2 PANORAMICAS | Recuento | 40 | 6 | 2 | 0 | 48 | |
| | | | % dentro de OPG/Peri | 83,3% | 12,5% | 4,2% | ,0% | 100,0% | |
| | | 3 PERIAPICAL | Recuento | 7 | 1 | 0 | 0 | 8 | |
| | | | % dentro de OPG/Peri | 87,5% | 12,5% | ,0% | ,0% | 100,0% | |
| Total | | | Recuento | 331 | 37 | 16 | 3 | 387 | |
| | | | % dentro de OPG/Peri | 85,5% | 9,6% | 4,1% | ,8% | 100,0% | |
| 3 CIR_PREVIA | OPG/Peri | 1 PANORA+PERI | Recuento | 66 | 24 | 8 | 3 | 101 | |
| | | | % dentro de OPG/Peri | 65,3% | 23,8% | 7,9% | 3,0% | 100,0% | |
| | | 2 PANORAMICAS | Recuento | 13 | 2 | 1 | 0 | 16 | |
| | | | % dentro de OPG/Peri | 81,3% | 12,5% | 6,3% | ,0% | 100,0% | |
| | | 3 PERIAPICAL | Recuento | 0 | 3 | 0 | 0 | 3 | |
| | | | % dentro de OPG/Peri | ,0% | 100,0% | ,0% | ,0% | 100,0% | |
| | Total | | Recuento | 79 | 29 | 9 | 3 | 120 | |
| | | | % dentro de OPG/Peri | 65,8% | 24,2% | 7,5% | 2,5% | 100,0% | |

IX.- Anexo estadístico

Pruebas de chi-cuadrado

| Carga | | Valor | gl | Sig. asintótica (bilateral) |
|--------------|------------------------------|---------------------|----|-----------------------------|
| 1 INMEDIATA | Chi-cuadrado de Pearson | 5,342 ^a | 3 | ,148 |
| | Razón de verosimilitudes | 3,759 | 3 | ,289 |
| | Asociación lineal por lineal | 1,535 | 1 | ,215 |
| | N de casos válidos | 206 | | |
| 2 PRECOZ | Chi-cuadrado de Pearson | 1,471 ^b | 6 | ,961 |
| | Razón de verosimilitudes | 2,188 | 6 | ,902 |
| | Asociación lineal por lineal | ,040 | 1 | ,841 |
| | N de casos válidos | 387 | | |
| 3 CIR_PREVIA | Chi-cuadrado de Pearson | 11,450 ^c | 6 | ,075 |
| | Razón de verosimilitudes | 11,108 | 6 | ,085 |
| | Asociación lineal por lineal | ,005 | 1 | ,942 |
| | N de casos válidos | 120 | | |

IX.- Anexo estadístico

OPG/Peri * PE_3CM * Carga. Tabla de contingencia

| Carga | | | | PE_3CM | | | | Total | |
|--------------|----------|---------------|----------------------|----------------------|-------|-------|-------|--------|--------|
| | | | | 0 | 1 | 2 | 3 | | |
| 1 INMEDIATA | OPG/Peri | 1 PANORA+PERI | Recuento | 78 | 11 | 4 | | 93 | |
| | | | % dentro de OPG/Peri | 83,9% | 11,8% | 4,3% | | 100,0% | |
| | | 2 PANORAMICAS | Recuento | 21 | 1 | 0 | | 22 | |
| | | | % dentro de OPG/Peri | 95,5% | 4,5% | ,0% | | 100,0% | |
| | Total | | | Recuento | 99 | 12 | 4 | | 115 |
| | | | | % dentro de OPG/Peri | 86,1% | 10,4% | 3,5% | | 100,0% |
| 2 PRECOZ | OPG/Peri | 1 PANORA+PERI | Recuento | 193 | 22 | 6 | 6 | 227 | |
| | | | % dentro de OPG/Peri | 85,0% | 9,7% | 2,6% | 2,6% | 100,0% | |
| | | 2 PANORAMICAS | Recuento | 30 | 3 | 3 | 0 | 36 | |
| | | | % dentro de OPG/Peri | 83,3% | 8,3% | 8,3% | ,0% | 100,0% | |
| | | 3 PERIAPICAL | Recuento | 6 | 1 | 1 | 0 | 8 | |
| | | | % dentro de OPG/Peri | 75,0% | 12,5% | 12,5% | ,0% | 100,0% | |
| Total | | | Recuento | 229 | 26 | 10 | 6 | 271 | |
| | | | % dentro de OPG/Peri | 84,5% | 9,6% | 3,7% | 2,2% | 100,0% | |
| 3 CIR_PREVIA | OPG/Peri | 1 PANORA+PERI | Recuento | 42 | 12 | 10 | 5 | 69 | |
| | | | % dentro de OPG/Peri | 60,9% | 17,4% | 14,5% | 7,2% | 100,0% | |
| | | 2 PANORAMICAS | Recuento | 10 | 2 | 1 | 0 | 13 | |
| | | | % dentro de OPG/Peri | 76,9% | 15,4% | 7,7% | ,0% | 100,0% | |
| | Total | | | Recuento | 52 | 14 | 11 | 5 | 82 |
| | | | | % dentro de OPG/Peri | 63,4% | 17,1% | 13,4% | 6,1% | 100,0% |

IX.- Anexo estadístico

Pruebas de chi-cuadrado

| Carga | | Valor | gl | Sig. asintótica (bilateral) |
|--------------|------------------------------|--------------------|----|-----------------------------|
| 1 INMEDIATA | Chi-cuadrado de Pearson | 2,128 ^a | 2 | ,345 |
| | Razón de verosimilitudes | 3,064 | 2 | ,216 |
| | Asociación lineal por lineal | 2,087 | 1 | ,149 |
| | N de casos válidos | 115 | | |
| 2 PRECOZ | Chi-cuadrado de Pearson | 5,854 ^b | 6 | ,440 |
| | Razón de verosimilitudes | 5,681 | 6 | ,460 |
| | Asociación lineal por lineal | ,328 | 1 | ,567 |
| | N de casos válidos | 271 | | |
| 3 CIR_PREVIA | Chi-cuadrado de Pearson | 1,790 ^c | 3 | ,617 |
| | Razón de verosimilitudes | 2,608 | 3 | ,456 |
| | Asociación lineal por lineal | 1,734 | 1 | ,188 |
| | N de casos válidos | 82 | | |

OPG/Peri * PE_3CD * Carga

Tabla de contingencia

| Carga | | | | PE_3CD | | | | Total | |
|-------------|--------------|---------------|----------------------|----------------------|-------|-------|-------|--------|--------|
| | | | | 0 | 1 | 2 | 3 | | |
| 1 INMEDIATA | OPG/Peri | 1 PANORA+PERI | Recuento | 79 | 10 | 4 | | 93 | |
| | | | % dentro de OPG/Peri | 84,9% | 10,8% | 4,3% | | 100,0% | |
| | | 2 PANORAMICAS | Recuento | 20 | 1 | 1 | | 22 | |
| | | | % dentro de OPG/Peri | 90,9% | 4,5% | 4,5% | | 100,0% | |
| | Total | | | Recuento | 99 | 11 | 5 | | 115 |
| | | | | % dentro de OPG/Peri | 86,1% | 9,6% | 4,3% | | 100,0% |
| 2 PRECOZ | OPG/Peri | 1 PANORA+PERI | Recuento | 195 | 19 | 5 | 8 | 227 | |
| | | | % dentro de OPG/Peri | 85,9% | 8,4% | 2,2% | 3,5% | 100,0% | |
| | | 2 PANORAMICAS | Recuento | 29 | 6 | 1 | 0 | 36 | |
| | | | % dentro de OPG/Peri | 80,6% | 16,7% | 2,8% | ,0% | 100,0% | |
| | | 3 PERIAPICAL | Recuento | 7 | 1 | 0 | 0 | 8 | |
| | | | % dentro de OPG/Peri | 87,5% | 12,5% | ,0% | ,0% | 100,0% | |
| | Total | | | Recuento | 231 | 26 | 6 | 8 | 271 |
| | | | | % dentro de OPG/Peri | 85,2% | 9,6% | 2,2% | 3,0% | 100,0% |
| | 3 CIR_PREVIA | OPG/Peri | 1 PANORA+PERI | Recuento | 43 | 14 | 9 | 3 | 69 |
| | | | | % dentro de OPG/Peri | 62,3% | 20,3% | 13,0% | 4,3% | 100,0% |
| | | | 2 PANORAMICAS | Recuento | 11 | 1 | 1 | 0 | 13 |
| | | | | % dentro de OPG/Peri | 84,6% | 7,7% | 7,7% | ,0% | 100,0% |
| Total | | | | Recuento | 54 | 15 | 10 | 3 | 82 |
| | | | | % dentro de OPG/Peri | 65,9% | 18,3% | 12,2% | 3,7% | 100,0% |

IX.- Anexo estadístico

Pruebas de chi-cuadrado

| Carga | | Valor | gl | Sig. asintótica (bilateral) |
|--------------|------------------------------|--------------------|----|-----------------------------|
| 1 INMEDIATA | Chi-cuadrado de Pearson | ,793 ^a | 2 | ,673 |
| | Razón de verosimilitudes | ,927 | 2 | ,629 |
| | Asociación lineal por lineal | ,244 | 1 | ,621 |
| | N de casos válidos | 115 | | |
| 2 PRECOZ | Chi-cuadrado de Pearson | 4,191 ^b | 6 | ,651 |
| | Razón de verosimilitudes | 5,317 | 6 | ,504 |
| | Asociación lineal por lineal | ,155 | 1 | ,694 |
| | N de casos válidos | 271 | | |
| 3 CIR_PREVIA | Chi-cuadrado de Pearson | 2,597 ^c | 3 | ,458 |
| | Razón de verosimilitudes | 3,264 | 3 | ,353 |
| | Asociación lineal por lineal | 2,004 | 1 | ,157 |
| | N de casos válidos | 82 | | |

Tablas de contingencia

Resumen del procesamiento de los casos

| | Casos | | | | | |
|-------------------|---------|------------|----------|------------|-------|------------|
| | Válidos | | Perdidos | | Total | |
| | N | Porcentaje | N | Porcentaje | N | Porcentaje |
| Sexo * PE_1CM | 901 | 98,0% | 18 | 2,0% | 919 | 100,0% |
| Sexo * PE_1CD | 901 | 98,0% | 18 | 2,0% | 919 | 100,0% |
| Sexo * PE_2CM | 743 | 80,8% | 176 | 19,2% | 919 | 100,0% |
| Sexo * PE_2CD | 743 | 80,8% | 176 | 19,2% | 919 | 100,0% |
| Sexo * PE_3CM | 486 | 52,9% | 433 | 47,1% | 919 | 100,0% |
| Sexo * PE_3CD | 486 | 52,9% | 433 | 47,1% | 919 | 100,0% |
| Arcada * PE_1CM | 899 | 97,8% | 20 | 2,2% | 919 | 100,0% |
| Arcada * PE_1CD | 899 | 97,8% | 20 | 2,2% | 919 | 100,0% |
| Arcada * PE_2CM | 741 | 80,6% | 178 | 19,4% | 919 | 100,0% |
| Arcada * PE_2CD | 741 | 80,6% | 178 | 19,4% | 919 | 100,0% |
| Arcada * PE_3CM | 486 | 52,9% | 433 | 47,1% | 919 | 100,0% |
| Arcada * PE_3CD | 486 | 52,9% | 433 | 47,1% | 919 | 100,0% |
| Tipo IOI * PE_1CM | 901 | 98,0% | 18 | 2,0% | 919 | 100,0% |
| Tipo IOI * PE_1CD | 901 | 98,0% | 18 | 2,0% | 919 | 100,0% |
| Tipo IOI * PE_2CM | 743 | 80,8% | 176 | 19,2% | 919 | 100,0% |
| Tipo IOI * PE_2CD | 743 | 80,8% | 176 | 19,2% | 919 | 100,0% |
| Tipo IOI * PE_3CM | 486 | 52,9% | 433 | 47,1% | 919 | 100,0% |
| Tipo IOI * PE_3CD | 486 | 52,9% | 433 | 47,1% | 919 | 100,0% |
| Serie * PE_1CM | 901 | 98,0% | 18 | 2,0% | 919 | 100,0% |
| Serie * PE_1CD | 901 | 98,0% | 18 | 2,0% | 919 | 100,0% |
| Serie * PE_2CM | 743 | 80,8% | 176 | 19,2% | 919 | 100,0% |
| Serie * PE_2CD | 743 | 80,8% | 176 | 19,2% | 919 | 100,0% |
| Serie * PE_3CM | 486 | 52,9% | 433 | 47,1% | 919 | 100,0% |

IX.- Anexo estadístico

| | | | | | | |
|------------------------|-----|-------|-----|-------|-----|--------|
| Serie * PE_3CD | 486 | 52,9% | 433 | 47,1% | 919 | 100,0% |
| Longitud * PE_1CM | 901 | 98,0% | 18 | 2,0% | 919 | 100,0% |
| Longitud * PE_1CD | 901 | 98,0% | 18 | 2,0% | 919 | 100,0% |
| Longitud * PE_2CM | 743 | 80,8% | 176 | 19,2% | 919 | 100,0% |
| Longitud * PE_2CD | 743 | 80,8% | 176 | 19,2% | 919 | 100,0% |
| Longitud * PE_3CM | 486 | 52,9% | 433 | 47,1% | 919 | 100,0% |
| Longitud * PE_3CD | 486 | 52,9% | 433 | 47,1% | 919 | 100,0% |
| Crestal/Supra * PE_1CM | 901 | 98,0% | 18 | 2,0% | 919 | 100,0% |
| Crestal/Supra * PE_1CD | 901 | 98,0% | 18 | 2,0% | 919 | 100,0% |
| Crestal/Supra * PE_2CM | 743 | 80,8% | 176 | 19,2% | 919 | 100,0% |
| Crestal/Supra * PE_2CD | 743 | 80,8% | 176 | 19,2% | 919 | 100,0% |
| Crestal/Supra * PE_3CM | 486 | 52,9% | 433 | 47,1% | 919 | 100,0% |
| Crestal/Supra * PE_3CD | 486 | 52,9% | 433 | 47,1% | 919 | 100,0% |
| Carga * PE_1CM | 901 | 98,0% | 18 | 2,0% | 919 | 100,0% |
| Carga * PE_1CD | 901 | 98,0% | 18 | 2,0% | 919 | 100,0% |
| Carga * PE_2CM | 743 | 80,8% | 176 | 19,2% | 919 | 100,0% |
| Carga * PE_2CD | 743 | 80,8% | 176 | 19,2% | 919 | 100,0% |
| Carga * PE_3CM | 486 | 52,9% | 433 | 47,1% | 919 | 100,0% |
| Carga * PE_3CD | 486 | 52,9% | 433 | 47,1% | 919 | 100,0% |
| Protesis * PE_1CM | 868 | 94,5% | 51 | 5,5% | 919 | 100,0% |
| Protesis * PE_1CD | 868 | 94,5% | 51 | 5,5% | 919 | 100,0% |
| Protesis * PE_2CM | 716 | 77,9% | 203 | 22,1% | 919 | 100,0% |
| Protesis * PE_2CD | 716 | 77,9% | 203 | 22,1% | 919 | 100,0% |
| Protesis * PE_3CM | 460 | 50,1% | 459 | 49,9% | 919 | 100,0% |
| Protesis * PE_3CD | 460 | 50,1% | 459 | 49,9% | 919 | 100,0% |
| Ajuste prót. * PE_1CM | 398 | 43,3% | 521 | 56,7% | 919 | 100,0% |
| Ajuste prót. * PE_1CD | 398 | 43,3% | 521 | 56,7% | 919 | 100,0% |
| Ajuste prót. * PE_2CM | 358 | 39,0% | 561 | 61,0% | 919 | 100,0% |

IX.- Anexo estadístico

| | | | | | | |
|--------------------------|-----|-------|-----|-------|-----|--------|
| Ajuste prót. * PE_2CD | 358 | 39,0% | 561 | 61,0% | 919 | 100,0% |
| Ajuste prót. * PE_3CM | 229 | 24,9% | 690 | 75,1% | 919 | 100,0% |
| Ajuste prót. * PE_3CD | 229 | 24,9% | 690 | 75,1% | 919 | 100,0% |
| Unitario/Puente * PE_1CM | 589 | 64,1% | 330 | 35,9% | 919 | 100,0% |
| Unitario/Puente * PE_1CD | 589 | 64,1% | 330 | 35,9% | 919 | 100,0% |
| Unitario/Puente * PE_2CM | 487 | 53,0% | 432 | 47,0% | 919 | 100,0% |
| Unitario/Puente * PE_2CD | 487 | 53,0% | 432 | 47,0% | 919 | 100,0% |
| Unitario/Puente * PE_3CM | 325 | 35,4% | 594 | 64,6% | 919 | 100,0% |
| Unitario/Puente * PE_3CD | 325 | 35,4% | 594 | 64,6% | 919 | 100,0% |
| Atorn/Cem * PE_1CM | 571 | 62,1% | 348 | 37,9% | 919 | 100,0% |
| Atorn/Cem * PE_1CD | 571 | 62,1% | 348 | 37,9% | 919 | 100,0% |
| Atorn/Cem * PE_2CM | 474 | 51,6% | 445 | 48,4% | 919 | 100,0% |
| Atorn/Cem * PE_2CD | 474 | 51,6% | 445 | 48,4% | 919 | 100,0% |
| Atorn/Cem * PE_3CM | 312 | 33,9% | 607 | 66,1% | 919 | 100,0% |
| Atorn/Cem * PE_3CD | 312 | 33,9% | 607 | 66,1% | 919 | 100,0% |
| C_Clínicos * PE_1CM | 141 | 15,3% | 778 | 84,7% | 919 | 100,0% |
| C_Clínicos * PE_1CD | 141 | 15,3% | 778 | 84,7% | 919 | 100,0% |
| C_Clínicos * PE_2CM | 127 | 13,8% | 792 | 86,2% | 919 | 100,0% |
| C_Clínicos * PE_2CD | 127 | 13,8% | 792 | 86,2% | 919 | 100,0% |
| C_Clínicos * PE_3CM | 89 | 9,7% | 830 | 90,3% | 919 | 100,0% |
| C_Clínicos * PE_3CD | 89 | 9,7% | 830 | 90,3% | 919 | 100,0% |
| Complicaciones * PE_1CM | 901 | 98,0% | 18 | 2,0% | 919 | 100,0% |
| Complicaciones * PE_1CD | 901 | 98,0% | 18 | 2,0% | 919 | 100,0% |
| Complicaciones * PE_2CM | 743 | 80,8% | 176 | 19,2% | 919 | 100,0% |
| Complicaciones * PE_2CD | 743 | 80,8% | 176 | 19,2% | 919 | 100,0% |
| Complicaciones * PE_3CM | 486 | 52,9% | 433 | 47,1% | 919 | 100,0% |
| Complicaciones * PE_3CD | 486 | 52,9% | 433 | 47,1% | 919 | 100,0% |
| OPG/Peri * PE_1CM | 838 | 91,2% | 81 | 8,8% | 919 | 100,0% |

IX.- Anexo estadístico

| | | | | | | |
|-------------------|-----|-------|-----|-------|-----|--------|
| OPG/Peri * PE_1CD | 838 | 91,2% | 81 | 8,8% | 919 | 100,0% |
| OPG/Peri * PE_2CM | 713 | 77,6% | 206 | 22,4% | 919 | 100,0% |
| OPG/Peri * PE_2CD | 713 | 77,6% | 206 | 22,4% | 919 | 100,0% |
| OPG/Peri * PE_3CM | 468 | 50,9% | 451 | 49,1% | 919 | 100,0% |
| OPG/Peri * PE_3CD | 468 | 50,9% | 451 | 49,1% | 919 | 100,0% |

Sexo * PE_1CM

Tabla de contingencia

| | | | PE_1CM | | | | Total |
|-------|----------|------------------|--------|------|------|------|--------|
| | | | 0 | 1 | 2 | 3 | |
| Sexo | 1 HOMBRE | Recuento | 255 | 8 | 6 | 4 | 273 |
| | | % dentro de Sexo | 93,4% | 2,9% | 2,2% | 1,5% | 100,0% |
| | 2 MUJER | Recuento | 557 | 43 | 16 | 12 | 628 |
| | | % dentro de Sexo | 88,7% | 6,8% | 2,5% | 1,9% | 100,0% |
| Total | | Recuento | 812 | 51 | 22 | 16 | 901 |
| | | % dentro de Sexo | 90,1% | 5,7% | 2,4% | 1,8% | 100,0% |

Pruebas de chi-cuadrado

| | Valor | gl | Sig. asintótica (bilateral) |
|------------------------------|--------------------|----|-----------------------------|
| Chi-cuadrado de Pearson | 5,934 ^a | 3 | ,115 |
| Razón de verosimilitudes | 6,619 | 3 | ,085 |
| Asociación lineal por lineal | 2,332 | 1 | ,127 |
| N de casos válidos | 901 | | |

IX.- Anexo estadístico

Sexo * PE_1CD

Tabla de contingencia

| | | | PE_1CD | | | | Total |
|-------|----------|------------------|--------|------|------|------|--------|
| | | | 0 | 1 | 2 | 3 | |
| Sexo | 1 HOMBRE | Recuento | 257 | 9 | 2 | 5 | 273 |
| | | % dentro de Sexo | 94,1% | 3,3% | ,7% | 1,8% | 100,0% |
| | 2 MUJER | Recuento | 550 | 51 | 17 | 10 | 628 |
| | | % dentro de Sexo | 87,6% | 8,1% | 2,7% | 1,6% | 100,0% |
| Total | | Recuento | 807 | 60 | 19 | 15 | 901 |
| | | % dentro de Sexo | 89,6% | 6,7% | 2,1% | 1,7% | 100,0% |

Pruebas de chi-cuadrado

| | Valor | gl | Sig. asintótica (bilateral) |
|------------------------------|---------------------|----|-----------------------------|
| Chi-cuadrado de Pearson | 11,147 ^a | 3 | ,011 |
| Razón de verosimilitudes | 12,818 | 3 | ,005 |
| Asociación lineal por lineal | 4,476 | 1 | ,034 |
| N de casos válidos | 901 | | |

Sexo * PE_2CM

Tabla de contingencia

| | | | PE_2CM | | | | Total |
|-------|----------|------------------|--------|-------|------|------|--------|
| | | | 0 | 1 | 2 | 3 | |
| Sexo | 1 HOMBRE | Recuento | 202 | 15 | 7 | 1 | 225 |
| | | % dentro de Sexo | 89,8% | 6,7% | 3,1% | ,4% | 100,0% |
| | 2 MUJER | Recuento | 419 | 72 | 21 | 6 | 518 |
| | | % dentro de Sexo | 80,9% | 13,9% | 4,1% | 1,2% | 100,0% |
| Total | | Recuento | 621 | 87 | 28 | 7 | 743 |
| | | % dentro de Sexo | 83,6% | 11,7% | 3,8% | ,9% | 100,0% |

Pruebas de chi-cuadrado

| | Valor | gl | Sig. asintótica (bilateral) |
|------------------------------|--------------------|----|-----------------------------|
| Chi-cuadrado de Pearson | 9,710 ^a | 3 | ,021 |
| Razón de verosimilitudes | 10,619 | 3 | ,014 |
| Asociación lineal por lineal | 6,536 | 1 | ,011 |
| N de casos válidos | 743 | | |

IX.- Anexo estadístico

Sexo * PE_2CD

Tabla de contingencia

| | | | PE_2CD | | | | Total |
|-------|----------|------------------|--------|-------|------|------|--------|
| | | | 0 | 1 | 2 | 3 | |
| Sexo | 1 HOMBRE | Recuento | 206 | 12 | 6 | 1 | 225 |
| | | % dentro de Sexo | 91,6% | 5,3% | 2,7% | ,4% | 100,0% |
| | 2 MUJER | Recuento | 412 | 74 | 26 | 6 | 518 |
| | | % dentro de Sexo | 79,5% | 14,3% | 5,0% | 1,2% | 100,0% |
| Total | | Recuento | 618 | 86 | 32 | 7 | 743 |
| | | % dentro de Sexo | 83,2% | 11,6% | 4,3% | ,9% | 100,0% |

Pruebas de chi-cuadrado

| | Valor | gl | Sig. asintótica (bilateral) |
|------------------------------|---------------------|----|-----------------------------|
| Chi-cuadrado de Pearson | 16,450 ^a | 3 | ,001 |
| Razón de verosimilitudes | 18,408 | 3 | ,000 |
| Asociación lineal por lineal | 12,226 | 1 | ,000 |
| N de casos válidos | 743 | | |

Sexo * PE_3CM

Tabla de contingencia

| | | | PE_3CM | | | | Total |
|-------|----------|------------------|--------|-------|------|------|--------|
| | | | 0 | 1 | 2 | 3 | |
| Sexo | 1 HOMBRE | Recuento | 121 | 8 | 7 | 3 | 139 |
| | | % dentro de Sexo | 87,1% | 5,8% | 5,0% | 2,2% | 100,0% |
| | 2 MUJER | Recuento | 270 | 49 | 20 | 8 | 347 |
| | | % dentro de Sexo | 77,8% | 14,1% | 5,8% | 2,3% | 100,0% |
| Total | | Recuento | 391 | 57 | 27 | 11 | 486 |
| | | % dentro de Sexo | 80,5% | 11,7% | 5,6% | 2,3% | 100,0% |

Pruebas de chi-cuadrado

| | Valor | gl | Sig. asintótica (bilateral) |
|------------------------------|--------------------|----|-----------------------------|
| Chi-cuadrado de Pearson | 7,079 ^a | 3 | ,069 |
| Razón de verosimilitudes | 7,947 | 3 | ,047 |
| Asociación lineal por lineal | 2,290 | 1 | ,130 |
| N de casos válidos | 486 | | |

IX.- Anexo estadístico

Sexo * PE_3CD

Tabla de contingencia

| | | | PE_3CD | | | | Total |
|-------|----------|------------------|--------|-------|------|------|--------|
| | | | 0 | 1 | 2 | 3 | |
| Sexo | 1 HOMBRE | Recuento | 125 | 5 | 4 | 5 | 139 |
| | | % dentro de Sexo | 89,9% | 3,6% | 2,9% | 3,6% | 100,0% |
| | 2 MUJER | Recuento | 270 | 52 | 19 | 6 | 347 |
| | | % dentro de Sexo | 77,8% | 15,0% | 5,5% | 1,7% | 100,0% |
| Total | | Recuento | 395 | 57 | 23 | 11 | 486 |
| | | % dentro de Sexo | 81,3% | 11,7% | 4,7% | 2,3% | 100,0% |

Pruebas de chi-cuadrado

| | Valor | gl | Sig. asintótica (bilateral) |
|------------------------------|---------------------|----|-----------------------------|
| Chi-cuadrado de Pearson | 15,713 ^a | 3 | ,001 |
| Razón de verosimilitudes | 18,390 | 3 | ,000 |
| Asociación lineal por lineal | 2,764 | 1 | ,096 |
| N de casos válidos | 486 | | |

Arcada * PE_1CM

Tabla de contingencia

| | | | PE_1CM | | | | Total |
|--------|-------------|--------------------|--------|------|------|------|--------|
| | | | 0 | 1 | 2 | 3 | |
| Arcada | 1 MAXILAR | Recuento | 420 | 29 | 15 | 11 | 475 |
| | | % dentro de Arcada | 88,4% | 6,1% | 3,2% | 2,3% | 100,0% |
| | 2 MANDIBULA | Recuento | 390 | 22 | 7 | 5 | 424 |
| | | % dentro de Arcada | 92,0% | 5,2% | 1,7% | 1,2% | 100,0% |
| Total | | Recuento | 810 | 51 | 22 | 16 | 899 |
| | | % dentro de Arcada | 90,1% | 5,7% | 2,4% | 1,8% | 100,0% |

Pruebas de chi-cuadrado

| | Valor | gl | Sig. asintótica (bilateral) |
|------------------------------|--------------------|----|-----------------------------|
| Chi-cuadrado de Pearson | 4,352 ^a | 3 | ,226 |
| Razón de verosimilitudes | 4,463 | 3 | ,216 |
| Asociación lineal por lineal | 4,165 | 1 | ,041 |
| N de casos válidos | 899 | | |

IX.- Anexo estadístico

Arcada * PE_1CD

Tabla de contingencia

| | | | PE_1CD | | | | Total |
|--------|--------------------|--------------------|--------|------|------|------|--------|
| | | | 0 | 1 | 2 | 3 | |
| Arcada | 1 MAXILAR | Recuento | 416 | 36 | 14 | 9 | 475 |
| | | % dentro de Arcada | 87,6% | 7,6% | 2,9% | 1,9% | 100,0% |
| | 2 MANDIBULA | Recuento | 389 | 24 | 5 | 6 | 424 |
| | | % dentro de Arcada | 91,7% | 5,7% | 1,2% | 1,4% | 100,0% |
| Total | Recuento | | 805 | 60 | 19 | 15 | 899 |
| | % dentro de Arcada | | 89,5% | 6,7% | 2,1% | 1,7% | 100,0% |

Pruebas de chi-cuadrado

| | Valor | gl | Sig. asintótica (bilateral) |
|------------------------------|--------------------|----|-----------------------------|
| Chi-cuadrado de Pearson | 5,293 ^a | 3 | ,152 |
| Razón de verosimilitudes | 5,470 | 3 | ,140 |
| Asociación lineal por lineal | 3,851 | 1 | ,050 |
| N de casos válidos | 899 | | |

Arcada * PE_2CM

Tabla de contingencia

| | | | PE_2CM | | | | Total |
|--------|--------------------|--------------------|--------|-------|------|--------|--------|
| | | | 0 | 1 | 2 | 3 | |
| Arcada | 1 MAXILAR | Recuento | 335 | 43 | 21 | 5 | 404 |
| | | % dentro de Arcada | 82,9% | 10,6% | 5,2% | 1,2% | 100,0% |
| | 2 MANDIBULA | Recuento | 284 | 44 | 7 | 2 | 337 |
| | | % dentro de Arcada | 84,3% | 13,1% | 2,1% | ,6% | 100,0% |
| Total | Recuento | 619 | 87 | 28 | 7 | 741 | |
| | % dentro de Arcada | 83,5% | 11,7% | 3,8% | ,9% | 100,0% | |

Pruebas de chi-cuadrado

| | Valor | gl | Sig. asintótica (bilateral) |
|------------------------------|--------------------|----|-----------------------------|
| Chi-cuadrado de Pearson | 6,494 ^a | 3 | ,090 |
| Razón de verosimilitudes | 6,806 | 3 | ,078 |
| Asociación lineal por lineal | 2,000 | 1 | ,157 |
| N de casos válidos | 741 | | |

IX.- Anexo estadístico

Arcada * PE_2CD

Tabla de contingencia

| | | | PE_2CD | | | | Total |
|--------|-------------|--------------------|--------|-------|------|------|--------|
| | | | 0 | 1 | 2 | 3 | |
| Arcada | 1 MAXILAR | Recuento | 330 | 43 | 25 | 6 | 404 |
| | | % dentro de Arcada | 81,7% | 10,6% | 6,2% | 1,5% | 100,0% |
| | 2 MANDIBULA | Recuento | 286 | 43 | 7 | 1 | 337 |
| | | % dentro de Arcada | 84,9% | 12,8% | 2,1% | ,3% | 100,0% |
| Total | | Recuento | 616 | 86 | 32 | 7 | 741 |
| | | % dentro de Arcada | 83,1% | 11,6% | 4,3% | ,9% | 100,0% |

Pruebas de chi-cuadrado

| | Valor | gl | Sig. asintótica (bilateral) |
|------------------------------|---------------------|----|-----------------------------|
| Chi-cuadrado de Pearson | 10,870 ^a | 3 | ,012 |
| Razón de verosimilitudes | 11,783 | 3 | ,008 |
| Asociación lineal por lineal | 5,354 | 1 | ,021 |
| N de casos válidos | 741 | | |

Arcada * PE_3CM

Tabla de contingencia

| | | | PE_3CM | | | | Total |
|--------|--------------------|--------------------|--------|-------|------|--------|--------|
| | | | 0 | 1 | 2 | 3 | |
| Arcada | 1 MAXILAR | Recuento | 213 | 34 | 20 | 11 | 278 |
| | | % dentro de Arcada | 76,6% | 12,2% | 7,2% | 4,0% | 100,0% |
| | 2 MANDIBULA | Recuento | 178 | 23 | 7 | 0 | 208 |
| | | % dentro de Arcada | 85,6% | 11,1% | 3,4% | ,0% | 100,0% |
| Total | Recuento | 391 | 57 | 27 | 11 | 486 | |
| | % dentro de Arcada | 80,5% | 11,7% | 5,6% | 2,3% | 100,0% | |

Pruebas de chi-cuadrado

| | Valor | gl | Sig. asintótica (bilateral) |
|------------------------------|---------------------|----|-----------------------------|
| Chi-cuadrado de Pearson | 12,696 ^a | 3 | ,005 |
| Razón de verosimilitudes | 16,932 | 3 | ,001 |
| Asociación lineal por lineal | 11,172 | 1 | ,001 |
| N de casos válidos | 486 | | |

IX.- Anexo estadístico

Arcada * PE_3CD

Tabla de contingencia

| | | | PE_3CD | | | | Total |
|--------|--------------------|--------------------|--------|-------|------|--------|--------|
| | | | 0 | 1 | 2 | 3 | |
| Arcada | 1 MAXILAR | Recuento | 217 | 30 | 20 | 11 | 278 |
| | | % dentro de Arcada | 78,1% | 10,8% | 7,2% | 4,0% | 100,0% |
| | 2 MANDIBULA | Recuento | 178 | 27 | 3 | 0 | 208 |
| | | % dentro de Arcada | 85,6% | 13,0% | 1,4% | ,0% | 100,0% |
| Total | Recuento | 395 | 57 | 23 | 11 | 486 | |
| | % dentro de Arcada | 81,3% | 11,7% | 4,7% | 2,3% | 100,0% | |

Pruebas de chi-cuadrado

| | Valor | gl | Sig. asintótica (bilateral) |
|------------------------------|---------------------|----|-----------------------------|
| Chi-cuadrado de Pearson | 17,862 ^a | 3 | ,000 |
| Razón de verosimilitudes | 23,220 | 3 | ,000 |
| Asociación lineal por lineal | 12,336 | 1 | ,000 |
| N de casos válidos | 486 | | |

Tipo IOI * PE_1CM

Tabla de contingencia

| | | | PE_1CM | | | | Total |
|----------|-------|----------------------|--------|------|------|------|--------|
| | | | 0 | 1 | 2 | 3 | |
| Tipo IOI | 1 TSA | Recuento | 787 | 50 | 21 | 16 | 874 |
| | | % dentro de Tipo IOI | 90,0% | 5,7% | 2,4% | 1,8% | 100,0% |
| | 2 TSH | Recuento | 25 | 1 | 1 | 0 | 27 |
| | | % dentro de Tipo IOI | 92,6% | 3,7% | 3,7% | ,0% | 100,0% |
| Total | | Recuento | 812 | 51 | 22 | 16 | 901 |
| | | % dentro de Tipo IOI | 90,1% | 5,7% | 2,4% | 1,8% | 100,0% |

Pruebas de chi-cuadrado

| | Valor | gl | Sig. asintótica (bilateral) |
|------------------------------|-------------------|----|-----------------------------|
| Chi-cuadrado de Pearson | ,883 ^a | 3 | ,830 |
| Razón de verosimilitudes | 1,363 | 3 | ,714 |
| Asociación lineal por lineal | ,218 | 1 | ,641 |
| N de casos válidos | 901 | | |

IX.- Anexo estadístico

Tipo IOI * PE_1CD

Tabla de contingencia

| | | | PE_1CD | | | | Total |
|----------|----------------------|----------------------|--------|------|------|------|--------|
| | | | 0 | 1 | 2 | 3 | |
| Tipo IOI | 1 TSA | Recuento | 781 | 59 | 19 | 15 | 874 |
| | | % dentro de Tipo IOI | 89,4% | 6,8% | 2,2% | 1,7% | 100,0% |
| | 2 TSH | Recuento | 26 | 1 | 0 | 0 | 27 |
| | | % dentro de Tipo IOI | 96,3% | 3,7% | ,0% | ,0% | 100,0% |
| Total | Recuento | | 807 | 60 | 19 | 15 | 901 |
| | % dentro de Tipo IOI | | 89,6% | 6,7% | 2,1% | 1,7% | 100,0% |

Pruebas de chi-cuadrado

| | Valor | gl | Sig. asintótica (bilateral) |
|------------------------------|--------------------|----|-----------------------------|
| Chi-cuadrado de Pearson | 1,556 ^a | 3 | ,669 |
| Razón de verosimilitudes | 2,640 | 3 | ,451 |
| Asociación lineal por lineal | 1,494 | 1 | ,222 |
| N de casos válidos | 901 | | |

Tipo IOI * PE_2CM

Tabla de contingencia

| | | | PE_2CM | | | | Total |
|----------|-------|----------------------|--------|-------|------|------|--------|
| | | | 0 | 1 | 2 | 3 | |
| Tipo IOI | 1 TSA | Recuento | 604 | 87 | 27 | 7 | 725 |
| | | % dentro de Tipo IOI | 83,3% | 12,0% | 3,7% | 1,0% | 100,0% |
| | 2 TSH | Recuento | 17 | 0 | 1 | 0 | 18 |
| | | % dentro de Tipo IOI | 94,4% | ,0% | 5,6% | ,0% | 100,0% |
| Total | | Recuento | 621 | 87 | 28 | 7 | 743 |
| | | % dentro de Tipo IOI | 83,6% | 11,7% | 3,8% | ,9% | 100,0% |

Pruebas de chi-cuadrado

| | Valor | gl | Sig. asintótica (bilateral) |
|------------------------------|--------------------|----|-----------------------------|
| Chi-cuadrado de Pearson | 2,751 ^a | 3 | ,432 |
| Razón de verosimilitudes | 4,997 | 3 | ,172 |
| Asociación lineal por lineal | ,728 | 1 | ,393 |
| N de casos válidos | 743 | | |

IX.- Anexo estadístico

Tipo IOI * PE_2CD

Tabla de contingencia

| | | | PE_2CD | | | | Total |
|----------|-------|----------------------|--------|-------|------|------|--------|
| | | | 0 | 1 | 2 | 3 | |
| Tipo IOI | 1 TSA | Recuento | 601 | 85 | 32 | 7 | 725 |
| | | % dentro de Tipo IOI | 82,9% | 11,7% | 4,4% | 1,0% | 100,0% |
| | 2 TSH | Recuento | 17 | 1 | 0 | 0 | 18 |
| | | % dentro de Tipo IOI | 94,4% | 5,6% | ,0% | ,0% | 100,0% |
| Total | | Recuento | 618 | 86 | 32 | 7 | 743 |
| | | % dentro de Tipo IOI | 83,2% | 11,6% | 4,3% | ,9% | 100,0% |

Pruebas de chi-cuadrado

| | Valor | gl | Sig. asintótica (bilateral) |
|------------------------------|--------------------|----|-----------------------------|
| Chi-cuadrado de Pearson | 1,827 ^a | 3 | ,609 |
| Razón de verosimilitudes | 2,896 | 3 | ,408 |
| Asociación lineal por lineal | 1,756 | 1 | ,185 |
| N de casos válidos | 743 | | |

Tipo IOI * PE_3CM

Tabla de contingencia

| | | | PE_3CM | | | | Total |
|----------|-------|----------------------|--------|-------|------|------|--------|
| | | | 0 | 1 | 2 | 3 | |
| Tipo IOI | 1 TSA | Recuento | 381 | 57 | 26 | 11 | 475 |
| | | % dentro de Tipo IOI | 80,2% | 12,0% | 5,5% | 2,3% | 100,0% |
| | 2 TSH | Recuento | 10 | 0 | 1 | 0 | 11 |
| | | % dentro de Tipo IOI | 90,9% | ,0% | 9,1% | ,0% | 100,0% |
| Total | | Recuento | 391 | 57 | 27 | 11 | 486 |
| | | % dentro de Tipo IOI | 80,5% | 11,7% | 5,6% | 2,3% | 100,0% |

Pruebas de chi-cuadrado

| | Valor | gl | Sig. asintótica (bilateral) |
|------------------------------|--------------------|----|-----------------------------|
| Chi-cuadrado de Pearson | 1,981 ^a | 3 | ,576 |
| Razón de verosimilitudes | 3,473 | 3 | ,324 |
| Asociación lineal por lineal | ,323 | 1 | ,570 |
| N de casos válidos | 486 | | |

IX.- Anexo estadístico

Tipo IOI * PE_3CD

Tabla de contingencia

| | | | PE_3CD | | | | Total |
|----------|-------|----------------------|--------|-------|------|------|--------|
| | | | 0 | 1 | 2 | 3 | |
| Tipo IOI | 1 TSA | Recuento | 385 | 56 | 23 | 11 | 475 |
| | | % dentro de Tipo IOI | 81,1% | 11,8% | 4,8% | 2,3% | 100,0% |
| | 2 TSH | Recuento | 10 | 1 | 0 | 0 | 11 |
| | | % dentro de Tipo IOI | 90,9% | 9,1% | ,0% | ,0% | 100,0% |
| Total | | Recuento | 395 | 57 | 23 | 11 | 486 |
| | | % dentro de Tipo IOI | 81,3% | 11,7% | 4,7% | 2,3% | 100,0% |

Pruebas de chi-cuadrado

| | Valor | gl | Sig. asintótica (bilateral) |
|------------------------------|-------------------|----|-----------------------------|
| Chi-cuadrado de Pearson | ,983 ^a | 3 | ,805 |
| Razón de verosimilitudes | 1,753 | 3 | ,625 |
| Asociación lineal por lineal | ,928 | 1 | ,335 |
| N de casos válidos | 486 | | |

Serie * PE_1CM

Tabla de contingencia

| | | | PE_1CM | | | | Total |
|-------|---|-------------------|--------|------|------|------|--------|
| | | | 0 | 1 | 2 | 3 | |
| Serie | 3 | Recuento | 519 | 27 | 8 | 8 | 562 |
| | | % dentro de Serie | 92,3% | 4,8% | 1,4% | 1,4% | 100,0% |
| | 4 | Recuento | 255 | 21 | 11 | 7 | 294 |
| | | % dentro de Serie | 86,7% | 7,1% | 3,7% | 2,4% | 100,0% |
| | 5 | Recuento | 38 | 3 | 3 | 1 | 45 |
| | | % dentro de Serie | 84,4% | 6,7% | 6,7% | 2,2% | 100,0% |
| Total | | Recuento | 812 | 51 | 22 | 16 | 901 |
| | | % dentro de Serie | 90,1% | 5,7% | 2,4% | 1,8% | 100,0% |

Pruebas de chi-cuadrado

| | Valor | gl | Sig. asintótica (bilateral) |
|------------------------------|---------------------|----|-----------------------------|
| Chi-cuadrado de Pearson | 11,554 ^a | 6 | ,073 |
| Razón de verosimilitudes | 10,545 | 6 | ,104 |
| Asociación lineal por lineal | 8,154 | 1 | ,004 |
| N de casos válidos | 901 | | |

IX.- Anexo estadístico

Serie * PE_1CD

Tabla de contingencia

| | | | PE_1CD | | | | Total |
|---------|-------------------|--|--------|-------|------|------|--------|
| | | | 0 | 1 | 2 | 3 | |
| Serie 3 | Recuento | | 519 | 29 | 6 | 8 | 562 |
| | % dentro de Serie | | 92,3% | 5,2% | 1,1% | 1,4% | 100,0% |
| Serie 4 | Recuento | | 249 | 26 | 12 | 7 | 294 |
| | % dentro de Serie | | 84,7% | 8,8% | 4,1% | 2,4% | 100,0% |
| Serie 5 | Recuento | | 39 | 5 | 1 | 0 | 45 |
| | % dentro de Serie | | 86,7% | 11,1% | 2,2% | ,0% | 100,0% |
| Total | Recuento | | 807 | 60 | 19 | 15 | 901 |
| | % dentro de Serie | | 89,6% | 6,7% | 2,1% | 1,7% | 100,0% |

Pruebas de chi-cuadrado

| | Valor | gl | Sig. asintótica (bilateral) |
|------------------------------|---------------------|----|-----------------------------|
| Chi-cuadrado de Pearson | 16,819 ^a | 6 | ,010 |
| Razón de verosimilitudes | 16,685 | 6 | ,011 |
| Asociación lineal por lineal | 6,758 | 1 | ,009 |
| N de casos válidos | 901 | | |

Serie * PE_2CM

Tabla de contingencia

| | | | PE_2CM | | | | Total |
|-------|---|-------------------|--------|-------|------|------|--------|
| | | | 0 | 1 | 2 | 3 | |
| Serie | 3 | Recuento | 394 | 47 | 16 | 3 | 460 |
| | | % dentro de Serie | 85,7% | 10,2% | 3,5% | ,7% | 100,0% |
| | 4 | Recuento | 201 | 34 | 12 | 4 | 251 |
| | | % dentro de Serie | 80,1% | 13,5% | 4,8% | 1,6% | 100,0% |
| | 5 | Recuento | 26 | 6 | 0 | 0 | 32 |
| | | % dentro de Serie | 81,3% | 18,8% | ,0% | ,0% | 100,0% |
| Total | | Recuento | 621 | 87 | 28 | 7 | 743 |
| | | % dentro de Serie | 83,6% | 11,7% | 3,8% | ,9% | 100,0% |

Pruebas de chi-cuadrado

| | Valor | gl | Sig. asintótica (bilateral) |
|------------------------------|--------------------|----|-----------------------------|
| Chi-cuadrado de Pearson | 7,411 ^a | 6 | ,284 |
| Razón de verosimilitudes | 8,518 | 6 | ,203 |
| Asociación lineal por lineal | 2,082 | 1 | ,149 |
| N de casos válidos | 743 | | |

IX.- Anexo estadístico

Serie * PE_2CD

Tabla de contingencia

| | | | PE_2CD | | | | Total |
|---------|-------------------|--|--------|-------|------|------|--------|
| | | | 0 | 1 | 2 | 3 | |
| Serie 3 | Recuento | | 389 | 48 | 20 | 3 | 460 |
| | % dentro de Serie | | 84,6% | 10,4% | 4,3% | ,7% | 100,0% |
| Serie 4 | Recuento | | 200 | 36 | 11 | 4 | 251 |
| | % dentro de Serie | | 79,7% | 14,3% | 4,4% | 1,6% | 100,0% |
| Serie 5 | Recuento | | 29 | 2 | 1 | 0 | 32 |
| | % dentro de Serie | | 90,6% | 6,3% | 3,1% | ,0% | 100,0% |
| Total | Recuento | | 618 | 86 | 32 | 7 | 743 |
| | % dentro de Serie | | 83,2% | 11,6% | 4,3% | ,9% | 100,0% |

Pruebas de chi-cuadrado

| | Valor | gl | Sig. asintótica (bilateral) |
|------------------------------|--------------------|----|-----------------------------|
| Chi-cuadrado de Pearson | 5,602 ^a | 6 | ,469 |
| Razón de verosimilitudes | 5,825 | 6 | ,443 |
| Asociación lineal por lineal | ,385 | 1 | ,535 |
| N de casos válidos | 743 | | |

Serie * PE_3CM

Tabla de contingencia

| | | | PE_3CM | | | | Total |
|-------|---|-------------------|--------|-------|------|------|--------|
| | | | 0 | 1 | 2 | 3 | |
| Serie | 3 | Recuento | 238 | 34 | 16 | 6 | 294 |
| | | % dentro de Serie | 81,0% | 11,6% | 5,4% | 2,0% | 100,0% |
| | 4 | Recuento | 137 | 18 | 11 | 5 | 171 |
| | | % dentro de Serie | 80,1% | 10,5% | 6,4% | 2,9% | 100,0% |
| | 5 | Recuento | 16 | 5 | 0 | 0 | 21 |
| | | % dentro de Serie | 76,2% | 23,8% | ,0% | ,0% | 100,0% |
| Total | | Recuento | 391 | 57 | 27 | 11 | 486 |
| | | % dentro de Serie | 80,5% | 11,7% | 5,6% | 2,3% | 100,0% |

Pruebas de chi-cuadrado

| | Valor | gl | Sig. asintótica (bilateral) |
|------------------------------|--------------------|----|-----------------------------|
| Chi-cuadrado de Pearson | 5,169 ^a | 6 | ,522 |
| Razón de verosimilitudes | 6,176 | 6 | ,404 |
| Asociación lineal por lineal | ,048 | 1 | ,826 |
| N de casos válidos | 486 | | |

IX.- Anexo estadístico

Serie * PE_3CD

Tabla de contingencia

| | | | PE_3CD | | | | Total |
|---------|-------------------|--|--------|-------|------|------|--------|
| | | | 0 | 1 | 2 | 3 | |
| Serie 3 | Recuento | | 235 | 38 | 14 | 7 | 294 |
| | % dentro de Serie | | 79,9% | 12,9% | 4,8% | 2,4% | 100,0% |
| Serie 4 | Recuento | | 142 | 16 | 9 | 4 | 171 |
| | % dentro de Serie | | 83,0% | 9,4% | 5,3% | 2,3% | 100,0% |
| Serie 5 | Recuento | | 18 | 3 | 0 | 0 | 21 |
| | % dentro de Serie | | 85,7% | 14,3% | ,0% | ,0% | 100,0% |
| Total | Recuento | | 395 | 57 | 23 | 11 | 486 |
| | % dentro de Serie | | 81,3% | 11,7% | 4,7% | 2,3% | 100,0% |

Pruebas de chi-cuadrado

| | Valor | gl | Sig. asintótica (bilateral) |
|------------------------------|--------------------|----|-----------------------------|
| Chi-cuadrado de Pearson | 3,072 ^a | 6 | ,800 |
| Razón de verosimilitudes | 4,578 | 6 | ,599 |
| Asociación lineal por lineal | ,827 | 1 | ,363 |
| N de casos válidos | 486 | | |

IX.- Anexo estadístico

Longitud * PE_1CM

Tabla de contingencia

| | | | PE_1CM | | | | Total |
|----------|------|----------------------|--------|-------|------|------|--------|
| | | | 0 | 1 | 2 | 3 | |
| Longitud | 8,5 | Recuento | 30 | 5 | 0 | 0 | 35 |
| | | % dentro de Longitud | 85,7% | 14,3% | ,0% | ,0% | 100,0% |
| | 10,0 | Recuento | 158 | 13 | 5 | 4 | 180 |
| | | % dentro de Longitud | 87,8% | 7,2% | 2,8% | 2,2% | 100,0% |
| | 11,5 | Recuento | 184 | 8 | 2 | 5 | 199 |
| | | % dentro de Longitud | 92,5% | 4,0% | 1,0% | 2,5% | 100,0% |
| | 13,0 | Recuento | 389 | 24 | 12 | 7 | 432 |
| | | % dentro de Longitud | 90,0% | 5,6% | 2,8% | 1,6% | 100,0% |
| | 14,5 | Recuento | 51 | 1 | 3 | 0 | 55 |
| | | % dentro de Longitud | 92,7% | 1,8% | 5,5% | ,0% | 100,0% |
| Total | | Recuento | 812 | 51 | 22 | 16 | 901 |
| | | % dentro de Longitud | 90,1% | 5,7% | 2,4% | 1,8% | 100,0% |

Pruebas de chi-cuadrado

| | Valor | gl | Sig. asintótica (bilateral) |
|------------------------------|---------------------|----|-----------------------------|
| Chi-cuadrado de Pearson | 15,444 ^a | 12 | ,218 |
| Razón de verosimilitudes | 16,936 | 12 | ,152 |
| Asociación lineal por lineal | ,274 | 1 | ,600 |
| N de casos válidos | 901 | | |

Longitud * PE_1CD

Tabla de contingencia

| | | | PE_1CD | | | | Total |
|----------|------|----------------------|--------|-------|------|------|--------|
| | | | 0 | 1 | 2 | 3 | |
| Longitud | 8,5 | Recuento | 30 | 5 | 0 | 0 | 35 |
| | | % dentro de Longitud | 85,7% | 14,3% | ,0% | ,0% | 100,0% |
| | 10,0 | Recuento | 158 | 14 | 5 | 3 | 180 |
| | | % dentro de Longitud | 87,8% | 7,8% | 2,8% | 1,7% | 100,0% |
| | 11,5 | Recuento | 180 | 12 | 1 | 6 | 199 |
| | | % dentro de Longitud | 90,5% | 6,0% | ,5% | 3,0% | 100,0% |
| | 13,0 | Recuento | 388 | 26 | 13 | 5 | 432 |
| | | % dentro de Longitud | 89,8% | 6,0% | 3,0% | 1,2% | 100,0% |
| | 14,5 | Recuento | 51 | 3 | 0 | 1 | 55 |
| | | % dentro de Longitud | 92,7% | 5,5% | ,0% | 1,8% | 100,0% |
| Total | | Recuento | 807 | 60 | 19 | 15 | 901 |
| | | % dentro de Longitud | 89,6% | 6,7% | 2,1% | 1,7% | 100,0% |

IX.- Anexo estadístico

Pruebas de chi-cuadrado

| | Valor | gl | Sig. asintótica (bilateral) |
|------------------------------|---------------------|----|-----------------------------|
| Chi-cuadrado de Pearson | 13,917 ^a | 12 | ,306 |
| Razón de verosimilitudes | 16,151 | 12 | ,184 |
| Asociación lineal por lineal | ,442 | 1 | ,506 |
| N de casos válidos | 901 | | |

Longitud * PE_2CM

Tabla de contingencia

| | | | PE_2CM | | | | Total |
|----------|------|----------------------|--------|-------|------|------|--------|
| | | | 0 | 1 | 2 | 3 | |
| Longitud | 8,5 | Recuento | 28 | 7 | 2 | 0 | 37 |
| | | % dentro de Longitud | 75,7% | 18,9% | 5,4% | ,0% | 100,0% |
| | 10,0 | Recuento | 109 | 28 | 4 | 2 | 143 |
| | | % dentro de Longitud | 76,2% | 19,6% | 2,8% | 1,4% | 100,0% |
| | 11,5 | Recuento | 146 | 17 | 6 | 2 | 171 |
| | | % dentro de Longitud | 85,4% | 9,9% | 3,5% | 1,2% | 100,0% |
| | 13,0 | Recuento | 297 | 31 | 14 | 3 | 345 |
| | | % dentro de Longitud | 86,1% | 9,0% | 4,1% | ,9% | 100,0% |
| | 14,5 | Recuento | 41 | 4 | 2 | 0 | 47 |
| | | % dentro de Longitud | 87,2% | 8,5% | 4,3% | ,0% | 100,0% |
| Total | | Recuento | 621 | 87 | 28 | 7 | 743 |
| | | % dentro de Longitud | 83,6% | 11,7% | 3,8% | ,9% | 100,0% |

Pruebas de chi-cuadrado

| | Valor | gl | Sig. asintótica (bilateral) |
|------------------------------|---------------------|----|-----------------------------|
| Chi-cuadrado de Pearson | 15,844 ^a | 12 | ,199 |
| Razón de verosimilitudes | 15,337 | 12 | ,224 |
| Asociación lineal por lineal | 3,648 | 1 | ,056 |
| N de casos válidos | 743 | | |

Longitud * PE_2CD Tabla de contingencia

| | | | PE_2CD | | | | Total |
|----------|------|----------------------|--------|-------|------|------|--------|
| | | | 0 | 1 | 2 | 3 | |
| Longitud | 8,5 | Recuento | 26 | 9 | 2 | 0 | 37 |
| | | % dentro de Longitud | 70,3% | 24,3% | 5,4% | ,0% | 100,0% |
| | 10,0 | Recuento | 110 | 27 | 4 | 2 | 143 |
| | | % dentro de Longitud | 76,9% | 18,9% | 2,8% | 1,4% | 100,0% |
| | 11,5 | Recuento | 149 | 15 | 4 | 3 | 171 |
| | | % dentro de Longitud | 87,1% | 8,8% | 2,3% | 1,8% | 100,0% |
| | 13,0 | Recuento | 292 | 32 | 19 | 2 | 345 |
| | | % dentro de Longitud | 84,6% | 9,3% | 5,5% | ,6% | 100,0% |
| | 14,5 | Recuento | 41 | 3 | 3 | 0 | 47 |
| | | % dentro de Longitud | 87,2% | 6,4% | 6,4% | ,0% | 100,0% |
| Total | | Recuento | 618 | 86 | 32 | 7 | 743 |
| | | % dentro de Longitud | 83,2% | 11,6% | 4,3% | ,9% | 100,0% |

IX.- Anexo estadístico

Pruebas de chi-cuadrado

| | Valor | gl | Sig. asintótica (bilateral) |
|------------------------------|---------------------|----|-----------------------------|
| Chi-cuadrado de Pearson | 24,348 ^a | 12 | ,018 |
| Razón de verosimilitudes | 23,343 | 12 | ,025 |
| Asociación lineal por lineal | 2,392 | 1 | ,122 |
| N de casos válidos | 743 | | |

Longitud * PE_3CM

Tabla de contingencia

| | | | PE_3CM | | | | Total |
|----------|------|----------------------|--------|-------|------|------|--------|
| | | | 0 | 1 | 2 | 3 | |
| Longitud | 8,5 | Recuento | 22 | 6 | 2 | 0 | 30 |
| | | % dentro de Longitud | 73,3% | 20,0% | 6,7% | ,0% | 100,0% |
| | 10,0 | Recuento | 63 | 18 | 6 | 4 | 91 |
| | | % dentro de Longitud | 69,2% | 19,8% | 6,6% | 4,4% | 100,0% |
| | 11,5 | Recuento | 96 | 10 | 5 | 4 | 115 |
| | | % dentro de Longitud | 83,5% | 8,7% | 4,3% | 3,5% | 100,0% |
| | 13,0 | Recuento | 184 | 20 | 13 | 3 | 220 |
| | | % dentro de Longitud | 83,6% | 9,1% | 5,9% | 1,4% | 100,0% |
| | 14,5 | Recuento | 26 | 3 | 1 | 0 | 30 |
| | | % dentro de Longitud | 86,7% | 10,0% | 3,3% | ,0% | 100,0% |
| Total | | Recuento | 391 | 57 | 27 | 11 | 486 |
| | | % dentro de Longitud | 80,5% | 11,7% | 5,6% | 2,3% | 100,0% |

Pruebas de chi-cuadrado

| | Valor | gl | Sig. asintótica (bilateral) |
|------------------------------|---------------------|----|-----------------------------|
| Chi-cuadrado de Pearson | 16,813 ^a | 12 | ,157 |
| Razón de verosimilitudes | 16,948 | 12 | ,152 |
| Asociación lineal por lineal | 5,261 | 1 | ,022 |
| N de casos válidos | 486 | | |

Longitud * PE_3CD

Tabla de contingencia

| | | | PE_3CD | | | | Total |
|----------|------|----------------------|--------|-------|-------|------|--------|
| | | | 0 | 1 | 2 | 3 | |
| Longitud | 8,5 | Recuento | 20 | 9 | 1 | 0 | 30 |
| | | % dentro de Longitud | 66,7% | 30,0% | 3,3% | ,0% | 100,0% |
| | 10,0 | Recuento | 65 | 19 | 5 | 2 | 91 |
| | | % dentro de Longitud | 71,4% | 20,9% | 5,5% | 2,2% | 100,0% |
| | 11,5 | Recuento | 100 | 7 | 4 | 4 | 115 |
| | | % dentro de Longitud | 87,0% | 6,1% | 3,5% | 3,5% | 100,0% |
| | 13,0 | Recuento | 184 | 21 | 10 | 5 | 220 |
| | | % dentro de Longitud | 83,6% | 9,5% | 4,5% | 2,3% | 100,0% |
| | 14,5 | Recuento | 26 | 1 | 3 | 0 | 30 |
| | | % dentro de Longitud | 86,7% | 3,3% | 10,0% | ,0% | 100,0% |
| Total | | Recuento | 395 | 57 | 23 | 11 | 486 |
| | | % dentro de Longitud | 81,3% | 11,7% | 4,7% | 2,3% | 100,0% |

IX.- Anexo estadístico

Pruebas de chi-cuadrado

| | Valor | gl | Sig. asintótica (bilateral) |
|------------------------------|---------------------|----|-----------------------------|
| Chi-cuadrado de Pearson | 27,945 ^a | 12 | ,006 |
| Razón de verosimilitudes | 26,518 | 12 | ,009 |
| Asociación lineal por lineal | 2,385 | 1 | ,122 |
| N de casos válidos | 486 | | |

Crestal/Supra * PE_1CM

Tabla de contingencia

| | | | PE_1CM | | | | Total |
|---------------|---------------------------|---------------------------|--------|------|------|--------|--------|
| | | | 0 | 1 | 2 | 3 | |
| Crestal/Supra | 1 CRESTAL | Recuento | 646 | 42 | 17 | 14 | 719 |
| | | % dentro de Crestal/Supra | 89,8% | 5,8% | 2,4% | 1,9% | 100,0% |
| | 2 SUPRACRESTAL | Recuento | 166 | 9 | 5 | 2 | 182 |
| | | % dentro de Crestal/Supra | 91,2% | 4,9% | 2,7% | 1,1% | 100,0% |
| Total | Recuento | 812 | 51 | 22 | 16 | 901 | |
| | % dentro de Crestal/Supra | 90,1% | 5,7% | 2,4% | 1,8% | 100,0% | |

Pruebas de chi-cuadrado

| | Valor | gl | Sig. asintótica (bilateral) |
|------------------------------|-------------------|----|-----------------------------|
| Chi-cuadrado de Pearson | ,912 ^a | 3 | ,823 |
| Razón de verosimilitudes | ,987 | 3 | ,804 |
| Asociación lineal por lineal | ,359 | 1 | ,549 |

Pruebas de chi-cuadrado

| | Valor | gl | Sig. asintótica (bilateral) |
|------------------------------|-------------------|----|-----------------------------|
| Chi-cuadrado de Pearson | ,912 ^a | 3 | ,823 |
| Razón de verosimilitudes | ,987 | 3 | ,804 |
| Asociación lineal por lineal | ,359 | 1 | ,549 |
| N de casos válidos | 901 | | |

Crestal/Supra * PE_1CD

Tabla de contingencia

| | | | PE_1CD | | | | Total |
|---------------|----------------|---------------------------|--------|------|------|------|--------|
| | | | 0 | 1 | 2 | 3 | |
| Crestal/Supra | 1 CRESTAL | Recuento | 649 | 43 | 12 | 15 | 719 |
| | | % dentro de Crestal/Supra | 90,3% | 6,0% | 1,7% | 2,1% | 100,0% |
| | 2 SUPRACRESTAL | Recuento | 158 | 17 | 7 | 0 | 182 |
| | | % dentro de Crestal/Supra | 86,8% | 9,3% | 3,8% | ,0% | 100,0% |
| Total | | Recuento | 807 | 60 | 19 | 15 | 901 |
| | | % dentro de Crestal/Supra | 89,6% | 6,7% | 2,1% | 1,7% | 100,0% |

Pruebas de chi-cuadrado

| | Valor | gl | Sig. asintótica (bilateral) |
|------------------------------|--------------------|----|-----------------------------|
| Chi-cuadrado de Pearson | 9,717 ^a | 3 | ,021 |
| Razón de verosimilitudes | 12,024 | 3 | ,007 |
| Asociación lineal por lineal | ,112 | 1 | ,738 |

Pruebas de chi-cuadrado

| | Valor | gl | Sig. asintótica (bilateral) |
|------------------------------|--------------------|----|-----------------------------|
| Chi-cuadrado de Pearson | 9,717 ^a | 3 | ,021 |
| Razón de verosimilitudes | 12,024 | 3 | ,007 |
| Asociación lineal por lineal | ,112 | 1 | ,738 |
| N de casos válidos | 901 | | |

Crestal/Supra * PE_2CM

Tabla de contingencia

| | | | PE_2CM | | | | Total |
|---------------|----------------|---------------------------|--------|-------|------|------|--------|
| | | | 0 | 1 | 2 | 3 | |
| Crestal/Supra | 1 CRESTAL | Recuento | 536 | 78 | 26 | 6 | 646 |
| | | % dentro de Crestal/Supra | 83,0% | 12,1% | 4,0% | ,9% | 100,0% |
| | 2 SUPRACRESTAL | Recuento | 85 | 9 | 2 | 1 | 97 |
| | | % dentro de Crestal/Supra | 87,6% | 9,3% | 2,1% | 1,0% | 100,0% |
| Total | | Recuento | 621 | 87 | 28 | 7 | 743 |
| | | % dentro de Crestal/Supra | 83,6% | 11,7% | 3,8% | ,9% | 100,0% |

Pruebas de chi-cuadrado

| | Valor | gl | Sig. asintótica (bilateral) |
|------------------------------|--------------------|----|-----------------------------|
| Chi-cuadrado de Pearson | 1,653 ^a | 3 | ,647 |
| Razón de verosimilitudes | 1,834 | 3 | ,608 |
| Asociación lineal por lineal | 1,141 | 1 | ,286 |
| N de casos válidos | 743 | | |

IX.- Anexo estadístico

Crestal/Supra * PE_2CD

Tabla de contingencia

| | | | PE_2CD | | | | Total |
|---------------|----------------|---------------------------|--------|-------|------|------|--------|
| | | | 0 | 1 | 2 | 3 | |
| Crestal/Supra | 1 CRESTAL | Recuento | 536 | 74 | 29 | 7 | 646 |
| | | % dentro de Crestal/Supra | 83,0% | 11,5% | 4,5% | 1,1% | 100,0% |
| | 2 SUPRACRESTAL | Recuento | 82 | 12 | 3 | 0 | 97 |
| | | % dentro de Crestal/Supra | 84,5% | 12,4% | 3,1% | ,0% | 100,0% |
| Total | | Recuento | 618 | 86 | 32 | 7 | 743 |
| | | % dentro de Crestal/Supra | 83,2% | 11,6% | 4,3% | ,9% | 100,0% |

Pruebas de chi-cuadrado

| | Valor | gl | Sig. asintótica (bilateral) |
|------------------------------|--------------------|----|-----------------------------|
| Chi-cuadrado de Pearson | 1,519 ^a | 3 | ,678 |
| Razón de verosimilitudes | 2,461 | 3 | ,482 |
| Asociación lineal por lineal | ,692 | 1 | ,405 |
| N de casos válidos | 743 | | |

Crestal/Supra * PE_3CM

Tabla de contingencia

| | | | PE_3CM | | | | Total |
|---------------|----------------|---------------------------|--------|-------|------|------|--------|
| | | | 0 | 1 | 2 | 3 | |
| Crestal/Supra | 1 CRESTAL | Recuento | 371 | 53 | 26 | 11 | 461 |
| | | % dentro de Crestal/Supra | 80,5% | 11,5% | 5,6% | 2,4% | 100,0% |
| | 2 SUPRACRESTAL | Recuento | 20 | 4 | 1 | 0 | 25 |
| | | % dentro de Crestal/Supra | 80,0% | 16,0% | 4,0% | ,0% | 100,0% |
| Total | | Recuento | 391 | 57 | 27 | 11 | 486 |
| | | % dentro de Crestal/Supra | 80,5% | 11,7% | 5,6% | 2,3% | 100,0% |

Pruebas de chi-cuadrado

| | Valor | gl | Sig. asintótica (bilateral) |
|------------------------------|--------------------|----|-----------------------------|
| Chi-cuadrado de Pearson | 1,122 ^a | 3 | ,772 |
| Razón de verosimilitudes | 1,659 | 3 | ,646 |
| Asociación lineal por lineal | ,183 | 1 | ,669 |
| N de casos válidos | 486 | | |

IX.- Anexo estadístico

Crestal/Supra * PE_3CD

Tabla de contingencia

| | | | PE_3CD | | | | Total |
|---------------|----------------|---------------------------|--------|-------|------|------|--------|
| | | | 0 | 1 | 2 | 3 | |
| Crestal/Supra | 1 CRESTAL | Recuento | 375 | 54 | 21 | 11 | 461 |
| | | % dentro de Crestal/Supra | 81,3% | 11,7% | 4,6% | 2,4% | 100,0% |
| | 2 SUPRACRESTAL | Recuento | 20 | 3 | 2 | 0 | 25 |
| | | % dentro de Crestal/Supra | 80,0% | 12,0% | 8,0% | ,0% | 100,0% |
| Total | | Recuento | 395 | 57 | 23 | 11 | 486 |
| | | % dentro de Crestal/Supra | 81,3% | 11,7% | 4,7% | 2,3% | 100,0% |

Pruebas de chi-cuadrado

| | Valor | gl | Sig. asintótica (bilateral) |
|------------------------------|--------------------|----|-----------------------------|
| Chi-cuadrado de Pearson | 1,198 ^a | 3 | ,753 |
| Razón de verosimilitudes | 1,666 | 3 | ,645 |
| Asociación lineal por lineal | ,000 | 1 | ,999 |
| N de casos válidos | 486 | | |

Carga * PE_1CM (Tabla de contingencia)

| | | | PE_1CM | | | | Total |
|-------|--------------|-------------------|--------|-------|------|------|--------|
| | | | 0 | 1 | 2 | 3 | |
| Carga | 1 INMEDIATA | Recuento | 249 | 10 | 1 | 1 | 261 |
| | | % dentro de Carga | 95,4% | 3,8% | ,4% | ,4% | 100,0% |
| | 2 PRECOZ | Recuento | 445 | 26 | 17 | 11 | 499 |
| | | % dentro de Carga | 89,2% | 5,2% | 3,4% | 2,2% | 100,0% |
| | 3 CIR_PREVIA | Recuento | 118 | 15 | 4 | 4 | 141 |
| | | % dentro de Carga | 83,7% | 10,6% | 2,8% | 2,8% | 100,0% |
| Total | | Recuento | 812 | 51 | 22 | 16 | 901 |
| | | % dentro de Carga | 90,1% | 5,7% | 2,4% | 1,8% | 100,0% |

Pruebas de chi-cuadrado

| | Valor | gl | Sig. asintótica (bilateral) |
|------------------------------|---------------------|----|-----------------------------|
| Chi-cuadrado de Pearson | 20,182 ^a | 6 | ,003 |
| Razón de verosimilitudes | 22,579 | 6 | ,001 |
| Asociación lineal por lineal | 13,655 | 1 | ,000 |
| N de casos válidos | 901 | | |

IX.- Anexo estadístico

Carga * PE_1CD (Tabla de contingencia)

| | | | PE_1CD | | | | Total |
|-------|--------------|-------------------|--------|-------|------|------|--------|
| | | | 0 | 1 | 2 | 3 | |
| Carga | 1 INMEDIATA | Recuento | 247 | 9 | 4 | 1 | 261 |
| | | % dentro de Carga | 94,6% | 3,4% | 1,5% | ,4% | 100,0% |
| | 2 PRECOZ | Recuento | 445 | 32 | 13 | 9 | 499 |
| | | % dentro de Carga | 89,2% | 6,4% | 2,6% | 1,8% | 100,0% |
| | 3 CIR_PREVIA | Recuento | 115 | 19 | 2 | 5 | 141 |
| | | % dentro de Carga | 81,6% | 13,5% | 1,4% | 3,5% | 100,0% |
| Total | | Recuento | 807 | 60 | 19 | 15 | 901 |
| | | % dentro de Carga | 89,6% | 6,7% | 2,1% | 1,7% | 100,0% |

Pruebas de chi-cuadrado

| | Valor | gl | Sig. asintótica (bilateral) |
|------------------------------|---------------------|----|-----------------------------|
| Chi-cuadrado de Pearson | 22,633 ^a | 6 | ,001 |
| Razón de verosimilitudes | 21,730 | 6 | ,001 |
| Asociación lineal por lineal | 12,886 | 1 | ,000 |
| N de casos válidos | 901 | | |

Carga * PE_2CM (Tabla de contingencia)

| | | | PE_2CM | | | | Total |
|-------|--------------|-------------------|--------|-------|------|------|--------|
| | | | 0 | 1 | 2 | 3 | |
| Carga | 1 INMEDIATA | Recuento | 189 | 16 | 4 | 1 | 210 |
| | | % dentro de Carga | 90,0% | 7,6% | 1,9% | ,5% | 100,0% |
| | 2 PRECOZ | Recuento | 351 | 40 | 13 | 2 | 406 |
| | | % dentro de Carga | 86,5% | 9,9% | 3,2% | ,5% | 100,0% |
| | 3 CIR_PREVIA | Recuento | 81 | 31 | 11 | 4 | 127 |
| | | % dentro de Carga | 63,8% | 24,4% | 8,7% | 3,1% | 100,0% |
| Total | | Recuento | 621 | 87 | 28 | 7 | 743 |
| | | % dentro de Carga | 83,6% | 11,7% | 3,8% | ,9% | 100,0% |

Pruebas de chi-cuadrado

| | Valor | gl | Sig. asintótica (bilateral) |
|------------------------------|---------------------|----|-----------------------------|
| Chi-cuadrado de Pearson | 47,357 ^a | 6 | ,000 |
| Razón de verosimilitudes | 40,189 | 6 | ,000 |
| Asociación lineal por lineal | 31,805 | 1 | ,000 |
| N de casos válidos | 743 | | |

IX.- Anexo estadístico

Carga * PE_2CD

Tabla de contingencia

| | | | PE_2CD | | | | Total |
|-------|--------------|-------------------|--------|-------|------|------|--------|
| | | | 0 | 1 | 2 | 3 | |
| Carga | 1 INMEDIATA | Recuento | 190 | 14 | 5 | 1 | 210 |
| | | % dentro de Carga | 90,5% | 6,7% | 2,4% | ,5% | 100,0% |
| | 2 PRECOZ | Recuento | 349 | 38 | 16 | 3 | 406 |
| | | % dentro de Carga | 86,0% | 9,4% | 3,9% | ,7% | 100,0% |
| | 3 CIR_PREVIA | Recuento | 79 | 34 | 11 | 3 | 127 |
| | | % dentro de Carga | 62,2% | 26,8% | 8,7% | 2,4% | 100,0% |
| Total | | Recuento | 618 | 86 | 32 | 7 | 743 |
| | | % dentro de Carga | 83,2% | 11,6% | 4,3% | ,9% | 100,0% |

Pruebas de chi-cuadrado

| | Valor | gl | Sig. asintótica (bilateral) |
|------------------------------|---------------------|----|-----------------------------|
| Chi-cuadrado de Pearson | 50,777 ^a | 6 | ,000 |
| Razón de verosimilitudes | 43,769 | 6 | ,000 |
| Asociación lineal por lineal | 31,065 | 1 | ,000 |
| N de casos válidos | 743 | | |

Carga * PE_3CM

Tabla de contingencia

| | | | PE_3CM | | | | Total |
|-------|--------------|-------------------|--------|-------|-------|------|--------|
| | | | 0 | 1 | 2 | 3 | |
| Carga | 1 INMEDIATA | Recuento | 99 | 12 | 4 | 0 | 115 |
| | | % dentro de Carga | 86,1% | 10,4% | 3,5% | ,0% | 100,0% |
| | 2 PRECOZ | Recuento | 240 | 26 | 10 | 6 | 282 |
| | | % dentro de Carga | 85,1% | 9,2% | 3,5% | 2,1% | 100,0% |
| | 3 CIR_PREVIA | Recuento | 52 | 19 | 13 | 5 | 89 |
| | | % dentro de Carga | 58,4% | 21,3% | 14,6% | 5,6% | 100,0% |
| Total | | Recuento | 391 | 57 | 27 | 11 | 486 |
| | | % dentro de Carga | 80,5% | 11,7% | 5,6% | 2,3% | 100,0% |

Pruebas de chi-cuadrado

| | Valor | gl | Sig. asintótica (bilateral) |
|------------------------------|---------------------|----|-----------------------------|
| Chi-cuadrado de Pearson | 38,397 ^a | 6 | ,000 |
| Razón de verosimilitudes | 35,325 | 6 | ,000 |
| Asociación lineal por lineal | 24,612 | 1 | ,000 |
| N de casos válidos | 486 | | |

IX.- Anexo estadístico

Carga * PE_3CD

Tabla de contingencia

| | | | PE_3CD | | | | Total |
|-------|--------------|-------------------|--------|-------|-------|------|--------|
| | | | 0 | 1 | 2 | 3 | |
| Carga | 1 INMEDIATA | Recuento | 99 | 11 | 5 | 0 | 115 |
| | | % dentro de Carga | 86,1% | 9,6% | 4,3% | ,0% | 100,0% |
| | 2 PRECOZ | Recuento | 242 | 26 | 6 | 8 | 282 |
| | | % dentro de Carga | 85,8% | 9,2% | 2,1% | 2,8% | 100,0% |
| | 3 CIR_PREVIA | Recuento | 54 | 20 | 12 | 3 | 89 |
| | | % dentro de Carga | 60,7% | 22,5% | 13,5% | 3,4% | 100,0% |
| Total | | Recuento | 395 | 57 | 23 | 11 | 486 |
| | | % dentro de Carga | 81,3% | 11,7% | 4,7% | 2,3% | 100,0% |

Pruebas de chi-cuadrado

| | Valor | gl | Sig. asintótica (bilateral) |
|------------------------------|---------------------|----|-----------------------------|
| Chi-cuadrado de Pearson | 38,395 ^a | 6 | ,000 |
| Razón de verosimilitudes | 35,823 | 6 | ,000 |
| Asociación lineal por lineal | 17,589 | 1 | ,000 |
| N de casos válidos | 486 | | |

Protesis * PE_1CM

Tabla de contingencia

| | | | PE_1CM | | | | Total |
|----------|------------------|----------------------|--------|------|------|------|--------|
| | | | 0 | 1 | 2 | 3 | |
| Protesis | 1 FIJA | Recuento | 553 | 41 | 20 | 8 | 622 |
| | | % dentro de Protesis | 88,9% | 6,6% | 3,2% | 1,3% | 100,0% |
| | 2 SOBREDENTADURA | Recuento | 232 | 7 | 2 | 5 | 246 |
| | | % dentro de Protesis | 94,3% | 2,8% | ,8% | 2,0% | 100,0% |
| Total | | Recuento | 785 | 48 | 22 | 13 | 868 |
| | | % dentro de Protesis | 90,4% | 5,5% | 2,5% | 1,5% | 100,0% |

Pruebas de chi-cuadrado

| | Valor | gl | Sig. asintótica (bilateral) |
|------------------------------|--------------------|----|-----------------------------|
| Chi-cuadrado de Pearson | 9,712 ^a | 3 | ,021 |
| Razón de verosimilitudes | 11,250 | 3 | ,010 |
| Asociación lineal por lineal | 2,611 | 1 | ,106 |
| N de casos válidos | 868 | | |

IX.- Anexo estadístico

Protesis * PE_1CD

Tabla de contingencia

| | | | PE_1CD | | | | Total |
|----------|------------------|----------------------|--------|------|------|------|--------|
| | | | 0 | 1 | 2 | 3 | |
| Protesis | 1 FIJA | Recuento | 550 | 52 | 13 | 7 | 622 |
| | | % dentro de Protesis | 88,4% | 8,4% | 2,1% | 1,1% | 100,0% |
| | 2 SOBREDENTADURA | Recuento | 230 | 6 | 4 | 6 | 246 |
| | | % dentro de Protesis | 93,5% | 2,4% | 1,6% | 2,4% | 100,0% |
| Total | | Recuento | 780 | 58 | 17 | 13 | 868 |
| | | % dentro de Protesis | 89,9% | 6,7% | 2,0% | 1,5% | 100,0% |

Pruebas de chi-cuadrado

| | Valor | gl | Sig. asintótica (bilateral) |
|------------------------------|---------------------|----|-----------------------------|
| Chi-cuadrado de Pearson | 11,979 ^a | 3 | ,007 |
| Razón de verosimilitudes | 13,760 | 3 | ,003 |
| Asociación lineal por lineal | ,579 | 1 | ,447 |
| N de casos válidos | 868 | | |

Protesis * PE_2CM

Tabla de contingencia

| | | | PE_2CM | | | | Total |
|----------|------------------|----------------------|--------|-------|------|------|--------|
| | | | 0 | 1 | 2 | 3 | |
| Protesis | 1 FIJA | Recuento | 412 | 75 | 24 | 4 | 515 |
| | | % dentro de Protesis | 80,0% | 14,6% | 4,7% | ,8% | 100,0% |
| | 2 SOBREDENTADURA | Recuento | 183 | 11 | 4 | 3 | 201 |
| | | % dentro de Protesis | 91,0% | 5,5% | 2,0% | 1,5% | 100,0% |
| Total | | Recuento | 595 | 86 | 28 | 7 | 716 |
| | | % dentro de Protesis | 83,1% | 12,0% | 3,9% | 1,0% | 100,0% |

Pruebas de chi-cuadrado

| | Valor | gl | Sig. asintótica (bilateral) |
|------------------------------|---------------------|----|-----------------------------|
| Chi-cuadrado de Pearson | 15,463 ^a | 3 | ,001 |
| Razón de verosimilitudes | 17,399 | 3 | ,001 |
| Asociación lineal por lineal | 6,966 | 1 | ,008 |
| N de casos válidos | 716 | | |

IX.- Anexo estadístico

Protesis * PE_2CD

Tabla de contingencia

| | | | PE_2CD | | | | Total |
|----------|------------------|----------------------|--------|-------|------|------|--------|
| | | | 0 | 1 | 2 | 3 | |
| Protesis | 1 FIJA | Recuento | 411 | 74 | 26 | 4 | 515 |
| | | % dentro de Protesis | 79,8% | 14,4% | 5,0% | ,8% | 100,0% |
| | 2 SOBREDENTADURA | Recuento | 181 | 11 | 6 | 3 | 201 |
| | | % dentro de Protesis | 90,0% | 5,5% | 3,0% | 1,5% | 100,0% |
| Total | | Recuento | 592 | 85 | 32 | 7 | 716 |
| | | % dentro de Protesis | 82,7% | 11,9% | 4,5% | 1,0% | 100,0% |

Pruebas de chi-cuadrado

| | Valor | gl | Sig. asintótica (bilateral) |
|------------------------------|---------------------|----|-----------------------------|
| Chi-cuadrado de Pearson | 13,608 ^a | 3 | ,003 |
| Razón de verosimilitudes | 15,216 | 3 | ,002 |
| Asociación lineal por lineal | 5,189 | 1 | ,023 |
| N de casos válidos | 716 | | |

Protesis * PE_3CM

Tabla de contingencia

| | | | PE_3CM | | | | Total |
|----------|------------------|----------------------|--------|-------|------|------|--------|
| | | | 0 | 1 | 2 | 3 | |
| Protesis | 1 FIJA | Recuento | 274 | 48 | 20 | 4 | 346 |
| | | % dentro de Protesis | 79,2% | 13,9% | 5,8% | 1,2% | 100,0% |
| | 2 SOBREDENTADURA | Recuento | 91 | 9 | 7 | 7 | 114 |
| | | % dentro de Protesis | 79,8% | 7,9% | 6,1% | 6,1% | 100,0% |
| Total | | Recuento | 365 | 57 | 27 | 11 | 460 |
| | | % dentro de Protesis | 79,3% | 12,4% | 5,9% | 2,4% | 100,0% |

Pruebas de chi-cuadrado

| | Valor | gl | Sig. asintótica (bilateral) |
|------------------------------|---------------------|----|-----------------------------|
| Chi-cuadrado de Pearson | 11,405 ^a | 3 | ,010 |
| Razón de verosimilitudes | 10,139 | 3 | ,017 |
| Asociación lineal por lineal | 1,690 | 1 | ,194 |
| N de casos válidos | 460 | | |

IX.- Anexo estadístico

Protesis * PE_3CD

Tabla de contingencia

| | | | PE_3CD | | | | Total |
|----------|------------------|----------------------|--------|-------|------|------|--------|
| | | | 0 | 1 | 2 | 3 | |
| Protesis | 1 FIJA | Recuento | 277 | 48 | 18 | 3 | 346 |
| | | % dentro de Protesis | 80,1% | 13,9% | 5,2% | ,9% | 100,0% |
| | 2 SOBREDENTADURA | Recuento | 92 | 9 | 5 | 8 | 114 |
| | | % dentro de Protesis | 80,7% | 7,9% | 4,4% | 7,0% | 100,0% |
| Total | | Recuento | 369 | 57 | 23 | 11 | 460 |
| | | % dentro de Protesis | 80,2% | 12,4% | 5,0% | 2,4% | 100,0% |

Pruebas de chi-cuadrado

| | Valor | gl | Sig. asintótica (bilateral) |
|------------------------------|---------------------|----|-----------------------------|
| Chi-cuadrado de Pearson | 16,156 ^a | 3 | ,001 |
| Razón de verosimilitudes | 13,988 | 3 | ,003 |
| Asociación lineal por lineal | 2,226 | 1 | ,136 |
| N de casos válidos | 460 | | |

Ajuste prót. * PE_1CM

Tabla de contingencia

| | | | PE_1CM | | | | Total |
|--------------|---------|--------------------------|--------|------|------|------|--------|
| | | | 0 | 1 | 2 | 3 | |
| Ajuste prót. | 1 BUENO | Recuento | 331 | 11 | 11 | 7 | 360 |
| | | % dentro de Ajuste prót. | 91,9% | 3,1% | 3,1% | 1,9% | 100,0% |
| | 2 MALO | Recuento | 35 | 2 | 1 | 0 | 38 |
| | | % dentro de Ajuste prót. | 92,1% | 5,3% | 2,6% | ,0% | 100,0% |
| Total | | Recuento | 366 | 13 | 12 | 7 | 398 |
| | | % dentro de Ajuste prót. | 92,0% | 3,3% | 3,0% | 1,8% | 100,0% |

Pruebas de chi-cuadrado

| | Valor | gl | Sig. asintótica (bilateral) |
|------------------------------|--------------------|----|-----------------------------|
| Chi-cuadrado de Pearson | 1,272 ^a | 3 | ,736 |
| Razón de verosimilitudes | 1,867 | 3 | ,600 |
| Asociación lineal por lineal | ,236 | 1 | ,627 |
| N de casos válidos | 398 | | |

IX.- Anexo estadístico

Ajuste prót. * PE_1CD

Tabla de contingencia

| | | | PE_1CD | | | | Total |
|--------------|--------------------------|--------------------------|--------|------|------|------|--------|
| | | | 0 | 1 | 2 | 3 | |
| Ajuste prót. | 1 BUENO | Recuento | 330 | 12 | 9 | 9 | 360 |
| | | % dentro de Ajuste prót. | 91,7% | 3,3% | 2,5% | 2,5% | 100,0% |
| | 2 MALO | Recuento | 36 | 2 | 0 | 0 | 38 |
| | | % dentro de Ajuste prót. | 94,7% | 5,3% | ,0% | ,0% | 100,0% |
| Total | Recuento | | 366 | 14 | 9 | 9 | 398 |
| | % dentro de Ajuste prót. | | 92,0% | 3,5% | 2,3% | 2,3% | 100,0% |

Pruebas de chi-cuadrado

| | Valor | gl | Sig. asintótica (bilateral) |
|------------------------------|--------------------|----|-----------------------------|
| Chi-cuadrado de Pearson | 2,299 ^a | 3 | ,513 |
| Razón de verosimilitudes | 3,968 | 3 | ,265 |
| Asociación lineal por lineal | 1,247 | 1 | ,264 |
| N de casos válidos | 398 | | |

Ajuste prót. * PE_2CM

Tabla de contingencia

| | | | PE_2CM | | | | Total |
|--------------|---------|--------------------------|--------|-------|-------|------|--------|
| | | | 0 | 1 | 2 | 3 | |
| Ajuste prót. | 1 BUENO | Recuento | 266 | 42 | 12 | 4 | 324 |
| | | % dentro de Ajuste prót. | 82,1% | 13,0% | 3,7% | 1,2% | 100,0% |
| | 2 MALO | Recuento | 24 | 5 | 5 | 0 | 34 |
| | | % dentro de Ajuste prót. | 70,6% | 14,7% | 14,7% | ,0% | 100,0% |
| Total | | Recuento | 290 | 47 | 17 | 4 | 358 |
| | | % dentro de Ajuste prót. | 81,0% | 13,1% | 4,7% | 1,1% | 100,0% |

Pruebas de chi-cuadrado

| | Valor | gl | Sig. asintótica (bilateral) |
|------------------------------|--------------------|----|-----------------------------|
| Chi-cuadrado de Pearson | 8,838 ^a | 3 | ,032 |
| Razón de verosimilitudes | 6,731 | 3 | ,081 |
| Asociación lineal por lineal | 3,479 | 1 | ,062 |
| N de casos válidos | 358 | | |

IX.- Anexo estadístico

Ajuste prót. * PE_2CD

Tabla de contingencia

| | | | PE_2CD | | | | Total |
|--------------|--------------------------|--------------------------|--------|-------|------|------|--------|
| | | | 0 | 1 | 2 | 3 | |
| Ajuste prót. | 1 BUENO | Recuento | 263 | 40 | 16 | 5 | 324 |
| | | % dentro de Ajuste prót. | 81,2% | 12,3% | 4,9% | 1,5% | 100,0% |
| | 2 MALO | Recuento | 26 | 5 | 3 | 0 | 34 |
| | | % dentro de Ajuste prót. | 76,5% | 14,7% | 8,8% | ,0% | 100,0% |
| Total | Recuento | | 289 | 45 | 19 | 5 | 358 |
| | % dentro de Ajuste prót. | | 80,7% | 12,6% | 5,3% | 1,4% | 100,0% |

Pruebas de chi-cuadrado

| | Valor | gl | Sig. asintótica (bilateral) |
|------------------------------|--------------------|----|-----------------------------|
| Chi-cuadrado de Pearson | 1,621 ^a | 3 | ,655 |
| Razón de verosimilitudes | 1,958 | 3 | ,581 |
| Asociación lineal por lineal | ,239 | 1 | ,625 |
| N de casos válidos | 358 | | |

Ajuste prót. * PE_3CM

Tabla de contingencia

| | | | PE_3CM | | | | Total |
|--------------|---------|--------------------------|--------|-------|-------|------|--------|
| | | | 0 | 1 | 2 | 3 | |
| Ajuste prót. | 1 BUENO | Recuento | 162 | 24 | 16 | 10 | 212 |
| | | % dentro de Ajuste prót. | 76,4% | 11,3% | 7,5% | 4,7% | 100,0% |
| | 2 MALO | Recuento | 10 | 3 | 4 | 0 | 17 |
| | | % dentro de Ajuste prót. | 58,8% | 17,6% | 23,5% | ,0% | 100,0% |
| Total | | Recuento | 172 | 27 | 20 | 10 | 229 |
| | | % dentro de Ajuste prót. | 75,1% | 11,8% | 8,7% | 4,4% | 100,0% |

Pruebas de chi-cuadrado

| | Valor | gl | Sig. asintótica (bilateral) |
|------------------------------|--------------------|----|-----------------------------|
| Chi-cuadrado de Pearson | 6,587 ^a | 3 | ,086 |
| Razón de verosimilitudes | 5,965 | 3 | ,113 |
| Asociación lineal por lineal | 1,341 | 1 | ,247 |
| N de casos válidos | 229 | | |

IX.- Anexo estadístico

Ajuste prót. * PE_3CD

Tabla de contingencia

| | | | PE_3CD | | | | Total |
|--------------|--------------------------|--------------------------|--------|-------|-------|------|--------|
| | | | 0 | 1 | 2 | 3 | |
| Ajuste prót. | 1 BUENO | Recuento | 164 | 24 | 14 | 10 | 212 |
| | | % dentro de Ajuste prót. | 77,4% | 11,3% | 6,6% | 4,7% | 100,0% |
| | 2 MALO | Recuento | 11 | 3 | 3 | 0 | 17 |
| | | % dentro de Ajuste prót. | 64,7% | 17,6% | 17,6% | ,0% | 100,0% |
| Total | Recuento | | 175 | 27 | 17 | 10 | 229 |
| | % dentro de Ajuste prót. | | 76,4% | 11,8% | 7,4% | 4,4% | 100,0% |

Pruebas de chi-cuadrado

| | Valor | gl | Sig. asintótica (bilateral) |
|------------------------------|--------------------|----|-----------------------------|
| Chi-cuadrado de Pearson | 4,251 ^a | 3 | ,236 |
| Razón de verosimilitudes | 4,277 | 3 | ,233 |
| Asociación lineal por lineal | ,490 | 1 | ,484 |
| N de casos válidos | 229 | | |

Unitario/Puente * PE_1CM

Tabla de contingencia

| | | | PE_1CM | | | | Total |
|-----------------|------------|-----------------------------|--------|------|------|------|--------|
| | | | 0 | 1 | 2 | 3 | |
| Unitario/Puente | 1 UNITARIO | Recuento | 47 | 2 | 0 | 0 | 49 |
| | | % dentro de Unitario/Puente | 95,9% | 4,1% | ,0% | ,0% | 100,0% |
| | 2 PUENTE | Recuento | 478 | 39 | 17 | 6 | 540 |
| | | % dentro de Unitario/Puente | 88,5% | 7,2% | 3,1% | 1,1% | 100,0% |
| Total | | Recuento | 525 | 41 | 17 | 6 | 589 |
| | | % dentro de Unitario/Puente | 89,1% | 7,0% | 2,9% | 1,0% | 100,0% |

Pruebas de chi-cuadrado

| | Valor | gl | Sig. asintótica (bilateral) |
|------------------------------|--------------------|----|-----------------------------|
| Chi-cuadrado de Pearson | 3,000 ^a | 3 | ,392 |
| Razón de verosimilitudes | 5,004 | 3 | ,172 |
| Asociación lineal por lineal | 2,904 | 1 | ,088 |
| N de casos válidos | 589 | | |

IX.- Anexo estadístico

Unitario/Puente * PE_1CD

Tabla de contingencia

| | | | PE_1CD | | | | Total |
|-----------------|------------|-----------------------------|--------|------|------|-----|--------|
| | | | 0 | 1 | 2 | 3 | |
| Unitario/Puente | 1 UNITARIO | Recuento | 46 | 2 | 1 | 0 | 49 |
| | | % dentro de Unitario/Puente | 93,9% | 4,1% | 2,0% | ,0% | 100,0% |
| | 2 PUENTE | Recuento | 476 | 48 | 11 | 5 | 540 |
| | | % dentro de Unitario/Puente | 88,1% | 8,9% | 2,0% | ,9% | 100,0% |
| Total | | Recuento | 522 | 50 | 12 | 5 | 589 |
| | | % dentro de Unitario/Puente | 88,6% | 8,5% | 2,0% | ,8% | 100,0% |

Pruebas de chi-cuadrado

| | Valor | gl | Sig. asintótica (bilateral) |
|------------------------------|--------------------|----|-----------------------------|
| Chi-cuadrado de Pearson | 1,843 ^a | 3 | ,606 |
| Razón de verosimilitudes | 2,522 | 3 | ,471 |
| Asociación lineal por lineal | 1,171 | 1 | ,279 |
| N de casos válidos | 589 | | |

Unitario/Puente * PE_2CM

Tabla de contingencia

| | | | PE_2CM | | | | Total |
|-----------------|------------|-----------------------------|--------|-------|------|-----|--------|
| | | | 0 | 1 | 2 | 3 | |
| Unitario/Puente | 1 UNITARIO | Recuento | 34 | 3 | 0 | 0 | 37 |
| | | % dentro de Unitario/Puente | 91,9% | 8,1% | ,0% | ,0% | 100,0% |
| | 2 PUENTE | Recuento | 353 | 72 | 22 | 3 | 450 |
| | | % dentro de Unitario/Puente | 78,4% | 16,0% | 4,9% | ,7% | 100,0% |
| Total | | Recuento | 387 | 75 | 22 | 3 | 487 |
| | | % dentro de Unitario/Puente | 79,5% | 15,4% | 4,5% | ,6% | 100,0% |

Pruebas de chi-cuadrado

| | Valor | gl | Sig. asintótica (bilateral) |
|------------------------------|--------------------|----|-----------------------------|
| Chi-cuadrado de Pearson | 4,216 ^a | 3 | ,239 |
| Razón de verosimilitudes | 6,345 | 3 | ,096 |
| Asociación lineal por lineal | 4,111 | 1 | ,043 |
| N de casos válidos | 487 | | |

IX.- Anexo estadístico

Unitario/Puente * PE_2CD

Tabla de contingencia

| | | | PE_2CD | | | | Total |
|-----------------|------------|-----------------------------|--------|-------|------|-----|--------|
| | | | 0 | 1 | 2 | 3 | |
| Unitario/Puente | 1 UNITARIO | Recuento | 35 | 2 | 0 | 0 | 37 |
| | | % dentro de Unitario/Puente | 94,6% | 5,4% | ,0% | ,0% | 100,0% |
| | 2 PUENTE | Recuento | 351 | 72 | 24 | 3 | 450 |
| | | % dentro de Unitario/Puente | 78,0% | 16,0% | 5,3% | ,7% | 100,0% |
| Total | | Recuento | 386 | 74 | 24 | 3 | 487 |
| | | % dentro de Unitario/Puente | 79,3% | 15,2% | 4,9% | ,6% | 100,0% |

Pruebas de chi-cuadrado

| | Valor | gl | Sig. asintótica (bilateral) |
|------------------------------|--------------------|----|-----------------------------|
| Chi-cuadrado de Pearson | 5,933 ^a | 3 | ,115 |
| Razón de verosimilitudes | 8,689 | 3 | ,034 |
| Asociación lineal por lineal | 5,558 | 1 | ,018 |
| N de casos válidos | 487 | | |

Unitario/Puente * PE_3CM

Tabla de contingencia

| | | | PE_3CM | | | | Total |
|-----------------|------------|-----------------------------|--------|-------|------|------|--------|
| | | | 0 | 1 | 2 | 3 | |
| Unitario/Puente | 1 UNITARIO | Recuento | 21 | 2 | 0 | 0 | 23 |
| | | % dentro de Unitario/Puente | 91,3% | 8,7% | ,0% | ,0% | 100,0% |
| | 2 PUENTE | Recuento | 233 | 46 | 19 | 4 | 302 |
| | | % dentro de Unitario/Puente | 77,2% | 15,2% | 6,3% | 1,3% | 100,0% |
| Total | | Recuento | 254 | 48 | 19 | 4 | 325 |
| | | % dentro de Unitario/Puente | 78,2% | 14,8% | 5,8% | 1,2% | 100,0% |

Pruebas de chi-cuadrado

| | Valor | gl | Sig. asintótica (bilateral) |
|------------------------------|--------------------|----|-----------------------------|
| Chi-cuadrado de Pearson | 2,918 ^a | 3 | ,405 |
| Razón de verosimilitudes | 4,616 | 3 | ,202 |
| Asociación lineal por lineal | 2,831 | 1 | ,092 |
| N de casos válidos | 325 | | |

Unitario/Puente * PE_3CD

Tabla de contingencia

| | | | PE_3CD | | | | Total |
|-----------------|------------|-----------------------------|--------|-------|------|------|--------|
| | | | 0 | 1 | 2 | 3 | |
| Unitario/Puente | 1 UNITARIO | Recuento | 20 | 2 | 1 | 0 | 23 |
| | | % dentro de Unitario/Puente | 87,0% | 8,7% | 4,3% | ,0% | 100,0% |
| | 2 PUENTE | Recuento | 237 | 46 | 16 | 3 | 302 |
| | | % dentro de Unitario/Puente | 78,5% | 15,2% | 5,3% | 1,0% | 100,0% |
| Total | | Recuento | 257 | 48 | 17 | 3 | 325 |
| | | % dentro de Unitario/Puente | 79,1% | 14,8% | 5,2% | ,9% | 100,0% |

IX.- Anexo estadístico

Pruebas de chi-cuadrado

| | Valor | gl | Sig. asintótica (bilateral) |
|------------------------------|--------------------|----|-----------------------------|
| Chi-cuadrado de Pearson | 1,078 ^a | 3 | ,782 |
| Razón de verosimilitudes | 1,386 | 3 | ,709 |
| Asociación lineal por lineal | ,768 | 1 | ,381 |
| N de casos válidos | 325 | | |

Atorn/Cem * PE_1CM

Tabla de contingencia

| | | | PE_1CM | | | | Total |
|-----------|---------------|-----------------------|--------|------|------|------|--------|
| | | | 0 | 1 | 2 | 3 | |
| Atorn/Cem | 1 ATORNILLADA | Recuento | 484 | 40 | 17 | 6 | 547 |
| | | % dentro de Atorn/Cem | 88,5% | 7,3% | 3,1% | 1,1% | 100,0% |
| | 2 CEMENTADA | Recuento | 23 | 1 | 0 | 0 | 24 |
| | | % dentro de Atorn/Cem | 95,8% | 4,2% | ,0% | ,0% | 100,0% |
| Total | | Recuento | 507 | 41 | 17 | 6 | 571 |
| | | % dentro de Atorn/Cem | 88,8% | 7,2% | 3,0% | 1,1% | 100,0% |

Pruebas de chi-cuadrado

| | Valor | gl | Sig. asintótica (bilateral) |
|------------------------------|--------------------|----|-----------------------------|
| Chi-cuadrado de Pearson | 1,466 ^a | 3 | ,690 |
| Razón de verosimilitudes | 2,483 | 3 | ,478 |
| Asociación lineal por lineal | 1,419 | 1 | ,234 |
| N de casos válidos | 571 | | |

Atorn/Cem * PE_1CD

Tabla de contingencia

| | | | PE_1CD | | | | Total |
|-----------|---------------|-----------------------|--------|------|------|-----|--------|
| | | | 0 | 1 | 2 | 3 | |
| Atorn/Cem | 1 ATORNILLADA | Recuento | 482 | 49 | 11 | 5 | 547 |
| | | % dentro de Atorn/Cem | 88,1% | 9,0% | 2,0% | ,9% | 100,0% |
| | 2 CEMENTADA | Recuento | 22 | 1 | 1 | 0 | 24 |
| | | % dentro de Atorn/Cem | 91,7% | 4,2% | 4,2% | ,0% | 100,0% |
| Total | | Recuento | 504 | 50 | 12 | 5 | 571 |
| | | % dentro de Atorn/Cem | 88,3% | 8,8% | 2,1% | ,9% | 100,0% |

Pruebas de chi-cuadrado

| | Valor | gl | Sig. asintótica (bilateral) |
|------------------------------|--------------------|----|-----------------------------|
| Chi-cuadrado de Pearson | 1,363 ^a | 3 | ,714 |
| Razón de verosimilitudes | 1,604 | 3 | ,658 |
| Asociación lineal por lineal | ,105 | 1 | ,745 |
| N de casos válidos | 571 | | |

IX.- Anexo estadístico

Atorn/Cem * PE_2CM Tabla de contingencia

| | | | PE_2CM | | | | Total |
|-----------|---------------|-----------------------|--------|-------|------|-----|--------|
| | | | 0 | 1 | 2 | 3 | |
| Atorn/Cem | 1 ATORNILLADA | Recuento | 360 | 73 | 21 | 3 | 457 |
| | | % dentro de Atorn/Cem | 78,8% | 16,0% | 4,6% | ,7% | 100,0% |
| | 2 CEMENTADA | Recuento | 14 | 2 | 1 | 0 | 17 |
| | | % dentro de Atorn/Cem | 82,4% | 11,8% | 5,9% | ,0% | 100,0% |
| Total | | Recuento | 374 | 75 | 22 | 3 | 474 |
| | | % dentro de Atorn/Cem | 78,9% | 15,8% | 4,6% | ,6% | 100,0% |

Pruebas de chi-cuadrado

| | Valor | gl | Sig. asintótica (bilateral) |
|------------------------------|-------------------|----|-----------------------------|
| Chi-cuadrado de Pearson | ,380 ^a | 3 | ,944 |
| Razón de verosimilitudes | ,500 | 3 | ,919 |
| Asociación lineal por lineal | ,065 | 1 | ,799 |
| N de casos válidos | 474 | | |

Atorn/Cem * PE_2CD Tabla de contingencia

| | | | PE_2CD | | | | Total |
|-----------|---------------|-----------------------|--------|-------|------|-----|--------|
| | | | 0 | 1 | 2 | 3 | |
| Atorn/Cem | 1 ATORNILLADA | Recuento | 361 | 70 | 23 | 3 | 457 |
| | | % dentro de Atorn/Cem | 79,0% | 15,3% | 5,0% | ,7% | 100,0% |
| | 2 CEMENTADA | Recuento | 12 | 4 | 1 | 0 | 17 |
| | | % dentro de Atorn/Cem | 70,6% | 23,5% | 5,9% | ,0% | 100,0% |
| Total | | Recuento | 373 | 74 | 24 | 3 | 474 |
| | | % dentro de Atorn/Cem | 78,7% | 15,6% | 5,1% | ,6% | 100,0% |

Pruebas de chi-cuadrado

| | Valor | gl | Sig. asintótica (bilateral) |
|------------------------------|-------------------|----|-----------------------------|
| Chi-cuadrado de Pearson | ,990 ^a | 3 | ,804 |
| Razón de verosimilitudes | 1,009 | 3 | ,799 |
| Asociación lineal por lineal | ,304 | 1 | ,581 |
| N de casos válidos | 474 | | |

Atorn/Cem * PE_3CM Tabla de contingencia

| | | | PE_3CM | | | | Total |
|-----------|---------------|-----------------------|--------|-------|-------|------|--------|
| | | | 0 | 1 | 2 | 3 | |
| Atorn/Cem | 1 ATORNILLADA | Recuento | 235 | 47 | 17 | 4 | 303 |
| | | % dentro de Atorn/Cem | 77,6% | 15,5% | 5,6% | 1,3% | 100,0% |
| | 2 CEMENTADA | Recuento | 6 | 1 | 2 | 0 | 9 |
| | | % dentro de Atorn/Cem | 66,7% | 11,1% | 22,2% | ,0% | 100,0% |
| Total | | Recuento | 241 | 48 | 19 | 4 | 312 |
| | | % dentro de Atorn/Cem | 77,2% | 15,4% | 6,1% | 1,3% | 100,0% |

Pruebas de chi-cuadrado

| | Valor | gl | Sig. asintótica (bilateral) |
|------------------------------|--------------------|----|-----------------------------|
| Chi-cuadrado de Pearson | 4,324 ^a | 3 | ,229 |
| Razón de verosimilitudes | 2,888 | 3 | ,409 |
| Asociación lineal por lineal | 1,300 | 1 | ,254 |
| N de casos válidos | 312 | | |

IX.- Anexo estadístico

Atorn/Cem * PE_3CD

Tabla de contingencia

| | | | PE_3CD | | | | Total |
|-----------|---------------|-----------------------|--------|-------|-------|------|--------|
| | | | 0 | 1 | 2 | 3 | |
| Atorn/Cem | 1 ATORNILLADA | Recuento | 238 | 46 | 16 | 3 | 303 |
| | | % dentro de Atorn/Cem | 78,5% | 15,2% | 5,3% | 1,0% | 100,0% |
| | 2 CEMENTADA | Recuento | 6 | 2 | 1 | 0 | 9 |
| | | % dentro de Atorn/Cem | 66,7% | 22,2% | 11,1% | ,0% | 100,0% |
| Total | | Recuento | 244 | 48 | 17 | 3 | 312 |
| | | % dentro de Atorn/Cem | 78,2% | 15,4% | 5,4% | 1,0% | 100,0% |

Pruebas de chi-cuadrado

| | Valor | gl | Sig. asintótica (bilateral) |
|------------------------------|--------------------|----|-----------------------------|
| Chi-cuadrado de Pearson | 1,074 ^a | 3 | ,783 |
| Razón de verosimilitudes | 1,012 | 3 | ,798 |
| Asociación lineal por lineal | ,578 | 1 | ,447 |
| N de casos válidos | 312 | | |

C_Clínicos * PE_1CM

Tabla de contingencia

| | | | PE_1CM | | | | Total |
|------------|----------------------|------------------------|--------|-------|-------|-------|--------|
| | | | 0 | 1 | 2 | 3 | |
| C_Clínicos | 2 ELEVA+BIOMAT+HUESO | Recuento | 12 | 1 | 0 | 0 | 13 |
| | | % dentro de C_Clínicos | 92,3% | 7,7% | ,0% | ,0% | 100,0% |
| | 3 ELEVA+HUESO | Recuento | 17 | 3 | 1 | 1 | 22 |
| | | % dentro de C_Clínicos | 77,3% | 13,6% | 4,5% | 4,5% | 100,0% |
| | 4 ONLAY LATERAL | Recuento | 24 | 1 | 0 | 1 | 26 |
| | | % dentro de C_Clínicos | 92,3% | 3,8% | ,0% | 3,8% | 100,0% |
| | 5 ONLAY VERTICAL | Recuento | 17 | 4 | 1 | 1 | 23 |
| | | % dentro de C_Clínicos | 73,9% | 17,4% | 4,3% | 4,3% | 100,0% |
| | 6 DISTRACCION OSEA | Recuento | 3 | 3 | 1 | 1 | 8 |
| | | % dentro de C_Clínicos | 37,5% | 37,5% | 12,5% | 12,5% | 100,0% |
| | 7 LATERAL NERVI | Recuento | 6 | 0 | 0 | 0 | 6 |
| | | % dentro de C_Clínicos | 100,0% | ,0% | ,0% | ,0% | 100,0% |
| | 8 INJERTO OSEO | Recuento | 22 | 2 | 1 | 0 | 25 |
| | | % dentro de C_Clínicos | 88,0% | 8,0% | 4,0% | ,0% | 100,0% |
| | 9 MEMBRANA+HUESO | Recuento | 17 | 1 | 0 | 0 | 18 |
| | | % dentro de C_Clínicos | 94,4% | 5,6% | ,0% | ,0% | 100,0% |
| Total | | Recuento | 118 | 15 | 4 | 4 | 141 |
| | | % dentro de C_Clínicos | 83,7% | 10,6% | 2,8% | 2,8% | 100,0% |

IX.- Anexo estadístico

Pruebas de chi-cuadrado

| | Valor | gl | Sig. asintótica (bilateral) |
|------------------------------|---------------------|----|-----------------------------|
| Chi-cuadrado de Pearson | 22,170 ^a | 21 | ,390 |
| Razón de verosimilitudes | 22,446 | 21 | ,374 |
| Asociación lineal por lineal | ,573 | 1 | ,449 |
| N de casos válidos | 141 | | |

C_Clínicos * PE_1CD Tabla de contingencia

| | | | PE_1CD | | | | Total |
|------------|----------------------|------------------------|--------|-------|------|-------|--------|
| | | | 0 | 1 | 2 | 3 | |
| C_Clínicos | 2 ELEVA+BIOMAT+HUESO | Recuento | 9 | 4 | 0 | 0 | 13 |
| | | % dentro de C_Clínicos | 69,2% | 30,8% | ,0% | ,0% | 100,0% |
| | 3 ELEVA+HUESO | Recuento | 15 | 6 | 0 | 1 | 22 |
| | | % dentro de C_Clínicos | 68,2% | 27,3% | ,0% | 4,5% | 100,0% |
| | 4 ONLAY LATERAL | Recuento | 24 | 0 | 1 | 1 | 26 |
| | | % dentro de C_Clínicos | 92,3% | ,0% | 3,8% | 3,8% | 100,0% |
| | 5 ONLAY VERTICAL | Recuento | 18 | 3 | 1 | 1 | 23 |
| | | % dentro de C_Clínicos | 78,3% | 13,0% | 4,3% | 4,3% | 100,0% |
| | 6 DISTRACCION OSEA | Recuento | 3 | 3 | 0 | 2 | 8 |
| | | % dentro de C_Clínicos | 37,5% | 37,5% | ,0% | 25,0% | 100,0% |
| | 7 LATERAL NERVI | Recuento | 6 | 0 | 0 | 0 | 6 |
| | | % dentro de C_Clínicos | 100,0% | ,0% | ,0% | ,0% | 100,0% |
| | 8 INJERTO OSEO | Recuento | 22 | 3 | 0 | 0 | 25 |
| | | % dentro de C_Clínicos | 88,0% | 12,0% | ,0% | ,0% | 100,0% |
| | 9 MEMBRANA+HUESO | Recuento | 18 | 0 | 0 | 0 | 18 |
| | | % dentro de C_Clínicos | 100,0% | ,0% | ,0% | ,0% | 100,0% |
| Total | | Recuento | 115 | 19 | 2 | 5 | 141 |
| | | % dentro de C_Clínicos | 81,6% | 13,5% | 1,4% | 3,5% | 100,0% |

Pruebas de chi-cuadrado

| | Valor | gl | Sig. asintótica (bilateral) |
|------------------------------|---------------------|----|-----------------------------|
| Chi-cuadrado de Pearson | 36,826 ^a | 21 | ,018 |
| Razón de verosimilitudes | 38,025 | 21 | ,013 |
| Asociación lineal por lineal | 3,209 | 1 | ,073 |
| N de casos válidos | 141 | | |

C_Clínicos * PE_2CM (Tabla de contingencia)

| | | | PE_2CM | | | | Total |
|------------|----------------------|------------------------|--------|--------|-------|------|--------|
| | | | 0 | 1 | 2 | 3 | |
| C_Clínicos | 2 ELEVA+BIOMAT+HUESO | Recuento | 10 | 1 | 0 | 0 | 11 |
| | | % dentro de C_Clínicos | 90,9% | 9,1% | ,0% | ,0% | 100,0% |
| | 3 ELEVA+HUESO | Recuento | 9 | 7 | 2 | 1 | 19 |
| | | % dentro de C_Clínicos | 47,4% | 36,8% | 10,5% | 5,3% | 100,0% |
| | 4 ONLAY LATERAL | Recuento | 19 | 1 | 1 | 1 | 22 |
| | | % dentro de C_Clínicos | 86,4% | 4,5% | 4,5% | 4,5% | 100,0% |
| | 5 ONLAY VERTICAL | Recuento | 15 | 3 | 2 | 0 | 20 |
| | | % dentro de C_Clínicos | 75,0% | 15,0% | 10,0% | ,0% | 100,0% |
| | 6 DISTRACCION OSEA | Recuento | 0 | 6 | 0 | 0 | 6 |
| | | % dentro de C_Clínicos | ,0% | 100,0% | ,0% | ,0% | 100,0% |
| | 7 LATERAL NERVIO | Recuento | 3 | 3 | 0 | 0 | 6 |
| | | % dentro de C_Clínicos | 50,0% | 50,0% | ,0% | ,0% | 100,0% |
| | 8 INJERTO OSEO | Recuento | 18 | 4 | 2 | 1 | 25 |
| | | % dentro de C_Clínicos | 72,0% | 16,0% | 8,0% | 4,0% | 100,0% |
| | 9 MEMBRANA+HUESO | Recuento | 7 | 6 | 4 | 1 | 18 |
| | | % dentro de C_Clínicos | 38,9% | 33,3% | 22,2% | 5,6% | 100,0% |
| Total | | Recuento | 81 | 31 | 11 | 4 | 127 |
| | | % dentro de C_Clínicos | 63,8% | 24,4% | 8,7% | 3,1% | 100,0% |

IX.- Anexo estadístico

Pruebas de chi-cuadrado

| | Valor | gl | Sig. asintótica (bilateral) |
|------------------------------|---------------------|----|-----------------------------|
| Chi-cuadrado de Pearson | 42,276 ^a | 21 | ,004 |
| Razón de verosimilitudes | 43,841 | 21 | ,002 |
| Asociación lineal por lineal | 3,553 | 1 | ,059 |
| N de casos válidos | 127 | | |

C_Clínicos * PE_2CD (Tabla de contingencia)

| | | | PE_2CD | | | | Total |
|------------|----------------------|------------------------|--------|--------|-------|------|--------|
| | | | 0 | 1 | 2 | 3 | |
| C_Clínicos | 2 ELEVA+BIOMAT+HUESO | Recuento | 7 | 4 | 0 | 0 | 11 |
| | | % dentro de C_Clínicos | 63,6% | 36,4% | ,0% | ,0% | 100,0% |
| | 3 ELEVA+HUESO | Recuento | 8 | 6 | 4 | 1 | 19 |
| | | % dentro de C_Clínicos | 42,1% | 31,6% | 21,1% | 5,3% | 100,0% |
| | 4 ONLAY LATERAL | Recuento | 20 | 0 | 1 | 1 | 22 |
| | | % dentro de C_Clínicos | 90,9% | ,0% | 4,5% | 4,5% | 100,0% |
| | 5 ONLAY VERTICAL | Recuento | 15 | 4 | 1 | 0 | 20 |
| | | % dentro de C_Clínicos | 75,0% | 20,0% | 5,0% | ,0% | 100,0% |
| | 6 DISTRACCION OSEA | Recuento | 0 | 6 | 0 | 0 | 6 |
| | | % dentro de C_Clínicos | ,0% | 100,0% | ,0% | ,0% | 100,0% |
| | 7 LATERAL NERVI | Recuento | 3 | 3 | 0 | 0 | 6 |
| | | % dentro de C_Clínicos | 50,0% | 50,0% | ,0% | ,0% | 100,0% |
| | 8 INJERTO OSEO | Recuento | 18 | 6 | 1 | 0 | 25 |
| | | % dentro de C_Clínicos | 72,0% | 24,0% | 4,0% | ,0% | 100,0% |
| | 9 MEMBRANA+HUESO | Recuento | 8 | 5 | 4 | 1 | 18 |
| | | % dentro de C_Clínicos | 44,4% | 27,8% | 22,2% | 5,6% | 100,0% |
| Total | | Recuento | 79 | 34 | 11 | 3 | 127 |
| | | % dentro de C_Clínicos | 62,2% | 26,8% | 8,7% | 2,4% | 100,0% |

Pruebas de chi-cuadrado

| | Valor | gl | Sig. asintótica (bilateral) |
|------------------------------|---------------------|----|-----------------------------|
| Chi-cuadrado de Pearson | 43,986 ^a | 21 | ,002 |
| Razón de verosimilitudes | 49,487 | 21 | ,000 |
| Asociación lineal por lineal | ,371 | 1 | ,543 |
| N de casos válidos | 127 | | |

C_Clínicos * PE_3CM (Tabla de contingencia)

| | | | PE_3CM | | | | Total |
|------------|----------------------|------------------------|--------|--------|-------|------|--------|
| | | | 0 | 1 | 2 | 3 | |
| C_Clínicos | 2 ELEVA+BIOMAT+HUESO | Recuento | 4 | 1 | 0 | 0 | 5 |
| | | % dentro de C_Clínicos | 80,0% | 20,0% | ,0% | ,0% | 100,0% |
| | 3 ELEVA+HUESO | Recuento | 5 | 5 | 3 | 1 | 14 |
| | | % dentro de C_Clínicos | 35,7% | 35,7% | 21,4% | 7,1% | 100,0% |
| | 4 ONLAY LATERAL | Recuento | 16 | 1 | 3 | 2 | 22 |
| | | % dentro de C_Clínicos | 72,7% | 4,5% | 13,6% | 9,1% | 100,0% |
| | 5 ONLAY VERTICAL | Recuento | 10 | 0 | 2 | 0 | 12 |
| | | % dentro de C_Clínicos | 83,3% | ,0% | 16,7% | ,0% | 100,0% |
| | 6 DISTRACCION OSEA | Recuento | 0 | 3 | 0 | 0 | 3 |
| | | % dentro de C_Clínicos | ,0% | 100,0% | ,0% | ,0% | 100,0% |
| | 7 LATERAL NERVI | Recuento | 0 | 3 | 0 | 0 | 3 |
| | | % dentro de C_Clínicos | ,0% | 100,0% | ,0% | ,0% | 100,0% |
| | 8 INJERTO OSEO | Recuento | 10 | 0 | 1 | 1 | 12 |
| | | % dentro de C_Clínicos | 83,3% | ,0% | 8,3% | 8,3% | 100,0% |
| | 9 MEMBRANA+HUESO | Recuento | 7 | 6 | 4 | 1 | 18 |
| | | % dentro de C_Clínicos | 38,9% | 33,3% | 22,2% | 5,6% | 100,0% |
| Total | | Recuento | 52 | 19 | 13 | 5 | 89 |
| | | % dentro de C_Clínicos | 58,4% | 21,3% | 14,6% | 5,6% | 100,0% |

IX.- Anexo estadístico

Pruebas de chi-cuadrado

| | Valor | gl | Sig. asintótica (bilateral) |
|------------------------------|---------------------|----|-----------------------------|
| Chi-cuadrado de Pearson | 42,742 ^a | 21 | ,003 |
| Razón de verosimilitudes | 46,722 | 21 | ,001 |
| Asociación lineal por lineal | ,387 | 1 | ,534 |
| N de casos válidos | 89 | | |

C_Clínicos * PE_3CD (Tabla de contingencia)

| | | | PE_3CD | | | | Total |
|------------|----------------------|------------------------|--------|--------|-------|------|--------|
| | | | 0 | 1 | 2 | 3 | |
| C_Clínicos | 2 ELEVA+BIOMAT+HUESO | Recuento | 3 | 2 | 0 | 0 | 5 |
| | | % dentro de C_Clínicos | 60,0% | 40,0% | ,0% | ,0% | 100,0% |
| | 3 ELEVA+HUESO | Recuento | 5 | 4 | 4 | 1 | 14 |
| | | % dentro de C_Clínicos | 35,7% | 28,6% | 28,6% | 7,1% | 100,0% |
| | 4 ONLAY LATERAL | Recuento | 18 | 1 | 2 | 1 | 22 |
| | | % dentro de C_Clínicos | 81,8% | 4,5% | 9,1% | 4,5% | 100,0% |
| | 5 ONLAY VERTICAL | Recuento | 10 | 1 | 1 | 0 | 12 |
| | | % dentro de C_Clínicos | 83,3% | 8,3% | 8,3% | ,0% | 100,0% |
| | 6 DISTRACCION OSEA | Recuento | 0 | 3 | 0 | 0 | 3 |
| | | % dentro de C_Clínicos | ,0% | 100,0% | ,0% | ,0% | 100,0% |
| | 7 LATERAL NERVIO | Recuento | 0 | 3 | 0 | 0 | 3 |
| | | % dentro de C_Clínicos | ,0% | 100,0% | ,0% | ,0% | 100,0% |
| | 8 INJERTO OSEO | Recuento | 10 | 1 | 1 | 0 | 12 |
| | | % dentro de C_Clínicos | 83,3% | 8,3% | 8,3% | ,0% | 100,0% |
| | 9 MEMBRANA+HUESO | Recuento | 8 | 5 | 4 | 1 | 18 |
| | | % dentro de C_Clínicos | 44,4% | 27,8% | 22,2% | 5,6% | 100,0% |
| Total | | Recuento | 54 | 20 | 12 | 3 | 89 |
| | | % dentro de C_Clínicos | 60,7% | 22,5% | 13,5% | 3,4% | 100,0% |

Pruebas de chi-cuadrado

| | Valor | gl | Sig. asintótica (bilateral) |
|------------------------------|---------------------|----|-----------------------------|
| Chi-cuadrado de Pearson | 39,751 ^a | 21 | ,008 |
| Razón de verosimilitudes | 39,810 | 21 | ,008 |
| Asociación lineal por lineal | ,136 | 1 | ,712 |
| N de casos válidos | 89 | | |

Complicaciones * PE_1CM

Tabla de contingencia

| | | | PE_1CM | | | | Total |
|----------------|---------------------|----------------------------|--------|-------|------|------|--------|
| | | | 0 | 1 | 2 | 3 | |
| Complicaciones | 0 AUSENCIA COMPLI | Recuento | 758 | 49 | 21 | 16 | 844 |
| | | % dentro de Complicaciones | 89,8% | 5,8% | 2,5% | 1,9% | 100,0% |
| | 1 COMPLI PROTESICAS | Recuento | 27 | 0 | 1 | 0 | 28 |
| | | % dentro de Complicaciones | 96,4% | ,0% | 3,6% | ,0% | 100,0% |
| | 2 COMPLI CLINICAS | Recuento | 7 | 1 | 0 | 0 | 8 |
| | | % dentro de Complicaciones | 87,5% | 12,5% | ,0% | ,0% | 100,0% |
| | 3 COMPLI PERIIMPL | Recuento | 20 | 1 | 0 | 0 | 21 |
| | | % dentro de Complicaciones | 95,2% | 4,8% | ,0% | ,0% | 100,0% |
| Total | | Recuento | 812 | 51 | 22 | 16 | 901 |

IX.- Anexo estadístico

Tabla de contingencia

| | | | PE_1CM | | | | Total |
|----------------|---------------------|----------------------------|--------|-------|------|------|--------|
| | | | 0 | 1 | 2 | 3 | |
| Complicaciones | 0 AUSENCIA COMPLI | Recuento | 758 | 49 | 21 | 16 | 844 |
| | | % dentro de Complicaciones | 89,8% | 5,8% | 2,5% | 1,9% | 100,0% |
| | 1 COMPLI PROTESICAS | Recuento | 27 | 0 | 1 | 0 | 28 |
| | | % dentro de Complicaciones | 96,4% | ,0% | 3,6% | ,0% | 100,0% |
| | 2 COMPLI CLINICAS | Recuento | 7 | 1 | 0 | 0 | 8 |
| | | % dentro de Complicaciones | 87,5% | 12,5% | ,0% | ,0% | 100,0% |
| | 3 COMPLI PERIIMPL | Recuento | 20 | 1 | 0 | 0 | 21 |
| | | % dentro de Complicaciones | 95,2% | 4,8% | ,0% | ,0% | 100,0% |
| Total | | Recuento | 812 | 51 | 22 | 16 | 901 |
| | | % dentro de Complicaciones | 90,1% | 5,7% | 2,4% | 1,8% | 100,0% |

| | Valor | gl | Sig. asintótica (bilateral) |
|------------------------------|--------------------|----|-----------------------------|
| Chi-cuadrado de Pearson | 4,450 ^a | 9 | ,879 |
| Razón de verosimilitudes | 7,562 | 9 | ,579 |
| Asociación lineal por lineal | 1,458 | 1 | ,227 |
| N de casos válidos | 901 | | |

Complicaciones * PE_1CD

Tabla de contingencia

| | | | PE_1CD | | | | Total |
|----------------|---------------------|----------------------------|--------|-------|-------|------|--------|
| | | | 0 | 1 | 2 | 3 | |
| Complicaciones | 0 AUSENCIA COMPLI | Recuento | 755 | 56 | 18 | 15 | 844 |
| | | % dentro de Complicaciones | 89,5% | 6,6% | 2,1% | 1,8% | 100,0% |
| | 1 COMPLI PROTESICAS | Recuento | 27 | 1 | 0 | 0 | 28 |
| | | % dentro de Complicaciones | 96,4% | 3,6% | ,0% | ,0% | 100,0% |
| | 2 COMPLI CLINICAS | Recuento | 6 | 1 | 1 | 0 | 8 |
| | | % dentro de Complicaciones | 75,0% | 12,5% | 12,5% | ,0% | 100,0% |
| | 3 COMPLI PERIIMPL | Recuento | 19 | 2 | 0 | 0 | 21 |
| | | % dentro de Complicaciones | 90,5% | 9,5% | ,0% | ,0% | 100,0% |
| Total | | Recuento | 807 | 60 | 19 | 15 | 901 |
| | | % dentro de Complicaciones | 89,6% | 6,7% | 2,1% | 1,7% | 100,0% |

Pruebas de chi-cuadrado

| | Valor | gl | Sig. asintótica (bilateral) |
|------------------------------|--------------------|----|-----------------------------|
| Chi-cuadrado de Pearson | 7,555 ^a | 9 | ,580 |
| Razón de verosimilitudes | 7,310 | 9 | ,605 |
| Asociación lineal por lineal | ,243 | 1 | ,622 |
| N de casos válidos | 901 | | |

Complicaciones * PE_2CM (Tabla de contingencia)

| | | | PE_2CM | | | | Total |
|--|--|--|--------|---|---|---|-------|
| | | | 0 | 1 | 2 | 3 | |

IX.- Anexo estadístico

| | | | | | | | |
|----------------|---------------------|----------------------------|-------|-------|-------|------|--------|
| Complicaciones | 0 AUSENCIA COMPLI | Recuento | 584 | 83 | 27 | 7 | 701 |
| | | % dentro de Complicaciones | 83,3% | 11,8% | 3,9% | 1,0% | 100,0% |
| | 1 COMPLI PROTESICAS | Recuento | 21 | 2 | 0 | 0 | 23 |
| | | % dentro de Complicaciones | 91,3% | 8,7% | ,0% | ,0% | 100,0% |
| | 2 COMPLI CLINICAS | Recuento | 4 | 1 | 1 | 0 | 6 |
| | | % dentro de Complicaciones | 66,7% | 16,7% | 16,7% | ,0% | 100,0% |
| | 3 COMPLI PERIIMPL | Recuento | 12 | 1 | 0 | 0 | 13 |
| | | % dentro de Complicaciones | 92,3% | 7,7% | ,0% | ,0% | 100,0% |
| Total | | Recuento | 621 | 87 | 28 | 7 | 743 |
| | | % dentro de Complicaciones | 83,6% | 11,7% | 3,8% | ,9% | 100,0% |

Pruebas de chi-cuadrado

| | Valor | gl | Sig. asintótica (bilateral) |
|------------------------------|--------------------|----|-----------------------------|
| Chi-cuadrado de Pearson | 5,426 ^a | 9 | ,796 |
| Razón de verosimilitudes | 5,989 | 9 | ,741 |
| Asociación lineal por lineal | ,597 | 1 | ,440 |
| N de casos válidos | 743 | | |

Complicaciones * PE_2CD (Tabla de contingencia)

| | | | PE_2CD | | | | Total |
|----------------|---------------------|----------------------------|--------|-------|-------|------|--------|
| | | | 0 | 1 | 2 | 3 | |
| Complicaciones | 0 AUSENCIA COMPLI | Recuento | 580 | 84 | 30 | 7 | 701 |
| | | % dentro de Complicaciones | 82,7% | 12,0% | 4,3% | 1,0% | 100,0% |
| | 1 COMPLI PROTESICAS | Recuento | 22 | 1 | 0 | 0 | 23 |
| | | % dentro de Complicaciones | 95,7% | 4,3% | ,0% | ,0% | 100,0% |
| | 2 COMPLI CLINICAS | Recuento | 4 | 1 | 1 | 0 | 6 |
| | | % dentro de Complicaciones | 66,7% | 16,7% | 16,7% | ,0% | 100,0% |
| | 3 COMPLI PERIIMPL | Recuento | 12 | 0 | 1 | 0 | 13 |
| | | % dentro de Complicaciones | 92,3% | ,0% | 7,7% | ,0% | 100,0% |
| Total | | Recuento | 618 | 86 | 32 | 7 | 743 |
| | | % dentro de Complicaciones | 83,2% | 11,6% | 4,3% | ,9% | 100,0% |

Pruebas de chi-cuadrado

| | Valor | gl | Sig. asintótica (bilateral) |
|------------------------------|--------------------|----|-----------------------------|
| Chi-cuadrado de Pearson | 7,437 ^a | 9 | ,592 |
| Razón de verosimilitudes | 9,657 | 9 | ,379 |
| Asociación lineal por lineal | ,324 | 1 | ,569 |
| N de casos válidos | 743 | | |

Complicaciones * PE_3CM (Tabla de contingencia)

| | | | PE_3CM | | | | Total |
|----------------|---------------------|----------------------------|--------|-------|-------|------|--------|
| | | | 0 | 1 | 2 | 3 | |
| Complicaciones | 0 AUSENCIA COMPLI | Recuento | 361 | 52 | 25 | 11 | 449 |
| | | % dentro de Complicaciones | 80,4% | 11,6% | 5,6% | 2,4% | 100,0% |
| | 1 COMPLI PROTESICAS | Recuento | 21 | 3 | 1 | 0 | 25 |
| | | % dentro de Complicaciones | 84,0% | 12,0% | 4,0% | ,0% | 100,0% |
| | 2 COMPLI CLINICAS | Recuento | 1 | 1 | 1 | 0 | 3 |
| | | % dentro de Complicaciones | 33,3% | 33,3% | 33,3% | ,0% | 100,0% |
| | 3 COMPLI PERIIMPL | Recuento | 8 | 1 | 0 | 0 | 9 |
| | | % dentro de Complicaciones | 88,9% | 11,1% | ,0% | ,0% | 100,0% |
| Total | | Recuento | 391 | 57 | 27 | 11 | 486 |
| | | % dentro de Complicaciones | 80,5% | 11,7% | 5,6% | 2,3% | 100,0% |

Pruebas de chi-cuadrado

| | Valor | gl | Sig. asintótica (bilateral) |
|------------------------------|--------------------|----|-----------------------------|
| Chi-cuadrado de Pearson | 7,836 ^a | 9 | ,551 |
| Razón de verosimilitudes | 6,766 | 9 | ,661 |
| Asociación lineal por lineal | ,200 | 1 | ,655 |
| N de casos válidos | 486 | | |

Complicaciones * PE_3CD

Tabla de contingencia

| | | | PE_3CD | | | | Total |
|----------------|---------------------|----------------------------|--------|-------|-------|------|--------|
| | | | 0 | 1 | 2 | 3 | |
| Complicaciones | 0 AUSENCIA COMPLI | Recuento | 363 | 54 | 21 | 11 | 449 |
| | | % dentro de Complicaciones | 80,8% | 12,0% | 4,7% | 2,4% | 100,0% |
| | 1 COMPLI PROTESICAS | Recuento | 23 | 2 | 0 | 0 | 25 |
| | | % dentro de Complicaciones | 92,0% | 8,0% | ,0% | ,0% | 100,0% |
| | 2 COMPLI CLINICAS | Recuento | 1 | 1 | 1 | 0 | 3 |
| | | % dentro de Complicaciones | 33,3% | 33,3% | 33,3% | ,0% | 100,0% |
| | 3 COMPLI PERIIMPL | Recuento | 8 | 0 | 1 | 0 | 9 |
| | | % dentro de Complicaciones | 88,9% | ,0% | 11,1% | ,0% | 100,0% |
| Total | | Recuento | 395 | 57 | 23 | 11 | 486 |
| | | % dentro de Complicaciones | 81,3% | 11,7% | 4,7% | 2,3% | 100,0% |

IX.- Anexo estadístico

Pruebas de chi-cuadrado

| | Valor | gl | Sig. asintótica (bilateral) |
|------------------------------|---------------------|----|-----------------------------|
| Chi-cuadrado de Pearson | 11,908 ^a | 9 | ,219 |
| Razón de verosimilitudes | 11,635 | 9 | ,235 |
| Asociación lineal por lineal | ,103 | 1 | ,748 |
| N de casos válidos | 486 | | |

OPG/Peri * PE_1CM

Tabla de contingencia

| | | | PE_1CM | | | | Total |
|----------|---------------|----------------------|--------|-------|------|------|--------|
| | | | 0 | 1 | 2 | 3 | |
| OPG/Peri | 1 PANORA+PERI | Recuento | 634 | 33 | 16 | 11 | 694 |
| | | % dentro de OPG/Peri | 91,4% | 4,8% | 2,3% | 1,6% | 100,0% |
| | 2 PANORAMICAS | Recuento | 104 | 6 | 3 | 4 | 117 |
| | | % dentro de OPG/Peri | 88,9% | 5,1% | 2,6% | 3,4% | 100,0% |
| | 3 PERIAPICAL | Recuento | 22 | 4 | 1 | 0 | 27 |
| | | % dentro de OPG/Peri | 81,5% | 14,8% | 3,7% | ,0% | 100,0% |
| Total | | Recuento | 760 | 43 | 20 | 15 | 838 |
| | | % dentro de OPG/Peri | 90,7% | 5,1% | 2,4% | 1,8% | 100,0% |

Pruebas de chi-cuadrado

| | Valor | gl | Sig. asintótica (bilateral) |
|------------------------------|--------------------|----|-----------------------------|
| Chi-cuadrado de Pearson | 8,065 ^a | 6 | ,233 |
| Razón de verosimilitudes | 6,490 | 6 | ,371 |
| Asociación lineal por lineal | 1,803 | 1 | ,179 |
| N de casos válidos | 838 | | |

OPG/Peri * PE_1CD

Tabla de contingencia

| | | | PE_1CD | | | | Total |
|----------|---------------|----------------------|--------|-------|------|------|--------|
| | | | 0 | 1 | 2 | 3 | |
| OPG/Peri | 1 PANORA+PERI | Recuento | 634 | 35 | 13 | 12 | 694 |
| | | % dentro de OPG/Peri | 91,4% | 5,0% | 1,9% | 1,7% | 100,0% |
| | 2 PANORAMICAS | Recuento | 104 | 6 | 5 | 2 | 117 |
| | | % dentro de OPG/Peri | 88,9% | 5,1% | 4,3% | 1,7% | 100,0% |
| | 3 PERIAPICAL | Recuento | 20 | 7 | 0 | 0 | 27 |
| | | % dentro de OPG/Peri | 74,1% | 25,9% | ,0% | ,0% | 100,0% |
| Total | | Recuento | 758 | 48 | 18 | 14 | 838 |
| | | % dentro de OPG/Peri | 90,5% | 5,7% | 2,1% | 1,7% | 100,0% |

IX.- Anexo estadístico

Pruebas de chi-cuadrado

| | Valor | gl | Sig. asintótica (bilateral) |
|------------------------------|---------------------|----|-----------------------------|
| Chi-cuadrado de Pearson | 24,518 ^a | 6 | ,000 |
| Razón de verosimilitudes | 16,085 | 6 | ,013 |
| Asociación lineal por lineal | 2,053 | 1 | ,152 |
| N de casos válidos | 838 | | |

OPG/Peri * PE_2CM

Tabla de contingencia

| | | | PE_2CM | | | | Total |
|----------|---------------|----------------------|--------|-------|------|------|--------|
| | | | 0 | 1 | 2 | 3 | |
| OPG/Peri | 1 PANORA+PERI | Recuento | 508 | 71 | 20 | 6 | 605 |
| | | % dentro de OPG/Peri | 84,0% | 11,7% | 3,3% | 1,0% | 100,0% |
| | 2 PANORAMICAS | Recuento | 82 | 9 | 5 | 1 | 97 |
| | | % dentro de OPG/Peri | 84,5% | 9,3% | 5,2% | 1,0% | 100,0% |
| | 3 PERIAPICAL | Recuento | 9 | 1 | 1 | 0 | 11 |
| | | % dentro de OPG/Peri | 81,8% | 9,1% | 9,1% | ,0% | 100,0% |
| Total | | Recuento | 599 | 81 | 26 | 7 | 713 |
| | | % dentro de OPG/Peri | 84,0% | 11,4% | 3,6% | 1,0% | 100,0% |

Pruebas de chi-cuadrado

| | Valor | gl | Sig. asintótica (bilateral) |
|------------------------------|--------------------|----|-----------------------------|
| Chi-cuadrado de Pearson | 2,307 ^a | 6 | ,889 |
| Razón de verosimilitudes | 2,115 | 6 | ,909 |
| Asociación lineal por lineal | ,144 | 1 | ,704 |
| N de casos válidos | 713 | | |

OPG/Peri * PE_2CD

Tabla de contingencia

| | | | PE_2CD | | | | Total |
|----------|---------------|----------------------|--------|-------|------|------|--------|
| | | | 0 | 1 | 2 | 3 | |
| OPG/Peri | 1 PANORA+PERI | Recuento | 508 | 65 | 26 | 6 | 605 |
| | | % dentro de OPG/Peri | 84,0% | 10,7% | 4,3% | 1,0% | 100,0% |
| | 2 PANORAMICAS | Recuento | 82 | 10 | 4 | 1 | 97 |
| | | % dentro de OPG/Peri | 84,5% | 10,3% | 4,1% | 1,0% | 100,0% |
| | 3 PERIAPICAL | Recuento | 7 | 4 | 0 | 0 | 11 |
| | | % dentro de OPG/Peri | 63,6% | 36,4% | ,0% | ,0% | 100,0% |
| Total | | Recuento | 597 | 79 | 30 | 7 | 713 |
| | | % dentro de OPG/Peri | 83,7% | 11,1% | 4,2% | 1,0% | 100,0% |

IX.- Anexo estadístico

Pruebas de chi-cuadrado

| | Valor | gl | Sig. asintótica (bilateral) |
|------------------------------|--------------------|----|-----------------------------|
| Chi-cuadrado de Pearson | 7,589 ^a | 6 | ,270 |
| Razón de verosimilitudes | 5,809 | 6 | ,445 |
| Asociación lineal por lineal | ,137 | 1 | ,711 |
| N de casos válidos | 713 | | |

OPG/Peri * PE_3CM

Tabla de contingencia

| | | | PE_3CM | | | | Total |
|----------|---------------|----------------------|--------|-------|-------|------|--------|
| | | | 0 | 1 | 2 | 3 | |
| OPG/Peri | 1 PANORA+PERI | Recuento | 313 | 45 | 20 | 11 | 389 |
| | | % dentro de OPG/Peri | 80,5% | 11,6% | 5,1% | 2,8% | 100,0% |
| | 2 PANORAMICAS | Recuento | 61 | 6 | 4 | 0 | 71 |
| | | % dentro de OPG/Peri | 85,9% | 8,5% | 5,6% | ,0% | 100,0% |
| | 3 PERIAPICAL | Recuento | 6 | 1 | 1 | 0 | 8 |
| | | % dentro de OPG/Peri | 75,0% | 12,5% | 12,5% | ,0% | 100,0% |
| Total | | Recuento | 380 | 52 | 25 | 11 | 468 |
| | | % dentro de OPG/Peri | 81,2% | 11,1% | 5,3% | 2,4% | 100,0% |

Pruebas de chi-cuadrado

| | Valor | gl | Sig. asintótica (bilateral) |
|------------------------------|--------------------|----|-----------------------------|
| Chi-cuadrado de Pearson | 3,840 ^a | 6 | ,698 |
| Razón de verosimilitudes | 5,498 | 6 | ,482 |
| Asociación lineal por lineal | ,659 | 1 | ,417 |
| N de casos válidos | 468 | | |

OPG/Peri * PE_3CD

Tabla de contingencia

| | | | PE_3CD | | | | Total |
|----------|---------------|----------------------|--------|-------|------|------|--------|
| | | | 0 | 1 | 2 | 3 | |
| OPG/Peri | 1 PANORA+PERI | Recuento | 317 | 43 | 18 | 11 | 389 |
| | | % dentro de OPG/Peri | 81,5% | 11,1% | 4,6% | 2,8% | 100,0% |
| | 2 PANORAMICAS | Recuento | 60 | 8 | 3 | 0 | 71 |
| | | % dentro de OPG/Peri | 84,5% | 11,3% | 4,2% | ,0% | 100,0% |
| | 3 PERIAPICAL | Recuento | 7 | 1 | 0 | 0 | 8 |
| | | % dentro de OPG/Peri | 87,5% | 12,5% | ,0% | ,0% | 100,0% |
| Total | | Recuento | 384 | 52 | 21 | 11 | 468 |
| | | % dentro de OPG/Peri | 82,1% | 11,1% | 4,5% | 2,4% | 100,0% |

Pruebas de chi-cuadrado

| | Valor | gl | Sig. asintótica (bilateral) |
|------------------------------|--------------------|----|-----------------------------|
| Chi-cuadrado de Pearson | 2,733 ^a | 6 | ,841 |
| Razón de verosimilitudes | 4,924 | 6 | ,554 |
| Asociación lineal por lineal | 1,553 | 1 | ,213 |
| N de casos válidos | 468 | | |

Correlaciones

| | | PERDIDA_1 | PERDIDA_3 | PERDIDA_5 |
|--------------|------------------------|-----------|-----------|-----------|
| PERDIDA_1 | Correlación de Pearson | 1 | ,704** | ,747** |
| | Sig. (bilateral) | | ,000 | ,000 |
| | N | 901 | 730 | 486 |
| PERDIDA_3 | Correlación de Pearson | ,704** | 1 | ,960** |
| | Sig. (bilateral) | ,000 | | ,000 |
| | N | 730 | 743 | 462 |
| PERDIDA_5 | Correlación de Pearson | ,747** | ,960** | 1 |
| | Sig. (bilateral) | ,000 | ,000 | |
| | N | 486 | 462 | 486 |
| Edad | Correlación de Pearson | -,039 | ,268 | -,467 |
| | Sig. (bilateral) | ,697 | ,086 | ,243 |
| | N | 103 | 42 | 8 |
| Serie | Correlación de Pearson | ,094** | ,038 | -,018 |
| | Sig. (bilateral) | ,005 | ,296 | ,696 |
| | N | 901 | 743 | 486 |
| Longitud | Correlación de Pearson | -,020 | -,068 | -,091* |
| | Sig. (bilateral) | ,555 | ,065 | ,044 |
| | N | 901 | 743 | 486 |
| Nº IOI | Correlación de Pearson | ,109 | ,043 | ,154 |
| | Sig. (bilateral) | ,093 | ,552 | ,102 |
| | N | 238 | 194 | 114 |
| Tramos barra | Correlación de Pearson | ,122 | ,006 | ,103 |
| | Sig. (bilateral) | ,065 | ,931 | ,287 |
| | N | 229 | 189 | 109 |

IX.- Anexo estadístico

ANOVA de un factor

Advertencia

No se han realizado las pruebas post hoc para PERDIDA_1 porque hay menos de tres grupos.

No se han realizado las pruebas post hoc para PERDIDA_3 porque hay menos de tres grupos.

No se han realizado las pruebas post hoc para PERDIDA_5 porque hay menos de tres grupos.

Descriptivos

| | | N | Media | Desviación típica | Error típico | Intervalo de confianza para la media al 95% | | Mínimo | Máximo |
|-----------|----------|-----|-------|-------------------|--------------|---|-----------------|--------|--------|
| | | | | | | Límite inferior | Límite superior | | |
| PERDIDA_1 | 1 HOMBRE | 273 | ,114 | ,4754 | ,0288 | ,057 | ,170 | ,0 | 4,0 |
| | 2 MUJER | 628 | ,182 | ,5408 | ,0216 | ,140 | ,225 | ,0 | 3,5 |
| | Total | 901 | ,161 | ,5226 | ,0174 | ,127 | ,196 | ,0 | 4,0 |
| PERDIDA_3 | 1 HOMBRE | 225 | ,131 | ,4085 | ,0272 | ,077 | ,185 | ,0 | 3,0 |
| | 2 MUJER | 518 | ,267 | ,5772 | ,0254 | ,218 | ,317 | ,0 | 3,5 |
| | Total | 743 | ,226 | ,5352 | ,0196 | ,188 | ,265 | ,0 | 3,5 |
| PERDIDA_5 | 1 HOMBRE | 139 | ,219 | ,6458 | ,0548 | ,111 | ,328 | ,0 | 3,5 |
| | 2 MUJER | 347 | ,321 | ,6494 | ,0349 | ,253 | ,390 | ,0 | 3,5 |
| | Total | 486 | ,292 | ,6494 | ,0295 | ,234 | ,350 | ,0 | 3,5 |

ANOVA

| | | Suma de cuadrados | gl | Media cuadrática | F | Sig. |
|-----------|--------------|-------------------|-----|------------------|--------|------|
| PERDIDA_1 | Inter-grupos | ,900 | 1 | ,900 | 3,304 | ,069 |
| | Intra-grupos | 244,854 | 899 | ,272 | | |
| | Total | 245,754 | 900 | | | |
| PERDIDA_3 | Inter-grupos | 2,913 | 1 | 2,913 | 10,297 | ,001 |
| | Intra-grupos | 209,601 | 741 | ,283 | | |
| | Total | 212,513 | 742 | | | |
| PERDIDA_5 | Inter-grupos | 1,031 | 1 | 1,031 | 2,451 | ,118 |
| | Intra-grupos | 203,480 | 484 | ,420 | | |
| | Total | 204,510 | 485 | | | |

ANOVA de un factor

Advertencia

No se han realizado las pruebas post hoc para PERDIDA_1 porque hay menos de tres grupos.

No se han realizado las pruebas post hoc para PERDIDA_3 porque hay menos de tres grupos.

No se han realizado las pruebas post hoc para PERDIDA_5 porque hay menos de tres grupos.

IX.- Anexo estadístico

Descriptivos

| | | N | Media | Desviación típica | Error típico | Intervalo de confianza para la media al 95% | | Mínimo | Máximo |
|-----------|-------------|-----|-------|-------------------|--------------|---|-----------------|--------|--------|
| | | | | | | Límite inferior | Límite superior | | |
| PERDIDA_1 | 1 MAXILAR | 475 | ,195 | ,5592 | ,0257 | ,144 | ,245 | ,0 | 3,5 |
| | 2 MANDIBULA | 424 | ,125 | ,4773 | ,0232 | ,079 | ,171 | ,0 | 4,0 |
| | Total | 899 | ,162 | ,5231 | ,0174 | ,128 | ,196 | ,0 | 4,0 |
| PERDIDA_3 | 1 MAXILAR | 404 | ,262 | ,5950 | ,0296 | ,204 | ,321 | ,0 | 3,5 |
| | 2 MANDIBULA | 337 | ,184 | ,4518 | ,0246 | ,136 | ,232 | ,0 | 3,0 |
| | Total | 741 | ,227 | ,5358 | ,0197 | ,188 | ,265 | ,0 | 3,5 |
| PERDIDA_5 | 1 MAXILAR | 278 | ,385 | ,7690 | ,0461 | ,294 | ,476 | ,0 | 3,5 |
| | 2 MANDIBULA | 208 | ,168 | ,4118 | ,0286 | ,112 | ,225 | ,0 | 2,0 |
| | Total | 486 | ,292 | ,6494 | ,0295 | ,234 | ,350 | ,0 | 3,5 |

ANOVA

| | | Suma de cuadrados | gl | Media cuadrática | F | Sig. |
|-----------|--------------|-------------------|-----|------------------|--------|------|
| PERDIDA_1 | Inter-grupos | 1,089 | 1 | 1,089 | 3,995 | ,046 |
| | Intra-grupos | 244,612 | 897 | ,273 | | |
| | Total | 245,701 | 898 | | | |
| PERDIDA_3 | Inter-grupos | 1,129 | 1 | 1,129 | 3,950 | ,047 |
| | Intra-grupos | 211,282 | 739 | ,286 | | |
| | Total | 212,411 | 740 | | | |
| PERDIDA_5 | Inter-grupos | 5,583 | 1 | 5,583 | 13,584 | ,000 |
| | Intra-grupos | 198,927 | 484 | ,411 | | |
| | Total | 204,510 | 485 | | | |

ANOVA de un factor

Advertencia

No se han realizado las pruebas post hoc para PERDIDA_1 porque hay menos de tres grupos.

No se han realizado las pruebas post hoc para PERDIDA_3 porque hay menos de tres grupos.

No se han realizado las pruebas post hoc para PERDIDA_5 porque hay menos de tres grupos.

Descriptivos

| | | N | Media | Desviación típica | Error típico | Intervalo de confianza para la media al 95% | | Mínimo | Máximo |
|-----------|-------|-----|-------|-------------------|--------------|---|-----------------|--------|--------|
| | | | | | | Límite inferior | Límite superior | | |
| PERDIDA_1 | 1 TSA | 874 | ,164 | ,5278 | ,0179 | ,129 | ,199 | ,0 | 4,0 |
| | 2 TSH | 27 | ,074 | ,3008 | ,0579 | -,045 | ,193 | ,0 | 1,5 |
| | Total | 901 | ,161 | ,5226 | ,0174 | ,127 | ,196 | ,0 | 4,0 |
| PERDIDA_3 | 1 TSA | 725 | ,230 | ,5386 | ,0200 | ,190 | ,269 | ,0 | 3,5 |
| | 2 TSH | 18 | ,083 | ,3536 | ,0833 | -,092 | ,259 | ,0 | 1,5 |
| | Total | 743 | ,226 | ,5352 | ,0196 | ,188 | ,265 | ,0 | 3,5 |
| PERDIDA_5 | 1 TSA | 475 | ,296 | ,6531 | ,0300 | ,237 | ,355 | ,0 | 3,5 |
| | 2 TSH | 11 | ,136 | ,4523 | ,1364 | -,167 | ,440 | ,0 | 1,5 |
| | Total | 486 | ,292 | ,6494 | ,0295 | ,234 | ,350 | ,0 | 3,5 |

IX.- Anexo estadístico

ANOVA

| | | Suma de cuadrados | gl | Media cuadrática | F | Sig. |
|-----------|--------------|-------------------|-----|------------------|-------|------|
| PERDIDA_1 | Inter-grupos | ,213 | 1 | ,213 | ,779 | ,378 |
| | Intra-grupos | 245,541 | 899 | ,273 | | |
| | Total | 245,754 | 900 | | | |
| PERDIDA_3 | Inter-grupos | ,376 | 1 | ,376 | 1,314 | ,252 |
| | Intra-grupos | 212,137 | 741 | ,286 | | |
| | Total | 212,513 | 742 | | | |
| PERDIDA_5 | Inter-grupos | ,273 | 1 | ,273 | ,648 | ,421 |
| | Intra-grupos | 204,237 | 484 | ,422 | | |
| | Total | 204,510 | 485 | | | |

ANOVA de un factor [Conjunto_de_datos1] C:\USUARIOS\margo\Agustin\Implantes.sav Descriptivos

| | | N | Media | Desviación típica | Error típico | Intervalo de confianza para la media al 95% | | Mínimo | Máximo |
|-----------|-------|-----|-------|-------------------|--------------|---|-----------------|--------|--------|
| | | | | | | Límite inferior | Límite superior | | |
| PERDIDA_1 | 3 | 562 | ,119 | ,4587 | ,0193 | ,081 | ,157 | ,0 | 3,5 |
| | 4 | 294 | ,235 | ,6205 | ,0362 | ,163 | ,306 | ,0 | 4,0 |
| | 5 | 45 | ,211 | ,5275 | ,0786 | ,053 | ,370 | ,0 | 2,0 |
| | Total | 901 | ,161 | ,5226 | ,0174 | ,127 | ,196 | ,0 | 4,0 |
| PERDIDA_3 | 3 | 460 | ,202 | ,5139 | ,0240 | ,155 | ,249 | ,0 | 3,5 |
| | 4 | 251 | ,279 | ,5864 | ,0370 | ,206 | ,352 | ,0 | 3,0 |
| | 5 | 32 | ,156 | ,3689 | ,0652 | ,023 | ,289 | ,0 | 1,5 |
| | Total | 743 | ,226 | ,5352 | ,0196 | ,188 | ,265 | ,0 | 3,5 |
| PERDIDA_5 | 3 | 294 | ,296 | ,6564 | ,0383 | ,221 | ,371 | ,0 | 3,5 |
| | 4 | 171 | ,298 | ,6677 | ,0511 | ,197 | ,399 | ,0 | 3,0 |
| | 5 | 21 | ,190 | ,3345 | ,0730 | ,038 | ,343 | ,0 | 1,0 |
| | Total | 486 | ,292 | ,6494 | ,0295 | ,234 | ,350 | ,0 | 3,5 |

ANOVA

| | | Suma de cuadrados | gl | Media cuadrática | F | Sig. |
|-----------|--------------|-------------------|-----|------------------|-------|------|
| PERDIDA_1 | Inter-grupos | 2,691 | 2 | 1,345 | 4,970 | ,007 |
| | Intra-grupos | 243,063 | 898 | ,271 | | |
| | Total | 245,754 | 900 | | | |
| PERDIDA_3 | Inter-grupos | 1,119 | 2 | ,559 | 1,958 | ,142 |
| | Intra-grupos | 211,395 | 740 | ,286 | | |
| | Total | 212,513 | 742 | | | |
| PERDIDA_5 | Inter-grupos | ,228 | 2 | ,114 | ,269 | ,764 |
| | Intra-grupos | 204,283 | 483 | ,423 | | |
| | Total | 204,510 | 485 | | | |

Pruebas post hoc

Subconjuntos homogéneos

PERDIDA_1

Duncan^{a,b}

| Serie | N | Subconjunto para alfa = 0.05 |
|-------|-----|---------------------------------|
| | | 1 |
| 3 | 562 | ,119 |
| 5 | 45 | ,211 |
| 4 | 294 | ,235 |
| Sig. | | ,122 |

PERDIDA_3

Duncan^{a,b}

| Serie | N | Subconjunto para alfa = 0,05 |
|-------|-----|---------------------------------|
| | | 1 |
| 5 | 32 | ,156 |
| 3 | 460 | ,202 |
| 4 | 251 | ,279 |
| Sig. | | ,172 |

PERDIDA_5

Duncan^{a,b}

| Serie | N | Subconjunto para alfa = 0,05 |
|-------|-----|---------------------------------|
| | | 1 |
| 5 | 21 | ,190 |
| 3 | 294 | ,296 |
| 4 | 171 | ,298 |
| Sig. | | ,427 |

ANOVA de un factor

Descriptivos

| | | N | Media | Desviación típica | Error típico | Intervalo de confianza para la media al 95% | | Mínimo | Máximo |
|-----------|-------|-----|-------|-------------------|--------------|---|-----------------|--------|--------|
| | | | | | | Límite inferior | Límite superior | | |
| PERDIDA_1 | 8,5 | 35 | ,143 | ,3550 | ,0600 | ,021 | ,265 | ,0 | 1,0 |
| | 10,0 | 180 | ,192 | ,5575 | ,0416 | ,110 | ,274 | ,0 | 3,5 |
| | 11,5 | 199 | ,151 | ,5458 | ,0387 | ,074 | ,227 | ,0 | 3,5 |
| | 13,0 | 432 | ,161 | ,5201 | ,0250 | ,112 | ,210 | ,0 | 4,0 |
| | 14,5 | 55 | ,118 | ,4299 | ,0580 | ,002 | ,234 | ,0 | 2,5 |
| | Total | 901 | ,161 | ,5226 | ,0174 | ,127 | ,196 | ,0 | 4,0 |
| PERDIDA_3 | 8,5 | 37 | ,324 | ,5428 | ,0892 | ,143 | ,505 | ,0 | 2,0 |
| | 10,0 | 143 | ,294 | ,5733 | ,0479 | ,199 | ,388 | ,0 | 3,5 |
| | 11,5 | 171 | ,196 | ,5184 | ,0396 | ,118 | ,274 | ,0 | 3,0 |
| | 13,0 | 345 | ,209 | ,5337 | ,0287 | ,152 | ,265 | ,0 | 3,0 |
| | 14,5 | 47 | ,181 | ,4712 | ,0687 | ,043 | ,319 | ,0 | 2,0 |
| | Total | 743 | ,226 | ,5352 | ,0196 | ,188 | ,265 | ,0 | 3,5 |
| PERDIDA_5 | 8,5 | 30 | ,350 | ,5438 | ,0993 | ,147 | ,553 | ,0 | 2,0 |
| | 10,0 | 91 | ,434 | ,7498 | ,0786 | ,278 | ,590 | ,0 | 3,5 |
| | 11,5 | 115 | ,257 | ,6635 | ,0619 | ,134 | ,379 | ,0 | 3,0 |
| | 13,0 | 220 | ,257 | ,6202 | ,0418 | ,174 | ,339 | ,0 | 3,5 |
| | 14,5 | 30 | ,200 | ,5350 | ,0977 | ,000 | ,400 | ,0 | 2,0 |
| | Total | 486 | ,292 | ,6494 | ,0295 | ,234 | ,350 | ,0 | 3,5 |

IX.- Anexo estadístico

ANOVA

| | | Suma de cuadrados | gl | Media cuadrática | F | Sig. |
|-----------|--------------|-------------------|-----|------------------|-------|------|
| PERDIDA_1 | Inter-grupos | ,302 | 4 | ,076 | | ,894 |
| | Intra-grupos | 245,451 | 896 | ,274 | | |
| | Total | 245,754 | 900 | | | |
| PERDIDA_3 | Inter-grupos | 1,367 | 4 | ,342 | 1,195 | ,312 |
| | Intra-grupos | 211,146 | 738 | ,286 | | |
| | Total | 212,513 | 742 | | | |
| PERDIDA_5 | Inter-grupos | 2,609 | 4 | ,652 | 1,554 | ,186 |
| | Intra-grupos | 201,902 | 481 | ,420 | | |
| | Total | 204,510 | 485 | | | |

Pruebas post hoc Subconjuntos homogéneos

PERDIDA_1

Duncan^{a,b}

| | | Subconjunto para alfa = 0.05 |
|----------|-----|---------------------------------|
| Longitud | N | 1 |
| 14,5 | 55 | ,118 |
| 8,5 | 35 | ,143 |
| 11,5 | 199 | ,151 |
| 13,0 | 432 | ,161 |
| 10,0 | 180 | ,192 |
| Sig. | | ,429 |

PERDIDA_3

Duncan^{a,b}

| | | Subconjunto para alfa = 0,05 |
|----------|-----|---------------------------------|
| Longitud | N | 1 |
| 14,5 | 47 | ,181 |
| 11,5 | 171 | ,196 |
| 13,0 | 345 | ,209 |
| 10,0 | 143 | ,294 |
| 8,5 | 37 | ,324 |
| Sig. | | ,139 |

PERDIDA_5

Duncan^{a,b}

| | | Subconjunto para alfa = 0,05 |
|----------|-----|---------------------------------|
| Longitud | N | 1 |
| 14,5 | 30 | ,200 |
| 11,5 | 115 | ,257 |
| 13,0 | 220 | ,257 |
| 8,5 | 30 | ,350 |
| 10,0 | 91 | ,434 |
| Sig. | | ,092 |

IX.- Anexo estadístico

ANOVA de un factor

Advertencia

No se han realizado las pruebas post hoc para PERDIDA_1 porque hay menos de tres grupos.

No se han realizado las pruebas post hoc para PERDIDA_3 porque hay menos de tres grupos.

No se han realizado las pruebas post hoc para PERDIDA_5 porque hay menos de tres grupos.

Descriptivos

| | N | Media | Desviación típica | Error típico | Intervalo de confianza para la media al 95% | | Mínimo | Máximo | |
|-----------|----------------|-------|-------------------|--------------|---|-----------------|--------|--------|-----|
| | | | | | Límite inferior | Límite superior | | | |
| PERDIDA_1 | 1 CRESTAL | 719 | ,163 | ,5441 | ,0203 | ,124 | ,203 | ,0 | 4,0 |
| | 2 SUPRACRESTAL | 182 | ,154 | ,4282 | ,0317 | ,091 | ,216 | ,0 | 2,0 |
| | Total | 901 | ,161 | ,5226 | ,0174 | ,127 | ,196 | ,0 | 4,0 |
| PERDIDA_3 | 1 CRESTAL | 646 | ,234 | ,5480 | ,0216 | ,191 | ,276 | ,0 | 3,5 |
| | 2 SUPRACRESTAL | 97 | ,175 | ,4392 | ,0446 | ,087 | ,264 | ,0 | 2,5 |
| | Total | 743 | ,226 | ,5352 | ,0196 | ,188 | ,265 | ,0 | 3,5 |
| PERDIDA_5 | 1 CRESTAL | 461 | ,294 | ,6593 | ,0307 | ,234 | ,354 | ,0 | 3,5 |
| | 2 SUPRACRESTAL | 25 | ,260 | ,4359 | ,0872 | ,080 | ,440 | ,0 | 1,5 |
| | Total | 486 | ,292 | ,6494 | ,0295 | ,234 | ,350 | ,0 | 3,5 |

ANOVA

| | | Suma de cuadrados | gl | Media cuadrática | F | Sig. |
|-----------|--------------|-------------------|-----|------------------|-------|------|
| PERDIDA_1 | Inter-grupos | ,013 | 1 | ,013 | ,049 | ,825 |
| | Intra-grupos | 245,740 | 899 | ,273 | | |
| | Total | 245,754 | 900 | | | |
| PERDIDA_3 | Inter-grupos | ,289 | 1 | ,289 | 1,007 | ,316 |
| | Intra-grupos | 212,225 | 741 | ,286 | | |
| | Total | 212,513 | 742 | | | |
| PERDIDA_5 | Inter-grupos | ,027 | 1 | ,027 | ,065 | ,799 |
| | Intra-grupos | 204,483 | 484 | ,422 | | |
| | Total | 204,510 | 485 | | | |

ANOVA de un factor Descriptivos

| | | N | Media | Desviación típica | Error típico | Intervalo de confianza para la media al 95% | | Mínimo | Máximo |
|-----------|--------------|-----|-------|-------------------|--------------|---|-----------------|--------|--------|
| | | | | | | Límite inferior | Límite superior | | |
| PERDIDA_1 | 1 INMEDIATA | 261 | ,067 | ,3043 | ,0188 | ,030 | ,104 | ,0 | 3,0 |
| | 2 PRECOZ | 499 | ,181 | ,5576 | ,0250 | ,132 | ,230 | ,0 | 4,0 |
| | 3 CIR_PREVIA | 141 | ,266 | ,6696 | ,0564 | ,154 | ,377 | ,0 | 3,5 |
| | Total | 901 | ,161 | ,5226 | ,0174 | ,127 | ,196 | ,0 | 4,0 |
| PERDIDA_3 | 1 INMEDIATA | 210 | ,129 | ,4123 | ,0285 | ,072 | ,185 | ,0 | 3,0 |
| | 2 PRECOZ | 406 | ,186 | ,4759 | ,0236 | ,140 | ,232 | ,0 | 3,0 |
| | 3 CIR_PREVIA | 127 | ,516 | ,7558 | ,0671 | ,383 | ,648 | ,0 | 3,5 |
| | Total | 743 | ,226 | ,5352 | ,0196 | ,188 | ,265 | ,0 | 3,5 |
| PERDIDA_5 | 1 INMEDIATA | 115 | ,178 | ,4352 | ,0406 | ,098 | ,259 | ,0 | 2,0 |
| | 2 PRECOZ | 282 | ,227 | ,5965 | ,0355 | ,157 | ,297 | ,0 | 3,5 |
| | 3 CIR_PREVIA | 89 | ,646 | ,8861 | ,0939 | ,459 | ,833 | ,0 | 3,5 |
| | Total | 486 | ,292 | ,6494 | ,0295 | ,234 | ,350 | ,0 | 3,5 |

IX.- Anexo estadístico

ANOVA

| | | Suma de cuadrados | gl | Media cuadrática | F | Sig. |
|-----------|--------------|-------------------|-----|------------------|--------|------|
| PERDIDA_1 | Inter-grupos | 4,064 | 2 | 2,032 | 7,549 | ,001 |
| | Intra-grupos | 241,690 | 898 | ,269 | | |
| | Total | 245,754 | 900 | | | |
| PERDIDA_3 | Inter-grupos | 13,306 | 2 | 6,653 | 24,715 | ,000 |
| | Intra-grupos | 199,207 | 740 | ,269 | | |
| | Total | 212,513 | 742 | | | |
| PERDIDA_5 | Inter-grupos | 13,838 | 2 | 6,919 | 17,527 | ,000 |
| | Intra-grupos | 190,672 | 483 | ,395 | | |
| | Total | 204,510 | 485 | | | |

Pruebas post hoc

Subconjuntos homogéneos

PERDIDA_1

Duncan^{a,b}

| Carga | N | Subconjunto para alfa = 0.05 | |
|--------------|-----|------------------------------|------|
| | | 1 | 2 |
| 1 INMEDIATA | 261 | ,067 | |
| 2 PRECOZ | 499 | | ,181 |
| 3 CIR_PREVIA | 141 | | ,266 |
| Sig. | | 1,000 | ,079 |

PERDIDA_3

Duncan^{a,b}

| Carga | N | Subconjunto para alfa = 0.05 | |
|--------------|-----|------------------------------|-------|
| | | 1 | 2 |
| 1 INMEDIATA | 210 | ,129 | |
| 2 PRECOZ | 406 | ,186 | |
| 3 CIR_PREVIA | 127 | | ,516 |
| Sig. | | ,271 | 1,000 |

PERDIDA_5

Duncan^{a,b}

| Carga | N | Subconjunto para alfa = 0.05 | |
|--------------|-----|------------------------------|-------|
| | | 1 | 2 |
| 1 INMEDIATA | 115 | ,178 | |
| 2 PRECOZ | 282 | ,227 | |
| 3 CIR_PREVIA | 89 | | ,646 |
| Sig. | | ,536 | 1,000 |

IX.- Anexo estadístico

ANOVA de un factor

Advertencia

No se han realizado las pruebas post hoc para PERDIDA_1 porque hay menos de tres grupos.

No se han realizado las pruebas post hoc para PERDIDA_3 porque hay menos de tres grupos.

No se han realizado las pruebas post hoc para PERDIDA_5 porque hay menos de tres grupos.

Descriptivos

| | N | Media | Desviación típica | Error típico | Intervalo de confianza para la media al 95% | | Mínimo | Máximo | |
|-----------|------------------|-------|-------------------|--------------|---|-----------------|--------|--------|-----|
| | | | | | Límite inferior | Límite superior | | | |
| PERDIDA_1 | 1 FIJA | 622 | ,166 | ,4996 | ,0200 | ,127 | ,206 | ,0 | 4,0 |
| | 2 SOBREDENTADURA | 246 | ,120 | ,5059 | ,0323 | ,056 | ,183 | ,0 | 3,5 |
| | Total | 868 | ,153 | ,5016 | ,0170 | ,120 | ,187 | ,0 | 4,0 |
| PERDIDA_3 | 1 FIJA | 515 | ,265 | ,5484 | ,0242 | ,218 | ,313 | ,0 | 3,0 |
| | 2 SOBREDENTADURA | 201 | ,152 | ,5202 | ,0367 | ,079 | ,224 | ,0 | 3,5 |
| | Total | 716 | ,233 | ,5427 | ,0203 | ,193 | ,273 | ,0 | 3,5 |
| PERDIDA_5 | 1 FIJA | 346 | ,280 | ,5756 | ,0309 | ,219 | ,341 | ,0 | 3,0 |
| | 2 SOBREDENTADURA | 114 | ,395 | ,8761 | ,0821 | ,232 | ,557 | ,0 | 3,5 |
| | Total | 460 | ,309 | ,6637 | ,0309 | ,248 | ,370 | ,0 | 3,5 |

ANOVA

| | | Suma de cuadrados | gl | Media cuadrática | F | Sig. |
|-----------|--------------|-------------------|-----|------------------|-------|------|
| PERDIDA_1 | Inter-grupos | ,381 | 1 | ,381 | 1,515 | ,219 |
| | Intra-grupos | 217,740 | 866 | ,251 | | |
| | Total | 218,121 | 867 | | | |
| PERDIDA_3 | Inter-grupos | 1,856 | 1 | 1,856 | 6,350 | ,012 |
| | Intra-grupos | 208,693 | 714 | ,292 | | |
| | Total | 210,549 | 715 | | | |
| PERDIDA_5 | Inter-grupos | 1,122 | 1 | 1,122 | 2,556 | ,111 |
| | Intra-grupos | 201,043 | 458 | ,439 | | |
| | Total | 202,165 | 459 | | | |

IX.- Anexo estadístico

ANOVA de un factor

Advertencia

No se han realizado las pruebas post hoc para PERDIDA_1 porque hay menos de tres grupos.

No se han realizado las pruebas post hoc para PERDIDA_3 porque hay menos de tres grupos.

No se han realizado las pruebas post hoc para PERDIDA_5 porque hay menos de tres grupos.

Descriptivos

| | | N | Media | Desviación típica | Error típico | Intervalo de confianza para la media al 95% | | Mínimo | Máximo |
|-----------|---------|-----|-------|-------------------|--------------|---|-----------------|--------|--------|
| | | | | | | Límite inferior | Límite superior | | |
| PERDIDA_1 | 1 BUENO | 360 | ,156 | ,5467 | ,0288 | ,099 | ,212 | ,0 | 3,5 |
| | 2 MALO | 38 | ,079 | ,2733 | ,0443 | -,011 | ,169 | ,0 | 1,0 |
| | Total | 398 | ,148 | ,5270 | ,0264 | ,096 | ,200 | ,0 | 3,5 |
| PERDIDA_3 | 1 BUENO | 324 | ,256 | ,5829 | ,0324 | ,192 | ,320 | ,0 | 3,5 |
| | 2 MALO | 34 | ,382 | ,6038 | ,1035 | ,172 | ,593 | ,0 | 2,0 |
| | Total | 358 | ,268 | ,5852 | ,0309 | ,207 | ,329 | ,0 | 3,5 |
| PERDIDA_5 | 1 BUENO | 212 | ,406 | ,8076 | ,0555 | ,296 | ,515 | ,0 | 3,5 |
| | 2 MALO | 17 | ,588 | ,7123 | ,1728 | ,222 | ,954 | ,0 | 2,0 |
| | Total | 229 | ,419 | ,8009 | ,0529 | ,315 | ,524 | ,0 | 3,5 |

ANOVA

| | | Suma de cuadrados | gl | Media cuadrática | F | Sig. |
|-----------|--------------|-------------------|-----|------------------|-------|------|
| PERDIDA_1 | Inter-grupos | ,202 | 1 | ,202 | ,726 | ,395 |
| | Intra-grupos | 110,052 | 396 | ,278 | | |
| | Total | 110,254 | 397 | | | |
| PERDIDA_3 | Inter-grupos | ,490 | 1 | ,490 | 1,432 | ,232 |
| | Intra-grupos | 121,767 | 356 | ,342 | | |
| | Total | 122,257 | 357 | | | |
| PERDIDA_5 | Inter-grupos | ,525 | 1 | ,525 | ,817 | ,367 |
| | Intra-grupos | 145,731 | 227 | ,642 | | |
| | Total | 146,255 | 228 | | | |

ANOVA de un factor Advertencia

No se han realizado las pruebas post hoc para PERDIDA_1 porque hay menos de tres grupos.

No se han realizado las pruebas post hoc para PERDIDA_3 porque hay menos de tres grupos.

No se han realizado las pruebas post hoc para PERDIDA_5 porque hay menos de tres grupos.

Descriptivos

| | | N | Media | Desviación típica | Error típico | Intervalo de confianza para la media al 95% | | Mínimo | Máximo |
|-----------|------------|-----|-------|-------------------|--------------|---|-----------------|--------|--------|
| | | | | | | Límite inferior | Límite superior | | |
| PERDIDA_1 | 1 UNITARIO | 49 | ,061 | ,2197 | ,0314 | -,002 | ,124 | ,0 | 1,0 |
| | 2 PUENTE | 540 | ,164 | ,4753 | ,0205 | ,124 | ,204 | ,0 | 3,5 |
| | Total | 589 | ,155 | ,4602 | ,0190 | ,118 | ,193 | ,0 | 3,5 |
| PERDIDA_3 | 1 UNITARIO | 37 | ,068 | ,2404 | ,0395 | -,013 | ,148 | ,0 | 1,0 |
| | 2 PUENTE | 450 | ,282 | ,5497 | ,0259 | ,231 | ,333 | ,0 | 3,0 |
| | Total | 487 | ,266 | ,5354 | ,0243 | ,218 | ,314 | ,0 | 3,0 |
| PERDIDA_5 | 1 UNITARIO | 23 | ,130 | ,3444 | ,0718 | -,018 | ,279 | ,0 | 1,0 |
| | 2 PUENTE | 302 | ,305 | ,5948 | ,0342 | ,237 | ,372 | ,0 | 3,0 |
| | Total | 325 | ,292 | ,5820 | ,0323 | ,229 | ,356 | ,0 | 3,0 |

IX.- Anexo estadístico

ANOVA

| | | Suma de cuadrados | gl | Media cuadrática | F | Sig. |
|-----------|--------------|-------------------|-----|------------------|-------|------|
| PERDIDA_1 | Inter-grupos | ,473 | 1 | ,473 | 2,240 | ,135 |
| | Intra-grupos | 124,062 | 587 | ,211 | | |
| | Total | 124,536 | 588 | | | |
| PERDIDA_3 | Inter-grupos | 1,575 | 1 | 1,575 | 5,547 | ,019 |
| | Intra-grupos | 137,739 | 485 | ,284 | | |
| | Total | 139,314 | 486 | | | |
| PERDIDA_5 | Inter-grupos | ,649 | 1 | ,649 | 1,920 | ,167 |
| | Intra-grupos | 109,082 | 323 | ,338 | | |
| | Total | 109,731 | 324 | | | |

ANOVA de un factor

Advertencia

No se han realizado las pruebas post hoc para PERDIDA_1 porque hay menos de tres grupos.

No se han realizado las pruebas post hoc para PERDIDA_3 porque hay menos de tres grupos.

No se han realizado las pruebas post hoc para PERDIDA_5 porque hay menos de tres grupos.

Descriptivos

| | | N | Media | Desviación típica | Error típico | Intervalo de confianza para la media al 95% | | Mínimo | Máximo |
|-----------|---------------|-----|-------|-------------------|--------------|---|-----------------|--------|--------|
| | | | | | | Límite inferior | Límite superior | | |
| PERDIDA_1 | 1 ATORNILLADA | 547 | ,164 | ,4719 | ,0202 | ,124 | ,203 | ,0 | 3,5 |
| | 2 CEMENTADA | 24 | ,083 | ,3185 | ,0650 | -,051 | ,218 | ,0 | 1,5 |
| | Total | 571 | ,160 | ,4666 | ,0195 | ,122 | ,199 | ,0 | 3,5 |
| PERDIDA_3 | 1 ATORNILLADA | 457 | ,272 | ,5407 | ,0253 | ,223 | ,322 | ,0 | 3,0 |
| | 2 CEMENTADA | 17 | ,294 | ,5607 | ,1360 | ,006 | ,582 | ,0 | 2,0 |
| | Total | 474 | ,273 | ,5409 | ,0248 | ,224 | ,322 | ,0 | 3,0 |
| PERDIDA_5 | 1 ATORNILLADA | 303 | ,299 | ,5846 | ,0336 | ,233 | ,365 | ,0 | 3,0 |
| | 2 CEMENTADA | 9 | ,500 | ,7906 | ,2635 | -,108 | 1,108 | ,0 | 2,0 |
| | Total | 312 | ,304 | ,5909 | ,0335 | ,239 | ,370 | ,0 | 3,0 |

ANOVA

| | | Suma de cuadrados | gl | Media cuadrática | F | Sig. |
|-----------|--------------|-------------------|-----|------------------|-------|------|
| PERDIDA_1 | Inter-grupos | ,148 | 1 | ,148 | ,680 | ,410 |
| | Intra-grupos | 123,939 | 569 | ,218 | | |
| | Total | 124,088 | 570 | | | |
| PERDIDA_3 | Inter-grupos | ,008 | 1 | ,008 | ,026 | ,871 |
| | Intra-grupos | 138,362 | 472 | ,293 | | |
| | Total | 138,370 | 473 | | | |
| PERDIDA_5 | Inter-grupos | ,354 | 1 | ,354 | 1,015 | ,315 |
| | Intra-grupos | 108,219 | 310 | ,349 | | |
| | Total | 108,574 | 311 | | | |

ANOVA de un factor Descriptivos

| | | N | Media | Desviación típica | Error típico | Intervalo de confianza para la media al 95% | | Mínimo | Máximo |
|--------------------|----------------------|----------------------|-------|-------------------|--------------|---|-----------------|--------|--------|
| | | | | | | Límite inferior | Límite superior | | |
| PERDIDA_1 | 2 ELEVA+BIOMAT+HUESO | 13 | ,192 | ,3252 | ,0902 | -,004 | ,389 | ,0 | 1,0 |
| | 3 ELEVA+HUESO | 22 | ,386 | ,7389 | ,1575 | ,059 | ,714 | ,0 | 3,0 |
| | 4 ONLAY LATERAI | 26 | ,173 | ,6472 | ,1269 | -,088 | ,434 | ,0 | 3,0 |
| | 5 ONLAY VERTICAL | 23 | ,391 | ,8388 | ,1749 | ,029 | ,754 | ,0 | 3,5 |
| | 6 DISTRACCION OSEA | 8 | 1,125 | 1,2748 | ,4507 | ,059 | 2,191 | ,0 | 3,5 |
| | 7 LATERAL NERVIO | 6 | ,000 | ,0000 | ,0000 | ,000 | ,000 | ,0 | ,0 |
| | 8 INJERTO OSEO | 25 | ,140 | ,3958 | ,0792 | -,023 | ,303 | ,0 | 1,5 |
| | 9 MEMBRANA+HUESO | 18 | ,028 | ,1179 | ,0278 | -,031 | ,086 | ,0 | ,5 |
| | Total | 141 | ,266 | ,6696 | ,0564 | ,154 | ,377 | ,0 | 3,5 |
| | PERDIDA_3 | 2 ELEVA+BIOMAT+HUESO | 11 | ,227 | ,3438 | ,1037 | -,004 | ,458 | ,0 |
| 3 ELEVA+HUESO | | 19 | ,816 | ,8852 | ,2031 | ,389 | 1,242 | ,0 | 3,0 |
| 4 ONLAY LATERAI | | 22 | ,273 | ,8413 | ,1794 | -,100 | ,646 | ,0 | 3,5 |
| 5 ONLAY VERTICAL | | 20 | ,325 | ,6129 | ,1371 | ,038 | ,612 | ,0 | 2,0 |
| 6 DISTRACCION OSEA | | 6 | 1,000 | ,0000 | ,0000 | 1,000 | 1,000 | 1,0 | 1,0 |
| 7 LATERAL NERVIO | | 6 | ,500 | ,5477 | ,2236 | -,075 | 1,075 | ,0 | 1,0 |
| 8 INJERTO OSEO | | 25 | ,380 | ,6658 | ,1332 | ,105 | ,655 | ,0 | 2,0 |
| 9 MEMBRANA+HUESO | | 18 | ,917 | ,8787 | ,2071 | ,480 | 1,354 | ,0 | 3,0 |
| Total | | 127 | ,516 | ,7558 | ,0671 | ,383 | ,648 | ,0 | 3,5 |
| PERDIDA_5 | | 2 ELEVA+BIOMAT+HUESO | 5 | ,300 | ,4472 | ,2000 | -,255 | ,855 | ,0 |
| | 3 ELEVA+HUESO | 14 | 1,036 | ,9700 | ,2592 | ,476 | 1,596 | ,0 | 3,0 |
| | 4 ONLAY LATERAI | 22 | ,500 | ,9880 | ,2106 | ,062 | ,938 | ,0 | 3,5 |
| | 5 ONLAY VERTICAL | 12 | ,292 | ,6895 | ,1990 | -,146 | ,730 | ,0 | 2,0 |
| | 6 DISTRACCION OSEA | 3 | 1,000 | ,0000 | ,0000 | 1,000 | 1,000 | 1,0 | 1,0 |
| | Total | 57 | ,604 | ,8080 | ,2000 | ,062 | ,938 | ,0 | 3,5 |

IX.- Anexo estadístico

| | | | | | | | | |
|------------------|----|-------|-------|-------|-------|-------|-----|-----|
| 7 LATERAL NERVIO | 3 | 1,000 | ,0000 | ,0000 | 1,000 | 1,000 | 1,0 | 1,0 |
| 8 INJERTO OSEO | 12 | ,375 | ,9324 | ,2692 | -,217 | ,967 | ,0 | 3,0 |
| 9 MEMBRANA+HUESO | 18 | ,917 | ,8787 | ,2071 | ,480 | 1,354 | ,0 | 3,0 |
| Total | 89 | ,646 | ,8861 | ,0939 | ,459 | ,833 | ,0 | 3,5 |

ANOVA

| | | Suma de cuadrados | gl | Media cuadrática | F | Sig. |
|-----------|--------------|-------------------|-----|------------------|-------|------|
| PERDIDA_1 | Inter-grupos | 8,721 | 7 | 1,246 | 3,065 | ,005 |
| | Intra-grupos | 54,056 | 133 | ,406 | | |
| | Total | 62,777 | 140 | | | |
| PERDIDA_3 | Inter-grupos | 9,415 | 7 | 1,345 | 2,559 | ,017 |
| | Intra-grupos | 62,553 | 119 | ,526 | | |
| | Total | 71,969 | 126 | | | |
| PERDIDA_5 | Inter-grupos | 7,652 | 7 | 1,093 | 1,441 | ,201 |
| | Intra-grupos | 61,449 | 81 | ,759 | | |
| | Total | 69,101 | 88 | | | |

IX.- Anexo estadístico

Pruebas post hoc Subconjuntos homogéneos

PERDIDA_1

Duncan^{a,b}

| C_Clinicos | N | Subconjunto para alfa = 0.05 | |
|----------------------|----|------------------------------|-------|
| | | 1 | 2 |
| 7 LATERAL NERVIO | 6 | ,000 | |
| 9 MEMBRANA+HUESO | 18 | ,028 | |
| 8 INJERTO OSEO | 25 | ,140 | |
| 4 ONLAY LATERAI | 26 | ,173 | |
| 2 ELEVA+BIOMAT+HUESO | 13 | ,192 | |
| 3 ELEVA+HUESO | 22 | ,386 | |
| 5 ONLAY VERTICAL | 23 | ,391 | |
| 6 DISTRACCION OSEA | 8 | | 1,125 |
| Sig. | | ,175 | 1,000 |

PERDIDA_3

Duncan^{a,b}

| C_Clinicos | N | Subconjunto para alfa = 0.05 | | |
|----------------------|----|------------------------------|------|-------|
| | | 1 | 2 | 3 |
| 2 ELEVA+BIOMAT+HUESO | 11 | ,227 | | |
| 4 ONLAY LATERAI | 22 | ,273 | ,273 | |
| 5 ONLAY VERTICAL | 20 | ,325 | ,325 | |
| 8 INJERTO OSEO | 25 | ,380 | ,380 | ,380 |
| 7 LATERAL NERVIO | 6 | ,500 | ,500 | ,500 |
| 3 ELEVA+HUESO | 19 | ,816 | ,816 | ,816 |
| 9 MEMBRANA+HUESO | 18 | | ,917 | ,917 |
| 6 DISTRACCION OSEA | 6 | | | 1,000 |
| Sig. | | ,084 | ,058 | ,063 |

PERDIDA_5

Duncan^{a,b}

| | | Subconjunto para alfa = 0.05 |
|----------------------|----|---------------------------------|
| C_Clinicos | N | 1 |
| 5 ONLAY VERTICAL | 12 | ,292 |
| 2 ELEVA+BIOMAT+HUESO | 5 | ,300 |
| 8 INJERTO OSEO | 12 | ,375 |
| 4 ONLAY LATERAL | 22 | ,500 |
| 9 MEMBRANA+HUESO | 18 | ,917 |
| 6 DISTRACCION OSEA | 3 | 1,000 |
| 7 LATERAL NERVIO | 3 | 1,000 |
| 3 ELEVA+HUESO | 14 | 1,036 |
| Sig. | | ,192 |

IX.- Anexo estadístico

ANOVA de un factor

Descriptivos

| | N | Media | Desviación típica | Error típico | Intervalo de confianza para la media al 95% | | Mínimo | Máximo |
|-----------------------------|-----|-------|-------------------|--------------|---|-----------------|--------|--------|
| | | | | | Límite inferior | Límite superior | | |
| PERDIDA_1 0 AUSENCIA COMPLI | 844 | ,166 | ,5345 | ,0184 | ,130 | ,203 | ,0 | 4,0 |
| 1 COMPLI PROTESICAS | 28 | ,054 | ,2081 | ,0393 | -,027 | ,134 | ,0 | 1,0 |
| 2 COMPLI CLINICAS | 8 | ,250 | ,5345 | ,1890 | -,197 | ,697 | ,0 | 1,5 |
| 3 COMPLI PERIIMPL | 21 | ,071 | ,2390 | ,0522 | -,037 | ,180 | ,0 | 1,0 |
| Total | 901 | ,161 | ,5226 | ,0174 | ,127 | ,196 | ,0 | 4,0 |
| PERDIDA_3 0 AUSENCIA COMPLI | 701 | ,231 | ,5412 | ,0204 | ,191 | ,271 | ,0 | 3,5 |
| 1 COMPLI PROTESICAS | 23 | ,065 | ,1722 | ,0359 | -,009 | ,140 | ,0 | ,5 |
| 2 COMPLI CLINICAS | 6 | ,500 | ,8367 | ,3416 | -,378 | 1,378 | ,0 | 2,0 |
| 3 COMPLI PERIIMPL | 13 | ,115 | ,4160 | ,1154 | -,136 | ,367 | ,0 | 1,5 |
| Total | 743 | ,226 | ,5352 | ,0196 | ,188 | ,265 | ,0 | 3,5 |
| PERDIDA_5 0 AUSENCIA COMPLI | 449 | ,298 | ,6623 | ,0313 | ,237 | ,360 | ,0 | 3,5 |
| 1 COMPLI PROTESICAS | 25 | ,140 | ,2708 | ,0542 | ,028 | ,252 | ,0 | 1,0 |
| 2 COMPLI CLINICAS | 3 | 1,000 | 1,0000 | ,5774 | -1,484 | 3,484 | ,0 | 2,0 |
| 3 COMPLI PERIIMPL | 9 | ,167 | ,5000 | ,1667 | -,218 | ,551 | ,0 | 1,5 |
| Total | 486 | ,292 | ,6494 | ,0295 | ,234 | ,350 | ,0 | 3,5 |

ANOVA

| | | Suma de cuadrados | gl | Media cuadrática | F | Sig. |
|-----------|--------------|-------------------|-----|------------------|-------|------|
| PERDIDA_1 | Inter-grupos | ,580 | 3 | ,193 | ,707 | ,548 |
| | Intra-grupos | 245,174 | 897 | ,273 | | |
| | Total | 245,754 | 900 | | | |
| PERDIDA_3 | Inter-grupos | 1,222 | 3 | ,407 | 1,425 | ,234 |
| | Intra-grupos | 211,291 | 739 | ,286 | | |
| | Total | 212,513 | 742 | | | |
| PERDIDA_5 | Inter-grupos | 2,241 | 3 | ,747 | 1,780 | ,150 |
| | Intra-grupos | 202,269 | 482 | ,420 | | |
| | Total | 204,510 | 485 | | | |

Pruebas post hoc

Subconjuntos homogéneos

PERDIDA_1

Duncan^{a,b}

| | | Subconjunto para alfa = 0.05 |
|---------------------|-----|---------------------------------|
| Complicaciones | N | 1 |
| 1 COMPLI PROTESICAS | 28 | ,054 |
| 3 COMPLI PERIIMPL | 21 | ,071 |
| 0 AUSENCIA COMPLI | 844 | ,166 |
| 2 COMPLI CLINICAS | 8 | ,250 |
| Sig. | | ,296 |

IX.- Anexo estadístico

PERDIDA_3

Duncan^{a,b}

| Complicaciones | N | Subconjunto para alfa = 0.05 | |
|---------------------|-----|------------------------------|------|
| | | 1 | 2 |
| 1 COMPLI PROTESICAS | 23 | ,065 | |
| 3 COMPLI PERIIMPL | 13 | ,115 | ,115 |
| 0 AUSENCIA COMPLI | 701 | ,231 | ,231 |
| 2 COMPLI CLINICAS | 6 | | ,500 |
| Sig. | | ,446 | ,073 |

PERDIDA_5

Duncan^{a,b}

| Complicaciones | N | Subconjunto para alfa = 0.05 | |
|---------------------|-----|------------------------------|-------|
| | | 1 | 2 |
| 1 COMPLI PROTESICAS | 25 | ,140 | |
| 3 COMPLI PERIIMPL | 9 | ,167 | |
| 0 AUSENCIA COMPLI | 449 | ,298 | |
| 2 COMPLI CLINICAS | 3 | | 1,000 |
| Sig. | | ,644 | 1,000 |

ANOVA de un factor

Descriptivos

| | | N | Media | Desviación típica | Error típico | Intervalo de confianza para la media al 95% | | Mínimo | Máximo |
|-----------|---------------|-----|-------|-------------------|--------------|---|-----------------|--------|--------|
| | | | | | | Límite inferior | Límite superior | | |
| PERDIDA_1 | 1 PANORA+PERI | 694 | ,144 | ,5112 | ,0194 | ,106 | ,182 | ,0 | 4,0 |
| | 2 PANORAMICAS | 117 | ,197 | ,5871 | ,0543 | ,089 | ,304 | ,0 | 3,0 |
| | 3 PERIAPICAL | 27 | ,241 | ,4012 | ,0772 | ,082 | ,399 | ,0 | 1,5 |
| | Total | 838 | ,155 | ,5193 | ,0179 | ,119 | ,190 | ,0 | 4,0 |
| PERDIDA_3 | 1 PANORA+PERI | 605 | ,219 | ,5317 | ,0216 | ,177 | ,261 | ,0 | 3,5 |
| | 2 PANORAMICAS | 97 | ,222 | ,5495 | ,0558 | ,111 | ,332 | ,0 | 3,0 |
| | 3 PERIAPICAL | 11 | ,318 | ,4622 | ,1394 | ,008 | ,629 | ,0 | 1,5 |
| | Total | 713 | ,221 | ,5326 | ,0199 | ,182 | ,260 | ,0 | 3,5 |
| PERDIDA_5 | 1 PANORA+PERI | 389 | ,301 | ,6779 | ,0344 | ,233 | ,368 | ,0 | 3,5 |
| | 2 PANORAMICAS | 71 | ,197 | ,4589 | ,0545 | ,089 | ,306 | ,0 | 2,0 |
| | 3 PERIAPICAL | 8 | ,250 | ,5345 | ,1890 | -,197 | ,697 | ,0 | 1,5 |
| | Total | 468 | ,284 | ,6474 | ,0299 | ,225 | ,343 | ,0 | 3,5 |

ANOVA

| | | Suma de cuadrados | gl | Media cuadrática | F | Sig. |
|-----------|--------------|-------------------|-----|------------------|------|------|
| PERDIDA_1 | Inter-grupos | ,483 | 2 | ,242 | ,896 | ,409 |
| | Intra-grupos | 225,255 | 835 | ,270 | | |
| | Total | 225,738 | 837 | | | |
| PERDIDA_3 | Inter-grupos | ,106 | 2 | ,053 | ,187 | ,829 |
| | Intra-grupos | 201,852 | 710 | ,284 | | |
| | Total | 201,959 | 712 | | | |
| PERDIDA_5 | Inter-grupos | ,654 | 2 | ,327 | ,779 | ,459 |
| | Intra-grupos | 195,049 | 465 | ,419 | | |
| | Total | 195,703 | 467 | | | |

IX.- Anexo estadístico

Pruebas post hoc

Subconjuntos homogéneos

PERDIDA_1

Duncan^{a,b}

| | | Subconjunto para alfa = 0.05 |
|---------------|-----|---------------------------------|
| OPG/Peri | N | 1 |
| 1 PANORA+PERI | 694 | ,144 |
| 2 PANORAMICAS | 117 | ,197 |
| 3 PERIAPICAL | 27 | ,241 |
| Sig. | | ,325 |

PERDIDA_3

Duncan^{a,b}

| | | Subconjunto para alfa = 0.05 |
|---------------|-----|---------------------------------|
| OPG/Peri | N | 1 |
| 1 PANORA+PERI | 605 | ,219 |
| 2 PANORAMICAS | 97 | ,222 |
| 3 PERIAPICAL | 11 | ,318 |
| Sig. | | ,508 |

PERDIDA_5

Duncan^{a,b}

| OPG/Peri | N | Subconjunto para alfa = 0.05 |
|---------------|-----|---------------------------------|
| | | 1 |
| 2 PANORAMICAS | 71 | ,197 |
| 3 PERIAPICAL | 8 | ,250 |
| 1 PANORA+PERI | 389 | ,301 |
| Sig. | | ,628 |

IX.- Anexo estadístico

Correlaciones Carga = INMEDIATA

| | | PERDIDA_1 | PERDIDA_3 | PERDIDA_5 |
|--------------|------------------------|--------------------|-----------|----------------|
| PERDIDA_1 | Correlación de Pearson | 1 | ,739** | ,530** |
| | Sig. (bilateral) | | ,000 | ,000 |
| | N | 261 | 207 | 115 |
| PERDIDA_3 | Correlación de Pearson | ,739** | 1 | ,977** |
| | Sig. (bilateral) | ,000 | | ,000 |
| | N | 207 | 210 | 108 |
| PERDIDA_5 | Correlación de Pearson | ,530** | ,977** | 1 |
| | Sig. (bilateral) | ,000 | ,000 | |
| | N | 115 | 108 | 115 |
| Edad | Correlación de Pearson | -,143 | -,342 | . ^a |
| | Sig. (bilateral) | ,406 | ,333 | . |
| | N | 36 | 10 | 2 |
| Serie | Correlación de Pearson | ,152 [†] | ,103 | ,047 |
| | Sig. (bilateral) | ,014 | ,137 | ,616 |
| | N | 261 | 210 | 115 |
| Longitud | Correlación de Pearson | ,032 | -,021 | -,148 |
| | Sig. (bilateral) | ,605 | ,759 | ,115 |
| | N | 261 | 210 | 115 |
| Nº IOI | Correlación de Pearson | -,211 [†] | -,080 | -,096 |
| | Sig. (bilateral) | ,012 | ,415 | ,485 |
| | N | 143 | 105 | 55 |
| Tramos barra | Correlación de Pearson | -,136 | -,312** | -,417** |
| | Sig. (bilateral) | ,109 | ,001 | ,002 |
| | N | 140 | 105 | 55 |

Carga = PRECOZ

Correlaciones^a

| | | PERDIDA_1 | PERDIDA_3 | PERDIDA_5 |
|--------------|------------------------|-------------------|-----------|-----------|
| PERDIDA_1 | Correlación de Pearson | 1 | ,743** | ,870** |
| | Sig. (bilateral) | | ,000 | ,000 |
| | N | 499 | 396 | 282 |
| PERDIDA_3 | Correlación de Pearson | ,743** | 1 | ,990** |
| | Sig. (bilateral) | ,000 | | ,000 |
| | N | 396 | 406 | 265 |
| PERDIDA_5 | Correlación de Pearson | ,870** | ,990** | 1 |
| | Sig. (bilateral) | ,000 | ,000 | |
| | N | 282 | 265 | 282 |
| Edad | Correlación de Pearson | -,141 | ,323 | -,316 |
| | Sig. (bilateral) | ,304 | ,107 | ,541 |
| | N | 55 | 26 | 6 |
| Serie | Correlación de Pearson | ,114 [†] | ,065 | ,023 |
| | Sig. (bilateral) | ,011 | ,193 | ,702 |
| | N | 499 | 406 | 282 |
| Longitud | Correlación de Pearson | ,008 | -,057 | -,060 |
| | Sig. (bilateral) | ,862 | ,255 | ,317 |
| | N | 499 | 406 | 282 |
| Nº IOI | Correlación de Pearson | ,036 | -,108 | -,020 |
| | Sig. (bilateral) | ,767 | ,396 | ,904 |
| | N | 69 | 64 | 40 |
| Tramos barra | Correlación de Pearson | ,007 | -,069 | -,020 |
| | Sig. (bilateral) | ,952 | ,587 | ,904 |
| | N | 69 | 64 | 40 |

IX.- Anexo estadístico

Carga = CIR_PREVIA

Correlaciones^b

| | | PERDIDA_1 | PERDIDA_3 | PERDIDA_5 |
|--------------|------------------------|----------------|----------------|-------------------|
| PERDIDA_1 | Correlación de Pearson | 1 | ,622** | ,614** |
| | Sig. (bilateral) | | ,000 | ,000 |
| | N | 141 | 127 | 89 |
| PERDIDA_3 | Correlación de Pearson | ,622** | 1 | ,923** |
| | Sig. (bilateral) | ,000 | | ,000 |
| | N | 127 | 127 | 89 |
| PERDIDA_5 | Correlación de Pearson | ,614** | ,923** | 1 |
| | Sig. (bilateral) | ,000 | ,000 | |
| | N | 89 | 89 | 89 |
| Edad | Correlación de Pearson | . ^a | . ^a | . ^a |
| | Sig. (bilateral) | ,000 | ,000 | . |
| | N | 12 | 6 | 0 |
| Serie | Correlación de Pearson | -,043 | -,046 | -,065 |
| | Sig. (bilateral) | ,615 | ,611 | ,547 |
| | N | 141 | 127 | 89 |
| Longitud | Correlación de Pearson | -,088 | -,073 | -,107 |
| | Sig. (bilateral) | ,301 | ,417 | ,318 |
| | N | 141 | 127 | 89 |
| Nº IOI | Correlación de Pearson | -,045 | ,038 | ,435 |
| | Sig. (bilateral) | ,827 | ,855 | ,063 |
| | N | 26 | 25 | 19 |
| Tramos barra | Correlación de Pearson | . ^a | ,079 | ,569 [†] |
| | Sig. (bilateral) | ,000 | ,742 | ,034 |
| | N | 20 | 20 | 14 |

ANOVA de un factor

Advertencia

No se han realizado las pruebas post hoc para PERDIDA_1 en el archivo de segmentación Carga = 1 INMEDIATA porque hay menos de tres grupos.

No se han realizado las pruebas post hoc para PERDIDA_3 en el archivo de segmentación Carga = 1 INMEDIATA porque hay menos de tres grupos.

No se han realizado las pruebas post hoc para PERDIDA_5 en el archivo de segmentación Carga = 1 INMEDIATA porque hay menos de tres grupos.

No se han realizado las pruebas post hoc para PERDIDA_1 en el archivo de segmentación Carga = 2 PRECOZ porque hay menos de tres grupos.

No se han realizado las pruebas post hoc para PERDIDA_3 en el archivo de segmentación Carga = 2 PRECOZ porque hay menos de tres grupos.

No se han realizado las pruebas post hoc para PERDIDA_5 en el archivo de segmentación Carga = 2 PRECOZ porque hay menos de tres grupos.

No se han realizado las pruebas post hoc para PERDIDA_1 en el archivo de segmentación Carga = 3 CIR_PREVIA porque hay menos de tres grupos.

No se han realizado las pruebas post hoc para PERDIDA_3 en el archivo de segmentación Carga = 3 CIR_PREVIA porque hay menos de tres grupos.

No se han realizado las pruebas post hoc para PERDIDA_5 en el archivo de segmentación Carga = 3 CIR_PREVIA porque hay menos de tres grupos.

Carga = INMEDIATA Descriptivos^a

| | | N | Media | Desviación típica | Error típico | Intervalo de confianza para la media al 95% | | Mínimo | Máximo |
|-----------|----------|-----|-------|-------------------|--------------|---|-----------------|--------|--------|
| | | | | | | Límite inferior | Límite superior | | |
| PERDIDA_1 | 1 HOMBRE | 108 | ,060 | ,3533 | ,0340 | -,007 | ,128 | ,0 | 3,0 |
| | 2 MUJER | 153 | ,072 | ,2654 | ,0215 | ,029 | ,114 | ,0 | 1,5 |
| | Total | 261 | ,067 | ,3043 | ,0188 | ,030 | ,104 | ,0 | 3,0 |
| PERDIDA_3 | 1 HOMBRE | 90 | ,083 | ,3984 | ,0420 | ,000 | ,167 | ,0 | 3,0 |
| | 2 MUJER | 120 | ,163 | ,4209 | ,0384 | ,086 | ,239 | ,0 | 2,0 |
| | Total | 210 | ,129 | ,4123 | ,0285 | ,072 | ,185 | ,0 | 3,0 |
| PERDIDA_5 | 1 HOMBRE | 48 | ,073 | ,2304 | ,0333 | ,006 | ,140 | ,0 | 1,0 |
| | 2 MUJER | 67 | ,254 | ,5249 | ,0641 | ,126 | ,382 | ,0 | 2,0 |
| | Total | 115 | ,178 | ,4352 | ,0406 | ,098 | ,259 | ,0 | 2,0 |

IX.- Anexo estadístico

ANOVA^a

| | | Suma de cuadrados | gl | Media cuadrática | F | Sig. |
|-----------|--------------|-------------------|-----|------------------|-------|------|
| PERDIDA_1 | Inter-grupos | ,009 | 1 | ,009 | ,093 | ,760 |
| | Intra-grupos | 24,068 | 259 | ,093 | | |
| | Total | 24,077 | 260 | | | |
| PERDIDA_3 | Inter-grupos | ,322 | 1 | ,322 | 1,904 | ,169 |
| | Intra-grupos | 35,206 | 208 | ,169 | | |
| | Total | 35,529 | 209 | | | |
| PERDIDA_5 | Inter-grupos | ,914 | 1 | ,914 | 4,996 | ,027 |
| | Intra-grupos | 20,681 | 113 | ,183 | | |
| | Total | 21,596 | 114 | | | |

Carga = PRECOZ

Descriptivos^a

| | | N | Media | Desviación típica | Error típico | Intervalo de confianza para la media al 95% | | Mínimo | Máximo |
|-----------|----------|-----|-------|-------------------|--------------|---|-----------------|--------|--------|
| | | | | | | Límite inferior | Límite superior | | |
| PERDIDA_1 | 1 HOMBRE | 142 | ,151 | ,5649 | ,0474 | ,058 | ,245 | ,0 | 4,0 |
| | 2 MUJER | 357 | ,193 | ,5550 | ,0294 | ,136 | ,251 | ,0 | 3,5 |
| | Total | 499 | ,181 | ,5576 | ,0250 | ,132 | ,230 | ,0 | 4,0 |
| PERDIDA_3 | 1 HOMBRE | 112 | ,156 | ,4029 | ,0381 | ,081 | ,232 | ,0 | 2,0 |
| | 2 MUJER | 294 | ,197 | ,5010 | ,0292 | ,140 | ,255 | ,0 | 3,0 |
| | Total | 406 | ,186 | ,4759 | ,0236 | ,140 | ,232 | ,0 | 3,0 |
| PERDIDA_5 | 1 HOMBRE | 81 | ,309 | ,7889 | ,0877 | ,134 | ,483 | ,0 | 3,5 |
| | 2 MUJER | 201 | ,194 | ,4972 | ,0351 | ,125 | ,263 | ,0 | 3,0 |
| | Total | 282 | ,227 | ,5965 | ,0355 | ,157 | ,297 | ,0 | 3,5 |

ANOVA^a

| | | Suma de cuadrados | gl | Media cuadrática | F | Sig. |
|-----------|--------------|-------------------|-----|------------------|-------|------|
| PERDIDA_1 | Inter-grupos | ,178 | 1 | ,178 | ,572 | ,450 |
| | Intra-grupos | 154,659 | 497 | ,311 | | |
| | Total | 154,837 | 498 | | | |
| PERDIDA_3 | Inter-grupos | ,137 | 1 | ,137 | ,602 | ,438 |
| | Intra-grupos | 91,573 | 404 | ,227 | | |
| | Total | 91,710 | 405 | | | |
| PERDIDA_5 | Inter-grupos | ,758 | 1 | ,758 | 2,140 | ,145 |
| | Intra-grupos | 99,217 | 280 | ,354 | | |
| | Total | 99,975 | 281 | | | |

Carga = CIR_PREVIA

Descriptivos^a

| | | N | Media | Desviación típica | Error típico | Intervalo de confianza para la media al 95% | | Mínimo | Máximo |
|-----------|----------|-----|-------|-------------------|--------------|---|-----------------|--------|--------|
| | | | | | | Límite inferior | Límite superior | | |
| PERDIDA_1 | 1 HOMBRE | 23 | ,130 | ,3444 | ,0718 | -,018 | ,279 | ,0 | 1,5 |
| | 2 MUJER | 118 | ,292 | ,7141 | ,0657 | ,162 | ,423 | ,0 | 3,5 |
| | Total | 141 | ,266 | ,6696 | ,0564 | ,154 | ,377 | ,0 | 3,5 |
| PERDIDA_3 | 1 HOMBRE | 23 | ,196 | ,4705 | ,0981 | -,008 | ,399 | ,0 | 2,0 |
| | 2 MUJER | 104 | ,587 | ,7896 | ,0774 | ,433 | ,740 | ,0 | 3,5 |
| | Total | 127 | ,516 | ,7558 | ,0671 | ,383 | ,648 | ,0 | 3,5 |
| PERDIDA_5 | 1 HOMBRE | 10 | ,200 | ,6325 | ,2000 | -,252 | ,652 | ,0 | 2,0 |
| | 2 MUJER | 79 | ,703 | ,9006 | ,1013 | ,501 | ,904 | ,0 | 3,5 |
| | Total | 89 | ,646 | ,8861 | ,0939 | ,459 | ,833 | ,0 | 3,5 |

IX.- Anexo estadístico

ANOVA^a

| | | Suma de cuadrados | gl | Media cuadrática | F | Sig. |
|-----------|--------------|-------------------|-----|------------------|-------|------|
| PERDIDA_1 | Inter-grupos | ,505 | 1 | ,505 | 1,127 | ,290 |
| | Intra-grupos | 62,272 | 139 | ,448 | | |
| | Total | 62,777 | 140 | | | |
| PERDIDA_3 | Inter-grupos | 2,878 | 1 | 2,878 | 5,207 | ,024 |
| | Intra-grupos | 69,091 | 125 | ,553 | | |
| | Total | 71,969 | 126 | | | |
| PERDIDA_5 | Inter-grupos | 2,242 | 1 | 2,242 | 2,917 | ,091 |
| | Intra-grupos | 66,859 | 87 | ,768 | | |
| | Total | 69,101 | 88 | | | |

ANOVA de un factor

Advertencia

No se han realizado las pruebas post hoc para PERDIDA_1 en el archivo de segmentación Carga = 1 INMEDIATA porque hay menos de tres grupos.

No se han realizado las pruebas post hoc para PERDIDA_3 en el archivo de segmentación Carga = 1 INMEDIATA porque hay menos de tres grupos.

No se han realizado las pruebas post hoc para PERDIDA_5 en el archivo de segmentación Carga = 1 INMEDIATA porque hay menos de tres grupos.

No se han realizado las pruebas post hoc para PERDIDA_1 en el archivo de segmentación Carga = 2 PRECOZ porque hay menos de tres grupos.

No se han realizado las pruebas post hoc para PERDIDA_3 en el archivo de segmentación Carga = 2 PRECOZ porque hay menos de tres grupos.

No se han realizado las pruebas post hoc para PERDIDA_5 en el archivo de segmentación Carga = 2 PRECOZ porque hay menos de tres grupos.

No se han realizado las pruebas post hoc para PERDIDA_1 en el archivo de segmentación Carga = 3 CIR_PREVIA porque hay menos de tres grupos.

No se han realizado las pruebas post hoc para PERDIDA_3 en el archivo de segmentación Carga = 3 CIR_PREVIA porque hay menos de tres grupos.

No se han realizado las pruebas post hoc para PERDIDA_5 en el archivo de segmentación Carga = 3 CIR_PREVIA porque hay menos de tres grupos.

Carga = INMEDIATA Descriptivos^a

| | | N | Media | Desviación típica | Error típico | Intervalo de confianza para la media al 95% | | Mínimo | Máximo |
|-----------|-------------|-----|-------|-------------------|--------------|---|-----------------|--------|--------|
| | | | | | | Límite inferior | Límite superior | | |
| PERDIDA_1 | 1 MAXILAR | 98 | ,061 | ,2410 | ,0243 | ,013 | ,110 | ,0 | 1,5 |
| | 2 MANDIBULA | 161 | ,071 | ,3394 | ,0267 | ,019 | ,124 | ,0 | 3,0 |
| | Total | 259 | ,068 | ,3054 | ,0190 | ,030 | ,105 | ,0 | 3,0 |
| PERDIDA_3 | 1 MAXILAR | 92 | ,141 | ,4214 | ,0439 | ,054 | ,229 | ,0 | 2,0 |
| | 2 MANDIBULA | 116 | ,121 | ,4098 | ,0380 | ,045 | ,196 | ,0 | 3,0 |
| | Total | 208 | ,130 | ,4141 | ,0287 | ,073 | ,186 | ,0 | 3,0 |
| PERDIDA_5 | 1 MAXILAR | 47 | ,245 | ,5405 | ,0788 | ,086 | ,403 | ,0 | 2,0 |
| | 2 MANDIBULA | 68 | ,132 | ,3414 | ,0414 | ,050 | ,215 | ,0 | 1,5 |
| | Total | 115 | ,178 | ,4352 | ,0406 | ,098 | ,259 | ,0 | 2,0 |

ANOVA^a

| | | Suma de cuadrados | gl | Media cuadrática | F | Sig. |
|-----------|--------------|-------------------|-----|------------------|-------|------|
| PERDIDA_1 | Inter-grupos | ,006 | 1 | ,006 | ,068 | ,795 |
| | Intra-grupos | 24,061 | 257 | ,094 | | |
| | Total | 24,068 | 258 | | | |
| PERDIDA_3 | Inter-grupos | ,022 | 1 | ,022 | ,127 | ,722 |
| | Intra-grupos | 35,473 | 206 | ,172 | | |
| | Total | 35,495 | 207 | | | |
| PERDIDA_5 | Inter-grupos | ,351 | 1 | ,351 | 1,865 | ,175 |
| | Intra-grupos | 21,245 | 113 | ,188 | | |
| | Total | 21,596 | 114 | | | |

IX.- Anexo estadístico

Carga = PRECOZ

Descriptivos^a

| | | N | Media | Desviación típica | Error típico | Intervalo de confianza para la media al 95% | | Mínimo | Máximo |
|-----------|-------------|-----|-------|-------------------|--------------|---|-----------------|--------|--------|
| | | | | | | Límite inferior | Límite superior | | |
| PERDIDA_1 | 1 MAXILAR | 295 | ,222 | ,5925 | ,0345 | ,154 | ,290 | ,0 | 3,5 |
| | 2 MANDIBULA | 204 | ,123 | ,4985 | ,0349 | ,054 | ,191 | ,0 | 4,0 |
| | Total | 499 | ,181 | ,5576 | ,0250 | ,132 | ,230 | ,0 | 4,0 |
| PERDIDA_3 | 1 MAXILAR | 239 | ,209 | ,5187 | ,0336 | ,143 | ,275 | ,0 | 3,0 |
| | 2 MANDIBULA | 167 | ,153 | ,4060 | ,0314 | ,091 | ,215 | ,0 | 2,5 |
| | Total | 406 | ,186 | ,4759 | ,0236 | ,140 | ,232 | ,0 | 3,0 |
| PERDIDA_5 | 1 MAXILAR | 178 | ,289 | ,6985 | ,0524 | ,186 | ,393 | ,0 | 3,5 |
| | 2 MANDIBULA | 104 | ,120 | ,3377 | ,0331 | ,055 | ,186 | ,0 | 1,5 |
| | Total | 282 | ,227 | ,5965 | ,0355 | ,157 | ,297 | ,0 | 3,5 |

ANOVA^a

| | | Suma de cuadrados | gl | Media cuadrática | F | Sig. |
|-----------|--------------|-------------------|-----|------------------|-------|------|
| PERDIDA_1 | Inter-grupos | 1,194 | 1 | 1,194 | 3,861 | ,050 |
| | Intra-grupos | 153,643 | 497 | ,309 | | |
| | Total | 154,837 | 498 | | | |
| PERDIDA_3 | Inter-grupos | ,314 | 1 | ,314 | 1,388 | ,239 |
| | Intra-grupos | 91,396 | 404 | ,226 | | |
| | Total | 91,710 | 405 | | | |
| PERDIDA_5 | Inter-grupos | 1,878 | 1 | 1,878 | 5,360 | ,021 |
| | Intra-grupos | 98,097 | 280 | ,350 | | |
| | Total | 99,975 | 281 | | | |

Carga = CIR_PREVIA

Descriptivos^a

| | | N | Media | Desviación típica | Error típico | Intervalo de confianza para la media al 95% | | Mínimo | Máximo |
|-----------|-------------|-----|-------|-------------------|--------------|---|-----------------|--------|--------|
| | | | | | | Límite inferior | Límite superior | | |
| PERDIDA_1 | 1 MAXILAR | 82 | ,256 | ,6770 | ,0748 | ,107 | ,405 | ,0 | 3,5 |
| | 2 MANDIBULA | 59 | ,280 | ,6648 | ,0866 | ,106 | ,453 | ,0 | 3,5 |
| | Total | 141 | ,266 | ,6696 | ,0564 | ,154 | ,377 | ,0 | 3,5 |
| PERDIDA_3 | 1 MAXILAR | 73 | ,589 | ,8553 | ,1001 | ,389 | ,789 | ,0 | 3,5 |
| | 2 MANDIBULA | 54 | ,417 | ,5888 | ,0801 | ,256 | ,577 | ,0 | 2,0 |
| | Total | 127 | ,516 | ,7558 | ,0671 | ,383 | ,648 | ,0 | 3,5 |
| PERDIDA_5 | 1 MAXILAR | 53 | ,830 | ,9901 | ,1360 | ,557 | 1,103 | ,0 | 3,5 |
| | 2 MANDIBULA | 36 | ,375 | ,6254 | ,1042 | ,163 | ,587 | ,0 | 2,0 |
| | Total | 89 | ,646 | ,8861 | ,0939 | ,459 | ,833 | ,0 | 3,5 |

ANOVA^a

| | | Suma de cuadrados | gl | Media cuadrática | F | Sig. |
|-----------|--------------|-------------------|-----|------------------|-------|------|
| PERDIDA_1 | Inter-grupos | ,019 | 1 | ,019 | ,042 | ,838 |
| | Intra-grupos | 62,758 | 139 | ,451 | | |
| | Total | 62,777 | 140 | | | |
| PERDIDA_3 | Inter-grupos | ,922 | 1 | ,922 | 1,623 | ,205 |
| | Intra-grupos | 71,046 | 125 | ,568 | | |
| | Total | 71,969 | 126 | | | |
| PERDIDA_5 | Inter-grupos | 4,442 | 1 | 4,442 | 5,977 | ,017 |
| | Intra-grupos | 64,659 | 87 | ,743 | | |

IX.- Anexo estadístico

Descriptivos^a

| | | N | Media | Desviación típica | Error típico | Intervalo de confianza para la media al 95% | | Mínimo | Máximo |
|-----------|-------------|--------|-------|-------------------|--------------|---|-----------------|--------|--------|
| | | | | | | Límite inferior | Límite superior | | |
| PERDIDA_1 | 1 MAXILAR | 82 | ,256 | ,6770 | ,0748 | ,107 | ,405 | ,0 | 3,5 |
| | 2 MANDIBULA | 59 | ,280 | ,6648 | ,0866 | ,106 | ,453 | ,0 | 3,5 |
| | Total | 141 | ,266 | ,6696 | ,0564 | ,154 | ,377 | ,0 | 3,5 |
| PERDIDA_3 | 1 MAXILAR | 73 | ,589 | ,8553 | ,1001 | ,389 | ,789 | ,0 | 3,5 |
| | 2 MANDIBULA | 54 | ,417 | ,5888 | ,0801 | ,256 | ,577 | ,0 | 2,0 |
| | Total | 127 | ,516 | ,7558 | ,0671 | ,383 | ,648 | ,0 | 3,5 |
| PERDIDA_5 | 1 MAXILAR | 53 | ,830 | ,9901 | ,1360 | ,557 | 1,103 | ,0 | 3,5 |
| | 2 MANDIBULA | 36 | ,375 | ,6254 | ,1042 | ,163 | ,587 | ,0 | 2,0 |
| Total | | 69,101 | | 88 | | | | | |

ANOVA de un factor

Advertencia

No se han realizado las pruebas post hoc para PERDIDA_1 en el archivo de segmentación Carga = 1 INMEDIATA porque hay menos de tres grupos.

No se han realizado las pruebas post hoc para PERDIDA_3 en el archivo de segmentación Carga = 1 INMEDIATA porque hay menos de tres grupos.

Hay menos de dos grupos para la variable dependiente PERDIDA_5 en el archivo segmentado Carga = 1 INMEDIATA. No se calcularán los estadísticos.

No se han realizado las pruebas post hoc para PERDIDA_1 en el archivo de segmentación Carga = 2 PRECOZ porque hay menos de tres grupos.

No se han realizado las pruebas post hoc para PERDIDA_3 en el archivo de segmentación Carga = 2 PRECOZ porque hay menos de tres grupos.

No se han realizado las pruebas post hoc para PERDIDA_5 en el archivo de segmentación Carga = 2 PRECOZ porque hay menos de tres grupos.

No se han realizado las pruebas post hoc para PERDIDA_1 en el archivo de segmentación Carga = 3 CIR_PREVIA porque hay menos de tres grupos.

No se han realizado las pruebas post hoc para PERDIDA_3 en el archivo de segmentación Carga = 3 CIR_PREVIA porque hay menos de tres grupos.

Advertencia

No se han realizado las pruebas post hoc para PERDIDA_1 en el archivo de segmentación Carga = 1 INMEDIATA porque hay menos de tres grupos.

No se han realizado las pruebas post hoc para PERDIDA_3 en el archivo de segmentación Carga = 1 INMEDIATA porque hay menos de tres grupos.

Hay menos de dos grupos para la variable dependiente PERDIDA_5 en el archivo segmentado Carga = 1 INMEDIATA. No se calcularán los estadísticos.

No se han realizado las pruebas post hoc para PERDIDA_1 en el archivo de segmentación Carga = 2 PRECOZ porque hay menos de tres grupos.

No se han realizado las pruebas post hoc para PERDIDA_3 en el archivo de segmentación Carga = 2 PRECOZ porque hay menos de tres grupos.

No se han realizado las pruebas post hoc para PERDIDA_5 en el archivo de segmentación Carga = 2 PRECOZ porque hay menos de tres grupos.

No se han realizado las pruebas post hoc para PERDIDA_1 en el archivo de segmentación Carga = 3 CIR_PREVIA porque hay menos de tres grupos.

No se han realizado las pruebas post hoc para PERDIDA_3 en el archivo de segmentación Carga = 3 CIR_PREVIA porque hay menos de tres grupos.

No se han realizado las pruebas post hoc para PERDIDA_5 en el archivo de segmentación Carga = 3 CIR_PREVIA porque hay menos de tres grupos.

Carga = INMEDIATA Descriptivos^a

| | | N | Media | Desviación típica | Error típico | Intervalo de confianza para la media al 95% | | Mínimo | Máximo |
|-----------|-------|-----|-------|-------------------|--------------|---|-----------------|--------|--------|
| | | | | | | Límite inferior | Límite superior | | |
| PERDIDA_1 | 1 TSA | 253 | ,067 | ,3077 | ,0193 | ,029 | ,105 | ,0 | 3,0 |
| | 2 TSH | 8 | ,063 | ,1768 | ,0625 | -,085 | ,210 | ,0 | ,5 |
| | Total | 261 | ,067 | ,3043 | ,0188 | ,030 | ,104 | ,0 | 3,0 |
| PERDIDA_3 | 1 TSA | 204 | ,132 | ,4177 | ,0292 | ,075 | ,190 | ,0 | 3,0 |
| | 2 TSH | 6 | ,000 | ,0000 | ,0000 | ,000 | ,000 | ,0 | ,0 |
| | Total | 210 | ,129 | ,4123 | ,0285 | ,072 | ,185 | ,0 | 3,0 |

ANOVA^a

IX.- Anexo estadístico

| | | Suma de cuadrados | gl | Media cuadrática | F | Sig. |
|-----------|--------------|-------------------|-----|------------------|------|------|
| PERDIDA_1 | Inter-grupos | ,000 | 1 | ,000 | ,002 | ,966 |
| | Intra-grupos | 24,076 | 259 | ,093 | | |
| | Total | 24,077 | 260 | | | |
| PERDIDA_3 | Inter-grupos | ,102 | 1 | ,102 | ,599 | ,440 |
| | Intra-grupos | 35,426 | 208 | ,170 | | |
| | Total | 35,529 | 209 | | | |

Carga = PRECOZ

Descriptivos^a

| | | N | Media | Desviación típica | Error típico | Intervalo de confianza para la media al 95% | | Mínimo | Máximo |
|-----------|-------|-----|-------|-------------------|--------------|---|-----------------|--------|--------|
| | | | | | | Límite inferior | Límite superior | | |
| PERDIDA_1 | 1 TSA | 486 | ,183 | ,5611 | ,0255 | ,133 | ,233 | ,0 | 4,0 |
| | 2 TSH | 13 | ,115 | ,4160 | ,1154 | -,136 | ,367 | ,0 | 1,5 |
| | Total | 499 | ,181 | ,5576 | ,0250 | ,132 | ,230 | ,0 | 4,0 |
| PERDIDA_3 | 1 TSA | 398 | ,186 | ,4754 | ,0238 | ,139 | ,233 | ,0 | 3,0 |
| | 2 TSH | 8 | ,188 | ,5303 | ,1875 | -,256 | ,631 | ,0 | 1,5 |
| | Total | 406 | ,186 | ,4759 | ,0236 | ,140 | ,232 | ,0 | 3,0 |
| PERDIDA_5 | 1 TSA | 275 | ,227 | ,5982 | ,0361 | ,156 | ,298 | ,0 | 3,5 |
| | 2 TSH | 7 | ,214 | ,5669 | ,2143 | -,310 | ,739 | ,0 | 1,5 |
| | Total | 282 | ,227 | ,5965 | ,0355 | ,157 | ,297 | ,0 | 3,5 |

ANOVA^a

| | | Suma de cuadrados | gl | Media cuadrática | F | Sig. |
|-----------|--------------|-------------------|-----|------------------|------|------|
| PERDIDA_1 | Inter-grupos | ,058 | 1 | ,058 | ,187 | ,666 |
| | Intra-grupos | 154,779 | 497 | ,311 | | |
| | Total | 154,837 | 498 | | | |
| PERDIDA_3 | Inter-grupos | ,000 | 1 | ,000 | ,000 | ,993 |
| | Intra-grupos | 91,710 | 404 | ,227 | | |
| | Total | 91,710 | 405 | | | |
| PERDIDA_5 | Inter-grupos | ,001 | 1 | ,001 | ,003 | ,955 |
| | Intra-grupos | 99,974 | 280 | ,357 | | |
| | Total | 99,975 | 281 | | | |

Carga = CIR_PREVIA

Descriptivos^a

| | | N | Media | Desviación típica | Error típico | Intervalo de confianza para la media al 95% | | Mínimo | Máximo |
|-----------|-------|-----|-------|-------------------|--------------|---|-----------------|--------|--------|
| | | | | | | Límite inferior | Límite superior | | |
| PERDIDA_1 | 1 TSA | 135 | ,278 | ,6820 | ,0587 | ,162 | ,394 | ,0 | 3,5 |
| | 2 TSH | 6 | ,000 | ,0000 | ,0000 | ,000 | ,000 | ,0 | ,0 |
| | Total | 141 | ,266 | ,6696 | ,0564 | ,154 | ,377 | ,0 | 3,5 |
| PERDIDA_3 | 1 TSA | 123 | ,533 | ,7622 | ,0687 | ,396 | ,669 | ,0 | 3,5 |
| | 2 TSH | 4 | ,000 | ,0000 | ,0000 | ,000 | ,000 | ,0 | ,0 |
| | Total | 127 | ,516 | ,7558 | ,0671 | ,383 | ,648 | ,0 | 3,5 |
| PERDIDA_5 | 1 TSA | 85 | ,676 | ,8954 | ,0971 | ,483 | ,870 | ,0 | 3,5 |
| | 2 TSH | 4 | ,000 | ,0000 | ,0000 | ,000 | ,000 | ,0 | ,0 |
| | Total | 89 | ,646 | ,8861 | ,0939 | ,459 | ,833 | ,0 | 3,5 |

IX.- Anexo estadístico

ANOVA^a

| | | Suma de cuadrados | gl | Media cuadrática | F | Sig. |
|-----------|--------------|-------------------|-----|------------------|-------|------|
| PERDIDA_1 | Inter-grupos | ,443 | 1 | ,443 | ,988 | ,322 |
| | Intra-grupos | 62,333 | 139 | ,448 | | |
| | Total | 62,777 | 140 | | | |
| PERDIDA_3 | Inter-grupos | 1,099 | 1 | 1,099 | 1,938 | ,166 |
| | Intra-grupos | 70,870 | 125 | ,567 | | |
| | Total | 71,969 | 126 | | | |
| PERDIDA_5 | Inter-grupos | 1,748 | 1 | 1,748 | 2,258 | ,137 |
| | Intra-grupos | 67,353 | 87 | ,774 | | |
| | Total | 69,101 | 88 | | | |

ANOVA de un factor Carga = INMEDIATA

Descriptivos^a

| | | N | Media | Desviación típica | Error típico | Intervalo de confianza para la media al 95% | | Mínimo | Máximo |
|-----------|-------|-----|-------|-------------------|--------------|---|-----------------|--------|--------|
| | | | | | | Límite inferior | Límite superior | | |
| PERDIDA_1 | 3 | 187 | ,035 | ,1800 | ,0132 | ,009 | ,061 | ,0 | 1,5 |
| | 4 | 62 | ,153 | ,5168 | ,0656 | ,022 | ,284 | ,0 | 3,0 |
| | 5 | 12 | ,125 | ,3108 | ,0897 | -,072 | ,322 | ,0 | 1,0 |
| | Total | 261 | ,067 | ,3043 | ,0188 | ,030 | ,104 | ,0 | 3,0 |
| PERDIDA_3 | 3 | 145 | ,097 | ,3296 | ,0274 | ,042 | ,151 | ,0 | 1,5 |
| | 4 | 56 | ,205 | ,5782 | ,0773 | ,051 | ,360 | ,0 | 3,0 |
| | 5 | 9 | ,167 | ,3536 | ,1179 | -,105 | ,438 | ,0 | 1,0 |
| | Total | 210 | ,129 | ,4123 | ,0285 | ,072 | ,185 | ,0 | 3,0 |
| PERDIDA_5 | 3 | 77 | ,175 | ,4425 | ,0504 | ,075 | ,276 | ,0 | 1,5 |
| | 4 | 33 | ,152 | ,4236 | ,0737 | ,001 | ,302 | ,0 | 2,0 |
| | 5 | 5 | ,400 | ,4183 | ,1871 | -,119 | ,919 | ,0 | 1,0 |
| | Total | 115 | ,178 | ,4352 | ,0406 | ,098 | ,259 | ,0 | 2,0 |

ANOVA^a

| | | Suma de cuadrados | gl | Media cuadrática | F | Sig. |
|-----------|--------------|-------------------|-----|------------------|-------|------|
| PERDIDA_1 | Inter-grupos | ,696 | 2 | ,348 | 3,838 | ,023 |
| | Intra-grupos | 23,381 | 258 | ,091 | | |
| | Total | 24,077 | 260 | | | |
| PERDIDA_3 | Inter-grupos | ,492 | 2 | ,246 | 1,453 | ,236 |
| | Intra-grupos | 35,037 | 207 | ,169 | | |
| | Total | 35,529 | 209 | | | |
| PERDIDA_5 | Inter-grupos | ,270 | 2 | ,135 | ,709 | ,494 |
| | Intra-grupos | 21,326 | 112 | ,190 | | |
| | Total | 21,596 | 114 | | | |

Pruebas post hoc

Comparaciones múltiples^a

Subconjuntos homogéneos

PERDIDA_1^cDuncan^{a,b}

| Serie | N | Subconjunto para alfa = 0.05 |
|-------|-----|---------------------------------|
| | | 1 |
| 3 | 187 | ,035 |
| 5 | 12 | ,125 |
| 4 | 62 | ,153 |
| Sig. | | ,162 |

PERDIDA_3^c

Duncan^{a,b}

| Serie | N | Subconjunto para alfa = 0.05 |
|-------|-----|---------------------------------|
| | | 1 |
| 3 | 145 | ,097 |
| 5 | 9 | ,167 |
| 4 | 56 | ,205 |
| Sig. | | ,412 |

PERDIDA_5^c

Duncan^{a,b}

| Serie | N | Subconjunto para alfa = 0.05 |
|-------|----|---------------------------------|
| | | 1 |
| 4 | 33 | ,152 |
| 3 | 77 | ,175 |
| 5 | 5 | ,400 |
| Sig. | | ,186 |

Carga = PRECOZ

Descriptivos^a

| | | N | Media | Desviación típica | Error típico | Intervalo de confianza para la media al 95% | | Mínimo | Máximo |
|-----------|-------|-----|-------|-------------------|--------------|---|-----------------|--------|--------|
| | | | | | | Límite inferior | Límite superior | | |
| PERDIDA_1 | 3 | 281 | ,121 | ,4387 | ,0262 | ,069 | ,173 | ,0 | 3,0 |
| | 4 | 187 | ,259 | ,6865 | ,0502 | ,160 | ,358 | ,0 | 4,0 |
| | 5 | 31 | ,258 | ,6038 | ,1084 | ,037 | ,480 | ,0 | 2,0 |
| | Total | 499 | ,181 | ,5576 | ,0250 | ,132 | ,230 | ,0 | 4,0 |
| PERDIDA_3 | 3 | 233 | ,152 | ,4144 | ,0271 | ,099 | ,206 | ,0 | 2,0 |
| | 4 | 152 | ,240 | ,5637 | ,0457 | ,150 | ,330 | ,0 | 3,0 |
| | 5 | 21 | ,167 | ,3979 | ,0868 | -,014 | ,348 | ,0 | 1,5 |
| | Total | 406 | ,186 | ,4759 | ,0236 | ,140 | ,232 | ,0 | 3,0 |
| PERDIDA_5 | 3 | 154 | ,205 | ,5619 | ,0453 | ,115 | ,294 | ,0 | 3,5 |
| | 4 | 114 | ,268 | ,6658 | ,0624 | ,144 | ,391 | ,0 | 3,0 |
| | 5 | 14 | ,143 | ,3056 | ,0817 | -,034 | ,319 | ,0 | 1,0 |
| | Total | 282 | ,227 | ,5965 | ,0355 | ,157 | ,297 | ,0 | 3,5 |

ANOVA^a

| | | Suma de cuadrados | gl | Media cuadrática | F | Sig. |
|-----------|--------------|-------------------|-----|------------------|-------|------|
| PERDIDA_1 | Inter-grupos | 2,344 | 2 | 1,172 | 3,812 | ,023 |
| | Intra-grupos | 152,493 | 496 | ,307 | | |
| | Total | 154,837 | 498 | | | |
| PERDIDA_3 | Inter-grupos | ,717 | 2 | ,358 | 1,588 | ,206 |
| | Intra-grupos | 90,993 | 403 | ,226 | | |
| | Total | 91,710 | 405 | | | |
| PERDIDA_5 | Inter-grupos | ,364 | 2 | ,182 | ,510 | ,601 |
| | Intra-grupos | 99,611 | 279 | ,357 | | |
| | Total | 99,975 | 281 | | | |

Pruebas post hoc

Comparaciones múltiples^a

Subconjuntos homogéneos

PERDIDA_1^c

Duncan^{a,b}

| Serie | N | Subconjunto para alfa = 0,05 |
|-------|-----|---------------------------------|
| | | 1 |
| 3 | 281 | ,121 |
| 5 | 31 | ,258 |
| 4 | 187 | ,259 |
| Sig. | | ,157 |

PERDIDA_3^c

Duncan^{a,b}

| Serie | N | Subconjunto para alfa = 0,05 |
|-------|-----|---------------------------------|
| | | 1 |
| 3 | 233 | ,152 |
| 5 | 21 | ,167 |
| 4 | 152 | ,240 |
| Sig. | | ,382 |

PERDIDA_5^cDuncan^{a,b}

| Serie | N | Subconjunto para alfa = 0.05 |
|-------|-----|---------------------------------|
| | | 1 |
| 5 | 14 | ,143 |
| 3 | 154 | ,205 |
| 4 | 114 | ,268 |
| Sig. | | ,418 |

Carga = CIR_PREVIA

Descriptivos^a

| | N | Media | Desviación típica | Error típico | Intervalo de confianza para la media al 95% | | Mínimo | Máximo | |
|-----------|-----|-------|-------------------|--------------|---|-----------------|--------|--------|-----|
| | | | | | Límite inferior | Límite superior | | | |
| PERDIDA_1 | 3 | 94 | ,282 | ,7640 | ,0788 | ,125 | ,438 | ,0 | 3,5 |
| | 4 | 45 | ,244 | ,4346 | ,0648 | ,114 | ,375 | ,0 | 1,5 |
| | 5 | 2 | ,000 | ,0000 | ,0000 | ,000 | ,000 | ,0 | ,0 |
| Total | 141 | ,266 | ,6696 | ,0564 | ,154 | ,377 | ,0 | 3,5 | |
| PERDIDA_3 | 3 | 82 | ,530 | ,8216 | ,0907 | ,350 | ,711 | ,0 | 3,5 |
| | 4 | 43 | ,512 | ,6314 | ,0963 | ,317 | ,706 | ,0 | 2,0 |
| | 5 | 2 | ,000 | ,0000 | ,0000 | ,000 | ,000 | ,0 | ,0 |
| Total | 127 | ,516 | ,7558 | ,0671 | ,383 | ,648 | ,0 | 3,5 | |
| PERDIDA_5 | 3 | 63 | ,667 | ,9158 | ,1154 | ,436 | ,897 | ,0 | 3,5 |
| | 4 | 24 | ,646 | ,8403 | ,1715 | ,291 | 1,001 | ,0 | 3,0 |
| | 5 | 2 | ,000 | ,0000 | ,0000 | ,000 | ,000 | ,0 | ,0 |

IX.- Anexo estadístico

Descriptivos^a

| | | N | Media | Desviación típica | Error típico | Intervalo de confianza para la media al 95% | | Mínimo | Máximo |
|-----------|-------|-----|-------|-------------------|--------------|---|-----------------|--------|--------|
| | | | | | | Límite inferior | Límite superior | | |
| PERDIDA_1 | 3 | 94 | ,282 | ,7640 | ,0788 | ,125 | ,438 | ,0 | 3,5 |
| | 4 | 45 | ,244 | ,4346 | ,0648 | ,114 | ,375 | ,0 | 1,5 |
| | 5 | 2 | ,000 | ,0000 | ,0000 | ,000 | ,000 | ,0 | ,0 |
| | Total | 141 | ,266 | ,6696 | ,0564 | ,154 | ,377 | ,0 | 3,5 |
| PERDIDA_3 | 3 | 82 | ,530 | ,8216 | ,0907 | ,350 | ,711 | ,0 | 3,5 |
| | 4 | 43 | ,512 | ,6314 | ,0963 | ,317 | ,706 | ,0 | 2,0 |
| | 5 | 2 | ,000 | ,0000 | ,0000 | ,000 | ,000 | ,0 | ,0 |
| | Total | 127 | ,516 | ,7558 | ,0671 | ,383 | ,648 | ,0 | 3,5 |
| PERDIDA_5 | 3 | 63 | ,667 | ,9158 | ,1154 | ,436 | ,897 | ,0 | 3,5 |
| | 4 | 24 | ,646 | ,8403 | ,1715 | ,291 | 1,001 | ,0 | 3,0 |
| | 5 | 2 | ,000 | ,0000 | ,0000 | ,000 | ,000 | ,0 | ,0 |
| | Total | 89 | ,646 | ,8861 | ,0939 | ,459 | ,833 | ,0 | 3,5 |

ANOVA^a

| | | Suma de cuadrados | gl | Media cuadrática | F | Sig. |
|-----------|--------------|-------------------|-----|------------------|------|------|
| PERDIDA_1 | Inter-grupos | ,186 | 2 | ,093 | ,205 | ,815 |
| | Intra-grupos | 62,590 | 138 | ,454 | | |
| | Total | 62,777 | 140 | | | |
| PERDIDA_3 | Inter-grupos | ,551 | 2 | ,275 | ,478 | ,621 |
| | Intra-grupos | 71,418 | 124 | ,576 | | |
| | Total | 71,969 | 126 | | | |
| PERDIDA_5 | Inter-grupos | ,862 | 2 | ,431 | ,543 | ,583 |

IX.- Anexo estadístico

| | | | | | |
|--------------|--------|----|------|--|--|
| Intra-grupos | 68,240 | 86 | ,793 | | |
| Total | 69,101 | 88 | | | |

Pruebas post hoc

Comparaciones múltiples^a

| |
|--|
| |
|--|

Subconjuntos homogéneos

PERDIDA_1^c

Duncan^{a,b}

| Serie | N | Subconjunto para alfa = 0,05 |
|-------|----|---------------------------------|
| | | 1 |
| 5 | 2 | ,000 |
| 4 | 45 | ,244 |
| 3 | 94 | ,282 |
| Sig. | | ,513 |

PERDIDA_3^c

Duncan^{a,b}

| Serie | N | Subconjunto para alfa = 0,05 |
|-------|----|---------------------------------|
| | | 1 |
| 5 | 2 | ,000 |
| 4 | 43 | ,512 |
| 3 | 82 | ,530 |
| Sig. | | ,274 |

PERDIDA_5^c

Duncan^{a,b}

| Serie | N | Subconjunto para alfa = 0,05 |
|-------|----|---------------------------------|
| | | 1 |
| 5 | 2 | ,000 |
| 4 | 24 | ,646 |
| 3 | 63 | ,667 |
| Sig. | | ,252 |

IX.- Anexo estadístico

ANOVA de un factor

Carga = INMEDIATA

Descriptivos^a

| | | N | Media | Desviación típica | Error típico | Intervalo de confianza para la media al 95% | | Mínimo | Máximo |
|-----------|-------|-----|-------|-------------------|--------------|---|-----------------|--------|--------|
| | | | | | | Límite inferior | Límite superior | | |
| PERDIDA_1 | 8,5 | 6 | ,333 | ,5164 | ,2108 | -,209 | ,875 | ,0 | 1,0 |
| | 10,0 | 41 | ,024 | ,1090 | ,0170 | -,010 | ,059 | ,0 | ,5 |
| | 11,5 | 53 | ,000 | ,0000 | ,0000 | ,000 | ,000 | ,0 | ,0 |
| | 13,0 | 153 | ,092 | ,3736 | ,0302 | ,032 | ,151 | ,0 | 3,0 |
| | 14,5 | 8 | ,063 | ,1768 | ,0625 | -,085 | ,210 | ,0 | ,5 |
| | Total | 261 | ,067 | ,3043 | ,0188 | ,030 | ,104 | ,0 | 3,0 |
| PERDIDA_3 | 8,5 | 6 | ,333 | ,5164 | ,2108 | -,209 | ,875 | ,0 | 1,0 |
| | 10,0 | 28 | ,143 | ,3293 | ,0622 | ,015 | ,271 | ,0 | 1,0 |
| | 11,5 | 48 | ,073 | ,3092 | ,0446 | -,017 | ,163 | ,0 | 1,5 |
| | 13,0 | 122 | ,135 | ,4592 | ,0416 | ,053 | ,218 | ,0 | 3,0 |
| | 14,5 | 6 | ,167 | ,4082 | ,1667 | -,262 | ,595 | ,0 | 1,0 |
| | Total | 210 | ,129 | ,4123 | ,0285 | ,072 | ,185 | ,0 | 3,0 |
| PERDIDA_5 | 8,5 | 5 | ,400 | ,5477 | ,2449 | -,280 | 1,080 | ,0 | 1,0 |
| | 10,0 | 18 | ,278 | ,3919 | ,0924 | ,083 | ,473 | ,0 | 1,0 |
| | 11,5 | 26 | ,154 | ,4420 | ,0867 | -,025 | ,332 | ,0 | 1,5 |
| | 13,0 | 63 | ,151 | ,4457 | ,0562 | ,039 | ,263 | ,0 | 2,0 |
| | 14,5 | 3 | ,000 | ,0000 | ,0000 | ,000 | ,000 | ,0 | ,0 |
| | Total | 115 | ,178 | ,4352 | ,0406 | ,098 | ,259 | ,0 | 2,0 |

ANOVA^a

| | | Suma de cuadrados | gl | Media cuadrática | F | Sig. |
|-----------|--------------|-------------------|-----|------------------|-------|------|
| PERDIDA_1 | Inter-grupos | ,830 | 4 | ,207 | 2,285 | ,061 |
| | Intra-grupos | 23,247 | 256 | ,091 | | |
| | Total | 24,077 | 260 | | | |
| PERDIDA_3 | Inter-grupos | ,420 | 4 | ,105 | ,613 | ,654 |
| | Intra-grupos | 35,108 | 205 | ,171 | | |
| | Total | 35,529 | 209 | | | |
| PERDIDA_5 | Inter-grupos | ,582 | 4 | ,146 | ,762 | ,552 |
| | Intra-grupos | 21,013 | 110 | ,191 | | |
| | Total | 21,596 | 114 | | | |

Pruebas post hoc

Subconjuntos homogéneos

PERDIDA_1^cDuncan^{a,b}

| Longitud | N | Subconjunto para alfa = 0.05 | |
|----------|-----|------------------------------|-------|
| | | 1 | 2 |
| 11,5 | 53 | ,000 | |
| 10,0 | 41 | ,024 | |
| 14,5 | 8 | ,063 | |
| 13,0 | 153 | ,092 | |
| 8,5 | 6 | | ,333 |
| Sig. | | ,462 | 1,000 |

PERDIDA_3^c

Duncan^{a,b}

| | | Subconjunto para alfa = 0,05 |
|----------|-----|---------------------------------|
| Longitud | N | 1 |
| 11,5 | 48 | ,073 |
| 13,0 | 122 | ,135 |
| 10,0 | 28 | ,143 |
| 14,5 | 6 | ,167 |
| 8,5 | 6 | ,333 |
| Sig. | | ,165 |

PERDIDA_5^c

Duncan^{a,b}

| | | Subconjunto para alfa = 0,05 |
|----------|----|---------------------------------|
| Longitud | N | 1 |
| 14,5 | 3 | ,000 |
| 13,0 | 63 | ,151 |
| 11,5 | 26 | ,154 |
| 10,0 | 18 | ,278 |
| 8,5 | 5 | ,400 |
| Sig. | | ,111 |

Carga = PRECOZ

Descriptivos^a

| | | N | Media | Desviación típica | Error típico | Intervalo de confianza para la media al 95% | | Mínimo | Máximo |
|-----------|-------|-----|-------|-------------------|--------------|---|-----------------|--------|--------|
| | | | | | | Límite inferior | Límite superior | | |
| PERDIDA_1 | 8,5 | 25 | ,120 | ,3317 | ,0663 | -,017 | ,257 | ,0 | 1,0 |
| | 10,0 | 97 | ,186 | ,5319 | ,0540 | ,078 | ,293 | ,0 | 3,0 |
| | 11,5 | 119 | ,160 | ,5482 | ,0503 | ,060 | ,259 | ,0 | 3,0 |
| | 13,0 | 224 | ,217 | ,6237 | ,0417 | ,134 | ,299 | ,0 | 4,0 |
| | 14,5 | 34 | ,059 | ,2388 | ,0410 | -,025 | ,142 | ,0 | 1,0 |
| | Total | 499 | ,181 | ,5576 | ,0250 | ,132 | ,230 | ,0 | 4,0 |
| PERDIDA_3 | 8,5 | 27 | ,296 | ,4855 | ,0934 | ,104 | ,488 | ,0 | 1,5 |
| | 10,0 | 76 | ,204 | ,4559 | ,0523 | ,100 | ,308 | ,0 | 2,5 |
| | 11,5 | 98 | ,153 | ,4891 | ,0494 | ,055 | ,251 | ,0 | 3,0 |
| | 13,0 | 175 | ,197 | ,5026 | ,0380 | ,122 | ,272 | ,0 | 2,5 |
| | 14,5 | 30 | ,083 | ,2653 | ,0484 | -,016 | ,182 | ,0 | 1,0 |
| | Total | 406 | ,186 | ,4759 | ,0236 | ,140 | ,232 | ,0 | 3,0 |
| PERDIDA_5 | 8,5 | 21 | ,310 | ,4603 | ,1005 | ,100 | ,519 | ,0 | 1,5 |
| | 10,0 | 47 | ,255 | ,5793 | ,0845 | ,085 | ,425 | ,0 | 3,0 |
| | 11,5 | 75 | ,213 | ,6533 | ,0754 | ,063 | ,364 | ,0 | 3,0 |
| | 13,0 | 118 | ,242 | ,6329 | ,0583 | ,126 | ,357 | ,0 | 3,5 |
| | 14,5 | 21 | ,048 | ,2182 | ,0476 | -,052 | ,147 | ,0 | 1,0 |
| | Total | 282 | ,227 | ,5965 | ,0355 | ,157 | ,297 | ,0 | 3,5 |

IX.- Anexo estadístico

ANOVA^a

| | | Suma de cuadrados | gl | Media cuadrática | F | Sig. |
|-----------|--------------|-------------------|-----|------------------|------|------|
| PERDIDA_1 | Inter-grupos | ,939 | 4 | ,235 | ,754 | ,556 |
| | Intra-grupos | 153,897 | 494 | ,312 | | |
| | Total | 154,837 | 498 | | | |
| PERDIDA_3 | Inter-grupos | ,797 | 4 | ,199 | ,879 | ,476 |
| | Intra-grupos | 90,913 | 401 | ,227 | | |
| | Total | 91,710 | 405 | | | |
| PERDIDA_5 | Inter-grupos | ,895 | 4 | ,224 | ,626 | ,644 |
| | Intra-grupos | 99,080 | 277 | ,358 | | |
| | Total | 99,975 | 281 | | | |

Pruebas post hoc

Subconjuntos homogéneos

PERDIDA_1^c

Duncan^{a,b}

| | | Subconjunto para alfa = 0.05 |
|----------|-----|---------------------------------|
| Longitud | N | 1 |
| 14,5 | 34 | ,059 |
| 8,5 | 25 | ,120 |
| 11,5 | 119 | ,160 |
| 10,0 | 97 | ,186 |
| 13,0 | 224 | ,217 |
| Sig. | | ,197 |

PERDIDA_3^cDuncan^{a,b}

| Longitud | N | Subconjunto para alfa = 0.05 | |
|----------|-----|------------------------------|------|
| | | 1 | 2 |
| 14,5 | 30 | ,083 | |
| 11,5 | 98 | ,153 | ,153 |
| 13,0 | 175 | ,197 | ,197 |
| 10,0 | 76 | ,204 | ,204 |
| 8,5 | 27 | | ,296 |
| Sig. | | ,253 | ,173 |

PERDIDA_5^cDuncan^{a,b}

| Longitud | N | Subconjunto para alfa = 0.05 |
|----------|-----|------------------------------|
| | | 1 |
| 14,5 | 21 | ,048 |
| 11,5 | 75 | ,213 |
| 13,0 | 118 | ,242 |
| 10,0 | 47 | ,255 |
| 8,5 | 21 | ,310 |
| Sig. | | ,099 |

IX.- Anexo estadístico

Carga = CIR_PREVIA

Descriptivos^a

| | | N | Media | Desviación típica | Error típico | Intervalo de confianza para la media al 95% | | Mínimo | Máximo |
|-----------|-------|-----|-------|-------------------|--------------|---|-----------------|--------|--------|
| | | | | | | Límite inferior | Límite superior | | |
| PERDIDA_1 | 8,5 | 4 | ,000 | ,0000 | ,0000 | ,000 | ,000 | ,0 | ,0 |
| | 10,0 | 42 | ,369 | ,7891 | ,1218 | ,123 | ,615 | ,0 | 3,5 |
| | 11,5 | 27 | ,407 | ,8884 | ,1710 | ,056 | ,759 | ,0 | 3,5 |
| | 13,0 | 55 | ,127 | ,3628 | ,0489 | ,029 | ,225 | ,0 | 1,5 |
| | 14,5 | 13 | ,308 | ,7783 | ,2159 | -,163 | ,778 | ,0 | 2,5 |
| | Total | 141 | ,266 | ,6696 | ,0564 | ,154 | ,377 | ,0 | 3,5 |
| PERDIDA_3 | 8,5 | 4 | ,500 | 1,0000 | ,5000 | -1,091 | 2,091 | ,0 | 2,0 |
| | 10,0 | 39 | ,577 | ,7909 | ,1266 | ,321 | ,833 | ,0 | 3,5 |
| | 11,5 | 25 | ,600 | ,7360 | ,1472 | ,296 | ,904 | ,0 | 3,0 |
| | 13,0 | 48 | ,438 | ,7339 | ,1059 | ,224 | ,651 | ,0 | 3,0 |
| | 14,5 | 11 | ,455 | ,7891 | ,2379 | -,076 | ,985 | ,0 | 2,0 |
| | Total | 127 | ,516 | ,7558 | ,0671 | ,383 | ,648 | ,0 | 3,5 |
| PERDIDA_5 | 8,5 | 4 | ,500 | 1,0000 | ,5000 | -1,091 | 2,091 | ,0 | 2,0 |
| | 10,0 | 26 | ,865 | 1,0155 | ,1991 | ,455 | 1,276 | ,0 | 3,5 |
| | 11,5 | 14 | ,679 | ,9116 | ,2436 | ,152 | 1,205 | ,0 | 3,0 |
| | 13,0 | 39 | ,474 | ,7690 | ,1231 | ,225 | ,724 | ,0 | 3,0 |
| | 14,5 | 6 | ,833 | ,9309 | ,3801 | -,144 | 1,810 | ,0 | 2,0 |
| | Total | 89 | ,646 | ,8861 | ,0939 | ,459 | ,833 | ,0 | 3,5 |

ANOVA^a

| | | Suma de cuadrados | gl | Media cuadrática | F | Sig. |
|-----------|--------------|-------------------|-----|------------------|-------|------|
| PERDIDA_1 | Inter-grupos | 2,350 | 4 | ,587 | 1,322 | ,265 |
| | Intra-grupos | 60,427 | 136 | ,444 | | |
| | Total | 62,777 | 140 | | | |
| PERDIDA_3 | Inter-grupos | ,660 | 4 | ,165 | ,282 | ,889 |
| | Intra-grupos | 71,309 | 122 | ,585 | | |
| | Total | 71,969 | 126 | | | |
| PERDIDA_5 | Inter-grupos | 2,711 | 4 | ,678 | ,858 | ,493 |
| | Intra-grupos | 66,390 | 84 | ,790 | | |
| | Total | 69,101 | 88 | | | |

Pruebas post hoc

subconjuntos homogéneos

PERDIDA_1^cDuncan^{a,b}

| | | Subconjunto para alfa = 0,05 |
|----------|----|---------------------------------|
| Longitud | N | 1 |
| 8,5 | 4 | ,000 |
| 13,0 | 55 | ,127 |
| 14,5 | 13 | ,308 |
| 10,0 | 42 | ,369 |
| 11,5 | 27 | ,407 |
| Sig. | | ,183 |

PERDIDA_3^c

Duncan^{a,b}

| | | Subconjunto para alfa = 0.05 |
|----------|----|---------------------------------|
| Longitud | N | 1 |
| 13,0 | 48 | ,438 |
| 14,5 | 11 | ,455 |
| 8,5 | 4 | ,500 |
| 10,0 | 39 | ,577 |
| 11,5 | 25 | ,600 |
| Sig. | | ,655 |

PERDIDA_5^c

Duncan^{a,b}

| | | Subconjunto para alfa = 0.05 |
|----------|----|---------------------------------|
| Longitud | N | 1 |
| 13,0 | 39 | ,474 |
| 8,5 | 4 | ,500 |
| 11,5 | 14 | ,679 |
| 14,5 | 6 | ,833 |
| 10,0 | 26 | ,865 |
| Sig. | | ,414 |

ANOVA de un factor

Advertencia

No se han realizado las pruebas post hoc para PERDIDA_1 en el archivo de segmentación Carga = 1 INMEDIATA porque hay menos de tres grupos.

No se han realizado las pruebas post hoc para PERDIDA_3 en el archivo de segmentación Carga = 1 INMEDIATA porque hay menos de tres grupos.

No se han realizado las pruebas post hoc para PERDIDA_5 en el archivo de segmentación Carga = 1 INMEDIATA porque hay menos de tres grupos.

No se han realizado las pruebas post hoc para PERDIDA_1 en el archivo de segmentación Carga = 2 PRECOZ porque hay menos de tres grupos.

No se han realizado las pruebas post hoc para PERDIDA_3 en el archivo de segmentación Carga = 2 PRECOZ porque hay menos de tres grupos.

No se han realizado las pruebas post hoc para PERDIDA_5 en el archivo de segmentación Carga = 2 PRECOZ porque hay menos de tres grupos.

No se han realizado las pruebas post hoc para PERDIDA_1 en el archivo de segmentación Carga = 3 CIR_PREVIA porque hay menos de tres grupos.

No se han realizado las pruebas post hoc para PERDIDA_3 en el archivo de segmentación Carga = 3 CIR_PREVIA porque hay menos de tres grupos.

Hay menos de dos grupos para la variable dependiente PERDIDA_5 en el archivo segmentado Carga = 3 CIR_PREVIA. No se calcularán los estadísticos.

IX.- Anexo estadístico

Carga = INMEDIATA Descriptivos^a

| | | N | Media | Desviación típica | Error típico | Intervalo de confianza para la media al 95% | | Mínimo | Máximo |
|-----------|----------------|-----|-------|-------------------|--------------|---|-----------------|--------|--------|
| | | | | | | Límite inferior | Límite superior | | |
| PERDIDA_1 | 1 CRESTAL | 205 | ,059 | ,3076 | ,0215 | ,016 | ,101 | ,0 | 3,0 |
| | 2 SUPRACRESTAL | 56 | ,098 | ,2926 | ,0391 | ,020 | ,177 | ,0 | 1,5 |
| | Total | 261 | ,067 | ,3043 | ,0188 | ,030 | ,104 | ,0 | 3,0 |
| PERDIDA_3 | 1 CRESTAL | 189 | ,140 | ,4317 | ,0314 | ,078 | ,202 | ,0 | 3,0 |
| | 2 SUPRACRESTAL | 21 | ,024 | ,1091 | ,0238 | -,026 | ,073 | ,0 | ,5 |
| | Total | 210 | ,129 | ,4123 | ,0285 | ,072 | ,185 | ,0 | 3,0 |
| PERDIDA_5 | 1 CRESTAL | 108 | ,171 | ,4386 | ,0422 | ,088 | ,255 | ,0 | 2,0 |
| | 2 SUPRACRESTAL | 7 | ,286 | ,3934 | ,1487 | -,078 | ,650 | ,0 | 1,0 |
| | Total | 115 | ,178 | ,4352 | ,0406 | ,098 | ,259 | ,0 | 2,0 |

ANOVA^a

| | | Suma de cuadrados | gl | Media cuadrática | F | Sig. |
|-----------|--------------|-------------------|-----|------------------|-------|------|
| PERDIDA_1 | Inter-grupos | ,069 | 1 | ,069 | ,747 | ,388 |
| | Intra-grupos | 24,007 | 259 | ,093 | | |
| | Total | 24,077 | 260 | | | |
| PERDIDA_3 | Inter-grupos | ,256 | 1 | ,256 | 1,510 | ,221 |
| | Intra-grupos | 35,272 | 208 | ,170 | | |
| | Total | 35,529 | 209 | | | |
| PERDIDA_5 | Inter-grupos | ,086 | 1 | ,086 | ,452 | ,503 |
| | Intra-grupos | 21,510 | 113 | ,190 | | |

ANOVA^a

| | | Suma de cuadrados | gl | Media cuadrática | F | Sig. |
|-----------|--------------|-------------------|-----|------------------|-------|------|
| PERDIDA_1 | Inter-grupos | ,069 | 1 | ,069 | ,747 | ,388 |
| | Intra-grupos | 24,007 | 259 | ,093 | | |
| | Total | 24,077 | 260 | | | |
| PERDIDA_3 | Inter-grupos | ,256 | 1 | ,256 | 1,510 | ,221 |
| | Intra-grupos | 35,272 | 208 | ,170 | | |
| | Total | 35,529 | 209 | | | |
| PERDIDA_5 | Inter-grupos | ,086 | 1 | ,086 | ,452 | ,503 |
| | Intra-grupos | 21,510 | 113 | ,190 | | |
| | Total | 21,596 | 114 | | | |

Carga = PRECOZ

Descriptivos^a

| | N | Media | Desviación típica | Error típico | Intervalo de confianza para la media al 95% | | Mínimo | Máximo | |
|-----------|----------------|-------|-------------------|--------------|---|-----------------|--------|--------|-----|
| | | | | | Límite inferior | Límite superior | | | |
| PERDIDA_1 | 1 CRESTAL | 386 | ,180 | ,5749 | ,0293 | ,123 | ,238 | ,0 | 4,0 |
| | 2 SUPRACRESTAL | 113 | ,186 | ,4964 | ,0467 | ,093 | ,278 | ,0 | 2,0 |
| | Total | 499 | ,181 | ,5576 | ,0250 | ,132 | ,230 | ,0 | 4,0 |
| PERDIDA_3 | 1 CRESTAL | 337 | ,180 | ,4705 | ,0256 | ,129 | ,230 | ,0 | 3,0 |
| | 2 SUPRACRESTAL | 69 | ,217 | ,5035 | ,0606 | ,096 | ,338 | ,0 | 2,5 |
| | Total | 406 | ,186 | ,4759 | ,0236 | ,140 | ,232 | ,0 | 3,0 |
| PERDIDA_5 | 1 CRESTAL | 264 | ,225 | ,6052 | ,0372 | ,152 | ,299 | ,0 | 3,5 |
| | 2 SUPRACRESTAL | 18 | ,250 | ,4618 | ,1088 | ,020 | ,480 | ,0 | 1,5 |
| | Total | 282 | ,227 | ,5965 | ,0355 | ,157 | ,297 | ,0 | 3,5 |

IX.- Anexo estadístico

ANOVA^a

| | | Suma de cuadrados | gl | Media cuadrática | F | Sig. |
|-----------|--------------|-------------------|-----|------------------|------|------|
| PERDIDA_1 | Inter-grupos | ,003 | 1 | ,003 | ,009 | ,923 |
| | Intra-grupos | 154,834 | 497 | ,312 | | |
| | Total | 154,837 | 498 | | | |
| PERDIDA_3 | Inter-grupos | ,082 | 1 | ,082 | ,362 | ,548 |
| | Intra-grupos | 91,628 | 404 | ,227 | | |
| | Total | 91,710 | 405 | | | |
| PERDIDA_5 | Inter-grupos | ,010 | 1 | ,010 | ,029 | ,866 |
| | Intra-grupos | 99,965 | 280 | ,357 | | |
| | Total | 99,975 | 281 | | | |

Carga = CIR_PREVIA

Descriptivos^a

| | | N | Media | Desviación típica | Error típico | Intervalo de confianza para la media al 95% | | Mínimo | Máximo |
|-----------|----------------|-----|-------|-------------------|--------------|---|-----------------|--------|--------|
| | | | | | | Límite inferior | Límite superior | | |
| PERDIDA_1 | 1 CRESTAL | 128 | ,281 | ,6980 | ,0617 | ,159 | ,403 | ,0 | 3,5 |
| | 2 SUPRACRESTAL | 13 | ,115 | ,2193 | ,0608 | -,017 | ,248 | ,0 | ,5 |
| | Total | 141 | ,266 | ,6696 | ,0564 | ,154 | ,377 | ,0 | 3,5 |
| PERDIDA_3 | 1 CRESTAL | 120 | ,533 | ,7717 | ,0704 | ,394 | ,673 | ,0 | 3,5 |
| | 2 SUPRACRESTAL | 7 | ,214 | ,2673 | ,1010 | -,033 | ,461 | ,0 | ,5 |
| | Total | 127 | ,516 | ,7558 | ,0671 | ,383 | ,648 | ,0 | 3,5 |

ANOVA^a

| | | Suma de cuadrados | gl | Media cuadrática | F | Sig. |
|-----------|--------------|-------------------|-----|------------------|-------|------|
| PERDIDA_1 | Inter-grupos | ,325 | 1 | ,325 | ,723 | ,397 |
| | Intra-grupos | 62,452 | 139 | ,449 | | |
| | Total | 62,777 | 140 | | | |
| PERDIDA_3 | Inter-grupos | ,673 | 1 | ,673 | 1,180 | ,279 |
| | Intra-grupos | 71,295 | 125 | ,570 | | |
| | Total | 71,969 | 126 | | | |

ANOVA de un factor

Advertencia

No se han realizado las pruebas post hoc para PERDIDA_1 en el archivo de segmentación Carga = 1 INMEDIATA porque hay menos de tres grupos.

No se han realizado las pruebas post hoc para PERDIDA_3 en el archivo de segmentación Carga = 1 INMEDIATA porque hay menos de tres grupos.

No se han realizado las pruebas post hoc para PERDIDA_5 en el archivo de segmentación Carga = 1 INMEDIATA porque hay menos de tres grupos.

No se han realizado las pruebas post hoc para PERDIDA_1 en el archivo de segmentación Carga = 2 PRECOZ porque hay menos de tres grupos.

No se han realizado las pruebas post hoc para PERDIDA_3 en el archivo de segmentación Carga = 2 PRECOZ porque hay menos de tres grupos.

No se han realizado las pruebas post hoc para PERDIDA_5 en el archivo de segmentación Carga = 2 PRECOZ porque hay menos de tres grupos.

No se han realizado las pruebas post hoc para PERDIDA_1 en el archivo de segmentación Carga = 3 CIR_PREVIA porque hay menos de tres grupos.

No se han realizado las pruebas post hoc para PERDIDA_3 en el archivo de segmentación Carga = 3 CIR_PREVIA porque hay menos de tres grupos.

No se han realizado las pruebas post hoc para PERDIDA_5 en el archivo de segmentación Carga = 3 CIR_PREVIA porque hay menos de tres grupos.

Carga = INMEDIATA

Descriptivos^a

| | | N | Media | Desviación típica | Error típico | Intervalo de confianza para la media al 95% | | Mínimo | Máximo |
|-----------|------------------|-----|-------|-------------------|--------------|---|-----------------|--------|--------|
| | | | | | | Límite inferior | Límite superior | | |
| PERDIDA_1 | 1 FIJA | 111 | ,122 | ,4222 | ,0401 | ,042 | ,201 | ,0 | 3,0 |
| | 2 SOBREDENTADURA | 150 | ,027 | ,1616 | ,0132 | ,001 | ,053 | ,0 | 1,5 |
| | Total | 261 | ,067 | ,3043 | ,0188 | ,030 | ,104 | ,0 | 3,0 |
| PERDIDA_3 | 1 FIJA | 98 | ,224 | ,5474 | ,0553 | ,115 | ,334 | ,0 | 3,0 |
| | 2 SOBREDENTADURA | 112 | ,045 | ,2074 | ,0196 | ,006 | ,083 | ,0 | 1,0 |
| | Total | 210 | ,129 | ,4123 | ,0285 | ,072 | ,185 | ,0 | 3,0 |
| PERDIDA_5 | 1 FIJA | 60 | ,267 | ,5164 | ,0667 | ,133 | ,400 | ,0 | 2,0 |
| | 2 SOBREDENTADURA | 55 | ,082 | ,3007 | ,0405 | ,001 | ,163 | ,0 | 1,5 |
| | Total | 115 | ,178 | ,4352 | ,0406 | ,098 | ,259 | ,0 | 2,0 |

ANOVA^a

| | | Suma de cuadrados | gl | Media cuadrática | F | Sig. |
|-----------|--------------|-------------------|-----|------------------|--------|------|
| PERDIDA_1 | Inter-grupos | ,575 | 1 | ,575 | 6,339 | ,012 |
| | Intra-grupos | 23,501 | 259 | ,091 | | |
| | Total | 24,077 | 260 | | | |
| PERDIDA_3 | Inter-grupos | 1,691 | 1 | 1,691 | 10,392 | ,001 |
| | Intra-grupos | 33,838 | 208 | ,163 | | |
| | Total | 35,529 | 209 | | | |
| PERDIDA_5 | Inter-grupos | ,981 | 1 | ,981 | 5,375 | ,022 |
| | Intra-grupos | 20,615 | 113 | ,182 | | |

IX.- Anexo estadístico

ANOVA^a

| | | Suma de cuadrados | gl | Media cuadrática | F | Sig. |
|-----------|--------------|-------------------|-----|------------------|--------|------|
| PERDIDA_1 | Inter-grupos | ,575 | 1 | ,575 | 6,339 | ,012 |
| | Intra-grupos | 23,501 | 259 | ,091 | | |
| | Total | 24,077 | 260 | | | |
| PERDIDA_3 | Inter-grupos | 1,691 | 1 | 1,691 | 10,392 | ,001 |
| | Intra-grupos | 33,838 | 208 | ,163 | | |
| | Total | 35,529 | 209 | | | |
| PERDIDA_5 | Inter-grupos | ,981 | 1 | ,981 | 5,375 | ,022 |
| | Intra-grupos | 20,615 | 113 | ,182 | | |
| | Total | 21,596 | 114 | | | |

Carga = PRECOZ

Descriptivos^a

| | | N | Media | Desviación típica | Error típico | Intervalo de confianza para la media al 95% | | Mínimo | Máximo |
|-----------|------------------|-----|-------|-------------------|--------------|---|-----------------|--------|--------|
| | | | | | | Límite inferior | Límite superior | | |
| PERDIDA_1 | 1 FIJA | 407 | ,156 | ,4984 | ,0247 | ,107 | ,205 | ,0 | 4,0 |
| | 2 SOBREDENTADURA | 69 | ,210 | ,6266 | ,0754 | ,060 | ,361 | ,0 | 3,0 |
| | Total | 476 | ,164 | ,5185 | ,0238 | ,117 | ,211 | ,0 | 4,0 |
| PERDIDA_3 | 1 FIJA | 325 | ,205 | ,5004 | ,0278 | ,150 | ,259 | ,0 | 3,0 |
| | 2 SOBREDENTADURA | 64 | ,141 | ,3931 | ,0491 | ,042 | ,239 | ,0 | 2,0 |
| | Total | 389 | ,194 | ,4845 | ,0246 | ,146 | ,242 | ,0 | 3,0 |
| PERDIDA_5 | 1 FIJA | 225 | ,191 | ,4968 | ,0331 | ,126 | ,256 | ,0 | 3,0 |
| | 2 SOBREDENTADURA | 40 | ,525 | 1,0124 | ,1601 | ,201 | ,849 | ,0 | 3,5 |
| | Total | 265 | ,242 | ,6125 | ,0376 | ,167 | ,316 | ,0 | 3,5 |

ANOVA^a

| | | Suma de cuadrados | gl | Media cuadrática | F | Sig. |
|-----------|--------------|-------------------|-----|------------------|--------|------|
| PERDIDA_1 | Inter-grupos | ,173 | 1 | ,173 | ,642 | ,423 |
| | Intra-grupos | 127,546 | 474 | ,269 | | |
| | Total | 127,718 | 475 | | | |
| PERDIDA_3 | Inter-grupos | ,219 | 1 | ,219 | ,932 | ,335 |
| | Intra-grupos | 90,877 | 387 | ,235 | | |
| | Total | 91,096 | 388 | | | |
| PERDIDA_5 | Inter-grupos | 3,786 | 1 | 3,786 | 10,453 | ,001 |
| | Intra-grupos | 95,257 | 263 | ,362 | | |
| | Total | 99,043 | 264 | | | |

Carga = CIR_PREVIA

Descriptivos^a

| | N | Media | Desviación típica | Error típico | Intervalo de confianza para la media al 95% | | Mínimo | Máximo | |
|-----------|------------------|-------|-------------------|--------------|---|-----------------|--------|--------|-----|
| | | | | | Límite inferior | Límite superior | | | |
| PERDIDA_1 | 1 FIJA | 104 | ,255 | ,5703 | ,0559 | ,144 | ,366 | ,0 | 3,5 |
| | 2 SOBREDENTADURA | 27 | ,407 | 1,0381 | ,1998 | -,003 | ,818 | ,0 | 3,5 |
| | Total | 131 | ,286 | ,6907 | ,0603 | ,167 | ,406 | ,0 | 3,5 |
| PERDIDA_3 | 1 FIJA | 92 | ,522 | ,6373 | ,0664 | ,390 | ,654 | ,0 | 2,0 |
| | 2 SOBREDENTADURA | 25 | ,660 | 1,1522 | ,2304 | ,184 | 1,136 | ,0 | 3,5 |
| | Total | 117 | ,551 | ,7723 | ,0714 | ,410 | ,693 | ,0 | 3,5 |
| PERDIDA_5 | 1 FIJA | 61 | ,623 | ,7564 | ,0968 | ,429 | ,817 | ,0 | 3,0 |
| | 2 SOBREDENTADURA | 19 | 1,026 | 1,2525 | ,2873 | ,423 | 1,630 | ,0 | 3,5 |
| | Total | 80 | ,719 | ,9065 | ,1014 | ,517 | ,920 | ,0 | 3,5 |

IX.- Anexo estadístico

ANOVA^a

| | | Suma de cuadrados | gl | Media cuadrática | F | Sig. |
|-----------|--------------|-------------------|-----|------------------|-------|------|
| PERDIDA_1 | Inter-grupos | ,499 | 1 | ,499 | 1,047 | ,308 |
| | Intra-grupos | 61,516 | 129 | ,477 | | |
| | Total | 62,015 | 130 | | | |
| PERDIDA_3 | Inter-grupos | ,376 | 1 | ,376 | ,628 | ,430 |
| | Intra-grupos | 68,817 | 115 | ,598 | | |
| | Total | 69,192 | 116 | | | |
| PERDIDA_5 | Inter-grupos | 2,357 | 1 | 2,357 | 2,939 | ,090 |
| | Intra-grupos | 62,565 | 78 | ,802 | | |
| | Total | 64,922 | 79 | | | |

ANOVA de un factor

Advertencia

No se han realizado las pruebas post hoc para PERDIDA_1 en el archivo de segmentación Carga = 1 INMEDIATA porque hay menos de tres grupos.

No se han realizado las pruebas post hoc para PERDIDA_3 en el archivo de segmentación Carga = 1 INMEDIATA porque hay menos de tres grupos.

No se han realizado las pruebas post hoc para PERDIDA_5 en el archivo de segmentación Carga = 1 INMEDIATA porque hay menos de tres grupos.

No se han realizado las pruebas post hoc para PERDIDA_1 en el archivo de segmentación Carga = 2 PRECOZ porque hay menos de tres grupos.

No se han realizado las pruebas post hoc para PERDIDA_3 en el archivo de segmentación Carga = 2 PRECOZ porque hay menos de tres grupos.

No se han realizado las pruebas post hoc para PERDIDA_5 en el archivo de segmentación Carga = 2 PRECOZ porque hay menos de tres grupos.

No se han realizado las pruebas post hoc para PERDIDA_1 en el archivo de segmentación Carga = 3 CIR_PREVIA porque hay menos de tres grupos.

No se han realizado las pruebas post hoc para PERDIDA_3 en el archivo de segmentación Carga = 3 CIR_PREVIA porque hay menos de tres grupos.

No se han realizado las pruebas post hoc para PERDIDA_5 en el archivo de segmentación Carga = 3 CIR_PREVIA porque hay menos de tres grupos.

Carga = INMEDIATA

Descriptivos^a

| | | N | Media | Desviación típica | Error típico | Intervalo de confianza para la media al 95% | | Mínimo | Máximo |
|-----------|---------|-----|-------|-------------------|--------------|---|-----------------|--------|--------|
| | | | | | | Límite inferior | Límite superior | | |
| PERDIDA_1 | 1 BUENO | 120 | ,008 | ,0913 | ,0083 | -,008 | ,025 | ,0 | 1,0 |
| | 2 MALO | 7 | ,286 | ,4880 | ,1844 | -,166 | ,737 | ,0 | 1,0 |
| | Total | 127 | ,024 | ,1525 | ,0135 | -,003 | ,050 | ,0 | 1,0 |
| PERDIDA_3 | 1 BUENO | 112 | ,080 | ,2968 | ,0280 | ,025 | ,136 | ,0 | 1,5 |
| | 2 MALO | 6 | 1,000 | ,5477 | ,2236 | ,425 | 1,575 | ,0 | 1,5 |
| | Total | 118 | ,127 | ,3709 | ,0341 | ,060 | ,195 | ,0 | 1,5 |
| PERDIDA_5 | 1 BUENO | 69 | ,130 | ,3801 | ,0458 | ,039 | ,222 | ,0 | 1,5 |
| | 2 MALO | 3 | 1,333 | ,2887 | ,1667 | ,616 | 2,050 | 1,0 | 1,5 |
| | Total | 72 | ,181 | ,4465 | ,0526 | ,076 | ,285 | ,0 | 1,5 |

ANOVA^a

| | | Suma de cuadrados | gl | Media cuadrática | F | Sig. |
|-----------|--------------|-------------------|-----|------------------|--------|------|
| PERDIDA_1 | Inter-grupos | ,509 | 1 | ,509 | 26,283 | ,000 |
| | Intra-grupos | 2,420 | 125 | ,019 | | |
| | Total | 2,929 | 126 | | | |
| PERDIDA_3 | Inter-grupos | 4,816 | 1 | 4,816 | 49,545 | ,000 |
| | Intra-grupos | 11,277 | 116 | ,097 | | |
| | Total | 16,093 | 117 | | | |
| PERDIDA_5 | Inter-grupos | 4,160 | 1 | 4,160 | 29,141 | ,000 |
| | Intra-grupos | 9,993 | 70 | ,143 | | |
| | Total | 14,153 | 71 | | | |

IX.- Anexo estadístico

Carga = PRECOZ

Descriptivos^a

| | | N | Media | Desviación típica | Error típico | Intervalo de confianza para la media al 95% | | Mínimo | Máximo |
|-----------|---------|-----|-------|-------------------|--------------|---|-----------------|--------|--------|
| | | | | | | Límite inferior | Límite superior | | |
| PERDIDA_1 | 1 BUENO | 160 | ,219 | ,6186 | ,0489 | ,122 | ,315 | ,0 | 3,0 |
| | 2 MALO | 28 | ,036 | ,1890 | ,0357 | -,038 | ,109 | ,0 | 1,0 |
| | Total | 188 | ,191 | ,5786 | ,0422 | ,108 | ,275 | ,0 | 3,0 |
| PERDIDA_3 | 1 BUENO | 136 | ,213 | ,5078 | ,0435 | ,127 | ,299 | ,0 | 2,5 |
| | 2 MALO | 25 | ,220 | ,5017 | ,1003 | ,013 | ,427 | ,0 | 2,0 |
| | Total | 161 | ,214 | ,5053 | ,0398 | ,136 | ,293 | ,0 | 2,5 |
| PERDIDA_5 | 1 BUENO | 94 | ,399 | ,8347 | ,0861 | ,228 | ,570 | ,0 | 3,5 |
| | 2 MALO | 13 | ,346 | ,6253 | ,1734 | -,032 | ,724 | ,0 | 2,0 |
| | Total | 107 | ,393 | ,8098 | ,0783 | ,237 | ,548 | ,0 | 3,5 |

ANOVA^a

| | | Suma de cuadrados | gl | Media cuadrática | F | Sig. |
|-----------|--------------|-------------------|-----|------------------|-------|------|
| PERDIDA_1 | Inter-grupos | ,798 | 1 | ,798 | 2,402 | ,123 |
| | Intra-grupos | 61,808 | 186 | ,332 | | |
| | Total | 62,606 | 187 | | | |
| PERDIDA_3 | Inter-grupos | ,001 | 1 | ,001 | ,004 | ,951 |
| | Intra-grupos | 40,856 | 159 | ,257 | | |
| | Total | 40,857 | 160 | | | |
| PERDIDA_5 | Inter-grupos | ,032 | 1 | ,032 | ,048 | ,827 |
| | Intra-grupos | 69,482 | 105 | ,662 | | |
| | Total | 69,514 | 106 | | | |

Carga = CIR_PREVIA

Descriptivos^a

| | | N | Media | Desviación típica | Error típico | Intervalo de confianza para la media al 95% | | Mínimo | Máximo |
|-----------|---------|----|-------|-------------------|--------------|---|-----------------|--------|--------|
| | | | | | | Límite inferior | Límite superior | | |
| PERDIDA_1 | 1 BUENO | 80 | ,250 | ,7248 | ,0810 | ,089 | ,411 | ,0 | 3,5 |
| | 2 MALO | 3 | ,000 | ,0000 | ,0000 | ,000 | ,000 | ,0 | ,0 |
| | Total | 83 | ,241 | ,7130 | ,0783 | ,085 | ,397 | ,0 | 3,5 |
| PERDIDA_3 | 1 BUENO | 76 | ,592 | ,8395 | ,0963 | ,400 | ,784 | ,0 | 3,5 |
| | 2 MALO | 3 | ,500 | ,8660 | ,5000 | -1,651 | 2,651 | ,0 | 1,5 |
| | Total | 79 | ,589 | ,8350 | ,0939 | ,402 | ,776 | ,0 | 3,5 |
| PERDIDA_5 | 1 BUENO | 49 | ,806 | 1,0197 | ,1457 | ,513 | 1,099 | ,0 | 3,5 |
| | 2 MALO | 1 | 1,500 | . | . | . | . | 1,5 | 1,5 |
| | Total | 50 | ,820 | 1,0140 | ,1434 | ,532 | 1,108 | ,0 | 3,5 |

ANOVA^a

| | | Suma de cuadrados | gl | Media cuadrática | F | Sig. |
|-----------|--------------|-------------------|----|------------------|------|------|
| PERDIDA_1 | Inter-grupos | ,181 | 1 | ,181 | ,353 | ,554 |
| | Intra-grupos | 41,500 | 81 | ,512 | | |
| | Total | 41,681 | 82 | | | |
| PERDIDA_3 | Inter-grupos | ,024 | 1 | ,024 | ,035 | ,853 |
| | Intra-grupos | 54,355 | 77 | ,706 | | |
| | Total | 54,380 | 78 | | | |
| PERDIDA_5 | Inter-grupos | ,472 | 1 | ,472 | ,454 | ,504 |
| | Intra-grupos | 49,908 | 48 | 1,040 | | |
| | Total | 50,380 | 49 | | | |

ANOVA de un factor

Advertencia

No se han realizado las pruebas post hoc para PERDIDA_1 en el archivo de segmentación Carga = 1 INMEDIATA porque hay menos de tres grupos.

No se han realizado las pruebas post hoc para PERDIDA_3 en el archivo de segmentación Carga = 1 INMEDIATA porque hay menos de tres grupos.

No se han realizado las pruebas post hoc para PERDIDA_5 en el archivo de segmentación Carga = 1 INMEDIATA porque hay menos de tres grupos.

No se han realizado las pruebas post hoc para PERDIDA_1 en el archivo de segmentación Carga = 2 PRECOZ porque hay menos de tres grupos.

No se han realizado las pruebas post hoc para PERDIDA_3 en el archivo de segmentación Carga = 2 PRECOZ porque hay menos de tres grupos.

No se han realizado las pruebas post hoc para PERDIDA_5 en el archivo de segmentación Carga = 2 PRECOZ porque hay menos de tres grupos.

No se han realizado las pruebas post hoc para PERDIDA_1 en el archivo de segmentación Carga = 3 CIR_PREVIA porque hay menos de tres grupos.

No se han realizado las pruebas post hoc para PERDIDA_3 en el archivo de segmentación Carga = 3 CIR_PREVIA porque hay menos de tres grupos.

No se han realizado las pruebas post hoc para PERDIDA_5 en el archivo de segmentación Carga = 3 CIR_PREVIA porque hay menos de tres grupos.

Carga = INMEDIATA

Descriptivos^a

| | | N | Media | Desviación típica | Error típico | Intervalo de confianza para la media al 95% | | Mínimo | Máximo |
|-----------|------------|-----|-------|-------------------|--------------|---|-----------------|--------|--------|
| | | | | | | Límite inferior | Límite superior | | |
| PERDIDA_1 | 1 UNITARIO | 22 | ,114 | ,3060 | ,0652 | -,022 | ,249 | ,0 | 1,0 |
| | 2 PUENTE | 83 | ,072 | ,2605 | ,0286 | ,015 | ,129 | ,0 | 1,5 |
| | Total | 105 | ,081 | ,2696 | ,0263 | ,029 | ,133 | ,0 | 1,5 |
| PERDIDA_3 | 1 UNITARIO | 15 | ,067 | ,2582 | ,0667 | -,076 | ,210 | ,0 | 1,0 |
| | 2 PUENTE | 79 | ,203 | ,4635 | ,0522 | ,099 | ,306 | ,0 | 2,0 |
| | Total | 94 | ,181 | ,4390 | ,0453 | ,091 | ,271 | ,0 | 2,0 |
| PERDIDA_5 | 1 UNITARIO | 12 | ,167 | ,3892 | ,1124 | -,081 | ,414 | ,0 | 1,0 |
| | 2 PUENTE | 47 | ,298 | ,5483 | ,0800 | ,137 | ,459 | ,0 | 2,0 |
| | Total | 59 | ,271 | ,5196 | ,0677 | ,136 | ,407 | ,0 | 2,0 |

ANOVA^a

| | | Suma de cuadrados | gl | Media cuadrática | F | Sig. |
|-----------|--------------|-------------------|-----|------------------|-------|------|
| PERDIDA_1 | Inter-grupos | ,030 | 1 | ,030 | ,407 | ,525 |
| | Intra-grupos | 7,532 | 103 | ,073 | | |
| | Total | 7,562 | 104 | | | |
| PERDIDA_3 | Inter-grupos | ,233 | 1 | ,233 | 1,210 | ,274 |
| | Intra-grupos | 17,693 | 92 | ,192 | | |
| | Total | 17,926 | 93 | | | |
| PERDIDA_5 | Inter-grupos | ,165 | 1 | ,165 | ,605 | ,440 |
| | Intra-grupos | 15,496 | 57 | ,272 | | |
| | Total | 15,661 | 58 | | | |

IX.- Anexo estadístico

Carga = PRECOZ

Descriptivos^a

| | | N | Media | Desviación típica | Error típico | Intervalo de confianza para la media al 95% | | Mínimo | Máximo |
|-----------|------------|-----|-------|-------------------|--------------|---|-----------------|--------|--------|
| | | | | | | Límite inferior | Límite superior | | |
| PERDIDA_1 | 1 UNITARIO | 23 | ,022 | ,1043 | ,0217 | -,023 | ,067 | ,0 | ,5 |
| | 2 PUENTE | 358 | ,161 | ,4822 | ,0255 | ,110 | ,211 | ,0 | 3,0 |
| | Total | 381 | ,152 | ,4692 | ,0240 | ,105 | ,199 | ,0 | 3,0 |
| PERDIDA_3 | 1 UNITARIO | 18 | ,028 | ,1179 | ,0278 | -,031 | ,086 | ,0 | ,5 |
| | 2 PUENTE | 284 | ,232 | ,5289 | ,0314 | ,171 | ,294 | ,0 | 3,0 |
| | Total | 302 | ,220 | ,5159 | ,0297 | ,162 | ,279 | ,0 | 3,0 |
| PERDIDA_5 | 1 UNITARIO | 7 | ,000 | ,0000 | ,0000 | ,000 | ,000 | ,0 | ,0 |
| | 2 PUENTE | 199 | ,216 | ,5232 | ,0371 | ,143 | ,289 | ,0 | 3,0 |
| | Total | 206 | ,209 | ,5157 | ,0359 | ,138 | ,280 | ,0 | 3,0 |

ANOVA^a

| | | Suma de cuadrados | gl | Media cuadrática | F | Sig. |
|-----------|--------------|-------------------|-----|------------------|-------|------|
| PERDIDA_1 | Inter-grupos | ,417 | 1 | ,417 | 1,897 | ,169 |
| | Intra-grupos | 83,254 | 379 | ,220 | | |
| | Total | 83,671 | 380 | | | |
| PERDIDA_3 | Inter-grupos | ,709 | 1 | ,709 | 2,678 | ,103 |
| | Intra-grupos | 79,398 | 300 | ,265 | | |
| | Total | 80,107 | 301 | | | |
| PERDIDA_5 | Inter-grupos | ,316 | 1 | ,316 | 1,188 | ,277 |
| | Intra-grupos | 54,209 | 204 | ,266 | | |
| | Total | 54,524 | 205 | | | |

Carga = CIR_PREVIA

Descriptivos^a

| | | N | Media | Desviación típica | Error típico | Intervalo de confianza para la media al 95% | | Mínimo | Máximo |
|-----------|------------|-----|-------|-------------------|--------------|---|-----------------|--------|--------|
| | | | | | | Límite inferior | Límite superior | | |
| PERDIDA_1 | 1 UNITARIO | 4 | ,000 | ,0000 | ,0000 | ,000 | ,000 | ,0 | ,0 |
| | 2 PUENTE | 99 | ,253 | ,5686 | ,0571 | ,139 | ,366 | ,0 | 3,5 |
| | Total | 103 | ,243 | ,5595 | ,0551 | ,133 | ,352 | ,0 | 3,5 |
| PERDIDA_3 | 1 UNITARIO | 4 | ,250 | ,5000 | ,2500 | -,546 | 1,046 | ,0 | 1,0 |
| | 2 PUENTE | 87 | ,517 | ,6262 | ,0671 | ,384 | ,651 | ,0 | 2,0 |
| | Total | 91 | ,505 | ,6214 | ,0651 | ,376 | ,635 | ,0 | 2,0 |
| PERDIDA_5 | 1 UNITARIO | 4 | ,250 | ,5000 | ,2500 | -,546 | 1,046 | ,0 | 1,0 |
| | 2 PUENTE | 56 | ,625 | ,7523 | ,1005 | ,424 | ,826 | ,0 | 3,0 |
| | Total | 60 | ,600 | ,7410 | ,0957 | ,409 | ,791 | ,0 | 3,0 |

ANOVA^a

| | | Suma de cuadrados | gl | Media cuadrática | F | Sig. |
|-----------|--------------|-------------------|-----|------------------|------|------|
| PERDIDA_1 | Inter-grupos | ,245 | 1 | ,245 | ,781 | ,379 |
| | Intra-grupos | 31,687 | 101 | ,314 | | |
| | Total | 31,932 | 102 | | | |
| PERDIDA_3 | Inter-grupos | ,273 | 1 | ,273 | ,705 | ,403 |
| | Intra-grupos | 34,474 | 89 | ,387 | | |
| | Total | 34,747 | 90 | | | |
| PERDIDA_5 | Inter-grupos | ,525 | 1 | ,525 | ,955 | ,332 |
| | Intra-grupos | 31,875 | 58 | ,550 | | |
| | Total | 32,400 | 59 | | | |

IX.- Anexo estadístico

ANOVA de un factor Advertencia

No se han realizado las pruebas post hoc para PERDIDA_1 en el archivo de segmentación Carga = 1 INMEDIATA porque hay menos de tres grupos.

No se han realizado las pruebas post hoc para PERDIDA_3 en el archivo de segmentación Carga = 1 INMEDIATA porque hay menos de tres grupos.

No se han realizado las pruebas post hoc para PERDIDA_5 en el archivo de segmentación Carga = 1 INMEDIATA porque hay menos de tres grupos.

No se han realizado las pruebas post hoc para PERDIDA_1 en el archivo de segmentación Carga = 2 PRECOZ porque hay menos de tres grupos.

No se han realizado las pruebas post hoc para PERDIDA_3 en el archivo de segmentación Carga = 2 PRECOZ porque hay menos de tres grupos.

No se han realizado las pruebas post hoc para PERDIDA_5 en el archivo de segmentación Carga = 2 PRECOZ porque hay menos de tres grupos.

Hay menos de dos grupos para la variable dependiente PERDIDA_1 en el archivo segmentado Carga = 3 CIR_PREVIA. No se calcularán los estadísticos.

Hay menos de dos grupos para la variable dependiente PERDIDA_3 en el archivo segmentado Carga = 3 CIR_PREVIA. No se calcularán los estadísticos.

Hay menos de dos grupos para la variable dependiente PERDIDA_5 en el archivo segmentado Carga = 3 CIR_PREVIA. No se calcularán los estadísticos.

Carga = INMEDIATA Descriptivos^a

| | | N | Media | Desviación típica | Error típico | Intervalo de confianza para la media al 95% | | Mínimo | Máximo |
|-----------|---------------|-----|-------|-------------------|--------------|---|-----------------|--------|--------|
| | | | | | | Límite inferior | Límite superior | | |
| PERDIDA_1 | 1 ATORNILLADA | 96 | ,068 | ,2364 | ,0241 | ,020 | ,116 | ,0 | 1,0 |
| | 2 CEMENTADA | 7 | ,286 | ,5669 | ,2143 | -,239 | ,810 | ,0 | 1,5 |
| | Total | 103 | ,083 | ,2720 | ,0268 | ,029 | ,136 | ,0 | 1,5 |
| PERDIDA_3 | 1 ATORNILLADA | 87 | ,155 | ,3985 | ,0427 | ,070 | ,240 | ,0 | 1,5 |
| | 2 CEMENTADA | 7 | ,500 | ,7638 | ,2887 | -,206 | 1,206 | ,0 | 2,0 |
| | Total | 94 | ,181 | ,4390 | ,0453 | ,091 | ,271 | ,0 | 2,0 |
| PERDIDA_5 | 1 ATORNILLADA | 57 | ,228 | ,4636 | ,0614 | ,105 | ,351 | ,0 | 1,5 |
| | 2 CEMENTADA | 2 | 1,500 | ,7071 | ,5000 | -4,853 | 7,853 | 1,0 | 2,0 |
| | Total | 59 | ,271 | ,5196 | ,0677 | ,136 | ,407 | ,0 | 2,0 |

ANOVA^a

| | | Suma de cuadrados | gl | Media cuadrática | F | Sig. |
|-----------|--------------|-------------------|-----|------------------|--------|------|
| PERDIDA_1 | Inter-grupos | ,310 | 1 | ,310 | 4,327 | ,040 |
| | Intra-grupos | 7,238 | 101 | ,072 | | |
| | Total | 7,549 | 102 | | | |
| PERDIDA_3 | Inter-grupos | ,770 | 1 | ,770 | 4,131 | ,045 |
| | Intra-grupos | 17,155 | 92 | ,186 | | |
| | Total | 17,926 | 93 | | | |
| PERDIDA_5 | Inter-grupos | 3,126 | 1 | 3,126 | 14,214 | ,000 |
| | Intra-grupos | 12,535 | 57 | ,220 | | |
| | Total | 15,661 | 58 | | | |

Carga = PRECOZ

Descriptivos^a

| | | N | Media | Desviación típica | Error típico | Intervalo de confianza para la media al 95% | | Mínimo | Máximo |
|-----------|---------------|-----|-------|-------------------|--------------|---|-----------------|--------|--------|
| | | | | | | Límite inferior | Límite superior | | |
| PERDIDA_1 | 1 ATORNILLADA | 348 | ,167 | ,4886 | ,0262 | ,115 | ,218 | ,0 | 3,0 |
| | 2 CEMENTADA | 17 | ,000 | ,0000 | ,0000 | ,000 | ,000 | ,0 | ,0 |
| | Total | 365 | ,159 | ,4783 | ,0250 | ,110 | ,208 | ,0 | 3,0 |
| PERDIDA_3 | 1 ATORNILLADA | 279 | ,233 | ,5309 | ,0318 | ,170 | ,296 | ,0 | 3,0 |
| | 2 CEMENTADA | 10 | ,150 | ,3375 | ,1067 | -,091 | ,391 | ,0 | 1,0 |
| | Total | 289 | ,230 | ,5252 | ,0309 | ,169 | ,291 | ,0 | 3,0 |
| PERDIDA_5 | 1 ATORNILLADA | 186 | ,223 | ,5301 | ,0389 | ,146 | ,300 | ,0 | 3,0 |
| | 2 CEMENTADA | 7 | ,214 | ,5669 | ,2143 | -,310 | ,739 | ,0 | 1,5 |

IX.- Anexo estadístico

Descriptivos^a

| | | N | Media | Desviación típica | Error típico | Intervalo de confianza para la media al 95% | | Mínimo | Máximo |
|-----------|---------------|-----|-------|-------------------|--------------|---|-----------------|--------|--------|
| | | | | | | Límite inferior | Límite superior | | |
| PERDIDA_1 | 1 ATORNILLADA | 348 | ,167 | ,4886 | ,0262 | ,115 | ,218 | ,0 | 3,0 |
| | 2 CEMENTADA | 17 | ,000 | ,0000 | ,0000 | ,000 | ,000 | ,0 | ,0 |
| | Total | 365 | ,159 | ,4783 | ,0250 | ,110 | ,208 | ,0 | 3,0 |
| PERDIDA_3 | 1 ATORNILLADA | 279 | ,233 | ,5309 | ,0318 | ,170 | ,296 | ,0 | 3,0 |
| | 2 CEMENTADA | 10 | ,150 | ,3375 | ,1067 | -,091 | ,391 | ,0 | 1,0 |
| | Total | 289 | ,230 | ,5252 | ,0309 | ,169 | ,291 | ,0 | 3,0 |
| PERDIDA_5 | 1 ATORNILLADA | 186 | ,223 | ,5301 | ,0389 | ,146 | ,300 | ,0 | 3,0 |
| | 2 CEMENTADA | 7 | ,214 | ,5669 | ,2143 | -,310 | ,739 | ,0 | 1,5 |
| | Total | 193 | ,223 | ,5299 | ,0381 | ,148 | ,298 | ,0 | 3,0 |

ANOVA^a

| | | Suma de cuadrados | gl | Media cuadrática | F | Sig. |
|-----------|--------------|-------------------|-----|------------------|-------|------|
| PERDIDA_1 | Inter-grupos | ,450 | 1 | ,450 | 1,973 | ,161 |
| | Intra-grupos | 82,833 | 363 | ,228 | | |
| | Total | 83,284 | 364 | | | |
| PERDIDA_3 | Inter-grupos | ,066 | 1 | ,066 | ,240 | ,624 |
| | Intra-grupos | 79,382 | 287 | ,277 | | |
| | Total | 79,448 | 288 | | | |
| PERDIDA_5 | Inter-grupos | ,001 | 1 | ,001 | ,002 | ,966 |
| | Intra-grupos | 53,919 | 191 | ,282 | | |
| | Total | 53,920 | 192 | | | |

IX.- Anexo estadístico

Carga = CIR_PREVIA

ANOVA de un factor

Descriptivos^a

| | N | Media | Desviación típica | Error típico | Intervalo de confianza para la media al 95% | | Mínimo | Máximo |
|--------------------------------|-----|-------|-------------------|--------------|---|-----------------|--------|--------|
| | | | | | Límite inferior | Límite superior | | |
| PERDIDA_1 2 ELEVA+BIOMAT+HUESO | 13 | ,192 | ,3252 | ,0902 | -,004 | ,389 | ,0 | 1,0 |
| 3 ELEVA+HUESO | 22 | ,386 | ,7389 | ,1575 | ,059 | ,714 | ,0 | 3,0 |
| 4 ONLAY LATERAI | 26 | ,173 | ,6472 | ,1269 | -,088 | ,434 | ,0 | 3,0 |
| 5 ONLAY VERTICAL | 23 | ,391 | ,8388 | ,1749 | ,029 | ,754 | ,0 | 3,5 |
| 6 DISTRACCION OSEA | 8 | 1,125 | 1,2748 | ,4507 | ,059 | 2,191 | ,0 | 3,5 |
| 7 LATERAL NERVIO | 6 | ,000 | ,0000 | ,0000 | ,000 | ,000 | ,0 | ,0 |
| 8 INJERTO OSEO | 25 | ,140 | ,3958 | ,0792 | -,023 | ,303 | ,0 | 1,5 |
| 9 MEMBRANA+HUESO | 18 | ,028 | ,1179 | ,0278 | -,031 | ,086 | ,0 | ,5 |
| Total | 141 | ,266 | ,6696 | ,0564 | ,154 | ,377 | ,0 | 3,5 |
| PERDIDA_3 2 ELEVA+BIOMAT+HUESO | 11 | ,227 | ,3438 | ,1037 | -,004 | ,458 | ,0 | 1,0 |
| 3 ELEVA+HUESO | 19 | ,816 | ,8852 | ,2031 | ,389 | 1,242 | ,0 | 3,0 |
| 4 ONLAY LATERAI | 22 | ,273 | ,8413 | ,1794 | -,100 | ,646 | ,0 | 3,5 |
| 5 ONLAY VERTICAL | 20 | ,325 | ,6129 | ,1371 | ,038 | ,612 | ,0 | 2,0 |
| 6 DISTRACCION OSEA | 6 | 1,000 | ,0000 | ,0000 | 1,000 | 1,000 | 1,0 | 1,0 |
| 7 LATERAL NERVIO | 6 | ,500 | ,5477 | ,2236 | -,075 | 1,075 | ,0 | 1,0 |
| 8 INJERTO OSEO | 25 | ,380 | ,6658 | ,1332 | ,105 | ,655 | ,0 | 2,0 |
| 9 MEMBRANA+HUESO | 18 | ,917 | ,8787 | ,2071 | ,480 | 1,354 | ,0 | 3,0 |
| Total | 127 | ,516 | ,7558 | ,0671 | ,383 | ,648 | ,0 | 3,5 |
| PERDIDA_5 2 ELEVA+BIOMAT+HUESO | 5 | ,300 | ,4472 | ,2000 | -,255 | ,855 | ,0 | 1,0 |
| 3 ELEVA+HUESO | 14 | 1,036 | ,9700 | ,2592 | ,476 | 1,596 | ,0 | 3,0 |
| 4 ONLAY LATERAI | 22 | ,500 | ,9880 | ,2106 | ,062 | ,938 | ,0 | 3,5 |
| 5 ONLAY VERTICAL | 12 | ,292 | ,6895 | ,1990 | -,146 | ,730 | ,0 | 2,0 |

IX.- Anexo estadístico

| | | | | | | | | |
|--------------------|----|-------|-------|-------|-------|-------|-----|-----|
| 6 DISTRACCION OSEA | 3 | 1,000 | ,0000 | ,0000 | 1,000 | 1,000 | 1,0 | 1,0 |
| 7 LATERAL NERVIO | 3 | 1,000 | ,0000 | ,0000 | 1,000 | 1,000 | 1,0 | 1,0 |
| 8 INJERTO OSEO | 12 | ,375 | ,9324 | ,2692 | -,217 | ,967 | ,0 | 3,0 |
| 9 MEMBRANA+HUESO | 18 | ,917 | ,8787 | ,2071 | ,480 | 1,354 | ,0 | 3,0 |
| Total | 89 | ,646 | ,8861 | ,0939 | ,459 | ,833 | ,0 | 3,5 |

ANOVA^a

| | | Suma de cuadrados | gl | Media cuadrática | F | Sig. |
|-----------|--------------|-------------------|-----|------------------|-------|------|
| PERDIDA_1 | Inter-grupos | 8,721 | 7 | 1,246 | 3,065 | ,005 |
| | Intra-grupos | 54,056 | 133 | ,406 | | |
| | Total | 62,777 | 140 | | | |
| PERDIDA_3 | Inter-grupos | 9,415 | 7 | 1,345 | 2,559 | ,017 |
| | Intra-grupos | 62,553 | 119 | ,526 | | |
| | Total | 71,969 | 126 | | | |
| PERDIDA_5 | Inter-grupos | 7,652 | 7 | 1,093 | 1,441 | ,201 |
| | Intra-grupos | 61,449 | 81 | ,759 | | |
| | Total | 69,101 | 88 | | | |

IX.- Anexo estadístico

Pruebas post hoc Subconjuntos homogéneos

PERDIDA_1^c

Duncan^{a,b}

| C_Clinicos | N | Subconjunto para alfa = 0.05 | |
|----------------------|----|------------------------------|-------|
| | | 1 | 2 |
| 7 LATERAL NERVIO | 6 | ,000 | |
| 9 MEMBRANA+HUESO | 18 | ,028 | |
| 8 INJERTO OSEO | 25 | ,140 | |
| 4 ONLAY LATERAI | 26 | ,173 | |
| 2 ELEVA+BIOMAT+HUESO | 13 | ,192 | |
| 3 ELEVA+HUESO | 22 | ,386 | |
| 5 ONLAY VERTICAL | 23 | ,391 | |
| 6 DISTRACCION OSEA | 8 | | 1,125 |
| Sig. | | ,175 | 1,000 |

PERDIDA_3^c

Duncan^{a,b}

| C_Clinicos | N | Subconjunto para alfa = 0.05 | | |
|----------------------|----|------------------------------|------|-------|
| | | 1 | 2 | 3 |
| 2 ELEVA+BIOMAT+HUESO | 11 | ,227 | | |
| 4 ONLAY LATERAI | 22 | ,273 | ,273 | |
| 5 ONLAY VERTICAL | 20 | ,325 | ,325 | |
| 8 INJERTO OSEO | 25 | ,380 | ,380 | ,380 |
| 7 LATERAL NERVIO | 6 | ,500 | ,500 | ,500 |
| 3 ELEVA+HUESO | 19 | ,816 | ,816 | ,816 |
| 9 MEMBRANA+HUESO | 18 | | ,917 | ,917 |
| 6 DISTRACCION OSEA | 6 | | | 1,000 |
| Sig. | | ,084 | ,058 | ,063 |

PERDIDA_5^cDuncan^{a,b}

| | | Subconjunto para alfa = 0.05 |
|----------------------|----|---------------------------------|
| C_Clinicos | N | 1 |
| 5 ONLAY VERTICAL | 12 | ,292 |
| 2 ELEVA+BIOMAT+HUESO | 5 | ,300 |
| 8 INJERTO OSEO | 12 | ,375 |
| 4 ONLAY LATERAL | 22 | ,500 |
| 9 MEMBRANA+HUESO | 18 | ,917 |
| 6 DISTRACCION OSEA | 3 | 1,000 |
| 7 LATERAL NERVIO | 3 | 1,000 |
| 3 ELEVA+HUESO | 14 | 1,036 |
| Sig. | | ,192 |

ANOVA de un factor

Advertencia

No se han realizado las pruebas post hoc para PERDIDA_3 en el archivo segmentado Carga = 2 PRECOZ porque al menos un grupo tiene menos de dos casos.

No se han realizado las pruebas post hoc para PERDIDA_5 en el archivo segmentado Carga = 2 PRECOZ porque al menos un grupo tiene menos de dos casos.

No se han realizado las pruebas post hoc para PERDIDA_1 en el archivo de segmentación Carga = 3 CIR_PREVIA porque hay menos de tres grupos.

No se han realizado las pruebas post hoc para PERDIDA_3 en el archivo de segmentación Carga = 3 CIR_PREVIA porque hay menos de tres grupos.

Hay menos de dos grupos para la variable dependiente PERDIDA_5 en el archivo segmentado Carga = 3 CIR_PREVIA. No se calcularán los estadísticos.

IX.- Anexo estadístico

Carga = INMEDIATA

Descriptivos^a

| | N | Media | Desviación típica | Error típico | Intervalo de confianza para la media al 95% | | Mínimo | Máximo |
|---------------------|-----|-------|-------------------|--------------|---|-----------------|--------|--------|
| | | | | | Límite inferior | Límite superior | | |
| PERDIDA_1 | | | | | | | | |
| 0 AUSENCIA COMPLI | 232 | ,065 | ,3053 | ,0200 | ,025 | ,104 | ,0 | 3,0 |
| 1 COMPLI PROTESICAS | 11 | ,000 | ,0000 | ,0000 | ,000 | ,000 | ,0 | ,0 |
| 2 COMPLI CLINICAS | 3 | ,667 | ,7638 | ,4410 | -1,231 | 2,564 | ,0 | 1,5 |
| 3 COMPLI PERIIMPL | 15 | ,033 | ,1291 | ,0333 | -,038 | ,105 | ,0 | ,5 |
| Total | 261 | ,067 | ,3043 | ,0188 | ,030 | ,104 | ,0 | 3,0 |
| PERDIDA_3 | | | | | | | | |
| 0 AUSENCIA COMPLI | 187 | ,126 | ,4069 | ,0298 | ,067 | ,184 | ,0 | 3,0 |
| 1 COMPLI PROTESICAS | 10 | ,050 | ,1581 | ,0500 | -,063 | ,163 | ,0 | ,5 |
| 2 COMPLI CLINICAS | 3 | 1,000 | 1,0000 | ,5774 | -1,484 | 3,484 | ,0 | 2,0 |
| 3 COMPLI PERIIMPL | 10 | ,000 | ,0000 | ,0000 | ,000 | ,000 | ,0 | ,0 |
| Total | 210 | ,129 | ,4123 | ,0285 | ,072 | ,185 | ,0 | 3,0 |
| PERDIDA_5 | | | | | | | | |
| 0 AUSENCIA COMPLI | 95 | ,168 | ,4228 | ,0434 | ,082 | ,255 | ,0 | 1,5 |
| 1 COMPLI PROTESICAS | 10 | ,150 | ,2415 | ,0764 | -,023 | ,323 | ,0 | ,5 |
| 2 COMPLI CLINICAS | 3 | 1,000 | 1,0000 | ,5774 | -1,484 | 3,484 | ,0 | 2,0 |
| 3 COMPLI PERIIMPL | 7 | ,000 | ,0000 | ,0000 | ,000 | ,000 | ,0 | ,0 |
| Total | 115 | ,178 | ,4352 | ,0406 | ,098 | ,259 | ,0 | 2,0 |

ANOVA^a

| | | Suma de cuadrados | gl | Media cuadrática | F | Sig. |
|-----------|--------------|-------------------|-----|------------------|-------|------|
| PERDIDA_1 | Inter-grupos | 1,146 | 3 | ,382 | 4,283 | ,006 |
| | Intra-grupos | 22,930 | 257 | ,089 | | |
| | Total | 24,077 | 260 | | | |
| PERDIDA_3 | Inter-grupos | 2,507 | 3 | ,836 | 5,213 | ,002 |
| | Intra-grupos | 33,022 | 206 | ,160 | | |
| | Total | 35,529 | 209 | | | |
| PERDIDA_5 | Inter-grupos | 2,265 | 3 | ,755 | 4,336 | ,006 |
| | Intra-grupos | 19,330 | 111 | ,174 | | |
| | Total | 21,596 | 114 | | | |

Pruebas post hoc (Subconjuntos homogéneos)

PERDIDA_1^cDuncan^{a,b}

| Complicaciones | N | Subconjunto para alfa = 0.05 | |
|---------------------|-----|------------------------------|-------|
| | | 1 | 2 |
| 1 COMPLI PROTESICAS | 11 | ,000 | |
| 3 COMPLI PERIIMPL | 15 | ,033 | |
| 0 AUSENCIA COMPLI | 232 | ,065 | |
| 2 COMPLI CLINICAS | 3 | | ,667 |
| Sig. | | ,685 | 1,000 |

PERDIDA_3^c

Duncan^{a,b}

| Complicaciones | N | Subconjunto para alfa = 0.05 | |
|---------------------|-----|------------------------------|-------|
| | | 1 | 2 |
| 3 COMPLI PERIIMPL | 10 | ,000 | |
| 1 COMPLI PROTESICAS | 10 | ,050 | |
| 0 AUSENCIA COMPLI | 187 | ,126 | |
| 2 COMPLI CLINICAS | 3 | | 1,000 |
| Sig. | | ,573 | 1,000 |

PERDIDA_5^c

Duncan^{a,b}

| Complicaciones | N | Subconjunto para alfa = 0.05 | |
|---------------------|----|------------------------------|-------|
| | | 1 | 2 |
| 3 COMPLI PERIIMPL | 7 | ,000 | |
| 1 COMPLI PROTESICAS | 10 | ,150 | |
| 0 AUSENCIA COMPLI | 95 | ,168 | |
| 2 COMPLI CLINICAS | 3 | | 1,000 |
| Sig. | | ,487 | 1,000 |

Carga = PRECOZ (Descriptivos⁹⁾)

| | | N | Media | Desviación típica | Error típico | Intervalo de confianza para la media al 95% | | Mínimo | Máximo |
|-----------|---------------------|-----|-------|-------------------|--------------|---|-----------------|--------|--------|
| | | | | | | Límite inferior | Límite superior | | |
| PERDIDA_1 | 0 AUSENCIA COMPLI | 474 | ,186 | ,5681 | ,0261 | ,134 | ,237 | ,0 | 4,0 |
| | 1 COMPLI PROTESICAS | 17 | ,088 | ,2643 | ,0641 | -,048 | ,224 | ,0 | 1,0 |
| | 2 COMPLI CLINICAS | 2 | ,000 | ,0000 | ,0000 | ,000 | ,000 | ,0 | ,0 |
| | 3 COMPLI PERIIMPL | 6 | ,167 | ,4082 | ,1667 | -,262 | ,595 | ,0 | 1,0 |
| | Total | 499 | ,181 | ,5576 | ,0250 | ,132 | ,230 | ,0 | 4,0 |
| PERDIDA_3 | 0 AUSENCIA COMPLI | 390 | ,187 | ,4792 | ,0243 | ,139 | ,235 | ,0 | 3,0 |
| | 1 COMPLI PROTESICAS | 13 | ,077 | ,1878 | ,0521 | -,037 | ,190 | ,0 | ,5 |
| | 2 COMPLI CLINICAS | 0 | . | . | . | . | . | . | . |
| | 3 COMPLI PERIIMPL | 3 | ,500 | ,8660 | ,5000 | -1,651 | 2,651 | ,0 | 1,5 |
| | Total | 406 | ,186 | ,4759 | ,0236 | ,140 | ,232 | ,0 | 3,0 |
| PERDIDA_5 | 0 AUSENCIA COMPLI | 265 | ,228 | ,6060 | ,0372 | ,155 | ,302 | ,0 | 3,5 |
| | 1 COMPLI PROTESICAS | 15 | ,133 | ,2968 | ,0766 | -,031 | ,298 | ,0 | 1,0 |
| | 2 COMPLI CLINICAS | 0 | . | . | . | . | . | . | . |
| | 3 COMPLI PERIIMPL | 2 | ,750 | 1,0607 | ,7500 | -8,780 | 10,280 | ,0 | 1,5 |
| | Total | 282 | ,227 | ,5965 | ,0355 | ,157 | ,297 | ,0 | 3,5 |

IX.- Anexo estadístico

ANOVA^a

| | | Suma de cuadrados | gl | Media cuadrática | F | Sig. |
|-----------|--------------|-------------------|-----|------------------|------|------|
| PERDIDA_1 | Inter-grupos | ,223 | 3 | ,074 | ,238 | ,870 |
| | Intra-grupos | 154,613 | 495 | ,312 | | |
| | Total | 154,837 | 498 | | | |
| PERDIDA_3 | Inter-grupos | ,451 | 2 | ,226 | ,996 | ,370 |
| | Intra-grupos | 91,259 | 403 | ,226 | | |
| | Total | 91,710 | 405 | | | |
| PERDIDA_5 | Inter-grupos | ,679 | 2 | ,340 | ,954 | ,386 |
| | Intra-grupos | 99,296 | 279 | ,356 | | |
| | Total | 99,975 | 281 | | | |

Pruebas post hoc

Comparaciones múltiples^a

| |
|--|
| |
|--|

Subconjuntos homogéneos

PERDIDA_1^c

Duncan^{a,b}

| | | Subconjunto para alfa = 0.05 |
|---------------------|-----|---------------------------------|
| Complicaciones | N | 1 |
| 2 COMPLI CLINICAS | 2 | ,000 |
| 1 COMPLI PROTESICAS | 17 | ,088 |
| 3 COMPLI PERIIMPL | 6 | ,167 |
| 0 AUSENCIA COMPLI | 474 | ,186 |
| Sig. | | ,623 |

Carga = CIR_PREVIA

Descriptivos^a

| | N | Media | Desviación típica | Error típico | Intervalo de confianza para la media al 95% | | Mínimo | Máximo |
|-----------------------------|-----|-------|-------------------|--------------|---|-----------------|--------|--------|
| | | | | | Límite inferior | Límite superior | | |
| PERDIDA_1 0 AUSENCIA COMPLI | 138 | ,272 | ,6758 | ,0575 | ,158 | ,385 | ,0 | 3,5 |
| 2 COMPLI CLINICAS | 3 | ,000 | ,0000 | ,0000 | ,000 | ,000 | ,0 | ,0 |
| Total | 141 | ,266 | ,6696 | ,0564 | ,154 | ,377 | ,0 | 3,5 |
| PERDIDA_3 0 AUSENCIA COMPLI | 124 | ,528 | ,7606 | ,0683 | ,393 | ,663 | ,0 | 3,5 |
| 2 COMPLI CLINICAS | 3 | ,000 | ,0000 | ,0000 | ,000 | ,000 | ,0 | ,0 |
| Total | 127 | ,516 | ,7558 | ,0671 | ,383 | ,648 | ,0 | 3,5 |

ANOVA^a

| | Suma de cuadrados | gl | Media cuadrática | F | Sig. |
|------------------------|-------------------|-----|------------------|-------|------|
| PERDIDA_1 Inter-grupos | ,217 | 1 | ,217 | ,482 | ,489 |
| Intra-grupos | 62,560 | 139 | ,450 | | |
| Total | 62,777 | 140 | | | |
| PERDIDA_3 Inter-grupos | ,817 | 1 | ,817 | 1,436 | ,233 |
| Intra-grupos | 71,151 | 125 | ,569 | | |
| Total | 71,969 | 126 | | | |

IX.- Anexo estadístico

ANOVA de un factor

Carga = INMEDIATA

Descriptivos^a

| | | N | Media | Desviación típica | Error típico | Intervalo de confianza para la media al 95% | | Mínimo | Máximo |
|-----------|---------------|-----|-------|-------------------|--------------|---|-----------------|--------|--------|
| | | | | | | Límite inferior | Límite superior | | |
| PERDIDA_1 | 1 PANORA+PERI | 202 | ,032 | ,1734 | ,0122 | ,008 | ,056 | ,0 | 1,5 |
| | 2 PANORAMICAS | 41 | ,207 | ,6223 | ,0972 | ,011 | ,404 | ,0 | 3,0 |
| | 3 PERIAPICAL | 5 | ,100 | ,2236 | ,1000 | -,178 | ,378 | ,0 | ,5 |
| | Total | 248 | ,063 | ,3037 | ,0193 | ,025 | ,100 | ,0 | 3,0 |
| PERDIDA_3 | 1 PANORA+PERI | 173 | ,113 | ,3540 | ,0269 | ,060 | ,166 | ,0 | 2,0 |
| | 2 PANORAMICAS | 33 | ,212 | ,6499 | ,1131 | -,018 | ,443 | ,0 | 3,0 |
| | 3 PERIAPICAL | 0 | . | . | . | . | . | . | . |
| | Total | 206 | ,129 | ,4152 | ,0289 | ,072 | ,186 | ,0 | 3,0 |
| PERDIDA_5 | 1 PANORA+PERI | 93 | ,199 | ,4612 | ,0478 | ,104 | ,294 | ,0 | 2,0 |
| | 2 PANORAMICAS | 22 | ,091 | ,2942 | ,0627 | -,040 | ,221 | ,0 | 1,0 |
| | 3 PERIAPICAL | 0 | . | . | . | . | . | . | . |
| | Total | 115 | ,178 | ,4352 | ,0406 | ,098 | ,259 | ,0 | 2,0 |

ANOVA^a

| | | Suma de cuadrados | gl | Media cuadrática | F | Sig. |
|-----------|--------------|-------------------|-----|------------------|-------|------|
| PERDIDA_1 | Inter-grupos | 1,053 | 2 | ,526 | 5,934 | ,003 |
| | Intra-grupos | 21,729 | 245 | ,089 | | |
| | Total | 22,781 | 247 | | | |
| PERDIDA_3 | Inter-grupos | ,274 | 1 | ,274 | 1,593 | ,208 |
| | Intra-grupos | 35,067 | 204 | ,172 | | |
| | Total | 35,341 | 205 | | | |
| PERDIDA_5 | Inter-grupos | ,208 | 1 | ,208 | 1,097 | ,297 |
| | Intra-grupos | 21,388 | 113 | ,189 | | |
| | Total | 21,596 | 114 | | | |

Pruebas post hoc

Comparaciones múltiples^a

| |
|--|
| |
|--|

Subconjuntos homogéneos

PERDIDA_1^c

| | | Subconjunto para alfa = 0.05 |
|---------------|-----|---------------------------------|
| OPG/Peri | N | 1 |
| 1 PANORA+PERI | 202 | ,032 |
| 3 PERIAPICAL | 5 | ,100 |
| 2 PANORAMICAS | 41 | ,207 |
| Sig. | | ,158 |

IX.- Anexo estadístico

Carga = PRECOZ

Descriptivos^a

| | | N | Media | Desviación típica | Error típico | Intervalo de confianza para la media al 95% | | Mínimo | Máximo |
|-----------|---------------|-----|-------|-------------------|--------------|---|-----------------|--------|--------|
| | | | | | | Límite inferior | Límite superior | | |
| PERDIDA_1 | 1 PANORA+PERI | 378 | ,177 | ,5550 | ,0285 | ,121 | ,233 | ,0 | 4,0 |
| | 2 PANORAMICAS | 60 | ,233 | ,6342 | ,0819 | ,069 | ,397 | ,0 | 3,0 |
| | 3 PERIAPICAL | 19 | ,237 | ,4524 | ,1038 | ,019 | ,455 | ,0 | 1,5 |
| | Total | 457 | ,187 | ,5615 | ,0263 | ,135 | ,239 | ,0 | 4,0 |
| PERDIDA_3 | 1 PANORA+PERI | 331 | ,189 | ,4860 | ,0267 | ,136 | ,241 | ,0 | 3,0 |
| | 2 PANORAMICAS | 48 | ,208 | ,4708 | ,0680 | ,072 | ,345 | ,0 | 2,0 |
| | 3 PERIAPICAL | 8 | ,250 | ,5345 | ,1890 | -,197 | ,697 | ,0 | 1,5 |
| | Total | 387 | ,193 | ,4840 | ,0246 | ,144 | ,241 | ,0 | 3,0 |
| PERDIDA_5 | 1 PANORA+PERI | 227 | ,236 | ,6280 | ,0417 | ,154 | ,318 | ,0 | 3,5 |
| | 2 PANORAMICAS | 36 | ,236 | ,4853 | ,0809 | ,072 | ,400 | ,0 | 2,0 |
| | 3 PERIAPICAL | 8 | ,250 | ,5345 | ,1890 | -,197 | ,697 | ,0 | 1,5 |
| | Total | 271 | ,236 | ,6067 | ,0369 | ,164 | ,309 | ,0 | 3,5 |

ANOVA^a

| | | Suma de cuadrados | gl | Media cuadrática | F | Sig. |
|-----------|--------------|-------------------|-----|------------------|------|------|
| PERDIDA_1 | Inter-grupos | ,212 | 2 | ,106 | ,335 | ,715 |
| | Intra-grupos | 143,542 | 454 | ,316 | | |
| | Total | 143,754 | 456 | | | |
| PERDIDA_3 | Inter-grupos | ,043 | 2 | ,021 | ,091 | ,913 |
| | Intra-grupos | 90,365 | 384 | ,235 | | |
| | Total | 90,408 | 386 | | | |
| PERDIDA_5 | Inter-grupos | ,002 | 2 | ,001 | ,002 | ,998 |
| | Intra-grupos | 99,384 | 268 | ,371 | | |
| | Total | 99,386 | 270 | | | |

Pruebas post hoc

Subconjuntos homogéneos

PERDIDA_1^cDuncan^{a,b}

| | | Subconjunto para alfa = 0.05 |
|---------------|-----|---------------------------------|
| OPG/Peri | N | 1 |
| 1 PANORA+PERI | 378 | ,177 |
| 2 PANORAMICAS | 60 | ,233 |
| 3 PERIAPICAL | 19 | ,237 |
| Sig. | | ,652 |

PERDIDA_3^cDuncan^{a,b}

| | | Subconjunto para alfa = 0.05 |
|---------------|-----|---------------------------------|
| OPG/Peri | N | 1 |
| 1 PANORA+PERI | 331 | ,189 |
| 2 PANORAMICAS | 48 | ,208 |
| 3 PERIAPICAL | 8 | ,250 |
| Sig. | | ,709 |

IX.- Anexo estadístico

PERDIDA_5^c

Duncan^{a,b}

| OPG/Peri | N | Subconjunto para alfa = 0.05 |
|---------------|-----|---------------------------------|
| | | 1 |
| 1 PANORA+PERI | 227 | ,236 |
| 2 PANORAMICAS | 36 | ,236 |
| 3 PERIAPICAL | 8 | ,250 |
| Sig. | | ,946 |

Carga = CIR_PREVIA

Descriptivos^a

| | N | Media | Desviación típica | Error típico | Intervalo de confianza para la media al 95% | | Mínimo | Máximo |
|---------------|-----|-------|-------------------|--------------|---|-----------------|--------|--------|
| | | | | | Límite inferior | Límite superior | | |
| PERDIDA_1 | | | | | | | | |
| 1 PANORA+PERI | 114 | ,232 | ,6982 | ,0654 | ,103 | ,362 | ,0 | 3,5 |
| 2 PANORAMICAS | 16 | ,031 | ,1250 | ,0313 | -,035 | ,098 | ,0 | ,5 |
| 3 PERIAPICAL | 3 | ,500 | ,0000 | ,0000 | ,500 | ,500 | ,5 | ,5 |
| Total | 133 | ,214 | ,6522 | ,0566 | ,102 | ,326 | ,0 | 3,5 |
| PERDIDA_3 | | | | | | | | |
| 1 PANORA+PERI | 101 | ,500 | ,7810 | ,0777 | ,346 | ,654 | ,0 | 3,5 |
| 2 PANORAMICAS | 16 | ,281 | ,5764 | ,1441 | -,026 | ,588 | ,0 | 2,0 |
| 3 PERIAPICAL | 3 | ,500 | ,0000 | ,0000 | ,500 | ,500 | ,5 | ,5 |
| Total | 120 | ,471 | ,7484 | ,0683 | ,336 | ,606 | ,0 | 3,5 |
| PERDIDA_5 | | | | | | | | |
| 1 PANORA+PERI | 69 | ,652 | ,9327 | ,1123 | ,428 | ,876 | ,0 | 3,5 |
| 2 PANORAMICAS | 13 | ,269 | ,5991 | ,1662 | -,093 | ,631 | ,0 | 2,0 |
| 3 PERIAPICAL | 0 | . | . | . | . | . | . | . |
| Total | 82 | ,591 | ,8962 | ,0990 | ,395 | ,788 | ,0 | 3,5 |

ANOVA^a

| | | Suma de cuadrados | gl | Media cuadrática | F | Sig. |
|-----------|--------------|-------------------|-----|------------------|-------|------|
| PERDIDA_1 | Inter-grupos | ,819 | 2 | ,409 | ,962 | ,385 |
| | Intra-grupos | 55,324 | 130 | ,426 | | |
| | Total | 56,143 | 132 | | | |
| PERDIDA_3 | Inter-grupos | ,664 | 2 | ,332 | ,588 | ,557 |
| | Intra-grupos | 65,984 | 117 | ,564 | | |
| | Total | 66,648 | 119 | | | |
| PERDIDA_5 | Inter-grupos | 1,604 | 1 | 1,604 | 2,022 | ,159 |
| | Intra-grupos | 63,460 | 80 | ,793 | | |
| | Total | 65,064 | 81 | | | |

Pruebas post hoc

Subconjuntos homogéneos

PERDIDA_1^cDuncan^{a,b}

| | | Subconjunto para alfa = 0.05 |
|---------------|-----|---------------------------------|
| OPG/Peri | N | 1 |
| 2 PANORAMICAS | 16 | ,031 |
| 1 PANORA+PERI | 114 | ,232 |
| 3 PERIAPICAL | 3 | ,500 |
| Sig. | | ,195 |

PERDIDA_3^c

Duncan^{a,b}

| OPG/Peri | N | Subconjunto para alfa = 0.05 |
|---------------|-----|------------------------------|
| 2 PANORAMICAS | 16 | ,281 |
| 1 PANORA+PERI | 101 | ,500 |
| 3 PERIAPICAL | 3 | ,500 |
| Sig. | | ,602 |

Gráfico

